

Fig. I, Nov 7.

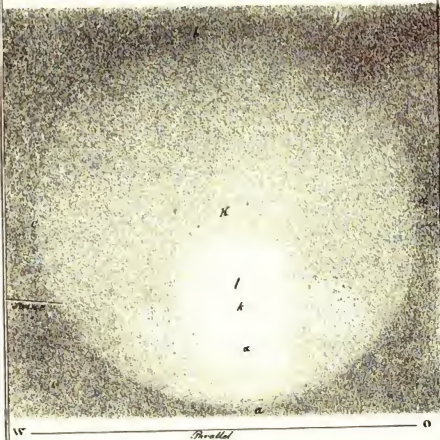


Fig. II.

Fig. III, Nov 30

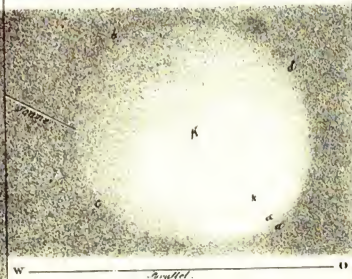


Fig. IV, Dec 7.

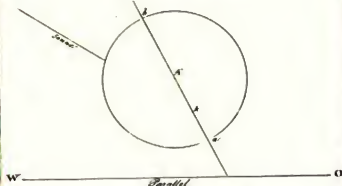


Fig. V, Dec 14.



Astronomische Nachrichten

Astronomische Gesellschaft (Germany),
Deutsche Akademie der Wissenschaften zu Berlin

JOHN G. WOLBACH LIBRARY
HARVARD COLLEGE OBSERVATORY
60 GARDEN STREET
CAMBRIDGE, MASS. 02138

JOHN G. WOLBACH LIBRARY
HARVARD COLLEGE OBSERVATORY
80 GARDEN STREET
CAMBRIDGE, MASS. 02138

JOHN G. WOLBACH LIBRARY
HARVARD COLLEGE OBSERVATORY
80 GARDEN STREET
CAMBRIDGE, MASS. 02138

JOHN G. WOLBACH LIBRARY
HARVARD COLLEGE OBSERVATORY
80 GARDEN STREET
CAMBRIDGE, MASS. 02138



Portrait von C. Gauss

GAUSS.

Carl Friedrich Gauss

ASTRONOMISCHE NACHRICHTEN,

h e r a u s g e g e b e n

v o n

H. C. S c h u m a c h e r,

würklichem Etatsrathe, ordentlichem Professor der Astronomie in Copenhagen, Ritter vom Dannebrog und D. M., Mitgließe der Königl. Gesellschaften der Wissenschaften in Copenhagen, Neapel, London, Edinburgh und Stockholm, der astronomischen Gesellschaft in London, der Gesellschaft der Wissenschaften in Philadelphia, der physiographischen Gesellschaft in Lund, Ehrenmitglieder der Königl. Gesellschaft der Wissenschaften in Dublin, der Gesellschaft nützlicher Künste in Edinburgh, der mathematischen Gesellschaft in Hamburg, und der meteorologischen Gesellschaft in London, correspondirendem Mitgließe der Königl. Academie der Wissenschaften in Turin, der Kaiserl. Academie der Wissenschaften in St. Petersburg, der Königl. Academie der Wissenschaften in Berlin, der Academie der Wissenschaften in Palermo, und der Königl. Academie der Wissenschaften in Brüssel.

S i e b e n t e r B a n d .

mit 2 Portraits, 5 Stein tafeln, 2 Kupfertafeln, 9 Beilagen, Liste der Mondsterne für 1829, *Weidenbachs* Tafeln, des Herausgebers *Lettre à Breguet*, einem Inhaltsverzeichniß und einem Register.

A l t o n a 1 8 2 9 .

gedruckt in der *Hammerich-* und *Heineking'schen* Buchdruckerei.



after a portrait by H. Schwan

GAUSS.

after a portrait by H. Schwan

ASTRONOMISCHE NACHRICHTEN,

h e r a u s g e g e b e n

v o n

H. C. S c h u m a c h e r,

würklichem Eintrathe, ordentlichem Professor der Astronomie in Copenhagen, Ritter vom Dannebrog und D. M., Mitgliede der Königl. Gesellschaften der Wissenschaften in Copenhagen, Neapel, London, Edinburgh und Stockholm, der astronomischen Gesellschaft in London, der Gesellschaft der Wissenschaften in Philadelphia, der physiographischen Gesellschaft in Lund, Ehrenmitgliede der Königl. Gesellschaft der Wissenschaften in Dublin, der Gesellschaft nützlicher Künste in Edinburgh, der mathematischen Gesellschaft in Hamburg, und der meteorologischen Gesellschaft in London, correspondirendem Mitgliede der Königl. Academie der Wissenschaften in Turin, der Kaiserl. Academie der Wissenschaften in St. Petersburg, der Königl.

Academie der Wissenschaften in Berlin, der Academie der Wissenschaften in Palermo, und der Königl. Academie der Wissenschaften in Brüssel.

S i e b e n t e r B a n d .

mit 2 Portraits, 5 Steinplatten, 2 Kupfertafeln, 9 Beilagen, Liste der Mondsterne für 1829, *Weidenbachs* Tafeln, des Herausgebers Lettre à *Breguet*, einem Inhaltsverzeichniß und einem Register.

A l t o n a 1 8 2 9 .

gedruckt in der *Hammerich-* und *Heineking'schen* Buchdruckerei.

Nr. 145.

Ueber die Vorausberechnung der Sternbedeckungen. Von Herrn Professor und Ritter *Bessel* 1. — Auszug aus einem Schreiben des Herrn Hofraths und Ritters *Gauss* an den Herausgeber 15. — Beobachtungen der Vesta auf der Prager Sternwarte zur Zeit ihres Gegenscheins 1827. Von Professor *Bittner* 15.

Nr. 146.

Einige, von verschiedenen Beobachtern im nördlichen Europa angestellte magnetische Beobachtungen, über Neigung und Intensität, mittheilt von Herrn Professor *Hansteen* 17. — *Wurm*, Ueber die Länge von Montevideo, Havanna, Calcutta und Kurnaul. (Fortsetzung und Nachlese zu *Astron. Nachr.* Nr. 139 und 143.) 25.

Nr. 147.

Addition au *memoire* sur les fonctions elliptiques, inséré dans le Nr. 133 de ce Journal, par Mr. N. H. *Abel* 32. — Ephemeride für die im Jahr 1829 vorfallenden Bedeckungen der Fixsterne vom Monde, von Herrn C. T. *Anger* 43. Liste der Mondstadii für 1829. 47.

Beilage zu Nr. 147.

Brief des Herrn Prof. *Moll* an den Herausgeber. — Nachricht.

Nr. 148.

Nachrichten über die Wiedererscheinung des *Enckeschen* Cometen 49. — Auszug aus einem Schreiben des Herrn Prof. *Harding* an den Herausgeber 49. — Schreiben des Herrn *Gambart*, Directors der Marseiller Sternw., an den Herausgeber 51. — Schreiben des Herrn *Fals* an den Herausgeber 55. — Schreiben des Herrn Professors *Knorre*, Directors der Sternwarte in Nicolajew, an den Herausgeber 57. — Auszug aus einem Schreiben des Herrn Doctors u. Ritters *Olbers* an den Herausgeber 62. — Sternbedeckungen beobachtet auf der Prager Sternwarte von Herrn Professor *David* 63.

Beilage zu Nr. 148.

Auszug aus einem Schreiben des Herrn Professors *Hansen*, Directors der Seeberger Sternwarte, an den Herausgeber 65. — Barometerbeobachtungen in Apennde 69.

Nr. 149.

Fortsetzung des Briefes von Herrn B. *Fals* an den Herausgeber 73. — Sterne am Meridiankreise von Herrn *Petersen* bestimmt 81. — Auszug aus einem Schreiben des Herrn Prof. *Encke* Königl. Astronomen an den Herausgeber 85. — Beobachtungen der geraden Aufsteigungen des Moores und benachbarter Sterne, im Jahre 1827, auf der Königsberger Sternwarte 85.

Beilage zu Nr. 149.

Ephemeride für die im Jahr 1829 vorfallenden Bedeckungen der Fixsterne vom Monde, berechnet von Herrn *Anger* in Königsberg 89. — Catalog von mathematischen, optischen u. physikalischen Instrumenten, welche in *Pistor et Schicks* Werkstatt verfertigt und zu den beigetzten Preisen ver-

kauft werden 93. — Druckfehler und Berichtigungen 101. — Druckfehler in *Taylor*s und *Matthiessens* Tafeln 103. — Einfache Microscope von Saphirlinsen 103.

Nr. 150.

Auszug aus einem Schreiben des Herrn Dr. und Ritters *Olbers* an den Herausgeber 105. — Auszug aus einem Briefe des Herrn Dr. und Ritters *Olbers* an den Herausgeber 105. — Astron. Beobachtungen angestellt auf dem Schlosse Ober-Castell, Kanton Thurgau in der Schweiz. Von Herrn Oberst-Lieutenant v. *Scherer* 107. — The five occultations of Aldbaran (α Tauri) by the moon in the year 1829 etc. 111. — Notizen über den 1828 am 6ten Februar von *Pons* entdeckten Cometen. 113. — *Dunlop*s Verzeichniß von Doppelsternen 113. — Saturnring 113. — Einzelne Beobachtungen 115. — Beobachtungen des *Enckeschen* Cometen von Herrn Prof. *Encke* in Berlin 115. — Gang eines Chronometers von Herrn *Kestel* 117. — Nachrichten 119.

Nr. 151.

Beiträge zur Theorie der Finsternisse und den Berechnungs-Methoden derselben. Von Herrn Professor und Ritter *Bessel* 117.

Nr. 152.

Beiträge zur Theorie der Finsternisse und den Berechnungs-Methoden derselben, von Herrn Professor und Ritter *Bessel* (Beschluß) 137. — Schreiben des Herrn Professors *Nicolai*, Directors der Manheimer Sternwarte, an den Herausgeber 143. — Ueber die Länge von Ober-Kastell (bei Constant) 147.

Nr. 153. 154.

Beobachtung des *Enckeschen* Cometen auf der Dorpater Sternwarte mit dem großen Refractor von *Fraunhofer*, angestellt 1828. 153. — Auszug aus einem Schreiben des Königl. Astronomen Herrn Prof. *Encke* an den Herausgeber 181.

Nr. 155.

Remarque sur un passage de la Mécanique Analytique de Mr. *Lagrange* 183. — Schreiben des Herrn Professors *Argelanders*, Directors der Sternwarte in Åbo, an den Herausg. 187. Sternbedeckungen vom Monde, Jupiterskranten-Verfinsterungen und Beobachtung der Mondfinsternis am 3. November 1827. 199. — Ueber die Länge von Havanna. (Fortsetzung zu *Astr. Nachr.* Nr. 146. S. 28.) 191. — Auszug aus einem Schreiben des Herrn Professors *Wiesse* an den Herausgeber 197. — Sternbedeckungen im Jahre 1828 auf der Graecauer Sternwarte beobachtet 199.

Nr. 156.

Auszug aus einem Briefe des Herrn B. *Fals* an den Herausgeber 201. — Auszug aus einem Schreiben des Herrn Professors *Argelanders*, Directors der Sternwarte in Åbo, an den Herausgeber 207. — Catalogus stellarum cum Luna in AR. compendiarum 1829. 210. — Ueber die Länge von Nürnberg 213.

Nr. 157.

Auszug aus einem Schreiben des Herrn *Winnler* an den Herausgeber 217. — Schreiben des Herrn Prof. *Weisse*, Dir. der Sternw. in Krakau, an den Herausgeber 219. — Ueber die Correction der mit dem doppelt repetirenden Theodoliten gemessenen Winkel, wegen der Excentricität des zweiten oder sog. Versicherungsferrorhrs. Von Herrn *Lieutenot Hartmann* in der Königl. Hacoöv. Artillerie 227. — Auszug aus einem Schreiben des Herrn *Astron. Schwarzenbrunner*, Dir. der Sternw. in Krennmünster, an den Herausg. 231. — List of instruments, novel in principle or construction, made and sold by *T. C. Robinson* etc. 231.

Beilage zu Nr. 157.

Hartmann, über die Correction der gemessenen Horizontalwinkel etc. 233. — Ders., über die Benützung des sog. fehlerzeigenden Dreiecks etc. 235. — Ueber die Benützung von zwei gleichen entgegengesetzt liegenden fehlerzeigenden Dreiecke etc. 237. — Derselbe, direkte Bestimmung der Coordinaten von zwei unbekannten Punkten etc. 239. — Ders., über die Ausgleichung des Einflusses der Excentricität bei eingetheilten Kreisen etc. 241. — Ders., über die Ausgleichung des Fehlers in den gemessenen Horizontalwinkeln etc. 247.

Nr. 158.

Originalbeobachtungen des *Enckeschen* Cometen und Sternbedeckungen auf der Sternw. zu Krennmünster 249. — Schreiben des Herrn Professors *Knoor*, Directors der Sternwarte in Nicolajew, an den Herausgeber 261. — Druck- und Schreibfehler 263. — Beobachtungen des *Enckeschen* Cometen auf der k. Sternwarte zu Prag 263.

Beilage zu Nr. 158.

Hartmann, über die genaue Bestimmung der Brechung und Zerstreuung des Lichts in gegebenen Glasarten mit Hülfe sorgfältig geschliffener Prismen 265. — Ders., über die Berechnung der Brennweite der verschied. dioptr. Gläser 277.

Nr. 159.

Schreiben des Herrn Professors *Hansen*, Directors der Sternwarte Seeberg, an den Herausgeber 281. — *Warn*, über die Länge von Moskau oder Benares. 281. — De l'emploi des Micromètres et des Réticules dans les observations obliques. Par Mr. *Benjamin Fals* 287. — Observations de Mr. *Pons* à Florence de la Comète qu'il a découverte le 3 Août 1827 à 2h du matin 291. — *Warn*, über die Länge von Nicolajew (Fortsetzung zu Astr. Nachr. Nr. 112) 293.

Beilage zu Nr. 159.

Fortsetzung der von Herrn *Petersen* am Meridiankreise in Altona bestimmten Sterne 297. — Ueber die Länge von Nicolajew (Beschluss) 303. — Verzeichniß der optischen Instrumente, welche in dem optischen Institute *Utschneider* et *Fraunhofer*, ehemals in Benedicbeurn, jetzt in München, für nachstehende Preise verfertigt werden 307.

Nr. 160.

Schreiben des Herrn *Santini*, Directors der Sternwarte in Padua an den Herausgeber 313. — Zusatz zu Astr. Nachr. Nr. 159. Ueber die Länge von Moskau und Benares. 325. — Auszug

aus einem Schreiben des Herrn Prof. *Hansen* an den Herausgeber 327. Des Herausgebers Lettre à Mr. *Breguet*.

Nr. 161.

Gnadenbeteugung 329. — Beobachtungen der Ceres in Göttingen 329. — Bestimmung der Größe der Erde aus den vorzüglichsten Messungen der Breitengrade 329. — Thermometer- und Barometerstand in Danzig 331. — Schreiben des Herrn Professors *Strehlke* an den Herausgeber 337. — Osservazioni di Vesta intorno all' opposizione col Sole fatte nell' I. R. Osservatorio di Padova 341. — Schreiben des Herrn *George Innes* aus Aberdeen an den Herausgeber 341.

Beilage zu Nr. 161.

Ueber die Länge von Coburg 345. — Zweiter Nachtrag über die Läge von Buenos Ayres 349. — Sternbedeckungen vom Monde und Jupiterstrabanten-Verfinsterungen 351.

Nr. 162.

Schreiben des Herrn *Barons Poisson*, Mitglieds des französ. Instituts, Officiers der Ehrenlegion, an den Herausgeber 353. — Auszug aus einem Schreiben des Herrn Prof. *Hansen* an den Herausg. 355. — Zenithdistanzen des Polarsterns, zur Bestimmung der Polhöhe der Miteurer Sternwarte etc., von Prof. Dr. *G. Paucker* 359. — Auszug aus einem Schreiben des Herrn Prof. *Weisse*, Dir. der Krak. Sternwarte, an den Herausgeber 363. — Schreib- u. Druckfehler in *Struve's* Beobd des *Enckeschen* Cometen etc. 367.

Nr. 163.

Bemerkungen über die Königl. Zonen-Beobachtungen. Von Herrn Prof. u. Ritter *Bessel* 369. — Tafel zur Reducir der Abwägungen. Von Hrn. Prof. und Ritter *Bessel* 373. — Brief des Herrn Geheimraths v. *Utschneider* an den Herausgeber 377. — Beobachtungen auf der Hamburger Sternwarte mitgetheilt von dem Herrn Director und Ritter *Repsold* 379. — Anteigen 383. v. *Weidenbach's* Tafeln.

Nr. 164.

Resultate der Gradmessung in den Ostseeprovinzen Rußlands von Herrn Hofrath u. Ritter *Struve* 385.

Nr. 165.

Ueber Refractionstafeln, von Prof. Dr. *G. Paucker* 401. — Schreiben des Hrn. *A. v. Hildgenstein* an d. Herausg. 413.

Nr. 166. 167. 168.

Disquisitiones circa theoriem perturbationum quas motum corporum coelestium afficiunt, auctore *P. A. Hansen*, Observatorii Seebergensis Mathematico, dit. 433, 465.

Beilage zu Nr. 167.

Schreiben des Herrn *Hasey* an den Herausgeber 449. — Längenbestimmung durch die Sonnenfernsehl 1826 Nov. 29, 451. — Ueber die Länge von Crazeu 453. — 1829 Mond u. Stern nach Beilage A. Nr. 147 auf der Prager Sternwarte beobachtet 459. — Sternbedeck. vom Monde auf der Prager Sternwarte beobachtet 463.

Beilage zu Nr. 168.

Disquisitiones circa theoriem perturbationum etc. auct. *P. A. Hansen* 481. — Längenbestimmungen aus Mondsternen von Herr C. A. F. *Peters* 485. — Schreiben des Herrn Prof. *Angelder*, Dir. der Aboer Sternwarte, an den Herausg. 493. Druckfehler 495. — Anteigen 495.

ASTRONOMISCHE NACHRICHTEN.

N^o 145.

Ueber die Vorausberechnung der Sternbedeckungen.

Von Herrn Professor und Ritter *Bessel*.

1.

Jedem Beobachter von Sternbedeckungen wird es oft annehm oder notwendig gewesen seyn, die Zeiten des Eintritts und Austritts, und den Ort des Mondrandes, wo der letztere erfolgt, näherungsweise voraus zu wissen, damit die Aufmerksamkeit nicht durch zu langes Warten geschwächt und durch Unsicherheit über den Ort vertheilt werde; mir wenigstens ist es meistens nöthig gewesen, die zu beobachtende Bedeckung für meinen Beobachtungsort vorauszuberechnen. Die bequemsten Vorschriften zu dieser Rechnung finde ich nirgends entwickelt, obgleich in *Lagrange's* Abhandlung im Berliner Jahrbuche für 1782 das Wesentlichste davon enthalten und aus dieser in spätere Lehrbücher übergegangen ist.

Die Angabe der AR. und Decl. des Mondes von 12 zu 12 Stunden wahrer Zeit, welche sowohl die *Connoissances* des tems, als auch der *Nautical Almanac*, seit einigen Jahren enthalten, erleichtert diese Rechnung sehr, und noch leichter wird sie durch dieselben Angaben für die mittleren Mittags und Mitternächte, welche man in dem vortheilhaften Jahrbuche von *Encke*, mit der Genauigkeit der Tafeln selbst, findet. Ich werde zuerst die Aufgabe in aller Schärfe auflösen; später diejenige Annäherung angeben, welche hinreichend ist, wenn die Vorausberechnung nur Behufs der anzustellenden Beobachtung gemacht werden soll; endlich werde ich zeigen, welche Angaben die Ephemeriden enthalten müssen, damit die Rechnung für andere Oerter möglichst dadurch erleichtert werde.

2.

Die Bezeichnungen, welche ich anwenden werde, sind folgende:

A scheinb. AR.	} des bedeckten Fixsterns.
D Decl.	
α wahre AR.	} des Mondes.
δ Decl.	
π Aequatoralparallaxe	
ρ Horizontaler Halbmesser	
α' scheinbare AR.	
δ' Decl.	
ρ' scheinbarer Halbmesser	

74 Bd.

μ Sternzeit	} des Beobachtungsorts.
Φ Polhöhe	
Φ' verbesserte Breite	
r Entfernung vom $\frac{1}{2}$ Mittelp.	

Legt man durch den Stern und den Mittelpunkt des Mondes einen größten Kreis, bezeichnet man die auf demselben gemessene Entfernung beider durch Σ , den Winkel dieses größten Kreises mit dem von dem Sterne nach dem Nordpole gehenden Declinationskreise, von 0 bis 360° gezählt, durch P , so daß P zwischen 0 und 180° ist, wenn $\alpha' < A$, zwischen 180° und 360° wenn $\alpha' > A$, so hat man

$$[1] \quad \begin{cases} \sin \Sigma \sin P = -\cos \delta' \sin (\alpha' - A) \\ \sin \Sigma \cos P = \sin \delta' \cos D - \cos \delta' \sin D \cos (\alpha' - A) \\ \cos \Sigma = \sin \delta' \sin D + \cos \delta' \cos D \cos (\alpha' - A) \end{cases}$$

Allein der scheinbare Ort des Mondes wird durch den wahren ausgedrückt, mittelst der bekannten Formeln

$$\begin{aligned} \Delta \cos \delta' \sin \alpha' &= \cos \delta \sin \alpha - r \cos \Phi' \sin \pi \sin \mu \\ \Delta \cos \delta' \cos \alpha' &= \cos \delta \cos \alpha - r \cos \Phi' \sin \pi \cos \mu \\ \Delta \sin \delta' &= \sin \delta - r \sin \Phi' \sin \pi \end{aligned}$$

in welchen Δ die Entfernung des Mondes vom Beobachtungsort bedeutet. Substituiert man dieses in [1], so erhält man

$$[2] \quad \begin{cases} \Delta \sin \Sigma \sin P = -\cos \delta \sin (\alpha - A) + r \cos \Phi' \sin \pi \sin (\mu - A) \\ \Delta \sin \Sigma \cos P = \sin \delta \cos D - \cos \delta \sin D \cos (\alpha - A) \\ \quad - r \sin \pi [\sin \Phi' \cos D - \cos \Phi' \sin D \cos (\mu - A)] \\ \Delta \cos \Sigma = \sin \delta \sin D + \cos \delta \cos D \cos (\alpha - A) \\ \quad - r \sin \pi [\sin \Phi' \sin D + \cos \Phi' \cos D \cos (\mu - A)] \end{cases}$$

welches die von *Lagrange* gegebenen Formeln, aber auf den Aequator bezogen, sind.

3.

Für den Anfang und das Ende einer Sternbedeckung ist

$$\Sigma = \rho'$$

und man hat

$$\Delta \sin P' = \sin \rho,$$

also auch

$$\Delta \sin \Sigma = \sin \rho;$$

wodurch der scheinbare Halbmesser des Mondes aus den beiden ersten der Formeln [2] verschwindet, wenn man sie

I

auf die Berechnung eines Eintritts oder Austritts anwendet. Man hat also für diese Phasen

$$[3] \begin{cases} \sin p \sin P = -\cos \delta \sin(\mu - A) + r \cos \phi' \sin \pi \sin(\mu - A) \\ \sin p \cos P = -\sin \delta \cos D - \cos \delta \sin D \cos(\mu - A) \\ \quad - r \sin \pi [\sin \phi' \cos D - \cos \phi' \sin D \cos(\mu - A)]. \end{cases}$$

und man gebrauchte die 3^{te} Formel [2] nicht weiter, da sie nur darüber entscheidet ob die Entfernung p' oder $180^\circ - p'$ ist, welches ohnedies nicht zweifelhaft ist.

Dividirt man diese Formeln durch $\sin \pi$, und setzt man $\sin p = k \sin \pi$, wo die Constante k , nach *Buerkhardt's* Tafeln = 0,2725, ihr Logarithme = 9,4353665 ist, so verändern sie sich in

$$[4] \begin{cases} k \sin P = -\frac{\cos \delta \sin(\mu - A)}{\sin \pi} + r \cos \phi' \sin(\mu - A) \\ k \cos P = \frac{\sin \delta \cos D - \cos \delta \sin D \cos(\mu - A)}{\sin \pi} \\ \quad - r [\sin \phi' \cos D - \cos \phi' \sin D \cos(\mu - A)] \end{cases}$$

welche Formeln aus zwei getrennten Theilen bestehen, deren erster sich allein auf den Mond, der andere allein auf den Beobachtungsort bezieht. Die Summa der Quadrate beider giebt die Gleichung

$$[5] \dots k^2 = \left\{ \frac{\cos \delta \sin(\mu - A)}{\sin \pi} - r \cos \phi' \sin(\mu - A) \right\}^2 + \left\{ \frac{\sin \delta \cos D - \cos \delta \sin D \cos(\mu - A)}{\sin \pi} - r [\sin \phi' \cos D - \cos \phi' \sin D \cos(\mu - A)] \right\}^2$$

welche, indem die beiden zum Quadrate erhobenen Theile, als Functionen der Zeit angesehen werden können, nur die Zeit des Ein- und Austritts als unbekannte GröÙe enthält.

4.

Da dieser Gleichung, ohne Einschränkung genommen, die Zeiten unendlich vieler Ein- und Austritte des Sterns genügen müssen, so ist sie transcendent und kann daher nicht direct aufgelöst werden; sie muß also entweder durch Versuche, oder durch aufeinanderfolgende Näherungen aufgelöst werden. Das letztere scheint mir das zweckmäßigste zu seyn. Ich nehme daher α, δ, π, μ für eine Zeit T als bekannt an, welche der gesuchten Zeit $T + t$ des Eintritts oder Austritts so nahe liegt, daß man die Glieder rechts vom Gleichheitszeichen in schnell convergirende Reihen verändern kann. Setzt man, unter dieser Voraussetzung,

$$\begin{aligned} \frac{\cos \delta \sin(\mu - A)}{\sin \pi} \dots &= p + p't \\ \sin \delta \cos D - \cos \delta \sin D \cos(\mu - A) &= q + q't \\ r \cos \phi' \sin(\mu - A) &= u + u't \\ r \sin \phi' \cos D - r \cos \phi' \sin D \cos(\mu - A) &= v + v't \end{aligned}$$

so sind p, q, u, v die zu der Zeit T gehörigen Werthe; p', q', u', v' aber selbst Functionen von t , in welchen jedoch, der Voraussetzung gemäß, die von t und seinen Potenzen abhängigen Glieder sehr klein sind. Setzt man t , in sofern es auf diese GröÙen Einfluß hat, als näherungsweise bekannt voraus, so ergibt die Auflösung der Gleichung [5], oder in ihrer jetzigen Form

$$[6] \quad k^2 = [p - u + (p' - u')t]^2 + [q - v + (q' - v')t]^2$$

eine stärkere Annäherung für t ; durch diese erhält man Werthe von $p' - u'$ und $q' - v'$, welche näher richtig sind als die der Rechnung zum Grunde gelegten, und, wenn man die Rechnung damit wiederholt, eine weitere Annäherung für t , u. s. w.

Die Auflösung der Gleichung [6] wird sehr bequem, wenn man

$$\begin{aligned} p - u &= m \sin M & p' - u' &= n \sin N \\ q - v &= m \cos M & q' - v' &= n \cos N \end{aligned}$$

setzt, wodurch sie sich in

$$k^2 = m^2 \sin^2(M - N)^2 + [m \cos(M - N) + n]^2$$

verwandelt, und wenn man

$$\frac{m}{k} \sin(M - N) = \cos \psi$$

setzt,

$$[7] \dots t = -\frac{m}{n} \cos(M - N) + \frac{k}{n} \sin \psi$$

ergiebt, wo das obere Zeichen für den Eintritt, das untere für den Austritt gilt, vorausgesetzt daß man $\psi < 180^\circ$ genommen hat, was immer geschehen kann. Findet man aber $\frac{m}{k} \sin(M - N) > 1$, so erfolgt keine Bedeckung, sondern der Mond geht bei dem Sterne vorbei ohne ihn zu bedecken. Es versteht sich übrigens, daß dieses nur bei vollendeter Annäherung nothwendig wahr ist, und daß ein Fehler in N eine Bedeckung als nicht stattfindend erscheinen lassen kann, welche wirklich stattfindet, oder umgekehrt. Hat man $\cos \psi > 1$ gefunden, so wird man dennoch t , nach der Formel

$$t = -\frac{m}{n} \cos(M - N)$$

bestimmen und hienäht die Annäherungen fortsetzen können, wodurch es sich entscheiden wird, ob $\cos \psi$ wirklich gröÙer ist als 1; eben so kann ein in einer früheren Annäherung möglich erscheinendes ψ , bei einer weiter getriebenen sich als unmöglich zeigen. Diese Fälle werden aber, wenn T von der Zeit der Bedeckung nicht gar zu entfernt ist, nur bei Bedeckungen vorkommen, bei welchen der Stern dem Mondrande sehr nahe bleibt.

Indem, durch die Einführung der Bezeichnungen in diesem Art. die Formeln [4] sich in

$$k \sin P = -m \sin M - n \sin N, \quad (1)$$

$$k \cos P = m \cos M + n \cos N, t$$

verwandelt, so erhält man nach der Substitution des Werths von t

$$k \sin P \equiv -m \sin (M-N) \cos N + k \sin N \sin \psi$$

$$k \cos P = -m \sin(M-N) \sin N + k \cos N \sin \psi$$

und, da $m \sin(M-N) = k \cos \psi$ ist,

$$\sin P \equiv -\cos(N + \psi)$$

$$\cos P = -\sin(N + \psi)$$

WORAUS

[8] $P = 270^\circ - N \mp \downarrow$

folgt. Will man den Ort des Eintritts und Austritts durch den Winkel, welchen die vom Mittelpunkt des Mondes nach dem Sterne und dem Nordpole gezogenen größten Kreise einschließen, von Norden links herum gezählt, angeben, so hat man diesen Winkel sehr nahe

$$Q = 180^\circ - P = N + \psi - 90^\circ$$

5

Die Größen p, q, p', q' , welche von der Bewegung des Mondes abhängen, findet man am bequemsten durch Berechnung der Werthe von

$$\frac{\cos \delta \sin (x-A)}{\sin \pi} \text{ und } \frac{\sin \delta \cos D - \cos \delta \sin D \cos (x-A)}{\sin \pi}$$

x_i	12 X	288 X'	10368 X''	497664 X'''
8	8	28	-224	-7280
7	7	13	91	3570
6	6	0	0	0
5	5	11	55	3280
4	4	20	80	6160
3	3	27	81	8505
2	2	32	64	10240
1	1	35	35	11305
0	0	36	0	11664
-1	-1	35	-35	11305
-2	-2	32	-64	10240
-3	-3	27	-81	8505
-4	-4	20	-80	6160
-5	-5	11	-55	3280
-6	-6	0	0	0
-7	-7	13	91	3575
-8	-8	28	-224	-7280

6.

Für das von Herrn Professor *Ecke* gegebene Beispiel, nämlich die Bedeckung 82 Leonis am 5. April 1830, hat man, aus der Ephemeride, die gerade Aufsteigung des Mondes

für verschiedene Zeiten, wobei man dem letzteren die Form

$$\frac{\sin(\delta - D) \cos \frac{1}{2}(x - A)^2 + \sin(\delta + D) \sin \frac{1}{2}(x - A)^2}{\sin \pi}$$

geben kann. Man wird dabei die der Mitte der Bedeckung nächste volle Stunde des Orts, für welchen die Ephemeride berechnet ist, für T annehmen, und für die übrigen Zeiten die vorhergehenden und folgenden vollen Stunden, wodurch man den Vortheil erhält, die Interpolation aus der Ephemeride mit ein für allemal berechneten Coefficienten machen zu können. Damit man alles sich auf diese Rechnung beziehende beisammen habe, theile ich hier eine Tafel für diese Coefficienten mit, welche sich auf das Schema:

$$\underbrace{\tau_i, a_i}_{\text{Zeichen. Oerter.}} \quad b \quad c_i \quad d \quad e_i \dots$$

bezieht, in welchem a , und a' die in der Ephemeride enthaltenen Oerter für den Anfang τ , und das Ende τ' des halben Tages, in welchem T , $T+1$, $T+2$, ... liegen, b die erste Differenz, c , und c' die zweiten Differenzen, etc. bezeichnen. Setzt man

$$a_i + a' = 2a; \quad c_i + c' = 2c; \quad e_i + e' = 2e; \dots$$

so hat man den zu der Zeit

$$1(\tau_1 + \tau_2) + x$$

gehörigen Ort, nach der Formel

$$a + X, b + X', c + X'', d + \text{etc.}, \dots$$

in welcher die Coefficienten folgende Werthe haben:

$\log X$	$\log X'$	$\log X''$	$\log X'''$
9.823919	9.89777	8.34355n	8.16520n
9.76592n	8.65455	7.94336n	7.86634n
9.60897n	—	—	—
9.61979n	8.58200n	7.72467	7.82013
9.52288n	8.84164n	7.88740	8.09264
9.39794n	8.97197n	7.80279	8.23274
9.21285n	9.04576n	7.79048	8.31536
8.92052n	9.08468n	7.62833	8.35633
—	9.09691n	—	8.36991
8.92082	9.08468n	7.92837n	8.35633
9.32185	9.04576n	7.79048n	8.31536
9.33794n	8.97197n	7.89279n	8.23274
9.51978n	8.84164n	7.88740n	8.09264
9.61979n	8.58200n	7.72467n	7.82013
9.69897	—	—	—
9.76592	8.65455	7.94336	7.86634n
8.82391	8.97777	8.34355	8.16520n

April 4	0	153	41	31,8	5	50	21,1	-4	25,3		
	12	159	31	52,9	5	45	55,8	-3	29,8	+55,5	
5	0	165	17	48,7	5	42	26,0	-2	32,6	+57,2	+1,7
	12	171	0	14,7	5	39	53,4	-1	35,5	+57,1	-0,1
6	0	176	40	8,1	5	38	17,9				
	12	182	18	26,0							

I*

also

$$\begin{array}{rcl} a & = & 168^{\circ} 9' 1,7'' \\ b & = & +542' 26,0'' \\ c & = & -3' 1,2'' \\ d & = & -3' 33,25'' \\ e & = & +57,8'' \end{array}$$

Eben so für die Abweichung

$$\begin{array}{rcl} a & = & +4' 52' 45,55'' \\ b & = & -1' 48' 44,7'' \\ c & = & -3' 33,25'' \\ d & = & +1' 1,7'' \\ e & = & -1,0'' \end{array}$$

und für die Parallaxe

$$\begin{array}{rcl} a & = & 54' 12,2'' \\ b & = & -7,0'' \\ c & = & +1,8'' \end{array}$$

Hieraus ergibt sich, für 5^u, 6^u, 7^u, 8^u, 9^u MZ. in Berlin

$$\begin{array}{rcl} \begin{array}{c} u \\ 5 \\ 6 \\ 7 \\ 8 \\ 9 \end{array} & \begin{array}{c} a \\ 167 \\ 168 \\ 168 \\ 169 \\ 169 \end{array} & \begin{array}{c} 40 \\ 51,76 \\ 24,37 \\ 55,72 \\ 34,54,75 \end{array} & + & \begin{array}{c} b \\ 5 \\ 4 \\ 4 \\ 4 \\ 4 \end{array} & \begin{array}{c} 2 \\ 8,09 \\ 4,54 \\ 4,69 \\ 4,69 \end{array} & \begin{array}{c} c \\ 54' \\ 12,30 \\ 12,43 \\ 11,84 \\ 10,62 \end{array} \end{array}$$

Wenn man den Ort des Sterns, übereinstimmend mit *Encke*,

$$A = 169^{\circ} 14' 6'', 6; D = +4^{\circ} 14' 4'', 8$$

annimmt, so erhält man hieraus die Werthe von

$$\frac{\cos \delta \sin(\alpha - A)}{\sin \pi}$$

$$\begin{array}{rcl} \begin{array}{c} u \\ 5 \\ 6 \\ 7 \\ 8 \\ 9 \end{array} & \begin{array}{c} a \\ -1,71312 \\ -1,18928 \\ -0,66532 \\ -0,14126 \\ -0,38284 \end{array} & \begin{array}{c} b \\ +52384 \\ +52396 \\ +52406 \\ +52410 \end{array} & \begin{array}{c} c \\ +12 \\ +10 \\ +4 \end{array} & \begin{array}{c} d \\ -2 \\ -6 \end{array} \end{array}$$

und die Werthe von

$$\frac{\sin(\delta - D) \cos \frac{1}{2}(\alpha - A)^2 + \sin(\delta + D) \sin \frac{1}{2}(\alpha - A)^2}{\sin \pi}$$

$$\begin{array}{rcl} \begin{array}{c} 5^u \\ 6 \\ 7 \\ 8 \\ 9 \end{array} & \begin{array}{c} +0,88807 \\ +0,72029 \\ +0,55240 \\ +0,38447 \\ +0,21650 \end{array} & \begin{array}{c} -16778 \\ -16789 \\ -16793 \\ -16795 \\ -16797 \end{array} & \begin{array}{c} -11 \\ -4 \end{array} & + & \begin{array}{c} 7 \\ 4 \end{array} \end{array}$$

Hat man für eine ungerade Anzahl von Stunden gerechnet, in deren Mitte die Stunde T liegt, so ist die Formel zur Interpolation der Columnae a

$$a + \epsilon \cdot b + \frac{\epsilon^2}{2} \cdot c + \frac{\epsilon^3 - \epsilon}{2 \cdot 3} \cdot d + \text{etc.} \dots$$

$$= a + \epsilon \left\{ b - \frac{1}{6} d + \frac{\epsilon}{2} c + \frac{\epsilon^2}{6} d \dots \right\}$$

woraus sich, für das Beispiel, ergibt:

$$\begin{array}{l} p = -0,66532 \\ p' = +0,524017 + \epsilon \cdot 0,00005 - \epsilon \cdot 0,000007 \\ q = +0,55240 \\ q' = -0,167904 - \epsilon \cdot 0,00002 + \epsilon \cdot 0,000006 \end{array}$$

Ich glaube aber nicht, daß es je ein Interesse haben wird, über die 2^{ten} Differenzen hinauszugehen, oder die Rechnung für mehr als 3 Stunden zu machen; will man die Genauigkeit weiter treiben, so wird man auch eine größere Anzahl von Decimals anwenden müssen, als hier geschehen ist.

7.

Die sich auf den Beobachtungsort beziehenden Größen u, v, u', v' hängen sowohl von der Polhöhe desselben, als von der Sternzeit ab. Es ist unnötig p und q' besonders zu berechnen, indem man

$$r \cos \phi' = \frac{\cos \phi}{\sqrt{(1 - \epsilon \epsilon \sin^2 \phi^2)}}; r \sin \phi' = \frac{(1 - \epsilon \epsilon) \sin \phi}{\sqrt{(1 - \epsilon \epsilon \sin^2 \phi^2)}}$$

hat, wo ϵ die Excentricität der Erdmeridiane bedeutet. Für das Beispiel des Herrn Prof. *Encke* ist $\phi = 52^{\circ} 31' 15''$ und die Abplattung $= \frac{1}{305,73}$, woraus

$$\log . r \cos \phi' = 9,78505$$

$$\log . r \sin \phi' = 9,89752$$

folgen.

Bezeichnet man die zu der mittleren Zeit T gehörige, in Bogentheilen ausgedrückte Sternzeit durch μ' , so ist die zu der Zeit $T + \epsilon$ gehörige

$$\mu = \mu' + \epsilon \cdot 54147'' 84,$$

woraus

$$\begin{array}{l} \sin(\mu - A) = \sin(\mu' - A) + 2 \sin[\epsilon \cdot 27073'', 92] \cos[\mu' - A + \epsilon \cdot 27073'', 92] \\ \cos(\mu - A) = \cos(\mu' - A) - 2 \sin[\epsilon \cdot 27073'', 92] \sin[\mu' - A + \epsilon \cdot 27073'', 92] \end{array}$$

folgt. Man hat daher

$$u = r \cos \phi' \cdot \sin(\mu' - A)$$

$$v = r \sin \phi' \cos D - r \cos \phi' \sin D \cos(\mu' - A)$$

$$u' = r \cos \phi' \cdot \frac{2 \sin[\epsilon \cdot 27073'', 92]}{\epsilon} \cos[\mu' - A + \epsilon \cdot 27073'', 92]$$

$$v' = r \cos \phi' \sin D \cdot \frac{2 \sin[\epsilon \cdot 27073'', 92]}{\epsilon} \sin[\mu' - A + \epsilon \cdot 27073'', 92]$$

Zur leichteren Berechnung von u und v' ist diesem Aufsatze eine Tafel angehängt, welche

$$\log \frac{2 \sin[\epsilon \cdot 27073'', 92]}{\epsilon} = \log \lambda$$

und $\epsilon \cdot 27073'', 92 = \lambda$
von $\epsilon = 0$ bis $\epsilon = 1,5$ enthält.

8.

Ich werde jetzt das oben schon angeführte Beispiel vollenden. Man hat, für $T = 7^u$, die Sternzeit. $= 7^u 54' 7'' 264$, also

$$\begin{aligned}\mu' &= 115^{\circ} 31' 49.9'' \\ \mu' - A &= -50^{\circ} 42' 17.6''\end{aligned}$$

Hieraus folgt

$$u = -0,47177; \quad v = +0,75914$$

und ferner

$$\begin{aligned}m \sin M &= p - u = -0,19355 \\ m \cos M &= q - v = -0,20674 \\ M &= 223^{\circ} 6' 46''; \quad \log m = 9,45210.\end{aligned}$$

Zur ersten Annäherung an t wird sein Werth, in den Ausdrücken von p' , q' , u' , v' = 0 gesetzt, wodurch man erhält

$$\begin{aligned}p' &= +0,5240 \\ u' &= +0,1013 \\ n \sin N &= +0,4227; \quad n \cos N = -0,1588 \\ N &= 110^{\circ} 35' 26''; \quad \log n = 9,65470 \\ t &= +0,2402 \quad +0,1690\end{aligned}$$

oder

$$\text{Eintritt } 7,0712; \quad \text{Austritt } 7,4092$$

Hiermit erhält man zur zweiten Annäherung, aus den Formeln des 6^{ten} Art.

	Eintritt.	Austritt.
$p' \dots$	$+0,52402$	$+0,52404$
$q' \dots$	$-0,16790$	$-0,16791$

und aus der Tafel am Ende dieses Aufsatzes

$$\begin{aligned}u \dots \dots &+ 32' 7''.7 & + 3^{\circ} 4' 38''.6 \\ \log \lambda \dots \dots &9,41915 & 9,41895\end{aligned}$$

wodurch ferner gefunden wird

$$\begin{aligned}u' &= +0,10250 & +0,10780 \\ v' &= -0,00907 & -0,00873 \\ n \sin N &= +0,42152 & +0,41624 \\ n \cos N &= -0,15883 & -0,15918 \\ N &= 110^{\circ} 38' 47'' & 110^{\circ} 55' 41'' \\ \log n &= 9,65365 & 9,64898 \\ t &= \begin{cases} +0,24026 \\ -0,16857 \end{cases} & \begin{cases} +0,23997 \\ +0,16621 \end{cases} \\ &= +0,07169 & +0,40618\end{aligned}$$

Die dritte Annäherung giebt die bei der zweiten gefundenen Werthe von p' und q' wieder; ferner

$$\begin{aligned}u \dots \dots &+ 32' 20''.9 & + 3^{\circ} 2' 56''.9 \\ \log \lambda \dots \dots &9,41915 & 9,41895 \\ u' &= +0,10251 & +0,10774 \\ v' &= -0,00907 & -0,00873 \\ n \sin N &= +0,42151 & +0,41630 \\ n \cos N &= -0,15883 & -0,15918 \\ N &= 110^{\circ} 38' 43'' & 110^{\circ} 55' 30'' \\ \log n &= 9,65364 & 9,64904 \\ t &= \begin{cases} +0,24026 \\ -0,16857 \end{cases} & \begin{cases} +0,23996 \\ -0,16623 \end{cases} \\ &= +0,07169 & +0,40621\end{aligned}$$

wodurch, bei der unmerklichen Abweichung von der zweiten Annäherung, das Ende der Rechnung erreicht ist. Man hat also die Zeiten beider Phasen

$$= 7^{\text{h}} 4' 18''.4 \quad \text{und} \quad 7^{\text{h}} 34' 22''.4$$

und den oben durch Q bezeichneten Winkel

$$= 36^{\circ} 49'.6 \quad \text{und} \quad 5^{\circ} 9'.2$$

9.

Eine so genaue Rechnung hat indessen kein Interesse, wenn es nur darauf ankommt, die Momente der Bedeckung, Behufs der anzustellenden Beobachtung, vorauszuberechnen; hier ist ein Fehler von einer Zeiminute von gar keinem Belange, und wenn man nur das zu diesem Zwecke notwendige haben will, so darf man, unter der Bedingung, daß t nicht über eine Stunde, oder wenigstens nicht viel darüber beträgt ^{*)}, folgende weit kürzere Rechnung anwenden. Für

$$\frac{\cos \delta \sin (u - A)}{\sin \pi} \quad \text{und} \quad \frac{\sin \delta \cos D - \cos \delta \sin D \cos (u - A)}{\sin \pi}$$

setzt man

$$\frac{u - A}{\pi} \cos \delta \quad \text{und} \quad \frac{\delta - D}{\pi}$$

und wenn man auch die Veränderungen von $\cos \delta$ und π vernachlässigt, unter u und δ die AR. und Decl. des Mondes zur Zeit T und unter Δu und $\Delta \delta$ ihre stündlichen Veränderungen versteht,

$$\begin{aligned}p &= \frac{u - A}{\pi} \cos \delta; & p' &= \frac{\Delta u}{\pi} \cos \delta \\ q &= \frac{\delta - D}{\pi}; & q' &= \frac{\Delta \delta}{\pi}\end{aligned}$$

Ferner vernachlässigt man t in den Ausdrücken von u' und v' wodurch man erhält

$$\begin{aligned}u &= r \cos \Phi' \sin (\mu' - A) \\ v &= r \sin \Phi' \cos D - r \cos \Phi' \sin D \cos (\mu' - A) \\ u' &= r \cos \Phi' \cdot \lambda \cos (\mu' - A) \\ v' &= r \cos \Phi' \cdot \lambda \sin (\mu' - A) \sin D\end{aligned}$$

Für den Ort, für welchen man rechnen will, sind die Logarithmen von $r \cos \Phi'$ und $r \sin \Phi'$ als gegeben anzunehmen. Schreibt man

$$\begin{aligned}a &\text{ für } r \cos \Phi' \sin (\mu' - A) \\ b &\text{ für } r \cos \Phi' \cos (\mu' - A) \\ c &\dots r \sin \Phi' \cos D\end{aligned}$$

^{*)} Sollte sich diese Voraussetzung am Ende der Rechnung nicht rechtfertigen, oder man aus anderen Gründen eine größere Genauigkeit wünschen, so wird man dieselbe schon durch die zweite Annäherung für u' und v' , ohne p' und q' zu ändern, erhalten.

Hülftafel zur Vorausberechnung der Sternbedeckungen.

t	$\log \lambda$	κ	t	$\log \lambda$	κ	t	$\log \lambda$	κ
0,00	9,41916	0 0 0,0	0,50	9,41884	3 45 37,0	1,00	9,41791	7 31 13,9
0,01	916	0 4 30,7	0,51	883	3 50 7,7	1,01	788	7 35 44,7
0,02	916	0 9 1,5	0,52	862	3 54 38,4	1,02	786	7 40 15,4
0,03	915	0 13 32,3	0,53	881	3 59 9,2	1,03	783	7 44 46,1
0,04	915	0 18 3,0	0,54	879	4 3 39,5	1,04	781	7 49 16,9
0,05	915	0 22 33,7	0,55	878	4 8 10,7	1,05	778	7 53 47,6
0,06	915	0 27 4,4	0,56	876	4 12 41,4	1,06	775	7 58 18,4
0,07	915	0 31 35,2	0,57	875	4 17 12,1	1,07	773	8 2 49,1
0,08	915	0 36 5,9	0,58	874	4 21 42,9	1,08	770	8 7 19,8
0,09	915	0 40 36,7	0,59	872	4 26 13,6	1,09	767	8 11 50,6
0,10	914	0 45 7,4	0,60	871	4 30 44,4	1,10	765	8 16 21,3
0,11	914	0 49 38,1	0,61	869	4 35 15,1	1,11	762	8 20 52,1
0,12	914	0 54 8,9	0,62	868	4 39 45,8	1,12	759	8 25 22,8
0,13	913	0 58 39,6	0,63	866	4 44 16,6	1,13	756	8 29 53,5
0,14	913	1 3 10,4	0,64	865	4 48 47,3	1,14	753	8 34 24,3
0,15	913	1 7 41,1	0,65	863	4 53 18,1	1,15	751	8 38 55,0
0,16	912	1 12 11,8	0,66	861	4 57 48,8	1,16	748	8 43 25,8
0,17	912	1 16 42,6	0,67	860	5 2 19,5	1,17	745	8 47 56,5
0,18	912	1 21 13,3	0,68	858	5 6 50,3	1,18	742	8 52 27,2
0,19	911	1 25 44,1	0,69	856	5 11 21,0	1,19	739	8 56 58,0
0,20	911	1 30 14,8	0,70	854	5 15 51,7	1,20	736	9 1 28,7
0,21	910	1 34 45,5	0,71	853	5 20 22,5	1,21	733	9 5 59,5
0,22	910	1 39 16,3	0,72	851	5 24 53,2	1,22	730	9 10 30,2
0,23	909	1 43 47,0	0,73	849	5 29 24,0	1,23	727	9 15 0,9
0,24	908	1 48 17,7	0,74	847	5 33 54,7	1,24	724	9 19 31,7
0,25	908	1 52 48,5	0,75	845	5 38 25,4	1,25	721	9 24 2,4
0,26	907	1 57 19,2	0,76	844	5 42 56,2	1,26	717	9 28 33,2
0,27	907	2 1 50,0	0,77	842	5 47 26,9	1,27	714	9 33 3,9
0,28	906	2 6 20,7	0,78	840	5 51 57,7	1,28	711	9 37 34,6
0,29	905	2 10 51,4	0,79	838	5 56 28,4	1,29	708	9 42 5,4
0,30	904	2 15 22,2	0,80	836	6 0 59,1	1,30	705	9 46 36,1
0,31	904	2 19 52,9	0,81	834	6 5 29,9	1,31	701	9 51 6,8
0,32	903	2 24 23,7	0,82	832	6 10 0,6	1,32	698	9 55 37,6
0,33	902	2 28 54,4	0,83	830	6 14 31,4	1,33	695	10 0 8,3
0,34	901	2 33 25,1	0,84	828	6 19 2,1	1,34	691	10 4 39,1
0,35	900	2 37 55,9	0,85	825	6 23 32,8	1,35	688	10 9 9,8
0,36	899	2 42 26,6	0,86	823	6 28 3,6	1,36	685	10 13 40,5
0,37	899	2 46 57,4	0,87	821	6 32 34,3	1,37	681	10 18 11,3
0,38	898	2 51 28,1	0,88	819	6 37 5,1	1,38	678	10 22 42,0
0,39	897	2 55 58,8	0,89	817	6 41 35,8	1,39	674	10 27 12,8
0,40	896	3 0 29,6	0,90	815	6 46 6,5	1,40	671	10 31 43,5
0,41	895	3 5 0,3	0,91	812	6 50 37,3	1,41	667	10 36 14,2
0,42	894	3 9 31,1	0,92	810	6 55 8,0	1,42	664	10 40 45,0
0,43	893	3 14 1,8	0,93	808	6 59 38,8	1,43	660	10 45 15,7
0,44	891	3 18 32,5	0,94	805	7 4 9,5	1,44	657	10 49 46,5
0,45	890	3 23 3,3	0,95	803	7 8 40,2	1,45	653	10 54 17,2
0,46	889	3 27 34,0	0,96	801	7 13 11,0	1,46	649	10 58 47,9
0,47	888	3 32 4,8	0,97	798	7 17 41,7	1,47	646	11 3 18,7
0,48	887	3 36 35,5	0,98	796	7 22 12,5	1,48	642	11 7 49,4
0,49	885	3 41 6,2	0,99	793	7 26 43,2	1,49	638	11 12 20,2
0,50	884	3 45 37,0	1,00	791	7 31 13,9	1,50	635	11 16 30,9

Bessel.

Anzeige aus dem Schreiben des Herrn Hofrath und Ritters Gause an den Herausgeber. 1827. Oct. 11.

Herr meine verehrte Herrschaft, ich habe, die aus dem von der Beobachtung erhaltenen, in der folgenden Columnen stehenden Resultate (wie sie bei der Correction gewonnen, oder vermehrt aus der ausgeh. von Columnen Hinführung 1821 resultirt) an der genaueren die für den beobachteten Rand zu nehmen, der Unter-

1827 Sept.	17.	47	0	51.53	6.31
— 15	1.	48	32	42.39	6.37
— 21	0.	50	20	23.69	6.61
— 23	0.	50	43	46.00	6.65
— 28	0.	51	7	8.88	6.79
Oct. 3	1.	55	33	6.57	7.05
— 4	1.	55	56	13.55	7.09
— 5	0.	55	47	23.33	7.12

Den 9^{ten}, um welche ich den Sonnenhalbmesser vermindern werde, können vermischt zum Theile davon abhängen, daß bei dem Vertheil hier die Halbmesser des Sonnenradius, wo die eine Hälfte hell, die andere dunkel ist, etwas individuelles mit einander laugt.

scheidet er aber nur ± 0.03 und gleich weit aus), dann die mit der Polhöhe $51^{\circ} 31' 45''$, und dem Sonnenhalbmesser aus dem Hinführung von 1821 berechnete Declination, dann die Differenz mit dem Hinführung, dann die Differenz wenn, wie aus allem sich ergebe, $dr = -0.77$ gesetzt wird.

+ 4 45' 58.75	+ 3.65	- dr	+ 4.42
+ 3 15' 6.57	+ 1.93	- dr	+ 2.50
+ 0 55 39.74	+ 2.59	- dr	+ 4.29
+ 0 32 10.29	+ 4.50	- dr	+ 4.13
+ 0 8 47.59	+ 3.40	- dr	+ 2.67
+ 3 45' 4.43	+ 3.63	- dr	+ 4.49
- 4 8 17.11	+ 1.91	- dr	+ 2.68
- 4 31 30.25	+ 3.65	- dr	+ 2.78

Ich übersende Ihnen ferner hier meine Cerebeobachtungen.

1827 Sept. 27	12 11 56.7 M.Z.	8 30 36.1	13 14 56.1
Oct. 3	11 42 56.2	7 34 37.6	13 41 34.8
— 4	11 38 3.7	7 21 56.4	13 45 6.0
— 5	11 33 17.7	7 9 22.8	13 48 24.9
— 6	11 28 31.9	6 56 52.9	13 51 37.1

Gause.

Beobachtungen der Vesta auf der Prager Sternwarte zur Zeit ihres Erscheinens 1827.

Von Professor Bittner.

Den 17, 18, 19 December ward Vesta verglichen mit 2 \times und 14, am 25 Decbr. mit 1 und 4 \times im Orion. Die scheinbaren Orte dieser Sterne waren:

			Scheinbare	
			Aufsteigung.	nördl. Abweichung.
Dec. 18.	2 \times	84 11 55.1	19 42 28.1	
— 18.	1 \times	90 27 48.7	19 49 12.7	
— 27.	1 \times	85 8 27.8	20 14 7.9	
— 4	4 \times	88 25 57	20 7 59.1	

Prager nördl. Zeit.		Rechtw. Aufst. der Vesta.	Nördl. Abweichung.
1827 Dec. 17.	11 ^h 56 ^m 2 ^s	84 ^h 51 ^m 25 ^s	19 ^h 46 ^m 3 ^s
— 18.	11 51 1	84 34 29.5	19 48 9
— 19.	11 46 0	84 17 34	19 50 14
— 20.	10 55 49.3	81 34 10	20 11 41

Den 16 April 1828 Eintritt eines Sterns R in dunkeln Mondrand welcher Zeit um 8^h 35^m 26^s 37th um 1-2th plötzlich.
20 April. Eintritt in dunkl. Rand um 10^h 47^m 41.2^s plötzlich.
R in Gr. — — — — — 10 48 50.2 plötzlich.
21 — — — — — 11 0 59.8 plötzlich.

Am 9 Mai 1828 erhielt die Prager Sternwarte aus dem polytechnischen Institute zu Wien zwei vortreffliche Hauptinstrumente:

1. Einen 3füßigen Meridiankreis.
2. Ein 3füßiges Mitagsrohr mit achromatischen Objectivgläsern vom sel. Fraunhofer. Die Bauart und Verrichtung ist ganz so, wie sie Herr Director Littrow in seiner Beschreibung der neuen Sternwarte in Wien R. 12 und 13 angegeben hat.

Nebst diesen besitzt die Prager Sternwarte noch

3. Den 3füßigen Vollkreis von Fraunhofer, den Herr Ritter Bessel bei seiner Durchreise durch Prag 1827 mit vielem Beyfalle in Augenschein nahm, und sehr bedauerte, daß an der Sternwarte kein angemessener Ort vorhanden ist, ihn zum Gebrauche fest aufzustellen.
4. Ein 3füßiges Fernrohr mit einem vortrefflichen Objectiv vom alten Dollond, der zuerst achromatische Gläser verfertigt, mit einer paralaktischen Aufstellung.
5. Ein Universalinstrument vom sel. Reichenbach aus München.
6. Einen guten 3füßigen Quadranten von Hubert zu Würzburg, dessen äußeres Schraubenmikrometer einzelne Sekunden angibt.
7. Ein achromatisches Fernrohr vom sel. Fraunhofer gleich dem in der genannten Beschreibung S. 14. Nr. XIII.
8. Einen Cometenmacher, wie Nr. XIV.

Zur Zeitbestimmung befinden sich auf der Sternwarte sechs astronomische Penduluhren. Die von Lepaute aus Paris hat der bey der Sternwarte angestellte geschickte Uhrmacher Joseph Kossek durchaus mit Rubinen besetzt.

Da Seine Majestät Kaiser Franz die Prager Sternwarte mit so vortrefflichen Instrumenten ausgerüstet haben, hat man Grund zu erwarten, daß Seine Majestät auch eine zweckmäßige neue Sternwarte herstellen werden, um diese kostbaren Instrumente fest aufzustellen, und zum Nutzen der Wissenschaft zu gebrauchen.

Prag den 27 Mai 1828.

Prof. David,
Vorsteher der Prager Sternwarte.

Altona im September 1828.

ASTRONOMISCHE NACHRICHTEN.

N^o 146.

Einige, von verschiedenen Beobachtern im nördlichen Europa angestellte magnetische Beobachtungen, über Neigung und Intensität.

Mitgetheilt von Herrn Professor *Hanström*.

Mit 3 Steindrucktafeln.

Wenn gleich die magnetischen Beobachtungen nicht zur Astronomie, sondern zur physischen Geographie gehören, so möchte ich sie doch gerne der Aufmerksamkeit der Herren Astronomen anempfehlen, da sie Apparate und Fertigkeiten erfordern, die der gewöhnliche Physiker nicht immer besitzt. Die Abweichung setzt eine genaue Zeitbestimmung, oder eine Mittagslinie voraus, und heides kann nicht ohne astronomische Vorkenntnisse und Instrumente erhalten werden. Die Untersuchung des Collimationsfehlers ist bei den gewöhnlichen Compassen nicht ganz leicht, insofern wird der Astronom die Schwierigkeiten zu beseitigen wissen. Die Intensität wird durch die Zeit bestimmt, worin eine, an einem Seidenwurmfaden aufgehängte horiz. Magnetnadel, eine gewisse Anzahl von Schwingungen macht. Zur genauen Bestimmung der Secunden und deren Theile ist ein Chronometer erforderlich, dessen Gang bekannt ist, und eine Uebung im Schätzen dieser kleinern Theile, die man selten ohne astronomische Beobachtungen erhält. Da die Inclinationsnadel nie so scharf balancirt werden kann, daß sie durch eine einfache Ablesung eine richtige Neigung giebt, so muß sie in die vier Hauptlagen umgelegt, und ihre Pole umgekehrt werden. Zugleich muß der getheilte Kreis während der Beobachtung so wohl gegen Osten als Westen gedreht werden, um den Fehler aufzuheben, der aus dem möglichen Winkel der Agalfleiben gegen den Horizont, und aus der Abweichung des verticalen Durchmessers von der wahren Verticallinie entstehen kann. Endlich können die Zapfen, worauf die Magnetnadel rollt, nicht vollkommen cylindrisch, und der getheilte Kreis magnetisch seyn. Bevor nicht alle diese Sachen untersucht sind, kann man nicht überzeugt seyn, daß die mit dem Instrumente erhaltenen Resultate frei von constanten Fehlern sind. Diese Proben, die dem Astronomen nicht schwer fallen, überschreiten die Geduld von vielen Beobachtern, und hierin muß man wohl die häufigen ungenauen und theils unbrauchbaren Bestimmungen der Neigung und Abweichung der Magnetnadel suchen.

Die beifolgende Tabelle entlieth:

1) Die Zeit von 300 horizontalen Schwingungen eines an einem Seidenwurmfaden aufgehängten magnetischen Stahlcylinders. Die von mir angestellten Beobachtungen sind mit einem von *Dollond* verfertigten Cylinder gemacht, der seit 1819 unverändert seine Kraft behalten hat. Die Observationen der übrigen Beobachter sind mit andern Cylindern ausgeführt, die vor und nach der Reise mit meinem Normaleylinder verglichen, und deren Schwingungszeiten auf die des meinigen gebracht worden sind. Alle Schwingungszeiten sind auf unendlich kleine Bögen, und auf eine constante Temperatur reducirt.

2) Die Neigung ist durch ein 5zölliges Inclinatorium von *Dollond* mit 2 Nadeln bestimmt, wovon die eine rund die andere flach ist. In beiden kann die Axe in verschiedene Lagen umgedreht werden. An der flachen Nadel ist mitunter ein kleines Gewicht angebracht, nach *Hofrath Meyers* Vorschlag, und die Neigung nach der trigonometrischen Formel berechnet. An allen wichtigern Punkten sind 4 bis 10 Reihen beobachtet, mit beiden Nadeln, sowohl mit als ohne Gewicht. Der wahrscheinliche Fehler einer einzelnen Reihe ist wenig über 5 Minuten.

3) Die magnetische Intensität. Bezeichnet man an einer gewissen Stelle auf der Oberfläche der Erde durch

F die Intensität

h den horizontalen Theil der Kraft

i die Neigung

T die Zeit von n horizontalen Schwingungen;

und nennt man an einer andern Stelle dieselben Größen F' , h' , i' , T' , so ist

$$h = F \cos i$$

$$h' = F' \cos i'$$

Es ist aber

$$h : h' = T'^2 : T^2 = F \cos i : F' \cos i'$$

2

Demnach ist

$$FT^2 \cos i = F'T'^2 \cos i'$$

d. h. $FT^2 \cos i$ ist eine constante Größe für diese Nadel, und man setze deshalb

$$I) \dots \dots FT^2 \cos i = C.$$

Hat man an einer gewissen Stelle der Erdoberfläche T und i beobachtet und ist F für diese Stelle bekannt, so läßt sich C finden, und folglich hat man für jede andre Stelle

$$II) \dots \dots P = \frac{C}{T^2 \cos i}$$

Es ist willkürlich welche Größe der Intensität man als Einheit annimmt. Herr von Humboldt fand im Jahre 1799, daß eine Inclinationsnadel, die in Paris 245 Schwingungen in 10 Zeitminuten machte, in Peru unter $79^\circ 1'$ südl. Breite und $66^\circ 4'$ westl. Länge, in derselben Zeit 211 Schwingungen machte, wo die Neigung damals 0° war. Er nimmt die Intensität an letzterer Stelle als Einheit an, und findet sie auf die Weise für Paris = 1,3462. Diese Pariser Intensität habe ich für meine Bestimmungen in der 3^{ten} Colonne der Tabelle zum Grunde gelegt.

Auf beiläufiger Karte, betitelt: Isodynamische Linien für den horizontalen Theil der magnetischen Kraft, sind ein großer Theil der in der 1^{sten} Colonne der Tabelle enthaltenen Schwingungszeiten, und mehrere frühere Beobachtungen, aufgezeichnet, und die Punkte wo diese Schwingungszeiten von einerlei Dauer sind, durch krumme Linien miteinander verbunden worden. Die Beobachtungen im südlichen Deutschland sind nach einer vorläu-

figen Reduction eingetragen, und weichen deshalb an mehreren Stellen um einige Sekunden von den genauern Werthen in der Tabelle ab. In Norwegen, Schweden und Finnland zeigen sich bedeutende Anomalien, die von dem Eisengehalt der Berge und des Bodens herrühren. In Dänemark und Deutschland verschwinden diese Anomalien beinahe gänzlich.

Auf der andern Karte, unter dem Titel: Neigungslinien und isodynamische Linien für die ganze magnetische Kraft, ist die Neigung durch die schwarzen, und die Intensität durch die punktierten Linien angedeutet. Diese beiden Liniensysteme sind nicht parallel untereinander. Auch diese Karte weicht etwas von den genauern Werthen der Tabelle ab, weil sie ebenfalls nach einer vorläufigen Reduction construiert worden ist. Sie ist indess hinreichend, um einen anschaulichen Begriff von dem Gange der Systeme in Europa zu geben.

Für die Abweichung habe ich eine Universalkarte fertig, worauf mehrere tausend neuere Beobachtungen construiert sind, welche ich im Jahre 1819, im Englischen Admiraltitäts-Archiv in London, sammelte, und wobei zugleich die interessantesten Beobachtungen in den Polargegenden von *Fury*, *Sabine*, *Franklin*, *Lütke*, *Wrangel* u. m. benutzt sind. Um diese Karte vollständig zu machen, fehlen mir bloß Beobachtungen aus Sibirien, wo ich selbst auf meiner Reise die nöthigen Materialien zu sammeln hoffe.

Hansteen.

Beobachtungen über die Neigung und Intensität der magnetischen Kräfte der Erde.

Beobachtungsort.	Zeit v. 300 horizont. Schwing.	Neigung.	Intensität.	Beobachtungsort.	Zeit v. 300 horizont. Schwing.	Neigung.	Intensität.
<i>Hansteen 1825</i>							
Christiania 7 Jul. in einer Stube	816,92	72 26,4	1,4305	Middtekov	"	73 55,3	
Johnsrud	834,99	73 23,4	1,4246	Egen	856,05		
Esge	843,55			Nehye	865,63	74 33,8	1,4234
Houg	853,45			Rörsas	863,89	74 41,7	1,4401
Heggen, Pfarrhof in Modum	847,68	73 47,4	1,4154	In der Grube, 13 Lachter unter der Oberfläche des Bergs	856,21		
Hougsund	845,11			Berget	865,55		
Moe	827,68			Hov	868,23		
Rasbolt in Eidvold	827,50			Ydset	864,07	74 49,1	1,4521
Harestad	841,20			Kirkvold	867,07		
Grundt	845,28	73 58,9	1,4399	Bogen	870,60		
Björnerstad	846,82	73 50,1	1,4221	Stürens Pfarrhof	863,77	74 27,6	1,4204
Vestgaard	851,83			Drontheim	866,77	74 41,7	1,4302
Agre	846,06			Hammer	865,47		
Bæret	851,67						

Beobachtungsort.	Zeit v. 300 horiz. ant. Schwing.	Neigung.	Intensität.	Beobachtungsort.	Zeit v. 300 horiz. ant. Schwing.	Neigung.	Intensität.
Levanger	869,77			Veyola Fåhre	864,89		
Röstad	869,98			Sipola	865,69		
Garneset	865,70	74 40,4	1,4332	Uleaborg	865,50	74 44,1	1,4396
Suul	868,12	74 36,9	1,4230	Sunila	856,35		
Skeltugan	873,07			Gertula	845,75		
Forssa	868,92			Brahstad	845,88	74 10,4	1,4549
Romo	867,46			Hannila	874,38		
Upland	863,44			Juvala	854,40		
Åberg	859,69			Hihnala	850,94		
Röddön	850,79			Wittick	850,88		
Kungsgården	849,61			Ålbors	853,06		
Östersund	845,90	73 55,9	1,4338	Nye-Carlebye	848,34	73 48,2	1,4143
Farbyn	854,06			Oravais	850,16		
Grimmåfs	852,57	74 6,8	1,4269	Wasa	848,14	73 49,1	1,4162
Brücke	851,40			Johannisdal	852,34		
Aista	843,73	73 42,6	1,4218	Näsbye	839,94		
Sundswall	843,72	73 37,9	1,4152	Tjäck	839,42	73 20,9	1,4062
Marks	848,65			Ömosa	836,83		
Hernösand	849,60	73 56,7	1,4208	Pistjurfvi	832,84		
Veda Fåhre über Ånger- manna Elv	850,28			Biörneborg	831,13	72 55,4	1,3996
Herrskog	853,06			Irjante	830,48		
Docksta	856,05	74 4,2	1,4116	Ihode	820,94		
Brösta	856,85			Koliseva	824,27		
Önaka	856,23			Åbo Bäckers Acker	816,94	72 9,9	1,3887
Lefvar	858,62			Salo	808,43		
Södermjöle	855,30			Biörbye	805,34		
Umeå	855,74	74 4,0	1,4126	Qvis	815,04		
Diäckeaboda	857,12			Helsingfors	815,08		
Ricklea	854,70			Stockholms Skären			
Selet	858,48			Furusund	813,86		
Bure	856,09			Stagnäse	806,75		
Frostkage	865,85			Lidingöen	813,07		
Byseka	866,63			Stockholm Hügel der Stern- warte	815,80	72 8,3	1,3921
Pilea	847,29	74 9,0	1,4480	Bockholmsund	815,69		
Gäddvik	869,60			Arboga	811,66		
Hvitan	849,83			Glanshammer	832,67		
Grönåfs	869,98	74 58,3	1,4467	Örebro	817,90		
Nickalan	852,63			Winterås-Sanna	836,81		
Hasparanda bey Tornes	877,51	75 12,7	1,4447	Storbjörboda	832,40		
Frankila	858,80			Christinehamn	825,70		
Pickilå	865,17			Rudsberg	825,13		
Ålkula (Ober-Tornes).	867,62	75 4,5	1,4644	Carlstad	823,13	72 33,4	1,3777
Kemi Fåhre	880,39			Præstbol	828,60		
Ruicks	867,38			Lerhol	829,93		

Beobachtungsort.	Zeit v. 300 horizont. Schwing.	Neigung.	Intensität.
Birand	830,17		
Nagbor	834,60	73 58,1	1,4198
Kongsvinger	850,93		
Reholt in Nes	835,20		
Christiania 19 Oct. in der Stube wie oben	818,38		
im Garten 22 Oct.	814,69		
ebendas. 1826. 2 März	817,37	72 36,3	

Keilhau, Bosc, Erman 1825—1827.

Königsberg (Erman)	763,1	69 0°	1,3650
Lübeck	774,9		
Breslau (Keilhau)	739,9		
(Erman)	742,85	68 4	
Leipzig	749,1	68 8,2	1,3588
Freiberg	745,1		
Meissen	747,5		
Berlin in einer Stube	764,2	68 35,8	
Dresden	747,4	67 41,3	1,3389
Tüplitz	745,2	67 28	1,3341
Wildrups	741,1		
Pang (Keilhau)	739,1	67 2	1,3320
(Erman)	739,3	67 11	
Manian	737,7		
Deutschbrod	733,7		
München (Erman)	726,7	66 20*	1,3393
Iglau	732,4	66 20	1,3186
Budwitz	728,4		
Mallebern	721,7		
Wien	719,6	65 33	1,3247
Baden	718,3		
Altenmarkt	719,9		
Maria Zell	723,8		
Seewiesen	717,8		
Aßens	717,2		
Kapfenberg	717,0		
Hammerl	716,2		
Gräts	714,8	65 1	1,3268
Marburg	706,1		
Ulls	707,3		
Lohitsch	707,3	64 25	1,3143
Triest	706,8	64 26	1,3169
Padova	707,4		
Verona	710,4		

Beobachtungsort.	Zeit v. 300 horizont. Schwing.	Neigung.	Intensität.
Roveredo	716,3		
Vigo	716,7		
Boizen	717,8		
Meran	718,8		
Mals	719,6		
Prutz	722,5		
Pludenz	725,0		
Robritschach	729,4		
Schafhausen	731,4		
Zürich	728,4		
Art	726,3		
Rigiscum	728,0		
Bürglen	726,7		
Altorf	723,9		
Audermatt	726,0		
Tiarns	724,8		
St. Gotthard, Hospiz	726,0		
Lugano	715,7		
Marcote	717,8		
Marchirolo	717,7		
Ornavasco	717,1		
Simptom	721,8		
Brieg	720,9		
Ober-Gesteln	724,2		
Grimmel-Spital	725,7		
Meyringen	726,5		
Schwarzalp	729,8		
Unterscen	727,1		
Bern	729,5		
Höllstein	733,3		
Basel	733,2		
Schützenmatte	733,0		
Paris	755,8		

Keilhau, 1827 in Finnmarken und auf Spitzbergen.

Trondhjem	869,7		
Taraak	883,4	75 42,3	1,5008
Belevaag	889,6	74 53,6	
Dünnes	883,2	75 3,0	
Gilleskaal	905,9	76 9,3	1,4727
Rodöe	904,7	75 54,1	1,4505
Lövöe	903,1	75 53,6	1,4549
Sandtorvholm	912,2	76 16,1	1,4651
Gebustad	920,0	76 18,8	1,4441

Beobachtungsort.	Zeit v. 300 horizont. Schwing.	Neigung.	Intensität.
Tromsø	920,9	77° 1,0	1,5148
Mehavn in der Nähe von Nordkyn	935,9	77 15,2	1,4963
Vardø	930,4	76 55,3	1,4766
Vadsø	923,8	76 39,9	1,4693
Karelebotna	920,8	76 46,1	1,4908
Reenø	931,0		
Jacobs Elv, Mündung des Flusses	923,1	76 37,3	1,4667
Berlevaag	941,0	77 4,6	1,4605
Olmds Tschoppam-Jock in Tanasford	932,9	76 46,5	1,4526
Omgang	938,3	77 14,6	1,4875
Lebbsbye	930,7	76 49,5	1,4648
Kielvig (Insel Mageröc)	943,8	77 30,2	1,5004
Havøe-Sund	938,3	77 8,5	1,4759
Ingø	936,6	77 27,2	1,5175
Hammerfest	937,4	76 58,9	1,4612
Bären Eyland	1001,7	78 53,6	1,4962

Beobachtungsort.	Zeit v. 300 horizont. Schwing.	Neigung.	Intensität.
Spitzbergen, Süd Cap	1025,9	79 50,5	1,5561
Whales Head auf Stans- Foreland	1039,9	79 59,5	1,5388
Talvig	926,2	77 7,2	1,5122

Meiländer, Pallander, Fibe, Tönder in Finnmarken und
Archangel 1825–1826.

Thronbjem	863,7		
Vardø	925,6		
Kegorshavn auf Carlgam- men	927,0		
Kola	917,3		
Kola Fiord, 3 Norw. Mei- len nördl. von Kola	907,3		
Fisker Eyland	935,1		
Hammerfest	930,8		
Vadsø	926,7		
Archangel	849,0	74 8	1,4441

Ueber die Länge von Montevideo, Havana, Calcutta und Kurnaul.

(Fortsetzung und Nachlese zu Astr. Nachr. Nr. 139 und 145.)

Als Nachlese zu meinen Längenberechnungen für einige Süd-amerikanische Orte mügen hier noch folgende Bemerkungen dienen.

Die Länge von Buenos Ayres, so wie sie A. N. Nr. 143 von mir gefunden worden, stimmt nun mit Herrn von *Heiligenstein's* Berechnungen bis auf 2 Secunden überein, und es bleibt nur noch der Unterschied von 12 Sec., den die Zeitgleichung macht, übrig. Nach Mon. Corr. XV B. S. 102 mußte ich voraussetzen, daß *Feuilles* diese Zeitgleichung bereits angebracht habe; das Gegentheil geht aber aus dessen genauer untersuchten Originalbeobachtungen hervor.

Daß die Länge von La Conception schon von *Le-monnier* in den Mém. de l'Acad. de Paris 1747. p. 202 aus den beiden durch *Feuilles* beobachteten Antaresbedeckungen berechnet, und — 5^h 0' 0" gefunden worden sei, hat mich Herr v. *Heiligenstein* belehrt. Nach neueren und genaueren Bestimmungen, welche die *Connaissance des tems* pour 1830. p. 185–189. enthält, dürfte die Länge von La Conception nicht viel von — 5^h 2' 0" verschieden seyn.

Als ich die Bedeckung eines Doppelsterns in Rio Janeiro vom 6. Aug. 1821 in den A. N. Nr. 139 berechnete, kamte ich durch Herrn Ritter *Obers* Nachweisung in der *Histoire céleste* nur einen der beiden Sterne, Herrn v. *Heiligenstein* ist es indes gelungen, beide Sterne des Doppelsterns in der Conn. des tems pour l'an XIII. p. 300 aufzufinden; für 1790 ist daselbst ihre Rectascension, dieselbe bei beiden, = 230° 11' 11", die Abw. des einen = 23° 44' 38" des andern = 23° 46' 46". Hieraus finde ich nun, nach *Brisbane's* Beobachtung, die Conjunction des ersten Sterns 9^h 40' 16", 18 + 0,487 z, des zweiten 9^h 41' 58", 28 + 0,181 z. Die Conj. in Paris ist für den ersten Stern 12^h 43' 39", 95 — 1,984 z, und für den zweiten 12^h 44' 45", 03 — 1,984 z, und damit die Länge von Rio Janeiro durch den ersten Stern = 3^h 3' 23", 77 + 0,487 z + 1,984 z, und durch den zweiten = 3^h 2' 46", 75 + 0,181 z + 1,984 z. Resultate, die unter sich nicht gut zusammenstimmen; doch stimmt der zweite Stern noch besser mit der nahe bekannten Länge von Rio Janeiro.

Was die im gegenwärtigen Aufsatze von mir berechneten Beobachtungen betrifft, so habe ich die in Havanna aus der Mon. Corr. XXV B. entlehnt. Die Sternbedeckung in Montevideo und die zwei Ostindischen Beobachtungen eines Mercurdurchgangs sind mir durch Herrn von Heiligenstein mitgetheilt worden; jene steht in der Correspondance astronomique X. p. 112, die zwei letzten Beobachtungen in den Denkschriften der astronomischen Societät in London.

Montevideo.

1. Durchgang des Mercur durch die Sonne am 9 Nov. 1789.

Aus der in Montevideo durch *Don Galiano* beobachteten inneren Berührung beim Austritte bestimmte ich, wie ich bereits A. N. Nr. 139. S. 403 angezeigt habe, im Mittel aus fünf correspondirenden Beobachtungen die Länge von Montevideo = $3^{\circ} 54' 2'', 24$. *Trismacher's* Berechnung ebenderselben Beobachtungen in den Wiener Ephemeriden von 1800 gibt im Mittel = $3^{\circ} 54' 10'', 0$. Außerdem fand ich noch im Berliner Astron. Jahrb. 1794. S. 135, daß auch Herr *Flaugergues* in Viviers diesen Durchgang berechnet, und daraus die Länge von Montevideo = $3^{\circ} 54' 7'', 51$ gefunden hat. Im Mittel aus einer dreifachen Berechnung gibt also der Mercurdurchgang von 1789 jene Länge = $3^{\circ} 54' 6'', 6$.

2. Bedeckung von ζ Stier 1789. 5 Nov. Eintritt am erleuchteten Mondrande.

Wahrscheinlich ist auch diese Bedeckung, an demselben Tage wie der Mercurdurchgang von *Galiano* beobachtet. Die Breite von Montevideo setzte ich bei meinen Berechnungen = $-34^{\circ} 54' 48''$ voraus.

	Mittl. Zeit.	Conjunction.
	^h ^m ^s	^h ^m ^s
Eintritt	12 39 44,69	13 45 20,87 — 1,263 x
Austritt	13 54 9,84	13 45 10,77 + 1,112 x

Die Correction x , durch den Ein- und Austritt bestimmt, ist = $+4'', 25$ und gibt die verbesserte Conj. $13^{\circ} 45' 15'', 50$. Die berechnete Conj. für Paris ist = $17^{\circ} 39' 36'', 47$ — 1,846 x und daher Länge von Montevideo = $3^{\circ} 54' 20'', 97$ — 1,846 x. Nach der Corresp. Astron. X. p. 112 soll aus eben dieser Bedeckung (durch wen? wird nicht gesagt) diese Länge = $3^{\circ} 54' 28'', 7$ gefunden worden seyn.

3. Verfinsterungen der Jupiterstrabanten gaben für die Länge von Montevideo = $3^{\circ} 54' 20''$. (S. *Flaugergues* Abhandlung über den Mercurdurchgang vom 5 Nov. 1789 im Astr. Jahrb. 1794.)

Die Längenbestimmung aus dem Mercurdurchgange beruht zwar auf der Vergleichung mit correspondirenden Beob-

achtungen aus Europa; da aber doch der Austritt des Planeten auf 8 bis 10 Secunden ungewiß seyn könnte, so kann einstreifen das Mittel aus dem Mercurdurchgange, der Sternbedeckung und den Jupiterstrabanten = $-3^{\circ} 54' 16''$ für die wahrscheinliche Länge von Montevideo angenommen werden.

Havanna.

Bekanntlich hat Herr Professor *Oltmanns* für die Länge von Havanna sehr schätzbare Untersuchungen geliefert; das aus denselben nach vielfacher Discussion gewonnene Resultat gibt für Havanna (Hôtel d'Orelly) = $5^{\circ} 38' 49'', 0$. (S. *Voyage d'Alex. de Humboldt et Aimé Bonpland*. Quatrième partie. Paris 1809. Mon. Corresp. XXI B. S. 251.) Der verdiente Spanische Astronom, *Don Joaquin de Ferrer* findet im Tom. VI der Transactions of the American Philosophical Society (Philadelphia 1809) im Mittel aus allen bis 1808 bekannten astronomischen Beobachtungen und Zeitübertragungen jener Länge = $5^{\circ} 38' 57''$. Der XXV B. der Monatss. Correspondenz enthält S. 527–531 unter anderen Auszügen aus den eben erwähnten Americanischen Transactions auch sieben von *Ferrer* in den Jahren 1808 und 1809 in Havanna beobachtete Sternbedeckungen, die meine Aufmerksamkeit an sich zogen. Ohne zu wissen, ob nicht Herr Professor *Oltmanns* auch diese Bedeckungen, von welchen er bei seiner früheren Arbeit noch keinen Gebrauch machen konnte, vielleicht schon berechnet, und, was er daraus gefunden, irgendwo bekannt gemacht habe, entschloß ich mich um so eher, auch diese Art von Beobachtungen zu weiterer Begründung der Länge von Havanna zu benutzen, da Herr Professor *Oltmanns* eine Sonnen- und vier Mondfinsternisse, sammt Verfinsterungen der Jupiterstrabanten und chronometrischen Beobachtungen, aber keine Sternbedeckung, früher in Rechnung genommen hat. Die Breite von Havanna setzte ich bei der Berechnung = $+23^{\circ} 8' 15''$ voraus.

1. Bedeckung von ι Krebs. 1808. 5 April. Eintritt am dunkeln Mondrande.

$$\text{Eintritt } 11^{\text{h}} 56' 7,55 \mid 11^{\text{h}} 10' 13,87 + 0,649 x$$

Die Conjunction, für Paris berechnet, ist = $16^{\text{h}} 48' 42'', 81$ — 1,734 x: daher Länge von Havanna = $5^{\circ} 38' 28'', 94$ + 0,649 x + 1,734 x.

2. Bedeckung von T Mayers 347. 1808. 2 May. Eintritt am dunkeln Mondrande.

$$\text{Eintritt } 8^{\text{h}} 58' 33,18 \mid 8^{\text{h}} 15' 47,20 + 0,850 x$$

Die Conjunction für Paris ist = $13^{\text{h}} 56' 39'', 80$ — 1,817 x gibt die Länge = $5^{\circ} 38' 12'', 60$ + 0,850 x + 1,817 x.

3. Bedeckung von α Löwe 1808. 3 May. Eintritt am dunkeln Mondrande.

Eintritt $10^h 30' 26,36 \mid 9^h 34' 47,27 + 3,829 x$

Aus der Bedeckung für Paris = $15^h 12' 56'',06 - 1,763 x$ folgt die Länge = $5^h 38' 8'',79 + 3,829 x + 1,763 x$.

Diese drei ersten Bedeckungen hat auch Ferrer berechnet (Mon. Corr. XXV B. S. 527); seine Resultate weichen aber von den meigten aus Ursachen, die ich bis jetzt nicht auffinden konnte, nicht unbedeutend ab; er findet nemlich bei der ersten Beobachtung in der Conjunction für Havanna — $36'',9$ und für Paris + $8'',2$, bei der zweiten Beobachtung für Havanna — $36'',2$ und für Paris + $11'',2$, bei der dritten für Havanna — $15'',3$ und für Paris + $43'',9$.

4. Bedeckung von ν Zwillinge. 1808. 11 Jan. Eintritt am dunkeln Mondrande.

Diese Beobachtung wurde auf *Don Costilla's* Pflanzung, + $44'',3$ in Zeit östlich von Havanna, und unter der Breite + $22^{\circ} 55' 16''$ angestellt.

Eintritt $14^h 54' 31,87 \mid 13^h 59' 26,47 + 0,635 x$

Die Berechnung für Paris gab die Conj. $19^h 38' 7'',72 - 1,797 x$, daher Länge, auf Havanna reducirt, — $5^h 39' 25'',55 + 0,636 x + 1,797 x$. Die nun folgenden Bedeckungen sind wieder unmittelbar in Havanna beobachtet.

5. Bedeckung von 1α u. 2α Waage. 1809. 29 April. Eintritt am erleuchteten Mondrande.

1α Eintritt	$11^h 3' 33,13$	$12^h 10' 9,75 + 0,673 x$
2α Eintritt	$11^h 10' 28,29$	$12^h 15' 41,58 + 0,488 x$
Austritt	$11^h 28' 58,62$	$12^h 15' 38,20 - 0,690 x$

Ein- und Austritt des zweiten Sterns gehen $x = -2'',869$. Für Paris berechnete ich die Conjunction des ersten Sterns $17^h 48' 47'',85 - 1,594 x$, des zweiten $17^h 54' 19'',65 - 1,594 x$: die verbesserte Conjunction für Havanna gibt daher die Länge — $5^h 38' 40'',03 + 1,594 x$ durch den ersten Stern, und — $5^h 38' 39'',47 + 1,594 x$ durch den zweiten. Durch die *Schumacherscheu* astron. Hülfstafeln für 1821 findet sich der Rectascensionsunterschied der beiden Sterne nach *Bradley-Flaxsi* $2^{\circ} 52',3$, nach *Pond* $2^{\circ} 51'',6$, nach *Bessel* $2^{\circ} 51',3$, außerdem nach zwei Beobachtungen in der Himmelsweite $2^{\circ} 52'',5$, im Mittel also $2^{\circ} 51'',9$, und diesem Unterschied entspricht eine Differenz der Länge beider Sterne von $3' 28'',2$. Der Unterschied in den Conjunctionen beider Sterne sollte hiernach bei der Bedeckung am 29 April $5' 31'',80$ in Zeit gewesen seyn; er war wirklich, der berechneten Beobachtung zu Folge, $5' 32'',31$, demnach nur eine halbe Stunde größer,

was wenigstens für die Genauigkeit der Beobachtung zu zeugen scheint, obgleich die Correction x noch unbekannt bleibt.

6. Bedeckung von 1α u. 2α Waage. 1809. 23 Jun. Eintritt am dunkeln Mondrande.

1α Eintritt	$7^h 44' 27,02$	$8^h 48' 12,62 - 0,076 x$
2α Eintritt	$7^h 54' 39,11$	$8^h 54' 32,44 - 0,221 x$
Austritt	$9^h 20' 19,02$	$8^h 54' 4,79 + 0,053 x$

Der Austritt von 2α ist wegen einer Wolke ungewiß, und vielleicht, wie der Beobachter glaubt, um 6 Sekunden zu spät. Sowohl wegen Unsicherheit der Beobachtung, als wegen des geringen Werths des Coefficienten von x konnte diese Correction auf keine zuverlässige Weise bestimmt werden. Für Paris ist die Conjunction des ersten Sterns = $14^h 26' 53'',23 - 1,648 x$, des 2ten $14^h 32' 36'',22 - 1,647 x$. Daher die Länge aus dem Eintritt des ersten Sterns am dunkeln Mondrande — $5^h 38' 40'',61 - 0,076 x + 1,648 x$. Diese Länge stimmt mit derjenigen, welche die Bedeckung eben dieser beiden Sterne am 29 April gab, nahe überein. Die Conjunction des zweiten Sterns hätte, vermöge des oben angeführten Unterschieds der Sternlänge, am 23 Jun. um $5' 43'',0$ später fallen sollen, als die Conjunction des ersten Sterns; sie fiel aber um $6' 19'',8$ später, und die Länge, welche sich aus dem Eintritte des zweiten Sterns durch Vergleichung mit Paris ergibt, ist — $5^h 38' 3'',78$, oder um $37''$ von der Länge aus dem ersten Sterne verschieden. Ich glaube daher, diesen zweiten Stern zur Längenbestimmung gar nicht anwenden zu dürfen.

7. Bedeckung von β Steinbock. 1809. 28 Jun. Eintritt am erleuchteten Mondrande.

Eintritt	$15^h 44' 12,97$	$15^h 13' 37,42 + 0,153 x$
Austritt	$16^h 57' 46,68$	$15^h 13' 47,61 + 0,444 x$

Die Correction x kann durch den Ein- und Austritt nicht mit Zuverlässigkeit bestimmt werden. Für Paris ist die berechnete Conjunction = $20^h 52' 24'',83 - 1,631 x$, und daher die Länge aus dem Mittel der Conjunctionen durch Ein- und Austritt = $- 5^h 38' 42'',33 + 0,298 x + 1,631 x$. Auch der Eintritt am hellen Mondrande ist als „mehr genau“ von dem Beobachter bezeichnet; ich wähle daher das Mittel der Conjunctionen.

Die oben berechneten Beobachtungen geben nun, zusammengestellt, folgende Längen:

1. — $5^h 38' 28,94$	5. — $5^h 38' 40'',03$
2. — $12,60$	6. — $39,47$
3. — $8,79$	7. — $40,61$
4. — $85,55$	7. — $42,33$

Das Mittel aus diesen 8 Sternen; ohne Unterschied genommen, ist $5^h 38' 37''.29$. Da aber wegen zu starker Abweichung Nr. 2, 3 und 4 ausgeschlossen werden müssen, so geben die fünf übrigen Sterne — $5^h 38' 38''.68$ und aus den am besten unter sich zusammenstimmenden Beobachtungen vom J. 1809 allein, oder aus Nr. 5—7 folgt, — $5^h 38' 40''.60$. Man wird daher als Resultat der von mir untersuchten Sternbedeckungen — $5^h 38' 40''$ für die Länge von Havanna annehmen dürfen. Nach Herrn Prof. *Oltmanns* (s. oben) fällt die Länge $9''$ in Zeit westlicher, und nach *Don de Ferrer* $17''$ westlicher. Ohne auf irgend eine Art entscheiden zu wollen, welches von diesen drei auf verschiedenem Wege gefundenen Resultaten das richtigste seyn möchte, wiederhole ich bloß, daß der Zweck meiner Untersuchungen kein anderer war, als zur Bestimmung der Länge von Havanna einige neue Beiträge zu liefern.

Calcutta.

Mercurdurchgang. 1822. 4 Nov.

Die Beobachtung geschah $3^h 9'$ in Zeit östlich vom Fort William, wie weit nördlich oder südlich wird nicht angegeben. Bei den Berechnungen bediente ich mich der Breite des Fort William $= +22^{\circ} 33' 9''$.

Eintr. II Berühr.	$18\ 56\ 11,38$	$19\ 53\ 14,81$	$+ 27,896\ x$
Austr. I Berühr.	$21\ 38\ 34,11$	$19\ 57\ 23,69$	$- 13,501\ x$
II Berühr.	$21\ 40\ 56,11$	$19\ 56\ 49,36$	$- 13,083\ x$

Ein zweiter Beobachter sah beim Austritt die erste Berührung $8^h 10'$ später, und die zweite $1'$ früher. In dem Astr. Nachr. Nr. 135 habe ich die Beobachtungen dieses Durchgangs zu Paramatta berechnet; hiernach findet sich der Meridianunterschied zwischen Paramatta und Calcutta aus dem Eintritt, innere Berühr., $= 4^h 12' 20'',67 - 0,809\ x$, aus dem Austritt, innere Berühr. $4^h 10' 45'',97 + 0,204\ x$, äussere Berührung $4^h 11' 21'',16 + 0,130\ x$. (Beim Austritt nahm ich hier das Mittel aus den Angaben beider

Beobachter.) Setzt man, wie durch die Beobachtungen zu Paramatta gefunden worden, $x = + 3^h 9' 17''$, und die Länge von Paramatta nach dem Mittel aus meinen Berechnungen (Astron. Nachr. Nr. 137) $= + 9^h 54' 42'',9$, so gibt die innere Berührung beim Austritt, wohl noch die sicherste der drei obigen Beobachtungen, die Länge von Calcutta $= + 5^h 43' 56'',13$, und für das Fort William daselbst noch $3^h 9'$ weniger. Der Mercurdurchgang von 1822 scheint aber, da die drei Beobachtungsmomente so sehr abweichende Resultate geben, überhaupt keine ganz zuverlässige Längenbestimmung für Calcutta zu gewähren. Sonst wird die Länge von Calcutta in der Conn. des tems $= + 5^h 44' 38''$ gesetzt; der neueste Band für 1830 hat $5^h 44' 23''$; aus correspondirenden Beobachtungen einer Bedeckung des Regulus am 3 März 1776 hat *Trisnecker* $5^h 44' 11'',5$ berechnet. (S. Astronomische Beobachtungen, gesammelt und herausgegeben von *Trisnecker*, Prag 1806. I Samml. S. 95.)

Kurnaul (in Ostindien).

Mercurdurchgang. 1822. 4 Nov.

Die Breite von Kurnaul $= + 29^{\circ} 41' 25''$. Die Länge wird in den Denkschriften der astronomischen Societät in London zu $5^h 8' 1''$ östlich von Greenwich ($= 4^h 58' 39'',4$ von Paris) geschätzt.

Austr. I Berühr.	$20\ 53\ 36,40$	$19\ 12\ 13,77$	$- 13,477\ x$
II Berühr.	$20\ 56\ 16,50$	$19\ 11\ 56,41$	$- 13,056\ x$

Die Vergleichung mit Paramatta gibt, wenn dessen Länge, wie oben, $+ 9^h 54' 42'',9$ und $x = + 3^h 9' 17''$ gesetzt wird, die Länge von Kurnaul durch die erste Berührung $= + 4^h 58' 42'',30$ und durch die zweite Berührung $+ 4^h 58' 28'',89$, im Mittel $+ 4^h 58' 35'',6$ von der obigen Schätzung wenig verschieden.

Stuttgart. 18 Septbr. 1828.

W u r m.

I n h a l t

zu Nr. 145. Ueber die Vorausberechnung der Sternbedeckungen. Von Herrn Professor und Ritter *Bessel*. pag. 1.

Auszug aus einem Schreiben des Herrn *Hofraths* und *Ritters Gauss* an den Herausgeber. p. 15.

Beobachtungen der Vesta auf der Prager Sternwarte zur Zeit ihres Gegensehens 1827. Von *Professor Bittner*. p. 15.

zu Nr. 146. Einige, von verschiedenen Beobachtern im nördlichen Europa angestellte magnetische Beobachtungen, über Neigung und Intensität, mittheilt von Herrn Professor *Hansteen*. p. 17.

Wurm, Ueber die Länge von Montevideo, Havanna, Calcutta und Kurnaul. (Fortsetzung und Nachlese zu Astr. Nachr. Nr. 139 und 143.) p. 25.

Addition au mémoire sur les fonctions elliptiques, inséré dans le Nr. 138. de ce journal.

Par Mr. N. H. Abel.

Dans le Nr. 138 de ce journal j'ai fait voir comment on pourra trouver toutes les transformations possibles, réelles ou imaginaires d'une fonction elliptique proposée. Les modules c, e, c', e' pourront être des quantités quelconques. Le cas le plus remarquable est celui où l'on suppose les modules réelles. Dans ce cas le problème général pourra se résoudre par une méthode particulière, entièrement différente de celle que nous avons donnée dans le mémoire cité. Puisque cette nouvelle méthode est remarquable par sa grande simplicité je vais l'indiquer ici en peu de mots.

Le problème général que nous allons complètement résoudre est le suivant:

„Trouver tous les cas possibles où l'on pourra satisfaire
„à l'équation différentielle:

$$[1] \dots \frac{dy}{\sqrt{[(1-y^2)(1-c^2y^2)]}} = a \frac{dx}{\sqrt{[(1-x^2)(1-c'^2x^2)]}}$$

„par une équation algébrique entre les variables x
„et y , en supposant les modules c et c' moindres que
„l'unité et le coefficient a réel ou imaginaire.”

En désignant par $\lambda\theta$ la fonction inverse de celle-ci
 $\theta = \int_0^x \frac{dx}{\sqrt{[(1-x^2)(1-c^2x^2)]}}$ en sorte que $x = \lambda\theta$ on aura
en vertu de la formule [4] du Nr. 138

$$\lambda[(-1)^{m+m'}\theta + m\omega + m'\omega'] = \lambda\theta$$

où les quantités constantes ω, ω' sont déterminées par les
formules:

$$[2] \dots \frac{\omega}{2} = \int_0^1 \frac{dx}{\sqrt{[(1-x^2)(1-c^2x^2)]}} \\ \frac{\omega'}{2} = \int_0^{\frac{1}{c}} \frac{dx}{\sqrt{[(1-x^2)(1-c^2x^2)]}}$$

Dans le cas que nous considérons, la quantité ω est réelle
mais ω' est imaginaire. On aura en effet

$$\frac{\omega'}{2} = \int_0^1 \frac{dx}{\sqrt{[(1-x^2)(1-c^2x^2)]}} + \int_0^{\frac{1}{c}} \frac{dx}{\sqrt{[(1-x^2)(1-c^2x^2)]}}$$

c'est-à-dire:

$$\frac{\omega'}{2} = \frac{\omega}{2} + V - 1 : \int_0^{\frac{1}{c}} \frac{dx}{\sqrt{[(x^2-1)(1-c^2x^2)]}}$$

où il est clair que le coefficient de $V-1$ est une quan-
tité réelle. En faisant $x = \frac{1}{\sqrt{(1-b^2y^2)}}$ où $b = V(1-c^2)$
on trouve:

$$\frac{\omega'}{2} = \frac{\omega}{2} + V - 1 : \frac{\pi}{2}$$

où

$$[3] \dots \frac{\pi}{2} = \int_0^1 \frac{dx}{\sqrt{[(1-x^2)(1-b^2x^2)]}}$$

Le théorème II du Nr. 138 donnera donc ce-ci:

„On satisfera de la manière la plus générale à l'équation
 $\lambda\theta' = \lambda\theta$

„en prenant

$$[4] \dots \theta' = (-1)^m\theta + m\omega + m'\omega' : V - 1$$

„où m et m' sont des nombres entiers quelconques et ω
„et ω' deux quantités réelles données par les formules
„[2] et [3].”

Cela posé soit

$$[5] \dots f(y, x) = 0$$

l'équation algébrique entre y et x qui doit satisfaire à l'équa-
tion différentielle [1]. Si l'on fait $x = \lambda\theta$ et $y = \lambda\theta'$
où θ et θ' sont deux nouvelles variables et λ , la fonction
elliptique qui répond au module c , en sorte que

$$[6] \dots \frac{dy}{\sqrt{[(1-y^2)(1-c^2y^2)]}} = d\theta' \text{ pour } y = \lambda\theta$$

l'équation [1] deviendra

$$d\theta' = \pm a d\theta$$

d'où l'on tire en intégrant: $\theta' = \pm a\theta$ où s est une
constante. On a donc:

$$x = \lambda(\pm a\theta)$$

Das Mittel aus diesen 8 Sternen; ohne Unterschied genommen, ist $5^h 38' 37''.29$. Da aber wegen zu starker Abweichung Nr. 2, 3 und 4 ausgeschlossen werden müssen, so geben die fünf übrigen Sterne — $5^h 38' 38''.68$ und aus den am besten unter sich zusammenstimmenden Beobachtungen vom J. 1869 allein, oder aus Nr. 5—7 folgt, — $5^h 38' 40''.60$. Man wird daher als Resultat der von mir untersuchten Sternbedeckungen — $5^h 38' 40''$ für die Länge von Havanna annehmen dürfen. Nach Herrn Prof. *Oltmanns* (s. oben) fällt die Länge $9''$ in Zeit westlicher, und nach *Don de Ferrer* $17''$ westlicher. Ohne auf irgend eine Art entscheiden zu wollen, welches von diesen drei auf verschiedenem Wege gefundenen Resultaten das richtigste seyn möchte, wiederhole ich bloß, daß der Zweck meiner Untersuchungen kein anderer war, als zur Bestimmung der Länge von Havanna einige neue Beiträge zu liefern.

Calcutta.

Mercurdurchgang. 1822. 4 Nov.

Die Beobachtung geschah $3''.9$ in Zeit östlich vom Fort William, wie weit nördlich oder südlich wird nicht angegeben. Bei den Berechnungen bediente ich mich der Breite des Fort William $= +22^{\circ}33'9''$.

Eintr. II Berühr.	$18\ 56\ 11,38$	$19\ 53\ 14,81$	$+ 27,896\ x$
Austr. I Berühr.	$21\ 38\ 34,11$	$19\ 57\ 23,69$	$- 13,501\ x$
II Berühr.	$21\ 40\ 56,11$	$19\ 56\ 49,36$	$- 13,083\ x$

Ein zweiter Beobachter sah beim Austritt die erste Berührung $8''.0$ später, und die zweite $1''$ früher. In den Astr. Nachr. Nr. 135 habe ich die Beobachtungen dieses Durchgangs zu Paramatta berechnet; hiernach findet sich der Meridianunterschied zwischen Paramatta und Calcutta aus dem Eintritt, innere Berühr., $= 4^h 12' 20''.67 - 0,809\ x$, aus dem Austritt, innere Berühr. $4^h 10' 45''.97 + 0,204\ x$, äussere Berührung $4^h 11' 21''.16 + 0,130\ x$. (Beim Austritt nahm ich hier das Mittel aus den Angaben beider

Beobachter.) Setzt man, wie durch die Beobachtungen zu Paramatta gefunden worden, $x = +3''.917$ und die Länge von Paramatta nach dem Mittel aus meinen Berechnungen (Astron. Nachr. Nr. 137) $= +9^h 54' 42''.9$, so gibt die innere Berührung beim Austritt, wohl noch die sicherste der drei obigen Beobachtungen, die Länge von Calcutta $= +5^h 43' 56''.13$, und für das Fort William daselbst noch $3''.9$ weniger. Der Mercurdurchgang von 1822 scheint aber, da die drei Beobachtungsmomente so sehr abweichende Resultate geben, überhaupt keine ganz zuverlässige Längenbestimmung für Calcutta zu gewähren. Sonst wird die Länge von Calcutta in der Conn. des tems $= +5^h 44' 38''$ gesetzt; der neueste Band für 1830 hat $5^h 44' 23''$; aus correspondirenden Beobachtungen einer Bedeckung des Regulus am 3 März 1776 hat *Trisnecker* $5^h 44' 11''.5$ berechnet. (S. Astronomische Beobachtungen, gesammelt und herausgegeben von *Trisnecker*, Prag 1806. I Samml. S. 95.)

Kurnaul (in Ostindien).

Mercurdurchgang. 1822. 4 Nov.

Die Breite von Kurnaul $= +29^{\circ}41'25''$. Die Länge wird in den Denkschriften der astronomischen Societät in London zu $5^h 8' 1''$ östlich von Greenwich ($= 4^h 58' 39''.4$ von Paris) geschätzt.

Austr. I Berühr.	$20\ 53\ 36,40$	$19\ 12\ 13,77$	$- 13,477\ x$
II Berühr.	$20\ 56\ 16,50$	$19\ 11\ 56,41$	$- 13,056\ x$

Die Vergleichung mit Paramatta gibt, wenn dessen Länge, wie oben, $+9^h 54' 42''.9$ und $x = +3''.917$ gesetzt wird, die Länge von Kurnaul durch die erste Berührung $= +4^h 58' 42''.30$ und durch die zweite Berührung $+4^h 58' 28''.89$, im Mittel $+4^h 58' 35''.6$ von der obigen Schätzung wenig verschieden.

Stuttgart. 18 Septbr. 1828.

W u r m.

Inhalt.

zu Nr. 145. Ueber die Vorausberechnung der Sternbedeckungen. Von Herrn Professor und Ritter *Bessel*. pag. 1.

Auszug aus einem Schreiben des Herrn Hofraths und Ritters *Gauss* an den Herausgeber. p. 15.

Beobachtungen der Vesta auf der Prager Sternwarte zur Zeit ihres Gegensehens 1827. Von Professor *Bitner*. p. 15.

zu Nr. 146. Einige, von verschiedenen Beobachtern im nördlichen Europa angestellte magnetische Beobachtungen, über Neigung und Intensität, mitgetheilt von Herrn Professor *Hansen*. p. 17.

Wurm, Ueber die Länge von Montevideo, Havanna, Calcutta und Kurnaul. (Fortsetzung und Nachlese zu Astr. Nachr. Nr. 139 und 143.) p. 25.

Altaus im October 1828. (Hiebei drei Steintafeln.)

Addition au mémoire sur les fonctions elliptiques, inséré dans le Nr. 138. de ce journal.

Par Mr. N. H. Abel.

Dans le Nr. 138 de ce journal j'ai fait voir comment on pourra trouver toutes les transformations possibles, réelles ou imaginaires d'une fonction elliptique proposée. Les modules c, e, c', e' pourront être des quantités quelconques. Le cas le plus remarquable est celui où l'on suppose les modules réelles. Dans ce cas le problème général pourra se résoudre par une méthode particulière, entièrement différente de celle que nous avons donnée dans le mémoire cité. Puisque cette nouvelle méthode est remarquable par sa grande simplicité je vais l'indiquer ici en peu de mots.

Le problème général que nous allons complètement résoudre est le suivant:

„Trouver tous les cas possibles où l'on pourra satisfaire à l'équation différentielle:

$$[1] \dots \frac{dy}{\sqrt{[(1-y^2)(1-c^2y^2)]}} = a \frac{dx}{\sqrt{[(1-x^2)(1-c'^2x^2)]}}$$

„par une équation algébrique entre les variables x et y , en supposant les modules c et c' moindres que l'unité et le coefficient a réel ou imaginaire.”

En désignant par $\lambda\theta$ la fonction inverse de celle-ci $\theta = \int_0^x \frac{dx}{\sqrt{[(1-x^2)(1-c^2x^2)]}}$ en sorte que $x = \lambda\theta$ on aura en vertu de la formule [4] du Nr. 138

$$\lambda[(-1)^{m+m'}\theta + m + m'\omega] = \lambda\theta$$

où les quantités constantes ω, ω' sont déterminées par les formules:

$$[2] \dots \frac{\omega}{2} = \int_0^1 \frac{dx}{\sqrt{[(1-x^2)(1-c^2x^2)]}}$$

$$\frac{\omega'}{2} = \int_0^{\frac{1}{c}} \frac{dx}{\sqrt{[(1-x^2)(1-c^2x^2)]}}$$

Dans le cas que nous considérons, la quantité ω est réelle mais ω' est imaginaire. On aura en effet

$$\frac{\omega'}{2} = \int_0^{\frac{1}{c}} \frac{dx}{\sqrt{[(1-x^2)(1-c^2x^2)]}} + \int_0^{\frac{1}{c}} \frac{dx}{\sqrt{[(1-x^2)(1-c^2x^2)]}}$$

c'est-à-dire:

$$\frac{\omega'}{2} = \frac{\omega}{2} + V - 1 : \int_0^{\frac{1}{c}} \frac{dx}{\sqrt{[(x^2-1)(1-c^2x^2)]}}$$

où il est clair que le coefficient de $V-1$ est une quantité réelle. En faisant $x = \frac{t}{\sqrt{(1-b^2y^2)}}$ où $b = \sqrt{(1-c^2)}$ on trouve:

$$\frac{\omega'}{2} = \frac{\omega}{2} + V - 1 \cdot \frac{\pi}{2}$$

où

$$[3] \dots \frac{\pi}{2} = \int_0^1 \frac{dx}{\sqrt{[(1-x^2)(1-b^2x^2)]}}$$

Le théorème II du Nr. 138 donnera donc ce-ci:

„On satisfera de la manière la plus générale à l'équation $\lambda\theta' = \lambda\theta$

„en prenant

$$[4] \dots \theta' = (-1)^m\theta + m\omega + m'\omega \cdot V - 1$$

„où m et m' sont des nombres entiers quelconques et ω et ω' deux quantités réelles données par les formules [2] et [3].”

Cela posé soit

$$[5] \dots f(y, x) = 0$$

l'équation algébrique entre y et x qui doit satisfaire à l'équation différentielle [1]. Si l'on fait $x = \lambda\theta$ et $y = \lambda\theta'$ où θ et θ' sont deux nouvelles variables et λ , la fonction elliptique qui répond au module c , en sorte que

$$[6] \dots \frac{dy}{\sqrt{[(1-y^2)(1-c^2y^2)]}} = d\theta' \text{ pour } y = \lambda\theta$$

l'équation [1] deviendra

$$d\theta' = \pm a d\theta$$

d'où l'on tire en intégrant: $\theta' = a \pm \theta$ où s est une constante. On a donc:

$$x = \lambda_s(\pm a \pm \theta)$$

ou bien en mettant $+a$ pour $\pm a$:

$$[7] \dots \dots y = \lambda_r(s + a\theta).$$

L'équation [5] entre x et y donnera donc celle-ci

$$[8] \dots \dots f[\lambda_r(s + a\theta), \lambda\theta] = 0$$

qui ne contient que la seule variable θ et qui aura lieu quelle que soit la valeur de cette quantité.

Il ne serait pas difficile à l'aide de la formule [8] de trouver la fonction $f(y, x)$; mais pour notre objet il suffit de connaître le coefficient a et une certaine relation entre les fonctions complètes. Voici comment on y parviendra. En mettant $\theta + 2m\omega$ au lieu de θ on obtiendra en remarquant qu'en vertu de [4]

$$\lambda(\theta + 2m\omega) = \lambda\theta$$

cette autre équation

$$[9] \dots \dots f[\lambda_r(s + 2m\omega + a\theta), \lambda\theta] = 0$$

Où aura de même en mettant $\theta + m\pi i$ pour θ où $i = \sqrt{-1}$:

$$[10] \dots \dots f[\lambda_r(s + m\pi i + a\theta), \lambda\theta] = 0$$

Dans ces deux équations m pourra être un nombre entier quelconque. En faisant $x = \lambda\theta$ on voit donc que l'équation algébrique:

$$f(y, x) = 0$$

est satisfaite en mettant pour y une quantité quelconque de l'une des deux formes:

$$\lambda_r(s + 2m\omega + a\theta); \quad \lambda_r(s + m\pi i + a\theta)$$

mais m peut avoir une infinité de valeurs tandis que l'équation dont il s'agit n'a qu'un nombre limité de racines; il faut donc qu'on puisse trouver deux nombres entiers k et k' tels que

$$[11] \dots \lambda_r(s + 2k'\omega + a\theta) = \lambda_r(s + 2k\omega + a\theta)$$

et deux autres ν et ν' tels que

$$[12] \dots \lambda_r(s + \nu\omega\pi i + a\theta) = \lambda_r(s + \nu\omega\pi i + a\theta)$$

En vertu de la formule [4] ces deux équations donneront respectivement:

$$[13] \dots \begin{cases} 2k'\omega = 2k\omega + 2m\omega_r + m'\omega_r \cdot \sqrt{-1} \\ \nu\omega\pi i = \nu\omega\pi i + 2\mu\omega_r + \mu'\omega_r \cdot \sqrt{-1} \end{cases}$$

où ω_r et ω_r désignent les valeurs de ω et π qui répondent au module c , c'est-à-dire on a:

$$[14] \dots \begin{cases} \frac{\omega_r}{2} = \int_0^1 \frac{dx}{\sqrt{(1-x^2)(1-c^2x^2)}} \\ \frac{\pi_r}{2} = \int_0^1 \frac{dx}{\sqrt{(1-x^2)(1-b^2x^2)}} \end{cases} \text{ où } b = \sqrt{1-c^2}$$

Cela posé les équations [13] donneront en mettant ν pour $k' - k$ et ν' pour $\nu' - \nu$,

$$[15] \dots \begin{cases} a = \frac{m}{\nu} \cdot \frac{\omega_r}{\omega} + \frac{m'}{2\nu} \cdot \frac{\omega_r}{\omega} \sqrt{-1} \\ a = \frac{\mu'}{\nu'} \cdot \frac{\pi_r}{\pi} + \frac{2\mu}{\nu'} \cdot \frac{\omega_r}{\omega} \sqrt{-1} \end{cases}$$

et de là en comparant les parties réelles et imaginaires:

$$[16] \dots \frac{m}{\nu} \cdot \frac{\omega_r}{\omega} = \frac{\mu'}{\nu'} \cdot \frac{\pi_r}{\pi}; \quad \frac{m'}{2\nu} \cdot \frac{\omega_r}{\omega} = -\frac{2\mu}{\nu'} \cdot \frac{\omega_r}{\omega}$$

Ces deux équations donneront celles-ci:

$$[17] \dots \frac{\omega_r^2}{\omega^2} = -4 \frac{m \cdot m'}{\mu \cdot \mu'} \cdot \frac{\nu'^2}{\nu^2}; \quad \frac{\omega_r^2}{\omega^2} = -4 \frac{m' \mu'}{m \mu}$$

Maintenant $\frac{\omega_r^2}{\omega^2}$ est une fonction continue de c , donc les équations 17 ne sauront avoir lieu que pour des valeurs particulières des modules c et c_r . Si donc on suppose c indéterminé il faut que l'une des équations

$$[18] \dots \dots \dots m' = \mu = 0;$$

$$[19] \dots \dots \dots m = \mu' = 0$$

ait lieu. Dans le premier cas les équations [15] et [16] se réduiront à

$$[20] \dots \begin{cases} a = \frac{m}{\nu} \cdot \frac{\omega_r}{\omega} = \frac{\mu'}{\nu'} \cdot \frac{\pi_r}{\pi} \\ \frac{\omega_r}{\omega} = \frac{\nu \mu'}{\nu' \mu} \cdot \frac{\omega}{\pi} \end{cases}$$

et dans le second cas à

$$[21] \dots \begin{cases} a = \frac{m'}{2\nu} \cdot \frac{\pi_r}{\omega} \sqrt{-1} = -\frac{2\mu}{\nu'} \cdot \frac{\omega_r}{\omega} \sqrt{-1} \\ \frac{\omega_r}{\omega} = -\frac{1}{4} \cdot \frac{m' \nu'}{\mu \nu} \cdot \frac{\pi_r}{\omega} \end{cases}$$

Mais si la valeur du module c est telle que la 1^{ère} des équations [17] ait lieu, on doit avoir en même temps:

$$[22] \dots \frac{\omega_r}{\omega} = 2 \cdot \frac{\nu'}{\nu} \cdot \sqrt{-1} \cdot \frac{m \cdot \mu'}{\mu \cdot \mu'}; \quad \frac{\omega_r}{\omega} = 2 \sqrt{-1} \cdot \frac{m' \mu'}{m \mu}$$

et alors a est donné par l'une des équations [15]...

Quant aux nombres $m, m', \mu, \mu', \nu, \nu'$ il faut les prendre tels que $\omega_r, \omega_r, \pi_r, \pi_r$ soient selon leur nature des quantités positives. Si donc on suppose, ce qui est permis, ν et ν' positifs, il faut que m et μ' soient du même signe et m' et μ du signe contraire. On pourra d'ailleurs sans diminuer la généralité supposer m, m' et μ' positifs et μ négatif.

Par ce qu'on vient de voir on a immédiatement ce théorème:

Théorème. Pour que l'équation [1] ait une intégrale algébrique en x et y il faut nécessairement que les modules c , et c' soient liés entre eux de la manière que l'une des deux quantités $\frac{w'}{w}$, et $\frac{w''}{w}$, soit dans un rapport rationnel avec $\frac{w}{w}$; c'est-à-dire on doit avoir l'une des équations

$$[23] \dots \frac{w'}{w} = k \cdot \frac{w}{w}; \quad \frac{w''}{w} = k' \cdot \frac{w}{w}$$

où k et k' sont des nombres rationnels. Si la première de ces équations a lieu mais pas la seconde, on aura en même temps

$$[24] \dots a = \delta \cdot \frac{w'}{w}$$

où δ est un nombre rationnel. Si la seconde équation a lieu mais pas la première, on aura en même temps

$$[25] \dots a = \delta' \cdot \frac{w''}{w} \sqrt{-1}$$

Enfin si les deux équations [23] ont lieu en même temps, les modules c et c' , seront tous deux déterminés, savoir respectivement par les équations:

$$[26] \dots \frac{w'}{w} = \sqrt{(k \cdot k')}; \quad \frac{w''}{w} = \sqrt{\left(\frac{k}{k'}\right)}$$

et alors le coefficient a doit avoir la forme:

$$[27] \dots a = \delta \cdot \frac{w'}{w} + \delta' \cdot \frac{w''}{w} \sqrt{-1}$$

où δ et δ' sont des nombres rationnels.

Les conditions indiquées dans ce théorème doivent donc nécessairement être remplies pour que l'équation [1] ait une intégrale algébrique; il reste encore le point le plus important, savoir de déterminer si ces conditions sont suffisantes. Or c'est cela que nous allons faire voir à l'aide de la formule [65] du Nr. 138. Cette formule peut facilement être démontrée en faisant effectivement la substitution de y ; mais il existe une autre démonstration, tirée des considérations entièrement différentes et que nous allons donner ici en nous servant d'une formule démontrée dans „les recherches sur les fonctions elliptiques.“ Il s'agit de la formule [185] de ce mémoire (*Crelle's Journal für die reine und angewandte Mathematik* 2^{ter} Band. pag. 176) savoir:

$$[28] \dots f_k = \prod_{i=1}^n \frac{1 - \left(\frac{p - p - i}{r + i - r - m - 1} \right)^2}{1 + \left(\frac{p - p - i}{r + i - r - m - 1} \right)^2}$$

où

$$[29] \dots p = e^{\frac{\pi w}{w}}, \quad r = e^{\frac{\pi w'}{w'}}$$

les quantités w' et w'' étant données par les équations

$$[30] \dots \frac{w'}{2} = \int_0^1 \sqrt{\frac{dx}{(1-x^2)(1+e^2 x^2)}};$$

$$\frac{w''}{2} = \int_0^1 \sqrt{\frac{dx}{(1-x^2)(1+e^2 x^2)}}$$

On a de plus:

$$[31] \dots f_x = \sqrt{(1-x^2)}$$

où x est lié à a par l'équation

$$[32] \dots a = \int_0^1 \sqrt{\frac{dx}{(1-x^2)(1+e^2 x^2)}}$$

Si l'on fait $e = \sqrt{\frac{c}{(1-c^2)}}$; $x = \sqrt{(1-y^2)}$ on trouvera:

$$\frac{w'}{2} = b \cdot \frac{w}{2}; \quad \frac{w''}{2} = b' \cdot \frac{w}{2}; \quad \frac{w''}{w'} = \frac{w''}{w}$$

$$da = -b \cdot \sqrt{\frac{dy}{(1-y^2)(1-c^2 y^2)}}$$

et de là:

$$y = \lambda \left(\frac{w}{2} - \frac{a}{b} \right)$$

maintenant l'équation $x = \sqrt{(1-y^2)}$ donne

$$y = \sqrt{(1-x^2)} = f_x \text{ donc: } f_x = \lambda \left(\frac{w}{2} - \frac{a}{b} \right)$$

et de là en mettant $b \frac{w}{2} - b a$ pour a

$$[33] \dots \lambda a = f(b \frac{w}{2} - b a)$$

Cela posé si l'on pose dans la formule [28] $b \frac{w}{2} - b a$ au lieu de x on trouvera après quelques réductions faciles:

$$[34] \lambda a = A \cdot \frac{(1-r^2)(1-r^2 x^2)(1-r^2 x^4)(1-r^2 x^6) \dots}{(1+r^2)(1+r^2 x^2)(1+r^2 x^4)(1+r^2 x^6) \dots}$$

où

$$[35] \dots s = e^{-\frac{\pi w}{w}}, \quad r = e^{-\frac{\pi w'}{w'}}$$

et A une quantité indépendante de a .

Si l'on fait pour abréger

$$[35]^* \dots \frac{1 - e^{-2\pi x}}{1 + e^{-2\pi x}} = \psi(x)$$

on aura donc:

$$[36] \lambda a = A \cdot \psi\left(a \frac{\pi}{w}\right) \cdot \psi\left(w + a\right) \frac{\pi}{w} \cdot \psi\left(w - a\right) \frac{\pi}{w} \cdot \psi\left(2w + a\right) \frac{\pi}{w} \cdot \psi\left(2w - a\right) \frac{\pi}{w} \cdot \psi\left(3w + a\right) \frac{\pi}{w} \cdot \psi\left(3w - a\right) \frac{\pi}{w} \dots$$

Si l'on fait maintenant successivement

$$a = \theta, \quad \theta + \frac{w}{n}, \quad \theta + \frac{2w}{n}, \dots, \theta + \frac{n-1}{n} w$$

3*

on aura les valeurs de $\lambda\theta, \lambda(\theta + \frac{\pi}{n}), \dots, \lambda(\theta + \frac{n-1}{n}\pi)$ qui multipliées ensemble donneront une χ champ

$$[15] \quad \lambda\theta, \lambda(\theta + \frac{\pi}{n}), \lambda(\theta + \frac{2\pi}{n}), \dots, \lambda(\theta + \frac{n-1}{n}\pi)$$

$$= A \cdot \sqrt[n]{\lambda\theta}, \sqrt[n]{\lambda\theta}, \sqrt[n]{\lambda\theta}, \dots, \sqrt[n]{\lambda\theta}, \sqrt[n]{\lambda\theta}, \dots$$

ou on a fait pour abréger

$$[16] \quad \dots \quad \lambda = \frac{\pi}{n}, \quad \theta_1 = \frac{1}{n}, \quad \dots$$

on se fera rappeler avant la formule [16] la méthode θ_1 ou bien de θ et assigner les valeurs correspondantes de

$$\lambda\theta, \theta_1, \theta_2, A \text{ respectivement par}$$

$$\lambda\theta = A \cdot \sqrt[n]{\lambda\theta}, \lambda(\theta_1 + \frac{\pi}{n}), \lambda(\theta_2 + \frac{\pi}{n}), \dots$$

Le second membre de la formule [17] est donc la même chose que $A \cdot \sqrt[n]{\lambda\theta} = A \cdot \sqrt[n]{\lambda\theta}$ et par conséquent on aura la suivante

$$[17] \quad \lambda(\frac{\pi}{n}) = \lambda(\theta_1 + \frac{\pi}{n}), \lambda(\theta_2 + \frac{\pi}{n}), \dots, \lambda(\theta_{n-1} + \frac{\pi}{n})$$

elle équivaut à deux fois le lieu et le module θ_1 et tel que

$$[18] \quad \dots \quad \theta_1 = \frac{1}{n}, \quad \dots$$

quel que soit d'ailleurs le nombre entier n .

Si l'on fait $\lambda\theta = x$, $\lambda(\theta + \frac{\pi}{n}) = y$ on aura

$$[19] \quad \sqrt[n]{(1-x^2)(1-y^2)} = \sqrt[n]{(1-x^2)(1-y^2)} = \sqrt[n]{x^2 y^2}$$

qui par conséquent est satisfait par l'équation algébrique

$$[20] \quad x, y = \frac{1}{n}, \lambda\theta, \lambda(\theta + \frac{\pi}{n}), \dots, \lambda(\theta + \frac{n-1}{n}\pi)$$

La valeur de x est toujours une fonction algébrique de x . En effet si n est un nombre impair on a

$$[21] \quad x = \frac{1}{n}, \lambda\theta, \lambda(\theta + \frac{\pi}{n}), \dots, \lambda(\theta + \frac{n-1}{n}\pi) = x^2, \lambda\theta, \lambda(\theta + \frac{\pi}{n}), \dots, \lambda(\theta + \frac{n-1}{n}\pi) = x^2$$

et si n est un nombre pair :

$$[22] \quad x = \frac{1}{n}, \lambda\theta, \lambda(\theta + \frac{\pi}{n}), \dots, \lambda(\theta + \frac{n-1}{n}\pi) = x^2, \lambda\theta, \lambda(\theta + \frac{\pi}{n}), \dots, \lambda(\theta + \frac{n-1}{n}\pi) = x^2$$

Considérons maintenant les deux cas de notre problème général.

Premier cas, si n est pair. Dans ce cas on doit avoir comme nous avons vu $x = \frac{1}{n}, \lambda\theta, \lambda(\theta + \frac{\pi}{n}), \dots, \lambda(\theta + \frac{n-1}{n}\pi)$ et y est des nombres entiers et l'équation proposée deviendra :

$$[23] \quad \sqrt[n]{(1-x^2)(1-y^2)} = \frac{x}{y} \cdot \sqrt[n]{(1-x^2)(1-y^2)}$$

On doit avoir de plus $\frac{x}{y} = \frac{1}{n}, \lambda\theta, \lambda(\theta + \frac{\pi}{n}), \dots, \lambda(\theta + \frac{n-1}{n}\pi)$ ou x et y sont entiers. — Si l'on fait $x = \lambda(\nu\theta)$ et $y = \lambda(\mu\theta)$ où θ est une nouvelle variable, l'équation [23] sera satisfaite, car les deux membres se réduiront à $x\mu, \nu\theta$. Pour avoir une intégrale en x et y il faut donc éliminer θ des deux équations :

$$[24] \quad \dots \quad x = \lambda(\nu\theta); \quad y = \lambda(\mu\theta)$$

Nous allons voir que le résultat de l'élimination sera une équation algébrique en x et y .

Soit θ' un nouvel module et désignons

par $\lambda\theta', \theta', \theta', A'$ les valeurs correspondantes de $\lambda\theta, \theta, \theta, A$. Cela posé si l'on suppose le module θ' tel que $\frac{\theta'}{\theta} = \frac{1}{n}, \frac{\theta'}{\theta} = \frac{m}{n}$ on aura en vertu de la formule [39], en mettant $\mu\nu\theta'$ au lieu de θ

$$[25] \quad \dots \quad \lambda'(\mu\nu\theta') = \frac{A'}{A} \cdot \lambda'(\mu\nu\theta') \cdot \lambda'(\mu\nu\theta' + \frac{\pi}{n}) \dots \lambda'(\mu\nu\theta' + \frac{n-1}{n}\pi)$$

maintenant ayant $\frac{\theta'}{\theta} = \frac{1}{n}, \frac{\theta'}{\theta} = \frac{m}{n}$ on en tire $\frac{\theta'}{\theta} = \frac{1}{n}, \frac{\theta'}{\theta} = \frac{m}{n}$ donc la même formule donnera :

$$[26] \quad \dots \quad \lambda'(\mu\nu\theta') = \frac{A'}{A} \cdot \lambda'(\mu\nu\theta') \cdot \lambda'(\mu\nu\theta' + \frac{\pi}{m}) \dots \lambda'(\mu\nu\theta' + \frac{m-1}{m}\pi)$$

En égalant entre elles ces deux expressions de $\lambda'(\mu\nu\theta')$ il viendra en faisant pour abréger :

$$[27] \quad \dots \quad \nu\theta' = \theta, \mu\theta' = \theta, \dots \left\{ \begin{array}{l} \frac{1}{n} \cdot \lambda(\mu\theta) \cdot \lambda(\mu\theta + \frac{\pi}{n}) \dots \lambda(\mu\theta + \frac{n-1}{n}\pi) \\ \frac{1}{m} \cdot \lambda(\nu\theta) \cdot \lambda(\nu\theta + \frac{\pi}{m}) \dots \lambda(\nu\theta + \frac{m-1}{m}\pi) \end{array} \right.$$

Le premier membre de cette équation est une fonction algébrique de $\lambda(\mu\theta)$ et le second une fonction algébrique de $\lambda(\nu\theta)$; mais $\lambda(\mu\theta)$ est à son tour une fonction algébrique de $\lambda\theta = x$ et $\lambda(\nu\theta)$ est une fonction algébrique de $\lambda\theta = y$. Donc enfin les deux membres de l'équation [27] sont respectivement des fonctions algébriques de x et de y . Donc cette équation exprime l'intégrale cherchée en x et y de l'équation différentielle [43]. Pour en avoir l'intégrale complète il suffit d'ajouter à θ ou à θ' une quantité constante arbitraire. Quant aux quantités A et A' on doit remarquer qu'on a

$$[51] \dots A = \frac{1}{\sqrt{c}} \quad A_1 = \frac{1}{\sqrt{c_1}}$$

Pour donner un exemple supposons qu'on demande une intégrale algébrique de l'équation

$$\sqrt{[(1-y^2)(1-c^2y^2)]} = \frac{dy}{\frac{w}{v} \cdot \sqrt{[(1-x^2)(1-c^2x^2)]}}$$

dans le cas où $\frac{w}{v} = \frac{2}{3} \cdot \frac{w}{w}$. On aura alors $\mu = \nu = 1$, $m = 2$, $n = 3$. L'équation () deviendra donc:

$$\sqrt{c} \cdot \lambda \delta \cdot \lambda \left(\delta + \frac{w}{3} \right) \cdot \lambda \left(\delta + \frac{2w}{3} \right) = c_1 \lambda_1 \delta_1 \cdot \lambda_1 \left(\delta_1 + \frac{w_1}{2} \right)$$

c'est-à-dire:

$$y \cdot \frac{\sqrt{(1-y^2)}}{\sqrt{(1-c^2y^2)}} = \frac{c_1 \sqrt{c}}{c_1} \cdot x \cdot \frac{\lambda^2 \frac{w}{1} - x^2}{1 - c^2 \lambda^2 \frac{w}{1} \cdot x^2}$$

Second cas si $a\sqrt{-1}$ est réel. Dans ce cas on doit avoir selon [15], $a = \frac{\mu}{\nu} \cdot \frac{w}{w} \sqrt{-1}$ où μ et ν sont entiers. On doit avoir de même $\frac{w}{w} = \frac{m}{n} \cdot \frac{w}{w}$. L'équation proposée [1] deviendra:

$$[52] \quad \frac{\frac{\mu}{\mu} \frac{w}{w} \sqrt{-1}}{\frac{\mu}{\mu} \frac{w}{w} \sqrt{-1}} \cdot \frac{dy}{\sqrt{[(1-y^2)(1-c^2y^2)]}} = \frac{dx}{\sqrt{[(1-x^2)(1-c^2x^2)]}}$$

Pour réduire ce cas au précédent il suffit de faire $x = \frac{s\sqrt{1-c^2}}{\sqrt{(1-c^2)}}$ où s est une nouvelle variable, on aura alors: $\frac{dx}{\sqrt{[(1-x^2)(1-c^2x^2)]}} = \sqrt{-1} \cdot \frac{ds}{\sqrt{[(1-s^2)(1-b^2s^2)]}}$ où $b = \sqrt{(1-c^2)}$ et par suite l'équation [52] deviendra en y et s :

$$\frac{dy}{\sqrt{[(1-y^2)(1-c^2y^2)]}} = \frac{\frac{\mu}{\nu} \cdot \frac{w}{w}}{\frac{\mu}{\nu} \cdot \frac{w}{w}} \cdot \frac{ds}{\sqrt{[(1-s^2)(1-b^2s^2)]}}$$

donc l'intégrale algébrique est exprimée par la formule [50] en y faisant $s = \lambda \delta = \frac{x}{\sqrt{(x^2-1)}}$ et mettant w au lieu de w .

Supposons par exemple qu'il s'agit de trouver une intégrale algébrique de l'équation:

$$\sqrt{[(1-y^2)(1-c^2y^2)]} = \frac{dy}{\frac{w}{w} \sqrt{-1} \sqrt{[(1-x^2)(1-c^2x^2)]}}$$

dans le cas où $\frac{w}{w} = 2 \cdot \frac{w}{w}$. Ayant $\mu = \nu = 1$ et $m = 2$, $n = 1$ l'équation [50] deviendra

$$\frac{1}{\sqrt{c}} \cdot \lambda \delta = \frac{1}{c_1} \cdot \lambda_1(\delta_1) \cdot \lambda_1 \left(\delta_1 + \frac{w_1}{2} \right)$$

c'est-à-dire en remettant les valeurs de $\lambda \delta$ et $\lambda_1 \delta_1$:

$$y \frac{\sqrt{(1-y^2)}}{\sqrt{(1-c^2y^2)}} = \frac{c_1}{\sqrt{c}} \cdot \frac{x}{\sqrt{(x^2-1)}}$$

$$\text{Troisième cas. Si } \frac{w}{w} = \sqrt{k} \cdot \frac{w}{w}, \quad \frac{w}{w} = \sqrt{k}$$

Dans ce cas on doit avoir en vertu du théorème I $a = \frac{\mu}{\nu} \cdot \frac{w}{w} + \frac{\mu'}{\nu'} \cdot \frac{w'}{w'} \sqrt{-1}$ où μ , ν , μ' , ν' sont des nombres entiers. L'équation proposée deviendra donc:

$$[53] \dots \frac{dy}{\sqrt{[(1-y^2)(1-c^2y^2)]}} = \left(\frac{\mu}{\nu} \cdot \frac{w}{w} + \frac{\mu'}{\nu'} \cdot \frac{w'}{w'} \sqrt{-1} \right) \frac{dx}{\sqrt{[(1-x^2)(1-c^2x^2)]}}$$

et cette équation sera toujours intégrable algébriquement. En effet comme on a tant

$$\frac{w'}{w'} = \frac{1}{k'} \cdot \frac{w}{w} \quad \text{que} \quad \frac{w'}{w'} = k \cdot \frac{w}{w} \quad \text{où } k' \text{ et } k$$

sont des nombres rationnels on pourra en vertu de ce que nous venons de voir dans les deux premiers cas satisfaire algébriquement aux équations

$$\frac{dx}{\sqrt{[(1-x^2)(1-c^2x^2)]}} = \frac{\mu}{\nu} \cdot \frac{w}{w} \cdot \frac{dx}{\sqrt{[(1-x^2)(1-c^2x^2)]}}$$

$$\frac{dv}{\sqrt{[(1-v^2)(1-c^2v^2)]}} = \frac{\mu'}{\nu'} \cdot \frac{w'}{w'} \sqrt{-1} \frac{dx}{\sqrt{[(1-x^2)(1-c^2x^2)]}}$$

Par là l'équation [53] deviendra:

$$\frac{dy}{\sqrt{(1-y^2)(1-c^2y^2)}} = \frac{ds}{\sqrt{(1-s^2)(1-c^2s^2)}} + \frac{dv}{\sqrt{(1-v^2)(1-c^2v^2)}}$$

à la quelle on satisfera comme on sait en prenant:

$$[54] \quad y = \frac{s \cdot \sqrt{[(1-v^2)(1-c^2v^2)]} + v \cdot \sqrt{[(1-s^2)(1-c^2s^2)]}}{1 - c^2 s^2 v^2}$$

En y substituant les valeurs de v et s en x on aura une intégrale algébrique en x et y de l'équation.

Nous avons ainsi démontré que les conditions nécessaires exposées dans le théorème I sont en même temps suffisantes.

En vertu de ce qui a été exposé dans le premier cas on a immédiatement ce théorème:

Pour que deux fonctions elliptiques réelles $F(c, \theta)$, $F(c, \theta')$ puissent être réduites l'une à l'autre il est nécessaire et il suffit qu'on ait entre les fonctions complètes:

$$F(c); F(b); F(c'); F(b'); F(b'') \quad \text{cette relation:}$$

$$[55] \dots n \cdot F(c') \cdot F(b) = m \cdot F(b') \cdot F(c)$$

où m et n sont des nombres entiers. — Si cette condition est remplie on pourra établir une relation algébrique entre $\sin \theta'$ et $\sin \theta$ telle que:

$$[56] \dots F(c', \theta') = k \cdot \frac{F(b')}{F(b)} \cdot F(c, \theta)$$

où k est un nombre rationnel. On pourra ajouter que dans le cas où $k = 1$, θ' est lié à θ par l'équation:

$$[57] \dots \left\{ \begin{aligned} &\delta' + \text{Arct.}[a', \text{tang } \delta'] + \text{Arct.}[a_2 \text{ tang } \delta] + \dots + \text{Arct.}[a_{m-1} \text{ tang } \delta'] \\ &= \delta + \text{Arct.}[a, \text{tang } \delta] + \text{Arct.}[a_2 \text{ tang } \delta] + \dots + \text{Arct.}[a_{m-1} \text{ tang } \delta] \end{aligned} \right.$$

où $a, a_2, \dots, a_{m-1}, a', \dots$ sont des quantités constantes données par les formules

$$[58] \dots \left\{ \begin{aligned} a_{\mu} &= \sqrt{(1 - c^2 \sin^2 \delta_{\mu})} \\ a'_{\mu} &= \sqrt{(1 - c'^2 \sin^2 \delta_{\mu})} \end{aligned} \right.$$

après avoir déterminé δ_{μ} et δ'_{μ} tels que

$$[59] \dots \left\{ \begin{aligned} F(c, \delta_{\mu}) &= \frac{2\mu}{n} \cdot F(c) = \frac{\mu}{n} \cdot \int_0^{\pi} \frac{d\theta}{\sqrt{(1 - c^2 \sin^2 \theta)}} \\ F(c', \delta'_{\mu}) &= \frac{2\mu}{m} \cdot F(c') = \frac{\mu}{m} \cdot \int_0^{\pi} \frac{d\theta}{\sqrt{(1 - c'^2 \sin^2 \theta)}} \end{aligned} \right.$$

En prenant $n = 1$ on aura la formule [67] du Nr. 138.

Il y a un cas du problème général qui mérite d'être remarqué; c'est celui où l'on suppose les deux modules égaux entre eux, ou en d'autres termes quand on demande tous les cas dans lesquels il sera possible d'intégrer algébriquement l'équation différentielle:

$$[60] \dots \frac{dy}{\sqrt{[(1-y^2)(1-c^2y^2)]}} = a \frac{dx}{\sqrt{[(1-x^2)(1-c^2x^2)]}}$$

Dans ce cas on a $a' = a$, $\omega' = \omega$ et par conséquent les équations [15] deviendront:

$$a = \frac{m}{y} + \frac{m'}{2y} \cdot \frac{\omega}{\omega} \sqrt{-1} = \frac{\mu}{y'} - \frac{2\mu}{y'} \cdot \frac{\omega}{\omega} \sqrt{-1}$$

et de là

$$\frac{m}{y} = \frac{\mu'}{y'}; \quad \frac{m'}{2y} \cdot \frac{\omega}{\omega} = -\frac{2\mu}{y'} \cdot \frac{\omega}{\omega}$$

Si l'on veut que a soit réel on a $a = \frac{m}{y}$, $m' = \mu = 0$ dans ce cas on n'aura aucune condition pour la valeur de c , qui peut être quelconque, mais on voit que a doit être un nombre rationnel. — Si au contraire on admet des valeurs imaginaires de a le module c doit être tel que $\frac{m'}{2y} \cdot \frac{\omega}{\omega} = -\frac{2\mu'}{y'} \cdot \frac{\omega}{\omega}$ d'où l'on tire $\frac{\omega}{\omega} = \frac{1}{2} \cdot \sqrt{-1} \cdot \left(-\frac{m'}{\mu'}\right)$.

En vertu de cette expression la valeur de a deviendra:

$$a = \frac{\mu'}{y'} - \frac{\mu}{y'} \cdot \sqrt{-1} \cdot \left(-\frac{m'}{\mu'}\right) \cdot \sqrt{-1}$$

Soit $\frac{\omega}{\omega} = \sqrt{-1}$ on aura

$$a = \delta + \delta' \sqrt{-1} \cdot \sqrt{-1}$$

où δ, δ' pourront désigner des nombres rationnels quelconques. On voit que pour que l'équation [60] soit intégrable algébriquement en supposant a imaginaire il est nécessaire et il suffit que

$$\frac{\omega}{\omega} = \sqrt{-1}, \quad a = \delta + \delta' \cdot \sqrt{-1} \cdot \sqrt{-1}$$

et est essentiellement positif.

On pourra exprimer le module c en produits infinis comme il suit

$$\sqrt{-1}c = \frac{1 - e^{-\pi i/4}}{1 + e^{-\pi i/4}} \cdot \frac{1 - e^{-3\pi i/4}}{1 + e^{-3\pi i/4}} \cdot \frac{1 - e^{-5\pi i/4}}{1 + e^{-5\pi i/4}}$$

On tire cette expression de la formule [34] en y faisant

$$a = \frac{\omega}{2} \text{ et remarquant que } \frac{\omega}{\omega} = \sqrt{-1} \text{ et } A = \sqrt{-1}.$$

On aura en même temps le module b par cette formule:

$$\sqrt{-1}b = \frac{1 - e^{-\pi i/4}}{1 + e^{-\pi i/4}} \cdot \frac{1 - e^{-3\pi i/4}}{1 + e^{-3\pi i/4}} \cdot \frac{1 - e^{-5\pi i/4}}{1 + e^{-5\pi i/4}}$$

Il suit encore de ce qui précède que si le module c a la valeur ci dessus, l'équation

$$\frac{dy}{\sqrt{[(1-y^2)(1-b^2y^2)]}} = k' \sqrt{-1} \frac{dx}{\sqrt{[(1-x^2)(1-c^2x^2)]}}$$

sera toujours intégrable algébriquement quels que soient les nombres rationnels k et k' pourvu que k soit positif.

Il y a encore beaucoup de choses à dire sur la transformation des fonctions elliptiques. On trouvera des développements ultérieurs sur cette matière ainsi que sur la théorie des fonctions elliptiques en général dans un mémoire qui va paraître dans le Journal de Monsieur *Crelle*.

Christiania le 25 Septembre 1828.

N. H. Abel.

Ephemeride für die im Jahr 1829 vorkommenden Bedeckungen der Fixsterne vom Monde.

Herr Professor Ritter *Schumacher* zeigte sich auf mein Anfragen bereitwillig, eine von mir für das nächste Jahr berechnete Ephemeride der Sternbedeckungen in seine Hülftafeln für 1829 aufnehmen zu wollen. Um nun

dieselbe so früh als möglich den Beobachtern zugänglich zu machen, habe ich den für die ersten 6 Monate geltenden Theil schon jetzt für die Astronomischen Nachrichten, zur gefälligen Benützung eingesendet.

Die Ephemeride ist, für den Meridian und die Polhöhe von Altona, nach der Methode berechnet, welche Herr Professor Ritter *Rezel* in Nr. 145. der A. N. bekannt gemacht hat. Die in jenem Aufsätze vorkommenden Größen p , q , q' , welche vom Orte des Beobachters unabhängig sind, habe ich für jeden Stern angegeben, wodurch die Berechnung der Zeit des Ein- und Austritts für alle andere Orte sehr einfach wird. Die Pariser wahre Zeit, T , für welche diese Constanten gelten, der entsprechende Stundenwinkel, h , die Declination des Sterns, D , und $\log \sin D$ sind daneben bemerkt. Die Zeiten des Ein- und Austritts sind in Altonaer wahrer Zeit angegeben. Was die Oerter der Sterne betrifft, so habe ich dieselben, Herrn Professor *Encke* folgend, (Berliner Jahrbuch für 1830) aus dem von Herrn *Baily* herausgegebenen Auszuge aus dem *Piazzi'schen Cataloge* genommen.

Ich werde nun den Gebrauch der Constanten erklären, wenn man die Bedeckung eines Sterns für einen andern Ort dessen elliptische Polhöhe Φ' und für welchen der Radius des Erdspheroids r sein mag, berechnen will. Bezeichnet man die östliche Meridiansdifferenz zwischen diesem Orte und Paris durch d , und den zu der Pariser wahren Zeit T gehörenden Stundenwinkel durch h' , so ist $h' = h + d$, wo h aus der Ephemeride genommen wird; positive h sind westliche, negative östliche Stundenwinkel. So hat man z. B. für Königsberg $h' = h + 18^\circ 10'$.

Mit den Größen $r \cos \Phi'$ und $r \sin \Phi'$, welche für jeden Ort leicht gefunden werden können, berechnet man nun

$$a = r \cos \Phi', \sin h'$$

$$b = r \cos \Phi', \cos h'$$

und erhält damit wenn

$$c = r \sin \Phi' \cdot \cos D,$$

wo D die Declination des Sterns bedeutet,

$$u = a$$

$$v = c - b \sin D$$

$$u' = b \lambda$$

$$v' = a \lambda \sin D \text{ wo } \log \lambda = 9,4192 \text{ ist.}$$

Führt man alsdann zwei Hilfswinkel M und N ein, so, daß

$$p - u = m \sin M \quad p' - u' = n \sin N$$

$$q - v = m \cos M \quad q' - v' = n \cos N,$$

und berechnet

$$\cos \psi = \frac{m}{n} \sin (M - N),$$

so ergibt sich, wenn $\log \frac{1}{k} = 0,5646$ gesetzt wird, die wahre Zeit des Eintritts und Austritts

$$T = \frac{m}{n} \cos (M - N) \mp \frac{k}{n} \sin \psi + d$$

$$\text{und } Q = N \pm \psi - 90^\circ.$$

Q ist der Winkel, welchen der Declinationskreis des Mittelpunkts des Mondes mit dem von dem Stern nach dem Mittelpunkt des Mondes gezogenen größten Kreise bildet und wird von Norden über Osten bis 360° fortgezählt. Der erste Werth von Q gilt für den Eintritt, der andere für den Austritt des Sterns. Die Kenntniß dieses Winkels ist besonders für den Austritt von Wichtigkeit.

Anstatt $c = r \sin \Phi' \cos D$ logarithmisch zu berechnen, ist es bequemer dasselbe aus einer Tafel, welche für ganze Grade von D fortgeht, zu interpoliren. Für Altona habe ich mir folgendes Tafelchen construiert.

D.	c	Diff.	D.	c	Diff.
0	0,8007	—	14	0,7769	— 34
1	0,8006	— 1	15	0,7735	— 38
2	0,8003	— 7	16	0,7697	— 39
3	0,7996	— 8	17	0,7658	— 42
4	0,7988	— 11	18	0,7616	— 45
5	0,7977	— 14	19	0,7571	— 46
6	0,7963	— 15	20	0,7525	— 49
7	0,7948	— 19	21	0,7476	— 52
8	0,7929	— 20	22	0,7424	— 53
9	0,7909	— 23	23	0,7371	— 56
10	0,7886	— 25	24	0,7315	— 58
11	0,7860	— 26	25	0,7257	— 60
12	0,7832	— 30	26	0,7197	— 62
13	0,7802	— 33	27	0,7135	— 65
14	0,7769	— 35	28	0,7070	— 65

Damit jeder Rechner für seinen Ort sich eines ähnlichen Tafelchens leicht bedienen könne, wurde in der Ephemeride nicht $\log \cos D$, sondern statt dessen D selbst angegeben.

Um endlich den Gebrauch der Constanten an einem Beispiele zu zeigen, werde ich die Bedeckung von 115 Tauri am 16^{ten} Januar, für Königsberg berechnen.

1829. Jan. 16. 115 Tauri (4.5)

$$T = 6^h, \quad h' = -32^\circ 40'$$

$$\log r \cos \Phi' = 9,7626$$

$$\log \sin h' = 9,7328$$

$$\log \cos h' = 9,9259$$

$$\log a = 9,9448$$

$$\log b = 9,6878$$

$$\log \lambda = 9,4192$$

$$\log \sin D = 9,4855$$

$$p = -0,1905 \quad u = -0,3125 \quad \log m \sin M = 9,0864$$

$$q = +0,6259 \quad v = +0,6248 \quad \log m \cos M = 7,0414$$

$$p' = +0,5617 \quad u' = +0,1279 \quad \log n \sin N = 9,6373$$

$$q' = +0,0247 \quad v' = -0,0251 \quad \log n \cos N = 8,6972$$

$$M = 89^\circ 29' \quad N = 83^\circ 27' \quad \log m = 9,0864 \quad \log n = 9,6401$$

$$\log \frac{m}{k} = 9,6510 \quad \log \frac{m}{n} = 9,4463 \quad \log \frac{k}{n} = 9,7953$$

$$\lg \sin (M - N) = 9,0215 \quad \lg \cos (M - N) = 9,9976 \quad \lg \sin \psi = 9,9995$$

$$\psi = 87^\circ 18' \quad -0,278 \quad +0,623$$

$$\text{Eintr. } 5 \text{ } 5,9 \text{ Par. w. Zeit} = 6 \text{ } 18,6 \text{ Königsb. w. Zl. } Q = 86^\circ$$

$$\text{Austr. } 6 \text{ } 20 \quad 7 \text{ } 33,4 \quad 2 = 266$$

Tag.	Namen der Sterne.	Gr.	Eintr.	Austr.	Q	P	P'	q'	T	h	D	log sin D
1829	♈ Aquarii	4.5	6 39.0	7 36.3	48 269	+0.2161	+0.6328	+0.5861	+0.1769	6	+47 52	-8 38 9.1763 n
Jan. 8	♈	6	8 12.6	8 40.7	129 192	+0.5513	+1.0318	+0.5852	+0.1785	8	-77 6	-8 40 9.1785 n
11	♉ 13 Piscium	6.7	Zeit der nächsten Zusammenkunft: 8 ^h 34'; Abstand des Sterns vom nächsten Mondr. 0' ⁵ nördl.									
88	♉	6.7	13 30; 3.0									
16	♊ 115 Tauri	5.6	5 25.8	6 37.8	76 269	-0.1905	+0.6259	+0.5617	+0.0247	6	-50 50	+17 48 9.4855
17	♊ 21 Geminor.	7	13 3.4	14 2.7	63 312	+0.3936	+0.4871	+0.5577	-0.0275	13	+39 16	+17 54 9.4876
18	♊	4.5	9 30.2	10 37.0	128 243	-0.4514	+0.7775	+0.5526	-0.0589	9	-31 20	+16 51 9.4620
20	♊ 2 a Cancri	5	Zeit der nächsten Zusammenkunft: 11 ^h 13'; Abstand des Sterns vom nächsten Mondr. 0' ⁵ nördl.									
23	♊ q Leonis	5.6	10 27.1	11 28.1	83 317	-0.7784	+0.7446	+0.5206	-0.1699	10	-71 4	+2 57 8.7115
76	♊	6	11 37.2	12 50.9	130 276	-0.1936	+0.8059	+0.5200	-0.1710	12	-41 24	+2 35 8.6547
24	♊	5.6	15 27.7	15 48.1	40 11	-0.0541	+0.5592	+0.5198	-0.1714	15	+2 27	+2 21 8.6123
24	♊ Virginis	7	9 41.4	10 45.8	114 286	-0.4309	-0.7725	+0.5200	-0.1737	10	-60 58	+0 49 8.1509 n
28	♊ 1 o Librae	7	13 52.1	14 31.3	54 341	-0.4263	+0.5986	+0.5580	-0.1155	14	-66 27	-14 55 9.4108 n
Febr. 1	♊ 1 p Sagittarii	5	17 29.7	18 28.1	65 289	-0.2077	+0.7793	+0.6090	+0.0672	18	-62 15	-18 10 9.4937 n
9	♊ 38 Arietis	5.6	12 0.4	12 51.9	80 351	+0.5965	+0.8339	+0.5668	-0.1369	12	+104 33	+11 43 9.3079
11	♊ 69 Tauri	6	7 10.2	8 27.2	70 273	-0.3338	+0.5321	+0.5631	+0.0730	7	+7 6	-16 22 9.4501
12	♊ 115	5.6	Zeit der nächsten Zusammenkunft: 17 ^h 4'; Abstand des Sterns vom nächsten Mondr. 1' ¹ nördl.									
16	♊ 1 A Cancri	6.7	9 53; 1' ¹ nüll.									
17	♊ h Leonis	6	10 33.6	10 57.4	182 216	-0.1323	+0.9607	+0.5314	-0.1378	10	-19 30	+10 28 9.2593
19	♊ d	5	7 44.3	8 14.4	45 353	-0.3738	+0.4643	+0.5236	-0.1667	8	-69 54	+4 32 8.8980
20	♊ Virginis	7	17 58.2	18 42.3	63 336	+0.5865	+0.5872	+0.5224	-0.1729	18	+66 19	+0 49 8.1509 n
25	♊ 1 o Librae	4.5	11 47.5	12 36.6	67 323	-0.4474	+0.6224	+0.5603	-0.0950	12	-77 8	-16 13 9.4461 n
März 14	♊ k Geminor.	5	4 37.4	5 44.5	127 245	-0.1834	+0.7560	+0.5466	-0.0673	5	-41 34	+16 11 9.4453
17	♊ 11 Sextantis	5	5 5.7	5 57.1	64 325	-0.6038	+0.5853	+0.5274	-0.1466	5	-75 8	+9 8 9.2004
18	♊ 35 Sextantis	4.5	6 17.8	7 28.7	95 298	-0.6563	+0.7335	+0.5274	-0.1473	6	-60 38	+8 52 9.1876
23	♊ p Librae	5.6	12 8.2	12 57.0	159 241	-0.2384	+1.0987	+0.5469	-0.1308	12	-37 9	-13 26 9.3660 n
27	♊ Sagittarii	6	14 14.1	15 12.8	62 301	-0.5725	+0.7494	+0.5837	+0.0212	14	-58 29	-18 50 9.5058 n
		7	14 44.6	15 55.1	100 261	-0.2703	+0.9561	+0.5837	+0.0231	15	-43 44	-19 0 9.5128 n
April 7	♊ 2 Tauri	1	Zeit der nächsten Zusammenkunft: 6 ^h 10'; Abstand des Sterns vom nächsten Mondr. 3' ⁸ nördl.									
15	♊ 76 Leonis	6	7 18.6	8 21.3	149 257	-0.3733	+0.9781	+0.5225	-0.1689	7	-38 53	+2 35 8.6547
	♊ 1 o Librae	5.6	10 46.4	11 43.7	72 337	+0.2986	+0.5662	+0.5225	-0.1701	11	+19 59	+2 21 8.1623
20	♊ 1 A Cancri	7	8 35.6	9 15.1	115 280	-0.3135	+0.8379	+0.5578	-0.1155	9	-24 31	-14 55 9.4108 n
Mai 9	♊ 1 A Cancri	6.7	7 26.2	8 12.0	161 235	+0.2414	+0.9095	+0.5401	-0.1127	7	-62 56	+13 17 9.3615
13	♊ Virginis	7	14 42.8	15 35.3	88 306	+0.7494	+0.6521	+0.5222	-0.1731	15	+97 31	+0 49 8.1509 n
18	♊ 1 o Librae	4.5	6 41.6	7 28.1	64 326	-0.3825	+0.5981	+0.5686	-0.0977	7	-75 40	-16 13 9.4461 n
Juni 11	♊ p Librae	5.6	11 17.1	12 21.6	136 255	+0.2399	+1.0624	+0.5516	-0.1346	11	+26 54	-13 26 9.3660 n
17	♊ Sagittarii	7	10 17.8	10 38.7	18 344	-0.3003	+0.6615	+0.5961	+0.0198	10	-39 19	-19 0 9.5128 n
		7	10 10.0	11 20.2	85 277	-0.4282	+0.8956	+0.5961	+0.0198	10	-29 28	-19 14 9.5178 n
19	♊ 1 c Cephei.	6	13 55.5	15 6.5	87 243	-0.0298	+0.9845	+0.5914	+0.1171	14	-8 41	-15 44 9.4332 n
2 r	♊	6	15 1.7	16 13.2	74 253	+0.0863	+0.9147	+0.5910	+0.1186	15	+5 52	-15 33 9.4282 n
24 c	♊ Piscium	5	Zeit der nächsten Zusammenkunft: 13 ^h 19'; Abstand des Sterns vom nächsten Mondr. 0' ⁵ nördl.									

Königsberg September 24. 1828.

C. T. Anger.

N a c h r i c h t.

Die Steindrücke bei der vorigen Nummer sind von Herrn Professor Hansten nicht in hinreichender Anzahl gesandt, um der ersten Auflage beigelegt werden zu können. Sie werden nur abgegeben, so lange der Vorrath ausreicht.

I n h a l t.

Addition au mémoire sur les fonctions elliptiques, inséré dans le Nr. 138 de ce Journal, par Mr. N. H. Abel. pag. 32.
Ephemeride für die im Jahr 1829 vorfallenden Bedeckungen der Fixsterne vom Monde, von Herrn C. T. Anger. p. 43.

Altona im November 1828. (Hiebei eine Beilage und die Liste der Mondsterne für 1829.)

Brief des Herrn Professors *Moll* an den Herausgeber.

Chesfield Lodge, Hartfordshire 1 Octobre 1828.

Monsieur!

Un phénomène singulier, dont nous fûmes témoins avant-hier le 29 Septembre, Mr. le Capitaine *Kater* et moi, nous paraît être assez intéressant pour être communiqué au public au moyen de vos *Astronomische Nachrichten*.

Le 29 Septembre, à 8^h 35' tems moyen, nous fûmes avertis qu'une apparence extraordinaire était visible dans le ciel. Nous aperçûmes effectivement une zone, ou une bande lumineuse s'étendant dans le ciel, dans une direction oblique depuis l'orient jusqu'à l'occident, en passant à 22° environ du zénith. La lumière de cette bande était blanche, uniforme sur toute son étendue, et surpassant de beaucoup en intensité celle de la voie lactée; sa largeur, à peu près égale sur toute son étendue visible, était d'environ trois quarts de la distance de β et γ de l'Aigle, ou d'à peu près 3° 45'. Les bords nous en ont paru bien définis, et d'une intensité de lumière égale à celle de son milieu, sa transparence était telle, qu'on voyait distinctement les étoiles au travers de son éclat tranquille et uniforme. La direction de cette zone lumineuse était à peu près la suivante. Vers l'est, elle couvrit les Pléiades, passa à égale distance entre α du Belier et γ d'Andromède, couvrit ensuite β d'Andromède, coupa le méridien à la hauteur d'environ 32°, depuis lors, elle se prolongea à $\frac{1}{2}$ ou $\frac{1}{4}$ de la distance entre α de

l'Aigle et α de la Lyre, descendant vers l'occident elle passa sur β et γ d'Ophiuchus, et la distance de ces deux étoiles indique assez bien la largeur de la bande. Plus bas, vers l'horizon occidental l'arc lumineux parut subir une inflexion très-marquée vers le nord et il disparut enfin dans les nuages à peu de distance de l'horizon. On voit, en suivant sur le globe céleste la trace de ce singulier météore, qu'il s'étendit à peu près dans la direction d'un grand cercle, coupant l'horizon à peu près dans le O $\frac{1}{2}$ S. et dans le E. N. E. Pendant la durée entière du phénomène, il couvrit constamment les mêmes étoiles.

A 8^h 42' T. M. cette lumière commença à s'affaiblir lentement vers l'est, peu à peu elle diminua sur toute l'étendue de la zone et à 9^h 22' T. M. on n'en aperçut plus aucune trace.

Le vent continua de souffler assez fortement du S. O. Le ciel brilla d'une clarté assez rare, dans ce climat. Le baromètre se tint à 29,12 pouces anglais, le thermomètre de *Fahrenheit* à 59°. Dans la nuit du lendemain, nous n'aperçûmes aucune trace d'une apparence aussi singulière.

Chesfield Lodge est situé dans le Hartfordshire près de Sevenage, latitude 51° 56' 15", longitude en tems à l'ouest de Greenwich 17" à peu près.

G. Moll.

N a c h r i c h t.

Da alle Exemplare der *Astronomischen Nachrichten* sorgfältig collationirt abgegeben werden, so kann für die Folge kein Defect unentgeltlich ersetzt werden. Die einzelnen Nummern, die noch vorrätig sind, werden degen zu 8 Schilling Courant pr. Nummer auf Verlangen, verkauft.

Von dem ersten Theile der *Astronomischen Nachrichten* sind alle Exemplare bis auf sehr wenige vergeiffen, die nur zu 16 Mark Courant oder 2 Dukaten überlassen werden können.

Die von der Güte des Herrn Dr. *Young* so eben erhaltene Liste der Mondsterne, lege ich dieser Nummer bei.

1828. November 1.

S.

STARS

TO BE

OBSERVED WITH THE MOON.

1820.	Names.	Mag.	R. A.		Declin.		1820.	Names.	Mag.	R. A.		Declin.	
			H. M. S.	° ' "						H. M. S.	° ' "		
Jan. 10.	λ Pscium...	5	23. 33. 19	+ 0. 50			Jan. 19	(14) Cancr.	7	8. 4. 23	+18. 11		
	21 Pscium...	6	23. 40. 42	0. 8			α Cancr.	6. 7	8. 33. 46	13. 17			
	Moon I. ...	(0)	23. 55. 16	0. 44			Jan. 20	α Cancr.	6. 7	8. 33. 46	+13. 17		
	(33) Pscium...	6. 7	0. 9. 1	0. 44			α Cancr.	5	8. 49. 7	12. 31			
Jan. 11.	(131) Pscium...	7	0. 28. 42	+ 2. 12			Moon II. ...	(16)	8. 53. 53	13. 7			
	8 Pscium...	5	0. 39. 49	6. 39			α Cancr.	5. 6	8. 58. 29	11. 21			
	Moon I. ...	(7)	0. 50. 35	5. 17			λ Leonis...	5	9. 22. 43	12. 3			
	α Pscium...	4	0. 54. 5	6. 58			Jan. 21	λ Leonis...	5	9. 22. 43	+12. 3		
Jan. 12.	μ Pscium...	5	1. 21. 14	+ 5. 15			α Leonis...	4	9. 32. 0	10. 40			
	α Pscium...	5	1. 26. 22	8. 18			Moon II. ...	(17)	9. 42. 19	10. 3			
	Moon I. ...	(8)	1. 45. 11	9. 25			10 Sextan.	6	9. 47. 22	9. 44			
	(240) Arietis	7	1. 53. 51	10. 11			α Leonis...	6	10. 14. 3	7. 25			
Jan. 13.	γ Ceti...	5	2. 3. 56	8. 2			Jan. 22	α Leonis...	6	10. 14. 3	+ 7. 25		
	38 Arietis...	5. 6	2. 35. 39	11. 43			48 Leonis...	5. 6	10. 25. 52	7. 50			
	Moon I. ...	(9)	2. 39. 36	12. 56			Moon II. ...	(18)	10. 29. 33	6. 35			
	α Arietis...	6	2. 42. 3	14. 22			34 Sextan.	6	10. 33. 46	4. 29			
Jan. 14.	(4) Ceti...	6. 7	3. 1. 59	12. 24			α Leonis...	5. 6	10. 58. 10	2. 53			
	(163) Tauri	7	3. 29. 46	15. 58			Jan. 23	α Leonis...	5. 6	10. 58. 10	+ 2. 53		
	Moon I. ...	(10)	3. 34. 9	15. 41			α Leonis...	5. 6	11. 15. 15	2. 21			
	(187) Tauri	7	3. 43. 23	16. 49			Moon II. ...	(19)	11. 16. 3	2. 51			
Jan. 15.	γ Tauri...	3. 4	4. 10. 4	15. 12			α Leonis...	4. 5	11. 28. 11	0. 7			
	Moon I. ...	(11)	4. 26. 7	16. 10			β Virginis...	3. 4	11. 41. 47	2. 44			
	(179) Tauri	6	4. 36. 18	18. 35			Jan. 24	β Virginis...	3. 4	11. 41. 47	+ 2. 44		
	α Tauri...	5	4. 57. 21	18. 24			(220) Virg.	7	11. 57. 15	- 2. 11			
Jan. 16.	μ Tauri...	5	4. 57. 21	+18. 24			Moon II. ...	(20)	12. 2. 27	- 1. 0			
	119 Tauri...	5	5. 22. 11	18. 28			γ Virginis...	3. 4	12. 11. 10	+ 0. 17			
	Moon I. ...	(12)	5. 53. 21	18. 27			γ Virginis...	4	12. 33. 0	- 0. 31			
	122 Tauri...	6	5. 27. 8	16. 56			Feb. 9	γ Ceti...	5	2. 3. 56	+ 8. 2		
Jan. 17.	α Orionis...	5. 6	5. 53. 20	19. 41			(8) Arietis...	6	2. 17. 36	9. 47			
	α Geminor.	5	6. 12. 37	22. 36			Moon I. ...	(7)	2. 21. ...	11. 33			
	Moon I. ...	(13)	6. 17. 20	18. 24			α Arietis...	6	2. 23. 33	14. 16			
	21 Geminor.	4	6. 53. 56	20. 49			α Arietis...	6	2. 42. 3	14. 22			
Jan. 18.	γ Geminor.	4	6. 53. 56	+20. 49			Feb. 10	α Arietis...	6	2. 42. 3	+14. 22		
	λ Geminor.	4. 5	7. 8. 16	16. 51			(4) Ceti...	6. 7	3. 1. 59	12. 24			
	Moon I. ...	(14)	7. 10. 17	17. 25			Moon I. ...	(8)	3. 17. ...	14. 38			
	α Geminor.	5	7. 23. 56	16. 11			γ Tauri...	3. 4	4. 10. 4	15. 12			
Jan. 19.	γ Geminor.	6	7. 36. 13	+18. 55			β Tauri...	(9)	4. 12. ...	16. 49			
	α Caucr...	6	7. 59. 9	14. 8			α Tauri...	4	4. 13. ...	17. 0			
	Moon I. ...	(15)	8. 1. 50	15. 37			α Tauri...	5. 6	4. 41. 22	16. 33			
	(11)	(15)	8. 3. 57	15. 37			Feb. 12	γ Tauri...	5. 6	4. 41. 22	+16. 33		
							α Tauri...	5	4. 57. 91	18. 24			
							Moon I. ...	(10)	5. 7. ...	17. 49			
							115 Tauri...	5. 6	5. 17. ...	17. 49			
							126 Tauri...	5. 6	5. 31. 24	16. 26			
							Feb. 13	126 Tauri...	5. 6	5. 31. 24	+16. 26		
							α Orionis...	4. 5	5. 57. 48	14. 47			

STARS TO BE OBSERVED WITH THE MOON.

1829.	Names.	Magn.	R.A.	Declin.	1829.	Names.	Magn.	R.A.	Declin.
			h. m. s.	° ' "				h. m. s.	° ' "
Feb. 13.	Moon I. ... β Oriens ... γ Geminoi ...	(11). 5.6 6. 4. 47 3	6. 1... 6. 4. 47 6. 27. 56	+18. 20 19. 12 16. 32	Mar. 15.	ε Cancri ... Moon I. ... 29 Cancri ...	6. 7 (11). 6 6	8. 17. 16 8. 18. 58 8. 19. 4	+13. 13 14. 41 14. 46
Feb. 14.	γ Geminoi ... 41 Geminor ... Moon I. ... α Geminor ... β Geminor ...	3 6 6 6 6	6. 27. 56 6. 38. 26 6. 54... 6. 58. 33 5. 23. 39	+16. 32 16. 19 17. 41 16. 12 16. 11	Mar. 16.	α Cancri ... α Cancri ... Moon I. ... 15 Leonis ... α Leonis ...	5 5. 6 (12). 9 7 4	8. 49. 7 8. 58. 29 8. 19. 4 9. 8. 34 9. 32. 0	+12. 31 11. 21 12. 4 12. 13 10. 40
Feb. 15.	α Geminor ... (224) Gemin ... Moon I. ... 1 Cancri ... 29 Cancri ...	5 7 (13). 6 6 6	7. 21. 50 7. 41. 59 7. 45... 6. 7. 47 6. 8. 19	+16. 11 19. 45 16. 12 16. 14 14. 46	Mar. 17.	α Leonis ... α Leonis ... Moon I. ... 16 Sextant ... β Leonis ...	4 4. 5 (12). 5 6 4	9. 32. 0 9. 51. 10 9. 56... 10. 16 10. 23. 48	+10. 40 8. 52 8. 57 7. 0 10. 11
Feb. 16.	29 Cancri ... α Cancri ... Moon I. ... α Cancri ... α Cancri ...	6 6. 7 (14). 8 6 5. 6	8. 19. 4 8. 33. 46 8. 35... 8. 37. 33 8. 58. 29	+14. 46 13. 17 13. 59 12. 44 11. 21	Mar. 18.	α Leonis ... 16 Sextant ... Moon I. ... δ Leonis ... α Leonis ...	6 7 (14). 6 5 4	10. 14. 3 10. 34. 28 10. 43... 10. 51. 43 11. 19. 8	+7. 25 5. 39 5. 36 4. 32 3. 48
Feb. 17.	α Cancri ... α Leonis ... Moon I. ... α Leonis ... α Leonis ...	5 5 (15). 9 4 4. 5	8. 58. 29 9. 22. 43 9. 24... 9. 32. 0 9. 51. 10	+11. 21 12. 3 11. 8 10. 40 8. 52	Mar. 19.	γ Leonis ... α Leonis ... Moon I. ... β Virginis ... α Virginis ...	5. 6 4. 5 (15). 11 3. 4 3. 4	11. 8. 29 11. 28. 11 11. 30... 11. 41. 47 12. 11. 10	+2. 57 0. 7 1. 41 0. 17 -0. 31
Feb. 18.	α Leonis ... 16 Sextant ... Moon II. ... α Leonis ... δ Leonis ...	4. 5 6 (16). 6 6 5	9. 51. 10 10. 9. 16 10. 14... 10. 14. 3 10. 51. 43	+8. 52 7. 0 7. 50 7. 25 4. 32	Mar. 20.	α Virginis ... Moon II. ... γ Virginis ... γ Virginis ... γ Virginis ...	3. 4 (16). 12 4 4 4	12. 11. 10 12. 19... 12. 33. 0 12. 33. 0 12. 33. 0	+0. 17 -2. 11 -0. 31 -0. 31 -0. 31
Feb. 19.	δ Leonis ... α Leonis ... Moon II. ... α Leonis ... α Leonis ...	5 5. 6 (17). 11 5. 6 4. 5	10. 51. 43 10. 18. 10 11. 1... 11. 8. 29 11. 28. 11	+4. 32 2. 53 4. 13 2. 57 0. 7	Mar. 21.	γ Virginis ... β Virginis ... Moon II. ... α Virginis ... α Virginis ...	4 4. 5 (17). 13 1 5. 6	12. 33. 0 13. 1. 6 13. 6... 13. 16. 12 13. 32. 39	-0. 31 4. 37 5. 58 10. 16 7. 50
Feb. 20.	α Leonis ... β Virginis ... Moon II. ... 213 Virgin ... α Virginis ...	4. 5 3. 4 (18). 11 7 3. 4	11. 28. 11 11. 41. 47 12. 47... 11. 50. 17 12. 11. 10	+0. 7 2. 44 -0. 24 -0. 49 0. 17	Mar. 22.	α Virginis ... α Libræ ... Moon II. ... α Libræ ... γ Libræ ...	3. 6 3 (18). 13 3 4. 5	13. 32. 39 13. 35. 19 13. 35... 13. 55. 15 14. 9. 32	-7. 50 8. 26 9. 32 8. 4 12. 35
Mar. 11.	α Tauri ... Moon I. ...	1 (7). 4	4. 26. 7 4. 47...	+16. 10 17. 34	Mar. 23.	α Virginis ... α Libræ ... Moon II. ... α Libræ ... γ Libræ ...	4 3 (19). 13 3 4. 5	14. 3. 52 14. 41. 26 14. 46... 14. 47. 29 15. 25. 49	-12. 35 15. 19 12. 44 10. 43 14. 13
Mar. 12.	115 Tauri ... α Tauri ... Moon I. ... α Oriens ... β Oriens ...	5. 6 6 (8). 5 6 5. 6	5. 17. 12 5. 37. 28 5. 42... 5. 44. 50 6. 4. 47	+17. 48 17. 39 18. 12 19. 43 19. 12	Apr. 11.	α Geminor ... α Cancri ... Moon I. ... α Cancri ... α Cancri ...	5 6 (9). 6 6 6	7. 23. 50 7. 59. 9 8. 1... 8. 17. 16 8. 37. 33	+16. 11 14. 8 15. 30 13. 13 12. 44
Mar. 13.	β Oriens ... α Geminor ... Moon I. ... α Geminor ... α Geminor ...	5. 6 5. 6 (9). 6 6 4. 5	6. 4. 47 6. 32. 27 6. 36... 6. 39. 58 7. 8. 16	+19. 12 17. 48 17. 52 16. 23 16. 51	Apr. 12.	α Cancri ... α Cancri ... Moon I. ... α Cancri ... α Cancri ...	6 6 (10). 5 5. 6 5	8. 37. 33 8. 49. 7 8. 51... 8. 58. 29 9. 22. 43	+12. 44 12. 31 13. 5 11. 21 12. 3
Mar. 14.	α Geminor ... α Geminor ... Moon I. ... γ Geminor ... γ Cancri ...	4. 5 5 (10). 7 6 6	7. 8. 16 7. 23. 50 7. 28... 7. 29. 36 7. 51. 44	+16. 51 16. 11 16. 40 16. 3 16. 55	Apr. 13.	α Leonis ... α Leonis ... Moon I. ... 10 Sextant ... 16 Sextant ...	6 6 (11). 9 6 6	9. 22. 46 9. 32. 0 9. 39... 9. 47. 22 10. 16	+10. 28 10. 40 10. 6 9. 44 7. 0
Mar. 15.	γ Cancri ...	6	7. 51. 44	+16. 55					

STARS TO BE OBSERVED WITH THE MOON.

1899.	Names.	Mag.	R. A.	Decln.	1899.	Names.	Mag.	R. A.	Decln.
			H. M. S.	D. M. S.				H. M. S.	D. M. S.
Apr. 14	16 Sextant. 48 Leonis. Moon I. . .	6 5 (12)	10. 0. 16 10. 25. 52 10. 26. .	+ 7. 0 7. 50 6. 43	May 14	(143) Virgin. " Virgin. " Virgin. Moon I. . .	6. 7 4. 3 1 (14)	12. 29. 56 13. 1. 6 13. 16. 12 13. 17. .	- 3. 26 - 4. 37 - 4. 37 6. 43
Apr. 15	35 Sextant. 42 Leonis . .	5 5	10. 34. 28 10. 51. 43	5. 39 + 4. 32	May 15	77 Virgin. (287) Virgin. " Virgin. " Virgin. Moon I. . .	7 (287) 4 4 (16)	13. 58. 52 13. 58. 53 14. 3. 47 14. 7. . 14. 9. 59	6. 54 6. 46 9. 28 10. 28 12. 35
Apr. 16	76 Leonis. Moon I. . . " Leonis . . " Virgin. " Virgin.	6 (13) 4 3. 4	11. 10. 8 11. 13. . 11. 19. 8 11. 41. 47	2. 35 3. 2 3. 48 2. 44	May 16	213 Virgin. Moon I. . . " Virgin. " Virgin. " Virgin. Moon I. . .	7 (213) 14 6 6 (16)	11. 52. 17 12. 0. . 12. 5. 54 12. 33. 0 12. 44. 26	+ 2. 44 - 0. 49 - 0. 49 - 0. 31 15. 7
Apr. 17	38 Virgin. Moon I. . . " Virgin. " Virgin. " Virgin.	4 (15) 6 4. 5	12. 33. 0 12. 47. . 12. 50. 51 13. 1. 6	- 0. 31 4. 39 2. 33 4. 37	May 17	1 Libr. " Libr. " Libr. " Libr. " Libr.	3 6 (16) 7 4. 5	14. 41. 26 14. 57. 6 15. 0. . 15. 4. 56 15. 34. 28	- 15. 19 15. 35 13. 37 17. 7 15. 7
Apr. 18	8 Virgin. " Virgin. Moon I. . . " Virgin. 88 Virgin. " Virgin.	4. 5 5. 6 (16) 7 4	13. 1. 6 13. 32. 39 13. 36. . 13. 39. 22 14. 3. 47	- 4. 37 7. 50 8. 22 5. 59 9. 28	May 18	1 Libr. " Libr. " Libr. " Libr. " Libr. " Libr.	4. 5 5. 6 (17) 4 4 4	15. 34. 28 15. 50. 44 15. 56. . 16. 2. 4 16. 21. 22 16. 21. 22	- 15. 7 16. 1 16. 8 19. 1 16. 14 16. 14
Apr. 19	19 Virgin. (127) Libr. Moon II. . . " Libr. " Libr.	4 6. 7 (17) 5. 6 6	14. 5. 52 14. 27. 56 14. 29. . 14. 39. 57 14. 52. 6	- 12. 35 11. 35 11. 45 13. 26 15. 35	May 19	19 Virgin. " Libr. " Libr. " Libr. " Libr. " Libr.	4 4 (251) 7 (18) 2. 3	14. 9. 52 14. 27. 56 14. 27. 56 14. 27. 56 14. 27. 56 14. 27. 56	- 12. 35 11. 35 11. 35 11. 35 11. 35 11. 35
Apr. 20	19 Virgin. " Libr. " Libr. " Libr. " Libr.	4 6 (18) 4. 5 4. 5	14. 5. 52 14. 27. 56 15. 21. . 15. 25. 59 15. 44. 6	- 12. 35 11. 35 14. 37 14. 13 16. 13	May 20	19 Virgin. " Libr. " Libr. " Libr. " Libr. " Libr.	4 4 (281) 7 (19) 3. 4	14. 9. 52 14. 27. 56 14. 27. 56 14. 27. 56 14. 27. 56 14. 27. 56	- 12. 35 11. 35 11. 35 11. 35 11. 35 11. 35
Apr. 21	19 Virgin. " Libr. " Libr. " Libr. " Libr.	4 6 (19) 4. 5 4. 5	14. 5. 52 14. 27. 56 15. 21. . 15. 25. 59 15. 44. 6	- 12. 35 11. 35 14. 37 14. 13 16. 13	May 21	19 Virgin. " Libr. " Libr. " Libr. " Libr. " Libr.	4 4 (281) 7 (19) 3. 4	14. 9. 52 14. 27. 56 14. 27. 56 14. 27. 56 14. 27. 56 14. 27. 56	- 12. 35 11. 35 11. 35 11. 35 11. 35 11. 35
May 10	19 Virgin. " Libr. " Libr. " Libr. " Libr.	4 6 (19) 4. 5 4. 5	14. 5. 52 14. 27. 56 15. 21. . 15. 25. 59 15. 44. 6	- 12. 35 11. 35 14. 37 14. 13 16. 13	May 11	19 Virgin. " Libr. " Libr. " Libr. " Libr. " Libr.	4 4 (281) 7 (19) 3. 4	14. 9. 52 14. 27. 56 14. 27. 56 14. 27. 56 14. 27. 56 14. 27. 56	- 12. 35 11. 35 11. 35 11. 35 11. 35 11. 35
May 11	19 Virgin. " Libr. " Libr. " Libr. " Libr.	4 6 (19) 4. 5 4. 5	14. 5. 52 14. 27. 56 15. 21. . 15. 25. 59 15. 44. 6	- 12. 35 11. 35 14. 37 14. 13 16. 13	May 12	19 Virgin. " Libr. " Libr. " Libr. " Libr. " Libr.	4 4 (281) 7 (19) 3. 4	14. 9. 52 14. 27. 56 14. 27. 56 14. 27. 56 14. 27. 56 14. 27. 56	- 12. 35 11. 35 11. 35 11. 35 11. 35 11. 35
May 13	19 Virgin. " Libr. " Libr. " Libr. " Libr.	4 6 (19) 4. 5 4. 5	14. 5. 52 14. 27. 56 15. 21. . 15. 25. 59 15. 44. 6	- 12. 35 11. 35 14. 37 14. 13 16. 13	May 14	19 Virgin. " Libr. " Libr. " Libr. " Libr. " Libr.	4 4 (281) 7 (19) 3. 4	14. 9. 52 14. 27. 56 14. 27. 56 14. 27. 56 14. 27. 56 14. 27. 56	- 12. 35 11. 35 11. 35 11. 35 11. 35 11. 35
May 15	19 Virgin. " Libr. " Libr. " Libr. " Libr.	4 6 (19) 4. 5 4. 5	14. 5. 52 14. 27. 56 15. 21. . 15. 25. 59 15. 44. 6	- 12. 35 11. 35 14. 37 14. 13 16. 13	May 16	19 Virgin. " Libr. " Libr. " Libr. " Libr. " Libr.	4 4 (281) 7 (19) 3. 4	14. 9. 52 14. 27. 56 14. 27. 56 14. 27. 56 14. 27. 56 14. 27. 56	- 12. 35 11. 35 11. 35 11. 35 11. 35 11. 35
May 17	19 Virgin. " Libr. " Libr. " Libr. " Libr.	4 6 (19) 4. 5 4. 5	14. 5. 52 14. 27. 56 15. 21. . 15. 25. 59 15. 44. 6	- 12. 35 11. 35 14. 37 14. 13 16. 13	May 18	19 Virgin. " Libr. " Libr. " Libr. " Libr. " Libr.	4 4 (281) 7 (19) 3. 4	14. 9. 52 14. 27. 56 14. 27. 56 14. 27. 56 14. 27. 56 14. 27. 56	- 12. 35 11. 35 11. 35 11. 35 11. 35 11. 35
May 19	19 Virgin. " Libr. " Libr. " Libr. " Libr.	4 6 (19) 4. 5 4. 5	14. 5. 52 14. 27. 56 15. 21. . 15. 25. 59 15. 44. 6	- 12. 35 11. 35 14. 37 14. 13 16. 13	May 20	19 Virgin. " Libr. " Libr. " Libr. " Libr. " Libr.	4 4 (281) 7 (19) 3. 4	14. 9. 52 14. 27. 56 14. 27. 56 14. 27. 56 14. 27. 56 14. 27. 56	- 12. 35 11. 35 11. 35 11. 35 11. 35 11. 35

STARS TO BE OBSERVED WITH THE MOON.

1829.	Names.	Mag.	R. A.	Declin.	1829.	Names.	Mag.	R. A.	Declin.
			n. n. e.	° °				n. n. e.	° °
June 18	<i>♂</i> Sagittarii	5	19. 7. 37	-19. 15	Aug. 13	<i>♂</i> Capricorn.	6	20. 29. 42	-15. 33
	[1294] Sagitt.	6	19. 18. 8	19. 42		Moon I. . .	(15)	20. 33. .	14. 32
	Moon II. . .	(18)	19. 30. 38	17. 3		<i>♂</i> Aquarii. .	4. 5	20. 38. 23	16. 7
	<i>♂</i> Sagittarii	5	19. 32. 44	16. 31		<i>♂</i> Aquarii. .	5	21. 0. 16	12. 3
July 12	<i>♂</i> Capricorn.	3. 4	20. 11. 24	15. 19	Aug. 14	<i>♂</i> Aquarii. .	5	21. 0. 16	-12. 3
	<i>♂</i> Librae . . .	4. 5	15. 34. 28	-15. 7		<i>♂</i> Aquarii. .	5	21. 28. 39	8. 37
	<i>♂</i> Scorpii. .	2	15. 55. 31	19. 29		Moon II. . .	(16)	21. 37. .	11. 2
	Moon I. . .	(13)	16. 0. 1	16. 9		<i>♂</i> Aquarii. .	4. 5	22. 7. 48	8. 38
July 13	<i>♂</i> Scorpii. .	4	16. 2. 4	19. 1	Aug. 15	<i>♂</i> Aquarii. .	4. 5	22. 7. 48	-8. 38
	<i>♂</i> Scorpii. .	5	16. 31. 42	17. 24		<i>♂</i> Aquarii. .	6	22. 34. 18	7. 51
	<i>♂</i> Scorpii. .	5	16. 31. 42	-17. 24		Moon II. . .	(17)	22. 38. .	6. 43
	<i>♂</i> Ophiuchi.	4	16. 57. .	17. 48		<i>♂</i> Aquarii. .	4	22. 43. 41	8. 29
July 14	<i>♂</i> Ophiuchi.	2. 3	17. 0. 35	15. 30	Aug. 16	<i>♂</i> Aquarii. .	5	23. 5. 28	-6. 58
	<i>♂</i> Serpentina.	5	17. 27. 48	15. 17		<i>♂</i> Aquarii. .	5	23. 33. 19	* 6. 51
	<i>♂</i> Sagittarii	5	17. 52. 26	20. 44		Moon II. . .	(18)	23. 38. .	-1. 58
	Moon I. . .	(15)	17. 57. .	18. 23		21 Pucium	6	23. 40. 42	+ 0. 8
July 15	<i>♂</i> Sagittarii	3. 4	18. 3. 32	21. 6	Sept. 5	<i>♂</i> Librae . . .	4. 5	15. 44. 6	-16. 13
	[92] Sagittarii	6	18. 21. 25	18. 31		<i>♂</i> Scorpii. .	4	16. 2. 4	19. 1
	<i>♂</i> Sagittarii	6	18. 39. 31	-20. 31		Moon I. . .	(9)	16. 9. .	16. 10
	<i>♂</i> Sagittarii	5	18. 54. 26	21. 59		<i>♂</i> Ophiuchi	5	16. 17. 7	18. 4
July 16	Moon I. . .	(16)	18. 59. .	17. 46	Sept. 6	<i>♂</i> Scorpii. .	5	16. 46. 10	16. 32
	<i>♂</i> Sagittarii	5	19. 7. 37	19. 15		<i>♂</i> Ophiuchi.	5	16. 31. 42	-17. 24
	<i>♂</i> Sagittarii	5	19. 32. 44	16. 31		<i>♂</i> Ophiuchi.	2. 3	17. 0. 35	15. 30
	<i>♂</i> Sagittarii	5	19. 32. 44	-16. 31		(43) Oph. .	6. 7	17. 9. 56	17. 34
July 17	<i>♂</i> Sagittarii	5	19. 32. 44	13. 7	Sept. 7	<i>♂</i> Serpentina	5	17. 27. 48	15. 17
	<i>♂</i> Scorpii. .	(17)	20. 4. .	15. 55		<i>♂</i> Sagittarii	5	17. 57. .	-15. 17
	Moon I. . .	(17)	20. 11. 24	15. 19		Moon I. . .	(11)	18. 1. .	18. 9
	<i>♂</i> Aquarii. .	4	20. 38. 25	10. 7		<i>♂</i> Sagittarii	3. 4	18. 3. 32	21. 6
July 17	<i>♂</i> Aquarii. .	4. 5	20. 36. 25	-10. 7	Sept. 8	<i>♂</i> Sagittarii	6	18. 39. 31	-20. 31
	<i>♂</i> Aquarii. .	5	21. 0. 16	12. 3		<i>♂</i> Sagittarii	4. 5	18. 50. 35	21. 17
	Moon II. . .	(18)	21. 6. .	12. 54		Moon I. . .	(12)	19. 1. .	17. 34
	<i>♂</i> Aquarii. .	6	21. 14. 50	13. 36		<i>♂</i> Sagittarii	5	19. 7. 37	19. 15
Aug. 9	<i>♂</i> Capricorn.	3. 4	21. 37. 19	12. 9	Sept. 9	<i>♂</i> Sagittarii	5	19. 32. 44	16. 31
	<i>♂</i> Scorpii. .	4	16. 2. 4	-19. 1		<i>♂</i> Sagittarii	5	19. 32. 44	-16. 31
	<i>♂</i> Ophiuchi.	4	16. 21. 22	16. 14		(404) Capric.	7	19. 58. 50	15. 31
	Moon I. . .	(11)	16. 31. .	16. 59		Moon I. . .	(13)	20. 1. .	15. 49
Aug. 10	(232) Oph. .	6	16. 46. 10	16. 32	Sept. 10	<i>♂</i> Capricorn.	3. 4	20. 11. 24	15. 19
	<i>♂</i> Ophiuchi	2. 3	17. 0. 35	15. 30		<i>♂</i> Capricorn.	6	20. 29. 42	15. 33
	<i>♂</i> Ophiuchi	5	17. 33. 12	21. 35		<i>♂</i> Aquarii. .	6	20. 29. 42	-15. 33
	<i>♂</i> Sagittarii	3. 4	18. 3. 32	21. 6		Moon I. . .	(14)	21. 3. .	12. 56
Aug. 11	<i>♂</i> Sagittarii	6	18. 21. 25	18. 31	Sept. 11	<i>♂</i> Aquarii. .	6	21. 14. 50	13. 36
	Moon I. . .	(13)	18. 29. .	18. 7		<i>♂</i> Capricorn.	6	21. 35. 52	9. 52
	<i>♂</i> Sagittarii	6	18. 39. 31	20. 31		<i>♂</i> Capricorn.	6	21. 35. 52	-9. 52
	<i>♂</i> Sagittarii	4. 5	18. 50. 35	21. 17		<i>♂</i> Aquarii. .	5	22. 0. 21	9. 4
Aug. 12	<i>♂</i> Sagittarii	4. 5	18. 50. 35	-21. 17	Sept. 12	<i>♂</i> Aquarii. .	4. 5	22. 7. 48	8. 38
	(180) Sagitt.	7	19. 27. 7	18. 36		<i>♂</i> Aquarii. .	4. 5	22. 34. 18	7. 51
	Moon I. . .	(14)	19. 30. .	16. 57		<i>♂</i> Pucium. .	6	22. 51. 52	0. 44
	<i>♂</i> Sagittarii	5	19. 32. 44	16. 31		Moon I. . .	(16)	23. 5. .	4. 30
Aug. 13	<i>♂</i> Capricorn.	3	20. 8. 34	13. 4					
	<i>♂</i> Capricorn.	3	20. 8. 34	-13. 4					

STARS TO BE OBSERVED WITH THE MOON.

1829.	Names.	Mag.	R. A.	Declin.	1829.	Names.	Mag.	R. A.	Declin.
			h. m. s.	° ' "				h. m. s.	° ' "
Sept. 12	96 Aquarii. + Piscium..	6 5.6	23.10.32 23.39. 9	- 6. 3 3.43	Oct. 11	Moon I. . . (189) Piscium + Piscium..	(15) 6 4	9.33... 0.39.24 0.54. 5	+ 2.39 4.25 6.58
Sept. 13	+ Piscium.. 5 Ceti.... Moon II... + Piscium.. 8 Piscium..	5.6 7 (17) 6 5	23.39. 9 23.59.27 0. 8... 0.16.38 0.39.49	- 3.43 - 3.24 + 0.24 + 1. 0 + 6.39	Oct. 12	+ Piscium.. (144) Piscium Moon II... 54 Ceti.... † Ceti....	4 7 (16) 6 5	0.54. 5 1.31.35 1.36... 1.41.47 2. 3.56	+ 6.88 7.53 7.23 18.12 8. 2
Sept. 14	8 Piscium.. † Piscium.. Moon II... 96 Piscium + Piscium..	5 6 (18) 6.7 5	0.39.49 1. 4.48 1. 8... 1.20. 8 1.36.22	+ 6.39 6.40 5.14 6.23 8.18	Oct. 13	† Ceti.... 38 Arietis. Moon II... + Arietis... † Ceti....	5 5.6 (17) 6 6.7	2. 3.56 2.53.39 2.37... 2.42. 3 3. 1.59	+ 8. 7 11.43 11.33 14.22 12.54
Sept. 15	+ Piscium.. † Ceti.... Moon II... † Arietis... 38 Arietis..	5 6 (19) 6 5.6	1.36.22 2. 3.56 2. 7... 2.15.39 2.36.39	+ 8.18 8. 2 9.37 9.50 11.43	Oct. 14	† Tauri... Moon II... (187) Tauri γ Tauri... Moon II...	5 5 7 3.4 (19)	3.21.26 3.37... 3.43.23 4.10. 4 4.38...	+12.21 14.49 16.49 15.12
Sept. 17	Moon II... + Tauri....	(21) 1	4. 6... 4.26. 7	+15.57 16.19	Oct. 15	+ Tauri... Moon II...	1 5	4.26. 7 4.38...	+16.18 +17. 2
Oct. 4	φ Ophiuchi. D Ophiuchi. Moon I... (28) Serpens. (25) Chryel.	4.5 5 (8) 7 7	17.10.45 17.33.12 17.46... 17.46.29 18. 7.27	-20.55 21.35 18. 5 15.64 18.31	Nov. 2	g Sagittar. p Sagittar. Moon I... (180) Sagittar. g Sagittar.	5 5 (7) 7 6	18.47.31 19.11.45 19.17... 19.17.27 19.48.15	-21.19 18.10 17.21 18.36 15.56
Oct. 5	(1220) Sagittar. (131) Sagittar. Moon I... 33 Sagittar. p Sagittar.	6 6.7 (9) 6 5	18.17.58 18.28.42 18.37... 18.43.47 19.11.45	-17.47 21.11 17.56 21.34 18.10	Nov. 3	g Sagittar. p Capricor. Moon I... (187) Capri. + Aquarii..	6 3.4 (8) 7 4.5	19.48.15 20.11.24 20.14... 20.24.40 20.38.25	-15.56 15.19 15.27 14.18 10. 7
Oct. 6	p Sagittar. + Sagittar. Moon I... g Sagittar. p Capricor.	5 5 (10) 6 3.4	19.11.45 19.32.44 19.36... 19.48.15 20.11.24	-18.10 16.31 16.42 15.56 15.19	Nov. 4	+ Aquarii.. + Aquarii.. Moon I... + Aquarii.. + Aquarii..	4.5 5 (9) 6 5.6	20.38.25 21. 0.16 21.12... 21.14.30 21.37.19	-10. 7 12. 3 12.34 13.36 12. 9
Oct. 7	p Capricor. + Capricor. Moon I... p Capricor. + Aquarii..	3.4 6 (11) 6.7 5	20.11.24 20.29.42 20.35... 20.41.15 21. 0.16	-15.19 15.33 14.24 13.10 12. 3	Nov. 5	λ Capricor. 36 Aquarii. Moon I... p Aquarii.. + Aquarii..	5.6 5 (10) 6 4	21.37.19 22. 0.21 22. 9... 22.11.29 22.43.41	-12. 9 9. 1 8.51 8.40 8.29
Oct. 8	+ Aquarii.. + Aquarii.. Moon I... λ Capricor. θ Aquarii..	5 5 (12) 5.6 5	21. 0.16 21.28.39 21.34... 21.37.19 22. 7.48	-12. 3 8.37 11. 5 12. 9 8.38	Nov. 6	λ Aquarii.. A' Aquarii. Moon I... 96 Aquarii. + Piscium..	5 6 (11) 6 5.6	22.43.41 22.56.14 23. 6... 23.10.58 23.39. 9	-8.29 8.37 4.31 5. 3 3.43
Oct. 9	θ Aquarii.. + Aquarii.. Moon I... A' Aquarii. φ Aquarii..	4.5 6 (13) 7 5	22. 7.48 22.28.54 22.34... 22.46.18 23. 5.28	-8.38 5. 6 6.57 5.44 6.58	Nov. 7	+ Piscium.. (270) Piscium Moon I... (135) Piscium (189) Piscium	5.6 6.7 (12) 6 6	23.39. 9 23.56.18 0. 4... 0. 6. 9 0.39.24	+ 3.43 - 1.27 + 0.11 + 0. 9 + 4.25
Oct. 10	φ Aquarii.. + Piscium.. Moon I... + Piscium.. (270) Piscium	5 6.7 (14) 5.6 6.7	23. 5.28 23.25.22 23.33... 23.39. 9 23.56.18	-6.58 2.11 2.16 3.43 1.27	Nov. 8	(189) Piscium + Piscium.. Moon I... 88 Piscium + Piscium..	6 6 (13) 6.7 5	0.39.24 0.54. 5 1. 3... 1. 5.49 1.36.22	+ 4.25 6.58 4.58 6. 9 8.18
Oct. 11	(33) Piscium. (131) Piscium	6.7 7	0. 9. 1 0.28.42	+ 0.44 2.12	Nov. 9	+ Piscium.. (340) Arietis	5 7	1.36.22 1.53.51	+ 8.18 10.11

STARS TO BE OBSERVED WITH THE MOON.

1829.	Names.	Mag.	R. A.				Declin.	1829.	Names.	Mag.	R. A.				Declin.
			h.	m.	s.	°					h.	m.	s.	°	
Nov. 9	Moon 1. . .	(14)	2	2	..	+ 9.26		Dec. 5	† Piscium.	6	1	4.48	+ 6.40		
	† Ceti . . .	5	2	3.56	8.2			Dec. 6	† Piscium.	7	1	4.48	+ 6.40		
	38 Arietis.	5.6	2	35.39	11.43				(144) Placidum	7	1	31.35	7.53		
Nov. 10	38 Arietis.	5.6	2	35.39	+11.43				Moon 1. . .	(11)	1	37..	7.26		
	53 Arietis.	6	2	57.49	17.13				54 Ceti . . .	6	1	41.47	10.12		
	Moon 1. . .	(15)	3	3	..	13.16			† Ceti . . .	5	2	3.56	8.2		
	(60) Tauri.	7	3	17.19	18.9			Dec. 7	† Ceti . . .	5	2	3.56	+ 8.2		
Nov. 11	† Tauri . .	6.7	3	32.28	19.9				85 Ceti . . .	6	2	33.17	10.1		
	† Tauri . .	4	3	51.12	+12.0				Moon 1. . .	(12)	2	35..	11.30		
	Moon 1. . .	(16)	4	7	..	16.7			† Arietis . .	6	2	42.3	14.22		
	† Tauri . .	3.4	4	10.4	15.12			Dec. 8	† Tauri . .	5.6	3	21.26	+12.21		
Nov. 12	† Tauri . .	1	4	26.7	+16.10				(103) Tauri.	7	3	29.46	15.58		
	† Orionis.	6.7	5	1.52	15.50				Moon 1. . .	(13)	3	35..	14.50		
	Moon 1. . .	(17)	5	8	..	17.49			(167) Tauri	7	3	43.23	16.49		
	111 Tauri.	6	5	14.26	17.13			Dec. 9	† Tauri . .	3.4	4	10.4	+15.12		
Nov. 13	† Tauri . .	6	5	37.28	17.39				† Tauri . .	1	4	26.7	16.10		
	† Orionis	5.6	6	4.47	19.12				Moon 1. . .	(14)	4	35..	17.9		
	Moon 1. . .	(18)	6	8	..	18.20			† Tauri . .	6	4	39.57	15.36		
	† Geminor.	5	6	18.48	20.19			Dec. 10	† Orionis.	5	4	59.55	+15.22		
Dec. 1	† Geminor.	5.6	6	32.27	17.48				† Tauri . .	3.4	5	27.25	21.2		
	† Capricor.	6	20	27.45	-15.44				Moon 1. . .	(15)	5	38..	18.20		
	† Aquarii.	6	20	36.51	13.43				† Orionis.	6	5	44.50	19.43		
	Moon 1. . .	(6)	20	55..	13.45			Dec. 11	† Orionis	5.6	6	4.47	19.12		
Dec. 2	† Aquarii.	5	21	8.16	12.3				† Orionis	5.6	6	4.47	+19.12		
	† Aquarii.	6	21	16.1	10.28				† Geminor.	5.6	6	32.27	17.48		
	† Capricor.	5.6	21	37.19	12.9				Moon 1. . .	(16)	6	38..	18.18		
	Moon 1. . .	(7)	21	51..	10.19			Dec. 12	† Geminor.	4.5	7	8.16	16.51		
Dec. 3	† Aquarii.	5.6	21	54.16	7.21				† Geminor.	4.5	7	23.50	16.11		
	† Aquarii.	5	22	21.36	11.33				Moon 1. . .	(17)	7	36..	17.12		
	† Aquarii.	6	22	11.12	- 8.40				† Canceri.	6	7	47.16	16.14		
	† Aquarii.	4	22	43.41	8.29			Dec. 13	† Canceri.	6	8	19.4	+14.46		
Dec. 4	Moon 1. . .	(8)	22	48..	6.14				Moon 1. . .	(18)	8	33.46	13.17		
	† Aquarii.	6.7	23	20.40	2.44				† Canceri.	5.6	8	58.29	11.21		
	† Aquarii.	6	23	10.32	- 6.3			Dec. 14	† Canceri.	5.6	8	58.29	+11.21		
	† Piscium.	5.6	23	39.9	3.43				† Leonis.	6.7	9	19.17	9.48		
Dec. 5	Moon 1. . .	(9)	23	44..	1.44				Moon 1. . .	(19)	9	32..	12.24		
	(227) Placidum	6.7	23	46.5	- 0.50				† Leonis.	4	9	32.0	10.40		
	† Piscium.	6	23	46.5	- 0.50				† Leonis.	4.5	9	51.10	8.52		
	† Piscium.	6	23	46.5	- 0.50			Dec. 15	† Leonis.	1	9	59.15	+12.48		
Dec. 5	† Piscium.	4	24	3.4	6.58				Moon 1. . .	(20)	10	12..	9.8		
	† Piscium.														

The Right Ascensions of the Stars are set down for the beginning of the Year: the Moon's Place for the time of her Transit at Greenwich.

Nachrichten über die Wiedererscheinung des *Enkeschen* Cometen.

Die Ehre den *Enkeschen* Cometen zuerst bei der jetzigen Wiedererscheinung gesehen zu haben scheint Hrn. *Kunowski* und Herrn Professor *Encke* zu gebühren, die ihn bereits am 7^{ten} October sahen. Auch in Italien ist er vor dem Mond-
schein des Octobers gesehen.

Herr Professor *Harding* in Göttingen, der ihn schon seit dem 19^{ten} August suchte, erblickte ihn erst am 27^{ten} October. Die Beobachtung selbst ist in dem folgenden Brief enthalten.

An demselben Tage sah Herr *Gambart* in Marseille ihn auch, konnte ihn aber wegen Lichtschwäche nicht an dem Fernrohr der parallactischen Maschine beobachten. Am 28^{ten} konnte er erst spät, als schon seine Kräfte erschöpft waren, an seiner alten parallactischen Maschine drei Beobachtungen machen. Er verglich ihn mit 78 Pegasi, und erhielt

M.Z. in Marseille vom Mitternacht gerechnet.	AR. Com.	δ Com.
19 50	350 39	+ 26 21
19 56	350 36	26 20
20 8	350 35	26 22
19 58	350 37	+ 26 21

Die Kreise der alten parallactischen Maschine haben nur 4 Zoll Radius. Die Astronomen wird die Nachricht, daß die Gesundheit dieses vortrefflichen Beobachters seit längerer Zeit zerrüttet ist, eben so unerwartet als betrübend seyn.

Herr *South* meldet mir in einem Schreiben vom 7^{ten} November, daß er ihn zuerst in Kensington am 30^{ten} Octob. gesehen habe.

Herr Doctor *Olbers* sah ihn zuerst am 2^{ten} November gegen Mitternacht, konnte ihn aber in dieser Nacht nicht beobachten. Er schreibt mir unter dem 10^{ten} Novbr.

„Der Comet nimmt sichtbar an Lichtstärke und Helligkeit zu, und ist im Cometensucher sehr groß und augenfällig: im Dollond aber bloß, und ganz unbegränzt, deswegen, wenigstens für mich, noch äusserst schwer zu beobachten. In der Ferne wie jetzt habe ich diesen meinen „alten Bekannten weder 1795, noch 1805 und 1825 gesehen, wahrscheinlich weil ich ihn nie in einem solchen Abstände „von der Sonne gesehen habe. Von meinen Beobachtungen „setze ich nur 2 her. Am 4^{ten} November kam der Comet „mit einem kleinen Stern, dessen Ort ich durch 4 Beob. „bestimmte, in eine sehr nahe Conjunction: sein Mittelpunkt „blieb etwa 30“—40“ meiner Schätzung nach von demselben „nördlich. Gestern verglich ich den Cometen wüthlich mit „2 *Beasechen* Sternen

		AR.	δ
Nov. 4	12 11 0	341 51 52"	+ 23 45½
— 9	11 14 0	335 5 54	+ 21 29 :

„Die Ephemeride giebt die AR. noch immer 2'—2½', die „Declination 1'—2' zu klein.“

Am 5^{ten} November sah ich ihn im dunkeln Felde des Meridiankreises, aber ohne ihn beobachten zu können.

Am 6^{ten} November versuchte Lieutenant *v. Nehus* eine Beobachtung, mußte aber, weil der Comet nicht soviel Erhellung vertrat, um die Fäden sicher unterscheiden zu können, sich mit einer Beobachtung, die sehr unsicher ist, und mehr den Namen einer Schätzung verdient, begnügen.

AR. 22° 39' 16" δ + 22° 58'.4

S.

Auszug aus einem Schreiben des Herrn Professors *Harding* an den Herausgeber.

Göttingen 1828. Nov. 1.

Am 19^{ten} August fing ich schon an, mit unsern stärksten Telescopen den *Enkeschen* Cometen zu suchen, aber dennoch gleiches mir erst den 27^{ten} October ihn zu erkennen.

rr Bd.

Gewiß würde dies schon einige Tage früher möglich gewesen seyn, wenn Mondschein und trüber Himmel nicht gehindert hätten, weil er am 27^{ten} Nov. schon mit dem Cometens-

sucher sich als ein wiewohl äußerst schwacher Nebel zeigte. Im 10ffüßigen *Herschelschen* Telescop erschien er freilich sehr viel deutlicher als ein feiner ausgebreiteter und sehr verwackelter Nebel, aus dessen Mitte ein ungemein feines und schwaches Lichtpünctchen hervorschimerte. Seines blassen und matten Lichtes wegen konnte ich zwar wenigen Erfolg von mikrom. Beobachtungen erwarten, jedoch versuchte ich, ihn 3mal durch des Telescop's Gesichtsfeld mit einem *Lalandeschen* Sterne 7^r Gr. (Hist. cöl. p. 27. 1793. Aug. 21. 23^h 26^m 1^s 6... 20^m 5^s 50^m) gehen zu lassen. Die erste dieser Beobachtungen giebt für 7^h 6^m 35^s M.Z. ... A.R. = 351° 58' 24" Decl. = +26° 38' 14" also doch bis auf etwa 3' und 1¹/₂ mit der Ephemeride übereinstimmend.

An den heiden folgenden Abenden war sein Licht schon merklich heller, allein in seiner Nähe befand sich kein bekannter Stern, mit dem er hätte bequem verglichen werden können.

Folgende 3 Sternbedeckungen habe ich unter günstigen Umständen und bei wohl richtiger Uhr erhalten:

	Sternzeit.
1828 Sept. 17. Eintr. 7 Gr. am dunkeln Mondrande	18 40 27,3
— 7 — — — — —	18 51 46,3
— 7 — — — — —	19 0 57,3

Der erste und dritte befindet sich in *Piazzi's* Verzeichniß, der zweite in der Hist. cöl. Der 3te trat dem Flecken *Eratostenes* gegenüber ein, die beiden ersten südlich vom Mondmittelpuncte.

Auch den Austritt des ersten Jupiterstrabanten am 15^{ten} May 11^h 29^m 27^s 9 M.Z. halte ich für sehr genau.

Meine Karte von XV^b—XVII^b, deren Bearbeitung von der Königl. Academie zu Berlin mir aufgetragen war, habe ich vor kurzem abgesandt. Dies ist wahrscheinlich eine von den am wenigsten mit Sternen besetzten Gegenden, denn sie enthält nur 1557 beobachtete Sterne, denen ich noch 1723 unbestimmte bis zur 10^{ten} und 11^{ten} Größe habe hinzuzufügen können, also zusammen 3280 Sterne.

Mit Ausschluss der beiden Endgrade aber, die auf den angrenzenden Blättern ebenfalls vorkommen, sind darauf nur 2909. Von diesen gehören

zu der Größe	2	3	4	5	6	7	8	9	10 und darunter
bestimmte	2	3	2	5	50	114	379	751	56 = 1362
unbestimmte	—	—	—	—	—	—	8	132	1407 = 1547
zusammen	2	3	2	5	50	114	387	883	1463 = 2909

Vier bis fünf derselben haben bedeutenden Lichtwechsel, und verschwinden auf einige Zeit ganz; aber ihre Perioden kenne ich noch nicht genau, sondern weiß nur, daß die des einen, der bis zur 5—6 Größe anwächst, 12 Monate \pm y Tage dauert, die eines andern in der hist. cöl. vorkommenden vielleicht mehrere Jahre umfaßt, da ich ihn schon 1807 als fehlend auf meiner Karte wieder ausluchte, und seitdem nie bemerkte, bis ich ihn 1828 April endlich zum erstenmale in 8.9 Größe gewahr ward, als er schon im Abnehmen war, und Jun. wieder ganz unsichtbar war. Mein Sternverzeichniß hat zur Entdeckung mehrerer Schreib- oder Druckfehler in der Hist. cöl. und in *Bessels* Zonen geführt, die ich nächstens die Ehre haben werde, Ihnen des Breiteren anzugeben.

Harding.

Schreiben des Herrn *Ganbart*, Directors der Marseiller Sternwarte, an den Herausgeber.

Marseille 1828. Nov. 10.

Depuis la dernière lettre que j'ai eu l'honneur de vous écrire, j'ai revu trois fois la *Comète périodique*, et j'en ai déterminé trois positions aussi exactes à peu près, je crois, que l'on pouvait espérer de les avoir, du moins avec des instrumens de dimensions ordinaires. Cette *Comète* est si faible que le point reste toujours bien incertain; aussi dans les soirées des 1^{er} et 4, n'ai-je rien cru faire perdre à l'exactitude des observations, en mesurant les différences d'A.R. et de δ au moyen des cercles gradués de mon équatorial. Les imperfections de cet instrument consistant dans le défaut de stabilité de la lunette quand on lui applique la plus petite force, n'ont pu avoir aucune fâcheuse influence, puis-

que tous les mouvemens se sont faits à l'aide des vis de rappel. Le calcul me donnerait les positions suivantes, dans lesquelles vous ferez justice des secondes.

Date.	T.M. à Marseille.	A.R. Com.	δ Com.
	$\begin{smallmatrix} h & m & s \\ \hline \end{smallmatrix}$	$\begin{smallmatrix} o & s & u \\ \hline \end{smallmatrix}$	$\begin{smallmatrix} + & o & m & s & u \\ \hline \end{smallmatrix}$
Oct. 28.	19 50 44	350 38 54	+ 26 20 40
	19 55 34	350 36 24	26 19 40
	20 8 27	350 35 6	26 21 40
Nov. 1.	18 51 10	345 51 44	25 1 35
	19 22 54	345 50 14	25 2 45
4.	19 24 12	342 12 20	23 48 50
	20 11 2	342 9 20	23 49 55
5.	18 36 29	341 2 11	23 25 46

Je n'ai d'autres éphémérides de la Comète que celles publiées dans la dernière connaissance des tems: elles sont à la minute et de 4 en 4 jours. En ayant égard aux différences des divers ordres; les erreurs de ces éphémérides, s'il est permis de s'exprimer ainsi, seraient en AR. — 2',40,

+ 1',55, + 2',46, + 2',55; en δ — 1',20 + 0',54, + 0',46, + 1',44. Les circonstances dans lesquelles a été faite la première observation, nous autorisent à lui accorder moins de confiance qu'aux trois dernières. Celles-ci me paraissent présenter assez d'accord.

Date.	Noms des Astres.	Heure de la pendule.			Angle horaire sur l'instrument.		Heure de la pendule.	Lecture sur le cercle de décl.		Equation de la pendule.
					Vernier Nr. I	Vernier Nr. II		Vernier Nr. I	Vernier Nr. II	
1828 Oct. 28	Comète	h	m	s	h	m	s	G	s	
	Comète	22 19 0	21 12 30		26 26	...	
	78 ^{me} de péage	22 23 50	21 17 30		26 25	...	
	78 ^{me} de péage	22 28 45	21 9 30		28 31	...	+ 10'
	78 ^{me} de péage	22 31 20	21 12 0		28 30	...	
	Comète	22 36 45	21 30 30		26 27	...	
	78 ^{me} de péage	22 40 55	21 21 30		28 30	...	

Ces observations ont été faites au moyen d'une simple lunette de nuit adaptée à la machine, dont le grossissement ne va pas au delà de 8 fois.

Nov. 1	Comète	21 34 26	...	22 30 56	...	335 7 0	154 27 0	+ 48'
	23XXIII; Pinzi	21 52 36	...	22 45 32	...	335 23 30	154 44 20	
	Comète	22 6 15	...	23 2 49	...	335 3 0	154 23 20	
	23XXIII; Pinzi	22 17 33	...	23 10 27	...	335 21 0	154 41 30	

Observations au nouvel équatorial. La Comète et l'étoile ont été rapportées au milieu des deux plaques-horaires pour l'ascension droite; pour la déclinaison on a fait usage dans la première observation du bord austral de la 3^{me} plaque, et dans la dernière du bord boréal.

Observations très-pénibles: la Comète ne paraît que comme une légère tache à peine visible.

4	Comète	22 19 27	...	23 30 31	...	336 20 15	155 40 30	+ 44'
	μ de péage	22 26 52	...	23 45 0	...	336 26 20	155 47 30	
	μ de péage	22 58 17	...	0 16 23	...	336 23 45	155 45 0	
	Comète	23 6 23	...	0 17 37	...	336 16 15	155 37 15	

A l'équatorial: Comète toujours très-difficile à voir. Ciel vapoureux.

Noms et caractères des Astres.	Passage			Temps de l'observ. en décl.	Distance au fil fixe.	Equation de la pendule.
	I	II	III			
5	μ de péage	h m s				+ 17'
	Comète	21 28 56				
	μ de péage	21 31 21				
	Comète	21 33 42				
	μ de péage	21 36 4				
	μ de péage	21 38 5				
	Comète	21 40 28				
	μ de péage	...				
	Comète	...		h m s	t p	
	μ de péage	...		21 44 25	10 2 5 Sud	
	Comète	0 19 5 Sud	
	μ de péage	...		21 50 21	9 11 Sud	
	Comète	1 13 5 Sud	
	μ de péage	...		22 14 40	10 10 Sud	
	Comète	0 1 Nord	
	μ de péage	...		22 27 30	10 2 Sud	

On a pu faire usage de la machine parallactique, dont la lunette produit moins d'effet que celle de l'équatorial, et reprendre le procédé ordinaire d'observations à l'aide toutefois des plaques. Observations excessivement difficiles à raison du peu de lumière de la Comète. On continue d'employer alternativement chacun des deux bords de la plaque mobile.

1 tour du micromètre = 1' 57" 2 = 40 parties.

Gambart.

Brief des Herrn *Benj. Valz* au den Herausgeber.

Nîmes 1828, November 11.

J'ai le plaisir de Vous annoncer qu'enfin après dix jours de tentes couverts, j'ai pu reconnaître la Comète de Mr. *Encke* le 28 Oct. Sa nébulosité sans noyau apparent et d'égale intensité partout à peu près, étoit très-faible et très-vague et de 10' à 12' d'étendue au moins. Elle se trouvait bien exactement à la place indiquée, mais comme depuis deux mois de recherches suivies, j'avois éprouvé des déceptions analogues, je ne pus être assez sur que ce fut bien elle; vu qu'elle n'étoit nullement observable, et qu'il ne se trouvait pas d'étoile assez rapprochée pour m'assurer du mouvement avant le lever de la lune. Le lendemain fut de nouveau couvert; mais le 31 Oct. tous les doutes purent être entièrement dissipés: à 10^h elle étoit, aussi bien que je pus en juger sur le parallèle de l'étoile de *Piazzi* XXIII 60, et le précédant de 15' en arc. à 11^h elle se trouvait sur le cercle horaire d'une petite étoile et précédait la première de 18' et à 11^h 30' elle avait sensiblement dépassé l'étoile. On peut en conclure à 10^h A.R. 348° 8' DB 25° 40' ou + 3' en Ar. et — 1' en D. que l'Éphéméride. A défaut d'observations rigoureuses encore à peu près impossibles, cette estimation ne saurait être que peu fautive, vu la proximité des étoiles employées. Le 31 Oct. cette Comète se trouvait sur le méridien, et à peu de minutes au nord d'une petite étoile, et suivait de 15' en arc la 23^e étoile XXIII de *Piazzi*, de façon que son A.R. étoit de 347° 0' ou 2' de plus que l'Éphéméride, ce qui confirmerait assez le résultat ci-dessus. Plus tard les données sur ce point seront bien plus positives, mais on peut déjà prévoir qu'elles seront en faveur de la résistance de l'éther annoncée. Lorsque je parvins à reconnaître cette Comète en 1825, elle étoit trois fois plus

	T. M. de min ^a Nîmes.	Diff. A.R.
6 Juillet	2 ^h 21' 45"	1 ^e étoile inconnue.
		+ 4' 26"
		70 Gr. Ourse
		+ 3 ^e 8 15
		74
		— 5 29 15
		2 ^e inconnue.
		— 5 30 8

On peut en conclure que la 1^{re} étoile de Mr. *Pons* du 5 Juillet n'est pas 74^e Gr. Ourse, mais la 2^e et inconnue ci-dessus. Le 6 Juillet à 11^h du soir je revis la comète sans pouvoir l'observer, quelques minutes au nord de la 68^e Gr. Ourse, et le précédant de fort peu, ce qui montre que c'est bien cette étoile qui est la première de celles qu'a employé Mr. *Pons* ce jour là. Mr. *H.* observe que les différences de l'étoile de comparaison du 20 Juin avec des voisines observées par Mr. *Pons* le 28 Juin ne concordent pas avec celles que l'on trouve dans les *Mém. de l'Acad.* 1789 et l'*Hist. Cél.*, et comme il ne se trouve pas d'autre étoile de cette grandeur au-delà, il désire quelques explications à ce sujet. L'observ-

éloigné de la terre, et à peu près à la même distance du soleil qu'à cette apparition-ci, d'où il résulterait que la première de ces valeurs n'influencerait guère sensiblement sur sa visibilité.

J'ai observé hier (Nov. 10) la comète sur le parallèle des deux étoiles 4^{me} et 5^{me} en remontant de la fin de la page 32 de l'*Hist. Cél.*, et les suivant de 1' 18" et 2' 54" en tems, ce qui est A.R. 334° 58' ou de 2' de plus que l'Éphéméride, tandis que sans la résistance de l'éther, ce serait 14' de plus.

J'ai vu dans le Nr. 134 p. 300, et suiv. *Astr. Nachr.* les doutes que manifeste avec raison Mr. *Heiligenstein* au sujet des observations de Mr. *Pons* de la première comète de 1827. J'espère pouvoir les dissiper assez bien, à l'aide des configurations et de la copie que j'ai reçue de ces observations, une partie des fautes relevées ne s'y trouvant pas, et y étant conformes aux corrections proposées. Comme je n'ai pas vu dans votre journal d'autres observations de cette comète, je vous transmets le peu qu'il m'a été possible d'en avoir; car je n'ai pu suivre cet astre que trois jours, un voyage m'ayant ensuite empêché de continuer. Le 5 Juillet 1827, j'avois observé le matin les passages de trois étoiles et de la comète à travers les nuages mais je n'avois pu compléter l'observation. Vers 1^h j'estimais l'A.R. de la comète 178° 50' et à DB 62° 00' ce qui est suffisant pour reconnaître les trois étoiles de Mr. *Pons* du 4 Juillet, qui se trouvent *in mem. acad.* 1790 p. 382 les trois qui suivent γ grande Ourse (6^e, 7^e et 8^e ligne en remontant de la fin de la page). Le 6 Juillet au matin je comparai la comète à quatre étoiles, dont deux inconnues; voici ce qui en résulte:

Diff. D.	A.R. moy. Comète.	DB. moy. Comète.
+ 13' 44"	179° 58' 31	59° 48' 39"
+ 56 22	179 58 23	59 45 52
+ 24 8	179 58 39	59 45 25
+ 1 34	179 58 31	59 45 39

verai d'abord que la majeure partie des étoiles citées ont leurs différences de déclinaison avec la principale ou la 1^{re} dans un sens opposé à celles de Mr. *Pons*, et que si aucune des autres ne peut évidemment convenir, c'est qu'il y en a beaucoup d'oubliées; car en examinant cette partie du ciel, on peut reconnaître, aussi bien du moins que cela puisse se faire sans mesures, les diverses étoiles dont Mr. *Pons* s'est servi. Enfin ce qui ajouterait encore à la conviction, c'est que la configuration qu'il m'a transmise sur son étoile principale, convient bien en effet à la 35^e de Cassiope, car elle est accompagnée de deux petites étoiles en cette sorte (⋈). On est donc obligé d'admettre une erreur de 1° en D., dans l'observ-

valon de Marseille, ce qui ne sauroit surprendre, vu que ce n'est qu'une simple annonce de découverte, d'après une estimation à la hâte sans doute. Mr. H. remarque encore avec juste raison que l'étoile de la 3^e comparaison du 22 Juin ne peut se trouver. Ce doit être réellement la même que celle des deux premières comparaisons, qu'une faute a empêché de reconnaître. D'abord dans la copie que j'ai reçue elle n'est pas désignée différemment dans les trois comparaisons, comme dans le Nr. 128 *Astr. Nachr.* p. 159 où peut-être la faute a été cause du changement d'indication. Ensuite p. 164 il n'est parlé pour le 22 Juin que d'une seule étoile et non de deux, ce qu'on auroit fait sans doute s'il en eut été ainsi. Enfin la configuration que j'en ai, indique assez bien pour dissiper les doutes la 37^e de Cassiopée, surmontée de trois étoiles ainsi($\begin{smallmatrix} \cdot & \cdot & \cdot \\ & \cdot & \end{smallmatrix}$). Je désire que ces diverses observations

puissent éclaircir les incertitudes qu'on auroit pu avoir, et j'espère que s'il pouvait en rester encore je parviendrais à les dissiper du mieux qu'il me seroit possible. Les éléments de cette comète que je vous avois transmis (*Astr. Nachr.* Nr. 132) étoient calculés sur l'observation ci-dessus du 6 Juillet et deux autres de Mr. Pons des 21 Juin et 21 Juillet, en choisissant les comparaisons exemptes de fautes:

T. M. de Min ^a à Florence.	A. R. moy.	D. B. moy.
21 Juin 1 ^h 36' 16"	30° 25' 47"	66° 14' 1"
21 Juillet 21 36 32	186 5 12	39 44 44

Les erreurs sur l'observation moyenne étoient d'abord — 6" et 25", mais une légère correction sur le tems a augmenté la 1^{re} de quelques secondes.

(Die Fortsetzung folgt.)

Schreiben des Herrn Professors Knorre. Directors der Sternwarte in Nicolajew, an den Herausgeber.

Nicolajew 30 Sept. 1828.
12 Oct.

Ich eruche Sie, in den *Astr. Nachr.* anzuzeigen, daß das Moment der Bedeckung von P. VIII. 95 am 10 April 1821 (*Astr. Nachr.* Bd. I. p. 136) durch einen Rechnungsfehler entstellt ist. Nach Verbesserung desselben findet sich dafür 11^h 16' 9",3 w. Z. Ferner ist statt des, *Astr. Nachr.* Bd. I. p. 362 angegebenen Austr. von η Capricorni, 21^h 28' 31",3 Sternz. zu lesen. So steht es auch schon im Jahrb. auf 1825. p. 196. Die Anzeige dieser Fehler ist um so wichtiger, da Herr Prof. Wurm beide Beobachtungen einer sorgfältigen Berechnung gewürdigt hat.

Sternbedeckungen, beobachtet in den Jahren 1822—25 im Hause des Admiral Greig;
21^h 1^m nördl. und 3",42 in Zeit östl. von der Sternwarte.

	Sternzeit.	
	$\begin{smallmatrix} h & m & s \end{smallmatrix}$	
1822. 31 Jan.	3 19 30,3	Eintr. 7
	5 15 18,7	— 9
	6 12 39,2	— 9.10
	6 20 29,7	— 9.10
	6 30 55,4	— 9
	8 10 59,7	— 8.9
	9 1 35,6	— 7
27 Febr.	6 26 15,4	— 7.8
	6 43 18,4	— 7.8
	6 49 56,0	— 9.10
	6 50 35,1	— 9.10
	6 59 31,2	— 10
1 März.	5 44 54,7	— 8
	6 18 10,0	} Eintr. 8
	10,5 <i>Dahl</i>	

	Sternzeit.	
	$\begin{smallmatrix} h & m & s \end{smallmatrix}$	
1822. 1 März.	6 21 33,1	Eintr. 8.9
	6 43 21,8	— 10
	7 37 27,3	} Eintr. 136 Tauri
	27,8 <i>Dahl</i>	
	7 50 4,0	Eintr. 10
	8 43 39,4	— 9
	8 49 31,9	Austr. 136 Tauri
	8 57 8,8	— 8
	9 34 53,4	— 9
	10 28 44,2	— 8
	10 32 46,2	— 10
	10 48 59,0	— 7.8
2 März.	5 3 50,7	Eintr. 9
	5 51 52,6	— 10
	9 19 59,3	— 39 Geminor.
	9 26 58,5	— 9
	9 36 47,9	— 8
	9 41 10,7	— 9
	9 42 51,0	— 40 Geminor.
	11 6 4,2	— 9
	12 1 3,4	— 10
5 Octbr.	6 12 56,1	} Eintr. 7
	59,8 <i>D</i>	
	6 19 1,1	} Austr. 6
	4,8 <i>D</i>	
3 Novbr.	1 44 31,7	Eintr. 6
1823. 24 März.	11 0 28,9	} Eintr. 8
	29,2 <i>D</i>	

		Sternzeit.				
		$\begin{smallmatrix} h & m & s \end{smallmatrix}$	$\begin{smallmatrix} h & m & s \end{smallmatrix}$			
1823.	25 März	9 49 18,0	Eintr. 6.7			
	26 —	14 27 46,9	— 69 Virginis.			
	18 Mai	15 18 11,8	— 69 Leonis			
		11,1 <i>Apostoli</i>	— 69 Leonis			
	16 —	19 49,1	Austr. —			
14 Juni	15 51 31,5	Eintr. 7				
19 —	18 6 16,2	— 7				
20 —	15 53 6,5	— 7.8				
	18 36 17,1	— π Scorpii.				
4 Juli.	22 6 58,8	— ρ Pleiadum.				
	22 7 53,1	—				
		53,6 Adm. Greig	f Alcyone			
		53,6 <i>Apostoli</i>				
	22 37 15,2	—			Eintr. Atlas	
		5,7: <i>Ap.</i>				
	22 41 46,7	—	Eintr. Pleione			
		43,5 <i>Ap.</i>				
27 Juli.	18 40 9,1	Eintr. 22 Piscium.				
	19 21 36,9	Austr. —				
	21 32 38,9	— 8				
	22 4 35,1	— 9				
	22 56 47,1	— 9				
3 Aug.	0 34 58,3	Eintr. 6				
	42 44,5	Austr. 7				
	1 1 9,5	— 6.7				
17 —	21 15 44,1	Eintr. 6.7				
1824.	S. Astr. Nachr. Bd. IV.	p. 535.				
1825.	1 Febr.	11 33 51,6	Eintr. 81 Geminorum.			
		51,6 <i>D.</i>	— 81 Geminorum.			
		12 49 24,1	Eintr. 7			

Sternbedeck. beob. im Jahre 1827 auf der neuen Sternwarte.

		Wahre Zeit.			
		$\begin{smallmatrix} h & m & s \end{smallmatrix}$	$\begin{smallmatrix} h & m & s \end{smallmatrix}$		
1827.	26 Sept.	6 48 49,8	<i>D</i> Eintr. 7.8		
		7 23 37,4	<i>D</i> — 7.8 (130°)		
		8 38 19,5	<i>D</i> — 7.8 (110°)		
4 Oct.	7 28 51,3	Eintr. 7			
9 —	8 35 38,9	<i>D</i> — 172 Tauri (M)			
	8 52 43,0	<i>D</i> Austr. 9 (123°)			
	9 42 11,9	<i>D</i> — 172 Tauri (M)			
	10 2 42,5	<i>D</i> Eintr. i Tauri.			
10 —	11 9 12,3	— V. 189.			

Sternzeit.

		$\begin{smallmatrix} h & m & s \end{smallmatrix}$	$\begin{smallmatrix} h & m & s \end{smallmatrix}$		
		$\begin{smallmatrix} h & m & s \end{smallmatrix}$	$\begin{smallmatrix} h & m & s \end{smallmatrix}$		
24 —	20 46 6,5	<i>D</i> Eintr. 9			
25 —	21 36 29,5	<i>D</i> — 7			
29 —	22 54 14,0	<i>D</i> — 8			
	1 40 1,1	— k Aquarii.			
25 Nov.	21 26 44,7	— 8			

Die bei einigen Beobachtungen in Klammern eingeschlossene Zahl von Graden bezeichnet den Bogen des Mondrandes von der nördlichen Hornspitze bis zum Ort des Ein- oder Austritts. Diejenigen Bedeckungen, bei welchen kein Name angegeben ist, sind von mir beobachtet.

Die Vorrede zu Ihren Hülftafeln enthält ein schönes und einfaches Mittel, die Berücksichtigung der täglichen Aberration bei Meridianbeobachtungen zu umgehen *). Ich glaube, es wäre gut, auch auf die übrigen Fälle aufmerksam zu machen, in welchen sie umgangen oder gänzlich vernachlässigt werden kann, wozu alle Zeit- und Breitenbestimmungen gehören.

Denken wir uns neben dem Ort, in welchem ein Stern erscheint, auch denjenigen, in welchem er erscheinen würde, wenn es keine tägliche Aberration gäbe, so liegen diese beiden Punkte immer in einem dem Meridian senkrechten größten Kreise, und wenn des ersten Abstand vom Meridian im Bogen des erwählten Kreises = p (positiv auf der westlichen Seite), so ist der des 2ten = $p + 0''.313 \cos \varphi \cos p$, wo φ die Breite des Ortes bedeutet. Nennen wir die Höhe des ersten h , die des 2ten $h + dh$, und den Bogen vom Zenith bis zum Durchschnitt des Kreises p mit dem Meridian, a ; so ist

$$\cos a = \frac{\sin h}{\cos p} = \frac{\sin(h + dh)}{\cos(p + 0''.313 \cos \varphi \cos p)}$$

voraus

$dh = -0''.313 \cos \varphi \sin p \operatorname{tg} h = 0''.313 \cos \varphi \sin h \sin A$ wo A das vom Nordpuncte des Horizonts östlich herum gezählte Azimuth des Sterns bedeutet. Wenn wir daher den beobachteten Höhen diese Grösse hinzufügen, so können wir in dem ganzen übrigen Theile der Rechnung die tägliche Aberration = 0 setzen. Nun ist diese Correction aber wegen der Kleinheit von A für den Polarstern stets unmerklich, indem sie selbst bei 60° Breite nur 0''.008 im Maximo beträgt. Es wird daher immer erlaubt seyn, bei der Reduction von Polarsternhöhen die tägliche Aberration zu vernachlässigen.

Eine 2te Methode für Zeit- und Breitenbestimmung ist die Gauß'sche durch Beobachtung 3 oder mehrerer gleicher Höhen. Es seyen φ , ϵ und h genährte Werthe der Breite des Stundenwinkels und der aus der Beobachtung abgeleiteten wahren Höhe des Sterns; und $\Delta \varphi$, $\Delta \epsilon$ und $-\Delta h$ die an diese Elemente noch anzubringenden Verbesserungen; ferner sey

$$\sin h' = \sin \varphi \sin \delta + \cos \varphi \cos \delta \cos \epsilon$$

*) Bessel's Methode. S.

wo δ die Declination des Sterns bedeutet; so gibt bekanntlich jede Beobachtung eine Bedingungsgleichung von der Form

$$0 = \Delta\varphi \cos A + \Delta t \cos \varphi \sin A + \Delta h + h' - h$$

und aus der Verbindung aller erhaltenen Gleichungen werden die unbekannten Größen $\Delta\varphi$, Δt und Δh abgeleitet. Um nun hierbei die tägliche Aberration zu berücksichtigen, ist es nach dem Obengesagten nur nöthig, der Höhe die Größe $0'',313 \cos \varphi \sin h \sin A$ hinzuzufügen, wodurch die Bedingungsgleichungen folgende Form annehmen:

$$0 = \Delta\varphi \cos A + (\Delta t - 0'',313 \sin h) \cos \varphi \sin A + \Delta h + h' - h.$$

Da nun alle Höhen gleich sind, so vereinfacht sich die Größe $0'',313 \sin h$ vollkommen mit Δt . Wenn wir daher in der Rechnung die tägliche Aberration vernachlässigen, so erhalten wir die Breite in aller Strenge richtig; der für den Uhrstand gefundenen Verbesserung haben wir aber die Größe $0'',313 \sin h$ im Bogen, oder $0'',021 \sin h$ in Zeit hinzuzufügen. Setzt man in den Bedingungsgleichungen $\Delta\varphi = 0$, so gelten sie für den Fall, wo man aus gleichen Höhen eines oder mehrerer Sterne nur den Uhrstand ableitet; auch in diesem Falle ist also die erwähnte Verbesserung demselben anzubringen.

Dafs bei der *Bessel'schen* Methode der Breitenbestimmung durch's Passageninstrument der Einflufs der täglichen Aberration $= 0$ ist, hat Hr. Prof. *Bessel* selbst *Astr. Nachr.* Bd. VI. p. 242 bemerkt. Es wäre unnöthig, diese Untersuchung auch auf diejenigen Methoden auszuweiten, welche man wohl noch sonst für Zeit- und Breitenbestimmung vorgeschlagen hat, da dieselben so roh sind, dafs dabei von so kleinen Correctionen nicht die Rede seyn kann. Unter allen astronomischen Reductionen wäre daher der Fall, wenn man aus Beobachtungen ausser dem Meridian die Position eines Sterns ableiten will, der einzige, bei welchem die Berücksichtigung der täglichen Aberration einiges Interesse haben könnte.

Von dem *Enckeschen* Cometen ist es mir bis jetzt unmöglich gewesen, die geringste Spur zu finden.

Druckfehler.

Hilftafeln 1822 p. 32 a Urs. maj. Diff. AR. März 11 lies 6
21 4

1824 p. 62 Jan. 28 AR. 21°

Matthiessen's Tafeln, Columnen B, A = 1.5909 statt 9 lies 09
Vega Thesaurus log. N 24626 statt 3939 lies 3938

Astr. Nachr. Bd. I. p. 361 Zeile 17 st. 19.5 A lies 19.5 M

Bd. IV. p. 208 — 2 — B. III. p. 55. — B. IV. p. 55.

K. Knorre.

Auszug aus einem Schreiben des Herrn Doctors und Ritters *Olbers* an den Herausgeber.

Bremen 1828. Novbr. 17.

Den *Enckeschen* Cometen habe ich zuletzt am 10^{ten} Nov. beobachtet, und viermal mit einem Stern der H. C. verglichen, wofür ich, vermittelst der Hilftafeln, fand

1800. $334^{\circ} 18' 58''$ 5 42.64 + $20^{\circ} 51' 21''$ 8 + 18.06

Die Beobachtungen geben für den Cometen

Novbr. 10. $11^{\circ} 38' 50''$ $334^{\circ} 55' 16''$ + $20^{\circ} 58' 2''$

Zu meinem grossen Vergnügen scheint der Fehler der Ephemeride ziemlich constant zwischen $2' 0''$ und $2' 30''$ zu bleiben, so dafs sich die Annahme eines widerstehenden Mittels doch wohl vollkommen rechtfertigen wird. Vom 10^{ten} bis zum 16^{ten} ist es immer trübe gewesen, und nun mufs ich die Beobachtungen bis nach dem Vollmond verschieben.

Herr Prof. *Nicolai* forderte mich neulich auf, Herrn *Oliver*, der sich bekanntlich schon mit der Bahnbestimmung des zweyten Cometen von 1827 beschäftigt hatte, zu ersuchen, auch die Mannheimer Beobachtung vom 16^{ten} Octbr. die einzige, so viel ich weifs, die nach dem Perihel gemacht worden ist, mit in Rechnung zu ziehen. Mein junger Freund hat auf meine Bitte diese Arbeit willig übernommen. Das Resultat seiner Bemühung ist folgendes:

Parabolische Elemente der Bahn.

T. P. Sept. 11, 69682 M. Z. zu Bremen
Q $149^{\circ} 41' 14''$ Aeq. med. Aug. 17
P 250 59 40.2
i 54 6 2.0
log. q 9,1391154
mot. retr.

Diese Elemente schliessen sich an drei Normalörter, vom 19^{ten} und 29^{ten} Aug. und vom 16^{ten} Octbr. Die beiden äussern Oerter stellen sie genau dar, so wie die Rectascension des mittlern, geben aber die Declination um $1' 47''$ 4 zu klein. Die Excentricität, wodurch dieser Fehler weggeschafft wird ist jedoch nur unbedeutend, wie nachstehende Elemente zeigen.

Elliptische Elemente.

T. P. Sept. 11, 71735 M. Z. in Bremen
Q $149^{\circ} 39' 10''$ Aeq. med. Aug. 17
P 250 57 12.0
i 54 4 42.1
e 0.99927303
log q 9,1393857
T 2611 Jahre.

Constanten.

$$\begin{aligned} x &= n \log 9,9602172 \cdot r \sin (187 \ 39 \ 21,1 + \phi) \\ y &= n \log 9,6855060 \cdot r \sin (331 \ 39 \ 48,3 + \phi) \\ z &= n \log 9,9848090 \cdot r \sin (270 \ 43 \ 23,4 + \phi) \end{aligned}$$

Mit diesen Elementen sind nun alle Beobachtungen verglichen, welche insgesamt von der Parallaxe, Aberration, Nutation und Präcession befreit und auf das mittlere Äquinoccium des 17^{ten} Aug. gebracht sind.

Vergleichung der Rechnung mit den Beobachtungen.
(Die Meridianbeobachtungen sind mit einem * bezeichnet.)

Beobachtungsort.		$\Delta\alpha$	$\Delta\delta$
Speyer	Aug. 17*	+ 10,4	- 1,8
Speyer	—	+ 1,5	+ 30,1
Speyer	17	+ 13,4	- 1,2
Speyer	18*	+ 3,3	+ 2,7
Speyer	19	—	+ 22,9
Speyer	20	- 17,8	+ 4,7
Göttingen	20*	+ 11,1	+ 1,1
Speyer	20*	+ 15,2	- 1,5
Göttingen	21*	- 8,7	+ 7,0
Speyer	21*	+ 7,1	+ 3,1
Speyer	22	- 10,6	- 19,6
Göttingen	22*	+ 6,2	+ 4,5
Mannheim	22*	- 4,9	- 37,5
Speyer	22*	+ 13,2	+ 1,0
Mannheim	23*	+ 4,1	- 49,9

Beobachtungsort.

	$\Delta\alpha$	$\Delta\delta$
Speyer	23*	+ 12,2
Speyer	—	+ 32,7
Speyer	28	+ 28,2
Speyer	29	- 11,3
Mannheim	Oct. 16	- 0,2

Auch über den von Herrn Cacciatori im südlichen Telescop entdeckten, vermeintlich neu entstandenen, Nebelfleck läßt sich nun ein entscheidendes Urtheil fällen. Dieser Nebelfleck kommt nämlich in dem höchst schätzbaren Cataloge von Herrn Dunlop (Phil. Transactions for the year 1828. P. I. p. 138) unter 473 vor, und Herr D. beschreibt ihn so:

A very bright round highly condensed nebula, about 3' diameter. I can resolve a considerable portion round the margin: but the compression is so great near the centre, that it would require a very high power, as well as light, to separate the stars; the stars are rather dusky.

Es leidet also wohl keinen Zweifel, daß dieser Nebelfleck von Lacaille wegen der Schwäche des angewendeten Fernrohrs, und von Piazzi, so wie früher von Cacciatori, wahrscheinlich wegen seines niedrigen Standes und des erleuchteten Gesichtsfeldes, nur überschrieben worden und schon immer da gewesen ist.

O l b e r s.

Sternbedeckungen beobachtet auf der Prager Sternwarte nach Angabe der Mailänder Ephemeriden 1828.

Eintritte in dunkeln Mondrand nach wahrer Zeit.

1828.	21 August.	7 ^e Größe	plötzlich	um	h	m	s
	21 Septbr.	6 ^e	plötzlich	—	9	3	35,1
	21 Septbr.	als 6 ^e gesehen	plötzl.	—	9	47	29,2
	15 Oktbr.	7-8 ^e	— zuletzt gesehen	—	6	54	52,2
	15 Oktbr.	7-8 ^e	— zuletzt gesehen	—	7	4	50,6
Das helle Licht des dunkeln Mondrandes schwächte das Licht der Sterne, daß sie sehr schwach zu sehen waren; doch scheint der Eintr. auf 1-2" sicher zu seyn.							
	22 Oktbr.	0Pisc.	fast in vollen Mond	um	5	51	28,4
Der Eintr. scheint auf 2-3" verlässlich.							
	28 Oktbr.	1Gem.	Eintr. in licht. Mondr.	um	10	17	45,6
Plötzlicher Austr. aus dem Dunkeln							
				um	10	45	52,6
Der Eintr. scheint auf 1-2" verlässlich.							

Mus mit α Scorp. zur Zeit seines Gegenseins beobachtet am Universalinstrument im Prager Meridian, verglichen mit Hrn. Schumachers Planetentafeln.

1838.	Beob.Aufst.	DieTafeln.	Beob.aüfl.	Abw.	DieTafeln.
28 Juni.	18 44 6	+ 0,2	— 27 55 54	—	— 5,2
4 Juli.	18 36 12,5	- 0,5	—	—	—
5	18 34 53	- 0,6	— 28 24 11,3	—	- 8,8
7	18 32 14,9	0,0	— 28 30 23	—	+ 9,0
Die Tafeln im Mittel					
— 0,23					
— 1,7					

Die scheinbaren Orte des α Scorp. sind aus den Hülfstafeln entlehnt. Die Abweichungen aus den geschätzten Höhen unterseiden mit Rücksicht auf die Strahlenbrechung berechnet, und durch die Höhenparallaxe verbessert.

Prag den 30 Oktober 1828.

Prof. David.

Inh.: Nachrichten über die Wiedererscheinung des Enckischen Cometen. p. 49. — Auszug aus einem Schreiben des Herrn Prof. Harding an den Herausgeber. p. 49. — Schreiben des Herrn Gansart, Dir. der Mariller Sternw., an den Herausg. p. 51. — Schreiben des Herrn Fafie an den Herausgeber. p. 55. — Schreiben des Herrn Professors Knorre, Directors der Sternwarte in Nicolaew, an den Herausgeber. p. 57. — Auszug aus einem Schreiben des Herrn Doctors und Ritters Olbers an den Herausgeber. p. 62. — Sternbedeckungen beob. auf der Prager Sternwarte von Herrn Professor David. p. 63.

Altona im December 1828. (Hiebei eine Beilage.)

B E I L A G E

ZU

N^o 148. DER ASTRONOMISCHEN NACHRICHTEN.

Auszug aus einem Schreiben des Herrn Professors *Hansen*, Directors der Seeberger Sternwarte, an den

Herausgeber.

Seeberg 1828. Mai 28.

Beifolgend alle Barometerbeobachtungen, die ich im vorigen Jahre gemacht habe. Zu Anfange dieses Jahres habe ich wieder angefangen, eine regelmässige Reihe anzustellen. Ich habe von dem hiesigen Münzmeister und Conservator der Sternwarte *Kleinstuber* zwei Barometer bekommen, welche gut gemacht sind, an dem einen dieser beobachte ich jetzt. Die Differenz des hiesigen *Fortin* mit dem wel-

ches Sie auf Ihrer Reise nach München mit hatten, fanden wir $1^{\text{mm}},43^{\text{''}}$), um welche Grösse meine niedriger stand.

^{mm}
*) Prof. *Hansen* Barometer $+ 1,43 = \text{Fortin } 1826$
Prof. *Behnh.* Normal. $+ 0,53 = \text{Fortin } 1826$.
Es müssen also zu *Hansen* Barom. 0,90 Mill. zugelegt werden, um absolute Höhen zu haben.
S.

H a n s e n.

Barometerbeobachtungen auf der Sternwarte Seeberg mit einem Fortinschen Barometer.

Die Beobachtungszeit ist der wahre Mittag.

Tag. 1827.	Therm. am Bar. C.	Barom. ^{mm}	Freies Therm. F.	Wind.
Jan. 1	+ 4,8	726,78	39,8	SW.
2	4,0	712,28	37,0	SW.
3	1,0	713,30	30,0	SW.
4	— 2,0	717,45	22,2	Stille.
5	2,5	724,50	23,6	O.
6	— 2,0	736,30	21,0	Stille.
8	+ 1,1	724,25	35,5	SW.
9	4,0	719,80	39,2	SW.
10	3,0	721,90	36,8	W. } Sturm.
11	3,2	712,92	36,0	S. }
13	0,2	727,72	29,8	S. }
14	3,0	712,98	37,7	S. }
15	1,0	722,62	30,0	SW.
16	+ 1,2	725,00	33,0	N. Sturm.
17	— 2,0	728,18	22,2	O.
18	2,5	730,52	22,0	O.
19	3,5	731,72	22,0	O.
20	4,5	724,65	20,0	Stille.
21	4,9	722,95	17,2	Stille.
22	9,5	719,10	5,1	Stille.
23	6,3	715,28	15,0	Stille.
24	5,0	721,95	22,0	W.
25	4,4	724,38	16,2	Stille.
26	5,0	720,58	21,0	SW.
27	3,0	728,90	28,0	Stille.
28	4,7	734,78	13,4	Stille.
29	1,8	730,25	29,2	SW.

77 Bd.

Tag. 1827.	Therm. am Bar. C.	Barom. ^{mm}	Freies Therm. F.	Wind.
Jan. 30	— 1,4	726,60	26,1	—
31	2,5	723,00	24,2	—
Febr. 1	2,0	723,60	28,8	W.
2	1,2	721,88	28,0	O.
3	5,0	733,15	17,0	NO.
4	4,9	742,52	19,0	Stille.
5	5,0	740,35	12,0	Stille.
6	5,0	730,48	25,0	S.
7	2,8	736,02	27,8	N.
8	6,0	739,10	14,7	N.
9	12,5	738,55	3,5	N.
10	11,5	735,25	4,9	NO.
11	8,0	724,63	15,4	Stille.
12	4,7	720,28	30,0	S.
13	2,5	720,05	29,0	SW.
14	4,0	725,40	26,8	SW.
16	8,3	729,25	10,1	NO.
17	9,8	727,55	12,6	NO.
18	7,5	734,02	12,5	Stille.
19	12,4	731,58	— 3,0	Stille.
20	7,4	722,45	32,1	Stille.
21	4,0	718,65	35,5	Stille.
22	2,8	717,82	32,2	Stille.
23	2,1	725,00	31,0	SW.
24	1,8	728,02	35,7	Stille.
25	4,5	736,32	15,2	NO.
26	— 3,7	734,80	29,4	Stille.

5

Tag. 1877.	Therm. am Bar. C.	Barom. mm	Freies Therm. F.	Wind.
Febr. 27	+ 2,7	724,58	40,2	S.
28	2,1	728,42	35,7	Stille.
März 1	6,5	720,62	47,0	SW.
2	7,5	719,35	48,6	SW.
3	6,2	722,60	44,2	SW.
4	8,0	712,02	52,4	SW.
5	5,0	722,55	39,0	SW.
6	3,7	718,42	38,0	S.
7	6,5	722,75	45,0	S.
9	8,8	719,08	51,0	SW.
10	5,5	723,72	40,5	Stille.
12	7,5	722,95	45,0	SW.
13	7,0	720,05	45,4	SW.
14	6,5	713,70	45,0	S.
15	5,0	720,35	36,0	SW.
17	1,5	711,02	31,8	S.
18	+ 1,0	713,00	31,0	SW.
19	- 0,1	733,20	28,5	NO.
20	+ 1,9	736,70	38,0	SW.
21	3,5	729,42	38,0	W.
22	5,0	723,02	45,0	W.
23	6,0	726,02	46,5	SW.
24	7,5	729,00	49,8	SW.
25	8,0	723,80	48,0	SW.
26	3,5	730,38	36,1	W.
27	5,0	731,65	40,9	Stille.
28	7,0	723,42	52,3	SW.
29	7,3	715,40	40,9	S.
30	5,4	714,85	42,0	W.
April 1	3,5	728,42	35,3	O.
2	4,5	732,82	39,4	W.
3	6,0	729,05	48,0	W.
4	7,5	734,70	51,1	W.
5	7,5	737,05	56,2	NO.
6	13,0	737,52	57,6	
7	12,0	735,30	58,9	
8	12,5	735,58	54,9	W.
9	13,5	733,70	58,4	W.
10	13,0	731,00	62,6	O.
11	15,0	729,95	61,6	W.
12	15,5	732,78	64,0	W.
13	15,0	731,92	58,2	W.
15	10,5	730,82	51,0	N.
18	11,7	728,10	58,2	O.
20	12,5	721,00	52,8	W.
21	11,8	720,68	55,3	N.
22	12,7	718,02	55,7	Stille.

Tag. 1877.	Therm. am Bar. C.	Barom. mm	Freies Therm. F.	Wind.
April 23	+ 10,2	719,60	49,0	Stille.
24	10,7	722,48	50,0	SW.
25	11,0	729,30	53,0	SW.
26	10,8	732,55	52,5	NO.
27	9,5	740,20	46,2	S.
28	10,2	738,42	51,1	
29	12,3	734,75	60,0	
30	15,2	732,85	65,7	
Mai 1	17,0	730,38	64,0	
2	12,2	731,88	53,2	N.
3	15,0	729,42	62,4	
4	15,5	727,88	66,0	NO.
5	17,8	727,02	64,5	
6	16,6	720,38	63,6	SW.
7	13,0	720,00	50,2	SW.
8	11,2	725,90	48,8	Stille.
9	13,0	727,32	61,1	Stille.
10	14,0	725,45	61,9	W.
11	14,2	721,38	58,8	SW.
13	10,5	725,60	46,4	N.
14	14,0	724,65	57,1	SO.
15	12,5	727,68	54,0	Stille.
16	13,6	729,72	64,8	Stille.
17	15,0	727,65	69,0	N.
18	19,2	730,33	67,6	O.
19	20,8	730,58	69,7	O.
20	21,3	731,02	69,6	O.
21	20,2	734,15	67,5	SW.
22	19,2	733,68	71,6	Stille.
23	17,0	727,85	60,9	SW.
24	17,0	722,85	65,0	W.
25	15,0	721,90	58,0	Stille.
26	15,2	722,80	64,8	Stille.
27	14,7	726,00	58,8	W.
28	17,0	732,98	76,5	Stille.
31	21,0	729,70	79,8	
Juni 2	19,2	729,12	66,9	SW.
4	16,5	729,42	54,6	Stille.
6	16,5	724,70	68,0	SW.
7	14,0	727,25	53,7	Stille.
8	12,2	731,75	52,0	NO.
9	13,0	733,48	51,5	NO.
10	17,0	732,48	67,0	O.
12	17,5	730,43	68,0	NO.
14	19,0	731,28	71,0	NO.
15	20,5	726,90	74,0	O.
16	19,8	726,85	71,2	Stille.

Tag. 1827.	Therm. am Bar. C.	Barom. mm	Freies Therm. F.	Wind.
Juni 18	+20,5	730,42	73,2	
19	20,7	730,75	73,7	
20	21,0	728,48	77,0	Stille.
23	18,0	731,65	62,8	W.
24	16,8	730,55	59,5	SW.
25	15,7	731,62	58,8	SW.
26	14,8	730,95	56,0	SW.
27	15,5	732,52	64,7	Stille.

Tag. 1827.	Therm. am Bar. C.	Barom. mm	Freies Therm. F.	Wind.
Jun. 28	+19,0	731,08	68,9	N.
29	22,2	730,95	76,6	SW.
30	22,7	729,75	80,2	SW.
Jul. 2	25,2	733,28	84,1	
3	23,8	729,62	78,0	SW.
9	20,2	737,48	68,5	S.
10	21,8	733,00	73,8	S.
12	16,8	734,25	59,4	NO.

Hansen.

Barometerbeobachtungen in Apenrade.

1828.	Barometer auf 0° red.	Freies Therm.	Daniells Hygr. L. D.	Wind.
Januar 1	755,33	+1,7	35,0 33,0	SSO.
2	757,24	1,4	34,0 33,0	SSO.
3	747,94	0,1	31,5 30,5	SSO.
4	755,58	+0,8	32,5 31,0	S.
5	760,99	—	26,5 23,5	O.
6	763,68	2,7	25,0 21,0	OSO.
7	770,35	0,6	29,5 25,5	ONO.
8	767,15	2,2	26,0 23,0	NNW.
9	762,10	3,3	23,0 21,0	O.
10	760,37	2,9	24,5 23,5	SO.
11	750,82	6,4	16,5 13,5	WNW.
12	756,75	0,8	29,0 27,0	NO.
13	755,10	3,1	24,0 22,0	OSO.
14	758,83	4,1	21,5 17,5	O.
15	760,80	4,8	20,0 16,0	O.
16	769,76	4,8	20,5 16,5	O.
17	778,55	4,0	22,0 18,0	OSO.
18	775,40	—4,6	20,5 15,5	SO.
19	764,18	+2,1	35,0 34,0	WSW.
20	763,72	3,7	39,0 37,0	W.
21	764,19	3,9	40,0 38,0	W.
22	758,34	3,0	38,0 36,0	WSW.
23	757,12	3,8	40,0 37,0	W.
24	767,07	3,9	40,0 37,0	W.
25	761,68	4,7	41,5 39,5	SSW.
26	758,32	4,9	42,0 39,0	W.
27	758,76	4,2	41,0 38,0	WNW.
28	767,11	4,2	41,0 39,0	NW.
29	767,61	1,9	35,5 32,5	WNW.
30	763,82	3,9	40,0 33,0	WSW.
31	764,66	2,6	37,0 35,0	SSW.
Februar 1	757,85	3,6	39,5 38,5	SSO.
2	760,16	4,8	42,0 40,0	WNW.
3	764,35	4,8	41,5 38,5	NNW.
4	763,66	2,9	38,0 36,0	SSW.
5	761,94	4,1	40,5 39,5	S.
6	760,81	2,8	37,0 35,0	N.
7	754,52	1,6	35,0 33,0	OSO.
8	763,87	+0,1	32,0 30,0	OSO.
9	762,90	—3,0	25,0 21,0	SSO.

1828.	Barometer auf 0° red.	Freies Therm.	Daniells Hygr. L. D.	Wind.
Febr. 10	766,06	—2,2	26,5 17,5	OSO.
11	761,96	7,0	16,5 13,5	SO.
12	764,02	3,2	24,5 22,5	O.
13	769,23	2,0	27,0 23,0	OSO.
14	764,16	3,1	24,5 15,5	SO.
15	755,82	3,8	23,0 19,0	SSO.
16	758,25	2,8	25,0 19,0	NO.
17	756,10	—1,0	29,0 25,0	WSW.
18	748,64	+0,7	33,0 31,0	WSW.
19	744,65	—0,1	31,0 29,0	SSW.
20	748,92	+2,7	37,0 35,0	SSO.
21	746,49	1,9	36,0 34,0	O.
22	749,72	0,2	32,0 30,0	OSO.
23	746,16	0,9	33,5 31,5	O.
24	753,16	2,9	37,0 35,0	SSO.
25	761,33	4,8	42,5 37,5	S.
26	762,69	6,8	45,0 42,0	NNO.
27	766,66	6,6	45,0 43,0	SO.
28	765,11	4,1	40,5 39,5	WSW.
29	760,27	4,7	40,5 34,5	N.
März 1	763,73	1,9	35,0 31,0	SSW.
2	750,71	4,1	40,0 36,0	N.
3	750,98	3,3	38,0 34,0	NNW.
4	752,39	1,0	33,5 28,5	NNW.
5	751,93	+4,0	39,0 36,0	O.
6	751,73	—3,1	24,0 14,0	N.
7	765,55	—0,1	30,5 26,5	WSW.
8	757,67	+0,9	33,0 33,0	SSW.
9	761,81	4,9	42,0 41,0	W.
10	759,24	6,6	46,0 44,0	NW.
11	761,65	6,1	45,0 41,0	NW.
12	762,50	3,7	39,0 36,0	S.
13	760,25	5,0	43,0 41,0	W.
14	763,50	8,6	50,5 44,5	VWNW.
15	765,91	6,9	47,0 40,0	N.
16	766,77	4,9	42,5 39,5	W.
17	762,48	5,0	41,5 39,5	OSO.
18	756,93	6,1	44,5 42,5	N.
19	738,08	6,5	45,0 44,0	SSW.
20	740,33	5,2	43,0 39,0	WNW.

5*

1828.	Barometer auf 0° red.	Freies Therm.	Daniells Hyg. L. D.	Wind.
	mm	°	°	
März 21	736,93	+ 6,9	47,0 42,0	WNW.
— 22	739,44	3,4	39,0 37,0	WSW.
— 23	743,60	4,6	41,0 40,0	SSW.
— 24	750,54	5,6	43,5 40,5	W.
— 25	756,84	8,9	39,5 38,5	SO.
— 26	757,48	5,7	44,0 39,0	N.
— 27	752,46	2,5	36,0 31,0	NNW.
— 28	751,82	4,8	42,0 40,0	SO.
— 29	754,37	4,0	40,5 38,5	NO.
— 30	760,63	4,8	41,5 40,5	O.
— 31	767,85	7,5	48,0 45,0	NNO.
April 1	767,90	7,9	49,0 46,0	OSO.
— 2	757,91	2,9	37,5 37,0	W.
— 3	754,68	1,6	34,0 21,0	NNW.
— 4	753,65	0,9	33,0 32,0	SSO.
— 5	749,34	3,1	38,0 36,0	S.
— 6	749,55	2,6	36,5 35,5	SSW.
— 7	749,11	3,9	40,0 38,0	SSW.
— 8	746,83	4,9	42,0 37,0	SSO.
— 9	751,94	5,9	44,5 42,0	OSO.
— 10	750,67	4,7	42,0 40,0	SO.
— 11	751,53	4,9	41,5 40,5	O.
— 12	757,09	7,2	47,5 45,5	OSO.
— 13	754,41	5,1	42,5 41,5	OSO.
— 14	755,30	8,4	50,0 48,0	W.
— 15	755,75	8,0	49,5 47,5	OSO.
— 16	752,91	10,5	53,0 52,0	WSW.
— 17	748,99	10,0	54,0 52,0	SW.
— 18	752,90	13,0	59,5 56,5	S.
— 19	754,39	9,0	50,0 48,0	NNO.
— 20	758,43	5,7	44,0 42,0	ONO.
— 21	755,30	3,5	38,5 38,0	ONO.
— 22	757,22	7,9	48,5 47,5	SO.
— 23	757,34	10,5	55,0 53,0	O.
— 24	755,53	9,7	53,0 50,5	SW.
— 25	755,91	9,2	52,0 49,0	WSW.
— 26	754,04	6,8	47,0 46,0	W.
— 27	767,70	10,8	55,5 43,0	W.
— 28	770,76	13,9	62,0 58,0	S.
— 29	768,23	16,0	67,5 63,5	SSW.
— 30	763,36	11,0	56,0 46,0	NNW.
Mai 1	764,48	8,1	49,5 47,5	NW.
— 2	763,15	9,8	53,0 33,0	NW.
— 3	761,60	10,2	54,0 40,0	WSW.
— 4	758,89	11,1	56,0 50,0	OSO.
— 5	755,24	9,6	53,0 43,0	OSO.
— 6	754,99	12,1	58,5 38,5	OSO.
— 7	753,73	7,8	48,0 45,0	NNO.
— 8	755,03	11,2	56,0 53,0	SSO.
— 9	757,30	8,9	51,5 45,5	WSW.
— 10	762,84	9,3	52,0 46,0	SW.

1828.	Barometer auf 0° red.	Freies Therm.	Daniells Hyg. L. D.	Wind.
	mm	°	°	
Mai 11	758,38	+ 8,9	50,5 49,5	SW.
— 12	757,17	8,8	51,0 50,0	N.
— 13	766,59	10,0	53,5 49,0	W.
— 14	764,32	11,5	57,0 55,0	W.
— 15	765,21	12,9	59,5 46,5	N.
— 16	763,16	12,6	59,0 55,0	OSO.
— 17	763,72	11,9	58,0 54,0	O.
— 18	760,11	12,9	60,0 55,0	NNO.
— 19	756,63	13,0	60,5 52,5	O.
— 20	756,62	12,8	60,0 50,0	OSO.
— 21	753,14	14,5	64,0 54,0	S.
— 22	751,21	9,0	50,5 49,5	ONO.
— 23	750,06	9,9	53,5 51,5	SO.
— 24	754,70	11,9	57,5 55,5	SO.
— 25	755,88	16,2	67,5 65,5	SSW.
— 26	761,17	17,0	69,5 65,5	OSO.
— 27	755,04	16,8	69,0 64,0	OSO.
— 28	754,15	12,9	60,5 59,5	SSW.
— 29	756,78	17,9	71,0 66,0	SSO.
— 30	756,60	17,1	69,0 67,0	SO.
— 31	757,69	15,2	66,0 63,0	SW.
June 1	757,19	16,0	67,5 62,5	W.
— 2	759,43	14,9	64,5 57,5	S.
— 3	756,54	11,6	66,0 53,0	SW.
— 4	753,76	14,1	63,0 59,0	SSW.
— 5	746,27	13,9	62,0 58,0	SSW.
— 6	749,85	10,7	55,0 53,0	SSW.
— 7	752,56	13,7	60,0 56,0	OSO.
— 8	758,11	10,7	55,5 53,5	VNW.
— 9	761,38	9,9	53,0 50,0	VNW.
— 10	759,91	9,5	52,0 52,0	NW.
— 11	760,73	11,4	57,0 49,0	W.
— 12	758,10	10,3	56,0 51,0	W.
— 13	763,78	12,2	58,5 54,5	W.
— 14	764,03	13,6	61,5 54,5	VNW.
— 15	765,54	16,2	67,0 62,0	W.
— 16	763,56	16,2	68,0 64,5	OSO.
— 17	759,45	16,4	69,0 65,0	OSO.
— 18	754,46	17,0	71,0 57,0	SSO.
— 19	759,56	17,9	71,0 64,0	SW.
— 20	762,36	20,2	75,5 63,5	SO.
— 21	757,75	18,7	73,0 70,0	OSO.
— 22	757,92	16,8	69,0 65,0	SW.
— 23	759,20	15,6	66,0 61,0	W.
— 24	761,16	13,7	61,5 57,5	NW.
— 25	765,53	17,8	69,5 62,5	SSO.
— 26	767,76	18,8	74,0 68,0	W.
— 27	767,20	19,0	73,5 58,5	NW.
— 28	764,98	18,2	73,0 62,0	OSO.
— 29	759,64	17,7	71,0 64,0	OSO.
— 30	757,38	18,1	72,0 65,0	O.

Auszug aus einem Schreiben des Herrn Professors Hansen, Directors der Seeberger Sternwarte, an den Herausgeber. p. 65.
Barometerbeobachtungen in Apenrade. p. 69.

Altona im November 1828.

Fortsetzung des Briefes des Herrn *Benj. Valz* an den Herausgeber.

Il m'a paru qu'il serait commode d'avoir des tables générales d'aberration et de nutation en un seul terme, et sans nombreux arguments à former, ce qui abrégierait le calcul et diminuerait les chances d'erreur, et les variations continuelles des signes, qui causent de si fréquentes méprises. J'ai pensé que les maxima d'Aberration et de Nutation pourraient atteindre ce but, et j'ai essayé de calculer les tables que Vous trouverez ci-après. Vous pourriez remarquer que les arguments varient quelquefois grandement, mais alors ils ont peu d'influence et les quantités qui leur correspondent sont assez faibles. Ce n'est que pour exemple que je vous transmets ces tables, car il conviendrait de les calculer de deux en deux degrés et alors on

pourrait avoir dans moins de cinquante pages d'impression les aberrations et nutations, qu'on réunirait sur la même ligne et qu'on aurait à vue ce qui pourrait suppléer aux tables particulières fort commodes, mais insuffisantes, et ayant de nombreuses fautes le plus souvent. Ne pourrait-on pas remplacer ainsi les tables que *Mr. Delambre* espéroit renfermer en 500 pages (conn. des tems 1810. p. 462.). Si vous jugez que ce soit utile je pourrai calculer ce qui manque pour étendre suffisamment ces tables. La démonstration relative aux maxima d'Aberration est assez connue, mais je n'ai pu trouver nulle part celle pour la Nutation, qui n'offre cependant pas plus de difficultés. Voici les transformations à l'aide desquelles j'y suis parvenu:

$$\begin{aligned} \text{Nut. AR} &= -m \cos AR. \cos \Omega \operatorname{tg} D - n \sin AR. \sin \Omega \operatorname{tg} D - p \sin \Omega \\ &= m \cos AR. \left(-\cos \Omega - \frac{n}{m} \operatorname{tg} AR. \sin \Omega - \frac{p \sin \Omega}{m \cos AR. \operatorname{tg} D} \right) \operatorname{tg} D \\ &= m \cos AR. \operatorname{tg} D (-\cos \Omega + \cot N \sin \Omega) \\ &= \frac{m \cos AR. \operatorname{tg} D}{\sin N} (-\sin N \cos \Omega + \cos N \sin \Omega) \\ &= \frac{m \cos AR. \operatorname{tg} D. \sin (N - \Omega)}{\sin N} = M \sin (N - \Omega) \end{aligned}$$

$$\begin{aligned} \text{Nut. D} &= m \sin AR. \cos \Omega - n \cos AR. \sin \Omega = m \sin AR. (\cos \Omega - \frac{n}{m} \cos AR. \sin \Omega) \\ &= m \sin AR. (\cos \Omega - \cot N' \sin \Omega) = \frac{m \sin AR.}{\sin N'} (\sin N' \cos \Omega - \cos N' \sin \Omega) \\ &= \frac{m \sin AR. \sin (N' - \Omega)}{\sin N'} = M' \sin (N' - \Omega) \end{aligned}$$

J'ai vu avec beaucoup d'intérêt l'observation curieuse de *Mr. Nicolai Astr. Nachr.* Nr. 130. p. 211 de la 2^e comète de 1827 après son passage au Périhélie. Comme elle se trouve l'unique, il serait intéressant d'en avoir l'observation originale, et je pense qu'il vous sera facile de l'obtenir. Je pourrai vous envoyer les observations de *Mr. Pons* sur cette comète que vous n'avez pas publiées et qui précèdent

de quinze, jours toutes les autres. J'aurais aussi un mémoire sur les orbites des comètes à vous faire passer si vous pouviez me fournir quelque occasion pour cela parcequ'il est assez volumineux: enfin un moyen plus commode que ceux employés pour mesurer le grossissement des Lunettes, jusqu'à présent, pour une autre lettre, vu la longueur de celle-ci.

Benj. Valz.

Table des plus grands Aberrations en déclinaison et de leurs Arguments.

AR.	D 0°	10°	20°	30°	40°	50°	60°	70°	80°	90°	AR.	
—	Max. A.	Max. A.	Max. A.	Max. A.	Max. A.	Max. A.	Max. A.	Max. A.	Max. A.	Max. A.	+	
270	8,07 90	11,17 90,00	13,53 90,00	16,28 90,00	18,12 90,00	19,42 90,00	20,12 90,00	20,22 90,00	19,70 90,00	18,58 90,00	270	
280	8,07 90	11,14 86,51	13,49 85,02	16,23 83,47	18,08 82,49	19,39 82,01	20,11 81,17	20,23 80,36	19,73 79,53	18,63 79,07	280	
290	8,07 90	11,04 83,45	13,76 80,05	16,09 77,34	17,96 75,39	19,30 74,03	20,07 72,37	20,24 71,14	19,81 69,51	18,78 68,21	290	
300	8,07 90	10,88 80,42	13,53 75,10	15,86 71,23	17,76 68,30	19,15 66,08	19,99 63,59	20,25 61,58	19,92 59,34	19,01 57,49	300	
310	8,07 90	10,66 77,45	13,32 70,19	15,53 65,13	17,46 61,22	18,93 58,12	19,87 55,25	20,25 52,50	20,05 50,15	19,29 47,53	310	
320	8,07 90	10,38 74,57	12,81 65,32	15,10 59,03	17,07 54,15	18,62 50,20	19,68 46,56	20,20 43,48	20,17 40,44	19,58 37,33	320	
330	8,07 90	10,03 72,20	12,32 60,51	14,57 52,59	16,58 47,08	18,22 42,28	19,41 38,29	20,09 34,53	20,24 31,25	19,85 27,54	330	
340	8,07 90	9,63 69,56	11,73 56,17	13,92 46,53	15,97 39,59	17,71 34,35	19,04 30,03	19,90 26,01	20,25 22,13	20,07 18,28	340	
350	8,07 90	9,18 67,50	11,04 51,51	13,17 40,46	15,25 32,46	17,09 26,37	18,58 21,34	19,62 17,10	20,17 13,07	20,21 9,11	350	
360	8,07 90	8,69 66,07	10,27 47,34	12,30 34,36	14,41 25,23	16,35 18,29	18,00 12,57	19,23 8,15	19,99 4,01	20,26 0,00	360	
10	8,07 90	8,16 64,52	9,41 43,31	11,33 29,18	13,46 17,45	15,52 10,04	17,32 4,06	18,75 - 0,50	19,72 - 5,10	20,21 - 9,11	170	
20	8,07 90	7,60 64,13	8,46 39,42	10,25 21,48	12,41 9,43	14,58 1,65	16,55 - 5,06	16,17 - 10,11	19,36 - 14,32	20,07 - 18,28	160	
30	8,07 90	7,03 64,18	7,44 35,46	9,08 14,56	11,28 1,03	13,58 - 8,41	15,71 - 14,48	17,53 - 19,53	18,93 - 24,10	19,85 - 27,54	150	
40	8,07 90	6,46 65,21	6,35 33,22	7,82 7,27	10,09 - 8,33	12,53 - 18,27	14,85 - 25,09	16,80 - 30,08	18,46 - 34,10	19,58 - 37,33	140	
50	8,07 90	5,92 67,33	5,21 31,20	6,51 - 1,09	8,88 - 19,32	11,50 - 29,50	14,00 - 36,20	16,20 - 40,57	17,99 - 44,32	19,29 - 47,33	130	
60	8,07 90	5,44 71,09	4,04 30,56	5,17 - 11,49	7,73 - 32,36	10,54 - 49,88	13,23 - 48,28	15,60 - 52,24	17,55 - 55,23	19,01 - 57,49	120	
70	8,07 90	5,06 76,14	2,86 34,10	3,88 - 26,44	6,73 - 48,34	9,76 - 57,04	12,61 - 61,35	15,15 - 64,30	17,20 - 66,38	18,78 - 68,21	110	
80	8,07 90	4,80 82,82	1,79 47,41	2,79 - 59,54	6,02 - 67,57	9,23 - 73,02	12,20 - 75,32	14,81 - 77,06	16,98 - 78,14	18,63 - 79,07	100	
90	8,07 90	4,72 90,00	1,22 90,00	2,31 - 90,00	5,76 - 90,00	9,05 - 90,00	12,06 - 90,00	14,70 - 90,00	16,90 - 90,00	18,58 - 90,00	90	
—	AR.	D 0°	10°	20°	30°	40°	50°	60°	70°	80°	90°	AR.

Pour les déclinaisons australes on ajoutera 180° à l'ascension droite. Les signes placés en tête des colonnes extrêmes se rapportent aux arguments (A) auxquels on ajoutera 180° de 90° à 270° AR.

Table des plus grandes Nutations en ascension droite et de leurs Arguments.

AR.	D.	0°	10°	20°	30°	40°	50°	60°	70°	80°	90°	AR.								
—	—	Max. N	Max. N	Max. N	Max. N	Max. N	Max. N	Max. N	Max. N	Max. N	Max. N	+								
270	15,40	0,1422	0,00	12,96	0,00	11,54	0,00	9,79	0,00	7,43	0,00	3,52	0,00	2,97	150,00	22,51	180,00	0,00	180,00	270
280	15,40	0	14,24	1,06	13,01	2,30	11,63	4,26	9,96	7,32	7,78	13,49	4,82	34,03	5,06	122,06	23,65	158,93	166,40	260
290	15,40	0	14,30	2,10	13,16	4,52	11,90	8,34	10,45	14,17	8,72	24,49	6,98	40,39	8,64	102,24	26,68	130,16	153,56	260
300	15,40	0	14,40	3,09	13,39	7,01	12,33	12,08	11,19	19,40	10,04	32,12	9,45	55,22	12,34	92,20	30,65	124,23	142,12	240
310	15,40	0	14,53	4,01	13,69	8,49	12,88	15,00	12,11	23,34	11,56	36,30	11,94	56,51	15,91	85,12	35,47	112,40	133,35	230
320	15,40	0	14,69	4,44	14,03	10,16	13,51	17,06	13,13	26,05	13,14	38,35	14,22	56,16	19,23	79,14	40,02	102,57	121,59	230
330	15,40	0	14,87	5,17	14,46	11,47	14,19	18,26	14,18	27,23	14,70	39,05	16,54	54,30	22,25	73,47	44,24	94,37	113,15	210
340	15,40	0	15,06	5,40	14,88	11,54	14,89	19,05	15,22	27,43	16,17	38,36	18,56	51,57	24,91	68,32	47,88	87,41	103,09	200
350	15,40	0	15,27	5,52	15,31	12,08	15,58	19,07	16,22	27,13	17,33	38,57	20,34	48,51	27,19	63,19	50,91	78,01	97,29	190
360	15,40	0	15,47	5,52	15,74	11,59	16,24	18,37	17,14	26,05	18,75	34,48	21,88	45,17	29,07	58,02	53,19	80,12	99,00	180
10	15,40	0	15,68	5,42	16,14	11,30	16,85	17,38	17,97	24,23	19,81	33,08	23,18	41,21	30,58	52,35	54,74	66,20	82,31	170
20	15,40	0	15,87	5,23	16,51	10,43	17,41	16,15	18,70	22,14	20,72	29,02	24,25	37,03	31,73	46,55	55,61	59,21	74,51	160
30	15,40	0	16,04	4,54	16,85	9,40	17,88	14,32	19,33	19,43	21,48	25,33	25,10	32,27	32,56	41,00	55,89	52,05	66,45	150
40	15,40	0	16,20	4,18	17,14	8,24	18,31	12,31	19,86	16,54	22,09	21,47	25,75	27,33	33,12	34,47	55,69	44,27	58,01	140
50	15,40	0	16,33	3,34	17,38	6,56	18,65	10,17	20,28	13,49	22,07	17,45	26,24	22,23	33,48	28,17	55,18	36,23	48,95	130
60	15,40	0	16,43	2,46	17,58	5,20	18,91	7,53	20,60	10,32	22,92	13,30	26,58	17,01	33,63	21,31	54,52	27,50	37,48	120
70	15,40	0	16,51	1,53	17,71	3,37	19,10	5,20	20,82	7,00	23,17	9,05	26,80	11,27	33,72	14,29	53,69	19,51	26,04	110
80	15,40	0	16,56	0,57	17,80	1,50	19,21	2,41	20,96	3,35	23,31	4,34	26,93	5,45	33,75	7,17	53,45	9,31	13,20	100
90	15,40	0	16,57	0,00	17,83	0,00	19,25	0,00	21,00	0,00	23,36	0,00	26,97	0,00	33,75	0,00	53,29	0,00	0,00	90
—	AR.	D.	0°	10°	20°	30°	40°	50°	60°	70°	80°	90°	+	AR.						

Les signes placés en tête des colonnes extrêmes se rapportent aux arguments (N). Pour les déclinaisons australes on ajoute 180° à l'ascension droite.

Avec de fort grandes déclinaisons il seroit plus exact de multiplier les Nutations pour 45° de déclinaison par la tangente de la déclinaison.

Table des plus grandes Aberrations en ascension droite et de leurs Argumens.

AR.	A	D. 0°	10°	20°	30°	40°	50°	60°	70°	80°	A	AR.
0 180	270,00	90,00	18,58	18,87	19,77	21,45	24,25	28,90	27,16	54,32	107,00	90 180
10 170	280,53	79,07	18,63	18,92	19,83	21,52	24,32	28,99	37,27	54,48	107,30	100,53 259,07
20 160	291,39	68,21	18,78	19,07	19,99	21,69	24,52	29,22	37,57	54,92	108,15	111,39 248,21
30 150	302,11	57,49	19,01	19,31	20,23	21,95	24,82	29,58	38,02	55,59	109,49	122,11 237,49
40 140	312,27	47,33	19,29	19,59	20,52	22,27	25,18	30,01	38,58	56,40	111,08	132,27 227,33
50 130	322,25	37,35	19,58	19,88	20,84	22,61	25,56	30,46	39,16	57,25	112,76	142,25 217,35
60 120	332,06	27,54	19,85	20,16	21,12	22,92	25,91	30,88	39,70	58,04	114,31	152,06 207,54
70 110	341,32	18,28	20,07	20,38	21,35	23,17	26,20	31,22	40,12	58,67	115,76	161,32 198,28
80 100	350,49	9,11	20,21	20,52	21,50	23,33	26,38	31,44	40,41	59,08	116,36	170,49 189,11
90	350,00	0,00	20,26	20,57	21,55	23,39	26,44	31,51	40,51	59,22	116,64	180 270
AR.	A	0°	10°	20°	30°	40°	50°	60°	70°	80°	A	AR.

Avec de fort grandes déclinaisons il seroit plus exact de multiplier les aberrations pour 0°D par la secante de la déclinaison.

Table des plus grandes Nutations en déclinaison et de leurs Argumens.

AR.	N	Max.	N	AR.
0 180	0° 180°	6,68	180 360	180 360
10 170	13,20 166,40	6,76	193,20 346,40	190 350
20 160	26,03 153,57	6,99	206,03 333,57	200 340
30 150	37,48 142,12	7,32	217,48 322,12	210 330
40 140	48,05 121,35	7,71	228,25 311,35	220 320
50 130	58,01 121,59	8,11	238,01 301,59	230 310
60 120	66,45 113,15	8,46	246,45 293,15	240 300
70 110	74,50 105,10	8,74	254,50 285,10	250 290
80 100	82,31 97,29	8,92	262,31 277,29	260 280
90	90°	8,98	270,00	270

Les signes changent avec la déclinaison.

Table de Reduction des Aberrations et Nutations d'après leurs maxima.

(A-⊙)(N-Ω)	10"	20"	30"	40"	50"	60"	70"	80"	90"	(A-⊙)(N-Ω)
+										-
170 10	1,74	3,47	5,21	6,94	8,68	10,42	12,15	13,89	15,62	190 350
160 20	3,42	6,84	10,26	13,68	17,10	20,52	23,94	27,36	30,78	200 340
150 30	5,00	10,00	15,00	20,00	25,00	30,00	35,00	40,00	45,00	210 330
140 40	6,43	12,86	19,28	25,71	32,14	38,57	45,00	51,42	57,85	220 320
130 50	7,66	15,32	22,98	30,64	38,30	45,96	53,62	61,28	68,94	230 310
120 60	8,66	17,32	25,98	34,64	43,30	51,96	60,62	69,28	77,94	240 300
110 70	9,40	18,79	28,19	37,59	46,99	56,38	65,78	75,18	84,57	250 290
100 80	9,85	19,60	29,54	39,39	49,24	59,09	68,94	78,78	88,63	260 280
90	10"	20"	30"	40"	50"	60"	70"	80"	90"	270
+										-

B. F a l r.

Sterne am Meridiankreise von Herrn Petersen bestimmt.

Herr Petersen hat in diesem Sommer mehrere der Sterne, die nach der Berechnung der Florentiner Astronomen in diesem Jahre von dem Monde bedeckt wurden, am Meridiankreise der hiesigen Sternwarte bestimmt, um bei beobachteten Bedeckungen den Rechnern scharfe Sternpositionen zu liefern.

Mit den Sternen, die der eigentliche Zweck seiner Beobachtungen waren, hat er mehrere in folgenden Verzeichnisse enthaltene geliefert, die zugleich durch den Meridian gingen.

Das folgende Verzeichnis enthält den scheinbaren Ort des Sterns für den nebenstehenden Tag. Die Gleichung der Uhr beruht ebensowohl als der Aequatorpunkt des Kreises auf Bessels Catalog.

S.

1828.	Namen d. Sterne	Gr.	Scheinb. A.R.	Fäd.	Scheinb. Decl.
Juli 11		9	17 38 33,99	6	—19 42 34,49
— 14			34,14	6	—
— 19			34,23	5	—
— 21			34,23	6	32,67
Juli 13	P Sagittarii	9	17 41 36,89	6	—
— 14	XVII.251		36,96	6	—19 42 56,08
— 19			37,22	6	58,14
Juli 19	P Serpent.	8	17 43 39,94	6	—19 50 17,50
— 13	XVII		39,91	6	16,27
Juli 13	P Sagittarii	7.8	17 51 47,58	6	—19 5 25,21
— 21	XVII.317		47,82	6	25,79
Aug. 2		8	17 56 38,55	5	—18 59 21,83
Juli 10		8.9	18 4 30,04	2	—
Aug. 1			30,07	6	—19 0 35,34
Juli 10		7.8	18 5 12,80	6	—19 1 58,81
— 13			12,61	1	—
— 14			12,67	6	—
— 21			12,75	5	60,95
Juli 10	LL.VII	7.8	18 6 54,70	5	—
— 13			54,56	6	—19 0 55,84
— 14			54,83	2	—
Juli 18	P Sagittarii	8	18 7 33,05	6	—19 43 21,82
— 19	XVIII.26		33,05	4	—
Sept. 7		7	18 7 47,72	6	—
— 9			47,57	6	—18 51 0,06
Sept. 4	LL.VII.	6	18 11 19,37	6	—18 55 32,99
— 7			19,31	6	32,04
— 9			19,27	6	—
Juli 19	LL.XII	8	18 11 26,40	6	—19 20 7,43
Juli 14	P 729 Sagitt.	7	18 21 47,32	6	—19 0 23,44
— 14	XVIII.88				—
Juli 24	P Sagittarii	7	18 21 48,93	3	—19 14 0,34
Aug. 2	XVIII.94		49,21	2	2,11

1828.	Nam. d. Sterne.	Gr.	Scheinb. A.R.	Fäd.	Scheinb. Decl.
Juli 24		7	18 22 8,60	1	—19 14 0,34
Aug. 2			8,85	6	2,11
Sept. 9		7	18 25 18,14	4	—19 23 33,23
— 10			18,09	4	—
Juli 30	LL.X	7.8	18 25 35,10	6	—18 40 28,96
Sept. 18			34,70	6	39,31
Aug. 3	LL.X	7.8	18 26 30,20	6	—18 54 55,51
Sept. 8	P 121 Sagitt.	7	18 27 2,29	6	—19 20 25,93
— 9	738		2,30	6	—
— 10			2,18	5	—
— 14			2,13	5	22,85
— 15			2,18	3	23,19
Juli 14		7	18 38 9,54	6	—19 22 28,36
— 18			9,73	6	28,59
— 19			9,56	3	—
— 20			9,47	4	—
Sept. 8	LL.VIII	7	18 38 43,78	3	—
— 9			43,73	6	—18 46 48,04
— 10			43,70	4	48,46
— 14			43,57	6	50,93
Sept. 8		7.8	18 38 47,17	3	—18 48 41,44
— 15			47,13	6	42,45
Juli 14	LL.X	7.8	18 39 51,77	4	—
— 18			32,07	4	—
— 19			31,98	5	—
— 21			32,06	2	—19 19 28,53
— 30			31,89	6	27,07
Juli 14	P Sagittarii	9.19	18 42 54,02	3	—
— 18	XVIII.308		54,11	6	—
— 19			54,05	6	—19 18 51,73
Aug. 2			53,93	6	51,87
Juli 11	LL.VIII	7	18 43 5,42	6	—18 49 57,02
Aug. 3			5,40	6	57,17
Juli 30		8	18 48 27,57	4	—
Aug. 1			27,61	6	—18 44 58,70
— 16			27,71	5	98,32
Juli 19	LL.VIII	7	18 49	—	—18 47 14,39
— 21			26,43	6	16,41
— 30			26,87	3	15,34
Aug. 2			26,29	4	15,62
— 3			26,65	6	—
Sept. 7		7	18 57 7,58	6	—18 59 27,69
— 8			7,43	6	27,99
— 9			7,39	4	—
Sept. 8		8	18 58 56,78	6	—
— 9			56,75	6	—18 56 35,01
— 14			56,71	4	34,73
Juli 10	P Sagittarii	8	19 4 25,75	4	—18 10 54,06
— 14	XIX.18		25,78	6	—
— 21			26,03	3	56,20
— 24			25,94	6	54,08

1828.	Nam. d. Sterne.	Gr.	Scheinh. A.R.	Fäd.	Scheinh. Decl.	1828.	Nam. d. Sterne.	Gr.	Scheinh. A.R.	Fäd.	Scheinh. Decl.
Juli 18	LL.XXIII.	8	19 4 35,98	6	—18 20 31,26	Juli 10		9	20 10 36,40	3	—
— 19	Sagitt.		35,61.	6	32,90	— 11			36,10	4	—
Sept. 15	XIX. 18		35,56	5	33,66	Aug. 29			36,64	2	—15 16 8,28
Juli 11			19 6 10,62	6	—18 56 34,92	Sept. 2			36,98	5	4,79:
Aug. 3		9	10,74	4	—	Juli 21	P Dabih. min.	7	20 11 9,61	5	—15 18 55,21
— 18			10,50	3	35,26	Aug. 27	XX. 79		9,86	5	64,05
Sept. 7			10,38	6	38,74	— 28			—		55,89
Aug. 30		9. 10	19 6 24,36	6	—19 6 54,20	Juli 10	P 9 β Capr.	3. 4	20 11 23,89	5	—15 18 45,12
Juli 11		8. 9	19 7 27,71	2	—	— 11	XX. 83		24,05	3	—
Aug. 3			27,78	4	—18 52 29,52	— 18			24,10	5	48,48
Juli 24		7. 8	19 7 35,70	3	—	Aug. 3			24,20	5	47,50
Aug. 16			35,63	6	—18 6 59,23	— 13			—		44,13
Juli 10		7. 8	19 7 41,01	6	—	Juli 10	P Aquarii	7. 8	20 43 4,22	1	—
— 14			40 92	6	—	— 11	XX. 341		4,45	6	—13 50 17,55
— 24			41,21	3	—	Aug. 13			4,56	3	15,85
Aug. 5			41,21:	6	—18 12 51,08	— 18			4,83	5	—
Aug. 2		7	19 8 30,45	4	—18 59 41,02	Juli 10		7. 8	20 49 40,09	6	—13 52 15,97
Sept. 4			30,03	6	46,50	Aug. 22			40,31	5	11,12
— 7			30,04	5	46,27	Sept. 2			40,24	6	13,83
— 9			30,05	3	—	P 8 Aquarii	6	20 50 30,70	5	—13 42 32,45	
Aug. 29		9	19 8 44,14:	4	—19 2 10,23	XX. 402			30,77	5	31,68
Sept. 2			44,30	6	10,90	Aug. 5			30,92	6	30,40
— 9			44,14	4	—	— 25			30,92	5	31,52
Sept. 16		8	19 11 10,32	2	—	— 27			31,08	5	31,69
— 20			10,28	6	—18 49 34,45	Sept. 14		8	20 52 5,57	4	—
Sept. 7		7	19 11 16,39	5	—	— 16			5,76	2	—13 12 4,62
— 8			16,35	6	—18 57 33,78	— 20			5,34	1	1,10
— 9			16,34	6	—	Aug. 13	LL.XIII.	7. 8	20 53 3,65	6	—13 6 36,05
— 14			16,24	6	29,65	— 18			3,84	6	38,44
— 15			—	6	31,14	Sept. 14			3,61	3	38,41:
Juni 28	P 44 β Sagitt.	5	19 11 44,87	6	—18 9 30,17	— 16			3,57	2	—
Juli 14	XIX. 69		45,28	6	32,82	Juli 21		7. 8	21 18 58,00	6	—12 18 14,68
— 18			—	6	34,11	Aug. 25			58,25	6	13,01
Aug. 5			45,47	6	—	— 27			58,47	5	12,82
Juli 10	LL.XIII.	7. 8	19 22 22,29	6	—17 17 20,47	Sept. 7			58,31	6	14,06
— 11			22,14	6	23,72	Juli 11		7. 8	21 18 21,85	6	—12 23 59,68
— 14			22,36	6	23,80	Aug. 18			22,44	5	56,64
Juli 18		7. 8	19 22 23,03	6	—17 17 16,43	P 47 c Capr.	6. 7	21 37 9,08	6	—19 3 30,56	
— 21			22,95	6	17,39	XXI			9,09:	5	33,09:
— 24			23,00	6	17,34	Sept. 7			8,93	6	33,18
Sept. 8		9. 10	19 35 25,93	6	—17 28 54,99	Aug. 11	LL.X.	7. 8	21 43 23,08	5	—10 12 46,87
Sept. 8	LL.XIII.	7	19 37 19,24	6	—	— 18			23,12	5	45,34
— 14			19,16	6	—17 29 13,82:	— 22			23,24:	2	46,19
— 26			19,10	2	—	— 27			23,12:	5	48,06:
— 27			19,11	2	—	Sept. 2			23,12	6	46,85
— 28			18,97	6	12,01	— 7			23,21	6	47,66
Sept. 14	LL.XIII.	7. 8	19 37 50,70	2	—	— 16			22,90	2	49,26
— 26			50,76	6	—17 28 41,50	— 30			23,06:	3	48,56
— 27			50,70	6	42,73	Sept. 25	LL.XIII.	7. 8	21 48 35,41	3	—9 22 22,59
— 28			50,75	2	—	— 27			35,18:	5	22,11:
Juli 10		9	20 8 45,61	6	—	Oct. 22			34,89	2	—
— 11			45,24	4	—13 7 6,66	— 23			35,04	6	22,83
— 21			45,63	4	—	Sept. 25		9. 10	21 48 37,39	3	—9 23 27,87
						Oct. 11			37,41	5	26,95

1828.	Nam. d. Sterne.	Gr.	Scheinb. AR.	Fäd.	Scheinb. Decl.
Aug. 18		7.8	21 51 31,35	1	0 20 25,18
Sept. 2			31,41	6	23,96
— 7			31,38	4	—
Oct. 22			31,03	6	—
— 23			31,03	6	—
Aug. 27	LL.X.	7.8	21 55 57,82	6	9 19 11,36
Sept. 7			57,66	6	13,71
— 20			57,51	6	—
Oct. 22			57,21	6	—
— 23			57,31	6	—
Aug. 22	P 36. Aquar.	7	22 0 24,63	5	9 1 17,94
— 27	XXI. 414		24,75	6	17,72
Sept. 2			24,63	6	17,00
— 7			24,70	5	18,27
Aug. 18	LL.XII.	6.7	22 22 20,42	6	7 25 23,02
— 27			20,56	3	—
Sept. 2			20,55	3	22,24
— 7			20,61	6	—
Aug. 27	LL.VIII.	7	22 23 35,08	6	7 20 40,26
Sept. 7			34,84	4	40,70
Aug. 18	LL.VIII.	7	22 33 12,53	6	6 59 23,08
— 27			12,61	6	24,70
Sept. 2			12,62	6	23,42
— 7			12,60	6	24,62
Aug. 18	P Aquarii	9.10	22 49 39,70	6	5 24 50,70
Sept. 2	XXII. 259		39,75	6	46,95
— 7			39,80	5	50,44
Sept. 2		9	22 51 47,28	6	—
Oct. 21			47,03	6	5 27 58,00
— 22			46,99	5	60,69
Aug. 18	P Pisc.	7.8	23 5 19,02	6	3 33 45,16
— 27	XXIII. 17		19,05	6	47,30

1828.	Nam. d. Sterne.	Gr.	Scheinb. AR.	Fäd.	Scheinb. Decl.
Sept. 2	P Pisc.	7.8	23 5 19,20	6	3 33 44,50
— 23	XXIII. 17		19,26	6	42,88
Oct. 21			19,05	5	43,12
— 22			18,80	2	43,44
Aug. 18	P 11 Pisc.	6.7	23 20 40,95	6	2 43 51,40
Sept. 30	XXIII. 95		40,98	6	47,57
Oct. 2			41,05	6	50,37
— 22			41,04	5	48,52
Sept. 16	P 12 Pisc.	7.8	23 20 44,88	6	1 58 29,09
— 25	XXIII. 97		44,83	6	26,61
Sept. 2	P 13 Pisc.	7	23 23 11,76	5	2 1 42,58
— 16	XXIII. 108		11,84	6	—
— 23			11,91	6	—
— 25			11,87	6	—
Oct. 21			11,81	6	40,39
— 23			11,76	6	41,67
Sept. 7	P 14 Pisc.	6.7	23 25 22,15	4	2 11 25,29
Oct. 2	XXIII. 116		22,14	3	23,54
Aug. 18	P Pisc.	8.9	23 37 15,18	6	0 40 66,53
Sept. 2	XXIII. 179		15,30	6	61,92
— 7			15,50	6	—
— 14			15,30:	5	59,31:
Sept. 7		9	23 40 12,87	6	0 30 7,65
— 18			12,82	6	7,53
— 30			12,93:	3	9,54
Aug. 18	P Pisc. 988	6.7	23 46 1,93	6	0 50 29,79
Sept. 7	XXIII. 227		2,09	5	27,43
— 14			2,30:	6	24,32:
— 16			2,12	6	28,93
Oct. 21			2,24	6	24,73

Petersen.

Auszug aus einem Schreiben des Herrn Professors *Encke* Königl. Astronomen an den Herausgeber.
Die folgenden Beobachtungen des Cometen halte ich den Umständen nach für gut.

1828.	Mittlere Pariser Zeit.	AR.	δ	AR.	δ	
October 13	8 32 0	7 17 45"	+ 28 44 57"	2 3	+ 16	Struve, Kunowsky.
November 4	6 34 28	351 57 40	26 41 4	2 4	31	
— 5	8 26 42	340 55 31	23 50 25	2 27	75	Encke.
— 10	6 34 51	335 8 39	21 2 50	2 12	20	
— 13	10 39 32	331 34 55	19 25 —	2 17	19	

Encke.

Beobachtungen der geraden Aufsteigungen des Mondes und benachbarter Sterne, im Jahre 1827,
auf der Königsberger Sternwarte.

	Fäden.	AR.	Zeit.		Fäden.	AR.	Zeit.
Febr. 7	1 x Orionis	5 5 44 10,81		Febr. 8	γ Geminor.	5 6 27 45,27	
	Saturn	3 58 15,83			5 53 53,16		
	Mond 1 R.	2 58 19,18			Mond 1 R.	5 55 24,17	+ 0,09
		5 6 2 33,42	+ 0,09 unendlich.		γ Geminor.	5 7 8 11,20	

		Fäd.	AR.	Zeit.	
März 9	ζ Cancri pr. seq.	3	8 2 19,55		
	2	2	2 19,73		
	Mond I R.	3	17 18,85	+0,13	kaum sicht-
	1 A Cancri	3	33 42,58		bar.
11	10 Leonis	5	9 28 6,75		
	α	5	59 11,57		
	Mond I R.	5	10 1 10,57	+0,10	
	23 Sextantis	5	12 8,48		
April 5	1 Cancri	5	7 47 11,39		
	Mond I R.	5	54 21,79		
	ε Cancri	5	8 17 11,47	-0,37	
	2 α	5	49 3,16		
6	2 A Cancri	5	8 37 28,47		
	Mond I R.	5	45 29,70	-0,37	
	2 α Cancri	3	49 3,03		
	α	3	58 24,07		
8	16 Sextantis	5	10 0 12,80		
	32	2	23 21,29		
	Mond I R.	5	28 15,29	-0,37	
	36 Sextantis	3	36 16,61		
	55 Leonis	5	46 56,61		
9	69 Leonis	5	11 4 56,69		
	Mond I R.	5	20 59,70	-0,37	
	ν Leonis	5	28 8,18		
	XL 126	5	29 36,42		
10	Mond I R.	5	12 15 30,53	-0,37	
	ζ Virginis	2	30 22,23		
	Jupiter	3	32 30,31		
11	4 Virginis	5	12 45 24,85		
	Mond I R.	5	13 12 24,97		
	II R.	5	14 42,87	-0,37	
	α Virginis	4	16 8,38		
	86	5	36 46,98		
May 8	ζ Virginis	2	12 30 22,38		
	Mond I R.	5	43 4,77	+0,05	
	g Virginis	5	58 63,74		
	α	3	13 16 8,36		
9	α Virginis	5	13 16 8,44		
	86	5	36 47,10		
	Mond I R.	5	41 12,10	+0,01	
	Δ Virginis	5	14 9 49,13		
16	Mond II R.	5	21 6 27,46	-0,06	von Herrn
	β Aquarii	5	22 28,81		Anger be-
	γ Capricorni	5	30 31,73		obachtet.
18	α Aquarii	5	21 56 55,57		von dem-
	Mond II R.	5	22 52 22,30	-0,10	selben.
20	α Pegasi	5	22 56 10,56		von dem-
	Mond II R.	5	0 31 36,61	-0,08	selben.
Juni 6	Mond I R.	5	14 10 51,20	-0,15	von dem-
	2 α Librae	5	41 22,48		selben.

		Fäd.	AR.	Zeit.	
Juni 9	ε Ophiuchi	5	17 10 42,39		
	Mond II R.	5	29 29,27	-0,15	von Herrn
	1 α Sagittarii	4	18 3 28,96		Anger be-
10	1 α Sagittarii	5	18 3 28,98		obachtet.
	Mond II R.	5	36 40,47	-0,15	von dem-
17	Mond II R.	5	1 5 29,72	-0,16	selben.
	β Arietis	5	45 7,60		von dem-
	α	5	67 28,18		selben.
19	β Arietis	5	1 45 7,69		von dem-
	α	5	67 28,14		selben.
	Mond II R.	5	2 44 54,65	-0,17	
Aug. 8	ζ Aquarii	5	22 19 59,04		von dem-
	XXII. 166	5	28 51,42		selben.
	Mond II R.	5	38 51,57	+0,08	
17	α Geminor.	5	6 12 31,85		von dem-
	Mond II R.	5	26 52,26	+0,12	selben.
Sept. 2	517 Mayeri	4	19 58 47,19		
	2 α Caprie.	5	20 8 30,71		
	Mond I R.	5	12 52,61	+0,12	
5	1 Piscium	4	22 46 12,48		
	3	5	51 49,43		
	Δ	5	69 53,22		
	Mond II R.	5	23 7 12,45	+0,16	
29	802 Mayeri	5	19 38 23,65		
	57 Sagittarii	5	42 11,95		
	g	5	48 11,51		
	Mond I R.	5	51 47,95	+0,39	
30	Mond I R.	5	20 50 27,65	+0,41	
	29 Caprie.	5	21 6 13,71		
	17 Aquarii	5	13 43,18		
	887 Mayeri	5	21 13,21		
Oct. 2	ζ Aquarii	5	22 19 59,23		Dupl. med.
	60	5	25 11,64		
	XXII. 166	5	28 51,62		
	Mond I R.	5	41 49,95	+0,45	
3	1 α Piscium	2	23 18 7,85		unter vorüber-
	13	2	23 8,12		zieh. Wolken.
	Mond I R.	5	35 17,66	+0,48	
4	Δ Piscium	5	0 11 46,34		
	45	5	16 51,20		
	51	5	23 32,80		
	Mond I R.	5	27 58,73	+0,51	
Dec. 13	α Virginis	5	13 16 8,44		
	Mond II R.	5	25 24,46	-0,04	
26	Δ Piscium	5	0 11 45,63		
	45	5	16 50,78		
	51	5	23 32,29		
	Mond I R.	5	27 56,18	-0,01	

Anm.: Man erhält die Sternzeit der Beobachtung des Mondes, wenn man die in der letzten Column angegebenen Zahl der geraden Aufsteigungen hinzusetzt.

Fortsetzung des Briefes von Hrn. E. Fals an den Herausg. p. 73. — Sterne am Meridiankreise von Hrn. Petersen bestimmt. p. 81. — Auszug aus einem Schreiben des Hrn. Professors Ande Königl. Astronomen an den Herausg. p. 85. — Beobachtungen der geraden Aufsteigungen des Mondes und benachbarter Sterne, im Jahre 1827, auf der Königsberger Sternwarte. p. 85.

Altona im December 1828. (Hiebei eine Beilage.)

V o r w o r t.

Da ich das Verzeichniß der Sternbedeckungen für 1829, von denen ich die erste Hälfte in Nr. 147 gab, jetzt vollständig erhalten habe, so gebe ich es der Bequemlichkeit wegen ganz in dieser Beilage.

S.

Ephemeride für die im Jahr 1829 vorkommenden Bedeckungen der Fixsterne vom Monde.

Berechnet von Herrn *Anger* in Königsberg.

Diese Ephemeride ist, für den Meridian und die Polhöhe von Altona, nach der Methode berechnet, welche Herr Professor Ritter *Bessel* in Nr. 145 der Astronomischen Nachrichten bekannt gemacht hat. Die in jenem Aufsatze vorkommenden Größen p, q, p', q' , welche vom Orte des Beobachters unabhängig sind, habe ich für jeden Stern angegeben, wodurch die Berechnung der Zeit des Ein- und Austritts für alle andere Orte sehr einfach wird. Die Pariser wahre Zeit, T , für welche diese Constanten gelten, der entsprechende Stundenwinkel, h , und die Logarithmen des Sinus und Cosinus der Declination, D , des Sterns sind daneben bemerkt. Die Zeiten des Ein- und Austritts sind in Altonaer wahrer Zeit angegeben. Was die Oerter der Sterne betrifft, so habe ich dieselben, Herrn Professor *Encke* folgend (Berliner Jahrbuch für 1830) aus dem von Herrn *Baily* herausgegebenen Auszuge aus dem *Piassischen* Cataloge genommen.

Ich werde nun den Gebrauch der Constanten erklären, wenn man die Bedeckung eines Sterns für einen andern Ort, dessen elliptische Polhöhe ϕ' , und für welchen der Radius des Erdsphäroids r sein mag, berechnen will. Bezeichnet man die östliche Meridiendifferenz zwischen Paris und diesem Orte durch d , und den zu der Pariser wahren Zeit T gehörenden Stundenwinkel durch h' , so ist $h' = h + d$, wo h aus der Ephemeride genommen wird; positive h sind westliche, negative östliche Stundenwinkel.

Mit den Größen $r \cos \phi'$ und $r \sin \phi'$, welche für jeden Ort leicht gefunden werden können, berechnet man nun

$$\begin{aligned} a &= r \cos \phi' \sin h' \\ b &= r \cos \phi' \cos h', \end{aligned}$$

und erhält damit, wenn

$$c = r \sin \phi' \cos D,$$

wo D die Declination des Sterns bedeutet,

$$\begin{aligned} u &= a \\ v &= c - b \sin D \\ u' &= b \lambda \\ v' &= a \lambda \sin D, \end{aligned}$$

wo $\log \lambda = 9,4192$ ist.

Führt man alsdann zwei Hülfswinkel M und N ein, so daß

$$\begin{aligned} p - u &= m \sin M & p' - u' &= n \sin N \\ q - v &= m \cos M & q' - v' &= n \cos N \end{aligned}$$

und berechnet

$$\cos \psi = \frac{m}{k} \cdot \sin (M - N),$$

so ergibt sich, wenn $\log \frac{1}{k} = 0,5646$ gesetzt wird, die Zeit des Eintritts und Austritts

$$= T - \frac{m}{n} \cos (M - N) \mp \frac{k}{n} \cdot \sin \psi + d$$

und $Q = N \pm \psi - 90^\circ$.

Q ist der Winkel, welchen der Declinationskreis des Mittelpunkts des Mondes mit dem von dem Stern nach dem Mittelpunkt des Mondes gezogenen grössten Kreise bildet, und wird von Norden über Osten bis 360° fortgezählt. Der erste Werth von Q gilt für den Eintritt, der andere für den Austritt des Sterns. Die Kenntniß dieses Winkels ist besonders für den Austritt von Wichtigkeit.

Anger.

Tag.	Namen der Sterne.	Gr.	Eintritt.	Austritt.	Q	P	q	p'	q'	T	h	log. sin D	log. cos D
1829													
Jan. 8	β Aquarii	4.5	h 35,9	h 36,3	46 269	+0,2161	+0,6328	+0,5861	+0,1769	6	+47 52	9,1763n	9,9951
		6	h 12,6	h 40,7	129 192	+0,5513	+1,0318	+0,5852	+0,1785	8	+77 6	9,1785n	9,9950
11	γ Pictoris	6.7	Zeit der nächsten Zusammenkunft				8 ^b 34',	der Stern vom nächsten Mondrande		0,1	südlich		
18		6.7					13 30,			3,0	nördlich		
16	γ Tauri	5.6	5 25,8	6 37,8	76 269	-0,1905	+0,6259	+0,5617	+0,0247	6	-50 50	9,4855	9,9787
21	α Geminor.	7	13 3,4	14 2,7	64 312	+0,3936	+0,4871	+0,5577	+0,0275	13	+39 16	9,4876	9,9785
18		4.5	9 30,2	10 37,0	128 243	-0,4514	+0,7775	+0,5526	+0,0589	9	-31 20	9,4620	9,9810
20	α Cancri	5	Zeit der nächsten Zusammenkunft				11 ^b 13',	der Stern vom nächsten Mondrande		0,3	südlich		
23	β Leonis	5.6	10 27,1	11 28,1	83 317	-0,7784	+0,7446	+0,5206	+0,1699	10	-71 4	8,7115	9,9994
76		6	15 37,2	12 50,9	130 276	-0,1936	+0,8059	+0,5200	+0,1710	12	-41 24	8,6547	9,9996
r		5.6	15 27,7	15 48,1	40 11	-0,0541	+0,5592	+0,5198	+0,1714	15	+2 27	8,6123	9,9996
24	496 Mayeri	7	9 41,4	10 45,8	114 286	-0,4309	+0,7725	+0,5200	+0,1737	10	-80 58	8,1509n	0,0000
28	ϵ Librae	7	13 52,1	14 31,3	64 341	-0,4263	+0,5986	+0,5580	+0,1155	14	-66 27	9,4108n	9,9851
Febr. 1	ρ Sagittarii	5	17 29,7	18 28,1	65 289	-0,2077	+0,7793	+0,6090	+0,0672	18	-62 15	9,4937n	9,9778
9	β Arietis	5.6	12 6,2	12 51,9	80 351	+0,5965	+0,8339	+0,5668	+0,1369	12	+104 33	9,3079	9,9909
11	β Tauri	6	7 10,2	8 27,2	70 273	+0,0338	+0,5321	+0,5631	+0,0730	7	+7 6	9,4501	9,9820
12	γ Leonis	5.6	Zeit der nächsten Zusammenkunft				11 ^b 35',	der Stern vom nächsten Mondrande		1,6	nördlich		
16	γ Cancri	4.5					17 4,			1,1	nördlich		
16	γ Leonis	6.7					9 53,			1,1	südlich		
19	α Leonis	6	10 33,6	10 57,4	182 216	-0,1323	+0,9607	+0,5314	+0,1378	10	-19 30	9,2593	9,9927
19	β Arietis	5	7 44,3	8 14,4	45 353	-0,3738	+0,4643	+0,5236	+0,1667	8	-69 54	8,8980	9,9986
20	496 Mayr.	7	17 58,8	18 42,3	63 336	+0,5865	+0,5872	+0,5224	+0,1729	18	+66 19	8,1509n	0,0000
25	β Librae	4.5	11 47,5	12 36,6	67 323	-0,4474	+0,6224	+0,5603	+0,0950	12	-77 8	9,4461n	9,9824
März 14	α Geminor.	5	4 37,4	5 44,5	127 245	-0,1834	+0,7560	+0,5466	+0,0673	5	-41 34	9,4453	9,9824
17	γ Sextantis	6	5 5,7	5 57,5	64 325	-0,6038	+0,5853	+0,5274	+0,1466	5	-75 8	9,2004	9,9945
18	γ Leonis	4.5	6 17,8	7 28,7	95 298	-0,6563	+0,7135	+0,5274	+0,1473	6	-60 38	9,1876	9,9948
23	γ Sextantis	7	4 47,0	5 50,7	104 289	-0,4910	+0,7449	+0,5243	+0,1615	5	-85 35	8,9928	9,9979
23	β Librae	5.6	12 8,2	12 57,0	159 241	-0,2384	+1,0987	+0,5469	+0,1308	12	-37 9	9,3660n	9,9880
27	γ Tauri	6	14 14,1	15 12,8	62 301	-0,5725	+0,7494	+0,5837	+0,1021	14	-58 29	9,5088n	9,9761
729	—	7	14 44,6	15 55,1	100 261	-0,2703	+0,9561	+0,5837	+0,0231	15	-43 44	9,5128n	9,9757
April 7	α Tauri	1	Zeit der nächsten Zusammenkunft				6 ^b 10',	der Stern vom nächsten Mondrande		3,6	südlich.		
15	β Leonis	6	7 18,6	8 21,3	149 257	-0,3743	+0,9781	+0,5225	+0,1689	7	-38 53	8,6547	9,9996
20	α Leonis	5.6	10 46,4	11 43,7	72 337	+0,7986	+0,5662	+0,5225	+0,1701	11	+19 59	8,6123	9,9996
21	ϵ Librae	7	8 35,6	9 41,0	115 280	-0,3133	+0,8379	+0,5578	+0,1155	9	-64 31	9,4108n	9,9851
May 9	γ Cancri	6.7	7 26,2	8 12,5	161 235	+0,2414	+0,9095	+0,5401	+0,1127	7	+22 55	9,3615	9,9882
13	496 Mayr.	7	14 42,8	15 35,3	88 306	+0,7494	+0,6521	+0,5222	+0,1731	15	+97 31	8,1509n	0,0000
18	β Librae	4.5	6 41,6	7 28,1	64 326	-0,3825	+0,5981	+0,5686	+0,0977	7	-75 49	9,4461n	9,9824
June 13	β Librae	5.6	11 17,1	12 21,6	136 255	+0,2399	+1,0624	+0,5516	+0,1346	11	+26 54	9,3660n	9,9880
17	γ Tauri	7	10 17,8	10 38,7	18 344	-0,3003	+0,6615	+0,5961	+0,0198	10	-39 19	9,5128n	9,9757
XVIII. May		7	10 10,0	11 20,2	85 277	-0,4282	+0,8956	+0,5961	+0,0198	10	-29 28	9,5178n	9,9751
19	β Capric.	6	13 55,9	15 6,5	87 243	-0,0298	+0,9845	+0,5914	+0,1171	14	-8 41	9,4332n	9,9834
24	2r	6	13 17,7	16 13,2	74 253	+0,0863	+0,9147	+0,5910	+0,1186	15	+5 32	9,4282n	9,9838
24	ϵ Piscium	5	Zeit der nächsten Zusammenkunft				13 ^b 19',	der Stern vom nächsten Mondrande		0,5	nördlich.		
July 11	ϵ Librae	7	11 4,6	12 7,8	116 264	+0,4711	+0,9402	+0,5551	+0,1183	11	+47 58	9,4108n	9,9851
25	γ Tauri	1	12 7,2	12 56,6	72 286	-0,5585	+0,7579	+0,5720	+0,0736	12	-121 36	9,4445	9,9825
28	α Geminor.	4.5	12 47,4	13 35,4	83 280	-0,1953	+0,8451	+0,5616	+0,0517	13	-144 30	9,4620	9,9810
Aug. 8	β Librae	4.5	10 50,4	11 51,2	111 261	+0,6654	+0,8724	+0,5573	+0,0980	11	+67 27	9,4461n	9,9824
13	β Capric.	6	8 6,0	9 10,6	63 276	-0,3998	+0,8115	+0,6015	+0,1139	8	-43 51	9,4332n	9,9834
2r		6	9 12,7	10 9,2	41 294	-0,2658	+0,7449	+0,6019	+0,1152	9	-29 18	9,4282n	9,9838
15	β Aquarii	6	9 33,9	10 41,7	61 257	-0,4774	+0,7280	+0,5922	+0,1796	11	-28 29	9,1354n	9,9959

Tag.	Namen der Sterne.	Gr.	Eintritt.	Austritt.	Q	p	q	p'	q'	T	h	log. sin D	log. cos D
			$\begin{smallmatrix} h^{\circ} \\ m' \\ s'' \end{smallmatrix}$	$\begin{smallmatrix} h^{\circ} \\ m' \\ s'' \end{smallmatrix}$	$\begin{smallmatrix} o^{\circ} \\ e' \\ s'' \end{smallmatrix}$						$\begin{smallmatrix} h^{\circ} \\ m' \\ s'' \end{smallmatrix}$		
Aug. 18	μ Piscium	5	9 17 9	9 57 8	113 210	-0,7245	+0,9460	+0,5776	+0,1786	9	-97 30	8,9621	9,9982
21	γ Tauri	3.4	10 36,8	11 16,2	118 220	-0,8513	+0,9504	+0,5700	+0,0864	10	-121 53	9,4188	9,9845
70	—	7	13 3,7	13 55,8	100 225	-0,5883	+0,8500	+0,5774	+0,0819	13	-78 13	9,4281	9,9838
75	—	6	14 32,7	15 30,8	49 284	-0,7196	+0,4958	+0,5725	+0,0802	14	-63 53	9,4396	9,9829
14	Tauri	5	Zeit der nächsten Zusammenkunft	14 ^h 54',	der Stern vom nächsten Mondrande 0'3 südlich.								
160 May.	α Tauri	5.6	15 33,2	16 31,7	110 224	-0,6741	+0,7374	+0,5725	+0,0785	15	-49 22	9,4354	9,9832
22	111—	1	19 8,6	20 23,9	94 250	+0,2786	+0,6805	+0,5711	+0,0719	19	+ 9 27	9,4445	9,9825
161	—	6	14 51,5	15 59,1	82 260	-0,4432	+0,6716	+0,5698	+0,0376	15	+61 52	9,4713	9,9801
Sept. 11	919 May.	6	12 34,5	13 20,6	112 205	+0,5776	+1,1450	+0,5951	+0,1708	13	+32 52	9,2348n	9,9935
16	III. 4	6.7	13 35,6	14 44,8	68 255	-0,5753	+0,5532	+0,5843	+0,1333	13	-36 11	9,3317	9,9898
Oct. 3	Ophiuchi	7	7 1,6	7 26,9	23 341	+0,5681	+0,6220	+0,5617	-0,0528	7	+41 58	9,4893n	9,9783
9	67 Aquarii	6	9 44,1	10 52,8	74 240	+0,2183	+0,9391	+0,5876	+0,1781	10	+ 6 26	9,1356n	9,9959
15	14 Tauri	5	6 59,7	7 49,1	86 253	-0,4947	+0,8722	+0,5906	+0,0826	7	-119 15	9,4290	9,9838
24	—	5.6	7 3,0	7 47,1	107 232	-0,5190	+0,9641	+0,5906	+0,0826	7	-119 17	9,4265	9,9839
160 May.	α Tauri	5	7 48,6	8 36,0	53 284	-0,3840	+0,7117	+0,5902	+0,0807	8	-104 42	9,4404	9,9832
16	137—	1	10 8,2	10 50,6	32 303	-0,5029	+0,5212	+0,5902	+0,0771	10	-75 58	9,4445	9,9825
17	—	6	7 41,4	8 31,7	75 271	-0,2998	+0,8205	+0,5840	+0,0358	8	-118 6	9,4682	9,9804
21	10 Sextantis	6	17 0,4	18 9,0	65 294	+0,1731	+0,4813	+0,5808	+0,0189	17	+12 24	9,4819	9,9791
Nov. 1	729 May.	7	4 43,0	5 50,3	58 292	+0,3512	+0,8187	+0,5729	+0,0157	5	+16 17	9,5128n	9,9757
9	19 May.	6	6 31,2	7 43,5	62 279	-0,3879	+0,7593	+0,5757	+0,0805	6	-21 22	9,2348n	9,9935
10	III. 4	6.7	11 9,3	12 16,5	90 234	-0,1909	+0,7058	+0,5958	+0,1372	11	-14 40	9,3317	9,9898
11	70 Tauri	7	Zeit der nächsten Zusammenkunft	18 ^h 47',	der Stern vom nächsten Mondrande 0'8 südlich.								
12	—	6.7			5 52;							3,5 nördlich.	
12	Geminor.	4.5	18 9,8	18 54,3	160 229	+0,4136	+0,8453	+0,5715	-0,0515	18	+33 8	9,4620	9,9809
17	Leonis	4	Zeit der nächsten Zusammenkunft	12 ^h 12',	der Stern vom nächsten Mondrande 1'5 südlich.								
Dec. 9	14 Tauri	5	3 31,7	4 15,8	109 227	-0,2322	+1,0158	+0,5940	+0,0862	4	-108 27	9,4290	9,9838
24	—	5.6	3 44,1	4 7,4	138 199	-0,2566	+1,1076	+0,5940	+0,0862	4	-108 28	9,4265	9,9839
160 May.	α Tauri	5.6	4 17,1	5 8,4	78 251	-0,7122	+0,7730	+0,5940	+0,0862	4	-108 56	9,4354	9,9832
10	117—	1	6 33,1	7 34,1	65 270	-0,2606	+0,6750	+0,5944	+0,0807	7	-65 7	9,4445	9,9825
11	—	6.7	17 16,8	18 8,7	68 289	+0,4767	+0,6593	+0,5946	+0,0620	17	+79 59	9,4629	9,9809
10	130—	6	3 59,3	4 39,3	119 227	-0,4397	+1,0109	+0,5939	+0,0405	4	-122 7	9,4682	9,9804
11	117—	6	12 56,1	14 2,0	116 242	+0,1717	+0,7145	+0,5916	+0,0226	13	+ 8 25	9,4819	9,9791
11	21 Geminor.	7	6 34,5	7 10,5	39 315	-0,8011	+0,5776	+0,5874	-0,0104	6	-107 2	9,4876	9,9785
26	—	5.6	11 6,8	12 20,1	90 270	-0,3642	+0,5983	+0,5856	-0,0200	11	-34 19	9,4854	9,9787
2	Virgini	6.7	15 50,3	16 55,4	91 313	-0,1588	+0,7376	+0,5298	-0,1545	16	-50 59	9,2184n	9,9940
23	24 Scorpii	5	Zeit der nächsten Zusammenkunft	17 ^h 6',	der Stern vom nächsten Mondrande 0'7 nördlich.								

C. T. Anger.

Catalog von mathematischen, optischen und physikalischen Instrumenten, welche in *Pistor et Schicks* Werkstatt verfertigt und zu den beigetzten Preisen verkauft werden.

I. Astronomische und geodetische Instrumente.

A. Nicht reflectirende Instrumente.

- Ein 12zölliger Multiplications-Kreis auf beweglichem Fuß, mit 4 Nonien 5' angeband, der Azimuthal-Kreis unten an der Stüle, nach *Reichenbachs* feister Construction 500

- Ein dergleichen 10zölliger auf konischem Fuß, horizontal und vertical anzuwenden, zum astronomischen und geodetischen Gebrauch, mit 4 Nonien 10' angeband, *Reichenbachs* sogenannter astronomischer Theodolith 300
- Ein 6zölliger Theodolith, mit 5 Nonien 10' angeband, auf Silber getheilt, mit Höhen-Kreis und Passage-Instrumentartiger Aufstellung des Fernrohrs . . . 150

7*

4. Ein dergl. 5 $\frac{1}{2}$ zölliger, mit 2 Nonien 30' angehend, auf Silber getheilt, am oberen Fernrohr ein Niveau, weshalb das Instrument auch zum Nivelliren dient und ganz für den practischen Feldmesser geeignet ist; die Theilung so wie die Nonien liegen verdeckt und sind durch Glasecken völlig gegen Staub und den Einfluß der Witterung geschützt 130
5. Ein dergl. 3zölliger, 1' angehend, auf einer Nufs construiert 100
6. No. 5, mit einer Boussole verbunden, so daß man auf demselbigen Statif zugleich eine vollständige Fernrohr-Boussole erhält 124
7. Ein kleines astronomisches Universal-Instrument mit 3zölligen Horizontal- und Vertical-Kreisen, zwei achromatischen Fernröhren, auf Silber getheilt, 30' angehend, nach der Construction der Herren *Sabine* und *Kater* in der Art, wie sie *Robison* in London ausgeführt 85
8. Hiezu eine Einrichtung, um das Instrument als Goniometer zu gebrauchen 10
9. Ein Heliostat nach der Einrichtung des Herrn Professors *Gauß* 80
10. Ein kleines Reise-Passagen-Instrument mit 20zölligem achromatischen Fernrohr, die ganze Montur in Gußeisen, wie solche von *Troughton* zu den Messungen des Breiten-Grades in England construiert worden 120
11. Eine Boussole mit zwei achromatischen Fernröhren an Einer Axa, so daß mit denselben vor- und rückwärts beobachtet, und die Boussole sogleich in jedes Alignement aufgestellt werden kann 80
12. Eine dergleichen mit Einem achromatischen Fernrohr 70
13. Eine dergleichen mit Dioptern 60
14. Eine dergleichen nach Schmalkalders Patent 16
15. Ein Schmalkalders Patent-Höhenmesser 18
16. Eine sogenannte *Zollmannsche* Scheibe oder Kreis-Instrument mit Boussole und achromatischem Fernrohr; die Auftragung der Winkel geschieht hier unmittelbar bei der Beobachtung, und alle Fehler, die durch das Uebertragen mittelst Transporteurs entstehen können, werden hier vermieden. Das Einstehen der Nadel wird mit Mikroskop beobachtet und der Winkel selbst kann bis auf Minuten abgelesen werden 100

B. Reflectirende Instrumente.

17. Ein *Bordwischer* repetirender Spiegel-Kreis von 8 Zoll Durchmesser, 20' angehend, nach neuerer Construction, das obere Centrum bedeutend länger wie bei *Borda*, und die Blendgläser zum Vorschlagen wie bei Sextanten 120
18. Ein dergleichen 10zöllig nicht repetirend nach *Troughton's* Construction, des Index-Fehler und die Excentricität eliminirend, 20' angehend 140

19. Ein dergleichen 12zöllig und 10' angehend 180
20. Ein Spiegel-Sextant, 7 Zoll Radius, auf Silber getheilt, doppelte correspondirende Nonien, 10' angehend 100
21. Ein dergleichen, 5 Zoll Radius, genau derselben Construction 85
22. Ein dergleichen, 4 Zoll Radius, 20' angehend, ohne Farbgläser zwischen den Spiegeln, wohl aber mit Blendgläsern zur Sonnenbeobachtung, vor dem Ocular des Fernrohrs 50
23. Ein Dosen-Sextant mit Fernrohr 25
24. Ein Semi Reflecting Circle nach *Douglas* 28
25. Derselbe nach der verbesserten Construction von *Hornor* 40
26. Ein künstlicher Horizont mit Niveau und Plan-Glas, Untergestell von Biscuit 20
27. Ein Dach für einen Quecksilber-Horizont mit Plan- und Parallel-Gläsern 18
28. Ein angequickter Quecksilber-Horizont in Mahagoni-Büchse 6

C. Nivellir-Instrumente.

29. Ein Nivellir-Instrument mit 15zölligem achromatischen Fernrohr nach der besten und neuesten Construction; die Libelle 5" auf eine Pariser Linie Ausschlag angehend, mit 30maliger Vergrößerung 140
30. Ein dergleichen kleineres mit 12zölligem Fernrohr, 10" auf die Pariser Linie Ausschlag angehend, 16maliger Vergrößerung 100
31. Ein dergleichen mit Boussole 120
32. Eine Kanalwaage 30
33. Dieselbe, wenn das Statif der Boussole dazu benutzt wird 24

D. Meßstiche und Instrumente zum Zeichnen und Auftragen.

34. Ein Meßstich nach *Lehmann* mit Micrometer-Bewegung 30
35. Ein dergleichen nach *Reichenbach* auf 3 Stellschrauben mit Micrometer-Bewegung etc. 60 bis 70
36. Eine Kiprangel mit 10zölligem achromatischen Fernrohr 30
37. Ein Diopter-Linial nach *Lehmann* 16
38. Ein Kreis-Transporteur, auf Silber getheilt, mit 2 Nonien, 1' angehend 30
39. Ein Transporteur mit Alkidade, mit einem Nonius, 1' angehend, 3 $\frac{1}{2}$ Zoll Radius 18
40. Derselbe, 3 Zoll Radius 16
41. Ein sogenannter Boussole-Transporteur mit 6 Maasstäben und Parallel-Theilung, 3 $\frac{1}{2}$ Zoll Radius 12
42. Ein dergleichen kleinerer mit 4 Maasstäben, 3 $\frac{1}{2}$ Zoll Radius 8
43. Ein Transporteur, nach unten vom Durchmesser, begrenzt ohne Maasstab, 3 $\frac{1}{2}$ Zoll Radius 6
44. Ein dergleichen, 3zöllig, ohne Maasstab 3

45. Ein dergleichen, 3zöllig, mit Maasstab . . . 4
 46. Ein dergleichen, 2½ Zoll Radius, ohne Maasstab . . . 2
 47. Ein verjüngter Maasstab auf Messing, einen Decimal-Fuß lang, die Theilung nach Belieben, 25, 30, 40, 50 etc. Ruthen auf den Decimal-Zoll . . . 2
 48. Derselbe auf Buchsbaum . . . 1
 49. Ein dergl., 8 Decimal-Zoll lang, auf Messing 1-½ 20 Sgr.
 50. Derselbe auf Buchsbaum . . . 25 Sgr.
 51. Ein dergl., 5 Decimal-Zoll lang, auf Messing 1-½ 15 Sgr.
 52. Derselbe auf Buchsbaum . . . 20 Sgr.
 53. Ein Pantograph oder Storchschnabel zum Verkleinern und Vergrößern von Planen, Karten etc., nach Verschiedenheit der Größe . . . 40 bis 80
 54. Ein Stangen-Zirkel mit Mikrometer-Schraube, Reissfeder und Bleihülse im Kistchen . . . 16
 55. Ein Reisszeug, worin ein Einsatzzirkel, ein Handzirkel und Ziehfeder, in sauberem Mahagoni-Kästchen . . . 6-½ 15 Sgr.
 56. Ein dergleichen mit Lineal, Dreieck, kleinem Transporeur und Maasstab . . . 12
 Die Preise erhöhen sich nach der Anzahl der Stücke, welche darin enthalten sind, bis . . . 20 und darüber.
 57. Eine Messkette von 5 Ruthen Länge . . . 9
 58. Dieselbe mit 2 Kettenstäben und 12 Markirpflöcken . . . 12
 59. Ein 6füßiges eisernes Lineal . . . 18
 60. Ein dergleichen 5füßiges . . . 14
 61. Ein dergleichen 4füßiges . . . 10
 62. Ein großes eisernes Dreieck . . . 8

II. Optische Instrumente.

A. Fernröhre.

1. 5füßige achromatische Fernröhre, zweifache Objective, 3½ Zoll Öffnung in Mahagoni-Rohr, auf Mahagoni-Statif, mit Schleif-Röhren (*Sliding rods*) und horizontaler so wie verticaler Bewegung durch Schrauben (*Rackwork*) mit fünf astronomischen und zwei terrestrischen Ocularen . . . 400
 2. 3½füßige achromatische Fernröhre, zweifache Objective von 2½ Zoll Apertur in Mahagoni-Rohr auf messingnem Fuß mit horizontaler und verticaler Bewegung durch Schrauben, mit drei astronomischen und zwei terrestrischen Ocularen . . . 130
 3. Eben dergleichen in messingnem Rohr, 3½ Zoll Apertur, auf Mahagoni-Statifen mit Schleifröhren . . . 220
 4. 2½füßige dergleichen ganz in Messing, 2½ Zoll Apertur, mit zwei astronomischen und zwei terrestrischen Ocularen . . . 100
 Die verticale Bewegung nach *Ramsden* mit Zahn und Trieb.

Größere Instrumente, wozu die Objective aus *Fraunhofer's*, jetzt v. *Utzschneider's* Werkstatt entnommen werden, nach Verhältnis der Aperturen und der dortigen Preise.

B. Microscope.

5. *Microscopia composita* nach *Jones* bester Art, den Fuß zum Zusammenlegen mit vier achromatischen Objectivlinien . . . 85
 6. Dergleichen zweiter Art, nur eine achromatische Objectivlinse . . . 50
 7. Einfache Microscope nach *Ellis*, sowohl für transparente als opake Gegenstände und zu anatomischen und botanischen Beobachtungen auf das bequemste eingerichtet; die Bewegungen alle mit Zahn und Trieb, wozu 6 Linien nach *Lieberkühn's* Art gefast im Mahagoni-Kistchen . . . 35
 8. Sonnen-Microscope für transparente Gegenstände nach Verhältnis des Apparats . . . 40 bis 70
 9. Dergleichen für transparente und opake Gegenstände . . . 75
 10. Lampen-Microscope nach *Adams* und *Jones*, nach Verhältnis der Vollständigkeit des Apparats von . . . 80 bis 120

C. Zeichnen-Apparate.

11. *Camera lucida* nach *Wollaston* mit Zwingen und Schraube . . . 16
 12. Dergleichen mit einem Klütchen zum Aufsetzen auf das Reißbrett . . . 12
 Beide Arten mit concaven und convexen Vorsetzgläsern.
 13. Dergleichen ohne diese Gläser für miopie Personen, im Verhältnis ihres Auges hohl geschliffen (*Wollaston's periscopische Camera lucida*) . . . 10
 14. *Camera obscura* bester Art, im Mahagoni-Kistchen zum Zusammenlegen, groß Folio-Format . . . 35
 15. Dergleichen kleinere sehr portable nach einem *Ramsden'schen* Modell . . . 28
 Beide Arten mit Plan- und Parallel-Spiegel, nach *Wollaston* periscopisch eingerichtet.
 16. Dergleichen ordinaire . . . 15
 Imgleichen
 17. Prismen aller Art zu *Newton's*, *Dollond's* und *Fraunhofer's* Versuchen aptirt, in verschiedenen Dimensionen und Winkeln von . . . 1 bis 12

D. Reflectirende Telescope.

18. 7füßige *Herschelsche* Spiegel-Telescope mit Zubehör in Mahagoni, 6½ Zoll Apertur . . . 400
 19. 4füßige dergleichen von 4½ Zoll Apertur . . . 200

III. Physikalische Instrumente.

A. Luft- und Druckpumpen.

1. Eine Hahn-Luftpumpe mit zwei Stiefeln von 14 Zoll Höhe und 2 Zoll 3½ Linien Weite, nach *Prof. Crammann's* Angabe . . . 300
 2. Eben dieselbe, die Stiefel 12 Zoll hoch und 2 Zoll 2 Linien weit . . . 200

3. Eine dergleichen, die Stiefel 9 Zoll hoch und 1 Zoll 9 Linien weit 110
4. Eine kleine Luftpumpe mit doppelten Stiefeln von 8 Zoll Höhe und 1 Zoll 7 Linien Weite, mit Blasen-Ventilen, zum Gebrauch bei Vorlesungen vorzüglich brauchbar, mit Barometer-Probe, nach französischen Modellen 70
- Nr. 1 und 2 sind auf dem Fußboden des Zimmers anzuschrauben, und stehen auf sogenannten *Smootschen* Füßen. Nr. 3 und 4 degegen sind Tafel-Luftpumpen und werden durch Schraubewingen auf einen Tisch befestigt. Bei allen diesen Pumpen, selbst bei der kleinsten, ist überall die Verbindung der einzelnen Theile nach *von Marum* ganz ohne Leder bewirkt, so daß wenn die Stiefel durch den Hahn abgesperrt sind, die Glocke Wochen und Monate lang stehen kann, ohne Luft zu lassen; auch können Nr. 1—3 zur Compression angewandt werden.
5. *Oerstedts* Apparat zur Wasser-Compression 30

B. Electricische und galvanische Apparate.

6. Eine electricische Maschine nach *von Marum* mit 32zähliger Scheibe 350
7. Eine dergl. mit 30zähliger Scheibe 300
8. Eine dergl. mit 28zähliger Scheibe 280
9. Eine dergl. mit 24zähliger Scheibe, nach einer einfacheren Construction, die Scheibe auf einer Glaswelle befestigt, mit nur einem Reibseug 100
10. Eine eben solche mit 19zähliger Scheibe 50
11. Eine electricische Batterie mit 9 Flaschen 90 Quadratzoll Belegung 100
- Dergleichen kleinere nach Verhältniß von 30 bis 60
- Alle Arten dazu gehöriger Apparate, Electrometer, Duplicitoren, Condensatoren etc. zu verschiedenen Preisen.
12. Galvanische Trogsapparate in porcellanen, der Zerstörung durch die Säuren gar nicht unterworfenen Gefäßen; die einzelne, von zwei Kupferplatten umgebene Zinkplatte zu 30 Quadratzoll, nach *Wollastons* Einrichtung, der Trog von 10 Paaren 12
13. Dergleichen Apparate in Cylinderform, nach Verschiedenheit der Dimensionen und des verwandten Materials 30 bis 100

C. Mineralogische und magnetische Instrumente.

14. Ein Reflections-Goniometer nach Herrn Professor *Mitscherlichs* Angabe, mit 8zöll. Kreisen auf Silber getheilt, 10° abgehend, mit Microscop und Fernrohr auf Marmor-Untergestell 250
15. Ein dergl. 8zöllig. auf Silber getheilt, 30° abgehend, mit Micrometer-Bewegungen und Fernrohr 90
16. Ein Reflections-Goniometer gewöhnlicher Art, 4½ Zoll Durchmesser, nach *Wollastons* Construction 24

17. Dasselbe Instrument etwas größer als Mahagoni-Fuß, der zugleich zur Verpackung dient 40
18. Ein completter Lëstrohr-Apparat nach *Berzelius*, in ledernem Futrall 50
19. Ein dergleichen im Mahagoni-Tisch 70
20. Ein Declinatorium und Inclinatorium nach *Berds* Construction 200
21. Ein Declinatorium nach einer ganz neuen Construction, mit einem kleinen 10zölligen Passage-Instrument verbunden, welches nicht allein zur Zeit- und Breitenbestimmung nach *Besselts* Methode angewandt werden kann, sondern auch die Declination der Magnetnadel durch unmittelbare Beobachtung bis auf einzelne Minuten genau angiebt, die Ablesung der Nadel durch Microscop 160
22. Ein Declinatorium, wobei durch Atimuthe bekannter irdischer Objecte und der Spiegel-Reflection nach Herrn Dr. *Poggendorfs* Methode die Declinationswinkel vermittelt eines Theodoliten gemessen werden 24

D. Meteorologische Instrumente.

23. Ein großes Heber-Barometer nach einer eigenthümlichen Construction, die Beobachtung geschieht an der Oberfläche der Quecksilbersäule, welche 3 bis 7 Linien im Durchmesser hat, durch zusammengesetzte Microscop, die Scale selbst ist auf Silber getheilt, und giebt mittelst Nonien die einzelnen Hunderttheile der Pariser Linie an; die Temperatur der Scale sowohl als des Quecksilbers in der Röhre wird durch zwei besondere Thermometer angegeben, alle Einstellungen durch Micrometer-Schrauben 90
24. Die dazu gehörige Aufstellung, um sich der senkrechten Lage zu versichern, und zugleich das Quecksilber vor jeder Beobachtung schweben zu lassen 20
25. Ein dergleichen einfacherer, ebenfalls mit microscopischer Beobachtung, die Bewegungen der Scale durch Zahn und Trieb; die Röhre 3—4 Linien Oefnung, 10 Pariser Linie auf Messing abgehend, zum Gebrauch auf Reisen eingerichtet, verschließbar und im Futrall 50
26. Ein Gefäße-Barometer nach *Talles* Einrichtung, die Beobachtung mittelst Microscop, auf Silber getheilt, ganz wie Nr. 23 60
- Dazu die oben erwähnte Aufstellung 20
27. Ein Gefäße-Barometer zum Gebrauch auf Reisen, ganz in Messing construirt, die Beobachtung des untern Niveaus geschieht in einem ausgeschliffenen Glas-cylinder, worin mittelst eines Embulsi das Quecksilber sich fest einschließen und eben so bis auf ½ Linie genau einstellen läßt. Das ganze Barometer wird in einem ausgehöhlten Stock zum Transportiren eingeschlossen 30
28. Ein dergleichen nach *Fortins* Einrichtung mit Statif 60
29. Ein dergleichen nach *Engelfeld* und *Newmann* 30

30. Stuben-Barometer in Mahagoni-Fassungen mit Thermometer 16
 31. Dergleichen ohne Thermometer 10
 32. Thermometer auf Messing oder Elfenbein getheilt, nach verschiedenen Einrichtungen . . . 5 bis 10
 33. Hygrometer nach Daniel, mit goldnem Beobachtungsgraud etc. 14
 34. Dergl. aus Fischbein nach de Luc 12
 35. Dergleichen aus Menschenhaar nach de Saussure . . 14
- F. Waagen und Gewichte.
36. Eine Waage zu chemischem Gebrauch, Robison's neueste Einrichtung, 1 Kilogramm Belastung vertragend 100

37. Eine dergleichen kleinere, bis zu 1 Hectogr. Belastung vertragend 60
 38. Eine dergleichen Waage nach der verbesserten Bernoulli'schen Einrichtung 50
 39. Hiervon die nöthige Glaskasten 8 bis 12
 40. Ein Satz französisches Gewicht bis zum Hecagramm, von der Gramme abwärts in Platin 12
 41. Derselbe Satz, die kleinern Gewichte von Silber . . 10
 42. Ein Satz französisches Gewicht, 1 Gramme und deren Unterabtheilungen enthaltend, in Platin 6
 43. Derselbe Satz in Silber 4
 44. Ein Satz, 1000 Gran preussischs Gewicht, die Unterabtheilungen der Grane in Platin 12
 45. Derselbe Satz mit Unterabtheilungen in Silber . . 10

Druckfehler und Berichtigungen.

Es sind seit längerer Zeit nur mehrere Berichtigungen zu den Astronomischen Nachrichten angezeigt, die ich hier auf einmal nachtrage.

1) Von Herrn Haase in Lübeck

in Nr. 76 pag. 56 log. 7. 1,94591 statt 1,94519
 log. 11. letzte Stelle 3 statt 2.

2) Von Herrn v. Heiligenstein

in Nr. 98 pag. 18 sollte das Vorzeichen der Declinationsdifferenzen positiv seyn.
 in Nr. 81 pag. 160 soll die Lichtstärke vom 13^{ten} und 23^{ten} August 0,756 und 1,332 seyn.
 Bd. 5. p. 472 muß es bei dem Druckfehler im Werthe von *B* heißen: S. IX, nicht X.
 In der französischen Vorrede zu den Hülftafeln 1827 pag. XI ist die *Lindenausche* Tafel, die umgerechnet werden soll LIX genannt, est ist aber Tab. XIX.

3) Von Herrn Professor Bessel:

Nr. 131. p. 222 Z. 14 von unten *z* und *s* l. *e* und *z*.
 226 — 13 von oben der — den
 229 — 10 v. u. vortheilhaftesten — vortheilhaftesten.
 — — 9 v. u. man sie — man die
 232 — 22 v. u. man nun — man nur
 236 — 14 v. o. (*y*) — (*Y*)
 244 — 1 v. o. zwei ähnliche — zwei ähnliche mit umgelegter Axe.

4) Von Herrn Clausen:

Nr. 134 p. 311 (*Bessels* Sonnentafeln)
 Arg. \odot 150° statt δ .. 0,1398 lies 0,1388

5) Von mehreren:

In *Bessels* Sonnentafeln bei 1830 lies — 8^h 49' 4" 4

6) Von Herrn Professor Hansen:

Druck- und Schreibfehler in den A. N. Nr. 141, 142 u. 143
 p. 424 Z. 13 v. u. statt: $t - h + \lambda$ lies: $90^\circ - t + h + \lambda$
 — — 11 v. u. — $t_e - h + \lambda$ — $90^\circ - t_e + h + \lambda$
 — — 9 v. u. — $\frac{1}{\rho} \lg \delta - \frac{1}{\rho} \lg \delta$, — $\frac{1}{\rho} \lg \delta$, — $\frac{1}{\rho} \lg \delta$
 — 425 — 1 v. o. — $\sin(t - h + \lambda)$ — $\cos(t - h - \lambda)$
 Diese Fehler sind daher entstanden, daß ich bei der Ableitung eine Transformation gebraucht hatte, wodurch in der Gleichung (1) ein Sinus entstand.
 p. 426 Z. 14 v. o. statt: θ in h lies: h in θ
 — — 11 v. u. — a_e , — λ_e
 — — 8 v. u. — T — T_e
 — 427 — 7 v. o. — λ — λ_e
 — 438 — 21 v. u. — und könnten — und wir könnten
 — 439 — 19 v. o. — $\tan \theta$ — $\tan f$
 — 441 — 20 v. u. — jetzt das — jetzt oft das
 — 455 — 19 v. o. — c_e — c, du
 — Gleichung (56) fehlt im Zähler der Factor $\cos \frac{1}{2}(\omega - \nu)$
 — Z. 5 v. u. statt: $(p' - p') \cos t$ lies: $\sin(p' - p') \cos f$.

Herr Prof. Hansen hat mir folgenden Druckfehler in *Taylor's* Tafeln gesandt:

$\log. \sin 6^{\circ}45' 52''$ statt 9.0710001 lies 9.0711001

Herr Clausen hat mir folgende in *Matthiessen's* Tafeln, und der Theor. M. C. C. bemerkte mitgetheilt:

in B et C. 140 A. 13900 statt 514 lese man 414

30 0.2951 796

F. P. 15 A. 01487 7|251|| 7|291

in der Theor. M. C. C. Tabula II.

$h = 0.291$ statt $\log 77$ lies 58049 lese man 58094

S.

Einfache Microscope von Sapphirnlinsen.

Herr Dr. *Wollaston* hatte die Güte, mir eine Sapphirnlinsse von etwa $\frac{1}{8}$ Engl. Zoll Brennweite zu besorgen, um damit die von Herrn *Brown* gemachten Beobh. zu wiederholen. Sie ist von *A. Pritchard* in London (18 Picket Street, Strand) gemacht. Der Künstler, welcher auch Diamantlinsen macht, hat mir dabei seine Preise gesandt, die vielleicht für die Leser Interesse haben.

Pritchard's Sapphirnlinsen.

Preise.	Brennweite in Theilen des Engl. Zolls.	Vergrößerungen.
	$\frac{1}{8}$	im Durchmesser 100 im Flächenraum 10000
2 Guineen	$\frac{1}{8}$	200 40000
	$\frac{1}{8}$	300 90000
	$\frac{1}{8}$	400 160000
3 Guineen	$\frac{1}{8}$	500 250000
	$\frac{1}{8}$	600 360000
4 Guineen	$\frac{1}{8}$	800 640000
	$\frac{1}{8}$	1000 1000000

Es sind mir auch, als in ihrer Art vortrefflich, Taschenmicroscope von *Gould* gerühmt, die ich aber nicht selbst gesehen habe. Ich füge seine eigene Anzeige bei.

C. Gould's new improved pocket compound Microscope.

Price 1l. 16s.

Shuts up in a Case three inches square; is complete in all its parts for the Naturalist, Botanist and Mineralogist; has five different powers, the highest 100,000 times; may be used

as a single, compound, or opaque Microscope; and has been found, on comparison, by several scientific Gentlemen, superior in power, and more distinct, than many of the largest and more expensive Instruments of the kind.

C. Gould does not doubt that his anxious endeavours to render this Instrument superior to any hitherto manufactured, will be duly appreciated by his scientific friends and an intelligent public; and has great pleasure in announcing that he has found means to produce perfect and beautiful minute lenses, of most extraordinary (and hitherto unknown) high magnifying powers, which for the convenience of the Public, may be purchased separately, as they are inserted in separate cells, and can be fitted to his Improved Pocket Compound Microscope, and any other. The magnifying power (as kindly estimated by Dr. *Wollaston*) of No. 1, is 250 diameters, or 62,500 times; and that of No. 12, 1100 diameters, or 1,210,000 times; the rest in proportion, and each without the Compound Body. The price of No. 1, is 8s. 6d. (cell included), and proportionally moderate for the others.

As these extremely deep magnifying powers of necessity take in so mere a point, there would be much difficulty in the management of an object under examination by the usual means; to obviate which, *C. Gould* has availed himself of a most beautiful invention of his friend. Mr. *Holland*, which consists of an improved stage to the Microscope, by means of which, an object once placed, need not afterwards be touched during examination, as the most minute and equable motion, in every direction, is produced by the action of only two milled heads, (one for each hand,) either separately or combined.

Sold by *W. Cary*, 181, Strand.

S.

I n h a l t.

Ephemeride für die im Jahr 1829 vorkommenden Bedeckungen der Fixsterne vom Monde, berechnet von Herrn *Anger* in Königsberg. pag. 89. — Catalog von mathematischen, optischen und physikalischen Instrumenten, welche in *Pistor et Schöcke's* Werkstatt verfertigt und zu den billigsten Preisen verkauft werden. p. 93. — Druckfehler und Berichtigungen. p. 101. — Druckfehler in *Taylor's* und *Matthiessen's* Tafeln. p. 103. — Einfache Microscope von Sapphirnlinsen. p. 103.

ASTRONOMISCHE NACHRICHTEN.

N^o. 150.

Auszug aus einem Schreiben des Herrn Doctors und Ritters *Olbbers* an den Herausgeber.

Bremen 1828. Decbr. 6.

Am 25^{ten} Novbr. war es ungemein heiter, und der Comet sehr schön zu sehen. Sein noch immer unbegrenzter, auch im *Dolland* 4 bis 5 Minuten im Durchmesser haltender Nebel war gegen die Mitte viel heller; aber ein eigentlicher Kern blickte nicht durch. Es waren 3 *Bessel'sche* Sterne zugleich mit dem Cometen im Felde des Fernrohrs; aber es ward mir sehr schwer, sie unter mehreren andern, theils helleren, theils eben so hellen, die sich gleichfalls im Gesichtsfelde fanden, zu erkennen. Es scheint, daß unser vortrefflicher *Bessel* bey seinen Zonen-Beobachtungen oft absichtlich die hellern Sterne vorbeyleist, um desto mehr Zeit zur Beobachtung kleinerer zu gewinnen, in der allerdings wahrscheinlichen Erwartung, daß jene größeren Sterne schon im *Piazz* oder in der H. C. vorkommen werden. Hier war dies nicht der Fall, und die hellern Sterne waren nirgends bestimmt: und so verkannte ich wirklich einen *Bessel'schen* Stern, der sich am besten zur Vergleichung mit dem Cometen geeignet hätte

25^{te} Zone. 9. $21^{\circ} 16' 26.09'' + 12^{\circ} 45' 32.7''$
und nahm statt dessen
8. 9. $21^{\circ} 16' 10.70'' + 12^{\circ} 40' 54.2''$

Der Comet wurde 7mal mit diesem Stern verglichen, wodurch ich erhielt

Novbr. 25. $7^{\text{h}} 23' 20'' \quad 319^{\circ} 27' 4'' + 12^{\circ} 48' 35''$.

Am 26^{ten} Novbr. trübe. Am 27^{ten} nur auf kurze Zeit heiter. Der Comet wurde in der Eile 5mal mit unbekannten Sternen, und nur einmal mit einem Stern der H. C. verglichen, wovon sehr unzuverlässig folgte

Novbr. 27. $7^{\text{h}} 16' 8'' \quad 317^{\circ} 32' 2''$.

Der trübe Himmel klärte sich erst am 1^{ten} Decbr. nach einem den ganzen Tag hindurch dauernden Schneegestöber wieder auf, und nun konnte der lichtstarke Comet mit dem *Piazzischen* Stern H. XX. Nr. 422 8mal verglichen werden; sechsmal am *Dolland* durch mein gewöhnl. Kreis- und zweymal am *Fraunhofer*, hauptsächlich für die Rectascension, durch ein doppeltes Ringmicrometer. Da es seyn kann, daß ich am Ringmicrometer den Mittelpunkt des Cometen anders schätze, als am Kreismicrometer, so sendere ich beydeley Beobachtungen von einander ab:

Decr. 1. $7^{\text{h}} 11' 17'' \quad 313^{\circ} 45' 3.4'' + 9^{\circ} 16' 30.6''$
 $8^{\text{h}} 36' 21'' \quad 313^{\circ} 41' 34.9''$

Olbbers.

Auszug aus einem Briefe des Herrn Drs. und Ritters *Olbbers* an den Herausgeber.

Bremen 1828. Decbr. 29.

Wie ich voraus befürchtete, ist die Witterung im Monat December den Cometenbeobachtungen sehr ungünstig gewesen, und ich habe nur folgende erhalten können:

Decbr. 1. $7^{\text{h}} 11' 17'' \quad 313^{\circ} 45' 3'' + 9^{\circ} 16' 31''$
 $8^{\text{h}} 36' 21'' \quad 313^{\circ} 41' 35''$
6. $6^{\text{h}} 28' 14'' \quad 308^{\circ} 56' 36'' \quad 6^{\circ} 10' 9''$
9. $6^{\text{h}} 7' 48'' \quad 305^{\circ} 54' 59'' \quad 4^{\circ} 10' 14''$
10. $6^{\text{h}} 35' 19'' \quad 304^{\circ} 51' 21'' \quad 3^{\circ} 28' 13''$
15. $5^{\text{h}} 38' 44'' \quad 299^{\circ} 17' 2'' - 0^{\circ} 14' 15''$

Am 6^{ten} erfüllte der unglückliche schreckliche Brand einer grossen Zuckerfabrik, die zwar in einem entfernten Theile

der Stadt jenseits der Weser, aber doch im Südwesten lag, die ganze Himmelsgegend, in der der Comet stand, so mit stark erleuchtetem Rauche, daß der Comet immer sehr schwach zu sehen war, zuweilen ganz verschwand. Am 9^{ten} war heftiger Sturm, der das Fernrohr zuweilen erschütterte: doch hoffe ich, daß dies keinen nachtheiligen Einfluß auf die Beobachtung gehabt hat. Am 10^{ten} war erst Verwirrung in den um den Cometen stehenden Sternen. Da wo *Bessel* seinen Stern 9^{er} Gr. Z. 5. $20^{\text{h}} 16' 47''.36$ einsetzt, waren zwey Sterne neben einander, wovon der hellere etwas südlich folgte: hingegen war der Stern

20^h 17' 58".80. 8.9" Größe gar nicht vorhanden. Die Hist. Cel. setzt in die Gegend des ersten Sterns wirklich 2 am 31^{ten} Faden beobachtete Sterne, p. 190.

3 Fad. Z. D.			
	^h	^m	^s
9 Gr.	20	14 49,5	45 26 30
8.9		14 33,5	45 28 4

Diesem widerspricht, daß der vorbeigehende Stern der weniger helle, und mehr nördliche war. Es ergab sich

	H. C.	Bessel.	Unterschied.
	^h	^m	^s
9.	304 3 30,8	304 3 48,5	+ 18,2
8.9.	304 6 24,4	304 6 40,1	+ 15,7

Sollten diese beyden Sterne vielleicht eine ziemlich gleiche eigene Bewegung nach Osten haben? Bey der Reduction der Beobachtungen habe ich natürlich *Bessels* Positionen vorgezogen und gebraucht. Am 15^{ten} hatte sich der den ganzen Tag anhaltende Nebel nur auf kurze Zeit soweit aufgeklärt, daß man mit bloßen Augen die größten Sterne, und im Fernrohr den Cometen erkennen konnte. Aber der bald wieder, noch lange vor Ende der Abenddämmerung, eintretende stärkere Nebel schwächte den Cometen, und machte ihn erst unterbrochen, und dann ganz unsichtbar. Unter solchen Umständen konnten die 3 Vergleichungen, die ich dem Himmel gleichsam abtrotzte, wohl keine große Sicherheit gewähren. Unter den 3 Sternen, mit denen ich den Cometen verglich, und die sowohl bey *Bessel* als in der

endlich, daß hier sowohl in der H. C. als auch bey *Bessel* ein Schreib- oder Druckfehler statt findet. Bey *Bessel* muß für den zweyten Stern statt 20^h 17' 58".80, 20^h 16' 58".80 gelesen werden; und in der H. C. ist der Stern 20^h 14' 33".5 nicht am 3^{ten}, sondern am mittleren Faden beobachtet. Aber auch nach diesen Verbesserungen sind diesmal die Angaben der H. C. mehr als gewöhnlich von den *Bessel*schen verschieden. Auf 1825 reducirt findet sich nemlich:

	H. C.	Bessel.	Unterschied.
	^h	^m	^s
	3 27 6,4	3 27 0,1	— 6,3
	3 25 32,4	3 25 30,9	— 1,5

Hist. Cel. vorkommen, stehen auch zwey bey *Piazzi* (XIX, 365. 376.). Diesmal harmoniren *Piazzi* und *Bessel* nicht sonderlich, und weichen besonders bey 376 in der AR. 15".5 von einander ab. Die H. C. stimmt nabe mit *Piazzi*. Den *Bessel*ischen Stern Zone 11. 9" Größe 19^h 54' 47".64 — 0° 16' 6",7 konnte ich durchaus nicht finden, und ich kann doch kaum glauben, daß ihn bloß der Nebel verdeckte.

Seit dem 15^{ten} Decbr. bis heute ist es beständig, wenigstens bis nach dem Untergange des Cometen trübe gewesen, so daß ich ihn kein einzigmal wieder habe erblicken können. Jetzt ist er längst unter den Sonnenstrahlen verborgen.

IV. Oibera.

Astronomische Beobachtungen angestellt auf dem Schlosse Ober-Castell, Kanton Thurgau in der Schweiz.

Von Herrn Oberst-Lieutenant v. Scherer.

Ober-Castell, ein Landgut meiner Familie, wo ich seit einigen Jahren die Sommermonathe zubringe, ist auf einer Anhöhe circa $\frac{1}{2}$ Stunde südwestlich von der Großherzogl. Badenschen Stadt Konstanz gelegen.

In einer Distanz von 40 à 50 Klaftern des A. 1725 neu erbauten Schlosses stehen noch die Ruinen der alten Burgveste Castell, ehemals Residenz der Konstanziſchen Bischöfe, und welche A. 1499 in dem sogenannten Schwabenkrieg von den Eydenosen zerstört ward. Von diesem Standpunkte aus hat man die ausgedehnteste Aussicht auf die Badenschen und Württembergischen Länder, die Vorarlbergischen und Tyroler Gebirge, und übersieht den ganzen Bodensee, den Rhein und den Zellersee.

Ober-Castell, als eins der nördlichsten Punkte der Schweiz, welcher in unmittelbarer Verbindung mit mehreren am Horizont sichtbaren *Ammann-Bohlenbergischen* Haupt-

Dreyeckspunkten in Schwaben gesetzt werden kann, schien mir sehr wohl geeignet einer der nördlichen Endpunkte der Schweizerischen Landesvermessung zu werden; in dieser Beziehung also sowohl als zum Behuf fernerer astronomischer Beobachtungen schien mir Ober-Castell einer genaueren geographischen Ortsbestimmung wohl werth, und somit faßte ich den Entschluß, alle Jahre die Beobachtungen zu sammeln, welche endlich zu diesem Zweck führen können.

Die folgenden sind, also nur als ein Anfang derjenigen Serien zu betrachten, welche ich mit der Zeit zu liefern hoffe.

Die zu diesen Beobachtungen gebrauchten Instrumente waren folgende:

1. Eine 14 Tage in einem Aufzuge gehende Pendeluhr mit Quecksilbercompensation von *F. Guthies* in Dresden

ganz nach der Construction der Englischen von *Hardy*, welche Herr Professor *Snadzecki* in Wilna im Berlinischen A. J. B. 1824. p. 140 näher beschreibt.

2. Ein 12zöll. Multiplicationskreis von *Utschneider* u. *Liebherr* in München mit Verniers von 4 zu 4 Sekunden und 2 Fernröhren von 16 Zoll Brennweite und 15 Linien Oeffnung.

3. Ein 10zöll. Spiegel-Sextant von *Troughton* in London mit Oelhorizont, der dem secl. Professor *Placidus Heinrich* in Regensburg gehört hat.

4. Ein großes astronomisches Fernrohr von 36 Zoll Brennweite und 42 Lin. Oeffnung von *Casseiois* in Paris, mit Ocularen von 89 bis 147maliger Vergrößerung.

5. Ein hölzerner Quadrant für corresp. Sonnenhöhen.

6. Die nöthigen Barometer und Thermometer.

Die Zeitbestimmung beruht durchgehends auf corresp. Sonnenhöhen, welche an der überwachten auf mittlere Sonnenzeit regulirten Uhr genommen wurden.

Zur Bestimmung der Polhöhe von Ober-Castell mittelst des Polaris benutzte ich einerseits den Vortheil, welche dem Beobachter die Güte der *Fraunhofer*schen Fernröhre gewähren, indem sie mit ihrer 40maligen Vergrößerung den Polarstern zu jeder Stunde des Tages deutlich zeigen, und anderseits den Vortheil, den die Formeln des Hrn. Prof. *Littrow* (A. N. 1 Bd. p. 116) zur Berechnung der ausser der Culmination gemachten Beobachtungen darbieten, um mich an keine bestimmte Zeit für dieselben zu binden.

Die Zenithdistanzen wurden indessen jedesmal wenig nach Sonnenuntergang genommen, so dass alles noch bey Tage und ohne Beleuchtung verrichtet werden konnte. Bey der Berechnung derselben entnahm ich aus den Astronom. Hülfstafeln von Herrn Prof. *Schumacher* die Graden Aufsteigungen und Declinationen des Polarsterns, und bediente mich der *Carlinianischen* Refractionen.

Breite, aus Zenithdistanzen des Polarsterns.

Ober-Castell	Repeti- tionen.	Barom.	Therm.	Berechnete.
		Stand.	n. Reaum.	Breite.
1826. Aug. 16.	6	26,683	+ 18,33	47 38 43,96
17.	6	26,779	18,90	43,34
23.	4	26,572	16,20*	51,48
Sept. 12.	6	26,729	13,00	42,82
13.	6	26,640	15,50	44,06
14.	6	26,594	15,60	41,74
16.	6	26,759	12,00	46,80
29.	4	26,729	15,00	43,47

mit Weglassung der vom Mittel stark abweichenden Beobachtung *

47 38 44,71

43,74

4 Serien des Polaris im July 1822 und Aug 1823 beobachtet, hatten im Mittel gegeben 44,09
ich hatte indessen das 2te Resultat als das zuverlässigste und glaube einstweilen als nördliche Breite von Schloß Ober-Castell annehmen zu dürfen . . . 47° 38' 43,75

Zur Bestimmung der Länge von Ober-Castell wurden bis anhin folgende Sternbedeckungen vom Monde mit angeführten achromatischen Fernrohr von *Casseiois*, mit angebrachter 89maliger Vergrößerung beobachtet, nemlich:

Ober-Castell	Name d. Sterne.	Wahre Sonnenzeit.	Bemerkungen.
1823 Aug. 27.	* Arietis A	gut MZ. 9 20 46,50
1825 July 10.	57 Arietis A	12 34 40,99	auf die Sec. genau.
Sept. 17.	Scor. PH. xvi. 68E	MZ. 7 41 58,72
	Scor. PH. xvi. 72E	7 46 43,22
	Scor. PH. xvi. 71E	7 47 4,22
19.	* 8-9 Gr. E	6 55 3,14
25.	* Piscium E	15 14 24,02	auf die Sec. genau.
Octbr. 5.	74 Geminorum A	11 35 48,94	zu spät beobachtet.
1826 May 14.	LL. x. p. 244 E	8 56 39,20	auf die Sec. genau.
15.	LL. x. p. 248 E	8 56 25,25	1"-2" ungewiß.
20.	24.11 Libr. PH. xv. 3E	8 35 42,80	etwas ungewiß.
July 17.	LL. xiii. p. 306 E	10 28 0,29	etwas ungewiß.
	* 6-7 Gr. E	10 49 5,24	plötzlich eingetreten oder 5,74
Aug. 13.	Sag. 14. PH. xviii. 8E	8 15 2,59	plötzlich eingetr.
Sept. 12.	* 6-7 Gr. E	10 54 28,89	auf die Sec. genau.
13.	Capr. PH. xxi. 257E	11 29 31,80	auf die Sec. genau.
	46c Capr. PH. xxi. 258E	11 35 3,56	auf die Sec. genau.
23.	54 1/2 Orionis E	11 30 38,55	gute Beobachtung.
			oder 37,55
		A 12 28 49,48	plötzlich austr.
Nov. 4.	43d Sag. PH. xix. 35E	5 36 33,98	gute Beobachtung.
			oder 34,31
	Sept. 774 M. id. 39E	5 56 5,30	gute Beobachtung.
1827 May 8.	40 ♀ Virginis E	8 44 48,65	plötzlich eingetr.
1828 Oct. 16.	Capr. PH. xx. 79 E	11 4 5,77	letzter Lichtpunkt
			gute Beob.
	♂ Capr. 83 E	11 8 42,82	sehr zweifelhafte oder 9,42,82 Beobachtung.
22.	* Piscium A	6 21 34,31	hat viell. 3"-4" früher stattgeh.
28.	1 Geminorum A	10 23 40,52	gut auf die Sec.

Der Herr Professor *Wurm* in Stuttgart, der die Gefälligkeit hatte, einige dieser Beobachtungen in Rechnung zu nehmen, fand aus 8 derselben im Mittel den Längen-Unterschied zwischen Ober-Castell und der Pariser Königl. Sternwarte = 27' 9" in Zeit, und schreibt mir bey diesem Anlaß: „dafs obgleich diese Länge immer noch einer „näheren und genaueren Bestimmung fähig seyn dürfte, er „sie doch innerhalb der Gränze von ein paar Secunden für „richtig halte.“

Bei diesem Mittel mag es also bis auf weitere Bestimmungen sein Bewenden haben, und ich nehme für einmal:

Schloß Ober-Castell nördl. Breits = $47^{\circ} 38' 43''$
 Länge in Zeit v. d. Paris. Königl. Sternwarte = $27^{\circ} 9,0'$
 von Ferro = $26^{\circ} 47' 15''$

A. v. Scherer, Oberst-Lieut.

The five occultations of Aldebaran (α Tauri) by the moon, in the year 1829, computed for nine different observatories in Europe, at the request of the Council of the Astronomical Society of London, by T. Henderson, Esq. of Edinburgh, and T. Maclear Esq. of Biggleswade, near Bedford *)

Place.	Immersion.			Emersion.		
	Sideral time.	Mean time.	Angle.	Sideral time.	Mean time.	Angle.
April 7. 1829.						
Dorpat	8 16	7 13	238°	8 41	7 38	192°
July 25. 1829.						
Dorpat	21 36	13 22	261	22 29	14 16	54
Königsberg	21 7	12 54	259	21 59	13 46	53
Vienna	below the horizon.			21 35	13 21	55
August 21. 1829.						
Dorpat	6 8	20 7	297	7 19	21 18	121
Königsberg	5 38	19 37	284	6 51	20 50	134
Vienna	5 21	19 20	265	6 30	20 29	159
Naples	5 29	19 28	238	6 3	20 2	200
Milan	4 43	18 42	247	5 47	19 46	164
Paris	3 59	17 58	238	5 13	19 11	138
Greenwich	3 45	17 44	254	5 2	19 1	125
Edinburgh	3 30	17 20	268	4 46	18 45	105
Dublin	3 12	17 11	257	4 28	18 27	107
October 15. 1829.						
Dorpat	9 52	11 15	292	1 41	12 4	35
Königsberg	0 17	10 40	283	1 7	11 31	32
Vienna	23 45	10 8	265	0 41	11 4	34
Naples	23 22	9 45	243	0 22	10 46	41
Milan	23 10	9 34	262	0 4	10 27	30
Paris	22 51	9 14	280	23 35	9 58	19
Greenwich	22 48	9 12	292	23 25	9 48	12
Edinburgh	22 50	9 13	313	23 12	9 35	358
Dublin	22 31	8 55	266	22 56	9 20	1
December 9. 1829.						
Dorpat	1 4	7 51	262	2 8	8 55	64
Königsberg	0 29	7 16	253	1 33	8 20	63
Vienna	0 0	6 47	236	1 3	7 50	66
Naples	23 42	6 29	215	0 41	7 28	69
Milan	23 25	6 12	238	0 25	7 12	61
Paris	23 1	5 49	249	23 59	6 46	51
Greenwich	22 57	5 44	257	23 53	6 40	47
Edinburgh	22 53	5 40	271	23 44	6 31	41
Dublin	22 36	5 23	268	23 27	6 14	39

In the preceding ephemeris, the column marked Angle, denotes the point of the moon's limb where the phenomenon will take place, reckoning from the vertex, or highest point of the moon's limb, towards the west, or right hand, round the circumference.

The occultations in April and July will not be visible at Greenwich, nor will they be seen in any of the western part of Europe.

The object of the Council in procuring these computations has been to induce astronomers to look out for the occultations, with a view principally to determine whether Aldebaran will appear projected on the face of the moon, as has frequently been observed in former occultations of this star. It is therefore requested that particular attention be paid to the following circumstances: viz. 1°. Whether the star undergoes any change of light, of colour, or of motion, on its immediate approach to the edge of the moon: 2°. Whether it appears to be projected on the moon's disc, and for how long a time: 3°. Whether the dark limb of the moon be distinctly visible and well defined at the time of the phenomenon: 4°. Whether the star, on its emersion, appears on the moon's disc, or emerges quite clear of the moon's border.

In recording these observations, it is desirable that the observer should describe the telescope made use of; and that the same instrument should be employed in observing both the immersion and emersion: that it should be noted whether the telescope was adjusted to the moon or to the star; and whether it had been altered during the observation. And, as it is probable that the phenomenon may differ in some slight particulars, even to persons observing together in the same place, it is hoped that the actual appearances will be recorded (as they may present themselves) by each person,

*) Von der astronomischen Gesellschaft in London, mir mit dem Eruchen es einzurücken, durch Herrn Bailly gesandt.
 S.

without suffering his impression to be biased by the opinion or representations of others.

It is further requested that, in recording such observations as may be made, the correct time (as well as the place) of observation may be given: that is, the time shown by the clock corrected for its error; in order that comparisons may be made of the best mode of computing occultations.

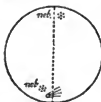
Two different methods have been pursued in computing the ephemeris here given: and although the results have agreed sufficiently near to enable the Council to ascertain the time to the nearest minute, yet in some of the cases the results have varied from each other much more than might have been expected. The computations will probably be revised and investigated, when the correct time and place are ascertained.

Notizen über den 1808 am 6ten Februar von Pons entdeckten Cometen.

Auf meine Anfrage an Herrn Pons, ob er über diesen Cometen nicht unter seinen Papieren noch Notizen finde, hatte er schon vor längerer Zeit die Gefälligkeit mir folgendes durch Herrn *Inghirami* zu senden. So unvollständig diese Notiz auch ist, glaube ich sie doch in den Astron. Nachr. aufnehmen zu müssen.

La comète du 6 Février 1808 est une des comètes qui ont échappé aux Astronomes sans pouvoir en calculer les Eléments, à cause que l'on n'en a pu avoir que quelques positions très-douteuses par méprise avec d'autres nébuleuses. Elle était très-faible et difficile à voir. Sa nébulosité était ronde; elle s'étendait à peu près un degré et on y soupçonnait par intervalle un très-faible noyau en deux

parties. Son mouvement était assez rapide vers le sud et l'on n'a pu l'apercevoir que 3 jours parceque le clair de lune était très-fort, de sorte que malgré de recherches très-opiniâtres, on ne pouvait pas même la soupçonner le 10.



Configuration renversée du 9 Février vers les 5h du matin dans le grand chercheur qui à peu près a 1 degré de champ.

Les deux nébuleuses marquées dans la figure sont sur le ventre d'Ophiucus un peu au dessous de l'Equateur.

S.

Dunlop's Verzeichniß von Doppelsternen.

Am 9^{ten} Mai legte Herr *Dunlop* der astronomischen Gesellschaft in London genirkte Bestimmungen von 254 Doppelsternen der südlichen Halbkugel vor, die er in Paramatta gemacht hatte.

Er benutzte die Nächte ohne Mondschein zur Beobachtung der Nebelflecken (deren Verzeichniß in den Ph. Transact. von diesem Jahre steht) und die Nächte in denen der Mond schien zu den Doppelsternen. Seine Instrumente waren ein 46zölliges parallactisch aufgestelltes Fernrohr mit einem Micrometer von seiner Arbeit, und einem andern von

Amici mit doppelten Bildern, und ein 9füßiges Spiegeltelescop. Das letzte war ohne Micrometer, und Hr. *Dunlop* schätzte den Ort der Doppelsterne indem sie durch das Feld gingen. Es scheint also, wie auch der Titel schon anzeigt, daß die Verzeichniß mehr einem mit schärferen Instrumenten versehenen Beobachter zum Leitfaden dienen, als selbst genaue Bestimmungen geben soll.

a Crucis ist ein Doppelstern, der sowohl an Entfernung als Größe Castor gleicht, a Centauri ein Stern erster Größe der in etwa 20^{er} Entfernung einen Stern 4^{ter} Größe bei sich hat. (*Phil. Mag.* 1828. Jul.)

S a t u r n s r i n g.

Auf Herrn Professor *Hardings* Ersuchen stellte Herr *Herschel* und Herr *South* Messungen der Abstände des Saturnrings an beiden Seiten von der Saturnkugel an. Herrn *Souths* micrometrische Messungen (an seinem 5füßigen Aequatoral) gaben am 26^{ten} April, und 29^{ten} April, und 3^{ten} May den westlichen Zwischenraum 3'',532, und den östlichen

(rechter Hand) 3'',607. Dabei bemerkt er, daß am 26^{ten} April 20 Messungen (10 von ihm, 10 von Herrn *Herschel*) die Zwischenräume vollkommen gleich gaben, jeden = 3'',472. Herrn *Herschels* Messungen nemlich gaben den westlichen Raum (links im Fernrohr) 3'',612, und den östlichen 3,442. Herrn *Souths* den ersten 3'',331 und den letzten 3'',502.

Hr. *Herschel* fand ohnerschütet dieser Messungen, nach genauer Betrachtung, daß ohne allen Zweifel der östliche Zwischenraum (rechts im Fernrohr) größer schien. (*Ph. Mag.* 1828 Juli.)

Anmerkung des Herausgebers. Die Verschiedenheit dieser Messungen sowohl unter sich als mit den von Herrn Professor *Struve* erhaltenen Resultaten, scheint ihren Grund in dem Umstande zu haben, daß die Herren *Herschel* und *South* den Zwischenraum zwischen Saturn und dem innern Rand des Ringes gemessen haben, obgleich damals der innere Rand des Ringes rechts verwachsen und undeutlich war, also keine

scharfe Beobachtung erlaubte. Dies Phänomen, daß ich an 5 oder 6 Abenden vor einigen Jahren, eben ich an Herrn Prof. *Struve* schrieb, in ganz verschiedenen Abschnitten der Rotationsperiode durch meinen Göttinger Freundesherren bemerkt und damals gleich Herrn Dr. *Olbers* mittheilte, scheint mir das sonderbarste bei der guten Sache zu seyn. Der innere Rand des Ringes links war immer scharf begränzt, und der innere Rand rechts verwachsen. Herr Professor *Struve* fand dasselbe durch seinen großen Refractor und zog deswegen vor von der Saturnskugel bis zum äussern Rande des Ringes zu messen. S.

Einzelne Beobachtungen.

Am 13^{ten} Junius erhielt die Astronomische Gesellschaft in London zwei Beobh. von Finsternissen in Benares von Herrn *Prinsep* gemacht. Die erste war eine Sonnenfinsternis 1827. April 26, deren Anfang er nicht beobachtet hat, deren Ende er aber 20^h 37^m 5^s mittl. Zeit in Benares angiebt. In diesem Momente war der Sonnenrand frei vom Monde, aber 10^m oder 15^m später schien es ihm noch, als ob der Sonnenrand sich gegen den Punkt den der Mond eben verlassen hatte aushuble.

Herr *Walter Evers* in Cawnpore beobachtete das Ende dieser Finsternis um 19^h 56^m 3^s 5^s mittl. Zeit des Orts.

Die zweite beobachtete Finsternis war die Mondfinsternis vom 3^{ten} Novbr. 1827. Die Angaben sind in mittlerer Zeit von Benares.

Der Mondrand ward trübe	h	m	s
Der Mondrand unsichtbar	8	42	0
Der Mondrand von derselben Farbe als der Himmel	8	44	18
Bestimmter Schatten	8	45	30
Ein heller Fleck verschwindet	8	46	1
Eintritt eines kleinen Sterns	8	52	26
Durchgang des Mondes durch den Meridian	10	42	14,2
Rd. 1	11	45	48,2
Rd. 2	11	47	57,1
Ende der Finsternis	12	1	6

Herr *Walter Evers* beobachtete in Cawnpore den Anfang dieser Finsternis um 8^h 55^m 23^s mittl. Zeit. (Der Längensunterschied zwischen Cawnpore und Benares ist = 10^m 12^s in Zeit angenommen.)

Herr *Rümker* sandte der Astron. Gesellschaft mehrere Beobh. aus Paramatta:

1. die Solstize December 1826, Januar 1827, December 1827.
2. Beobachtung der untern Conjunction der Venus 1827 im December.
3. Beobachtungen der Mondsterne 1826 u. 1827.
4. Oerter einiger Fixsterne der südlichen Halbkugel.
5. Verzeichniß der Sterne mit denen der große Comet 1825 verglichen ward.
6. Verbesserte Beobachtungen dieses Cometen.
7. Bestimmung der Breite dieser Sternwarte durch Reflexion.

Herr *Curnin* aus Bombay sandte einen genauern Bericht über seine Beobh. der Mondsterne von 1825. Er berechnet aus Vergleichung mit den Beobh. in Greenwich und Bushey Heath die Länge der Sternwarte zu Bombay 4^h 51^m 9^s östl. von Greenwich.

(*Ph. Mag.* 1828. August.)

Beobachtungen des Enckeschen Cometen von Herrn Professor Encke in Berlin.

Außer den früheren Beobachtungen des Cometen habe ich noch die folgenden erhalten.

	Mittl.								
	Berl. Zeit.	AR. Com.	Declin.	AR.	Diff.	Decl.			
	h	m	s	°	'	"	°	'	"
Nov. 25.	6 45 30	319 29 53	+12 50 25	-3	5,1	-53,5			
26.	6 48 46	318 32 18	12 16 9	-3	16,2	-135,4			
Dec. 2.	6 48 24	312 50 0	8 40 50	-3	37,0	-1	5,6		
5.	6 37 28	309 56 42	6 49 28	-3	43,5	-155,4			
6.	6 50 57	308 57 17	+6 9 38	-3	57,5	-122,0			
16.	5 45 24	298 6 14	-1 1 36	-4	41,2	-146,1			

Die Fehler werden hiernach etwa seyn

	AR.	Decl.
Oct. 13.	- 2 3	+ 16
Nov. 6.	- 2 20	- 34
25.	- 3 10	- 14
Dec. 2.	- 3 46	- 138
16.	- 4 41	- 146

welche durch Zuziehung auswärtiger Beobachtungen wenigstens nicht sehr wesentlich modificirt werden dürften.

Der Einfluss der Durchgangszeit durch das Perihel für diese Tage ergibt sich aus den Bedingungenleichungen, wenn unter dM Secunden der mittleren Anomalie verstanden werden (jede dieser Secunden ist $= 0,0009347$ Tag. des Durchgangs):

	AR. cos δ	Decl.
Oct. 13.	+ 1,47 dM .	+ 2,04 dM .
Nov. 6.	— 1,36 —	+ 2,38 —
25.	— 5,13 —	+ 0,60 —
Dec. 6.	— 7,38 —	— 0,71 —
16.	— 10,22 —	— 2,60 —

so dass die Aenderung der Durchgangszeit höchstens einige Hunderttheile des Tages betragen kann.

Elemente, bei denen die angebrachte Correction, um welche der Comet jedesmal früher in das Perihel kommt,

fehlt, wie die neueren *Damoisenauschen* (Conn. d. T. 1830), geben für diese Tage folgende Fehler:

	AR.	Decl.
Oct. 13.	— 11'	— 6'
Nov. 6.	+ 4	— 8
25.	+ 28	+ 1
Dec. 5.	+ 41	+ 7
16.	+ 56	+ 17

deren Gang und Größe zeigt, dass sie hauptsächlich von der Durchgangszeit abhängen, welche Herr *Damoiseau* um 0,35 Tag später annimmt. Die älteren Elemente (Conn. d. T. 1827) geben noch größere Fehler. Die dort gegebene Ephemeride welche sich der Wahrheit mehr nähert, ist durch Rechnungsfehler irrig.

Encke.

Gang eines Chronometers von Herrn Kessels.

Herr *Kessels* überlieferte mir am 3^{ten} April 1827 den Box-chronometer Nr. 1261 der Sternzeit ging und halbe Secunden schlug zur Prüfung, mit der Bemerkung er werde wahrscheinlich seinen Gang im Anfange acceleriren und erst nach einiger Zeit den beständigen Gang annehmen.

Ich lasse die Vergleichen folgen, und bemerke, dass ich immer Acceleration mit —, Retardiren mit + bezeichne.

1827. Datum.	Tägl. Gang.	1827. Datum.	Tägl. Gang.	1827. Datum.	Tägl. Gang.
April 4	+ 0,6	Julii 12	— 0,8	Aug. 7	— 1,8
5	0,5	14	0,8	8	2,1
6	0,4	15	0,9	9	2,0
7	0,2	16	0,7	10	2,1
8	0,3	17	0,9	11	2,2
9	0,2	18	0,9	12	2,0
10	+ 0,1	19	0,8	13	2,0
11	0,1	20	0,9	14	2,0
12	+ 0,1	21	1,0	15	1,9
13	0,5	22	1,0	16	2,0
14	0,4	23	1,2	17	2,1
Mai 7	0,4	24	1,3	18	1,9
9	+ 0,1	25	1,1	19	2,3
11	0,0	26	1,2	20	2,3
13	0,0	27	1,3	21	2,2
15	— 0,3	28	1,2	22	2,2
17	0,4	29	1,5	23	2,2
19	0,2	30	1,8	24	2,0
22	— 0,3	31	1,6	26	2,2
24	0,6	Aug. 1	1,6	27	2,1
25	0,5	2	1,6	28	2,2
Julii 9	0,6	3	1,7	29	2,1
10	0,8	5	1,7	30	2,0
11	0,9	6	1,9	31	2,1

1827. Datum.	Tägl. Gang.	1827. Datum.	Tägl. Gang.	1827. Datum.	Tägl. Gang.
Sept. 1	— 2,2	Oct. 9	— 2,5	Nov. 18	— 3,7
2	2,3	10	2,6	19	3,5
3	2,3	12	2,6	20	3,7
4	2,2	13	2,6	21	3,7
5	2,1	14	2,6	22	3,5
6	2,1	15	2,6	23	3,5
7	2,3	16	2,5	24	3,4
8	2,3	17	2,5	25	2,0
10	2,3	18	2,8	26	3,1
11	2,4	19	2,6	27	3,2
12	2,6	20	2,4	28	3,3
13	2,3	21	2,3	29	3,6
14	2,8	22	2,2	30	3,7
15	2,5	23	2,2	Dec. 1	3,0
16	2,4	25	2,4	2	3,0
18	2,8	26	2,6	3	3,1
19	2,8	28	2,8	4	3,4
20	2,5	29	2,6	5	3,6
21	2,8	30	2,4	6	4,0
22	2,4	31	2,8	7	3,9
23	2,4	Nov. 1	3,2	9	3,8
24	2,7	3	3,3	10	3,9
25	2,8	4	3,3	11	3,9
26	2,7	6	3,4	13	3,9
27	2,9	7	3,3	14	3,6
28	2,9	8	3,3	16	3,8
29	3,3	9	3,3	17	4,1
30	2,0	10	3,4	18	3,6
Oct. 1	3,1	11	3,5	20	3,8
2	3,0	12	3,3	22	3,9
3	3,8	14	3,2	24	3,4
4	2,8	15	3,4	26	3,7
5	2,6	16	3,6	28	3,9
7	2,5	17	3,6	31	3,5
8	3,0				

1828. Datum.	Tägl. Gang.	1828. Datum.	Tägl. Gang.	1828. Datum.	Tägl. Gang.
Jan. 2	— 3,6	Jan. 25	— 4,0	Febr. 14	— 3,6
— 6	4,1	— 27	4,2	— 16	4,0
— 9	1,7	— 29	4,0	— 18	4,0
— 11	3,1	— 31	4,1	— 20	4,1
— 13	3,6	Febr. 2	4,0	— 22	4,3
— 15	3,5	— 4	4,2	— 24	4,5
— 17	2,7	— 6	4,2	— 26	4,5
— 19	2,9	— 8	4,4	— 28	4,6
— 21	3,1	— 10	4,2	März 1	4,6
— 23	4,0	— 12	3,9		

Es ist bei dieser Uebersicht zu bemerken, daß er vom 14^{ten} April bis 7^{ten} Mai zweimal mit mir, die Reise nach Copenhagen machte, und vom 25^{ten} Mai bis 9^{ten} Julius von Herrn Hofrath *Gauß* zu seinen Beobachtungen mit dem Zenith-sector gebraucht ward.

Im März 1828 ward er rein gemacht, und darauf Hrn. *Bohnberger*, der ihn erkaufte hatte, nach Tübingen gesandt. Obgleich er nun sehr sorgfältig verpackt war, mußte die Behandlung unterwegs doch zu rauh gewesen seyn, denn Herr Prof. *Bohnberger* empfing ihn mit zerbrochener Axe der Unruhe. Er ward darauf wieder an Herrn *Kessels* gesandt, reparirt, und von neuem nach Tübingen, doch diesmal glücklicher, mit der Post versandt.

Ueber seinen jetzigen Gang verdanke ich der gütigen Mittheilung des Herrn Prof. *Bohnberger* folgende Uebersicht, die auch diesmal Herrn *Kessels* Voraussetzung bestätigte, der nach der Reparatur Herrn Prof. *Bohnberger* schrieb, der Chronometer werde wiederum seinen Gang beschleunigen und erst nach einiger Zeit ihn fest annehmen.

Obgleich ein Boxchronometer nicht für verticale Lage regulirt wird, versuchte Herr Prof. *Bohnberger* es ihn

zwey Tage in dieser Lage zu beobachten und erhielt den täglichen Gang

Sept. 14. — 1^u/₈
Sept. 15. — 1^u/₈

also von dem in gewöhnlicher Stellung nicht 2^u verschieden. Vom 21^{ten} bis 26^{ten} October war er auf einer Reise im Wagen.

Täglicher Gang von *Kessels* Nr. 1261.

1828. Tag.	Tägl. Gang.	Ans. d. be- ob. Sterne.	1828. Tag.	Tägl. Gang.	Ans. d. be- ob. Sterne.
Aug. 12	— 3,7		Sept. 20	— 3,7	6
— 13	— 0,3	○	— 21	4,2	6
— 14	0,5	○	— 22	4,3	3
— 15	0,5	○	— 23	4,3	3
— 16	0,4	○	— 25	4,4	7
— 17	0,5	3	— 26	4,6	7
— 18	0,8	1	— 27	4,6	5
— 19	1,0	3	— 28	4,6	3
— 20	0,7	7	— 30	4,7	3
— 21	0,8	4	Oct. 1	4,6	1
— 22	1,4	2	— 2	4,5	5
— 23	1,7	2	— 3	4,6	○
— 24	1,9	6	— 7	4,6	4
— 25	1,8	2	— 9	4,5	2
— 30	2,0	2	— 12	4,3	4
— 31	2,2	6	— 13	4,5	○
Sept. 1	2,4	1	— 17	4,4	○
— 4	2,9	3	— 19	4,1	○
— 5	3,1	8	— 21	4,2	2
— 7	3,0	6	— 28	4,4	2
— 8	3,1	6	— 29	4,1	2
— 10	3,5	1	Nov. 1	4,1	1
— 11	3,9	2	— 3	4,5	1
— 13	3,8	1	— 4	4,5	3
— 17	3,5	6	— 5	4,2	3
— 19	— 3,7	6	— 6	4,3	2

S.

Nachrichten.

Den astronomischen von *Lalande* gegründeten Preis haben die Herren *Carlini* und *Piana* für ihr Werk über geodätische und astronomische Beobachtungen erhalten.

Eine der goldenen königlichen Medaillen hat die Royal Society in London dem Herrn Professor *Encke* für seine durch die Wiederberechnung bestätigte auf den Widerstand des Aethers begründete Berechnung seines Cometen gegeben.

Der vielverehrte Dr. *Hollström* liegt gefährlich krank, dennoch liefert er mehrere Abhandlungen für die R. S. Es ward am 20ten Novbr. eine Abhandlung von ihm über *Pletina* verlesen. Am 27ten November über den Gebrauch zweyer planoconvexen Linsen von Glas, die eine einfache Saphirlinse ersetzen sollen, da der hohe Preis der Saphirgläser nie nicht so allgemein macht, wie es nach ihrer Vortreflichkeit zu wünschen wäre.

Sir H. *Davy* hat der R. S. eine Abhandlung gesandt, die neuere Versuche von ihm über die Natur des Schlags der Tor-

pedo enthält. Dieser Schlag ist freilich dem Gefühl nach nicht von einem electrischen zu unterscheiden, aber unterscheidet sich in dem merkwürdigen Umstände sowohl von der *Fulminanten* als der gewöhnlichen Electricität, daß er weder dieselben chemischen noch magnetischen Wirkungen hervorbringt.

Hrn. *Faraday* ist es gelungen mit borazsaurem Bley Glas zu machen, dessen specif. Schwere = 5,3 ist. Ein Fernrohr von 24 Zoll Öffnung ist schon von diesem Glase gemacht, in. Dargestellt.

Der selbige *Franchot* fertigte mit dem größten großen Refractor zugleich einen zweiten von denselben Dimensionen und derselben Güte. Dies Instrument ist jetzt von S. M. dem Könige von Preussen für die Berliner Sternwarte erkaufte, und wird dem Vernehmen nach sogleich dahin abgehen.

Das optische Institut in München hat ebenfalls jetzt an Hrn. Prof. *Bessel* den schon seit längerer Zeit von ihm bestellten 80fls. Helio-meter versandt, über den ich meinen Lesern bald eine nähere Nachricht vorlegen zu können hoffe.

S.

Altona im Januar 1829.

ASTRONOMISCHE NACHRICHTEN.

N^o. 151.

Beiträge zur Theorie der Finsternisse und den Berechnungs-Methoden derselben.

Von Herrn Professor und Ritter *Bessel*.

1.

In Nr. 145 der Astr. Nachr. habe ich die Art erläutert, wie die Bedeckungen der Fixsterne leicht vorausberechnet werden können; gegenwärtig werde ich über die Berechnung der Beobachtungen derselben etwas sagen, bei dieser Gelegenheit aber die Aufgabe allgemeiner betrachten, so daß sie auch die Sonnenfinsternisse und die Vorübergänge der unteren Planeten vor der Sonne umfaßt.

Man hat bisher zwei, in ihren Gründen verschiedene Methoden zu diesen Rechnungen angewandt. Die erste derselben verfolgt die Erscheinung in der Art wie sie sich dem Beobachter darstellt. Sie erfordert daher die Berechnung der scheinbaren Entfernungen des verfinsterten und verfinsterten Gestirns vom Pole, so wie ihrer scheinbaren Halbmesser, damit durch die ersten, verbunden mit der aus den scheinbaren Halbmessern folgenden Entfernung der Mittelpunkt, der Winkel am Pole gefunden werden könne; ferner erfordert sie die Berechnung der im Sinne dieses Winkels stattfindenden Parallaxen, damit durch Hinzufügung derselben zu dem Winkel am Pole, der ähnliche Winkel, so wie er im Mittelpunkte der Erde erscheint, bekannt werde; endlich ergibt sie, aus der Größe dieses Winkels und der aus den Tafeln beider Gestirne abgeleiteten Geschwindigkeit, womit er sich ändert, die Zeit zwischen den Momenten der Beobachtung und der Zusammenkunft beider Gestirne, wodurch die letztere, nach dem Meridiane des Beobachtungsorts ausgedrückt, gefunden wird. — Diese Methode ist sehr alt, indem schon *Kepler* sie vorgegetragen hat; in neuerer Zeit ist sie von *Lalande* ^{*)}, und vollständiger und reiner von *Bohnenberger* ^{**)} entwickelt worden. Beide nehmen für den erwähnten Pol den der Ekliptik; *Gesner* ^{***)} aber bezieht die Rechnungsvorchriften, welche diese Methode erfordert, auf den Pol des

Aequators. *Carlini* ^{*)} endlich hat sie dadurch vervollkommenet, daß er, im Falle das verfinsterte Gestirn ein Fixstern ist, die Parallaxe nicht für den Mittelpunkt des verfinsterten, sondern für den Punkt seines Randes, wo der Eintritt oder Austritt erfolgt, d. i. für einen Punkt dessen scheinbarer Ort dem Orte des Sterns gleich ist, berechnet, wodurch, statt des scheinbaren Halbmessers, der wahre in die Rechnung kömmt, und die Berechnung sowohl des ersteren, als auch der wahren Länge zur Zeit der Beobachtung, vermieden wird. Diese Methode hat auch die vielfältigen vorhandenen Bemühungen erzeugt, für die Wirkungen der Parallaxe geschmeidige Formeln zu finden; so wie zahlreiche Abhandlungen, welche ihre Darstellung zum Zwecke haben, deren vollständigere Ausführung ich hier unterlassen zu dürfen glaube.

Die zweite Methode dagegen berücksichtigt die einzelnen Momente der Erscheinung nicht, sondern sie besteht darin, daß der Ausdruck der scheinbaren Entfernung der Gestirne, durch ihre und des Beobachtungspunktes geocentrische Oerter, der Summe oder dem Unterschiede der scheinbaren Halbmesser (jenachdem eine äußere oder innere Berührung der Ränder beobachtet worden ist) gleichgesetzt und hierdurch eine Gleichung erlangt wird, deren unbekannte Größe die Conjunctionszeit ist. Diese Methode verdanken wir *Lagrange*, dessen Abhandlung darüber ^{*)} die Rechnung so entwickelt, daß die Zeit der Zusammenkunft in der Länge als unbekannte Größe erscheint; sie ist weniger angewandt worden als die frühere, allein ihr Einfluß ist über die Lehre von den Finsternissen weit hinausgegangen und hat den Aufgaben der Astronomie im Allgemeinen, eine neue Form gegeben. *Clausen* hat, in einem schönen, Astr. Nachr. Nr. 40 abgedruckten Aufsätze, die Zeit der kleinsten geometrischen Entfernung zur unbekannten Größe gewählt.

^{*)} *Astronomie* 6. 1777 etc.

^{**)} *Geogr. Ortsbestimmungen* S. 323 etc.

^{***)} *Astr. Jahrbuch* 1798. S. 128.

^{*)} *v. Zach Monatl. Corr.* B. XVIII. S. 528.

^{**)} *Astr. Jahrb.* 1782. S. 16.

2.

Man beabsichtigt, bei der Berechnung beobachteter Erscheinungen der hier betrachteten Art, die Erfindung, entweder der Verbesserungen der aus den astronomischen Tafeln genommenen Rechnungselemente, oder der Mittagsunterschiede der Beobachtungsörter. In Beziehung auf den letzten Zweck ist die erste Methode noch nicht vollständig entwickelt worden, indem die geocentrischen Entfernungen der Gestirne von dem Pole und ihre Horizontalparallaxen, zur Zeit der Beobachtung an einem Orte von unbekanntem Mittagsunterschiede, als bekannt vorausgesetzt werden, obgleich sie von dem Mittagsunterschiede abhängen. Von praktischer Erheblichkeit ist der hieraus entstehende Fehler nur, in sofern er von der Breite (oder Declination) des Mondes herrührt; allein er kann leicht verbessert werden. Berechnet man nämlich die aus der Rechnung hervorgehende Conjunctionszeit durch τ , und den Einfluss welchen eine Verbesserung (x) des in der Rechnung angenommenen Mittagsunterschiedes (d) auf dieselbe äußert, durch ax , so ist die wahre Conjunctionszeit $= \tau + ax$, die gleichgeltende Zeit des ersten Meridians $= \tau - d - x + ax$; diese, verglichen mit derselben, aus Beobachtungen an Oertern von bekannten Meridianen gefundenen Zeit τ' , giebt

$$x = \frac{\tau - d - \tau'}{1 - a},$$

oder den wahren Mittagsunterschied

$$d + x = \tau - \tau' + \frac{a}{1 - a} (\tau - d - \tau')$$

Wenn man, wie es gewöhnlich ist, den Einfluss der Veränderung Δd der Breite (oder Declination) auf die Conjunctionszeit berechnet hat, und ihn durch $m\Delta d$, die Veränderung von d in einer Zeiteinheit durch β bezeichnet, so ist $a = m\beta$. Man sieht hieraus, daß es, bei der gewöhnlichen Rechnungsart in Beziehung auf die Ekliptik, wo β bis zu $0^{\circ},055$ steigen kann, nicht selten vorkommen wird, daß das bisher vernachlässigte Glied den zehnten Theil des Fehlers des vorausgesetzten Mittagsunterschiedes beträgt; bei nahe centralen Bedeckungen ist diese Vernachlässigung unbedeutend; bei Vorübergehungen von kurzer Dauer kann sie das Resultat ganz täuschend machen.

Die zweite Methode setzt dagegen den Mittagsunterschied nicht als bekannt voraus, sondern bestimmt ihn durch Auflösung einer Gleichung, welche (allgemein genommen) durch aufeinanderfolgende Näherungen erlangt wird, deren erste selbst von einer beiläufigen Kenntniß des Mittagsunterschiedes befreit werden kann. Ich werde zeigen, daß dieser Vortheil der zweiten Methode vor der ersten, nicht ihr einziger ist, sondern daß sie auch durch leichtere Rechnung zum

Ziele führt. Dieses erlangt man, wenn man, außer den Verbesserungen der Rechnungselemente, nicht die Zeit der Zusammenkunft, sondern geradezu den Mittagsunterschied des Beobachtungsorts, zur unbekannten Größe wählt. In der That kann die Conjunctionszeit als eine Hülfgröße angesehen werden, deren Aufhebung nur in sofern ein Interesse hat, als sie ein Datum zur Bestimmung der Fehler der Tafeln gewährt; bestimmt man diese Fehler direct, ohne Dazwischenkunft der Conjunctionszeit, so wird ihre Kenntniß ganz überflüssig; will man sie dennoch erlangen, so hat dieses, nachdem der Fehler der Tafeln gefunden ist, keine Schwierigkeit.

3.

Zuerst werde ich die Gleichung für die äußere oder innere Berührung zweier kugelförmigen Gestirne allgemein und vollständig entwickeln. Die Bezeichnungen, welche ich anwenden werde, sind:

$a, d, p, AR, Decl.,$ horiz. Halbmesser des näheren Gestirns.

$A, D, R,$ dasselbe für das entferntere Gestirn.

$a', d', p', \}$ dieselben Größen, so wie sie am Beobachtungsorte erscheinen.

$\mu, \Phi' \dots$ AR. und Decl. des verbesserten Gestirns.

$\pi, \pi' \dots$ Aequalorel-Parallaxen beider Gestirne.

$\Delta, \Delta', r \dots$ Entfernungen beider Gestirne und des Erdmittelpunkts von dem Beobachtungsorte.

Ich habe hier die Bezeichnungen nach dem Aequator benannt; man kann sie aber eben sowohl nach der Ekliptik benennen; oder auch allgemeiner einen willkürlichen Punkt der Himmelskugel annehmen, den größten Kreis, dessen Pol er ist, für den Aequator, und einen willkürlichen Punkt in diesem größten Kreise für den Anfangspunkt der Rectascensionen substituiren. Es ist unnöthig für jede Annahme hierüber, die Rechnung besonders zu entwickeln, da sie für alle gleich ist.

Man hat bekanntlich:

$$\begin{aligned} \left. \begin{aligned} \Delta \cos \delta' \sin a' &= \cos \delta \sin a - r \cos \Phi' \sin \pi \sin \mu \\ \Delta \cos \delta' \cos a' &= \cos \delta \cos a - r \cos \Phi' \sin \pi \cos \mu \\ \Delta \sin \delta' &= \sin \delta - r \sin \Phi' \sin \pi \end{aligned} \right\} [1] \dots \\ \left. \begin{aligned} \Delta' \cos D' \sin A' &= \cos D \sin A - r \cos \Phi' \sin \pi' \sin \mu \\ \Delta' \cos D' \cos A' &= \cos D \cos A - r \cos \Phi' \sin \pi' \cos \mu \\ \Delta' \sin D' &= \sin D - r \sin \Phi' \sin \pi' \end{aligned} \right\} \end{aligned}$$

Berechnet man die ersten dieter drei Größen durch a, d, d' ; die anderen durch a', d', c' , so hat man unmittelbar

$$\Delta \Delta' [\cos \delta \cos D' \cos (a' - A') + \sin \delta' \sin D'] = aa' + dd' + c'c'$$

und da der in $\Delta\delta'$ multiplicirte Ausdruck der Cosinus der scheinbaren Entfernung der Mittelpunkte (Σ) ist,

$$\Delta\delta' \cos \Sigma = aa' + bb' + cc'.$$

Für den Anfang und das Ende der Finsternis ist aber

$$\Sigma = p' \pm R',$$

wo das obere Zeichen einer äußeren, das untere einer inneren Berührung der Ränder zugehört, also ist auch

$$\Delta\delta' \cos \Sigma = \Delta\delta' \cos p' \cos R' \mp \Delta\delta' \sin p' \sin R',$$

woraus, verbunden mit

$$\Delta \sin p' = \sin p, \quad \Delta \sin R' = \sin R, \quad \Delta \delta' \cos R' = \sqrt{(a^2 + b^2 + c^2 - \sin^2 p)}$$

$$\Delta \delta' \sin R' = \sin R, \quad \Delta \delta' \cos R' = \sqrt{(a'^2 + b'^2 + c'^2 - \sin^2 R')}$$

der Ausdruck

$$\Delta\delta' \cos \Sigma = \sqrt{(aa' + bb' + cc' - \sin^2 p)} \sqrt{(a'^2 + b'^2 + c'^2 - \sin^2 R')}$$

$$\mp \sin p \sin R$$

folgt. Setzt man dieses $= aa' + bb' + cc'$ und schafft man die Quadratwurzeln weg, so erhält man

$$(aa' + bb' + cc') (a'^2 + b'^2 + c'^2) - (a^2 + b^2 + c^2) =$$

$$\sin^2 p (a'^2 + b'^2 + c'^2) + \sin^2 R (a^2 + b^2 + c^2)$$

$$\pm 2 \sin p \sin R (aa' + bb' + cc')$$

oder, nach einer leichten Umformung,

$$[2] \dots (ab' - a'b)^2 + (ac' - a'e)^2 + (b'e - b'c)^2 =$$

$$(a' \sin p \pm a \sin R)^2 + (b' \sin p \pm b \sin R)^2 + (c' \sin p \pm c \sin R)^2.$$

Diese Gleichung ist die eigentliche Grundlage der Analyse der Finsternisse; sie ist nämlich ganz entwickelt, indem die Größen, welche sie enthält, sich nur auf den Mittelpunkt der Erde beziehen. Sie ist übrigens unzähliger Umformungen fähig, indem entweder die Lage des Pols und des Anfangspunkts der Winkel an denselben, willkürlich angenommen, oder auch die Summe dreier Quadrate.

$$ee + ff + gg$$

in die Summe dreier anderen Quadrate

$$(e \cos u + f \sin u \cos v - g \sin u \sin v)^2$$

$$+ (e \sin u - f \cos u \cos v + g \cos u \sin v)^2$$

$$+ (f \sin v + g \cos v)^2,$$

unter willkürlicher Annahme von u und v , umgeformt werden kann.

4.

Der einfachste Fall einer Finsternis ist der wo $\pi' = 0$ und $R = 0$ sind, oder wo das verfinsterte Gestirn unendlich entfernt ist und sich als ein Punkt darstellt, d. i. der Fall der Bedeckung eines Fixsterns. Ich werde diesen Fall zuerst weiter aufsuchen, und dabei die 5^{te} Gleichung meines früheren Aufsatzes (A. N. Nr. 145) zum Grunde legen. Man erhält dieselbe aus der allgemeinen Gleichung [2], entweder wenn man den Pol, worauf $\delta, D \dots$ sich beziehen, in den

Declinationskreis des Fixsterns, 90° von demselben entfernt, verlegt und die Winkel an diesem Pole von dem Sterne anrechnet, oder wenn man für die willkürlichen u und v im vorigen Artikel, D und A schreibt. Das letzte Mittel giebt unmittelbar, d. i. ohne Zwischenkunft der Formeln der sphärischen Trigonometrie,

$$\sin p^2 = [\cos \delta \sin (\mu - A) - r \cos \Phi' \sin \mu \sin (\mu - A)]^2$$

$$+ [\sin \delta \cos D - \cos \delta \sin D \cos (\mu - A)$$

$$- r \sin \pi (\sin \Phi' \cos D - \cos \Phi' \sin D \cos (\mu - A))]^2$$

und wenn man $\sin p = k \sin \pi$ setzt (nach Burckhardts Tafeln ist $k = 0,7275$)

$$[3] \dots kk = \left[\frac{\cos \delta \sin (\mu - A)}{\sin \pi} - r \cos \Phi' \sin (\mu - A) \right]^2$$

$$+ \left[\frac{\sin \delta \cos D - \cos \delta \sin D \cos (\mu - A)}{\sin \pi} \right.$$

$$\left. - r (\sin \Phi' \cos D - \cos \Phi' \sin D \cos (\mu - A)) \right]^2$$

Die einzelnen Theile dieser Gleichung, in der Reihe wie sie hier aufeinanderfolgen, welche ich, der Kürze wegen, durch P, u, Q, v bezeichnen, oder die Gleichung, im Folgenden,

$$kk = (P - u)^2 + (Q - v)^2$$

schreiben.

Die Polhöhe des Beobachtungsorts wird jedesmal als gegeben angenommen; die gerade Aufsteigung des Zeniths μ , ist durch die Beobachtung der Sternzeit des Eintritts oder Austritts gleichfalls gegeben, so wie auch der Ort des Sterns als gegeben angenommen wird. Allein der Ort des Mondes, α, δ , seine Parallaxe π , das Verhältniß des Aequatoralhalbmessers der Erde zum Halbmesser des Mondes k , und das Quadrat der Excentricität der Erdmeridiane ee , werden nicht geradezu als bekannt angenommen, sondern es werden den vorausgesetzten Werthen derselben Verbesserungen hinzugefügt, so daß $\alpha + \Delta\alpha, \delta + \Delta\delta, \dots$ die wahren Werthe bezeichnen. Nimmt man diese Verbesserungen so klein an, daß man ihre Quadrate, Producte u. s. w., in den Aenderungen, welche $P - u$ und $Q - v$ dadurch erfahren, vernachlässigen kann, so kommt es darauf an, aus der Gleichung

$$[4] \dots (k + \Delta k)^2 = [P - u + \alpha \cdot \Delta\alpha + b \cdot \Delta\delta + c \cdot \Delta\pi + d \cdot \Delta ee]^2$$

$$+ [Q - v + \alpha' \cdot \Delta\alpha + b' \cdot \Delta\delta + c' \cdot \Delta\pi + d' \cdot \Delta ee]^2$$

die Zeit des ersten Meridians, welche der Beobachtungszeit gleichgilt, oder wenn die letztere durch t bezeichnet wird, $t - d$, abhängig von $\Delta\alpha, \Delta\delta, \dots$ zu bestimmen, oder, mit anderen Worten, die Relation zwischen $d, \Delta\alpha, \Delta\delta, \dots$ zu finden, welche aus der Beobachtung folgt. Die Coefficienten $\alpha, b, \dots, \alpha', b', \dots$ sind die Differentialquotienten von $P - u$ und $Q - v$ in Beziehung auf die Rechnungsgrößen α, δ, \dots

5.

Ich werde die gesuchte Zeit des ersten Meridians, nämlich des Meridians, dessen Zeit der Berechnung von $\alpha, \delta \dots$ zum Grunde liegt, aus zwei Theilen $T + T'$ zusammengesetzt, und

$$P = p + p' T'; \quad Q = q + q' T'$$

annehmen, wo also p und q die Werthe von P und Q für die Zeit T bezeichnen. Aenderten sich P und Q der Zeit proportional, so würden p' und q' beständige Größen seyn; in der Wirklichkeit aber hängen sie von den zweiten und höheren Differenzen von P und Q ab, welche jedoch, wenn T' nicht größer ist als einige Stunden, nur einen kleinen Einfluss erhalten, der, verglichen mit den Aenderungen von P und Q selbst, als eine Größe einer höheren Ordnung angesehen werden kann. Hierauf beruht die Auflösung der Gleichung [4] durch aufeinanderfolgende, schnell zur Wahrheit convergirende Annäherungen.

Führt man, statt der Verbesserungen der Elemente, zwei neue, davon abhängige Größen i' und i'' ein, so daß

$$p' \cdot i - q' \cdot i' = a \cdot \Delta \alpha + b \cdot \Delta \delta + c \cdot \Delta \pi + d \cdot \Delta \omega$$

$$q' \cdot i + q' \cdot i' = a' \cdot \Delta \alpha + b' \cdot \Delta \delta + c' \cdot \Delta \pi + d' \cdot \Delta \omega$$

ist, und ferner

$$m \sin M = p - u \quad n \sin N = p'$$

$$m \cos M = q - u \quad n \cos N = q',$$

so verwandelt sich die Gleichung [4] in

$$(t + \Delta t)^2 = [m \cos(M - N) + n(T' + i)]^2 + [m \sin(M - N) - n \cdot i']^2,$$

und ergiebt, wenn man die Quadrate von i' und Δk vernachlässigt, und den Hülfswinkel ψ einführt, so daß

$$k \cos \psi = m \sin(M - N)$$

ist,

$$T' = -\frac{m \cos(M - N + \psi)}{n \cos \psi} - i \mp \frac{i'}{\tan \psi} \mp \frac{\Delta k}{n \sin \psi}$$

wo, wenn $\psi < 180^\circ$ genommen wird, das obere Zeichen für einen Eintritt, das untere für einen Austritt gilt; es ist aber bequemer, die doppelten Zeichen wegzulassen, und dagegen die Unbestimmtheit, welche in der Erfindung von ψ durch seinen Cosinus übrig bleibt, der Regel zu unterwerfen, daß dieser Winkel in den beiden ersten Quadranten genommen wird, wenn die Beobachtung ein Eintritt, in den beiden letzten, wenn ein Austritt ist. Wenn diese Regel befolgt wird, so ist, für beide Fälle.

$$[5] \dots T' = -\frac{m \cos(M - N + \psi)}{n \cos \psi} - i - \frac{i'}{\tan \psi} - \frac{\Delta k}{n \sin \psi}$$

Um diese Auflösung anzuwenden, setzt man zuerst T' und dadurch p' und q' , so nahe es die vorhandene Kenntniß des

Mittagsunterschiedes des Beobachtungsortes erlaubt, voraus; die hiermit erhaltene genähere Bestimmung von T' legt man einer zweiten Annäherung zum Grunde u. s. w. — Der Vollständigkeit der Methode wegen bemerke ich aber, daß man keine näherungsweise Kenntniß des Mittagsunterschiedes voraussetzen braucht, sondern anfänglich für T die ungefähre Zeit der geocentrischen Conjunction, welche die Tafeln ergeben, setzen kann, indem diese mit der gemachten Voraussetzung der Convergenz der Rechnung zur Wahrheit, in jedem Falle vereinbar ist.

Hat man T' gefunden, so ist $T + T' =$ der Beobachtungszeit weniger dem, östlich positiv genommenen, Mittagsunterschiede $= t - d$, also $d = t - T - T'$, oder

$$[6] \dots d = t - T + \frac{m}{n} \cdot \frac{\cos(M - N - \psi)}{\cos \psi} + i + \frac{i'}{\tan \psi} + \frac{\Delta k}{n \sin \psi}$$

6.

Ich werde nun die Rechnung, welche die Anwendung dieser Methode erfordert, weiter ausführen. Obgleich sie schnell zum Resultate convergirt, wenn T' auch einige Stunden betrügt, so ist sie doch desto bequemer, je kleiner T' ist; denn theils kömmt die Convergenz ihrem Maximo desto näher, je kleiner T' ist, theils wird ein kleineres T' mit größerer Annäherung aus seinem Logarithmen gefunden, als ein größeres. Es ist daher zweckmäßig, für T eine Zeit anzunehmen, welche dem Mittel der Zeiten der zu berechnenden Beobachtungen so nahe kömmt, als dieses in den Zehnern der Zeitminuten, oder überhaupt solchen Theilen des Tages geschehen kann, für welche die Berechnung von α, δ, π aus den Tafeln oder Ephemeriden, leichter ist, als für größer benannte Theile. Die Zeitart, in welcher T angenommen wird, ist die, für welche α, δ, π am leichtesten gefunden werden können, also mittlere Zeit, wenn man unmittelbar aus den Tafeln, oder dem, dieselben vollkommen ersetzenden Jahrbuche von *Encke* rechnen, dagegen wahre Zeit wenn man die Ephemeriden des Mondes in der *Connaissance des Temps*, oder dem *Nautical Almanac* anwenden will.

Für die Zeiten $\dots T = 2^h, T = 1^h, T, T = 1^h, T = 2^h \dots$ berechnet man α, δ, π *) und hiermit die Werthe von

*) Es würde, für verschiedene Zwecke, bequemer seyn, wenn eine logarithmische Interpolationstafel, der ähnlich welche ich A. N. Nr. 145 gegeben habe, allein für alle Zehner der Minuten berechnet, in den Sammlungen astronomischer Hülftafeln, abgedruckt würde. Dieselbe Tafel könnte zugleich die Differentialquotienten der Coefficienten (A. N. Nr. 33.) enthalten.

P und Q für dieselben Zeiten; so daß man folgendes Schema derselben und ihrer Differenzen erhält:

$T-2$	a''	b''	c''	d''	e''
$T-1$	a'	b'	c'	d'	e'
T	a	b	c	d	e
$T+1$	a'	b'	c'	d'	e'
$T+2$	a''	b''	c''	d''	e''

Wenn man hier $2b = b + b'$, $2d = d + d'$... setzt, so werden P und Q , oder auch die Theile, woraus sie zusammengesetzt sind, nämlich p , p' , q , q' , von T' und a , b , c ... abhängig; die Formeln, wodurch sie ausgedrückt werden, werde ich, so wie ihr Gebrauch notwendig wird, angeben.

Auf diese Art werden p' und q' so gefunden, daß ihnen die Stunde als Zeiteinheit zum Grunde liegt; die Formeln [5] und [6] setzen daher dieselbe Zeiteinheit voraus. Allein es ist bequemer, d in Zeitskunden auszudrücken. Dieses erlangt man, wenn man die 6^{te} Formel mit der, der hier angenommenen Stunde gleichgeltenden Anzahl von Sekunden derjenigen Zeitart multiplicirt, in welcher die Beobachtung angegeben ist, welche Anzahl ich allgemein durch s bezeichnen werde. $t - T$ wird dadurch in Sekunden derselben Zeitart ausgedrückt, oder T bezeichnet nun die mit t gleichmäÙig angegebene Zeit, für welche a , b , c ... berechnet worden sind. Es ist also nicht notwendig, die von den Beobachtern angegebenen Zeiten, in die Zeitart, wozu man T angenommen hat, zu verwandeln; vielmehr verfährt man umgekehrt; wodurch man sowohl eine kleine Mühe erspart, als auch den Vortheil erlangt, die Mittagsunterschiede der Beobachtungsorte, selbst bei den Zeitverwandlungen, nicht als bekannt voraussetzen zu dürfen. Der Vollständigkeit wegen bemerke ich hier, daß, indem die Sternzeit, wovon das in u und v vorkommende μ abhängt, für eine in Sonnenzeit angegebene Beobachtung unter einem ganz unbekannten Meridiane, nicht eher gefunden werden kann als bis der Mittagsunterschied bekannt ist, es nöthig wird, an u und v kleine Verbesserungen von der Form $u'T'$ und $v'T'$ anzubringen. Dadurch führt die Methode, auch in diesem Falle, direct zum Resultate; allein es wird unnöthig sein, dieses weiter auszuführen, da es kaum ein praktisches Interesse haben kann.

7.

Die Berechnung der Beobachtungen einer Sternbedeckung kann man, nach der im vorigen Artikel gemachten Vorarbeit, auf zwei Arten führen. Die erste setzt voraus, daß man, für alle zu berechnenden Beobachtungen, denselben Werth von T anwendet, wodurch p und q dem Werthe a ,

in dem gegebenen Schema; entsprechen. Unter dieser Annahme erhält man die zu T und T' gehörigen Werthe von P und Q , nach der Formel

$$[7] \dots a + T'b + \frac{T'^2}{2} \cdot c + \frac{T'^3}{2 \cdot 3} \cdot d + \frac{T'^4}{2 \cdot 3 \cdot 4} \cdot e + \text{etc.}$$

also p' und q' nach der Formel

$$[8] \dots b + \frac{T'}{2} \cdot c + \frac{T'^2 - 1}{2 \cdot 3} \cdot d + \frac{T' \cdot T'^2 - 1}{2 \cdot 3 \cdot 4} \cdot e + \text{etc.}$$

wodurch N und $\log N$ gefunden werden. Hat man indessen mehrere Beobachtungen zugleich zu berechnen, so ist es bequemer die Werthe von N und $\log N$, ein für allemal, für verschiedene Werthe von T' zu suchen; man findet sie indem man für $N \sin N$ und $N \cos N$ die Ausdrücke

$$\begin{aligned} \text{für } T' &= -2 \dots b - c + \frac{1}{2} d - \frac{1}{6} e \\ &= -1 \dots b - \frac{1}{2} c \\ &= 0 \dots b - \frac{1}{6} d \\ &= +1 \dots b + \frac{1}{2} c \\ &= +2 \dots b + c + \frac{1}{2} d + \frac{1}{6} e \end{aligned}$$

setzt. Für jede einzelne Beobachtung ist dann M und $\log M$, nach den Formeln

$$\begin{aligned} m \sin M &= p - u \\ m \cos M &= q - v \end{aligned}$$

zu berechnen, in welchen p und q die schon bekannten Werthe von P und Q für die Zeit T sind: endlich ist die 6^{te} Formel zu berechnen. Eine zweite Annäherung ist nicht nöthig, wenn das der ersten zum Grunde gelegte $T' = t - T - d$, oder der vorausgesetzte Mittagsunterschied, bis auf einige Zeitminuten richtig ist, was immer angenommen werden kann. Sie würde übrigens wenig nützlich sein, da sie nur in der 6^{ten} Formel eine Aenderung hervorbringt.

Die zweite Art die Rechnung zu führen, besteht darin, daß man aus den für T , $T' \mp 1$, etc. berechneten Werthen von P und Q , diejenigen Werthe dieser Größen durch Interpolation [7] bestimmt, welche zu der, durch einen vorausgesetzten Mittagsunterschied, auf den ersten Meridian reducirten Beobachtungszeit gehören, diese für p und q , und ihre Differentialquotienten für p' und q' annimmt. Die letzteren finden sich nach der Formel

$$[9] \dots b + T' \cdot c + \frac{3T'^2 - 1}{2 \cdot 3} \cdot d + \frac{2T'^3 - T'}{3 \cdot 4} \cdot e + \text{etc.} \dots$$

durch deren Anwendung man also N und $\log N$ erhält. Zieht man auch hier vor, N und $\log N$ ein für allemal zu suchen und bei der Anwendung zwischen ihren gefundenen Werthen zu interpoliren, so erhält man sie aus den Ausdrücken für $N \sin N$ und $N \cos N$,

$$\begin{aligned} \text{für } T' &= -2 \dots b - 2c + \frac{1}{2}d - \frac{7}{8}e \\ &= -1 \dots b - c + \frac{1}{2}d - \frac{1}{16}e \\ &= 0 \dots b - \frac{1}{2}d \\ &= +1 \dots b + c + \frac{1}{2}d + \frac{1}{16}e \\ &= +2 \dots b + 2c + \frac{1}{2}d + \frac{7}{8}e \end{aligned}$$

Der übrige Theil der Rechnung ist wie vorher.

Diese zweite Art der Rechnung setzt also die Bestimmung von p und q durch Interpolation voraus, während die erste von immer gleichbleibenden Werthen derselben ausgeht. Dagegen gewährt sie den Vortheil, daß das Glied [6]

$$\frac{m \cos(M - N - \Psi)}{n \cos \Psi}$$

welches nun die Verbesserung des angenommenen Mittagsunterschiedes ist, und daher gewöhnlich sehr klein sein wird, etwas leichter berechnet werden kann; auch ist ihre Convergenz zur Wahrheit die größtmögliche, und der Fehler der ersten Annäherung besteht nur darin, daß die Bewegung des Mondes während des Zeitunterschiedes zwischen dem vorausgesetzten und dem wahren Meridiane, so angenommen ist, wie sie am Anfange oder Ende dieses Zeitunterschiedes ist, während sie für die Mitte desselben genommen werden sollte. Für die europäischen Sternwarten, deren Meridiane sehr nahe bekannt sind, könnte man sogar das Quadrat von $n(T'' + 1)$ vernachlässigen und dadurch die aufzulösende Gleichung auf den ersten Grad reduciren. Allein alle diese Vorzüge der zweiten Rechnungsart scheinen mir unbedeutend zu sein und die Mühe der Interpolation für p und q nicht aufzuwiegen. Ich ziehe daher die erste vor. Bei der Anwendung dieser Vorschriften wird man übrigens die Interpolationen nie über die zweiten Differenzen hinaus, fortsetzen dürfen, also auch mit drei berechneten Werthen von P und Q ausreichen.

8.

Die vorgetragene Methode kann, nach dem Gutdünken des Rechners, so angewandt werden, daß α, δ, \dots sich entweder auf den Aequator oder auf die Ekliptik beziehen.

$$[10] \dots \begin{cases} p' = \left(\frac{\cos \delta \cos(\alpha - A)}{w \sin \pi} \cdot \frac{d\alpha}{dt} - \frac{\sin \delta \sin(\alpha - A)}{w \sin \pi} \cdot \frac{d\delta}{dt} - \frac{p}{w \tan \pi} \cdot \frac{d\pi}{dt} \right) \\ q' = \left(\frac{\cos \delta \sin D \sin(\alpha - A)}{w \sin \pi} \cdot \frac{d\alpha}{dt} + \frac{\cos \delta \cos D + \sin \delta \sin D \cos(\alpha - A)}{w \sin \pi} \cdot \frac{d\delta}{dt} - \frac{q}{w \tan \pi} \cdot \frac{d\pi}{dt} \right) \end{cases}$$

in welchem $\frac{da}{dt}, \frac{d\delta}{dt}, \frac{d\pi}{dt}$ die stündlichen Bewegungen und w den Radius des Kreises in Secunden ausgedrückt bedeuten, berechnet.

Im Resultate der Rechnung kommt nichts vor, was auf einen dieser größten Kreise sich bezöge, und sie dienen, im Laufe derselben, nur als Mittel, die Lage der in Betracht kommenden Punkte der Himmelskugel anzugeben. Das erstere ist indessen immer leichter, wenn man die Oerter des Mondes, in Beziehung auf den Aequator, in einer Ephemeride berechnet findet; auch wenn dieses nicht ist, allein mehrere Beobachtungen zugleich zu berechnen sind. Allein wenn wenige Beobachtungen vorhanden sind, und man die Oerter des Mondes aus den Tafeln selbst, oder aus einer Ephemeride für Längen und Breiten nehmen muß, so wird die Vorarbeit, welche die Anwendung des Aequators erfordert, mühsamer als die Aufsuchung der Länge und Breite des Zeniths. Die Ekliptik verdient dann den Vorzug. — Die Tafeln geben Länge, Breite und Parallaxe des Mondes für die Zeit T , und auch ihre Veränderungen für die vorhergehende und die folgende Stunde; dadurch hat man drei Längen und Breiten, welche, wenn man den Aequator anwenden will, in Geradaufsteigung und Abweichung verwandelt werden müßten. Diese Verwandlung erspart man, wenn man mit Längen und Breiten rechnet; dagegen erspart man, wenn man mit Rectascensionen und Declinationen rechnet, die Berechnung der Längen und Breiten des Sterns und des Zeniths. Wenn daher, im Falle die Oerter des Mondes für den Aequator unbekannt sind, nur zwei oder drei Beobachtungen berechnet werden sollen, so scheint die Ekliptik den Vorzug zu verdienen.

Wenn eine einzelne Beobachtung mit den Ephemeriden oder Tafeln verglichen werden soll, so ist es vorteilhafter, p' und q' aus den stündlichen Veränderungen von α, δ, π zu berechnen, als sie aus drei Werthen von P und Q abzuleiten. In diesem Falle verfährt man am vorteilhaftesten, wenn man für T , die mittelst eines vorläufig bekannten Näherungswerthes des Mittagsunterschiedes auf den ersten Meridian reducirte Beobachtungszeit annimmt, und für diese Zeit P und Q , so wie auch ihre Differentialquotienten p' und q' , nach den Formeln

9.

Es ist noch nöthig, den von den Verbesserungen der Rechnungselemente abhängigen Theil der 6ten Formel weiter zu entwickeln. Die vorgetragene Methode ergibt nicht

sowohl den Mittagsunterschied des Beobachtungsortes, als die Relation zwischen denselben und den Rechnungselementen, und die Vergleichung mehrerer Beobachtungen untereinander, besteht darin, daß man aus den für sie stattfindenden Relationen dieser Art, eins oder mehrere der Rechnungselemente eliminiert, und dadurch das Resultat von den Tafeln, zum Theil oder ganz unabhängig macht.

Im 5^{ten} Art. sind i und i' so angenommen, daß man hat:

$$\begin{aligned} p'i - q'i' &= a \cdot \Delta x + b \cdot \Delta \delta + c \cdot \Delta \tau + d \cdot \Delta \epsilon \\ q'i + p'i' &= a' \cdot \Delta x + b' \cdot \Delta \delta + c' \cdot \Delta \tau + d' \cdot \Delta \epsilon \end{aligned}$$

Hier sind $\Delta x, \Delta \delta \dots$ in Theilen des Radius angenommen, müssen also, wenn sie Secunden bedeuten sollen, durch $\omega = 206265$ dividirt werden. Die Coefficienten $a, b \dots a', b' \dots$ sind die Differentialquotienten von $P-u$ und $Q-v$, in Beziehung auf $x, \delta, \tau, \epsilon$; wenn man in ihren Ausdrücken die kleinen Größen von der Ordnung $\alpha - A$ und $\delta - D$

$$\begin{aligned} i &= h \sin N \cdot \cos \delta \Delta x + h \cos N \cdot \Delta \delta - h \cos \pi \Delta \tau [P \sin N + Q \cos N] - h \omega \sin \pi \cdot \Delta \epsilon \left[\frac{d u}{d \delta} \sin N + \frac{d v}{d \epsilon} \cos N \right] \\ i' &= -h \cos N \cdot \cos \delta \Delta x + h \sin N \cdot \Delta \delta + h \cos \pi \Delta \tau [P \cos N - Q \sin N] + h \omega \sin \pi \cdot \Delta \epsilon \left[\frac{d u}{d \delta} \cos N - \frac{d v}{d \epsilon} \sin N \right] \end{aligned}$$

Hieraus folgt

$$\begin{aligned} \left(i + \frac{i'}{\tan \psi} \right) \frac{\sin \psi}{h} &= -\cos(N+\psi) \cdot \cos \delta \Delta x + \sin(N+\psi) \Delta \delta + \cos \pi \Delta \tau [P \cos(N+\psi) - Q \sin(N+\psi)] \\ &\quad + \omega \sin \pi \cdot \Delta \epsilon \left[\frac{d u}{d \delta} \cos(N+\psi) - \frac{d v}{d \epsilon} \sin(N+\psi) \right] \end{aligned}$$

Indessen kann der von $\Delta \tau$ abhängige Theil dieses Ausdrucks unter eine leichter zu überschende Form gebracht, und der von $\Delta \epsilon$ abhängige weiter entwickelt werden. Schreibt man, in dem erstenen, $p+n \sin N \cdot T'$ und $q+n \cos N \cdot T'$ für P und Q , so wird er

$$\begin{aligned} &\cos \pi \Delta \tau [p \cos(N+\psi) - q \sin(N+\psi) - n T' \sin \psi] \\ &= \cos \pi \Delta \tau [(p \cos N - q \sin N) \cos \psi - (p \sin N + q \cos N + n T') \sin \psi] \end{aligned}$$

und wenn man

$$\begin{aligned} \kappa &= q \sin N - p \cos N \\ n \tau &= n T' - p \sin N - q \cos N \end{aligned}$$

und für T' seinen Ausdruck $\frac{t-d-r}{s}$ setzt

$$= -\cos \pi \Delta \tau [\kappa \cos \psi + \frac{n}{s} (t-d-r) \sin \psi]$$

Man bemerkt übrigens leicht, daß $\kappa \omega \sin \pi$ die kleinste Entfernung der wahren Mondshahn von dem Sterne, positiv wenn der Mond nördlich, negativ wenn er südlich vorübergeht, und τ die Zeit der nächsten Zusammenkunft, nach dem ersten Meridian gerechnet, ist.

Die Entwicklung des Einflusses von $\Delta \epsilon$ hängt von den Differentialquotienten der in u und v enthaltenen Quan-

ternachlässigt, was, wegen der Kleinheit von $\Delta \epsilon, \Delta \delta \dots$ keinen erheblichen Fehler erzeugt, so werden sie sehr einfach, nämlich

$$\begin{aligned} a &= \frac{\cos \delta}{\sin \pi}, & a' &= 0 \\ b &= 0, & b' &= \frac{1}{\sin \pi} \\ c &= -\frac{p}{\tan \pi}, & c' &= -\frac{Q}{\tan \pi} \\ d &= -\frac{q}{d \cdot \epsilon}, & d' &= -\frac{d v}{d \cdot \epsilon} \end{aligned}$$

Nimmt man diese Ausdrücke an, schreibt man $n \sin N$ und $n \cos N$ für p' und q' , und h für $\frac{\omega}{u \sin \pi}$, wo ϵ die Anzahl Secunden bedeutet, welche der p' und q' zum Grunde liegenden Stunde gleichgilt (Art. 6), so erhält man

thütten $r \cos \Phi'$ und $r \sin \Phi'$, in Beziehung auf ϵ ab. Allein diese Quantitäten haben verschiedene Ausdrücke durch ϵ und die beobachtete Polhöhe ϕ , je nachdem man unter Φ' die Declination oder die Breite des Zeniths versteht; es wird daher nöthig die Formeln, welche in beiden Fällen anzuwenden sind, abgesondert aufzusuchen, während alle früheren für beide Fälle zugleich gelten. Ich fange mit dem Falle an, wo Φ' die Declination bedeutet.

Man hat in diesem Falle,

$$r \cos \Phi' = \frac{\cos \phi}{\sqrt{(1-\epsilon \sin \phi)^2}}; \quad r \sin \Phi' = \frac{(1-\epsilon \epsilon) \sin \phi}{\sqrt{(1-\epsilon \epsilon \sin \phi)^2}}$$

woraus folgt

$$\begin{aligned} \frac{d \cdot r \cos \Phi'}{d \cdot \epsilon} &= r \cos \Phi' \cdot \frac{r r \sin \phi^3}{2(1-\epsilon \epsilon)^3} \\ \frac{d \cdot r \sin \Phi'}{d \cdot \epsilon} &= r \sin \Phi' \cdot \frac{r r \sin \phi^3}{2(1-\epsilon \epsilon)^3} - \frac{r \sin \phi'}{1-\epsilon \epsilon} \end{aligned}$$

oder, wenn man

$$\beta = \frac{r \sin \phi'}{1-\epsilon \epsilon}$$

setzt,

$$\frac{d.r \cos \Phi'}{d.\pi} = \frac{1}{2} \beta \beta' . r \cos \Phi'$$

$$\frac{d.r \sin \Phi'}{d.\pi} = \frac{1}{2} \beta \beta' . r \sin \Phi' - \beta.$$

Da aber u und ν die Ausdrücke

$$u = r \cos \Phi' . \sin(\mu - A)$$

$$\nu = r \sin \Phi' \cos D - r \cos \Phi' \sin D \cos(\mu - A)$$

haben, so erhält man hieraus

$$\frac{du}{d\pi} = \frac{1}{2} \beta \beta' . u$$

$$\frac{d\nu}{d\pi} = \frac{1}{2} \beta \beta' . \nu - \beta \cos D$$

und ferner den von $\Delta \pi$ abhängigen Theil

$$= u \sin \pi . \Delta \pi \left[\frac{1}{2} \beta \beta' (u \cos(N+\psi) - \nu \sin(N+\psi)) + \beta \cos D \sin(N+\psi) \right]$$

Den in $\frac{1}{2} \beta \beta'$ multiplicirten Theil dieses Ausdrucks kann man

$$P \cos(N+\psi) - Q \sin(N+\psi) - (P-u) \cos(N+\psi) + (Q-\nu) \sin(N+\psi)$$

schreiben, und für $P-u$ und $Q-\nu$ ihre Ausdrücke

$$m \sin M + n \sin N . T' \text{ und } m \cos M + n \cos N . T'$$

setzen, wodurch

$$(P-u) \cos(N+\psi) - (Q-\nu) \sin(N+\psi) = m \sin(M-N-\psi) - n T' \sin \psi$$

Wird, und wenn man [5]

$$- \frac{m \cos(M-N-\psi)}{n \cos \psi}$$

für T' schreibt, sich in

$$\frac{m \sin(M-N)}{\cos \psi} = k$$

verwandelt. Wendet man überdies die oben schon gemachte Umformung von $P \cos(N+\psi) - Q \sin(N+\psi)$ auch hier

an, so hat man damit den von $\Delta \pi$ abhängigen Theil des Ausdrucks:

$$= -u \sin \pi . \Delta \pi \left[\frac{1}{2} \beta \beta' [u \cos \psi + \frac{n}{s} (\pi - d - \tau) \sin \psi - k] - \beta \cos D \sin(N+\psi) \right]$$

Ich werde nun annehmen, daß Φ' die Breite und μ die Länge des Zeniths bedeute, D und A die Länge und Breite des Sterns; die gerade Aufsteigung und Abweichung des Zeniths aber werde ich durch (μ) und (Φ') bezeichnen, die Schiefe der Ediptik durch π . Man erhält dadurch

$$\sin \Phi' = \sin(\Phi') \cos \pi - \cos(\Phi') \sin(\mu) \sin \pi$$

$$\cos \Phi' \sin \mu' = \sin(\Phi') \sin \pi + \cos(\Phi') \sin(\mu) \cos \pi$$

$$\cos \Phi' \cos \mu = \cos(\Phi') \cos(\mu),$$

woraus die Ausdrücke von u und ν durch (Φ') und (μ) folgen:

$$u = r \sin(\Phi') . \sin \pi \cos A + r \cos(\Phi') [\cos A \sin(\mu) \cos \pi - \sin A \cos(\mu)]$$

$$\nu = r \sin(\Phi') . [\cos D \cos \pi - \sin D \sin \pi \sin A]$$

$$- r \cos(\Phi') [\sin(\mu) (\cos D \sin \pi + \sin D \cos \pi \sin A) \cos(\mu) \sin D \cos A]$$

Die oben gegebenen Differentialquotienten von $r \cos(\Phi')$ und $r \sin(\Phi')$ ergeben also, wenn β die obige Bedeutung behält,

$$\frac{du}{d\pi} = \frac{1}{2} \beta \beta' . u - \beta . \sin \pi \cos A$$

$$\frac{d\nu}{d\pi} = \frac{1}{2} \beta \beta' . \nu - \beta (\cos D \cos \pi - \sin D \sin \pi \sin A)$$

Man hat also, wenn man mit Längen und Breiten rechnet und $N+\psi$ sich auf diese bezieht, den Einfluß von $\Delta \pi$

$$= -u \sin \pi . \Delta \pi \left\{ \frac{1}{2} \beta \beta' [u \cos \psi + \frac{n}{s} (\pi - d - \tau) \sin \psi - k] + \beta \sin \pi \cos A \cos(N+\psi) - \beta (\cos D \cos \pi - \sin D \sin \pi \sin A) \sin(N+\psi) \right\}$$

(Der Beschlufs folgt.)

B e r i c h t i g u n g e n .

Astr. Nachr. Nr. 148. pag. 50. Zeile 9 von oben lese man: Form statt Ferne
 ——— 150. — 119. — 4 bei Jan. 6. 1" 8 — 4" 1.

I n h a l t .

- Nr. 150. Auszug aus einem Schreiben des Herrn Dr. und Ritters *Obers* an den Herausgeber. p. 105. — Auszug aus einem Briefe des Herrn Dr. und Ritters *Obers* an den Herausgeber. p. 105. — Astron. Beobachtungen angestellt auf dem Schlosse Ober-
 Castell, Kanton Thurgau in der Schweiz. Von Herrn Oberst-Lieutenant v. *Scherer*. p. 107. — The five occultations of *Alde-*
baran (α Tauri) by the moon in the year 1829 etc. p. 111. — Notizen über den 1829 am 6ten Februar von *Pons* entdeckten
 Cometen. p. 113. — *Dunkels* Verzeichniß von Doppelsternen. p. 113. — Saturnring. p. 113. — Einzelne Beobach-
 tungen. p. 115. — Beobachtungen des *Zwischen* Cometen von Herrn Prof. *Encke* in Berlin. p. 115. — Gang eines Chro-
 nometers von Herrn *Kessels*. p. 117. — Nachrichten. p. 119.
 Nr. 51. Beiträge zur Theorie der Finsternisse und den Berechnungs-Methoden derselben. Von Herrn Professor und Ritter
Bessel. pag. 117.

Altons im Januar 1829.

Beiträge zur Theorie der Finsternisse und den Berechnungs-Methoden derselben.

Von Herrn Professor und Ritter *Bessel*.

(Beschluß.)

10.

Alle von $\Delta x, \Delta \delta \dots$ abhängige Theile zusammengenommen ergeben die vollständig entwickelte 6^{te} Formel

$$\begin{aligned}
 [11] \dots d = t - T + & \frac{ms \cos(M - N - \psi)}{n \cos \psi} \\
 & - h \cdot \frac{\cos(N + \psi)}{\sin \psi} \cdot \cos \delta \Delta x \\
 & + h \cdot \frac{\sin(N + \psi)}{\sin \psi} \cdot \Delta \delta \\
 & + h \cdot \frac{1}{\sin \psi} \cdot w \sin \pi \cdot \Delta \epsilon \\
 & - h \cdot \left\{ \frac{n}{\tan \psi} + \frac{n}{s} (t - d - \tau) \right\} \cos \pi \cdot \Delta \pi \\
 & - h \cdot \left\{ \frac{1}{\tan \psi} \left(\frac{n}{\tan \psi} + \frac{n}{s} (t - d - \tau) - \frac{k}{\sin \psi} \right) - \frac{\beta F}{\sin \psi} \right\} \\
 & \qquad \qquad \qquad w \sin \pi \cdot \Delta \epsilon c
 \end{aligned}$$

in welcher F , wenn man mit geraden Aufsteigungen und Abweichungen rechnet

$$= \cos D \sin(N + \psi),$$

und wenn man mit Längen und Breiten rechnet

$$= (\cos D \cos s - \sin D \sin s \sin A) \sin(N + \psi) - \sin s \cos A \cos(N + \psi)$$

ist.

Man sieht aus dieser Formel, daß zwischen $\Delta x, \Delta \delta \dots$ Verbindungen statt finden, in welchen sie auf das Resultat wirken, oder daß mehrere derselben, durch die Gleichheit ihrer Coefficienten vereinigt erscheinen. Dieses wird durch die folgende Formel

$$\begin{aligned}
 [12] \dots d = t - T + & \frac{ms \cos(M - N - \psi)}{n \cos \psi} \\
 & + h s + \frac{h s^2}{\tan \psi} + \frac{h \cdot \eta}{\sin \psi} + h \cdot E \theta - h \cdot F \cdot i
 \end{aligned}$$

angegeben, in welcher

η Bd.

$$\begin{aligned}
 s &= \sin N \cdot \cos \delta \Delta x + \cos N \cdot \Delta \theta \\
 \zeta &= -\cos N \cdot \cos \delta \Delta x + \sin N \cdot \Delta \theta - x \cdot \cos \pi \Delta \pi \\
 \eta &= w \sin \pi \cdot \Delta k \\
 \theta &= \cos \pi \cdot \Delta \pi' \\
 i &= w \sin \pi \cdot \Delta \epsilon s
 \end{aligned}$$

sind und E und F die oben angeführten Coefficienten von $h \theta$ und $h i$ bedeuten. Diese Form ist die einfachste unter welche der Einfluß der Verbesserungen der Rechnungselemente gebracht werden kann.

Die unbekannte Größe s kann nicht anders durch Beobachtungen einer Sternbedeckung bestimmt werden, als wenn d , wenigstens für einen Beobachtungsort bekannt ist, denn sie vereinigt sich ganz mit dem Mittagsunterschiede. Das zweite, der Tangente von ψ umgekehrt proportionale Glied, ist dasselbe, welches man der, aus einer Beobachtung berechneten Conjunctionszeit, als Verbesserung derselben wegen des Fehlers der Breite (oder Declination), gewöhnlich hinzufügt; man sieht aber aus dem Ausdrucke seines Coefficienten ζ , wie es von $\Delta x, \Delta \delta$ und $\Delta \pi$ zugleich abhängt. Die Abhängigkeit dieses Gliedes von Δx könnte mit der ersten (Art. 1) angeführten Methode im Widerspruch zu sein scheinen, indem diese die Conjunctionszeit, ohne Einfluß des Fehlers der Länge (oder AR.) bestimmt, hier aber ein solcher Einfluß auf den Mittagsunterschied, und folglich auch auf die Conjunctionszeit, vorhanden ist; ich bemerke daher, daß dieser Widerspruch nur scheinbar ist, und als daraus entstehenden angesehen werden kann, daß man unterlassen hat, der nach jener Methode berechneten Conjunctionszeit, die im 2^{ten} Art. erwähnte, vom dem Fehler (x) des vorausgesetzten Mittagsunterschiedes abhängige Verbesserung hinzuzufügen; fügt man sie aber hinzu, und eliminiert man dann x , durch Vergleichung der gefundenen Conjunctionszeit, mit der aus den Tafeln und Δx hervorgehenden, so erhält man die von mir gefundene Abhängigkeit von dieser Größe. Beide Vorschriften sind nur dadurch verschieden, daß sie von verschiedenen unbekannten Größen abhängig gemacht sind.

Die Bestimmung aller 5 unbekannten Größen α, ζ, \dots , durch Beobachtungen einer Sternbedeckung, ist zwar mathematisch möglich, allein man sieht leicht, daß, wenn kleine Unvollkommenheiten der Beobachtungen nicht beträchtlichen Einfluß darauf erhalten sollen, ihre vollständige Trennung voraussetzt, daß die Beobachtungen an den geeignetsten Orten der Erde, nicht aber auf dem kleinen, von den europäischen Sternwarten eingenommenen Raum beschränkt, angestellt werden. Die vortheilhafte Trennung der beiden letzten unbekannten Größen von den übrigen, erfordert z.B., daß, an zweien der Beobachtungsorte, die Zeiten der Erscheinung sehr verschieden sind, welches stattfindet, wenn der eine sie bald nach dem Aufgange, der andere kurz vor dem Untergange des Mondes sieht; die letzte wird von den übrigen nur durch die Verschiedenheit des Werths von β , für die verschiedenen Beobachtungsorte, getrennt. — Die Schwierigkeit, das Zusammentreffen vortheilhafter Umstände herbeizuführen, läßt vermuthen, daß man die Bestimmung der Excentricität der Erdmeridiane, zu welcher die Beobachtungen der Sternbedeckungen (jedoch ohne genügende Entwicklung des grösstmöglichen dadurch zu erlangenden Vortheils) vorgeschlagen worden sind, stets auf erfolgreichere Methoden wird gründen können. Zu dieser Schwierigkeit kommt noch, daß die am Mondrande hervorragenden Berge, und andere wahrscheinliche Abweichungen von der Kugelgestalt (A. N. Nr. 50), an sich genaue Beobachtungen verderben können und werden; daß Eintritt und Austritt selten zugleich genau beobachtet werden können; endlich, daß die vortheilhafte Wahl der Beobachtungsorte auch durch die Anwesenheit der Sonne über dem Horizonte beschränkt wird. Ich glaube daher, daß die Berechnung des Einflusses aller fünf unbekannten Größen, nur dann ein Interesse haben wird, wenn man nicht auf ihre Bestimmung, sondern auf die Beurtheilung ihres möglichen Einflusses auf die Resultate der Rechnung ausgeht.

11.

Gewöhnlich wird man nur α und ζ , in geeigneten Fällen auch γ , aus den Beobachtungen zu bestimmen suchen, die übrigen aber als verschwindend ansehen. Nach meinen Erfahrungen ist auch diese, vergleichungsweise mit der vollständigen Bestimmung aller unbekannten Größen, sehr eingeschränkte Forderung, meistens so schwer zu erfüllen, daß in den meisten Fällen eine gute Meridianbeobachtung des Mondes sehr willkommen ist, um den Zweifel, den die Bedeckung allein übrig läßt, zu verkleinern. Die Vergleichung derselben mit den Beobachtungen der Bedeckung wird am leichtesten, wenn man die Rechnung durch gerade Aufsteigung und Abweichung geführt hat.

Wenn α und ζ aus Beobachtungen einer Sternbedeckung gefunden sind, so hat man

$$[13] \dots \begin{cases} \cos \delta \cdot \Delta \alpha = \alpha \sin N - \zeta \cos N \\ \Delta \delta = \alpha \cos N + \zeta \sin N \end{cases}$$

Sind dieses die Fehler der geraden Aufsteigung und Abweichung des Mondes, und man will die der Länge und Breite kennen lernen, oder umgekehrt, so sind die bekannten Formeln, wodurch die einen in die anderen verwandelt werden, anzuwenden. Die vollständigen Formeln [11] oder [12] geben übrigens in jedem Falle an, in wiefern die unter Vernachlässigung von γ, δ, i erhaltenen Bestimmungen der Tafelfehler, von diesen Größen abhängig sind. Man könnte diese Abhängigkeit für gewisse Fälle, z. B. wenn aus der Verbindung der aus einem Orte gemachten Beobachtungen des Eintritts und Austritts, $\Delta \alpha$ und $\Delta \delta$ bestimmt werden, allgemein aus einer der beiden Formeln ableiten, allein es scheint bequemer, die Coefficienten für beide Phasen zu berechnen und das gesuchte Resultat aus ihren Zahlenwerthen zu ziehen.

12.

Ich werde jetzt die Aufgabe von den Finsternissen allgemein betrachten, oder annehmen, daß beide Gestirne Durchmesser und Parallaxen haben. Dann ist die Bestimmung der zweckmäßigsten Form der allgemeinen Gleichung [2] weniger offenbar, als in dem besondern Falle der Bedeckungen der Fixsterne; indessen kann man auch hier zu Formeln gelangen, welche für die Rechnung bequem, und dennoch streng richtig sind. Obgleich die Näherungsmethode, welche Lagrange entwickelt hat, für die Anwendungen hinreicht, so scheint doch das Interesse einer so häufig behandelten Theorie, ein nochmaliges Zurückkommen darauf, zu entschuldigen.

Man hat den Ausdruck

$$(a'b' - a'b)(c' \sin \pi' - c \sin \pi) - (ac' - a'c)(b' \sin \pi' - b \sin \pi) + (bc' - b'c)(a' \sin \pi' - a \sin \pi)$$

identisch = 0; also, wenn man

$$\begin{aligned} c' \sin \pi' - c \sin \pi &= G \sin d \\ b' \sin \pi' - b \sin \pi &= G \cos \cos a \\ a' \sin \pi' - a \sin \pi &= G \cos d \sin a \end{aligned}$$

setzt, nach der am Ende des 3ten Art. erwähnten Umformung der Summe dreier Quadrate, indem man d und a für die willkürlichen u und v schreibt,

$$\begin{aligned} (ab' - a'b)^2 &+ (ac' - a'c)^2 + (bc' - b'c)^2 = \\ &[(ab' - a'b) \cos d + (ac' - a'c) \sin d \cos a - (bc' - b'c) \sin d \sin a]^2 \\ &+ [(ac' - a'c) \sin a + (bc' - b'c) \cos a]^2, \end{aligned}$$

auf diese Art ist also der Ausdruck, welcher das erste Glied der Gleichung [2] ist, auf die Summe zweier Quadrate reducirt.

Die Winkel d und a , wodurch dieses erlangt wird, können, der erste als die Declination (oder Breite etc.), der andere als die Rectascension (oder Länge etc.) eines Punktes der Himmelskugel angesehen werden, von welchem sich leicht zeigen läßt, daß es der Punkt ist, wo die beiden, durch die wahren und durch die scheinbaren Oerter der Gestirne gelegten größten Kreise sich schneiden. Denn in den Ausdrücken, wodurch d und a bestimmt worden sind, verschwinden die letzten Theile der Ausdrücke [1] von a, b, c, a', b', c' , so daß man hat:

$$[14] \dots \begin{cases} G \sin d = \sin \pi \cdot \sin D - \sin \pi' \sin \delta \\ G \cos d \cos a = \sin \pi \cos D \cos A - \sin \pi' \cos \delta \cos a \\ G \cos d \sin a = \sin \pi \cos D \sin A - \sin \pi' \cos \delta \sin a \end{cases}$$

In diesen Gleichungen ist die Bedingung enthalten, daß die drei darin vorkommenden Punkte, nämlich die beiden wahren Oerter der Gestirne und der durch d und a bestimmte Punkt, in einem größten Kreise liegen; will man dieselbe unter der Form darstellen, unter welcher man sie darzustellen pflegt, so hat man $G, \sin \pi, \sin \pi'$ zu eliminiren, was durch Multiplication der drei Gleichungen mit

$$\begin{aligned} & - \frac{\sin(a-A)}{\cos \delta} \\ & + \frac{\tan d}{\cos \delta} \sin A - \frac{\tan d}{\cos \delta} \sin a \\ & - \frac{\tan d}{\cos \delta} \cos A + \frac{\tan d}{\cos \delta} \cos a \end{aligned}$$

geschieht, und

$$[15] \dots 0 = \tan d \sin(A-a) - \tan d \sin(a-A) + \tan d \sin(A-A)$$

oder die gesuchte Form der Bedingung ergibt. Da aber auch

$$\begin{aligned} G \sin d &= \sin \pi \cdot \Delta' \cdot \sin D' - \sin \pi' \cdot \Delta \cdot \sin \delta' \\ G \cos d \cos a &= \sin \pi \cdot \Delta' \cdot \cos D' \cos A' - \sin \pi' \cdot \Delta \cdot \cos \delta' \cos a' \\ G \cos d \sin a &= \sin \pi \cdot \Delta' \cdot \cos D' \sin A' - \sin \pi' \cdot \Delta \cdot \cos \delta' \sin a' \end{aligned}$$

ist, und diese Gleichungen dieselbe Form haben wie die vorigen, so liegt der durch d und a bestimmte Punkt auch in dem, durch die scheinbaren Oerter gelegten größten Kreise.

Substituirt man für a, b, c, a', b', c' ihre Ausdrücke [1], so erhält man

$$\begin{aligned} a b' - a' b &= \cos \delta \cos D \sin(a-A) - G \cdot r \cos \varphi' \cos \delta \sin(\mu-a) \\ a c' - a' c &= \cos \delta \sin D \sin a - \cos D \sin \delta \sin A \\ &\quad - G[r \cos \varphi' \sin d \sin \mu - r \sin \varphi' \cos \delta \sin a] \\ b c' - b' c &= \cos \delta \sin D \cos a - \cos D \sin \delta \cos A \\ &\quad - G[r \cos \varphi' \sin d \cos \mu - r \sin \varphi' \cos \delta \cos a] \end{aligned}$$

voraus

$$\begin{aligned} (ab' - a'b) \cos d + (ac' - a'c) \sin d \cos a - (bc' - b'c) \sin d \sin a = \\ - \sin \delta \cos D \sin d \sin(A-a) + \cos \delta \sin D \sin d \sin(a-a) \\ + \cos \delta \cos D \cos d \sin(a-A) - G \cdot r \cos \varphi' \sin(\mu-a), \end{aligned}$$

und wenn man das Product der Gleichung [15] in $\cos \delta \cos D \sin d$, addirt,

$$= \frac{\cos D}{\cos \delta} \cdot \cos \delta \sin(a-A) - G \cdot r \cos \varphi' \sin(\mu-a)$$

folgt. Ferner erhält man

$$\begin{aligned} (ac' - a'c) \sin a + (bc' - b'c) \cos a = \\ \cos \delta \sin D \cos(a-A) - \sin \delta \cos D \cos(A-a) \\ + G[r \sin \varphi' \cos d - r \cos \varphi' \sin d \cos(\mu-a)]. \end{aligned}$$

Das zweite Glied der Gleichung [2], nämlich

$$(\alpha' \sin \rho \pm a \sin R)^2 + (b' \sin \rho \pm b \sin R)^2 + (c' \sin \rho \pm c \sin R)^2,$$

wird für die Rechnung bequemer, wenn man es in seiner nicht rationalen Form darstellt. Es ist nämlich das Quadrat von

$$\Delta \Delta' \sin \Sigma = \sin \rho \sqrt{(\Delta' \Delta' - \sin R)^2} \pm \sin \rho \sqrt{(\Delta \Delta - \sin \rho)^2},$$

wo

$$\Delta^2 = a^2 + b^2 + c^2 = 1 - 2r \sin \pi \cdot \cos \gamma + rr \sin \pi^2$$

$$\Delta'^2 = a'^2 + b'^2 + c'^2 = 1 - 2r \sin \pi' \cdot \cos \gamma' + rr \sin \pi'^2$$

und $\cos \gamma$ und $\cos \gamma'$ für

$$\begin{aligned} \sin \varphi' \sin \delta + \cos \varphi' \cos \delta \cos(\mu-a) \\ \sin \varphi' \sin D + \cos \varphi' \cos D \cos(\mu-A) \end{aligned}$$

geschrieben sind. Bezeichnet man daher

$$\begin{aligned} \sqrt{[\cos \rho^2 - 2r \sin \pi \cos \gamma + rr \sin \pi^2]} \text{ durch } \lambda \\ \sqrt{[\cos R^2 - 2r \sin \pi' \cos \gamma' + rr \sin \pi'^2]} \text{ durch } \lambda', \end{aligned}$$

so ist das gesuchte Glied

$$(\lambda' \sin \rho \pm \lambda \sin R)^2$$

13.

Die Gleichung [2] wird, wenn man diese Umformungen ihrer einzelnen Glieder substituirt,

$$\begin{aligned} [16] \dots & \left(\frac{\lambda' \sin \rho \pm \lambda \sin R}{G} \right)^2 \\ &= \left\{ \frac{\cos D}{\cos \delta} \cdot \frac{\cos \delta \sin(a-A)}{G} - r \cos \varphi' \sin(\mu-a) \right\}^2 \\ &+ \left\{ \frac{\sin d \cos D \cos(A-a) - \cos \delta \sin D \cos(a-A)}{G} \right. \\ &\quad \left. - r \sin \varphi' \cos d - \cos \varphi' \sin d \cos(\mu-a) \right\}^2. \end{aligned}$$

Sie hat also die Form

$$k^2 = (P-a)^2 + (Q-a)^2$$

angenommen, dieselbe welche für den Fall der Bedeckungen der Fixsterne stattfindet. Der Unterschied zwischen 10^*

der allgemeinen Gleichung und dem besonderen Falle besteht nur darin, daß in der ersten, statt des constanten k , ein veränderliches, vom Beobachtungsorte und den Winkeln γ und γ' (den Zenithdistanzen der Gestirne) abhängiges erscheint, daß P und Q auch von d und A abhängen, und daß u und v diese Winkel, statt D und A , enthalten. Es ist daher nicht nöthig, für die Berechnung der Finsternisse im allgemeinen, es seien nun Sonnenfinsternisse, oder Durchgänge der unteren Planeten durch die Sonnenscheibe, besondere Vorschriften zu geben, indem alle diese Erscheinungen nach der Methode behandelt werden können, welche ich für die Bedeckungen der Fixsterne entwickelt habe.

Aus den Formeln [14] folgt

$$GG = \sin^2 \pi - 2 \sin \pi \sin' \cos \epsilon + \sin^2 \pi'$$

$$\tan(A-a) = \frac{\sin \pi \cos \delta \sin(a-A)}{\sin \pi \cos D - \sin \pi' \cos \delta \cos(a-A)}$$

wo σ die geocentrische Entfernung der beiden Gestirne bezeichnet. Für die Sonnenfinsternisse kann

$$G = \sin \pi - \sin \pi'$$

$$a = A - \frac{\sin \pi}{\sin \pi'} (a-A)$$

$$d = D - \frac{\sin \pi}{\sin \pi'} (d-D)$$

gesetzt werden, ohne daß dadurch eine in den Rechnungsergebnissen bemerkbare Abweichung von der Wahrheit entsteht. Dann werden diese Größen, deren Einführung die Formeln so sehr zusammengezogen hat, fast ohne Rechnung gefunden, und die Berechnung der Sonnenfinsternisse wird, bis auf einen unbedeutenden Unterschied, so leicht als die der Sternbedeckungen. Man sieht hierin wieder eine Bestätigung der sich oft aufdringenden Bemerkung, daß die mathematische strenge Auflösung der astronomischen Aufgaben abführt eine schwierigere Rechnung zu erfordern, als die näherungsweise richtige, sobald es gelungen ist, die letztere in ihrer wahren Form darzustellen.

Bessel.

Schreiben des Herra Professors Nicolai, Directors der Mannheimer Sternwarte, an den Herausgeber.

Mannheim 1829. Januar 9.

Ich mache mir nunmehr das Vergnügen, Ihnen meine sämmtlichen Beobachtungen des Enckeschen Cometen unter einer Zusammenstellung hier mitzutheilen. — Zu Ende Septembers und Anfang Octobers habe ich denselben mehrere Male sorgfältig aufgesucht, konnte aber mit meinen Instrumenten noch keine Spur von ihm entdecken. Nach dem Mondschein im October ward es zuerst am 29^{ten} desselben Monats wieder heiter, und an diesem Abend bemerkte ich zugleich mit dem Fraunhofer'schen Cometensucher sehr nahe auf dem Platze der Enckeschen Ephemeride einen äußerst schwachen Nebel, welcher am 29^{ten} gehörig fortgerückt war, und mir also über das Wesen dieses Nebels keinen Zweifel liefs. Im 4füßigen Fraunhoferschen Achromat war dieser Nebel noch ungleich schwächer, als im Cometensucher, und nur mit Mühe erkennbar. Dabei erschien mir derselbe noch so überall gleichförmig blaß, und ohne alle merkliche Condensation in seiner Mitte, daß an eine einigermaßen genaue Beobachtung dieses Fantoms mit Hülfe des Kreismikrometers nicht zu denken war. Am 29^{ten} Octbr. um 6½—6¼ Uhr M. Z., erschien aber innerhalb des Cometennebels ein kleiner Fixstern 11^{ter} Größe, von dem ich gleichwohl, der großen Blässe und ungewissen Begrenzung des Nebels wegen, nicht kenne abgeben, ob er genau in der Mitte oder dem eigentlichen Schwerpunkt des Cometen gestanden habe. Inzwischen habe ich diesen kleinen Stern

fünfmal am Kreismikrometer mit Piazzi H. XXXII 60. verglichen, wovon sich die scheinbare Position desselben so ergeben hat: $AR. = 349^\circ 34' 16''$, $Decl. = +26^\circ 4' 58''$. — Nach mehrtägigem trübem Himmel heiterte es sich am 4^{ten} November wieder auf. Obwohl der Comet mir immer noch im hohen Grade lichtschwach erschien, so fing ich doch an diesem Tage an, ihn, so gut ich konnte, am Kreismikrometer zu observiren, und habe ihn seitdem so oft beobachtet, als es der Himmel erlaubte. — Ehe ich die Resultate dieser Beobachtungen mittheile, erlaube ich mir Ihnen zuvor über dieselben einige nähere Details anzugeben. Wo die gegenseitige Stellung des Cometen und des Vergleichssterne es zuließe, habe ich immer beide Gestirne sowohl nördlich als südlich durch das Kreismikrometer geben lassen, und die recht gute Harmonie der aus diesen beiderseitigen Durchgängen hervorgehenden Declinationsbestimmungen zeigt mir, daß ich den Mittelpunkt oder vielmehr den hellsten Theil des Cometen immer äußerst nahe übereinstimmend taxirt habe.

Die Beobachtung vom 4^{ten} Novbr. gründet sich auf vier, zwei nördliche und zwei südliche, Vergleichen mit μ Pegasi, die vom 5^{ten} auf sieben einseitige Vergleichen mit dem nämlichen Stern. Die scheinbare Position von μ Pegasi habe ich nicht aus den Catalogen berechnet, son-

den durch zwei schöne an beiden Abenden gemachte Meridianbeobachtungen im Mittel für Novbr. 4—5 erhalten: AR. = $340^{\circ} 26' 30''$, Decl. = $+23^{\circ} 42' 14''$, welche Angaben den beiden Positionen des Cometen zum Grunde liegen.

Am 6 Novbr. wurden sieben, und am 7^{ten} fünf einseitige Vergleichen mit λ Pegasi gemacht. Aus den beiden an denselben Abenden erhaltenen Meridianbeobachtungen von λ Pegasi ergab sich die scheinbare Stellung dieses Sterns im Mittel für Novbr. 6—7 so: AR. = $339^{\circ} 34' 39''$, Decl. = $+22^{\circ} 40' 14''$. Am 7^{ten} Novbr. konnte wegen der ungünstigen gegenseitigen Stellung des Cometen und Sterns keine zuverlässige Declinationsbestimmung des ersten erhalten werden.

Am 27 Novbr. hatte der Comet bedeutend an Licht zugenommen, und war von jetzt an gut und weit sicher zu beobachten. Es wurden sechs einseitige Vergleichen mit einem Sterne 8^{ter} Größe erhalten, den ich nur in der Hist. Cél. habe auffinden können, wo er auf pag. 106. unter $21^{\circ} 10' 24''$ vorkommt. Die scheinbare Position dieses Sterns habe ich hiernach für Nov. 27. also berechnet: AR. = $318^{\circ} 2' 47''$, Decl. = $+11^{\circ} 25' 46''$. Bei dergleichen Reductionen habe ich mich immer der neuesten Präcessionsbestimmung von Bessel in Nr. 92 und 96 der Astron. Nachr. bedient.

Decbr. 2. Zwei nördliche und zwei südliche Vergleichen mit einem Stern 7. 8^{ter} und einem andern 7^{ten} Größe. Beide Sterne kommen zuvörderst in der Hist. Cél. dreimal vor, nämlich auf pag. 102. $20^{\circ} 57' 14''$ und $20^{\circ} 57' 48''$, ferner auf pag. 109 und 110: $20^{\circ} 57' 17''$ und $20^{\circ} 57' 51''$, endlich auf pag. 116: $20^{\circ} 57' 14''$ und $20^{\circ} 57' 48''$; an dieser letztern Stelle ist bei der Z.D. des zweiten Sterns $40''$ statt $39''$ zu lesen. Sodann stehen diese Sterne bei Bessel VII. Abh. 10^{te} Zona unter $20^{\circ} 59' 4''$ und $20^{\circ} 59' 39''$. Nimmt man aus dem Mittel der drei Bestimmungen der Hist. Cél. und aus der Bessel'schen Bestimmung wiederum das Mittel, so erhält man für Dec. 2. als scheinbare Position des ersten Sterns AR. = $314^{\circ} 46' 34''$, Decl. = $+8^{\circ} 37' 0''$, und als scheinbare Position des zweiten Sterns AR. = $314^{\circ} 55' 9''$, Decl. = $+6^{\circ} 40' 52''$. Aus den aus beiden Sternen hervorgehenden Positionen des Cometen habe ich das Mittel genommen.

Decbr. 3. Sieben einseitige Vergleichen mit 14 Delphini, dessen scheinbare Position sich aus der Combination von Piazzi und Bessel's Bradley also ergeben hat: AR. = $310^{\circ} 20' 56''$, Decl. = $+7^{\circ} 14' 17''$.

Decbr. 6. Drei nördliche und drei südliche Vergleichen mit einem Stern 8^{ter} Größe. Dieser steht zuvörderst in der Hist. Cél. auf pag. 188. unter $20^{\circ} 36' 59''$... $42^{\circ} 43' 48''$ (es ist nämlich für die Durchgangszeit durch den mittlern Faden nicht $56''$, sondern $59''$ zu lesen); sodann kommt er bei Bessel vor, VII. Abh. 8^{te} Zone: $20^{\circ} 39' 0''$. Das Mittel aus diesen beiderseitigen Bestimmungen giebt für die scheinbare Position des Sterns am 6^{ten} December: AR. = $309^{\circ} 45' 16''$, Decl. = $+6^{\circ} 11' 40''$.

Decbr. 11. Zwei einseitige Vergleichen mit Piazzi H. XX. 134 und 149. Hiernach scheinbare Position von 134: AR. = $304^{\circ} 24' 18''$, Decl. = $+2^{\circ} 24' 28''$; scheinbare Position von 149: AR. = $304^{\circ} 54' 34''$, Decl. = $+2^{\circ} 22' 49''$.

December 12. Vier einseitige Vergleichen mit den beiden nämlichen Sternen. Scheinbare Position von 134: AR. = $304^{\circ} 24' 17''$, Decl. = $+2^{\circ} 24' 28''$; von 149: AR. = $304^{\circ} 54' 34''$, Decl. = $+2^{\circ} 22' 49''$.

Decbr. 15. Zwei nördliche und zwei südliche Vergleichen mit 58 Aquilae, dessen scheinbare Position nach Piazzi und Bessel's Bradley: AR. = $296^{\circ} 29' 32''$, Decl. = $-0^{\circ} 9' 48''$.

Decbr. 19. Zwei nördliche und zwei südliche Vergleichen mit einem Stern 6^{ter} Größe, der nur in der Hist. Cél., und zwar dreimal dasselbst, vorkommt, nämlich: pag. 109. $19^{\circ} 42' 21''$, woselbst im dritten Faden $49''$ statt $43''$ zu lesen ist; pag. 113. $19^{\circ} 42' 20''$ und pag. 182. $19^{\circ} 42' 19''$. Das Mittel aus diesen drei Bestimmungen giebt für die scheinbare Position dieses Sterns: AR. = $296^{\circ} 45' 6''$, Decl. = $-3^{\circ} 32' 50''$.

Am 25 Decbr. habe ich den Cometen zuletzt in der Abenddämmerung nahe über einer Wolkenbank gesehen, allein während der schon begonnenen Beobachtung desselben verhielte die Wolkenbank den Cometen und den Vergleichungsstern. Später war der Himmel hier ununterbrochen trübe.

Noch bemerke ich, daß bei der Reduction der Beobachtungen, wie sich von selbst versteht, die eigene Bewegung des Cometen genau in Rechnung genommen wurde. Die Refraction dagegen habe ich nicht berücksichtigt, da der Einfluß derselben, bei den anfänglichen Beobachtungen wegen der beträchtlichen Höhe des Cometen über dem Horizont, bei den zwei letzten aber wegen des sehr geringen Declinationsunterschiedes zwischen dem Cometen und dem Vergleichungsstern, ganz unbedeutend ist.

Ich lasse nunmehr die Resultate der Beobachtungen hier folgen:

	M.Z. in Mannh.	A.R. app. Com.	Decl. app. Com.
1828. Nov. 4.	7 1 42"	342 14 21	+ 23 50 51"
— 5.	6 32 51	341 3 20	+ 23 24 53
— 6.	6 24 30	339 52 3	+ 22 58 31
— 7.	6 36 12	338 40 8	—
— 27.	6 49 45	317 33 48	+ 11 40 1
Dec. 2.	6 9 32	312 50 16	+ 8 41 4
— 5.	5 43 41	309 57 38	+ 6 49 29
— 6.	5 36 31	308 58 57	+ 6 11 8
— 11.	6 47 3	303 46 34	+ 2 45 2
— 12.	6 7 52	302 42 40	+ 2 2 43
— 15.	5 41 13	299 17 22	— 0 13 55
— 19.	5 48 47	294 16 0	— 3 36 25

Werden diese Beobachtungen mit *Encke's* genauer, vor längerer Zeit durch Privatmittheilung von ihm erhaltenen, Ephemeride verglichen, und sowohl Aberration und Parallaxe, als auch die übrigen von *Encke* berechneten Reductionen der Beobachtungen gehörig berücksichtigt, so ergeben sich die nachstehenden Unterschiede:

Fehler der Elemente.

	In A.R.	In Decl.
Nov. 4.	— 3 14,3"	— 0 52,6"
— 5.	— 3 2,1	— 0 17,6
— 6.	— 3 7,7	— 0 32,3
— 7.	— 3 1,6	—
— 27.	— 3 1,8	— 1 16,0
Dec. 2.	— 3 13,2	— 1 1,9
— 5.	— 3 21,8	— 1 14,4
— 6.	— 3 27,6	— 1 15,7
— 11.	— 3 58,3	— 1 18,8
— 12.	— 4 0,6	— 1 26,0
— 15.	— 4 16,3	— 1 43,8
— 19.	— 4 39,8	— 1 50,4

Diese Differenzen sind nicht bedeutend, und die von *Encke* zum Grunde gelegte Hypothese des Widerstandes des Aethers unterliegt daher auf sich keinem Zweifel mehr, sondern es

wird nur noch durch die wiederkehrenden Erscheinungen des Cometen das Quantum des Widerstandes, das aber, in so fern es zugleich von der, vielleicht mit der Zeit veränderlichen, Beschaffenheit des Cometen abhängt, gleichfalls veränderlich seyn kann, nach und nach näher zu bestimmen seyn.

Mit vielen Vergnügen erfülle ich den Wunsch des Herrn *Benf. Fals*, die einzelne Beobachtung des zweiten Cometen von 1827, welche ich nach seinem Perihel am 16ten October 1827 erhalten habe, im Original zu kennen. Sie ist, wie alle meine Cometenbeobachtungen, am leeren Kreise meines 4füßigen *Fraunhofer'schen* Achromaten gemacht worden, und es wurden folgende Zeitmomente beobachtet:

U h r z e i t.

	92 Leonis.	Comet.
Eintr.	5 24 25	5 32 32"
Austr.	25 54	34 54
Eintr.	5 37 15	5 45 18
Austr.	38 33	47 37

Die Uhr geht nach Sternzeit, und die Reduction ihrer Angaben auf Sternzeit war $\pm 38",4$. Der Halbmesser des leeren Kreises ist $\pm 18' 28",1$, und bei beiden Vergleichen lagen die vom Cometen und vom Stern beschriebenen Chorden im astronomischen Fernrohre nördlich, in der Wirklichkeit also südlich vom Mittelpunkt des Kreismikrometers. — Für die scheinbare Position von 92 Leonis habe ich aus der Combination von *Piassi* und *Bessel's* *Bradley* an dem Beobachtungstage erhalten: A.R. = $172^{\circ} 57' 3",1$ Decl. = $+ 22^{\circ} 18' 35",1$. Die zur genaueren Reduction nöthige eigene Bewegung des Cometen habe ich aus der in der Beilage zu Nr. 123 der Astron. Nachr. befindlichen Ephemeride entlehnt, und in A.R. = $+ 13'$, in Decl. = $+ 32'$ täglich, angenommen. Refraction habe ich nicht berücksichtigt, da der Declinationsunterschied zwischen dem Stern und Cometen nur 7 Minuten beträgt. Hiernach erhält man die in Nr. 130 der Astron. Nachr. S. 211. angegebene Position des Cometen.

B. Nicolai.

Ueber die Länge von Ober-Kastell (bei Constanz).

Herr Obrist-Lieutenant von *Scherer* hat die auf seinem Schlosse Ober-Kastell seit 1823 von ihm beobachteten Sternbedeckungen in den Astr. Nachr. Nr. 150. bekannt gemacht. Auf dessen Wunsch habe ich aus correspondirenden Beob-

achtungen, soweit solche vorhanden waren, die Länge des Orts berechnet, und aus den einzelnen Beobachtungen folgende Resultate gefunden.

1. Bedeckung s. Widder, 1823. 27. Aug. Eintritt am erleuchteten Mondrande.

	Mittl. Zeit.	Conjunction.
Ober-Kastell. A.	9 20 46,50	9 36 15,05 — 0,899 x
Prag.	A. 9 43 36,28	9 57 23,45 — 0,872 x
Abo.	E. 10 29 17,71	10 28 48,52 — 0,998 x

Bei Oberkastell ist es zweifelhaft, ob die Secunde des Austritts 47^h5 oder 47^h5 war. Mit Voraussetzung von 47^h0 erhält man die Länge von Oberkastell durch den Austritt in Prag 27° 12′ 50″ — 0^h 02,7 x, durch den Eintritt in Abo 27° 12′ 30″ — 0^h 09,9 x. Die Vergleichung mit den Austritten am dunkeln Mondrande ist vorzuziehen.

2. Bedeckung dreier Sterne im Scorpion.
1825. 17 Septbr. Eintritt am dunkeln Mondrande.

Die drei Sterne sind: I) P. XVI. 68. II) P. XVI. 71. III) P. XVI. 72.

I. Viviers.	E. 7 23 12,60	7 16 48,88 — 0,103 x
Oberkastell.	E. 7 41 58,70	7 34 39,88 — 0,043 x
Kremsmünster.	E. 8 6 37,40	7 54 45,10 — 0,141 x
II. Viviers.	E. 7 28 32,90	7 20 56,13 — 0,022 x
Oberkastell.	E. 7 47 4,20	7 38 40,05 + 0,059 x
Kremsmünster.	E. 8 11 27,40	7 58 46,30 — 0,061 x
III. Viviers.	E. 7 27 57,60	7 20 11,94 + 0,251 x
Oberkastell.	E. 7 46 43,20	7 37 58,35 + 0,311 x

Die Eintritte in Oberkastell waren gut, nur die Zeit erst etwas später berichtet. In Kremsmünster ist der Eintritt I auf 2 bis 3^h zweifelhaft, und Eintritt II zwischen leichten Wolken beobachtet. Durch Vergleichung mit Viviers gibt der Stern I die Länge 27° 14′ 30″ — 0,060 x, II gibt 27° 7′ 22″ + 0,092 x und III gibt 27° 9′ 71″ + 0,061 x. Mit Kremsmünster gibt I die Länge 27° 5′ 58″ + 0,098 x und II gibt 27° 4′ 55″ + 0,131 x. Aus Viviers folgt also mit drei Sternen 27° 10′ 41″ + 0,031 x und aus Kremsmünster mit zwei Sternen 27° 5′ 06″ + 0,115 x. Mittel aus beiden Orten, im Verhältnisse der Anzahl Sterne, 27° 8′ 27″.

3. Bedeckung 1 s. Fische. 1825. 25 Sept. Eintritt am dunkeln Mondrande, 26 Stunden vor dem Vollmonde.

Prag.	E. 15 25 31,20	14 19 44,64 — 1,119 x
Oberkastell.	E. 15 5 52,50	13 58 39,18 — 1,461 x

Der Eintritt in Prag soll nur auf 2 Sekunden zuverlässig seyn; er scheint aber viel zu frühe angesetzt, und ich sah mich genöthigt, in der obigen Zeitangabe 1^h zu addiren;

obgleich diese Aenderung gibt die Länge (27° 34′ 94″ — 0,341 x) um vieles zu groß, wie aus den übrigen Beobachtungsergebnissen zu schließen ist.

4. Bedeckung eines Sterns im Löwen.
1826. 14. Mai. Eintritt am dunkeln Mondrande.

Der Stern kommt in der Hist. celeste zweimal vor, p. 324 und 225, die AR. auf 1800 = 141° 56′ 28″, Declination + 8° 36′ 15″.

Coburg.	E. 9 51 56,21	9 49 39,45 — 0,335 x
Oberkastell.	E. 9 48 42,91	9 42 24,41 — 0,502 x

Die Länge von Coburg 34° 32′ 5 geteilt, folgt die von Oberkastell 27° 17′ 46″ — 0,167 x.

5. Bedeckung eines Sterns im Sextanten.
1826. 15 Mai. Eintritt am dunkeln Mondrande.

Nach Hist. cöl. p. 324 ist des Sterns AR. auf 1800 = 154° 25′ 47,5″, Abweichung + 4° 20′ 2″,5.

Prag (K. Sternw.)	E. 9 25 52,56	9 26 48,36 + 3,241 x
Prag (Hallaschka.)	E. 9 25 54,40	9 26 50,41 + 3,238 x
Oberkastell.	E. 8 52 28,90	9 5 31,77 + 1,666 x

In Oberkastell erschien der Stern oft sehr schwach; daher hält der Beobachter den Eintritt um einige Secunden für unsicher; indeß habe ich oben noch eine ganze Minute Zeit zum Eintritt addirt, um die Uebereinstimmung mit Prag zu erhalten. So ergibt sich die Länge nach der Beobachtung auf der Prager K. Sternwarte 27° 3′ 81″ — 1,575 x und nach Herrn Professor Hallaschka 27° 4′ 26″ — 1,572 x, im Mittel 27° 4′ 03″ — 1,573 x.

6. Bedeckung von 2 μ (Fl. 14) im Schützen.
1826. 13 Aug. Eintritt am dunkeln Mondrande.

Oberkastell.	E. 8 19 36,36	8 51 40,47 — 0,041 x
--------------	---------------	----------------------

Correspondirende Beobachtungen dieser Bedeckung sind von mir schon in den Astr. Nachr. No. 144 berechnet worden. Nach diesen Berechnungen erhält man die Länge durch Prag (K. Sternw.) 27° 10′ 39″ — 0,047 x, durch Prag (Hallaschka) 27° 9′ 77″ — 0,047 x, durch Kremsmünster 27° 8′ 50″ + 0,107 x, durch Verona (dessen Länge = 34° 37″ geteilt. A. N. Nr. 144) = 27° 10′ 36″ + 0,127 x. Mittel aus dieser vierfachen Bestimmung 27° 9′ 90″ + 0,070 x.

7. Bedeckung zweier Sterne im Steinbock. Eintritt am dunkeln Mondrande.

Die Sterne sind: I) P. XXI. 257. II) P. XXI. 258.

I. Oberkastell.	E. 11 25' 18,59	11 0' 59,82	— 0,771 x
Berlin.	E. 11 45 18,50	11 18 3,53	— 0,539 x
II. Oberkastell.	E. 11 30 50,27	11 1 36,49	— 1,371 x
Berlin.	E. 11 49 19,40	11 18 44,13	— 0,017 x
Kremsmünster.	E. 12 1 6,80	11 21 40,77	— 1,818 x
Zehmen.	E. 11 45 25,39	11 14 49,21	— 1,110 x

Hieraus die Länge durch den Stern I, mit Berlin verglichen, und dessen Länge = $44^{\circ} 11' 5$ gesetzt, $27^{\circ} 7'' 79$ — $0,332 x$, durch II mit Berlin $27^{\circ} 3' 86$ — $0,354 x$, mit Kremsmünster $27^{\circ} 6' 52 + 0,447 x$, mit Zehmen, dessen Länge nach A. N. Nr. 118 = $40^{\circ} 16' 2$ gesetzt, $27^{\circ} 3' 48$ — $0,261 x$. Demnach aus dem Sterne I Länge $27^{\circ} 7'' 79$, aus II $27^{\circ} 4'' 62$ und Mittel aus beiden Sternen $27^{\circ} 6'' 21$.

8. Bedeckung γ Orion (P. V. 259), 1826. 23. Sept.
Austritt am dunkeln Mondrande.

Oberkastell.	E. 11 22' 54,98	11 2 32,80	+ 0,703 x
A. 12 21 5,08	11 2 39,04	— 0,548 x	

Auch für diese Bedeckung habe ich die correspondirenden Beobachtungen in den Astronom. Nachr. Nr. 144 berechnet. Aus dem Ein- und Austritte zu Prag und Oberkastell folgt x im Mittel = $+4'' 78$, und damit geben die Austritte am dunkeln Mondrande die Länge durch Prag (K. Sternwarte) $27^{\circ} 9' 44$, durch Kremsmünster $27^{\circ} 6' 57$, durch Verona $26^{\circ} 59' 20$. Mittel durch Prag und Kremsmünster $27^{\circ} 9' 20$.

9. Bedeckung dreier Sterne im Schützen.
1826. 4 Novbr. Eintritt am dunkeln Mondrande.

Die Sterne sind: I) δ im Schützen. II) 774 T. Mayey.
III) P. XIX. 43.

I. Coburg.	E. 5 9' 54,11	5 10' 58,92	— 0,127 x
A. 6 20 37,00	5 11 4,36	+ 0,722 x	
Kremsmünster.	E. 5 28 46,30	5 23 42,33	— 0,318 x

II. Coburg.	E. 5 29 21,07	5 25 15,46	+ 0,187 x
Kremsmünster.	E. 5 47 31,20	5 37 46,33	— 0,010 x
Oberkastell.	E. 5 20 19,35	5 17 56,89	+ 0,109 x
III. Coburg.	E. 5 49 21,03	5 34 59,33	+ 1,245 x
Oberkastell.	E. 5 39 50,48	5 27 42,51	+ 1,110 x

Bei Coburg, III Stern, ist oben von dem Beobachtungsmoment $1'$ abgezogen worden. Aus dem Ein- und Austritte des Sterns I in Coburg folgt x = $-6'' 4$. Damit erhält man die Länge durch den Stern II verglichen mit Kremsmünster $27^{\circ} 20' 60$, mit Coburg $27^{\circ} 14' 22$ und durch den Stern III mit Coburg $27^{\circ} 16' 35$. Mittel aus diesen drei Sternen $27^{\circ} 17' 06$.

Obige Berechnungen, zusammengestellt, geben folgende Längen:

1)	$27^{\circ} 12' 50$
2)	$— 8,27$
3)	$— 34,94$
4)	$— 17,46$
5)	$— 4,03$
6)	$— 9,90$
7)	$— 6,21$
8)	$— 9,20$
9)	$— 17,06$

Wird Nr. 3 eine offenbar ganz unbrauchbare Beobachtung, ausgeschlossen, so geben die echt übrigen Beobachtungen im Mittel die Länge $27^{\circ} 10' 58$ und läßt man auch die zweifelhaften, vom Mittel zu stark abweichenden Nr. 4. 5. 9 weg, so ist aus den fünf noch übrigen Beobachtungen das Mittel $27^{\circ} 9' 22$. Die Länge von Oberkastell = $27^{\circ} 10'$ in Zeit von Paris angenommen, mag demnach als vorläufige Bestimmung gelten, bis etwa weitere Beobachtungen dieselbe zu bestätigen oder zu verbessern dienen werden.

Stuttgart. 5. Jan. 1829.

W u r m.

Inhalt.

Beiträge zur Theorie der Finsternisse und den Berechnungs-Methoden derselben, von Herrn Professor und Ritter Bessel. (Beschluß.) p. 137.

Schreiben des Herrn Professors Nicolai, Directors der Mannh. Sternwarte, an den Herausgeber. p. 143.

Ueber die Länge von Ober-Kastell (bei Constans). p. 147.

Alons im Februar 1829.

ASTRONOMISCHE NACHRICHTEN.

N^o. 153.

Beobachtungen des *Enckeschen* Cometen auf der *Dorpater Sternwarte* mit dem großen Refractor von *Fraunhofer* angestellt 1828.

Seit dem Anbeginn der Ephemeride suchte ich den Cometen im Felde des großen Refractors unter Anwendung des Uhrwerks, nachdem das Fernrohr durch den Declinations- und Stundenkreis auf den Cometen gerichtet war. Ich wandte hiebei eine 94fache Vergrößerung, die schwächste, des Filarmicrometers an, die ein Feld von 18' Durchmesser faßt.

Es ist wohl keinem Zweifel unterworfen, daß ich den Cometen schon weit früher als am 6 October gesehen habe. Schon am 16 September beobachtete ich eine höchst schwache Nebelmasse, und bestimmte ihren Ort durch Vergleichung mit α Arietis folgendermaßen für 11^h 37' M. Z. in Dorpat

$$\begin{array}{rcl} \text{AR.} & = & 23^{\circ} 42'5 \\ \text{Decl.} & = & 26^{\circ} 23'; \text{ hiefür gibt} \\ \text{die Ephemeride} & 23\ 39,0 & \underline{26\ 24,7} \\ \text{Unterschied} & = & 3'5 \qquad \qquad + 1'7 \end{array}$$

Wenn sich an dieser Stelle kein schwacher Nebelfleck am Himmel findet, so ist es entschieden der Comet gewesen.

Auch am 2 October sah ich einen Nebel im Felde des auf den Cometen-Ort gerichteten Refractors, der 17" auf einen kleinen Fixstern folgte, und dessen Lage gegen diesen und einen andern Stern ich verzeichnete. Da aber an eine einigermaßen genaue Ortsbestimmung nicht gedacht werden konnte wegen a großer Schwäche, so verfolgte ich den Nebel nicht weiter.

Am 6 October ward der Comet mit Bestimmtheit erkannt, und für 11^h 26' M. Dorp. Zeit sein Ort zu

$$\text{AR.} = 13^{\circ} 17'; \quad \text{Decl.} = 28^{\circ} 40'$$

durch die Kreise des Refractors bestimmt, eine Ortsbestimmung, die aber noch auf keine Genauigkeit Anspruch machen kann.

Erst am 13 October ward der Comet wieder gesehen. Bei etwas düfter Luft war der Comet aber so schwach,

daß er keine Beleuchtung der Fäden im dunkeln Felde vertrug. Ich bestimmte seinen Ort daher durch Einstellung in die Mitte des 17'9 fassenden Gesichtsfeldes, indem ich ihn mit α und δ Andromedae vermittelt der beiden Kreise verglich. Die Beobachtungen sind folgende:

1828. 13 October.

	Zeit der Uhr von <i>Liebherr</i> .	Stunden- kreis.	Declinations- kreis.	Unverbesserte Culmination.
	$\begin{Bmatrix} 23\ 17\ 58 \\ 24\ 22 \end{Bmatrix}$	$\begin{Bmatrix} 22\ 48\ 40,5 \\ 55\ 5,7 \end{Bmatrix}$	$\begin{Bmatrix} 28\ 45\ 3 \\ 45\ 0 \end{Bmatrix}$	$\begin{Bmatrix} 0\ 29\ 17,5 \\ 29\ 16,3 \end{Bmatrix}$
Comet	$\begin{Bmatrix} 31\ 5 \\ 34\ 16 \end{Bmatrix}$	$\begin{Bmatrix} 23\ 1\ 36,5 \\ 4\ 45,0 \end{Bmatrix}$	$\begin{Bmatrix} 28\ 23\ 12 \\ 23\ 2 \end{Bmatrix}$	$\begin{Bmatrix} 29\ 28,5 \\ 29\ 31,0 \end{Bmatrix}$
α Andromedae	$\begin{Bmatrix} 38\ 18 \\ 40\ 50 \end{Bmatrix}$	$\begin{Bmatrix} 8\ 7,5 \\ 10\ 40,0 \end{Bmatrix}$	$\begin{Bmatrix} 29\ 55\ 20 \\ 55\ 14 \end{Bmatrix}$	$\begin{Bmatrix} 30\ 10,5 \\ 30\ 10,0 \end{Bmatrix}$
δ Andromedae	$\begin{Bmatrix} 0\ 3\ 39,5 \\ 9\ 23 \end{Bmatrix}$	$\begin{Bmatrix} 24\ 34,5 \\ 40\ 17,0 \end{Bmatrix}$	$\begin{Bmatrix} 28\ 44\ 30 \\ 44\ 21 \end{Bmatrix}$	$\begin{Bmatrix} 20\ 5,0 \\ 29\ 6,0 \end{Bmatrix}$
Comet	$\begin{Bmatrix} 13\ 15 \\ 16\ 40 \end{Bmatrix}$	$\begin{Bmatrix} 43\ 44,0 \\ 47\ 7,0 \end{Bmatrix}$	$\begin{Bmatrix} 28\ 22\ 28 \\ 22\ 31 \end{Bmatrix}$	$\begin{Bmatrix} 29\ 31,0 \\ 29\ 33,0 \end{Bmatrix}$
α Andromedae	$\begin{Bmatrix} 20\ 27 \\ 23\ 18 \end{Bmatrix}$	$\begin{Bmatrix} 30\ 15,0 \\ 53\ 6,0 \end{Bmatrix}$	$\begin{Bmatrix} 29\ 55\ 2 \\ 54\ 46 \end{Bmatrix}$	$\begin{Bmatrix} 30\ 12,0 \\ 30\ 12,0 \end{Bmatrix}$
δ Andromedae	$\begin{Bmatrix} 27\ 35 \\ 31\ 18 \end{Bmatrix}$	$\begin{Bmatrix} 58\ 30,5 \\ 0\ 2\ 13,2 \end{Bmatrix}$	$\begin{Bmatrix} 28\ 44\ 0 \\ 44\ 9 \end{Bmatrix}$	$\begin{Bmatrix} 29\ 4,5 \\ 29\ 4,8 \end{Bmatrix}$
Comet				

Die Correction der Uhr von *Liebherr* auf Sternzeit ist $+1''$ d. h. Sternzeit = *Liebherr* $+1''$.

Das Instrument ist so nahe rectificirt, daß seine Correction für die Berechnung des Cometen-Ortes aus α und δ Andromedae als = 0 angesehen werden kann.

1828. 25 October.

Der Comet war beim Mondschein außerordentlich schwach. Ich konnte seinen Ort daher nur auf dieselbe Weise, wie am 13 October bestimmen, durch Vergleichung mit 79 Pegasi.

	Zeit der Uhr von <i>Liebherr</i> .	Stunden- kreis.	Declinations- kreis.	Unverbesserte Culmination.
	^h _h ^m _m ^s _s	^h _h ^m _m ^s _s	^o _o ['] _' ["] _"	^h _h ^m _m ^s _s
Comet	20 43 13	21 4 17	27 14 25	23 38 56
79 Pegasi	46 33	4 33	27 54 52	42 0
	50 38	8 39	27 54 35	41 59
	53 19	11 19	27 54 33	42 0
Comet	58 9	19 19,5	27 13 40	38 49,5
Sternzeit = <i>Liebherr</i> — 55"				

Die heutige Beobachtung ist ungenau, wegen der Schwierigkeit der Beobachtung beim Mondschein, und ist daher zu verwerfen.

26 October.

Hente konnte der Comet zuerst am Filarmicrometer Vergrößerung 94 mit erleuchteten Fäden im dunklen Felde beobachtet werden. Die Fäden wurden mit dem Declinationskreise in Uebereinstimmung gebracht vermittelst des Positionskreises, dessen 2 Verniere die Minute angeben, und dann Durchgang des Sterns und Cometen durch denselben Declinationskreis beobachtet, wodurch sich die AR-Differenz ergibt. Dann wurden die Fäden um 90° gedreht, also senkrecht auf den Declinationskreis gestellt, der eine Faden mit dem einen Objecte übereingestellt, und wenn das 2te Object ins Feld trat, der 2te Faden auf dasselbe gestellt, und dann die Distanz der Fäden gemessen vermittelst der Micrometerschraube. Ein Umgang dieser Schraube beträgt 15",315. Bei schwacher Beleuchtung der Fäden bleibt das Gesichtsfeld gänzlich dunkel, und der Beobachtung des Cometen am selbstleuchtenden Faden steht nichts entgegen.

Der Comet wurde mit einem Sterne (α) = 7.8^{ter} Gr. verglichen, die Zeit ist die der *Liebherr*schen Pendeluhr. So immer.

Uhrzeit.	AR. Cometae	AR. Cometae für 21 ^h 32' 54"
21 29 6"	= α + 48,1	α + 47,34
30 54	47,8	47,39
32 42	46,5	46,46
35 0	47,7	48,13
36 48	46,2	47,00

Mittel = α + 47",26 in Zeit *).

für 21^h 32' 54" Uhrzeit = 21^h 31' 55" Sternzeit, da Sternzeit = *Liebherr* — 59".

Summe der Quadrate der Abweichungen vom Mittel 1,3238;

mittlerer Fehler einer einzelnen Beobachtung 0",59;

mittlerer Fehler des Mittels $\sqrt{\frac{0",59}{5}} = 0",27$.

*) Alle nachfolgenden AR-Differenzen sind in Zeit ausgedrückt.

Nach beobachteter AR. bezog sich der Himmel plötzlich, ehe die Declination bestimmt war. Um 22^h 40' Uhrzeit war der Comet nahezu auf dem Parallel des Sterns, in einem lichten Augenblicke erhascht.

Genäherte Position des Sterns (α)

AR. = 23^h 32',1 Decl. = + 26° 56'

28 October.

Der Comet wurde mit 2 Sternen (β) und (γ) verglichen, von denen der eine nördlich, der andere südlich vom Cometen war, beide folgten dem Cometen in AR. und sind 9^{ter} Größe.

Uhrzeit	AR. Cometae =	AR. Com. für 0 ^h 0' Uhrzeit
23 52 59"	$c - 22,2 = b - 32,5$	$c - 23,61 = b - 33,91$
54 47	$c - 22,5 = b - 33,0$	$c - 23,55 = b - 34,05$
55 55	$c - 21,2 = b - 31,2$	$c - 22,03 = b - 32,03$
57 5	$c - 21,8 = b - 31,8$	$c - 22,39 = b - 32,39$
0 4 53	$c - 23,9 = b - 34,2$	$c - 22,91 = b - 33,21$
6 11	$c - 23,8 = b - 34,2$	$c - 22,55 = b - 32,95$
7 29	$c - 23,4 = b - 33,8$	$c - 21,89 = b - 32,29$
8 38	$c - 23,9 = b - 34,3$	$c - 22,16 = b - 32,56$
Mittel $c - 22,64 = b - 32,92$		
$= \frac{b+c}{2} = 27",78$.		

Summe der Quadrate der Abweichungen vom Mittel 3,4472;

mittlerer Fehler für 1 Beobachtung = 0",70;

für das Mittel $\frac{0",70}{\sqrt{8}} = 0",25$.

Uhrzeit.	Decl. Cometae =	Decl. Com. für 0 ^h 0' Uhrz.
23 30,0	$b - 3 4,4$	$b - 3 22,4$
41,5	$b - 3 9,1 = c + 4 30,6$	$b - 3 23,0 = c + 4 16,7$
48,0	$b - 3 18,8 = c + 4 17,7$	$b - 3 27,8 = c + 4 8,7$
0 13,0	$= c + 4 18,3$	$c + 4 28,0$
19,0	$b - 3 31,4 = c + 4 4,3$	$b - 3 17,2 = c + 4 18,5$
25,0	$b - 3 16,7$	$b - 2 58,0$
27,0	$c + 4 17,2$	$c + 4 37,4$

Die 3 Beobachtungen, bei welchen b und c zusammen beobachtet sind, geben

$$c = b - 7 37",3$$

$$36,6$$

$$35,7$$

Mittel $c = b - 7 37",3$

Hiermit erhält man 7 getrennte Bestimmungen der Declination, denen man gleiches Gewicht geben darf, da der Fehler der Beobachtung von b und c als gegen den Beobachtungsfehler beim Cometen verschwindend angesehen werden kann.

Diese Bestimmungen sind:

Decl. Cometæ für 0^h 0' Uhrzeit.

$$= \frac{b+c}{2} + 0 \text{ } 26,2$$

26,8
20,5
39,4
30,6
50,6
48,8

$$\text{Mittel } \frac{b+c}{2} + 0 \text{ } 34,7$$

Hier ist die Summe der Quadrate der Abweichungen vom Mittel 826,82. Der mittl. Fehler einer Beobachtung 11'',8, der des Mittels $\frac{11,8}{\sqrt{7}} = 4'',5$.

Da Sternzeit = *Liebherr* — 1' 7'', so haben wir für

$$23 \text{ } 58 \text{ } 53 \text{ Sternzeit AR.} = \frac{b+c}{2} - 27,78 \text{ in Zeit}$$

$$\text{Decl.} = \frac{b+c}{2} + 0 \text{ } 34,7.$$

Um 0^h 45' Uhrzeit umfasste der Comet, dessen Durchmesser ungefähr 3' war, einen Doppelstern, aus 2 Sternen 11^{ter} und 12^{ter} GröÙe bestehend, die 1' von einander abstanden. Die hellste Stelle des Cometen lag fast genau in der Mitte beider Sterne.

Genüßerte Position der Sterne.

	AR.	Decl.
	$\frac{b}{0} \frac{c}{0}$	$\frac{b}{0} \frac{c}{0}$
(b)	23 23 19	26 26,2
(c)	23 23 10	26 18,4

29 October.

Der Comet wurde mit dem Sterne (d) 9. 10^{ter} GröÙe verglichen. Vergrößerung 94.

Uhrzeit.	AR.Cometæ	AR.Com.für 21 ^h 31' 0" Uhrz.
21 27 49	$d + 10,2$	$d + 9,55$
28 37	11,6	11,11
29 21	9,6	9,27
30 24	9,6	9,48
31 0	10,0	10,00
31 42	11,0	11,14
32 34	9,2	9,52
33 16	10,2	10,87
Mittel $d + 10,12$		

Summe der Quadrate der Abweichungen 4,4204. Mittlerer

Fehler einer Beobachtung 0,79, des Mittels $\frac{0,79}{\sqrt{8}} = 0,28$.

Uhrzeit.	Decl. Comet.	Decl. Com. für 21 ^h 47' Uhrzeit.
21 37,0	$d + 69,1$	$d + 61,1$
21 42,0	58,2	54,2
21 44,0	39,3	36,9
21 47,0	51,2	51,2
21 56,0	37,1	44,3
21 57,0	42,9	50,9
Mittel $d + 49,8$		

Summe der Quadrate der Abweichungen vom Mittel 346,88.

Mittl. Fehler einer Beob. 8,3; für Mittel $\frac{8,3}{\sqrt{8}} = 3,4$.

Der Comet rückte immer näher an den Stern und bedeckte ihn. Um 22^h 17' Uhrzeit war der Comet noch etwas östlich. Um 22^h 21' 0" Uhrzeit fand ich die AR. beider genau gleich. Nach der Ephemeride gebraucht der Comet um 10'',12 in Zeit in AR. zurückzugehen, $\frac{10,12}{0,2028} = 49,9$ Zeit, woraus die Uhrzeit der Conjunction in AR. 21^h 31' 0" + 49,9 = 22^h 20,9", mit der beobachteten Conjunctionszeit auf 0',1 übereinstimmend. Für 22^h 21' 0" war der Declinationsunterschied

$$49,8 - 34 \text{ } 0,800 = 49,8 - 27,2 = 22,6.$$

Um welche Quantität des Cometen-Centrum nördlich beim Stern vorbeigang. (Cometen-Centrum heißt der leuchtendste Punkt des Nebels.) Der Durchmesser des Cometen ist ungefähr 3', eine unsichere Bestimmung bei der Schwäche des Nebels.

Da Sternzeit = *Liebherr* — 1' 11'', so haben wir

für 21 ^h 29' 49" Sternzeit AR. Cometæ	= $d + 10,12$ in Zeit.
für 22 19 49 — — — — —	= $d + 0,00$ — —
für 21 45 49 — — — — —	Decl.Cometæ = $d + 49,8$

Genüßerte Bestimmung des Sterns (d).

$$\text{AR.} = 23 \text{ } 18 \text{ } 18 \quad \text{Decl.} = +26 \text{ } 7'$$

8' nördlich von (d) steht ein Doppelstern V^{ter} Classe aus zwei gleichen Sternen.

1 November.

Der Comet hat an Helligkeit zugenommen, und ist sehr gut im Sucher sichtbar. Er wurde mit einem Stern (e) 8^{ter} GröÙe verglichen, der nördlicher war, südlicher stand ein anderer schwächerer Stern.

Uhrzeit.	Decl. Cometae =	Decl. Com. für 22 ^h 25' Uhrzeit.
21 30,4	$e - 4' 7,6$	$e - 4' 58,6$
37,2	4 4,9	4 49,7
41,1	4 26,2	5 7,4
44,5	4 35,7	5 13,7
22 16,2	4 57,1	5 5,6
21,5	5 21,8	5 25,0
24,0	5 9,7	5 10,7
25,3	5 3,8	5 3,6
26,7	5 9,1	5 7,5
23 3,3	5 32,5	4 57,6
4,6	5 24,4	4 47,3
8,2	5 39,2	4 58,5
11,5	5 44,0	5 0,3
12,9	5 54,2	5 9,3
Mittel $e = 5' 3',9$		

Summe der Quadrate der Abweichungen vom Mittel 1231,94.
Mittlerer Fehler einer Beobachtung = 9",8, mittlerer Fehler
des Mittels $\frac{9,8}{\sqrt{14}} = 2",7$.

Uhrzeit.	AR. Cometae	AR. Cometae für 22 ^h 25' Uhrzeit.
21 56' 6"	$e + 14,5$	$e + 8,62$
57 18	18,9	8,26
58 14	18,2	7,78
59 5	19,0	7,74
22 2 52	11,4	6,90
3 50	12,1	7,80
4 50	12,1	8,00
6 0	11,8	7,92
31 19	5,5	6,78
32 48	7,2	8,78
33 12	6,0	7,70
33 45	5,0	6,78
34 54	6,4	7,41
35 34	6,2	8,36
36 25	5,5	7,82
Mittel $e + 7",78$		

Summe der Quadrate der Abweichungen vom Mittel
= 5,2617. Mittlerer Fehler einer Beobachtung 0",61,
mittlerer Fehler des Mittels $\frac{0",61}{\sqrt{15}} = 0",16$.

Vor und nach der Conjunction in AR. zwischen dem
Cometen und Stern wurden folgende Positionswinkel des
Cometen vom Stern aus beobachtet, aus welchen sich mit
der nach den obigen Beobachtungen und der Bewegung
nach der Ephemeride bekannten Declinationsdifferenzen sehr
genaue Unterschiede der AR. ableiten lassen. Ist nemlich

für eine Zeit t der Positionswinkel = w , und die dieser
Zeit entsprechende Declinationsdifferenz = $\Delta\delta$, so ist

$$\text{in Zeit } \Delta\text{AR.} = \frac{\Delta\delta \cdot \cotang w}{15 \cos \delta}$$

Uhrzeit.	$w =$	$\Delta\text{AR.}$	AR. Com. für 23 ^h 2' Uhrzeit.
22 39,6	79 10 A. Sq.	+ 4,47	$e - 0",08$
44,5	81 28	+ 3,56	- 0,00
46,0	82 13	+ 3,25	- 0,00
47,2	83 0	+ 2,93	- 0,08
53,1	85 51	+ 1,74	- 0,07
55,6	86 47	+ 1,38	+ 0,08
23 19,7	80 58 A. Pr.	- 4,15	- 0,45
21,7	81 20	- 4,00	+ 0,01
24,0	79 56	- 4,69	- 0,22
26,5	80 26	- 4,48	+ 0,50
Mittel $e = 0",03$			

Die so gefundenen $\Delta\text{AR.}$ sind ausgezeichnet genau. Die
Summe der Quadrate der Abweichungen vom Mittel
ist 0,4855. Der mittlere Fehler einer Beobachtung für
die AR. = 0",23, der des Mittels $\frac{0,23}{\sqrt{10}} = 0",07$.

Da Sternzeit = *Liebherr* - 1' 25", so haben wir fol-
gende Positionen

für 22 23 35 Sternzeit	AR. Cometae	= $e + 7",78$
für 23 0 35		= $e - 0,03$
für 22 23 35	Decl. Cometae	= $e - 5' 3",9$

Die beiden AR. sind um 7",81 verschieden. In 37' Stern-
zeit beträgt die Bewegung des Cometen aber 7",49 in Zeit,
so daß die beiden AR. auf 0",32 Zeit übereinstimmen.

Genäherter Ort des Sterns (ϵ).

$$\text{AR.} = 23 \text{ } 3 \text{ } 33 \quad \text{Decl.} = + 25' 6''$$

2 November.

Der Comet wurde mit 56 Pegasi verglichen in AR,
vor dem er vorlief, in Declination ward er mit einem
Stern (f) von der 9^{ten} GröÙe verglichen, der fast genau
auf dem Parallel von 56 Pegasi 57" Zeit ohngefähr vor
56 Pegasi vorangeht ist. (f) ist der letzte südlichste und
hellste eines Trapezii von 3 Sternen 9^{ter} und einem 10^{ter} Gr.
Nach 2 Micrometernmessungen ist

$$\begin{aligned} \text{Decl. } (f) &= 56 \text{ Pegasi} + 9", \\ &\quad + 11,0 \\ \text{Mittel} &= 56 \text{ Pegasi} + 10",35. \end{aligned}$$

Uhrzeit.	AR. Cometae =	AR. Cometae für 2 ^h 30' Uhrzeit.
2 7 18	56 Pegasi — 47,4	56 Pegasi — 52,01
9 32	48,7	52,86
11 23	48,5	52,28
13 37	47,2	50,52
18 39	49,2	51,51
21 33	50,4	52,13
23 9	51,0	52,38
24 54	52,5	53,54
27 8	51,4	51,99
42 25	53,8	51,28
46 44	54,9	51,51
48 49	55,9	52,08
50 49	55,8	51,58
52 43	55,7	51,09
Mittel 56 Pegasi — 51 ^h ,91		

Summe der Quadrate der Abweichungen vom Mittel 7,4412.
Mittlerer Fehler einer Beobachtung 0^h,75, des Mittels

$$\sqrt{14} = 0^h,20.$$

Uhrzeit.	Decl. Cometae	Decl. Cometae für 2 ^h 35' Uhrz.
1 55,5	$f + 3 28,3$	$f + 2 49,6$
57,6	$+ 3 33,4$	56,8
2 0,7	$+ 3 8,5$	35,0
2,2	$+ 3 15,6$	43,5
2 32,6	$+ 2 31,4$	29,0
34,6	$+ 2 35,5$	35,1
37,3	$+ 2 46,2$	48,6
39,5	$+ 2 43,1$	47,5
8 6,7	$+ 2 17,1$	47,8
9,2	$+ 2 11,1$	44,6
10,8	$+ 2 7,4$	42,5
12,3	$+ 2 17,8$	54,3
Mittel $f + 2'44''$,5		

Summe der Quadrate der Abweichungen 734,90. Mittlerer Fehler einer Beobachtung 8^h,2, des Mittels $\sqrt{12} = 2^h,4$.

Außerdem wurden noch folgende Positionswinkel des Cometen vom Sterne (f) aus beobachtet, und hieraus die Δ AR. abgeleitet.

Uhrzeit.	ω	Δ AR.	AR. Com. für 3 ^h 0' Uhrz.
2 55,1	89 56 B. Sq.	$+ 0,01$	$f - 0,98$
57,8	85 21 B. Pr.	$- 0,85$	$- 1,29$
59,3	86 51 —	$- 0,57$	$- 0,71$
3 0,6	83 3 —	$- 1,24$	$- 1,12$
3,2	81 46 —	$- 1,45$	$- 0,81$
Mittel		$f - 0h,98$	

Die Summe der Quadrate der Abweichungen ist hier 0,2175. Der mittlere Fehler einer AR. = 0^h,23, der des Mittels $\sqrt{5} = 0^h,10.$

Da Sternzeit = *Liebherr* = 1^h 23^h, so haben wir folgende Oerter des Cometen:

für 2 28 31^h Sternz. AR. Cometae = 56 Pegasi — 51^h,91
— 2 33 31 — Decl. Cometae = $f + 2'44''$,5
— 2 58 31 — AR. — = $f - 0^h,98$.

7 November.

Um 21^h 0' Sternzeit war ein Stern 11^{ter} Größe so central im Nebel zu sehen, daß ich anfangs glaubte, es sei ein durchschimmernder Kern des Cometen. Die Bewegung liefs den Stern aber bald heraustreten, und um 21^h 30' hatte er bereits den helleren Theil des Nebels verlassen. Im Sucher hatte der Nebel jetzt einen Durchmesser von 9'. Die hellste Stelle des Nebels war aber auch hier nicht im Schwerpunkte der Figur, sondern näher am nachfolgenden und nördlichen Rande des etwas länglichten Nebels. Das selbe war schon an den früheren Tagen am Refractor trotz der großen Schwäche des Cometen bemerkt, das nemlich vom Schwerpunkt der Figur aus die hellste Stelle des Nebels nicht zur Sonne lag, sondern von dieser abgewandt unter einem sehr stumpfen Winkel. — Im Refractor war heute mit 94facher Vergrößerung der Comet auf ohngefähr 18' Ausdehnung sichtbar, wenn gleich gegen die Grenzen sehr schwach. Der hellste Theil des Nebels hatte ohngefähr 4' Durchmesser, und lag bedeutend excentrisch. Fig. I. stellt den Cometen dar, wie ich ihn nach sorgfältiger Prüfung fand. ab und cd sind 2 Durchmesser des Cometen, jeder von ohngefähr 16'. Von e durch b nach d ist eigentlich gar keine Begrenzung des Cometen vorhanden, er verliert sich allmählig. Bey a ist die Begrenzung nach e und d zu offenbar schärfer und parabolisch gekrümmt. Der hellere Theil des Cometen erstreckt sich von a bis nahezu an k den Schwerpunkt der Figur, seine Form ist der des größeren Nebels analog, und namentlich ist die schärfere Begrenzung bey a kenntlich. Der hellste Punkt des Cometen k , der aber gar nichts bestimmt bezeichnendes hat, liegt, wie die Figur zeigt, entschieden ebenso außerhalb des Schwerpunktes l des helleren Theiles des Cometen von a bis k , als dieser hellere Theil excentrisch in Bezug auf k .

Bei der Bestimmung des Ortes wurde nach k dem hellsten Punkte visirt, dessen AR. nahezu mit der des Schwerpunktes k zusammenfiel, dessen Declination aber größer war als die von k .

Der Punkt b liegt von a aus 87° A. Pr. oder südlich vorangehend, d. h. Winkel $\angle Wab = 87^\circ$.

Der Comet ward mit einem Sterne (λ) verglichen von der 10^{ten} Größe.

Uhrzeit.	AR. Cometæ	AR. Cometæ für 22 ^h 40' Uhrzeit.
22 17 35	$\lambda - 46,8$	$\lambda - 51,21$
18 59	47,3	— 51,44
21 13	47,9	— 51,61
23 1	48,2	— 51,55
25 24	48,2	— 51,08
53 34	54,2	— 51,54
55 17	55,4	— 52,38
57 28	53,7	— 50,25
59 26	55,0	— 51,17
23 1 26	56,7	— 52,48
Mittel $\lambda = 51,47$		

Summe der Quadrate der Abweichungen vom Mittel 3,6781.
Mittlerer Fehler einer Beobachtung $0,64$, des Mittels $0,64 = 0,20$.
 $\sqrt{10}$

Uhrzeit.	Decl. Cometæ	Decl. Com. für 22 ^h 40' Uhrzeit.
22 34,8	$\lambda - 3' 26,8$	$\lambda - 3' 32,4$
36,2	45,6	49,8
38,5	43,1	44,6
40,7	39,9	39,2
43,8	36,8	32,6
44,5	45,4	40,5
47,0	45,3	37,7
Mittel $\lambda = 3' 39,7$		

Summe der Quadrate der Abweichungen vom Mittel 234,61.
Mittlerer Fehler einer Beobachtung $6,3$, des Mittels $6,3 = 2,4$.
 $\sqrt{7}$

Da λ zu schwach war, um am Meridiankreise beobachtet werden zu können, so wurde er am Filarmicrometer mit λ Pegasi beobachtet.

AR. $\lambda = \lambda$ Pegasi	$- 2' 43,9$	} Beobachtungszeit im Mittel für λ Pegasi 23 ^h 19'
	43,8	
	43,55	
Mittel	$- 2' 43,75$	
Decl. $\lambda = \lambda$ Pegasi	$- 5' 24,1$	} 23 ^h 32'
	$- 5' 27,6$	
Mittel λ Pegasi	$- 5' 25,8$	

Die mittleren Beobachtungszeiten von λ Pegasi dienen zur Berechnung des Einflusses der Refraction, die aber ganz

unbedeutend ist, da sie nur $0,2$ in Declination betragen kann.

Da Sternzeit = *Liebherr* — $1' 49''$: so haben wir für
22 38 11 Sternz. AR. Com. = $\lambda - 51,47 = \lambda$ Peg. — $3' 35,22$
Decl. Com. = $\lambda - 3' 39,7 = \lambda$ Peg. — $9' 5,5$

Um $0^h 52'$ *Liebherr* war der Comet abermals in Conjunction mit einem Stern 10^{ter} Größe, so daß ihre AR. gleich war, und der Stern in Declination nur wenige Sekunden von der hellsten Nebelstelle abstecken konnte. Eine Schwächung des Sterns ward nicht bemerkt.

9 November.

Der Comet ward mit einem Stern (λ) $8,9^{ter}$ Größe verglichen.

Uhrzeit.	AR. Com.	AR. Com. für 22 ^h 20' Uhrzeit.
21 57 52	$\lambda - 9,4$	$\lambda - 13,67$
59 16	10,7	14,70
22 1 30	9,8	13,37
2 50	11,1	14,42
4 3	12,2	15,29
5 28	11,4	14,20
38 59	19,5	14,83
40 20	18,7	14,78
41 25	19,8	15,67
42 44	19,4	15,02
43 33	19,9	15,28
Mittel $\lambda = 14,63$		

Summe der Quadrate der Abweichungen vom Mittel 4,9674.
Mittlerer Fehler einer Beobachtung $0,71$, des Mittels $0,71 = 0,22$.
 $\sqrt{11}$

Uhrzeit.	Decl. Com.	Decl. Com. für 22 ^h 20' Uhrzeit.
22 17,7	$\lambda + 1' 27,3$	$\lambda + 1' 24,5$
20,0	1 32,5	1 32,5
21,6	1 19,8	1 21,8
25,4	1 24,8	1 31,4
29,7	1 15,0	1 26,9
31,5	1 14,1	1 28,3
33,5	1 4,0	1 20,6
Mittel $\lambda + 1' 26,6$		

Summe der Quadrate der Abweichungen vom Mittel 234,61.
Mittlerer Fehler einer Beobachtung $6,3$, des Mittels $6,3 = 2,4$.
 $\sqrt{7}$

Genäherter Ort des Sterns (λ).
AR. = 22 25 43 Decl. = 21 33.

(A) ist der nördlichste und hellste von 3 Sternen 8. 9^{ter} Gr., ein 4^{ter} Stern 8^{ter} Größe folgt südlich nach; siehe Fig. II.

Da Sternzeit = *Liebherr* — 1' 57" ist: so ergibt sich

$$\begin{aligned} \text{für } 22^{\text{h}} 18^{\text{m}} 3^{\text{s}} \text{ Sternzeit AR. Cometae} &= k - 14,53 \\ \text{Decl. Cometae} &= k - 1' 26,6. \end{aligned}$$

10 N o v e m b e r.

Der Comet ward mit einem Sterne (I) 9^{ter} Größe verglichen.

Uhrzeit.	AR. Com. =	AR. Com. für 22 ^h 5' Uhrzeit.
21 43 32	<i>l</i> — 59,4	<i>l</i> — 1' 3,50
46 48	60,6	4,07
49 20	60,65	3,65
52 20	61,65	4,07
56 56	61,65	3,20
22 19 30	67,15	4,39
22 19	67,0	3,70
24 41	68,35	4,59
(2 Fäden)		Mittel <i>l</i> — 1' 3",90

Summe der Quadrate der Abweichungen vom Mittel 1,5265.
Mittlerer Fehler einer Beobachtung 0",47, des Mittels

$$0",47 = 0",16.$$

Uhrzeit.	Decl. Com. =	Decl. Com. für 22 ^h 10' Uhrzeit.
22 3,9	<i>l</i> — 45,6	<i>l</i> — 53,3
6,2	59,0	63,8
8,3	63,1	65,3
11,2	65,0	63,5
13,0	64,0	60,2
15,6	62,8	55,8
		Mittel <i>l</i> — 60",2

Summe der Quadrate der Abweichungen vom Mittel 117,83.
Mittlerer Fehler einer Beobachtung 4",9, des Mittels

$$4",9 = 2",0.$$

Da Sternzeit = *Liebherr* — 2' 1", so ergibt sich:

$$\begin{aligned} \text{für } 22^{\text{h}} 2^{\text{m}} 59^{\text{s}} \text{ Sternzeit AR. Cometae} &= l - 1' 3,99 \\ 22^{\text{h}} 7^{\text{m}} 59^{\text{s}} \text{ Decl.} &= l - 1' 0",2. \end{aligned}$$

Genäherter Ort des Sterns (O)

$$\text{AR.} = 22^{\text{h}} 22^{\text{m}} 2^{\text{s}} \quad \text{Decl.} = +21^{\circ} 7'$$

Der Stern *l* ist der hellere und südlich nachfolgende von 2 Sternen 9^{ter} Größe, die 1',5 von einander abstehen.

Ein etwas hellerer Stern ist 6' nördlich, ein schwächerer 4' südlich.

30 N o v e m b e r.

Nach anhaltend trüber Witterung konnte heute der Comet wieder beobachtet werden. Er hatte auffallend an Lichtstärke zugenommen, und ward mit unbewaffnetem Auge wie ein Stern der 6^{ten} Größe gesehen. Im Sucher ist er sehr hell, und die Eccentricität des hellsten Punctes auffallend. Fig. III stellt den Comet dar, wie er unter 94facher Vergrößerung erschien. *k* ist der fast kreisförmig erscheinende Kernnebel. Der hellere Nebel erstreckt sich von *a* fast bis zum Schwerpunkte der Figur *k*. Der Durchmesser *cd* ist 9'. Die äußerste Grönze bei *b* ist nicht zu bestimmen, da der Comet hier so verwaschen erscheint. Der hellere Nebel von *a* bis nahe an *k* hat 4' Durchmesser, und geht bis an die äußerste Grönze des Cometen bey *a*, während am 7. Nov., in Fig. I, *a* von *a* bedeutend abstand. In diesem helleren Nebel liegt der Kernnebel *k* excentrisch auf künstliche Weise wie am 7. Nov. Die Linie von *a* durch *k* nach *b* ist so gelegen, daß *b* von *a* nur in der Richtung 51° A. Pr. liegt. Die Begränzung von *d* durch *a* nach *c* ist auch diesmal parabolisch, und viel schärfer als von *d* durch *b* nach *c*.

Der Comet wurde mit einem Stern (*m*) 8. 9^{ter} Größe verglichen.

Uhrzeit.	AR. Com. =	AR. Cometae für 23 ^h 45' Uhrz.
23 19 32	<i>m</i> — 27,2	<i>m</i> — 31,24
21 42	27,6	31,29
22 59	28,0	31,48
24 20	28,1	31,38
25 35	28,1	31,17
42 3	30,4	30,88
43 45	31,3	31,49
46 17	31,4	31,19
47 45	31,1	30,67
49 0	31,8	31,16
0 4 26	34,0	30,93
5 49	34,3	31,00
7 5	34,8	31,30
8 10	34,8	31,12
10 27	34,8	30,76
		Mittel <i>m</i> — 31",14

Summe der Quadrate der Abweichungen vom Mittel 0,8543.
Mittlerer Fehler einer Beobachtung 0",25, des Mittels

$$0",25 = 0",07.$$

Uhrzeit.	Decl. Cometæ =	Decl. Com. für 23 ^h 45' Uhrz.
23 32,7	$m + 1\ 44,0$	$m + 1\ 25,5$
34,2	1 45,1	28,9
35,4	1 47,7	33,3
36,9	1 43,4	31,2
38,3	1 42,5	32,4
52,4	1 28,2	39,3
54,4	1 15,6	29,7
56,1	1 13,8	30,5
59,8	1 18,0	40,2
0 1,2	1 6,6	31,0
Mittel $m + 1\ 32'',2$		

Summe der Quadrate der Abweichungen vom Mittel 183,0.

Mittlerer Fehler einer Beobachtung 4'',5, des Mittels $\sqrt[4]{10} = 1'',4$.

Da Sternzeit = *Liebherr* = 28'', so ist:
für 23 44 32 Sternzeit AR. Cometæ = $m - 31'',14$
Decl. Cometæ = $m + 1\ 32'',2$.

Genäherter Ort des Sterns (m).
AR. = 20^h 59' 32" Decl. = + 9° 53'

2 December.

Der Comet wurde mit einem Stern (n) 9. 10^{ter} Größe verglichen. Vergrößerung 214.

Uhrzeit.	AR. Com. =	AR. Cometæ für 23 ^h 50' Uhrz.
23 30 50	$n - 31,1$	$n - 34,17$
31 48	32,0	34,90
33 31	31,7	34,34
37 14	33,3	35,25
38 34	33,0	34,82
0 1 5	37,0	35,23
2 14	37,1	35,16
4 45	37,4	35,05
Mittel $n - 34'',88$		

Summe der Quadrate der Abweichungen vom Mittel 1,2503.

Mittl. Fehler einer Beob. 0'',42, des Mittels $\sqrt[9]{8} = 0'',15$.

Uhrzeit.	Decl. Com. =	Decl. Cometæ für 23 ^h 50'
23 47,0	$n + 2\ 17,3$	$n + 2\ 12,7$
49,7	2 9,9	9,4
51,9	2 9,4	12,3
55,0	2 5,0	12,6
57,2	1 56,1	9,1
Mittel $n + 2\ 11'',2$		

Summe der Quadrate der Abweichungen vom Mittel 13,08.

Mittl. Fehler einer Beob. 1'',81, des Mittels $\sqrt[5]{81} = 0'',81$.

Da (n) vielleicht zu schwach ist, um im Meridiankreise bestimmt zu werden, so wurde er mit (o) 7^{ter} Größe verglichen.

AR. n = (o) + 4	$\frac{14,85}{14,85}$	Mittl. Beobachtungzeit von (o)
	$\frac{14,8}{14,8}$	0 ^h 13',3.
Mittel = (o) + 4	$\frac{14'',83}{14'',83}$	
Decl. n = (o) + 2	$\frac{39,2}{39,3}$	0 ^h 33,0.
	$\frac{39,3}{39,3}$	
Mittel = (o) + 2	$\frac{39'',25}{39'',25}$	

Hiernach ist, da Sternzeit = *Liebherr* = 36'':
für 23 49 24 Sternz. AR. Com. = $n - 34,88 = (o) + 3\ 39'',5$
Decl. Com. = $n + 2\ 11'',2 = (o) + 4\ 50,45$

Genäherter Ort von (n) und (o).

AR. (n) = 20 52 0	Decl. (n) = + 8 41
AR. (o) = 20 47 45	Decl. (o) = + 8 38

5 December.

Der Comet wurde mit einem Stern (p) 8^{ter} Größe verglichen. Vergrößerung 214.

Uhrzeit.	AR. Com. =	AR. Cometæ für 0 ^h 2' Uhrzeit.
23 36 0	$p + 2\ 22,52$	$p + 2\ 18,23$
39 58	22,2	18,56
43 43	21,27	18,25
0 21 12	15,1	18,27
24 46	14,6	18,37
28 10	14,1	18,43
(2 Fäden.)		
Mittel $p + 2\ 18'',35$		

Summe der Quadrate der Abweichungen vom Mittel 0,0817.

Mittl. Fehler einer Beob. 0'',13, des Mittels $\sqrt[6]{13} = 0'',06$.

Uhrzeit.	Decl. Com. =	Decl. Cometæ für 0 ^h 2' Uhrzeit.
23 54 6	$p + 3\ 56,8$	$p + 3\ 44,2$
58 34	46,3	40,9
0 2 23	35,5	36,4
6 43	27,8	38,5
12 15	21,1	37,6
Mittel $p + 3\ 39'',5$		

Summe der Quadrate der Abweichungen vom Mittel 40'',22.

Mittl. Fehler einer Beobachtung 3'',2, des Mittels 1'',4.

Da Sternzeit = *Liebherr* = 46'': so folgt
für 0 1 14 Sternzeit AR. Cometæ = $p + 2\ 18'',35$
Decl. Cometæ = $p + 3\ 39,3$.

Genäherter Ort des Sterns (p).
AR. = 20^h 37' 34" Decl. = + 6° 46'

(Der Beschluss folgt.)

Altona im Februar 1829. (Hiebei eine Steindrucktafel.)

ASTRONOMISCHE NACHRICHTEN.

No. 154.

Beobachtungen des *Enckeschen* Cometen auf der Dorpater Sternwarte mit dem großen Refractor von *Fraunhofer*, aufgestellt 1828.

(Beschluss.)

7 December.

Der Comet ist gut mit bloßem Auge sichtbar, und ganz so hell wie 13 Delphini, also wie ein Stern 5^{ter} Größe. Der Durchmesser des Cometen fand sich im Refractor mit Vergrößerung 94 = 6'. In Fig. IV stellt der Kreis den Umfang des Cometen dar. *K* ist das Centrum dieses Kreises, *k* die hellste Stelle oder der Kernnabel. Bei *a* ist der Comet gut begrünzt, bei *b* sehr schlecht. Ueberhaupt macht der so sternreiche Hintergrund die Auffindung der Cometenbegrenzung sehr schwer. *a k* ist nahezu = $\frac{1}{2} a K$. *b* liegt von *a* aus in der Richtung 56½° A. Fr.

Der Comet ward mit Vergrößerung 214 mit einem Stern (*g*) 8.9^{ter} Größe verglichen.

Uhrzeit.	AR. Com. =	AR. Cometae für 22 ^h 44' Uhr.
22 24 58	<i>g</i> — 30,9	<i>g</i> — 34,09
26 21	31,4	34,37
27 46	31,7	34,42
28 47	30,8	33,35
29 52	31,6	33,56
52 39	35,8	34,34
53 56	35,3	33,64
55 16	36,3	34,41
56 39	36,3	34,17
57 56	36,2	33,87
59 18	36,6	34,03
		Mittel <i>g</i> — 34 ^h ,06

Summe der Quadrate der Abweichungen vom Mittel 1,671.
Mittlerer Fehler einer Beobachtung 0^h,34, des Mittels $\sqrt{10} = 0^h,10.$

Uhrzeit.	Decl. Com. =	Decl. Com. für 22 ^h 44' Uhr.
22 39,3	<i>g</i> — 13,6	<i>g</i> — 21,6
41,2	20,2	24,9
42,8	29,1	31,1
44,3	30,5	30,0
45,9	27,0	23,9
47,5	36,4	30,6
48,9	36,8	28,7
		Mittel <i>g</i> — 27 ^h ,2

Summe der Quadrate der Abweichungen vom Mittel 87,64.
Mittlerer Fehler einer Beobachtung 3^h,8, des Mittels $\sqrt{7} = 1^h,4.$

Da Sternzeit = *Liebherr* — 47^h, so folgt für:

$$22\ 43\ 13\ \text{Sternzeit AR. Cometae} = g - 34,06$$

$$\text{Decl. Cometae} = g - 27,2.$$

Genäherter Ort des Sterns (*g*).

$$\text{AR.} = 20\ 32\ 47'' \quad \text{Decl.} = + 5^{\circ} 34',5.$$

8 December.

Durchmesser und Figur des Cometen fanden sich wie gestern. Der Ort ward durch Vergleichung mit einem Stern (*r*) 11^{ter} Größe bestimmt. Vergrößerung 214.

Uhrzeit.	AR. Cometae =	AR. Cometae für 23 ^h 2' Uhr.
22 49 22	<i>r</i> — 12,2	<i>r</i> — 14,35
50 25	12,4	14,21
51 38	13,0	14,77
52 55	13,2	14,76
53 50	13,1	14,50
23 10 1	15,3	13,94
11 3	15,8	14,24
11 56	16,0	14,31
12 52	16,5	14,64
13 59	16,5	14,45
		Mittel <i>r</i> — 14 ^h ,42

Summe der Quadrate der Abweichungen vom Mittel 0,5989.
Mittl. Fehler einer Beob. 0^h,26, des Mittels $\sqrt{10} = 0^h,08.$

Uhrzeit.	Decl. Com. =	Decl. Cometae für 23 ^h 2' Uhr.
22 57,1	<i>r</i> — 22,7	<i>r</i> — 31,0
59,5	28,5	32,0
23 1,0	29,7	31,4
1,0	32,0	32,2
3,3	34,6	34,2
4,5	38,6	30,7
6,4	38,1	
		Mittel <i>r</i> — 32,0

12

Summe der Quadrate der Abweichungen vom Mittel 8,09.
Mittlerer Fehler einer Beobachtung $1''/2$, des Mittels
 $\sqrt{1''/2} = 0''/5$.

Da der Stern (γ) zu schwach ist, um im Meridiankreis gegeben zu werden, so ward er mit einem vorangehenden Sterne (γ) von der 7^{ten} Größe verglichen.

AR. $r = s + 3' 17,8$	Mittlere Beobachtungszeit von s $23^h 27',9$ Liebherr.	
18,3		
18,2		
18,3		
18,1		
18,2		
17,9		
Mittel $s + 3' 18'',11$		
Decl. $r = s + 2' 11,9$	$23^h 45',9$ Liebherr.	
12,2		
$s + 2' 12'',6$		

Da Sternzeit = Liebherr = $48''$: so ist
für $23^h 12'$ Sternz. AR. Comet. = $r - 14'',42 = s + 3' 3,9$
Decl. Com. = $r + 32'',0 = s + 140,6$

Genäherter Ort des Sterns r .
AR. = $20^h 25',2''$ Decl. = $+ 40' 21''$

Dieser Stern ist Delphini 19 der Uranographie von Bode, ein von Messier bestimmter Stern.

14 December.

Der Comet erscheint beim Mondschein unter 94facher Vergrößerung $\frac{1}{2}$ Minuten im Durchmesser groß, nahezu kreisförmig. In Fig. V zeigt der Kreis den Umfang des Cometen, und k die Stelle der grössten Helligkeit des Nebels, so daß $ak = \frac{1}{2} ab$, wo ab ein Durchmesser, dessen Lage so ist, daß b von a aus unter der Richtung $64^\circ,5$ A. Pr. oder südlich vorangehend ist.

Zur Ortsbestimmung ward der Comet mit einem Sterne (γ) 8^{ter} Größe verglichen.

Uhrzeit.	AR. Com. =	AR. Com. für $23^h 49'$ Uhrzeit.
$22^h 34' 1''$	$t - 31,1$	$t - 34,02$
25 30	31,0	33,62
37 3	31,8	34,13
38 41	32,0	34,01
39 53	32,2	33,97
57 36	35,9	34,23
58 59	36,2	34,25
23 0 19	36,2	34,01
1 36	37,0	34,55
2 57	37,0	34,28
Mittel $t + 34'',11$		

Summe der Quadrate der Abweichungen vom Mittel 0,5447.
Mittlerer Fehler einer Beobachtung $0''/25$, des Mittels
 $\sqrt{0''/25} = 0''/5$.

Uhrzeit.	Decl. Comet. =	Decl. Com. für $23^h 49'$ Uhrzeit.
$22^h 43' 45''$	$t + 2' 28,1$	$t + 2' 18,3$
45 0	2 15,1	7,2
46 11	2 16,0	10,5
47 21	2 19,5	16,1
49 2	2 12,5	12,5
50 40	2 12,0	13,4
51 53	2 14,6	20,3
53 23	2 9,0	17,7
Mittel $t + 2' 14'',8$		

Summe der Quadrate der Abweichungen vom Mittel 134,70.
Mittl. Fehler einer Beob. $4'',4$, des Mittels $\sqrt{4'',4} = 1'',6$.

Da Sternzeit = Lieberr = $56''$, so haben wir:
für $22^h 48' 4''$ Sternzeit AR. Comet. = $t - 34'',11$
Decl. = $t - 2' 14'',8$.
Genäherter Ort des Sterns (γ)
AR. = $20^h 24',8''$ Decl. = $+ 0' 34''$

25 December.

Der Comet war am hellen Westhimmel sehr schön im Fernrohr zu sehen, der hellste Punkt des Nebels sehr bestimmt, so daß die nachfolgenden Beobachtungen trotz des niedrigen Standes des Cometen von ausgezeichnete Güte sind. Die Beobachtungen konnten fortgesetzt werden, bis der Comet hinter den über dem Horizonte liegenden Wolkten verschwand. Zuerst wurde unter Anwendung der Vergrößerung 94 der Comet mit einem $14'$ nördlicher stehenden Sterne (α) von der 6^{ten} Größe verglichen, wobei noch keine Fädenleuchtung gebraucht ward, da die Spinnfäden noch deutlich ohne sie gesehen wurden.

Uhrzeit.	AR. Com. =	AR. Com. für $23^h 3'$ Uhrzeit.
$23^h 0' 51''$	$u - 45,0$	$u - 45,64$
2 31	45,4	45,64
4 24	45,9	45,68
5 59	46,1	45,50
Mittel $u - 45'',61$		

Hierauf ward der Comet mit einem nunmehr sichtbar gewordenen Sterne (γ) 7,8^{ter} Größe verglichen.

Uhrzeit.	Decl. Comet. =	Decl. Com. für $23^h 21' 20''$ Uhrz.
$23^h 18' 8''$	$v - 2' 36,7$	$v - 2' 44,8$
20 4	2 45,4	48,6
22 36	2 49,5	46,2
24 44	2 55,0	46,4
Mittel $v - 2' 46'',5$		

Uhrzeit.	AR. Com. ==	AR. Com. für 23 ^h 33' Uhrzeit.
23 28 24 ^h	$\nu + 44,3$	$\nu + 44,19$
30 23	44,8	44,17
31 51	43,9	43,62
33 39	43,9	44,06
35 30	43,1	43,70
38 6	43,0	44,23
Mittel $\nu + 44^{\circ},00$		

In der ersten Rectascensionsreihe ist die Summe der Quadrate der Abweichungen vom Mittel 0,0188, in der zweiten 0,3556. Aus beiden ist der mittlere Fehler einer AR. = $0^{\circ},22$, also der des Mittels der ersten Reihe $0^{\circ},22/\sqrt{4} = 0^{\circ},11$, der des Mittels der 2ten Reihe $0^{\circ},22/\sqrt{6} = 0^{\circ},09$. Für die Declinationsbeobachtungen ist die Summe der Quadrate der Abweichungen vom Mittel = 7,40. Der mittlere Fehler einer Beobachtung = $1^{\circ},6$, der des Mittels $\sqrt{4} = 0^{\circ},8$.

Da Sternzeit = <i>Liebherr</i> — 62", so folgt für
23 2 28 Sternzeit AR. Cometae = $u - 42,61$
23 20 18 Decl. = $\nu - 2^{\circ}40',5$
23 31 58 AR. = $\nu + 44,08$

Bei diesen Beobachtungen ist der Einfluss der Refraction zu berechnen, der vorzüglich für das erste Resultat bedeutend ist, da Comet und Stern in Decl. 14' verschieden waren. Dieser Declinationsunterschied wird sich aus dem Orte des Sterns genauer ergeben. Thermometer in der Luft — $12^{\circ},0$ Reaumur, Barometer 337,5 Lin. Par. 1 Thermometer des Barometers — $11^{\circ},0$ Reaumur.

Der Stern (u) ist Aquilae 57 nach *Bode's* Uranographie, der Stern (ν) ist der nachfolgende von zwei gleich hellen 7. ^{ten} Größe, die nahezu auf einem Parallell um 6' von einander absteheu.

Genäherte Oerter der Sterne (u) und (ν).

AR. (u) = $19^{\circ}45'$	Decl. (u) = $-8^{\circ}59'$
AR. (ν) = $19^{\circ}316'$	Decl. (ν) = $-9^{\circ}13'$

Diese Oerter sind aus der Uranographie und den obigen Vergleichen abgeleitet.

Die excentrische Lage der hellsten Stelle des Cometen war auch heute sehr auffallend, und nahezu wie früher, insofern hinderte mich die Helligkeit des Himmelsgrundes die Richtung wie früher durch Messung zu bestimmen.

26 December.

Der Comet wurde niedrig am Westhorizonte im Sucher und Refractor erkannt, und mit einem Stern (w) von der 7ten Größe verglichen.

Uhrzeit.	AR. Com. ==	Decl. Com. für 23 ^h 7' 14" Uhrz.
23 4 47 ^h	$w - 3^{\circ}38,15$	$w - 3^{\circ}38,75$
23 9 42	3 39,4	— 3 38,8
(2 Fäden)		Mittel $w - 3^{\circ}38^{\circ},77$

Diese AR. Beobachtungen sind sehr genau ohne Erleuchtung der Fäden.

Uhrzeit.	Decl. Com. ==	Decl. Com. für 0 ^h 2' Uhrzeit.
23 26 43 ^h	$w + 52,4$	$w + 45,8$
31 54	+ 57,0	+ 63,6
		Mittel $w + 54^{\circ},7$

Diese beiden Beobachtungen weichen stark von einander ab, offenbar ist aber der Comet schon zu nahe am Horizonte, um nicht durch zufällige Veränderungen in der Refraction afficirt zu werden. Thermometer in freier Luft — $14^{\circ},0$ Reaumur. Barometer 337,5 Lin. Par. Thermometer am Barometer — $11^{\circ},1$ Reaumur.

Da Sternzeit = *Liebherr* — $1^{\circ}5'$, so folgt ohne Rück-sicht auf Refraction:

für 23 6 19 Sternzeit AR. Cometae = $w - 3^{\circ}38',77$
23 28 14 Decl. = $w + 54,7$

27 December.

Nach 23^h Sternzeit erkannte ich den Cometen tief am Westhorizonte, und sah ihn bis 23^h 30', wo er niedrig über dem Horizonte verschwand. Eine Ortsbestimmung war nicht möglich, da es an Vergleichsternen mangelte. Ich nahm daher Abschied vom Cometen.

Nachtrag und Bemerkungen.

1.

Die Sterne, mit denen der Comet verglichen ist, sind der größeren Anzahl nach unbestimmt. Die Bestimmung der Oerter derselben am Meridiankreise hat Herr Observator *Frauf* übernommen, und zum Theil schon ausgeführt, ein Theil derselben kann aber erst im nächsten Jahre bestimmt werden, da sie jetzt schon bei Tage durch den Meridian gehen. Unter den zuerst benutzten Sternen sind einige, die wohl zu schwach sind, um im Meridiankreise bei hinlänglicher Erleuchtung des Feldes erkannt und beobachtet zu werden. Diese habe ich am Filarmicrometer gegen andere hellere Sterne bestimmt, deren Oerter nun am Meridiankreise auszumitteln sind. Ich lasse jetzt diese Beobachtungen hier folgen.

Vergleichung des am 29 October gebrauchten
Sternes (d) mit zwei anderen (α) und (β)
am 26 December.

(α) und (β) sind beide 8^{ter} GröÙe und gehen vor (d),
welcher 10^{ter} GröÙe ist, vorher, der eine nördlich der
andere südlich. Ich erhielt:

$$\begin{array}{l} \text{Decl. } d = \alpha + \begin{array}{l} 5' 18,5 \\ + 5' 19,7 \\ + 5' 17,4 \end{array} \left. \begin{array}{l} \text{Mittel der am Stundenkreise} \\ \text{abgelesenen Stundenwinkel} \end{array} \right\} 2^h 37,2. \\ \text{Mittel} + 5' 18,5 \end{array}$$

$$\begin{array}{l} \text{Decl. } d = \beta - \begin{array}{l} 5' 28,6 \\ - 5' 27,7 \\ - 5' 28,6 \end{array} \left. \begin{array}{l} \\ \\ \end{array} \right\} 2^h 42,0. \\ \text{Mittel} - 5' 28,3 \end{array}$$

$$\begin{array}{l} \text{AR. } d = \alpha + \begin{array}{l} 1' 40,55 \\ + 1' 40,5 \\ + 1' 40,4 \end{array} \left. \begin{array}{l} \text{Mittel der Stunden-} \\ \text{kreise } 3^h 0',9. \end{array} \right\} \text{Mittel der Stunden-} \\ \text{Mittel} = \alpha + 1' 40,48 = \beta + 1' 32,71 = \frac{\alpha + \beta}{2} + 1' 36,59 \end{array}$$

Vergleichung des am 28 October gebrauchten
Sternes (c) mit einem helleren (γ) von der
8^{ten} GröÙe am 26 December.

(γ) ist der nördlich nachfolgende von zwei gleichen
Sternen, die einen Doppelstern der VI^{ten} Classe bilden.

$$\begin{array}{l} \text{AR. } c = \gamma + \begin{array}{l} 2' 55,3 \\ 55,25 \\ 55,47 \\ 55,35 \end{array} \left. \begin{array}{l} \text{Mittlerer Stundenwinkel} \\ \\ \end{array} \right\} 3^h 24',0. \\ \text{Mittel } \gamma + 2' 55,34 \end{array}$$

$$\begin{array}{l} \text{Decl. } c = \gamma + \begin{array}{l} 11,1 \\ + 10,1 \\ + 9,7 \end{array} \left. \begin{array}{l} \\ \\ \end{array} \right\} 3^h 50',0. \\ \text{Mittel } \gamma + 10,3 \end{array}$$

Vergleichung des am 2 November gebrauchten
Sternes (f) mit 56 Pegasi,
am 27 December angestellt.

$$\begin{array}{l} \text{AR. } (f) = 56 \text{ Pegasi} - \begin{array}{l} 56,7 \\ 56,83 \\ 56,73 \\ 56,45 \\ 56,72 \\ 56,74 \\ 56,9 \\ 56,65 \end{array} \\ \text{Mittel } 56 \text{ Pegasi} - 56,72 \end{array}$$

$$\text{Decl. } (f) = 56 \text{ Pegasi} + \begin{array}{l} 10,2 \\ + 10,4 \end{array}$$

$$\text{Mittel } 56 \text{ Pegasi} + 10,3$$

Am 2 November war gefunden Decl. (f) = 56 Pegasi
+ 10,35, genau mit der neuen Bestimmung überein-
kommend.

Alle übrigen Sterne sind entschieden hell genug, um
in den so lichtstarken Fernröhren der *Reichenbachschen*
Meridiankreise gesehen zu werden. Sobald Herr *Preuß*
die Bestimmung der Vergleichsterne vollendet haben wird,
werde ich seine Beobachtungen mittheilen. Vielleicht daÙ
dieselben Sterne auch auf andern Sternwarten bestimmt
werden.

2.

Eine wichtige Frage ist bei Cometen-Beobachtungen:
Welches ist der Punct der Figur, dessen Ort man bestim-
men muÙ. Bei Cometen, die einen ausgezeichneten gleich-
förmig hellen Kern haben, mit einem Schweife versehen
sind, ist entschieden der Mittelpunkt des Kerns, oder der
Schwerpunkt seiner Figur der zu beobachtende Punct.
Unser Comet war aber nahezu kreisförmig ohne einen be-
stimmten Kern zu haben, wogegen sich immer die Stelle
der grüÙten Helligkeit darbot. Ich wählte diese zum Ge-
genstande der Beobachtung, und glaube recht gewählt zu
haben, da der Schwerpunkt der Figur des Cometen veränder-
lich erscheint, je nachdem der Zustand der Luft ver-
schieden, die VergröÙerung eine andere, und die Erleuch-
tung der Fäden im Felde eine schwächere oder stärkere ist,
während immer dieselbe Stelle des Cometen als die hellste
gesehen wird, und wir in denselben auch entweder einen
Kern, oder doch wenigstens die grüÙste Anhäufung der
Masse vermuthen müssen. Alle obige Ortsbestimmungen
beziehen sich also auf die jedesmalige hellste Stelle des
Cometen-Nebels. Je ausgezeichneter und bestimmter diese
ist, desto genauer wird auch die Ortsbestimmung sein,
und in dieser Hinsicht nahm die Sicherheit der Bestim-
mungen mit der Annäherung des Cometen zur Sonne be-
ständig zu.

Bei den Beobachtungen am 13 und 25 October ward
der Refractor als Acqutrorral gebraucht, ohne daÙ im
Focus ein Fadenkreuz angebracht war, weil die ungeheure
Schwäche des Cometen die Abwesenheit alles Lichtes for-
derte. Da der Durchmesser des Cometen überdies schon
circa 3' betrug, die Figur aber ganz unbegrenzt erschien,
auch sich die hellste Stelle der Figur kaum abheben ließ:

so können der Natur des Cometen wegen die Beobachtungen dieser beiden Tage nur auf einen geringen Grad der Genauigkeit Anspruch machen. Am 25 October kam der nachtheilige Einfluß des Mondschlufs dazu. Vom 26 October an war es möglich, Micrometermessungen des Cometen vorzunehmen, weil von nun an der Comet bei erleuchteten Fäden im dunkeln Felde gesehen werden konnte. Der Refractor besitzt den vollständigsten Micrometer-Apparat, wie ich ihn in der Beschreibung des Refractors dargelegt, aus Ringmicrometern, dem Strich-Netzmicrometer, dem Strichkreismicrometer und dem Filarmicrometer bestehend. Eine 4jährige Erfahrung hatte mich schon belehrt, daß das Filarmicrometer alle übrigen mit sich macht, und bedeutend an Sicherheit der Resultate übertrifft. Diese Erfahrung hat sich bei dieser Gelegenheit völlig bestätigt. Selbst die Ringmicrometer sind überflüssig. Ist nemlich der Gegenstand so schwach, daß er nicht einmal die schwächste Beleuchtung der Fäden im dunkeln Felde erlaubt, so wird es immer sicherer sein, seinen Ort durch Einstellung in die Mitte des kreisförmigen Gesichtsfeldes zu bestimmen, als durch Beobachtungen am Ringe. Das Filarmicrometer besteht aus zwei Spinnfäden, die untereinander genau parallel gestellt werden, und jeder für sich durch eine Schraube beweglich ist, von denen die eine zur Messung der Abstände der Fäden dient. Ein Umgang derselben ist $15''$.315. Bei der Vollkommenheit der Schraube und der Größe des Radius von 160 Zoll = Focalweite des Objectives, ist es überflüssig, die Messungen durch Repetitionen anzustellen. Der eine Faden bleibt unbeweglich, und der Nullpunkt der Scale für die Coincidenz der beiden Fäden wird durch Berührung derselben von beiden Seiten bestimmt. Die Unveränderlichkeit dieses Nullpoints ergibt sich daraus, daß ich am 1 Novbr. für denselben $37',495$ und am 27 Decbr. $37',499$ fand, Unterschied $0',004 = 0'',06$, und in der ganzen Zwischenzeit kaum Abweichungen von $0',01 = 0'',15$ stattfanden. Mit dem Micrometer ist ein auf Silber getheilter Positionskreis verbunden, an dem 2 Verniere die einzelne Minute angeben. Wenn die Stellung der Verniere ausgemittelt ist, bei welcher die tägliche Bewegung längs den Fäden geschieht, so können durch Drehung um 90° die Fäden in einen Declinationskreis gebracht werden. In dieser Lage lassen sich AR.Differenzen, wie am Meridianinstrumente beobachten, wobei ich entweder beide Fäden auseinanderhob, um 2 Durchgänge zu haben, oder zur Coincidenz brachte, um nur an einem Faden zu beobachten,

was immer besser ist, wenn Comet und Stern sich zu recht folgen. Bei der Bestimmung der Declinationsunterschiede wird der unbewegliche Faden auf das vorangehende Gestirn gestellt, und dann, wenn, bei unverrücktem Stande des Instruments, das zweite Gestirn in die Mitte des Feldes gekommen ist, der bewegliche Faden auf dieses gebracht. Die Ablesung der Schraube mit der Coincidenz verglichen gibt den scheinbaren Declinationsunterschied der beiden Gestirne für den Durchgang durch den jedesmaligen Declinationskreis des Instruments. Diesem kann für die Berechnung des Einflusses der Refraction sowohl aus der Sternzeit des Durchganges als aus der Ablesung des Stundenkreises erkannt werden. Ueber die Stabilität des Refractors in der Zwischenzeit der Beobachtungen habe ich in der Beschreibung desselben geredet, und dieselbe wie damals immer späterhin bewährt gefunden.

Auf diese Weise ergibt es sich, daß das Filarmicrometer unseres Refractors ein Apparat ist, der die höchste Genauigkeit für die Ortsbestimmung des Cometen verspricht, wenn dieselbe durch Vergleichung mit Sternen, die nahezu auf dem Parallel des Sterns stehen, bewirkt wird. An schicklichen Vergleichsternen wird es aber nie mangeln, wenn einem zu ihrer nachherigen Bestimmung ein hinreichend lichtstarkes Meridianinstrument, wie der *Reichenbachsche* Meridiankreis, zu Gebote steht. Die Erfahrung hat dies bestätigt. Auf diese Weise glaube ich die Behauptung aufstellen zu können, daß die obigen Micrometer-Messungen als frei von Fehlern, die aus der Natur des Instruments hervorgehen, angesehen werden können, und ihre Genauigkeit nur durch die Natur des Cometen begränzt worden ist. Lehrreich ist hier eine Zusammenstellung der mittleren Fehler einer beobachteten AR- und Declinations-Differenz an den verschiedenen Tagen, so wie der Mittel aus allen Beobachtungen jedes Tages. Hierbei ist zu bemerken, daß nur 3mal, am 10. November, 5 Dec. und 26 Dec., die AR-Differenzen durch 2 Fäden bestimmt wurden, die an diesen Tagen angegebenen mittleren Fehler einer AR-Beobachtung also mit $\sqrt{2}$ zu multipliciren sind, und so in die nachstehende Tabelle aufgenommen wurden, in der also die mittleren Fehler in AR. für eine Beobachtung an einem einzigen Faden gelten. Die Beobachtung vom 26 December habe ich ausgeschlossen, weil nur 2 von jeder Art da waren, und der niedrige Stand schon zu nachtheilig einwirkte.

	Mittlerer Fehler einer Beobachtung.		Mittlerer Fehler des Mittels.	
	in AR.	in Decl.	in AR.	in Decl.
26 Octbr.	0,59	"	0,27	"
28 —	0,70	11,8	0,25	4,5
29 —	0,79	8,3	0,28	3,4
1 Novbr.	0,61	9,8	0,16	2,7
2 —	0,75	8,2	0,20	2,4
7 —	0,64	6,3	0,20	2,4
9 —	0,71	6,3	0,22	2,4
10 —	0,66	4,9	0,16	2,0
Mittel	0,68	7,9	0,22	2,8

	Mittlerer Fehler einer Beobachtung.		Mittlerer Fehler des Mittels.	
	in AR.	in Decl.	in AR.	in Decl.
30 Novbr.	0,25	4,5	0,07	1,4
2 Decbr.	0,42	1,8	0,15	0,8
5 —	0,18	3,2	0,06	1,4
7 —	0,34	3,8	0,10	1,4
8 —	0,26	1,2	0,08	0,5
14 —	0,25	4,4	0,08	1,6
25 —	0,22	1,6	0,07	0,8
Mittel	0,27	2,9	0,09	1,1

Hier sind die Beobachtungen in 2 Perioden getheilt, und die Zunahme der Genauigkeit ergibt sich am deutlichsten aus der Vergleichung der Mittel für beide Perioden. Reducirt man mit Rücksicht auf die Secante der Declination für die AR. alles in Bogenheile: so ergibt sich

Ite Periode.

Mittlerer Fehler einer einzelnen AR.	==	9,3
— — — — — Decl.	==	7,9
— — — — — eines Mittels in AR.	==	3,3
— — — — — in Decl.	==	2,8

Ite Periode.

Mittlerer Fehler einer einzelnen AR.	==	4,0
— — — — — Decl.	==	2,9
— — — — — eines Mittels in AR.	==	1,3
— — — — — in Decl.	==	1,1

so dass also im Mittel genommen die Resultate der einzelnen Tage der ersten Periode einen wahrscheinlichen Fehler von ungefähr 2" in AR. und Decl., die der zweiten Periode von kaum 1" unterworfen sind. Uebrigens ist es klar, dass in der ersten Periode die späteren Bestimmungen etwas ge-

nauer sind als die früheren. In wieferne die Art des Virens nach dem Cometen, d. h. die Wahl des zu bestimmenden Punctes in der Figur des Cometen an verschiedenen Tagen vielleicht verschieden gewesen ist, und die Resultate jedes Tages mit eigenthümlichen Fehlern behaftet, wird sich erst aus der Vergleichung der Beobachtungen mit den wahrscheinlichsten Elementen seiner Bewegung bei der diesmaligen Sichtbarkeit ergeben.

3.

Die obigen Beobachtungen geben zu einigen Betrachtungen über die physische Beschaffenheit Anlaß.

a) Als der Comet zuerst gesehen ward, hatte er einen Durchmesser von zwei bis drei Minuten, und war dennoch höchstschwierig zu erkennen. Der *Enckesche* Comet gehört also höchst wahrscheinlich zu denen, die nur durch reflectirtes Sonnenlicht leuchten. (Vergl. *Obers* in *Bode's* Jahrbuch 1819. p. 190 seq.)

b) Wahrscheinlich hat der Comet keinen, oder doch nur einen sehr kleinen festen Kern. Mehrere Male in der ersten Zeit der Sichtbarkeit des Cometen ward die Bedeckung eines Sterns vom Cometen beobachtet: so zuerst am 28 October die eines Doppelsterns. Am 29 October bedeckte der Comet den verglichenen Stern (δ) 9.10' Größe so, daß der Stern 22",6 südlich vom Cometen-Centrum blieb (Cometen-Centrum == hellste Stelle des Nebels.) Am 7 November lag ein Stern so im Nebel des Cometen, daß ich ihn für einen Kern hielt. Die Bewegung des leuchtenden Punctes überführte mich bald des Irrthums. Am drdselben Abend bedeckte der Comet einen zweiten Stern 10^{ter} Größe, so daß der Stern nur wenige Secunden von der hellsten Stelle des Cometen abstand, ohne daß eine Schwächung des Sternes erfolgte. Späterhin gelang keine Bedeckungsbeobachtung weiter.

c) In Bezug auf die Form und die Natur des Cometen ergibt sich aus den Zeichnungen, daß schon am 7 Novbr. ein Central-Nebel, der sich von a bis K Fig. I erstreckt, sich von der allgemeinen Nebelhülle unterschied. Dieser war nicht eine bloße Verdichtung des Nebels nach dem hellsten Puncte k zu, sondern hatte bey a eine ziemlich bestimmte Begrünzung, während sie nach K zu unbestimmt war, analog den Begrünzungen der größern Nebelhülle. Am 30 Novbr. fiel die Gränze des Centralnebels mit der Nebelhülle bei a zusammen, und diesmal schien mir in k ein kleiner kreisförmiger Kernnebel von verwachener Begrünzung durchzuschimmern. Fig. IV und V zeigen die sich fast ganz gleichbleibende Excentricität des hellsten Punctes des Cometen, es ist aber die erste nicht unter so günstigen

Umständen, und dies zweite beim Mondschein entworfen, so daß sie nicht mit I und II vergleichbar sind. Aber merkwürdig ist die Vergleichung von I und II. Am 7 Novbr. hatte die Nebelhülle einen Durchmesser von 18'; am 30 Novbr. fand ich denselben nur 9' mit derselben Vergrößerung unter eben so günstigen Umständen. Am 7 Novbr. war die Entfernung des Cometen von der Erde 0,515, am 30 Novbr. 0,477. Es hatte also einem Durchmesser von 18' am 7 Novbr. einer von 19,3 am 30 Novbr. entsprechen müssen, statt dessen er nur 9' groß beobachtet wurde, und am 7 December nur 6' groß. Es scheint also nicht bezweifelt werden zu können, daß die Nebelhülle sich mit der Annäherung des Cometen zur Sonne zusammengezogen hat, zumal wenn man bedenkt, daß die Helligkeit des Cometen, wenn er sein Licht von der Sonne empfängt, am 30 Nov. 1,88mal so groß sein mußte, als am 7 Novbr., und es daher am 7 Novbr. leichter sein mußte die äußerste Gränze zu erkennen, als am 7 Novbr. Diese Zusammenziehung der Nebelhülle bestätigt sich auch dadurch, daß am 30 Novbr. sich die Gränze derselben so vereinigt hatte, daß sie bei a mit der Begränzung des Centralnebels zusammenfiel. Ich erinnere mich sehr genau am 30 Novbr. von der Kleinheit des Durchmessers der Cometen überrascht gewesen zu sein, da ich ihn nach der Beobachtung vom 7 Novbr. und der Zunahme an Lichtstärke weit größer als am 7 Nov. erwartete. Vielleicht daß in dieser Zusammenziehung der Nebelhülle bei der Annäherung zur Sonne der Graud zur größern Helligkeit des Cometen, die späterhin sehr überraschend war, mit enthalten ist.

Nennt man die Linie *ab* in den verschiedenen Darstellungen, welche die hellste Stelle des Cometen k mit dem Schwerpunkt der Figur K verband, die Axe des Cometen, so müssen wir die nach b liegenden Theile der Nebelhülle als einen um diese Axe gebildeten Cometen Schweif ansehen. Immer fand sich bei a die schärfere Begränzung, bei b die unbestimmtere, erstere namentlich am 7 und 30 November,

von a aus nach beiden Seiten bis a und d parabolisch gekrümmt. Am merkwürdigsten ist aber während der ganzen Zeit die Lage dieser Axe gegen die Sonne. Ich beobachtete nemlich an 4 Tagen die Richtung von a nach b wie folgt:

am 7 Nov. 87° A.Pr. = 177° von Nord im Decl. Kr. durch West			
— 30 — 51 A.Pr. = 141 —	—	—	—
— 7 Dec. 56,5 A.Pr. = 146,5 —	—	—	—
— 14 — 64,5 A.Pr. = 154,5 —	—	—	—

Die der Sonne entgegengesetzte Richtung am Cometen war aber für diese Tage:

am 7 Nov. 276,7 von Nord im Decl. - Kr. durch West.			
— 30 — 296,3 —	—	—	—
— 7 Dec. 300,5 —	—	—	—
— 14 — 303,9 —	—	—	—

Diese beiderlei Richtungen weichen also voneinander ab:

am 7 Nov. um 99,7			
— 30 — 145,3 —	—	—	—
— 7 Dec. — 154,0 —	—	—	—
— 14 — 149,4 —	—	—	—

so daß die Richtung der größern Ausbühung der Cometenhülle beständig mehr zur Sonne liegend erschien, und in dieser Rücksicht unser Comet ein ganz ungewöhnliches Phänomen darbietet. Hierzu kommt noch, daß die schärfer begränzte Seite sowohl der Nebelhülle als des Centralnebels immer die von der Sonne abgewandte war.

d) Als der Comet im Jahre 1825 gesehen ward, erinnere ich mich ihn als eine fast gleichförmige planetarische Scheibe gesehen zu haben. Wenn meine Erinnerung richtig ist, wenn die Beobachtungen, die ich 1825 mit einem stüßigen Fernrohr von *Troughton* anstellte, überhaupt eine Vergleichung mit dem diesmaligen gestatten, so hat durch den Comet ein wesentlich verschiedenes Aeußeres abgegeben, und es steht von künftigen Beobachtungen wichtiger Aufschluß zu erwarten.

W. Struve.

Auszug aus einem Schreiben des Königl. Astronomen Herrn Professors *Encke* an den Herausgeber.

Berlin 1829. Januar 13.

Aus dem Aufsatze des Herrn Hofraths *Struve* (siehe A. N. Nr. 153 und 154) habe ich mir eine Abschrift der Hauptmomente genommen. Bei dem Interesse das es hat zu wissen, ob verschiedene Fernrohre denselben Punkt als den hellsten erscheinen lassen, habe ich zwei Beobachtungen, bei welchen bekannte Sterne vorkamen, vorläufig reducirt und finde

Nov. 7.	— 3' 4"	— 53"
Dec. 5.	— 3 53	— 1' 18
wofür ich nach meinen Beobachtungen angenommen hatte		
Nov. 6.	— 2' 20"	— 34"
Dec. 5.	— 3 46	— 1' 28.

Der Unterschied im November in AR. fällt mir zur Last, da *Nicola's* vortreffliche Beobachtungen, die er

Ihnen bereits eingestandt hat, ganz mit *Struve* übereinstimmen.

Mit der Verbesserung der Elemente bin ich fertig, so viel sich aus meinen Beobachtungen allein hat schliessen lassen und glaube in jeder Hinsicht damit zufrieden seyn zu können. Die Grenzen der Zunahme der mittleren Anomalie während eines Umlaufs waren aus 1786–1819 geschlossen, 53" und 76", wofür ich früher, weil ich die drey Durchgänge 1795, 1805, 1819, genau darstellen wollte, 73" angenommen. Die Verbindung von 1819, 22, 25, 26 giebt mit der Hoffnung einer grossen Annäherung an die Wahrheit dafür 63", und nach Anbringung der davon abhängigen Correction werden 12 Oerter, 3 von 1819, 3 von 1822, 6 von 1825 zusammen, nicht viel schlechter dargestellt als vorher. Die geringste Summe der Fehlerquadrate allein wird 8300 bei diesen 12 Oertern betragen. Verbunden mit 1828 wird diese 9600. Nach Hinzufügung von 5 Oertern 1828 wird die ganze Summe bei 34 Gleichungen

$$11400 + 1594950 \left(\frac{\delta U}{U} \right)^2$$

wo $\frac{\delta U}{U} = -1$ zu nehmen ist, wenn man kein widerstehendes Mittel annimmt. Die Fehler fallen aber in dieser Annahme so gross aus, daß z. B. in A.R. 1825 durchgängig ein Fehler von 5 Minuten, in Decl. von 1–5 Minuten, zurückbleibt. In den Jahren 1819 und 1828 liegen sie zwischen 1–7 Minuten. Geht man nun mit dieser neuen Bestimmung auf 1805–1786 zurück, so bleiben bei den früheren Durchgängen

1805	+ 0,36 Tage
1795	+ 0,34 —
1786	+ 1,1 —

als Fehler übrig, welche sich aus den unvollkommenen Störungsrechnungen erklären lassen. Auch die Aenderung der Elemente nach Anbringung der Correction von $\frac{\delta U}{U}$ ist verhältnismässig unbedeutend um 1828 mit den andern in Harmonie zu bringen.

Mittlere Anomalie	— 1",34
	= 0,00125 Tag.
mittl. tägl. sid. Bew.	— 0",00076
Excentricitätswinkel	— 6",3
Länge des Perihels	+ 25",2
Länge des Knotens	+ 66,0
Neigung	+ 6,1

Die Benutzung der *Struveschen* und anderer Beobachtungen wird hierin noch eine kleine Modification bei der definitiven Bestimmung hervorbringen, welche aber bis zu der Zeit verschoben werden muß, wo die verglichenen Sterne beobachtet sind. Aenderungen der Jupitersmasse so wohl, wenn man die Proportionalität der Anziehung mit der Masse streng voraussetzt, als auch selbst wenn man sich erlauben wollte eine andere Anziehung in Bezug auf den Cometen als auf die Sonne anzunehmen, haben keinen Einfluß. Die bestimmenden Coefficienten werden so klein, daß sich nichts daraus schliessen läßt, und die Summe der Fehlerquadrate wird nur wenig verringert. Dagegen ist es möglich, daß die Bestimmung der Venusmasse, welche jetzt als die genaueste angenommen werden muß (Astr. Nachr. Nr. 92) noch zur bessern Darstellung beiträgt. Venus hat zwischen 1819 und 1822 einen nicht unmerklichen Einfluß, so daß die Verringerung der bei diesen Störungsrechnungen zum Grunde gelegten ältern Masse $\frac{1}{356632}$ in dem Verhältniß von 1:0,8875 den Durchgang von 1819 noch beträchtlich anders geben kann. Hoffentlich besser den Beobachtungen anschließend, denn jetzt, ist die Summe der Quadrate bei 6 Gleichungen von 1819, 5800, noch etwas größer als die der andern 28 Gleichungen von 1822–1828 zusammengenommen. Es kommen nämlich zwei Fehler von 45 und 47" bei 1819 vor, die noch einen Mangel der Befriedigung zurücklassen. Mit der Verringerung der Venusmasse würde eine Vergrößerung von $\frac{\delta U}{U}$ verbunden seyn.

E n c k e.

I n h a l t.

(zu Nr. 153 und 154.)

Beobachtungen des *Enckeschen* Cometen auf der Dorpater Sternwarte mit dem großen Refractor von *Fraunhofer*, angestellt 1828. pag. 153.

Auszug aus einem Schreiben des Königl. Astronomen Herrn Prof. *Encke* an den Herausgeber. pag. 181.

Altona im Februar 1829.

Remarque sur un passage de la Mécanique Analytique de Mr. Lagrange.

Ayant attentivement examiné la belle théorie de l'équilibre d'un fil élastique, donnée par Mr. *Lagrange* au premier Tome de sa *Mécanique Analytique* p. 151-159 (Nouv. Ed. Paris 1811-15), j'ai trouvé qu'il s'y est glissé une erreur, à la correction de laquelle je crois devoir d'autant plus appeler pour un moment l'attention des Géomètres, qu'elle se trouve dans un ouvrage reconnu généralement et à de justes titres pour classique, et s'y cache sous une apparence tellement plausible, qu'elle ait pu échapper à la pénétration même de l'Auteur célèbre, à qui l'analyse a tant d'obligations.

L'erreur dont il s'agit regarde l'expression générale de la tension d'un fil élastique composé d'éléments de longueur invariable, laquelle l'Auteur trouve différente de celle qui a lieu pour un fil à éléments extensibles ou contractibles, la différence étant, selon lui, celle, que, si l'on nomme dans l'un et l'autre cas la tension λ , on a pour la première cas les équations de l'équilibre

$$1) \dots \begin{cases} Xdm - d \cdot \frac{\lambda dx}{ds} + d^2 \cdot I d^2 x = 0 \\ Ydm - d \cdot \frac{\lambda dy}{ds} + d^2 \cdot I d^2 y = 0 \\ Zdm - d \cdot \frac{\lambda dz}{ds} + d^2 \cdot I d^2 z = 0 \end{cases}$$

tandis que celles du second sont

$$2) \dots \begin{cases} Xdm - d \cdot \left[\left(\lambda + d \frac{Ed^2 s}{ds^3} - \frac{Es}{ds} \right) \frac{dx}{ds} \right] + d^2 \cdot I d^2 x = 0 \\ Ydm - d \cdot \left[\left(\lambda + d \frac{Ed^2 s}{ds^3} - \frac{Es}{ds} \right) \frac{dy}{ds} \right] + d^2 \cdot I d^2 y = 0 \\ Zdm - d \cdot \left[\left(\lambda + d \frac{Ed^2 s}{ds^3} - \frac{Es}{ds} \right) \frac{dz}{ds} \right] + d^2 \cdot I d^2 z = 0 \end{cases}$$

Or, je dois affirmer que tant pour l'un que pour l'autre des deux cas, ce ne sont que les équations 2) qui ont véritablement lieu. Les 1), bien que conduisant, comme il est facile de le voir, aux véritables équations de la courbe du fil, ne donnent cependant pas la vraie valeur de sa tension. L'analyse détaillée qui m'a conduit à ce

résultat demandant trop de place pour être insérée ici, je me contenterai pour le moment d'indiquer une considération générale, qui me paraît propre à éclaircir cette matière et dont la vérité ne semble pas difficile de saisir, c'est-à-dire, que la formation des équations générales de l'équilibre d'un fil dont les éléments sont sollicités par des forces quelconques tant intérieures qu'extérieures, ne saurait en effet dépendre que de ces forces-là ainsi que des actions mutuelles des éléments les uns sur les autres et enfin des positions et des longueurs des mêmes éléments, tous ces éléments étant supposés de se trouver actuellement en équilibre, d'où il s'ensuit, que la propriété des éléments en question de changer de longueur ou non hors de l'état de l'équilibre ne saurait nullement influer sur la forme de ces équations générales, qui par conséquent doivent rester les mêmes pour des éléments de longueur invariable que pour des éléments extensibles ou contractibles (ce qui cependant n'empêche pas que la propriété dont il s'agit n'exerce une véritable influence sur les résultats finaux du calcul, par la modification qu'elle apporte à la détermination des constantes arbitraires introduites en développant ultérieurement les équations générales). Quant à la tension du fil en équilibre, dont l'expression entre dans les équations du cas particulier qui nous occupe actuellement, il est clair qu'elle dérive d'une manière immédiate des forces et des actions mutuelles dont nous venons de parler, son expression n'étant autre chose que celle de l'une ou de l'autre des deux parties à signes contraires, dont se compose l'agréat de toutes les forces sollicitant un élément donné du fil dans le sens de sa longueur.

J'ajouterais que, par des réductions convenables, les 2) conduisent à la valeur de la tension à bien simple

$$(A + fXdm)dx + (B + fYdm)dy + (C + fZdm)dz$$

qui, comme on voit, est exactement la même que dans le cas d'un fil parfaitement flexible de longueur invariable ou non: remarque qui me paraît intéressante, et qui ne se trouve pas chez Mr. *Lagrange*.

L'erreur de notre auteur dérive de la supposition bien spécieuse, que, dans le cas d'éléments de longueur invariable, la variation de δ puisse se supprimer dans l'expression de δe , ce qui, bien que juste tant qu'il ne s'agit que de la détermination de la valeur absolue de δe , cependant n'est

Åbo, le 15 Juillet 1828.

pas permis en formant ce qui chez l'Auteur s'appelle l'équation générale de l'équilibre, où $\delta \delta$ doit entrer en tout cas, comme en donne l'exemple l'Auteur lui-même pour le cas d'un fil parfaitement flexible de longueur invariable ou non.

N. G. de Schultén,

Prof. de Math. à l'Univ. Imp. d'Alexandre en Finlande.

Schreiben des Herrn Professors *Argelander*, Directors der Sternwarte in Åbo, an den Herausgeber.

Åbo 1829. Januar 7.

Nachdem jetzt der *Pons'sche* Comet für diese Erscheinung verschwunden ist, übersende ich Ihnen meine sämtlichen dafür erhaltenen Positionen. Anfangs beobachtete ich den Cometen am stüßigen Passageninstrumente im dunkeln Felde mit erleuchteten Fäden. Um die Declination zu bestimmen hatte ich 4 schiefe Fäden eingezoogen, die gegen den horizontalen Faden etwa um 69° geneigt waren. Doch war der Comet, so lange er im Meridian beobachtet werden konnte, noch zu schwach, um die Fäden gehörig erleuchten zu können, und daher sind diese Beobachtungen, besonders die Declinationen, nicht von großem Werthe. Einige Male beobachtete ich ihn auch am Ringmicrometer des stüßigen *Fraunhofer*, später aber nur am *Fraunhofer'schen* Helio-

meter. Alle Beobachtungen sind gehörig wegen Refraction corrigirt und die am Heliometer gemessenen Winkel mit dem Declinationskreise auch wegen der Aufstellung des Instruments. Als in den letzten Tagen der Comet schon bei heller Dämmerung sichtbar war, benutzte ich die parallactische Aufstellung des Heliometers als Aequatorial, um die Differenzen in Alt. und Decl. mit benachbarten Sternen zu messen, und obgleich der Stunden- und Declinationskreis nur $4\frac{1}{2}$ Zoll im Durchmesser haben, glaube ich doch, daß diese Beobachtungen Zutrauen verdienen, besonders die geraden Aufsteigungen, wenigstens stimmen die einzelnen Beobachtungen recht gut miteinander überein. Die Beobachtungen sind nun folgende:

1828.	Oct. 29.	8 45 42	M. Z.	Åbo.	349 30 47	+ 26 2 35,0	Meridian.	a u. 85 Pegasi.
	— 30.	8 36 18	—	—	—	+ 25 45 40,4	Merid.	β , γ .
	Nov. 8.	7 19 9	—	—	337 28 36,6	+ 22 2 30,9	Merid.	δ , ϵ .
	—	7 58 37	—	—	337 28 9,0	—	Ch. Fernr.	ζ . 3 Beobh.
	—	8 3 56	—	—	337 27 32,4	—	Ch. Fernr.	δ . 9 —
	—	11 27 14	—	—	337 18 21,8	+ 21 58 21,4	Ringmicr.	δ . 2 —
	— 19.	5 47 19	—	—	325 29 19,0	+ 16 16 51,9	Meridian.	η , θ
	— 30.	7 13 30	—	—	314 44 9,5	+ 9 53 38,6	Ringmicr.	v. 4 Beobh.
	Dec. 1.	5 31 4	—	—	313 51 17,6	+ 9 19 58,4	Heliom.	a. 4 —
	—	6 17 37	—	—	313 49 52,9	—	—	—
	—	6 21 8	—	—	—	+ 9 18 39,8	Ringmicr.	a { 6 — 4 —
	— 2.	6 19 38	—	—	312 51 34,6	+ 8 41 51,3	Heliom.	b. 7 —
	— 5.	6 2 16	—	—	309 59 19,4	+ 6 50 15,8	Heliom.	c, d, e, f. 18 Beobh.
	— 6.	6 17 24	—	—	309 0 2,8	+ 6 11 41,5	Heliom.	g, h 6 —
	— 8.	5 40 34	—	—	307 0 41,0	+ 4 53 20,5	Heliom.	i, k 8 —
	— 14.	5 24 12	—	—	300 31 25,9	+ 0 35 7,2	Heliom.	l, m, n 9 —
	— 16.	4 23 19	—	—	298 11 33,2	— 0 57 53,6	Aequat.	1 —
	—	5 8 23	—	—	298 9 41,0	— 0 59 28,0	Heliom.	o, p 12 —
	— 21.	4 37 23	—	—	291 41 42,4	— 5 21 11,2	Aequat.	q. 5 —
	—	5 13 34	—	—	291 39 33,9	— 5 22 7,4	Heliom.	r. 7 —
	— 23.	4 40 46	—	—	288 54 1,7	— 7 15 29,3	Aequat.	s. 7 —
	—	5 18 3	—	—	288 51 32,4	— 7 17 45,7	Heliom.	t. 6 —
	— 25.	4 36 40	—	—	286 1 42,2	— 9 15 22,5	Aequat.	u, v. 5 —
	—	4 45 16	—	—	286 1 28,9	— 9 15 43,7	Aequat.	u, v. 5 —

Die beiden mittleren Rectascensionen Novbr. 8. sind an dem zur Verfertigung der Charte für die Berliner Academie eingerichteten Fernrohr erhalten durch den Zeitunterschied des Antritts des Cometen und der Sterne an den Stundenfaden. Die Aequatorealbeobachtung Dec. 16. ward als absolute Beobachtung aus der bekannten Aufstellung berechnet, und verdient, da das Fernrohr keinen hinlänglich festen Stand hatte, nicht viel Vertrauen. Die mittleren Positionen derjenigen Sterne, die nicht bei *Bradley* und *Piazzi* vorkommen, nahm ich im Mittel aus den Angaben der *Bessel'schen* Zonen und der Hist. Cél. Auf die scheinbaren Orter reduirte ich die im December beobachteten mit den *Bessel'schen* Constanten in ihren Heliocafeln, die frühern mit Griechischen Buchstaben bezeichneten nach den Reductionstafeln in den *Fundamentis Astronomiae* mit Vernachlässigung der Solaranutation und Verkleinerung der Nutation um $\frac{1}{4}$. November 24. erhielt ich noch eine gute Meridianbeobachtung, aber keiner der 4 verglichenen Sterne ist bekannt. Nehme ich die Position des Cometen an zu $21^{\circ} 22' 11'', 86 + 13^{\circ} 28' 0'', 0$, so haben die Sterne folgende scheinbare Orter für den Beobachtungstag:

α	$21^{\circ} 27' 27'', 15 + 13^{\circ} 31' 25'', 2$	} die A.R. werden nahe richtig sein, da sie aus dem am Meridiankreise erhaltenen Uhrstande abgeleitet sind.
π	$21^{\circ} 29' 11'', 42 + 13^{\circ} 23' 37'', 2$	
λ	$21^{\circ} 33' 42'', 04 + 13^{\circ} 29' 5'', 6$	
μ	$21^{\circ} 36' 13'', 23 + 13^{\circ} 26' 47'', 9$	

Für die übrigen Sterne nahm ich folgende scheinbare Positionen an:

α . Zone 321 und Hist. Cél. p. 27	$345^{\circ} 13' 1'', 4 + 25^{\circ} 59' 31'', 9$
β 5 Pegasi	$358^{\circ} 18' 55'', 2 + 26^{\circ} 10' 38'', 7$
γ . Zone 321.	$348^{\circ} 56' 55'', 2 + 25^{\circ} 44' 11'', 0$
η . ibid. und Hist. Cél. p. 27	$352^{\circ} 52' 13'', 5 + 25^{\circ} 51' 24'', 5$

δ . Zone 319 und Hist. Cél. p. 31	$337^{\circ} 56' 17'', 4 + 21^{\circ} 59' 37'', 5$
ϵ . Zone 319.	$338^{\circ} 15' 26'', 7 + 21^{\circ} 58' 32'', 1$
ζ . Zone 319 und Hist. Cél. p. 31	$337^{\circ} 15' 41'', 5 + 22^{\circ} 35' 35'', 3$
δ . Hist. Cél. pag. 36	$324^{\circ} 44' 6'', 5 + 16^{\circ} 24' 45'', 2$
η . ibid.	$327^{\circ} 47' 44'', 8 + 16^{\circ} 19' 36'', 6$
ν . Zone 30	$314^{\circ} 53' 11'', 3 + 9^{\circ} 52' 59'', 9$
α . Zone 13	$313^{\circ} 57' 43'', 5 + 9^{\circ} 21' 47'', 8$
b . Zone 13. H.C. p. 109 u. 116 = P.XX ^b 422	$313^{\circ} 6' 44'', 0 + 9^{\circ} 20' 11'', 6$
c . Zone 8. Hist. Cél. pag. 102	$309^{\circ} 59' 18'', 4 + 6^{\circ} 58' 25'', 3$
d . Zone 8	$310^{\circ} 15' 4'', 7 + 6^{\circ} 59' 16'', 9$
e . Hist. Cél. pag. 102	$309^{\circ} 24' 8'', 8 + 6^{\circ} 45' 52'', 8$
f . Zone 8. Hist. Cél. pag. 188	$309^{\circ} 48' 17'', 9 + 6^{\circ} 21' 25'', 5$
g . ibid. ibid.	$309^{\circ} 45' 15'', 7 + 6^{\circ} 11' 39'', 5$
h . ibid. ibid.	$308^{\circ} 48' 46'', 5 + 5^{\circ} 58' 16'', 4$
i . Zone 5	$306^{\circ} 15' 33'', 3 + 4^{\circ} 52' 12'', 1$
k . ibid. und Hist. Cél. p. 190	$307^{\circ} 14' 41'', 5 + 4^{\circ} 37' 57'', 2$
l . em Heliom. best. durch m, n	$300^{\circ} 41' 41'', 5 + 0^{\circ} 34' 33'', 3$
m . Zone 1, 2 u. 12 u. H.C. p. 97	$300^{\circ} 4' 51'', 8 + 1^{\circ} 9' 35'', 1$
n . Zone 1 u. 2 = P.XX ^b 26. dupl.	$300^{\circ} 57' 43'', 6 + 0^{\circ} 21' 54'', 3$
o . Zone 2. Hist. Cél. pag. 97. = P. XIX ^a 365	$298^{\circ} 12' 51'', 2 - 0^{\circ} 39' 44'', 4$
p . Zone 1 u. 99. Hist. Cél. p. 97	$298^{\circ} 28' 56'', 5 - 1^{\circ} 4' 26'', 2$
q . Zone 187	$292^{\circ} 9' 81'', 3 - 5^{\circ} 26' 8'', 9$
r . = 42 Aquilae	$292^{\circ} 10' 23'', 0 - 5^{\circ} 1' 5'', 2$
s . = π Aquilae	$291^{\circ} 55' 2'', 7 - 7^{\circ} 23' 49'', 6$
t . Zone 188 u. Hist. Cél. p. 101.	$288^{\circ} 42' 24'', 9 + 7^{\circ} 18' 0'', 0$
u . = σ Aquilae	$278^{\circ} 13' 21'', 0 - 9^{\circ} 12' 15'', 0$
v . = 56 Aquilae	$296^{\circ} 12' 32'', 1 - 9^{\circ} 0' 26'', 1$

Die A.R. des Sterns δ ward nach *Bessels* und der Hist. Cél. gut übereinstimmenden Beobachtungen angenommen; nach *Piazzi* würde sie $10'', 8$ kleiner sein.

Fr. Argelander.

Sternbedeckungen vom Monde, Jupiterstrabanten-Verfinsterungen und Beobachtung der Mondfinsternis am 3. November 1827.

Die Länge des Beobachtungsortes ist $48^{\circ} 20''$ in Zeit östlich vom Parit. Die Breite dieses Beobachtungsortes wurde von mir durch viele Reihen von Zenithdistanzen des Nordsterns, und noch durch mehrere Circummeridianhöhen der Sonne untersucht, und gefunden, daß sie $50^{\circ} 5' 7'', 83$ nördlich betrage.

Sternbedeckungen vom Monde:

1827 7 Sept. α Pisc. Eintritt: $13^{\circ} 28' 1'', 97$ mittlere Zeit. Der Eintritt des Sterns ergab sich am lichten Mondrand, daher $1''$ - $2''$ unsicher.

1827 26 Sept. γ - γ Eintritt: $6^{\circ} 29' 46'', 83$ m.Z. Der Stern trat nördlich vom horizontalen Durchmesser des Mondes ein.

26 Sept. ϵ (671 Scorp.) Eintritt: $6^{\circ} 54' 56'', 46$ m. Z. Eintritt nördlich vom horiz. Durchmesser des Mondes.

27 Sept. ϵ Eintritt: $8^{\circ} 37' 57'', 03$ m. Z. Eintritt nördlich vom horiz. Durchmesser des Mondes.

- 1827 28 Sept. α^1 Eintritt: $6^h 33' 17''$,08 mittl. Zeit.
Eintritt beinahe am horiz. Durchmesser des Mondes.
- 28 Sept. α^6 Eintritt: $7^h 56' 27''$,01 m. Z.
Eintritt südlich vom horiz. Durchmesser des Mondes.
- 28 Sept. α^8 Eintritt: $8^h 57' 6''$,02 m. Z.
Eintritt nördlich vom horiz. Durchmesser des Mondes.
- 28 Sept. α^4 (LL.VII.) Eintritt: $9^h 2' 37''$,02 m. Z.
Eintritt südlich vom horiz. Durchmesser des Mondes.
- 30 Sept. α^7 (vAquer.) Eintritt: $12^h 29' 41''$,44 m. Z.
Eintritt nördlich vom horiz. Durchmesser des Mondes.
- 28 Nov. α^7 (sPisc.) Eintritt: $13^h 15' 26''$,95 m. Z.
Eintritt südlich vom horiz. Durchmesser des Mondes.
- 24 Dec. α^6-7 (25Pisc.) Eintritt: $8^h 59' 6''$,25 m. Z.
Der Stern hatte eine solche Lichtstärke, daß er der 5-6^{ten} Größe geschätzt wurde.
- 1828 18 Febr. α^7 Eintritt: $7^h 27' 27''$,9 m. Z.
Eintritt nördlich vom horiz. Durchmesser des Mondes.
- 23 Mart. $\alpha^1-\alpha$ (26Gem.) Eintritt: $9^h 24' 44''$,4 m. Z.
Der Mond war zur Zeit des Eintrittes mit einem doppelten schwachgefärbten Hofe umgeben. Der Stern verschwand plötzlich.
- 19 April. α^9 Eintritt: $8^h 9' 16''$,85 m. Z.
- 20 April. α^4 (AGem.) Eintritt: $10^h 46' 25''$,67 m. Z.
- 20 April. $\alpha^7-\alpha$ Eintritt: $10^h 47' 34''$,17 m. Z.
- 16 Jun. $\alpha^1-\alpha$ (76Canc.) Eintritt: $9^h 17' 57''$,91 m. Z.

Am 8 August 1828 änderte ich meine Wohnung, und begeh mich auf die Neustadt N. C. 117. Die geographische Lage meines neuen Wohn- und Observationsortes ist:

Länge: $48^{\circ} 21'$ in Zeit östlich von Paris;
nördl. Breite: $50^{\circ} 5' 5''$,4.
1828 21 Aug. α^8 Eintritt: $9^h 7' 17''$,6 mittlere Zeit.
21 Aug. α^6 Eintritt: $9' 14' 40,97$ ———

Jupiterstrahlen-Verfästerungen.

1827 18 Dec. I. Eintr.: $17' 52' 15,3$ m. Z. Streifen deutlich.
29 Dec. III. Eintr.: $17' 57' 47,4$ ——— Eintr. allmählig.
1828 25 Febr. I. Eintr.: $18' 18' 52,0$ ——— Streifen deutlich.
22 April. II. Eintr.: $9' 20' 56,8$ ———
4 Jun. III. Eintr.: $9' 12' 50,7$ ———
7 Jan. I. Austr.: $11' 50' 20,9$ ———

Mondfinsterniß am 3. November 1827.

Anfang des Austrittes des Tycho aus dem Erd-
schatten um $6' 1' 53,6$ m. Z.
Gänzlicher Austritt $6' 6' 35,6$ ———
Ende der Mondfinsterniß $7' 30' 30,8$ ———

Tycho war während des Austrittes mit einem blassen Schatten umgeben, der sich erst nach mehreren Minuten nach dem Austritte verlor. Der verfinsterte Theil des Mondes, besonders gegen den Rand hin, zeichnete sich durch eine dunkle rothe Farbe aus. Sterne der 7^{ten} Größe konnten durch den Erdschatten wahrgenommen werden.

Verbesserung.

Astron. Nachrichten Nr. 144. S. 479 habe ich aus Versehen die Uhrzeit des Austrittes α^1 v. Orion $12^h 45' 16''$,00 angegeben. Da die Uhr zur Zeit der Beobachtung um $2' 21''$,81 zu spät ging, so ist die mittlere Zeit des Austrittes $12^h 47' 37''$,81.

Hallaschka.

Ueber die Länge von Havanna.

(Fortsetzung zu Amr. Nachr. Nr. 146. S. 28.)

Nachdem ich bereits die sieben Fixsternbedeckungen berechnet hatte, welche Don Jose Joaquin de Ferrer 1808 und 1809 in Havanna beobachtet, und in dem VI. Bande der Americanischen Philos. Transactionen bekannt gemacht hat (Astr. Nachr. Nr. 146); so fand ich in der Connaissance des tems pour 1817. S. 328 noch eine beträchtliche Anzahl anderer, meist in den Jahren 1811 und 1812 von Hrn. Ferrer an demselben Orte beobachteter Sternbedeckungen. Herr Ferrer hat einige derselben selbst auch berechnet, hauptsächlich solche, wo die Mondlänge durch Meridianbeob-

achtungen berichtigt werden konnte, ein Vortheil, dessen ich, da die letzteren Beobachtungen nicht mitgetheilt werden, entbehren mußte. Bei dem Mangel an correspondirenden Beobachtungen, deren sich nur zwei zu den Bedeckungen auf Cuba vorfanden, und bei dem meist unbekannten Fehler der Tafeln in der Breite, und vorzüglich in der Länge des Mondes können allerdings einzelne Beobachtungen die Länge zuweilen bis auf 20 und 30 Sekunden in Zeit fehlerhaft geben. Da sich jedoch mit Wahrscheinlichkeit vermuthen ließ, daß bei einer größern Anzahl

berechneter Beobachtungen die verschiedenen Arten von Fehlern sich um so eher gegeneinander aufheben würden; so nahm ich auch noch die übrigen, mir zuvor unbekannt gebliebenen Beobachtungen in Rechnung; das, wie ich hoffe, genauere Resultat setzt, wie sich unten zeigen wird, die Länge von Havanna noch 10" in Zeit westlicher, als ich sie früher gefunden hatte. Die später von mir berechneten Beobachtungen lasse ich hier mit fortlaufenden Nummern als Zusatz zu meinen Berechnungen in den A. N. Nr. 146 folgen. Mehrere vom Beobachter nicht näher bezeichnete Sterne gelang es mir, in der *Histoire céleste* aufzufinden.

8. Bedeckung eines Sterns im Orion. 1809. 23 März.
Eintritt am dunkeln Mondrande.

Der Stern kommt in der *Hist. cél.* S. 253 unter der Zenithdistanz $30^{\circ} 5' 30''$ vor; dessen *AR.* für 1800 = $90^{\circ} 27' 6'', 0$, Decl. + $18^{\circ} 43' 10'', 8$.

Mittlere Zeit. Conjunction.

Havanna E. $9^{\text{h}} 26^{\text{m}} 16,68$ | $8^{\text{h}} 30^{\text{m}} 37,67$ — 1,525 x

Für Paris ist die berechnete Conjunction $14^{\text{h}} 9^{\text{m}} 37'', 84$ — 2,000 x; demnach Länge von Havanna — $5^{\text{h}} 39^{\text{m}} 0'', 17$ — 1,525 x + 2,000 x.

9. Bedeckung eines Sterns in den Fischen.
1809. 24 März. Eintritt am dunkeln Mondrande.

Nach *Hist. cél.* S. 253 ist für 1800 des Sterns *AR.* $102^{\circ} 41' 45'', 3$ Decl. + $18^{\circ} 4' 34'', 2$.

Eintritt $7^{\text{h}} 33^{\text{m}} 39,57$ | $7^{\text{h}} 41^{\text{m}} 1,53$ + 0,612 x

Conjunction für Paris berechnet, = $13^{\text{h}} 19^{\text{m}} 24'', 14$ — 1,166 x, daher Länge — $5^{\text{h}} 38^{\text{m}} 22'', 61$ + 0,612 x + 1,166 x.

10. Bedeckung β Steinbock. 1809. 12 November.
Eintritt am dunkeln Mondrande.

Eintritt $4^{\text{h}} 59^{\text{m}} 59,17$ | $5^{\text{h}} 7^{\text{m}} 37,61$ + 0,033 x
Austritt $6^{\text{h}} 25^{\text{m}} 24,67$ | $5^{\text{h}} 7^{\text{m}} 27,18$ + 0,505 x

Der Werth von x, durch den Ein- und Austritt bestimm, ist + $2'', 18$, aber wegen des geringen Factors von x nicht sehr zuverlässig. Mit der für Paris berechneten Conjunction $10^{\text{h}} 46^{\text{m}} 13'', 06$ — 1,687 x gibt die unveränderte Conjunction des Eintritts die Länge von Havanna — $5^{\text{h}} 38^{\text{m}} 35'', 45$ + 0,033 x + 1,687 x.

11. Bedeckung δ Stier. 1810. 15 Januar.
Eintritt am dunkeln Mondrande.

Eintritt $7^{\text{h}} 25^{\text{m}} 45'', 70$ | $8^{\text{h}} 23^{\text{m}} 14'', 98$ + 0,082 x

Durch die Conjunction für Paris = $14^{\text{h}} 1' 54'', 51$ — 2,021 x erhält man die Länge — $5^{\text{h}} 38^{\text{m}} 39'', 53$ + 0,082 x + 2,021 x.

12. Bedeckung π Löwe. 1810. 18 Februar.
Eintritt am dunkeln Mondrande.

Eintritt $9^{\text{h}} 12^{\text{m}} 30'', 10$ | $10^{\text{h}} 52^{\text{m}} 8'', 79$ + 0,345 x.

Berechnete Conjunction für Paris = $16^{\text{h}} 31^{\text{m}} 8'', 82$ — 1,937 x, daraus: Länge — $5^{\text{h}} 39^{\text{m}} 0'', 93$ + 0,345 x + 1,937 x.

13. Bedeckung zweier Sterne in den Fischen.
1811. 28 Jan. Eintritt am dunkeln Mondrande.

Die beiden auch bei *Piazzi* vorkommenden Sterne finden sich *Hist. cél.* S. 122 mit der Zenithdistanz $46^{\circ} 48' 14''$ und $47^{\circ} 10' 43''$. Für 1800 *AR.* des 1^{ten} Sterns $6^{\circ} 48' 17'', 4$, Decl. + $2^{\circ} 2' 11'', 3$. *AR.* des 1^{ten} Sterns $6^{\circ} 56' 7'', 6$, Decl. + $1^{\circ} 39' 39'', 7$.

I. Eintritt $7^{\text{h}} 27^{\text{m}} 21,60$ | $6^{\text{h}} 28^{\text{m}} 7,17$ + 1,140 x

II. Eintritt $7^{\text{h}} 37^{\text{m}} 59,60$ | $6^{\text{h}} 23^{\text{m}} 11,41$ — 3,617 x

Die Conjunction für Paris berechnet, ist für den ersten Stern $12^{\text{h}} 7^{\text{m}} 30'', 51$ — 1,698 x, für den zweiten $12^{\text{h}} 4^{\text{m}} 35'', 87$ — 1,698 x; daher Länge durch den ersten Stern — $5^{\text{h}} 39^{\text{m}} 23'', 34$ + 1,140 x + 1,698 x, durch den zweiten — $5^{\text{h}} 39^{\text{m}} 23'', 86$ — 3,617 x + 1,698 x.

14. Bedeckung β T. *Mayer*. 1811. 27 Mai.
Eintritt am dunkeln Mondrande.

Eintritt $7^{\text{h}} 29^{\text{m}} 51'', 20$ | $6^{\text{h}} 54^{\text{m}} 28'', 94$ — 1,042 x

Für Paris berechnete Conjunction = $12^{\text{h}} 33^{\text{m}} 32'', 76$ — 2,007 x; daher Länge — $5^{\text{h}} 39^{\text{m}} 3'', 82$ — 1,042 x — 2,007 x.

15. Bedeckung eines Sterns im Löwen. 1811. 28 Mai.
Eintritt am dunkeln Mondrande.

Der Stern hat nach *Hist. cél.* S. 218, wo er mit der Zenithdistanz $37^{\circ} 47' 45''$ vorkommt, für 1800 *AR.* $144^{\circ} 15' 44'', 4$, Decl. + $10^{\circ} 59' 42'', 8$.

Eintritt $8^{\text{h}} 1' 37'', 20$ | $7^{\text{h}} 32^{\text{m}} 14'', 78$ — 1,346 x.

Conjunction für Paris = $13^{\text{h}} 11^{\text{m}} 14'', 70$ — 2,027 x; demnach Länge — $5^{\text{h}} 38^{\text{m}} 59'', 92$ — 1,346 x + 2,027 x.

16. Bedeckung δ Löwe. 1811. 29 Mai.
Eintritt am dunkeln Mondrande.

Eintritt $8^{\text{h}} 4^{\text{m}} 16'', 40$ | $7^{\text{h}} 53^{\text{m}} 41'', 57$ + 0,833 x.

Die für Paris berechnete Conj. = $13^{\text{h}} 32^{\text{m}} 59'', 87$ — 2,033 x gibt die Länge — $5^{\text{h}} 39^{\text{m}} 18'', 30$ + 0,833 x + 2,033 x.

17. Bedeckung des Aldebaran. 1811. 15 Jul.
Eintritt am erleuchteten Mondrande.

Havanna. E. $17^{\text{h}} 6^{\text{m}} 32,40$ | $18^{\text{h}} 44^{\text{m}} 27,93$ — 1,731 x

Königsberg. E. $2^{\text{h}} 24^{\text{m}} 8,20$ | $1^{\text{h}} 35^{\text{m}} 47,24$ + 1,184 x

Länge, durch Königsberg — $5^{\text{h}} 38^{\text{m}} 40'', 51$ — 2,915 x. Herr *Ferret* findet durch Vergleichung mit Königsberg — $5^{\text{h}} 38^{\text{m}} 40'', 60$.

Die correspondirende Beobachtung (die einzige für diese Bedeckung in Europa) gibt hier doch kein ganz sicheres Resultat, nicht nur, weil die Eintritte am erleuchteten Mondrande vorkamen, sondern auch weil der Factor von x eine sehr beträchtliche Größe hat, und weil das oben angeführte Moment des völligen Verschwindens in Havanna erst 10 Sekunden später auf die erste Berührung des Sterns und des Mondrandes folgte. (Connaissance des tems 1817. S. 318.)

18. Bedeckung β Jungfrau. 1811. 26 Jul.
Eintritt am dunkeln Mondrande.

Eintritt $9^h 31' 31''$,80 | $8^h 50' 26''$,51 — 0,139 x

Die berechnete Pariser Conj. = $14^h 29' 22''$,72 — 1,998 z
gibt Länge — $5^h 38' 56''$,21 — 0,139 x + 1,998 z .

19. Bedeckung des auf β Jungfrau folgenden Sterns. 1811. 22 Aug. Eintritt am dunkeln Mondrande.

Nach Hist. cél. S. 151 und 155 ist für 1800 dieses Sterns AR. $190^{\circ} 50' 40''$,3, Decl. — $3^{\circ} 7' 54''$,1.

Eintritt $7^h 25' 31''$,20 | $6^h 40' 27''$,46 — 1,291 x

Conj. für Paris berechnet, = $12^h 19' 13''$,71 — 2,018 z ;
daher Länge — $5^h 38' 46''$,25 — 1,291 x + 2,018 z .

20. Bedeckung α Jungfrau. 1811. 20 September.
Eintritt am erleuchteten Mondrande.

Eintritt $6^h 57' 10''$,00 | $5^h 26' 41''$,08 + 2,761 x .

Aus der für Paris berechneten Conj. $11^h 4' 18''$,46 — 1,972 z folgt die Länge — $5^h 38' 7''$,38 + 2,761 x + 1,972 z . (Sehr unsichere Bestimmung.)

21. Bedeckung des Aldebaran. 1811. 5 October.
Eintritt am erleuchteten Mondrande.

Eintritt $14^h 43' 46''$,10 | $15^h 21' 21''$,98 — 1,464 x

Austritt $15^h 49' 9''$,10 | $15^h 21' 3,66$ + 2,140 x

Ein- und Austritt geben den Werth von x = $+5''$,08. Mit dieser Verbesserung, und durch die berechnete Pariser Conjunction $20^h 59' 52''$,19 — 1,758 z erhält man die Länge — $5^h 38' 37''$,65 + 1,758 z . Auch bei dieser Bedeckung wurde der erste Contact mit dem Mondrande um 8 Sec. früher als die gänzliche und plötzliche Verschwindung des Sterns beobachtet. Vergl. Nr. 17.

22. Bedeckung 2β Schütze. 1811. 23 October.
Eintritt am dunkeln Mondrande.

Eintritt $7^h 50' 26''$,40 | $7^h 3' 44''$,61 — 1,256 x

Conjunction für Paris berechnet = $12^h 42' 34''$,81 — 1,772 z ;
daher Länge — $5^h 38' 50''$,20 — 1,256 x + 1,772 z .

23. Bedeckung eines Sterns im Wassermann.
1811. 21 Novbr. Eintritt am dunkeln Mondrande.

Der Stern steht mit $64^{\circ} 2' 51''$ Zenithdistanz in der Hist. cél. S. 176. AR. für 1800 = $311^{\circ} 54' 7''$,7, Decl. — $15^{\circ} 14' 38''$,8

Eintritt $6^h 21' 12''$,00 | $5^h 35' 29''$,10 + 7,538 x

Die berechnete Pariser Conjunction $11^h 14' 42''$,68 — 1,734 z gibt die Länge — $5^h 39' 13''$,58 + 7,538 x + 1,734 z . (Sehr unsichere Bestimmung.)

24. Bedeckung γ Waage. 1812. 24 Mai.
Eintritt am dunkeln Mondrande.

Eintritt $14^h 56' 15''$,80 | $14^h 17' 7''$,88 + 0,981 x .

Die für Paris berechnete Conjunction $19^h 56' 7''$,34 — 1,943 z gibt die Länge — $5^h 38' 59''$,46 + 0,981 x + 1,943 z .

25. Bedeckung des Aldebaran. 1812. 28 August.
Eintritt am erleuchteten Mondrande.

Eintritt $13^h 23' 42''$,40 | $13^h 6' 11''$,13 + 1,433 x

Austritt $14^h 21' 30''$,20 | $13^h 6' 6''$,79 — 0,627 x

Durch den Ein- und Austritt findet sich x = $-2''$,107. Mit dieser Verbesserung folgt aus der berechneten Pariser Conjunction, oder aus $20^h 45' 17''$,90 — 1,731 z die Länge — $5^h 39' 9''$,79 + 1,731 z . Der Stern berührte den Mondrand um $4''$,8 früher, ehe er plötzlich verschwand.

26. Bedeckung ν Fische. 1812. 19 October.
Eintritt am dunkeln Mondrande.

Paris. E. $15^h 25' 41''$,10 | $14^h 36' 55''$,18 — 0,078 x

Havanna. E. $7^h 33' 12''$,10 | $8^h 8' 23''$,23 + 0,471 x

In Paris beobachteten die Herren Boudard und Arago. Die Vergleichung dieser in Europa einzigen correspondirende Beobachtung gibt die Länge — $5^h 38' 46''$,95 + 0,549 x . Herr Ferrer findet durch seine Berechnungen dieser Bedeckung, welche in der Conn. des tems 1817. S. 331 ausführlich mitgetheilt werden, die Länge — $5^h 38' 49''$,0. Das Resultat dieser Bedeckung stimmt nahe mit dem unten hergeleiteten Mittel der sämmtlichen Beobachtungen.

27. Bedeckung $\delta 47$ T. Mayer. 1812. 10 November.
Eintritt am dunkeln Mondrande.

Eintritt $7^h 47' 6''$,00 | $6^h 27' 41''$,12 + 1,049 x

Berechnete Conjunction für Paris = $12^h 6' 5''$,64 — 1,851 z ;
demnach Länge — $5^h 38' 24''$,52 + 1,049 x + 1,851 z .

28. Bedeckung des Regulus. 1812. 24 November.
Eintritt am erleuchteten Mondrande.

Eintritt $11^h 45' 9''$,80 | $13^h 37' 14''$,29 + 10,027 x

Austritt $12^h 5' 10''$,30 | $13^h 36' 17''$,29 — 3,368 x

Ein- und Austritt geben $x = -4''218$; zum Austritte habe ich oben 1' Zeit addirt, um ihn mit dem Eintritte in Übereinstimmung zu bringen. Mit dem gefundenen Werthe von x , und durch die berechnete Pariser Conjunction 19^b 15' 54'',06 — 1,922 x , erhält man die Länge — 5^b 39' 22'',06 + 1,922 x . Die erste Berührung des Mondrandes hatte 13'',5 vor dem völligen Verschwinden Statt.

29. Bedeckung von 3h und 4h im Wassermann.
1812. 10 Dec. Eintritt am dunkeln Mondrande.

Eintritt 3h.	7 34 0,60	6 57 27,85 + 0,721 x
Eintritt 4h.	8 30 22,90	7 39 7,29 + 2,563 x

Die Conjunction des ersten Sterns, für Paris berechnet, ist = 12^b 36' 19'',91 — 1,759 x , für den zweiten 13^b 18' 17'',27 — 1,758 x ; demnach die Länge, durch den ersten Stern — 5^b 38' 52'',06 + 0,721 x + 1,759 x , durch den zweiten — 5^b 39' 9'',98 + 2,563 x + 1,758 x .

Zu besserer Uebersicht stelle ich hier die einzelnen Resultate sowohl der oben berechneten, als der früher in den Astr. Nachr. Nr. 146 in Rechnung genommenen Bedeckungen zusammen.

1.	— 5 38 28,94
2.	12,60
3.	8,79
4.	85,55
5. a.	40,03
b.	39,47
6.	40,61
7.	42,33
8.	60,17
9.	82,61
10.	35,45
11.	39,53
12.	60,03
13. a.	83,34
b.	83,86
14.	68,82

Stuttgart. 25 Jan. 1829.

Auszug aus einem Schreiben des Herrn Professors *Weisse* an den Herausgeber.

Krakau 1829. Januar 2.

Beyliegend übersende ich die an der hiesigen Sternwarte im verfloßenen Jahre beobachteten Sternbedeckungen; die Zahl derselben ist sehr geringe, theils wegen sehr ungünstiger Witterung, und theils, weil durch die Aufstellung unser Meridiankreises die Beobachtungen auf einige Zeit unterbrochen wurden. Zugleich lege ich meine Tafeln zur Re-

15.	— 5 38 59,92
16.	70,40
17.	40,61
18.	56,21
19.	46,25
20.	7,38
21.	37,65
22.	59,20
23.	73,58
24.	59,46
25.	69,79
26.	46,95
27.	24,52
28.	82,06
29. a.	52,06
b.	69,98

Das Mittel aus allen diesen 32 Fixsternen, an 29 Tagen beobachtet, gibt die Länge von Havanna — 5^b 38' 51'',7. Werden aber Nr. 1, 2, 3, 4, 9, 13 a und 13 b. 16, 20, 23, 25, 27, 28, 29, d. h. die vierzehn Sterne, welche vom Mittel mehr als 15 Sec. abweichen, ausgeschlossen, so ist das Mittel aus den übrigen achtzehn Sternen — 5^b 38' 48'',3; Mittel aus dieser zweifachen Bestimmung — 5^b 38' 50'',0. Die wahrscheinliche Länge aus sämmtlichen von mir berechneten Fixsternbedeckungen kann daher = — 5^b 38' 50'',0 gesetzt werden. Herr *Ferrer* selbst gibt in der Conn. des tems 1817. S. 330 als Endresultat seiner Berechnung von 18 Beobachtungen, worunter 12 ausgewählte Fixstern- und 2 Planetenbedeckungen, 3 Sonnenfinsternisse und 1 Mondfinsternis, die Länge — 5^b 38' 49'',9. Herr Professor *Olmans* findet im Mittel aus seinen Berechnungen, die aber keine Sternbedeckungen in sich schließen, — 5^b 38' 49'',0. Eine größere Uebereinstimmung läßt sich bei so schwierigen Untersuchungen, wo es meist an correspondirenden Beobachtungen fehlt, kaum erwarten. Obige Länge gilt übrigens zunächst für Don Antonio *Hobredo's* Wohnung in Havanna; die geographische Breite derselben fand Herr *Ferrer* = +23° 8' 16'',3.

W u r m.

duction der Barometerstände bey *). Nach diesen Tafeln wurden unsre Barometerbeobachtungen, die täglich viermal, nemlich um 7, 12, 3 und 9 Uhr angestellt wurden, auf 0° reducirt. Die Endresultate unsrer meteorologischen Beobachtungen theile ich Ihnen hiemit mit:

*) Tafeln zur Reduction der bei verschiedenen Wärmegraden beobachteten Barometerstände auf jede beliebige Normaltemperatur von *M. Weisse*. Wien 1827. 8vo. (Sie geben von 25 bis 29 Zoll Barometerhöhe die Reduction unmittelbar für jede Linie und für jeden Zehntel Grad Resumir von — 15° bis + 25°).

	Z L
Mittl. Barometerstand	27 5,331 P. M.
Höchster ———	28 3,120 den 18. Jänner.
Tiefster ———	26 8,732 den 5. März.
Mittlere Wärme	+ 7°,2 R.
Größte ———	+ 27,2 den 6. July.
Kleinste ———	— 25,0 den 19. Jänner.
Herrschender Wind:	N. W., 42 Stürme.

Ganz heitere Tage zählte wir nur 18; geregnet hat es an 150 Tagen und die größte Aenderung im Barometer während 24 Stunden war vom 15. Jänner 9 Uhr Abends bis 16. um 9 Uhr; am erstern Tage war der Stand 272 24,868, den nächsten 272 61,788, die größte Aenderung im Stande des Thermometers war vom 19. auf den 20. Jänner; den 19. um 7 Uhr früh stand das Thermometer auf — 25° R., den 20. um 12 Uhr auf + 2°,5 R. mit Regen.

Außer den currenten meteorologischen Beobachtungen wurden auch am 15. Jänner und 17. July die Beobachtungen von Stunde zu Stunde angestellt nach der Aufforderung der k. Societät in Edinburgh, welche Beobachtungen ich den Herrn Inspector *Bullmann*, Secrétaire der naturhistor. Gesellschaft in Halle einsendete.

Was den Zustand unserer Sternwarte anbelangt, so erfreuen wir uns jetzt eines herrlich gearbeiteten Meridiankreises von 2° aus dem k. k. polytechnischen Institute in Wien. Erst im Spätherbste konnte er aufgestellt werden, und zwar an demselben Orte, wo das kleine Passagen-Instrument stand, da ich diesen Platz noch für den schicklichsten hielt, da ich mich nemlich durch die Beobachtungen mit dem Passagen-Instrumente überzeuge, daß hier äußere Störungen noch den mindesten Einfluß hatten. Wir besitzen auch ein Aequatorial aus München, allein es steht schon mehrere Jahre noch unbenutzt, da es bisher noch immer an einem schicklichen Orte zur Aufstellung fehlte. Man hat vor einigen Jahren zwey Säulen aufgeführt, auf deren einer nun das Passagen-Instrument steht, und die andere ist für das Aequatorial bestimmt. Ich hoffe sicher, daß im künftigen Frühjahr die Aufstellung desselben zu Stande kommt. Zwar sind die Säulen hoch, und werden wohl die Sicherheit der Aufstellung nicht gewähren, die man jetzt fordert; indessen bey der gegebenen Localität einer alten Sternwarte ist es

nicht immer möglich, für die Sicherheit und Festigkeit so zu sorgen, als man es wünscht. Mit dem Meridiankreise habe ich zwar schon mehrere Beobachtungen gemacht; indessen sehe ich diese Beobachtungen bloß als ersten Versuch mit diesem Instrumente an, und kann also über die Polhöhe, die es gibt, noch nichts bestimmtes sagen; nur so viel schreibe ich mir, daß sie nicht viel verschieden von der durch *Snadecki* und Herrn Gubernialrath *Lorenz* gegebenen seyn wird.

In der Zeit, die mir die Vorlesungen und meine übrigen Geschäfte frey ließen, habe ich es unternommen, die Coordinaten der 6 älteren Planeten für die Jahre 1840 und 1900 auf 5 Decimalen nach *Lindenau's* und *Boward's* Tafeln nach der *Gauß'schen* Methode zu berechnen, wodurch die Berechnung von Ephemeriden außerordentlich erleichtert wird. Um diese Tafeln vollständig zu machen, hat mir Herr Hofrath Ritter *Gauß* erlaubt, die Coordinaten der Sonne, die er in der monatlichen Correspondenz gab, aufzunehmen. Diese Tafeln werden nun hier gedruckt; obwohl das Büchlehen ganz klein ausfallen wird, so geht der Druck doch sehr langsam vorwärts, da unsere Buchdruckereyen auf Zifferwerke nie eingerichtet waren. Wie der Druck vollendet ist, werde ich mir die Freyheit nehmen, Ihnen ein Exemplar zu übersenden. Auch habe ich Stundentafeln berechnet, wie sie B. *Zach* in der *Corresp. astr. V. 3. p. 253* wünscht, von 0° — 80° Breite, von 5 — 5,4 d. Z.; wann aber die gedruckt werden, weiß ich nicht, da unsere Fonds klein sind, und Buchhändler auf eigene Rechnung sich nicht gern mit dergleichen Werken befassen, obwohl sie nur einige Druckbogen umfassen würden.

Den *Enckeschen* Cometen habe ich den 5. Nov. zuerst gesehen; allein ungünstiges Wetter erlaubte erst am Ende des Monats eine Beobachtung am Kreismeridometer, den ich an unsern großen *Dollond* befestigte. Auch im December waren nur die ersten Tage günstig; vom 7. bis zu Ende hatten wir trübes Wetter. Da ich erst einige Positionen dieses Cometen berechnet habe, weil ich erst einige der verglichenen Sterne auffinden konnte, so werde ich mir erst später die Freyheit nehmen, meine leider nur sehr wenigen Beobachtungen und deren Resultate Ihnen zu übersenden.

Max Weiss.

Sternbedeckungen im Jahre 1828 auf der Craauer Sternwarte beobachtet.

1828.		Sternzeit.		1828.		Sternzeit.	
		<i>h</i>	<i>m</i>			<i>h</i>	<i>m</i>
22 Febr.	Eintr. 68 Tauri IV. 73. am dunk. Mondr.	6	57 42,1	24 May.	Eintr. eines Sterns 7.8 Gr. am dunk. Mondr.	14	13 38,7
20 März.	— Tauri III. 249. —	8	5 51,5	16 Juny.	— 76a Cancer VIII. 255 —	15	19 45,1
18 April.	— eines Sterns 7 Gr. —	10	46 46,2	20 —	— eines Sterns 7.8 Gr. —	15	23 49,6
21 May.	— Sext. IX. 253. —	14	29 35,1	22 July.	— — — — —	19	7 13,8

Altona im Februar 1829.

Auszug aus einem Briefe des Herrn *Benj. Valz* an den Herausgeber.
Nîmes 1829. Janvier 13.

Je vous remets ci-jointes toutes les observations que j'ai pu faire de la comète de Mr. *Encke* un voyage m'a occasionné une interruption de 16 jours et les mauvais tems les autres, qu'il y a. Les déclinaisons sont en général moins sûres que les ascensions droites, à cause de l'étendue et du vague de la nébulosité et quelquefois même elles n'ont pas été observées par diverses circonstances; elles ont été déterminées à l'aide d'un micromètre répétiteur, que j'ai fait construire ici assez simplement, tout en évitant l'usage de la vis à cause de ses tems perdu et de ses inégalités, dont il est fort difficile de se garantir, étant surtout aussi éloigné des bons artistes de la capitale. Comme les corrections relatives à la réfraction sont assez fastidieuses à calculer, je les évite entièrement en choisissant deux étoiles connues, l'une au nord, l'autre au sud de la comète parce qu'alors ces corrections étant en sens inverse et proportionnelles aux différences de déclinaison, les rectifications en sont des plus simples; l'on tient compte même ainsi d'une légère inclination des fils qu'on ne peut toujours être assuré d'annuler assez rigoureusement, ainsi que de l'inexactitude de construction du réticule. Ce moyen me parait en effet le plus simple à employer, lors même que le réticule a une inclination quelconque, sans qu'il soit nécessaire de la connaître, non plus que l'angle du réticule, qui n'a pas toujours l'exactitude convenable. Ce mode de correction est donc le même pour tous les réticules, quelque soit leur angle, quelle que puisse être leur inclination, et malgré les effets de la réfraction. Voici les expressions simples qui en découlent. Soit τ le tems, employé à traverser l'angle du réticule par l'astre inconnu. τ', τ'' ceux des deux étoiles connues. t la différence de leur passage à l'un des fils. t', t'' celles de chacune d'elles avec l'astre inconnu. dD, dP , leur différence de déclinaison et d'ascension droite en tems connues, et dP', dP'', dD', dD'' celles cherchées avec chacune des étoiles. On aura

$$dP \pm t' = \frac{\tau' - \tau}{\tau' - \tau''} (dP \pm t),$$

$$dP'' \pm t'' = \frac{\tau'' - \tau}{\tau' - \tau''} (dP \pm t),$$

$$dD' = \frac{\tau' - \tau}{\tau' - \tau''} dD$$

$$dD'' = \frac{\tau'' - \tau}{\tau' - \tau''} dD$$

Mais dans le voisinage de l'horizon et du crépuscule, il pourroit ne se trouver qu'une seule étoile de visible, alors voici comment il me paroit qu'on pourra obtenir des observations telles qu'elles seroient sans la réfraction, et éviter par conséquent tout calcul qu'elle nécessite d'ordinaire; ce qui pourra paroître d'abord tenir un peu du paradoxe: il suffira cependant pour cela de disposer horizontalement un des fils du réticule ou du micromètre ce qu'on pourroit obtenir par un fil métallique traversant le tuyau, et auquel on accrocheroit en dehors un petit niveau à bulle d'air, ou bien à l'aide d'un fil à plomb ou d'un niveau qu'on rectifieroit sur une mire éloignée. Deux autres fils perpendiculaires au premier, et dont l'intervalle sera connu, compléteront la disposition convenable. Il est évident en effet que les observations aux deux fils parallèles ne seront pas altérées par la réfraction puisqu'ils sont sensiblement dans des plans verticaux. Rigoureusement ils iroient concourir au delà du zénith à une distance égale à la hauteur du fil horizontal au-dessus de l'horizon qui d'après l'hypothèse admise est supposée peu considérable. Il sera facile de s'assurer qu'une pareille variation n'aura pas d'influence sensible dans ce cas, d'après les formules exposées au sujet d'un nouveau réticule, qui seroit particulièrement propre à cette manière d'observer (Corresp. Astr. 3^e Vol. p. 362). Quant aux observations qu'on obtiendra au fil horizontal, la réfraction pourra être considérée comme la même pour chacune d'elles, elles seront donc les mêmes que si elles eussent été faites,

sans réfraction, à un fil plus abaissé de la quantité de cette même réfraction, ce qui n'influera donc pas sur les données, et rendra le calcul indépendant de tout effet quelconque de réfraction. Voici les formules pour ce cas qui pourra paraître un peu singulier. Soit a la distance comprise entre les fils parallèles, b l'intervalle des observations à ces fils réduit en arc de grand cercle, f l'inclinaison du parallèle, r, r' les intervalles de tems observés de l'un des fils parallèles à l'horizontal, dR la différence des réductions au fil horaire, des passages aux fils parallèles, on obtiendra.

$$\cos f = \frac{a}{b} \cdot dR = (r - r') \sin^2 L.$$

$$dD = 15 \cdot \cos D \cdot \cos f \cdot dR = \frac{15}{2} (r - r') \cos D \sin 2L.$$

La comète précédente a présenté plusieurs singularités. Dès la fin de Novembre il a été assez facile de s'apercevoir que sa partie la plus lumineuse n'occupoit pas le centre même de la nébulosité, mais étoit près du bord opposé au soleil. Cette nébulosité qui les premiers jours paraissoit avoir 12' à 15' d'étendue a semblé diminuer continuellement depuis lors, quoique la distance à la terre soit devenue de plus en plus faible jusqu'au 11 Décembre, et que celle au soleil ne toujours été en décroissant ce qui auroit du conjointement à ce qu'il semble, faire paroître augmenter cette nébulosité. Cette marche rétrograde ne pourroit elle s'expliquer par l'effet d'une illusion produite par l'augmentation de l'illumination centrale, qui ne permettoit pas de distinguer aussi bien les bords de la nébulosité. Je n'ai pu suivre cet astre que jusqu'au 24 Décembre au soir. Il avoit beaucoup augmenté d'éclat, et surpassoit la 20^e de l'Aigle de 6^e grandeur, seule étoile visible auprès de lui dans le crépuscule. J'aurois beaucoup désiré le revoir encore un peu plus tard, parceque j'espérois appercevoir sa queue qui n'est que rarement visible, et n'a été encore je crois remarquée que deux fois parce qu'elle paroit ne se former que treize jours environ avant le Périgée, puisque en 1819 elle

ne pu se voir que le 14 Janvier. Apparement que d'autres observateurs auront été plus heureux, et pourront nous en donner des nouvelles. Les 25, 26 et 27 Décembre le tems fut couvert, et le 28 au soir je ne pus rien soupçonner dans la forte clarté crépusculaire qui inondoit tout le champ du chercheur.

Voici le moyen dont je vous avois parlé pour mesurer le grossissement des lunettes qui m'a paru le plus simple et le plus facile à employer. Il ne s'agit pour cela en effet que de mesurer l'angle que forment les rayons provenant d'un objet d'un diamètre connu, au sortir de la lunette. Le soleil par son grand éclat, m'a paru plus particulièrement propre à remplir cet office. Il n'y aura donc qu'à prendre la dimension de son image au sortir de l'oculaire et à une distance donnée, et à la diviser par cette distance et par la double tangente du demi diamètre du soleil. En prenant la distance égale à la cotangente du diamètre solaire, le nombre même des parties de l'échelle comprises dans l'étendue de l'image exprimeroit la qualité du grossissement. Ainsi en Janvier l'image devoit être reçue et mesurée à 105 parties de l'extrémité de la lunette, en avril et octobre 107, et en Juillet 109 parties mais il faudroit à la rigueur retrancher de la mesure prise, le diamètre de la petite image qui se forme, à l'extrémité de la lunette; ou au point à partir duquel la distance seroit comptée. Lorsque le champ de la lunette sera plus petit que le diamètre du soleil, on pourra tracer préalablement sur un écran, un cercle qu'on fera concourir avec la partie ostensible des bords du soleil, ou mieux encore, employer alors le diamètre même du champ connu, à la place de celui du soleil. Mais s'il n'étoit pas déterminé à l'avance, on pourroit le mesurer par la même opération, en comptant le nombre de secondes qu'une tâche solaire emploieroit à le traverser centralement sur l'écran qui en recevoit l'image.

Benj. Valz.

De la projection des Cartes Célestes par Mr. Benjamin Valz.

Il paroît au premier aperçu que la projection la plus convenable pour représenter le ciel étoilé, est celle que nous offre directement la nature des choses, où l'œil se trouve placé au centre de la sphère et qui est déjà employée en Gnomonique. Il semble en effet qu'il ne sauroit y avoir de représentation plus naturelle de la voûte céleste, et elle jouit de la propriété remarquable que tous les grands cercles y sont projetés par des lignes droites, ce qui peut présenter quelques avantages dans certaines circonstances: mais on doit cependant faire attention à ce que cette projection

ne peut guère servir que pour représenter des parties du ciel d'une médiocre étendue, car loin du centre les représentations y sont trop défigurées, par l'altération des angles, et du rapport des dimensions en divers sens. Les petits cercles y étant représentés généralement par des ellipses et des hyperboles, l'angle droit des méridiens et des parallèles peut y devenir nul, et ces deux genres de cercles tendre au parallélisme les uns à l'égard des autres. Les arcs de grand cercle, se projetant par des tangentes ou à leurs différences peuvent varier prodigieusement et par conséquent

aussi le rapport des dimensions diverses; ce qui présenteroit sous les deux rapports d'assez graves inconvénients. La projection la plus naturelle n'offre donc pas les avantages qu'on doit désirer, et qui puissent lui mériter la préférence. Dans l'impossibilité de satisfaire à toutes les conditions convenables, on sera obligé de faire varier la construction des cartes célestes comme pour celles dites géographiques et marines selon l'emploi auquel elles seroient destinées. Ainsi par exemple si l'on vouloit se servir des premières principalement pour le tracé de la route des comètes, ou des quatre modernes planetules, comme elle s'écarte peu en général d'un arc de grand cercle, la projection gnomonique pourroit offrir de l'avantage par la facilité qu'elle donne de la représenter par une droite menée par deux points donnés de position seulement. Mais dans d'autres cas où l'on auroit besoin de confronter les cartes avec le ciel, comme pour la confection des précieuses cartes célestes, que l'Académie des sciences de Berlin propose au zèle des explorateurs des régions cosmiques, et sur lesquelles les étoiles doivent être placées par comparaison entr'elles, et par une estimation à vue, il est surtout de nécessité, que les cercles s'y coupent sous les mêmes angles que sur la sphère, et que le rapport des dimensions en divers sens y soit aussi le même. Il seroit de plus à désirer que le tracé des lignes de construction en fut simple et facile. Les cartes réduites de Mercator pourroient satisfaire aux conditions convenables dans le voisinage de l'équateur, mais les régions polaires offrieroient trop de différences avec leur aspect naturel. La grandeur des degrés des méridiens y varie beaucoup trop, et même jusqu'à l'infini, ainsi que dans la projection orthographique, et gnomonique, mais surtout le plus rapidement dans cette dernière, car ils sont entr'eux dans les cartes réduites, inversement comme les sinus des distances au pôle; dans la projection orthographique comme les différences de ces sinus, ou comme leurs cosinus pour de petits arcs; et dans la gnomonique comme les différences de leurs tangentes, ou comme le carré des sécantes ou l'inverse du carré des cosinus. Ainsi à 1° du pôle les degrés des méridiens sont 57 fois plus grands que vers l'équateur des cartes réduites. Ce rapport est le même au centre et à 89° de là, pour la projection orthographique, mais pour la gnomonique il seroit inverse et élevé au carré, ou bien les degrés sont 3283 fois plus petits au centre qu'à 89° de ce point. En cherchant à parer à ces inconvénients pour parvenir à une représentation plus favorable du ciel étoilé, il nous à paru qu'on pourroit y satisfaire assez convenablement, en figurant les méridiens par des lignes droites concourant en un même point, qui seroit le centre de cercles représentant les parallèles, et dont on détermineroit la grandeur d'après la condition que les dimen-

sions dans les deux directions seroient dans la même rapport que sur la sphère; les angles de ces cercles entr'eux étant aussi par là conservés les mêmes. Cette marche nous a conduit à un résultat assez imprévu et qui met en évidence une propriété remarquable qui n'avoit pas été reconnue encore à une projection fort ancienne. La variation des degrés des méridiens y est peu considérable, et dans le rapport de $\frac{1}{2}$ de l'équateur au pôle. Pour satisfaire aux conditions énoncées soit donc P la distance angulaire au pôle sur la sphère, et D la distance polaire rectiligne sur la carte. dP sera l'élément du méridien que dD représentera. Prenant pour rayon l'unité on aura $\frac{1}{\sin P}$ pour le rapport d'un petit arc du méridien à celui du parallèle, tandis que sur la carte ce sera $\frac{dD}{D dP}$. Par conséquent $dD \sin P = D \cdot dP$. Pour intégrer avec facilité, il n'y a qu'à introduire dans cette équation $\tan \frac{1}{2} P$ qui donne $d(\lg \frac{1}{2} P) = \frac{dP}{2 \cos^2 \frac{1}{2} P}$ car on obtient $\frac{dP}{\sin P} = \frac{dP \cos \frac{1}{2} P}{2 \sin \frac{1}{2} P \cos^2 \frac{1}{2} P} = \frac{d(\lg \frac{1}{2} P)}{\lg \frac{1}{2} P} = \frac{dD}{D}$ d'où $D = \tan \frac{1}{2} P$.

Ce qui se rapporte comme on voit en effet à la projection attribuée ordinairement à Ptolemée, mais qui seroit plutôt due à Hyarpque. Elle étoit désignée par les anciens seulement sous l'expression générale de Planisphère, mais depuis deux siècles le Jésuite Aguiar a proposé de lui donner le nom de stéréographique, d'après des motifs il est vrai qui sont loin d'être rigoureux *). Il ne paroit pas qu'on lui eut encore accordé la propriété qu'on vient de lui reconnaître. On ne pouvoit guère en effet y être amené d'après les seuls principes de sa construction, et il est à présumer que pour cela, il falloit peut-être un hasard analogue à celui qui nous a porté à résoudre le problème que nous nous sommes proposé, à l'occasion des nouvelles cartes célestes que l'on devra à l'heureuse inspiration de l'Académie de Prusse.

Les anciens paroissent n'avoir reconnu à la projection précédente que l'une des trois propriétés qui lui appartiennent, celle de représenter par des cercles ou des droites tous les cercles de la sphère. Quant à celle de conserver les angles tels qu'ils sont en réalité, elle paroit n'avoir été connue que depuis le milieu du dernier siècle: elle offre beaucoup d'intérêt pour la confection des cartes célestes puisqu'elle procure l'avantage d'obtenir les mêmes angles que sur la sphère et de ne pas altérer ainsi les directions di-

*) Quod universam corporis objecti profunditatem et peripheriam ipsam unius prospectu explant. Dans son optique. Anvers 1613.

verres. Enfin la troisième propriété reconnue ci-dessus vient compléter et faire apprécier encore mieux tous les mérites de cette projection, en montrant que les rapports des dimensions dans les deux sens sont rigoureusement tels que sur la

sphère. C'est sans doute tout ce qu'on pourroit raisonnablement espérer d'une représentation de la sphère sur un plan, et désirer pour la construction la plus convenable des cartes célestes.

Observations de la Comète de Mr. Encke.

Dates.	T.M. de min.	Etoiles compar.	Diff. AR.	Diff. D.	Asc. dr. Com.	Decl. Com.
	^h				[°]	[°]
1828. Octobre 30.	22	Piazzi XXIII. 60	- 15 estimé		348 8	25 40 B.
31.	20 30'	XXIII. 23	+ 15 id.		347 0	
Novembre 2.	22 47' 38"	56 Pégase	- 14' 30"		344 27' 15"	
10.	21 56 18	H. C. p. 32. Et. 112 ^e	+ 43 30'		334 59 2	
		113	+ 19 30'			
12.	21 17 54	H. C. p. 32. Et. 108	- 6 30'			
		109	- 34 30'		332 45 18	
		33 Pégase	- 1' 50 50'			
29.	19 11 17	H. C. p. 110. Et. 2 ^e	+ 13 0'			
		Piazzi XXI. 29.	+ 37 40'		315 38 10	
30.	18 42 49	ν Petit cheval	- 47 10'	+ 26 33"		
		H. C. p. 110. Et. 6 ^e	- 1' 14 30'	- 1 40	314 42 51	9 54 6
Décembre 2.	20 13 6	H. C. p. 109. Et. 114 ^a	- 26 25	- 28 40'		
		118	- 2° 1 20		312 45 2	8 37 11
		p. 110. Et. 1 ^e	- 2 10 0			
4.	21 4 30	14 Dauphin	+ 26 0		310 47 7	
5.	19 33 2	14 Dauphin	- 28 5	- 22 20'		
		H. C. p. 188. Et. 58 ^e	+ 4 0	+ 23 50'	309 52 29	6 44 52
		67 ^e	- 1' 48 15			
10.	18 21 43	H. C. p. 190. Et. 80 ^(a)	+ 41 50	+ 2 10'		
		81 ^e	- 17 42	- 27 9	304 51 35	3 23 25
11.	19 5 38	Piazzi XX. 134	- 39 20	+ 18 20'		
		H. C. p. 95. Et. 25 ^(b)	- 1' 10 8		303 44 38	2 42 40
12.	19 18 15	Piazzi XX. 51	+ 53 40	- 19 30'		
		H. C. p. 95. Et. 15	+ 8 22	+ 18 24'	302 39 1	2 0 43 B
13.	20 1 8	— p. 95. Et. 15 ^a	- 1° 4 25'			
		Et. 18 ^a	- 1 44 30'		301 29 14	
		Piazzi XX. 116.	- 2 31 0			
14.	18 39 48	H. C. p. 97. Et. 11 ^e	+ 1 23 35	- 10 52'		
		Et. 12.	+ 14 52	+ 32 26'	300 24 18	0 30 29 B
19.	18 10 18	— p. 109. Et. 26 ^e	+ 11 30'			
		Et. 27 ^e	+ 0 38	- 21 54	294 14 21	- 3 38 46 A
		Et. 35 ^a	- 1 51 10'			
21.	17 54 45	42 Antino.	- 37 0	- 26 20'		
		H. C. p. 99. Et. 61.	- 1° 15 20	+ 22 29'	291 33 21	- 5 27 33
23.	17 45 17	H. C. p. 101. Et. 2 ^e	+ 18 0			
		Et. 5 ^e	- 1° 16 40'		288 45 28	
24.	17 56 22	20 Aigle	- 1 27 48		287 18 45	

(a) Il paroit que par erreur H. C. porte le 3^e fil au lieu du 2^e.

(b) Ce doit la 149^e XX Piazzi et qu'il y auroit 29" de moins H. C. ou peut-être le 3^e fil au lieu du 2^e.

Schreiben des Herrn Professors *Argelander*, Directors der Sternwarte in *Äbo*, an den Herausgeber.

Äbo 1829. Januar 7.

Vor einiger Zeit erhielt ich die Mondsterne für dieses Jahr, und da ich bei diesen wieder die Vergleichungssterne für den 2^{ten} Rand in den Morgenstunden vermisste, so übersende ich Ihnen beiliegend einen Catalog von dazu dienlichen Sternen. Die in diesem Verzeichnisse angegebene

MondAR. ist die Durchgangszeit des 2^{ten} Randes durch den Pariser Meridian, die Decl. die wahre für denselben Meridian und in der letzten Columnne befindet sich die Bewegung des Mondes in AR. und in einer Monatsunde. Schwerlich wird mein Brief so zeitig ankommen, daß die Februar-

sterne auf andern Sternwarten werden beobachtet werden können; doch würde Sie bitten, dieses auf der Ihrigen zu thun, indem auf den Russischen Sternwarten es gesche-

hen wird, und das Verzeichniß hoffentlich auch zeitig genug nach Königsberg kommen wird.

Fr. Argelander.

Catalogus stellarum cum Luna in AR. comparandarum 1829.

Dies.	Sider. nom.	m.	AR. in temp.	Decl.	m. h.	Dies.	Sider. nom.	m.	AR. in temp.	Decl.	m. h.
Febr. 26	γ Ophiuchi	3	16 27 45	— 10 13		Mai 25	γ Aquarii	4	22 20 1	— 0 53	
	Lunae L. II		51 29	— 17 42	144"		γ —	4	26 34	— 1 0	
	γ Ophiuchi	2.3	17 0 35	— 15 30			λ —	4	43 42	— 8 29	
	ξ Serpentis	4	27 48	— 15 17			Lunae L. II		44 41	— 5 43	141"
— 27	ξ Serpentis	4	17 27 48	— 15 17		— 26	Lunae L. II		23 40 47	— 1 9	140
	Lunae L. II		50 27	— 18 17	151		ω Piscium	4	50 33	+ 5 55	
	μ Sagittarii	4	18 3 34	— 21 6			γ Pegasi	2.3	0 4 27	+ 14 14	
	λ —	3.4	17 26	— 25 30			γ Ceti	4	10 44	— 9 46	
— 28	λ Sagittarii	3.4	18 17 26	— 25 30		— 27	γ Pegasi	2.3	0 4 27	+ 14 14	
	Lunae L. II		51 33	— 17 39	155		Lunae L. II		36 42	+ 3 28	140
	λ Aquilae	3	57 11	— 5 8			α Piscium	4	54 6	+ 6 58	
	δ Sagittarii	4	19 7 38	— 19 15			γ Ceti	3	1 15 30	— 9 4	
Mart. 1	α Aquilae	3.4	19 27 42	— 7 24		— 28	α Piscium	4	0 54 6	+ 6 58	
	Lunae L. II		53 52	— 15 15	156		γ —	4	1 22 22	+ 14 28	
	2α Capric.	3	20 8 33	— 13 4			Lunae L. II		33 2	+ 7 51	142
	β —	2.3	11 24	— 15 19			β Arietis	3	45 13	+ 19 58	
— 27	μ Sagittarii	4	18 3 34	— 21 6		Jun. 23	γ Pegasi	2.3	0 4 27	+ 14 14	
	λ —	3.4	17 26	— 25 30			γ Ceti	4	10 44	— 9 46	
	Lunae L. II		28 31	— 18 0	149		Lunae L. II		20 16	+ 1 53	139
	λ Aquilae	3	57 11	— 5 8			α Piscium	4	54 6	+ 6 58	
— 28	δ Sagittarii	4	19 7 38	— 19 15		— 24	α Piscium	4	0 54 6	+ 6 58	
	Lunae L. II		28 19	— 16 44	150		Lunae L. II		1 15 42	+ 6 21	139
	2α Capric.	3	20 8 33	— 13 4			γ Piscium	4	22 22	+ 14 28	
	β —	2.3	11 24	— 15 19			β Arietis	3	45 13	+ 19 58	
— 29	2α Capric.	3	20 8 33	— 13 4		— 25	β Arietis	3	1 45 13	+ 19 58	
	β —	2.3	11 24	— 15 19			α —	3	57 34	+ 22 39	
	Lunae L. II		28 37	— 14 41	151		Lunae L. II		2 11 26	+ 10 24	140
	3 Aquarii	4	38 43	— 5 39			γ Ceti	3	34 28	+ 2 31	
— 30	β Aquarii	3.4	21 22 34	— 6 19		— 26	γ Ceti	3	2 34 28	+ 2 31	
	Lunae L. II		28 49	— 10 55	150		41 Arietis	3	39 58	+ 26 33	
	δ Capric.	3	37 36	— 16 54			α Ceti	2.3	53 22	+ 3 25	
	α Aquarii	3	57 0	— 1 9			Lunae L. II		3 7 47	+ 13 49	142
April 25	α Aquilae	3.4	19 27 42	— 7 24		Jul. 23	Lunae L. II		2 51 9	+ 12 41	141
	Lunae L. II		20 8 36	— 15 20	147		α Ceti	2.3	53 22	+ 13 49	
	β Capric.	2.3	11 24	— 15 19			δ Arietis	4	3 1 54	+ 19 5	
	3 Aquarii	4	38 43	— 5 39			ξ Tauri	4	17 56	+ 9 8	
— 26	3 Aquarii	4	20 38 43	— 5 39		— 24	γ Tauri	3	3 37 23	+ 20 34	
	Lunae L. II		21 7 36	— 12 20	146		Lunae L. II		47 32	+ 15 31	141
	β Aquarii	3.4	22 34	— 6 19			λ Tauri	4	51 14	+ 12 0	
	δ Capric.	3	37 37	— 16 54			γ —	3	4 10 5	+ 15 20	
— 27	δ Capric.	3	37 37	— 16 54		— 25	1δ Tauri	4	4 13 7	+ 17 8	
	Lunae L. II		22 5 15	— 8 29	145		α —	4	18 40	+ 18 48	
	γ Aquarii	3.4	12 50	— 2 15			α —	1	26 8	+ 16 10	
	λ —	4	43 42	— 8 29			Lunae L. II		44 3	+ 17 24	141
— 28	γ Aquarii	4	22 26 34	— 1 0		— 26	β Tauri	2	5 15 31	+ 28 27	
	λ —	4	43 42	— 8 29			Lunae L. II		40 21	+ 18 18	141
	Lunae L. II		23 2 55	— 4 5	144		α Orionis	1	45 56	+ 7 20	
	ω Piscium	4	50 32	+ 5 55			μ Geminor.	3	6 12 38	+ 22 36	

Dis.	Sider. nom.	m.	AR. in temp.	Decl.	m. h.
Aug. 21	γ Tauri	3	4 10 5	+ 15 12	
	δ —	4	13 7	+ 18 48	
	ϵ —	4	18 40	+ 16 10	
	Lunae L. II		26 57	+ 16 46	142"
— 22	β Tauri	2	5 15 31	+ 28 27	
	Lunae L. II		23 25	+ 18 0	141
	λ Orionis	4	25 45	+ 9 49	
	α —	1	45 56	+ 7 22	
— 23	α Geminor.	3	6 12 38	+ 22 36	
	Lunae L. II		16 59	+ 18 11	138
	γ Geminor.	3	27 51	+ 16 32	
	δ —	4	35 44	+ 13 4	
— 24	ζ Geminor.	4	6 54 0	+ 20 49	
	Lunae L. II		7 13 12	+ 17 25	134
	β Can. min.	3	17 54	+ 8 38	
	α —	1	30 22	+ 5 40	
	β Geminor.	2	34 52	+ 28 26	
Sept. 19	α Orionis	1	5 45 56	+ 7 22	
	Lunae L. II		6 0 52	+ 18 9	140
	μ Geminor.	3	12 38	+ 22 36	
	γ —	3	27 51	+ 16 32	
— 20	2δ Geminor.	4	6 35 44	+ 13 4	
	Lunae L. II		56 6	+ 17 42	136
	δ Geminor.	3.4	7 9 55	+ 22 17	
	β Canis min.	3	17 54	+ 8 38	
— 21	α Can. min.	1	7 30 22	+ 5 40	
	β Geminor.	2	34 52	+ 28 26	
	Lunae L. II		49 25	+ 16 20	131
	β Cancri	4	8 7 16	+ 9 42	
— 22	β Cancri	4	8 7 16	+ 9 42	
	δ Hydrae	4	28 38	+ 6 18	
	Lunae L. II		41 5	+ 14 13	126
	2α Cancri	4	49 10	+ 12 31	
Oct. 19	β Cancri	4	8 7 16	+ 9 42	
	Lunae L. II		23 7	+ 15 2	129
	δ Hydrae	4	37 45	+ 7 2	
	2α Cancri	4	49 10	+ 12 31	
— 20	2α Cancri	4	8 49 10	+ 12 31	
	Lunae L. II		9 13 39	+ 12 30	124
	ϵ Leonis	4	32 3	+ 10 40	
	α —	1	59 18	+ 12 48	
— 21	ϵ Leonis	4	9 32 3	+ 10 40	
	Lunae L. II		10 2 14	+ 9 24	120
	γ —	2	10 34	+ 20 42	
	δ —	4	23 50	+ 10 11	

Dis.	Sider. nom.	m.	AR. in temp.	Decl.	m. h.
Oct. 22	ϵ Leonis	4	10 23 50	+ 10 11	
	Lunae L. II		49 27	+ 5 56	117"
	ϵ Leonis	4	11 12 21	+ 6 58	
	γ —	4	19 11	+ 3 48	
Nov. 17	ϵ Leonis	4	9 32 3	+ 10 40	
	Lunae L. II		44 0	+ 10 50	123
	α Leonis	1	59 18	+ 12 48	
	β —	4	10 23 50	+ 10 11	
— 18	α Leonis	1	9 59 18	+ 12 48	
	β —	4	10 23 50	+ 10 11	
	Lunae L. II		32 5	+ 7 26	119
	ϵ Leonis	4	11 12 21	+ 6 58	
— 19	ϵ Leonis	4	11 12 21	+ 6 58	
	Lunae L. II		18 55	+ 3 46	117
	δ Hydrae	4	28 3	+ 8 51	
	β Virginis	3.4	41 49	+ 2 44	
— 20	β Virginis	3.4	11 41 49	+ 2 44	
	Lunae L. II		12 5 9	+ 0 3	116
	γ Virginis	3.4	11 12	+ 0 17	
	1γ —	4	33 2	+ 0 31	
— 21	1γ Virginis	4	12 33 2	+ 0 31	
	δ —	3.4	47 1	+ 4 20	
	Lunae L. II		51 35	+ 3 51	117
	α Virginis	1	13 16 14	+ 10 26	
Dec. 17	β Virginis	3.4	11 41 49	+ 2 44	
	Lunae L. II		46 48	+ 1 46	116
	6 Virginis	—	51 19	+ 4 36	
	γ —	3.4	12 11 12	+ 0 17	
— 18	γ Virginis	3.4	12 11 12	+ 0 17	
	δ —	6.7	33 2	+ 2 3	116
	Lunae L. II		6 51 3	+ 3 44	
— 19	$2k$ Virginis	6	12 51 3	+ 3 44	
	δ —	5.6	59 3	+ 9 50	
	Lunae L. II		13 19 40	+ 5 51	118
	ζ Virginis	4	26 1	+ 9 16	
— 20	9δ Virginis	6	13 57 48	+ 8 30	
	Lunae L. II		14 7 27	+ 9 26	122
	λ Virginis	4	9 55	+ 12 35	
	2α Librae	3	41 29	+ 15 20	
— 21	2α Librae	3	14 41 29	+ 15 20	
	Lunae L. II		57 5	+ 12 39	127
	β —	2.3	15 7 51	+ 8 45	
	137 —	4	24 52	+ 9 29	

U e b e r d i e L ä n g e v o n N ü r n b e r g .

Nürnberg, berühmt durch *Pearbachs* Schüler, *Regiomontanus*, und den Schüler des letzteren, *Bernhard Walther*, die Gründer der neueren astronomischen Beobachtungskunst in Deutschland und Europa, hat bis jetzt noch wenige Astronomen gefunden, die mit Bestimmung seiner geographischen Lage sich beschlätigt hätten. *Tobias Mayer* ist der erste, der unter diesem genannt zu werden verdient; er bestimmte während seines Aufenthalts in Nürnberg die Polhöhe des *Homann'schen* Hauses = $49^{\circ} 27' 10''$, oder nach *La Caille's* verbesserter Berechnung $49^{\circ} 27' 6''$; mit dem Mittel $49^{\circ} 27' 8''$ stimmen auch die Beobachtungen des *Frl. von Zach* (Corresp. astronom. VII. 14) überein. Die Länge desselben Hauses machte *T. Mayer* = $34^{\circ} 40'$; so nahm er sie auch in seiner *Mappa Germaniae critica* an, und so erschien sie bisher unverändert in neueren geographischen Verzeichnissen. Aus der Sonnenfinsternis 1803. 17 Aug. erhielt ich $33^{\circ} 18'$; allein, wie von mir in der Monatl. Correspondenz XII. Bd. S. 354 selbst bemerkt worden, so ist die Zeitangabe bei dieser Finsternis höchst unsicher, und daher dieses Längenergebnis völlig unbrauchbar. Nach *T. Mayer's* kosmographischen Nachrichten für 1748 (Nürnberg 1750 in 4^{to}) hat dieter verdiente Astronom in dem *Homann'schen* Hause in den Jahren 1747 und 1748 sechs Sternbedeckungen beobachtet, und noch zwei andere im Jahre 1750, die letzteren stehen in den Comment. Soc. Reg. Göttingensis, Tom. III. Ann. 1750. Zu den zwei Plejadenbedeckungen von 1747. 20 Oct. und 1748. 15 Aug. finden sich correspondirende Beobachtungen in den Mém. de l'Acad. R. de Paris 1748, so wie zu der Bedeckung von β im Schlangenträger in den Mém. de Paris 1750. und Mém. de Berlin 1749. Eben diese von Herrn von *Heiligenstein* mir gefälligst mitgetheilten Beobachtungen habe ich in Rechnung genommen, ohne jedoch, wie aus dem folgenden erhellen wird, sehr befriedigende Resultate zu finden.

1. Plejadenbedeckung. 1747. 20 October.
Eintritt am erleuchteten Mondrande.

	Mittlere Zeit.		Conjunction.	
	h°	m'	h°	m'
Taygeta:				
Paris	E. 10 11	31,52	11 20	56,27 + 0,145 x
Nürnberg	E. 10 55	53,43	11 56	7,48 — 0,217 x
	A. 12 10	57,93	11 56	40,27 + 0,914 x
Maja:				
Paris	E. 10 33	52,36	11 34	42,47 — 1,288 x
Nürnberg	E. 11 24	37,26	12 8	40,95 — 2,227 x
	A. 12 7	31,95	12 9	29,52 + 4,612 x

In Paris beobachtete *Le Monnier* auf seiner Sternwarte, unter der Breite $48^{\circ} 52' 2''$ und $2''$, 1 in Zeit westlich von der Kön. Sternwarte. In Paris wird der Eintritt der Maja als auf $5''$ unsicher bezeichnet; in Nürnberg war der Austritt der Maja etwas zweifelhaft; die Zeit in Nürnberg ist durch correspondirende Sonnenhöhen bestimmt. Ein- und Austritt der Taygeta in Nürnberg geben $x = -29''$, 0, sicherer findet sich x wegen des großen Factors dieser Correction durch den Ein- und Austritt der Maja = $-7''$, 1. Werden, um die Fehler der Beobachtung gleichartiger zu machen, bloß Eintritte mit Eintritts verglichen, so folgt aus den mit $x = -7''$, 1 verbesserten Conjunctionen die Länge von Nürnberg durch Taygeta $35^{\circ} 11' 68''$, durch Maja $34^{\circ} 3' 19''$, demnach um eine ganze Minute kleiner, als durch den ersten Stern. Nach der Berechnung sollte der Zeitunterschied der Conjunctionen beider Sterne = $13^{\circ} 39' 91''$ gewesen seyn; die Pariser Beobachtung gibt $13^{\circ} 56' 24''$, die Nürnberger hingegen nur $12^{\circ} 47' 75''$; vielleicht ist also bei der letztern der Eintritt der Maja um $1'$ Zeit zu spät angegeben. Für jeden Fall muß das Resultat durch Taygeta vorgezogen werden, um so mehr, da es auch mit den nachfolgenden Beobachtungen besser stimmt.

2. Plejadenbedeckung. 1748. 15 August.
Eintritt am erleuchteten Mondrande.

	Mittlere Zeit.		Conjunction.	
	h°	m'	h°	m'
Taygeta.				
Paris	E. 14 48	28,04	15 53	42,81 + 0,131 x
(Lacaille)	A. 16 3	39,91	15 54	8,61 + 0,389 x
Paris	E. 14 48	18,54	15 53	33,52 + 0,134 x
(Chabert)	A. 16 3	35,41	15 54	2,69 + 0,389 x
Nürnberg	E. 15 34	8,95	16 29	6,01 — 0,194 x
Maja.				
Paris (Lac.)	E. 15 9	55,37	16 7	6,00 — 1,154 x
Paris (Chab.)	E. 15 9	27,36	16 6	33,92 — 1,163 x
Nürnberg	E. 16 1	41,71	16 41	56,50 — 1,886 x
Dundee	E. 14 51	57,11	15 46	7,40 — 0,251 x
Celeno.				
Paris (Lac.)	A. 15 34	4,16	15 39	12,59 + 1,860 x
Paris (Chab.)	E. 14 33	55,66	15 38	12,59 — 1,034 x
Nürnberg.	E. 15 23	48,03	16 13	31,42 — 1,717 x
Asterops k.				
Nürnberg	E. 16 0	12,73	16 49	15,78 + 0,009 x
Electra.				
Dundee	E. 14 30	9,48	15 13	55,43 — 3,046 x

In Paris beobachtete *La Caille* unter der Breite $48^{\circ} 31' 29''$ und $0^{\circ}, 1$ in Zeit östlich von der Kön. Sternwarte, *Chabert* auf *La Monnier's* Sternwarte (S. oben), *Le Monnier* in Dundee in Schottland, wo er die Breite $= 56^{\circ} 25'$ bestimmte. Zu den Uhrzeiten der Eintritte in Dundee, $14^{\circ} 25' 50''$ und $14^{\circ} 41' 35''$ addirt *Le Monnier* $10''$, um wahre Zeit zu erhalten; allein nach genaueren Untersuchungen über die von demselben beobachteten vier einzelnen Sonnenhöhen fand Herr von *Heiligenstein* die wahre Zeit beider Eintritte, so wie sie oben zum Grunde liegt, $= 14^{\circ} 26' 18''.5$ und $14^{\circ} 48' 6''.3$. Bei *La Caille* soll der Eintritt der Taygeta auf 2 bis 3 Sec. bei *Chabert* der Eintritt der Maja auf $5''$ unsicher seyn; allein die Unsicherheit eben dieser Pariser Beobachtungen ist noch ungleich größer. Die Conjunction für Maja aus den Eintritten sollte nach beiden Beobachtungen in Paris bis auf wenige Sekunden übereinstimmen; sie weicht aber bis auf $32''$ ab; bei Celeno geht der Unterschied auf 1 Minute; vielleicht sollte aber zu dem Austritte der Celeno in Paris noch $1'$ addirt werden. Da in Nürnberg nur Eintritte, die überdies am erleuchteten Mondrande Statt halten, beobachtet sind, so hielt ich es für rathsam, in Paris auch blos die Eintritte zu vergleichen. Mit Uebergehung der Maja, findet sich nun die Länge von Nürnberg durch Eintritte der Taygeta $35^{\circ} 23' 30'' - 0,325 x$ nach *La Caille*, und $35^{\circ} 30' 39'' - 0,328 x$ nach *Chabert*; im Mittel also $35^{\circ} 26' 84'' - 0,326 x$. Die Eintritte der Celeno geben diese Länge $35^{\circ} 16' 73'' - 0,683 x$. Das Mittel aus Taygeta und Celeno wäre demnach $= 35^{\circ} 21' 78''$ für die Länge von Nürnberg. Die Länge von Dundee läßt sich blos aus den wenig übereinstimmenden Pariser Conjunctionen der Maja ableiten, und wäre nach *La Caille* $= 20^{\circ} 58' 5 + 0,903 x$, nach *Chabert* $= 20^{\circ} 28' 61 + 0,912 x$, im Mittel $= 20^{\circ} 43', 5$, demnach etwas östlicher, als *Le Monnier* selbst aus dieser Bedeckung gefunden haben

will; nach seiner Angabe setzt noch immer die *Connaissance des tems* die Länge von Dundee $= 21^{\circ} 30''$.

3. Bedeckung 3 Schlangenträger. 1750. 12. Aug. Eintritt am dunkeln Mondrande.

Paris	A. 8 4 11,24	7 43 16,17	— 1,356 x
Nürnberg	E. 7 49 56,00	8 16 45,35	+ 2,035 x
Berlin	E. 8 54 33,64	8 18 12,96	+ 1,245 x
	E. 8 4 25,05	8 25 58,32	+ 2,331 x
	A. 9 4 56,65	8 27 56,44	— 1,374 x

In Paris beobachtete *Le Monnier* auf seiner Sternwarte (S. oben) in Berlin *Kies*. *Mayer* glaubt den Austritt in Nürnberg vielleicht etwas zu spät, und auch *Le Monnier* vermutet denselben 5 bis $10''$ zu spät beobachtet zu haben; auch in Berlin dürfte dies der Fall gewesen seyn. Der Ein- und Austritt in Nürnberg gibt $x = + 26,71$, in Berlin $+ 31'', 58$. Ohne Anwendung einer Breiten-correctio folgt aus den beiden Eintritten am dunkeln Mondrande in Nürnberg und Berlin, wenn Berlins Länge $= 44' 11'', 5$ gesetzt wird, die Länge von Nürnberg $= 34' 58'', 53 + 0,296 x$. Da aus der ersten Bedeckung $35' 11'', 68$, aus der zweiten $35' 21'', 78$, aus der dritten $34' 58'', 53$ gefunden wurde; so ergibt sich im Mittel aus diesen drei Beobachtungen die Länge $= 35' 10'', 66$, oder beiläufig $= 35' 10''$. So unsicher auch dieses Resultat noch seyn mag, so scheint doch aus den oben berechneten Beobachtungen wenigstens soviel geschlossen werden zu dürfen, daß die Länge von Nürnberg wahrscheinlich um mehrere Secunden größer ist, als $34' 40''$, wie man sie bisher nach *Tob. Mayer* anzunehmen pflegte. Ob etwa geodätische Messungen vorhanden sind, aus denen vielleicht jene Länge sich mit mehrerer Zuverlässigkeit bestimmen läßt, ist mir nicht bekannt.

Stuttgart. 5 Jan. 1829.

W u r m.

I n h a l t.

(zu Nr. 155.)

Remarque sur un passage de la Mécanique Analytique de Mr. Lagrange. pag. 185.

Schreiben des Herrn Professors *Agelander*, Directors der Sternwarte in Åbo, an den Herausgeber. pag. 187.

Sternbedeckungen vom Monde, Jupiterstrahlanten-Verfinsterungen und Beobachtung der Mondfinsternis am 3. November 1827. pag. 189.

Ueber die Länge von Havanna. (Fortsetzung zu Ast. Nachr. Nr. 146. S. 28.) pag. 191.

Auszug aus einem Schreiben des Herrn Professors *Weisse* an den Herausgeber. pag. 197.

Sternbedeckungen im Jahre 1828 auf der Cracauer Sternwarte beobachtet. pag. 199.

(Zu Nr. 156.)

Auszug aus einem Briefe des Herrn *B. Falz* an den Herausgeber. p. 201.

Auszug aus einem Schreiben des Herrn Professors *Agelander*, Directors der Sternwarte in Åbo, an den Herausgeber. p. 207.

Catalogus stellarum cum Luna in AR. comparandarum 1829. p. 210.

Ueber die Länge von Nürnberg. p. 213.

Altona im März 1829.

ASTRONOMISCHE NACHRICHTEN.

№ 157.

Beschreibung eines von dem Herrn *Winnert* (Elevé der Herren *Kessels* und *Jürgensen*) erfundenen und verfertigten Metallthermometers, welches die höchste und niedrigste Temperatur selbst bemerkt.
(Auszug aus einem Schreiben des Herrn *Winnert* an den Herausgeber.)

(Mit einer Steindrucktafel.)

Ihrem Wunsche gemäß, den Mechanismus für das Minimum und Maximum, welchen ich bei dem von mir verfertigten Thermometer angewendet habe, bekannt zu machen, habe ich die Ehre Ihnen mitfolgende Zeichnung zu übersenden; wobei ich, in der Voraussetzung, daß Herrn *Jürgensen's* Metallthermometer hinlänglich bekannt sind, bloß diejenigen Theile angeben habe, welche auf den von mir hinzugefügten Mechanismus Bezug haben.

F. 1 stellt die Theile zusammengesetzt von vorne und F. 2 dieselben mit den 3 übereinander stehenden Zeigern, von der Seite vor, wovon der obere die gegenwärtige Temperatur, der mittlere das Minimum und der untere das Maximum anzeigt.

F. 3 ist ein Rohr mit einer Platte von Stahl, welche im Mittel der großen Platte, wosuf man die Theilung macht, genau eingedrückt und mit 2 Schrauben befestigt ist; die Oeffnung dieses Rohrs ist so groß, daß das Rohr des oberen Zeigers, mit welchem er auf dem Zapfen des Getriebes befestigt ist, sich in demselben frei umdrehen kann.

Auf diesem Rohre bewegt sich das Rad F. 4 mit einem Rohr von Messing, und auf diesem das Rad F. 5 mit einem Stahlrohr; auf jedem dieser Röhren ist einer der beiden kleinen Zeiger befestigt, welche so viel excentrisch sind, daß, wenn sie gegenseitig an dem flachen Stift des großen Zeigers liegen, sie sich untereinander zu vereinigen, daß ihre Enden eine Spitze bilden; um aber diese 3 Zeiger so nahe wie möglich zusammen zu bringen, damit das Auge keine Unterschiede findet, hebe ich den unteren Zeiger auf dem oberen Rade von Außen wie F. 6, und den mittleren auf dem unteren Rade von Innen wie Fig. 7 befestigt, wodurch letzterer durch seine untere Fläche die Luft des oberen Rades, und durch seine obere, wovon er gegen den Ansatz des großen Zeigers stößt, die Luft des unteren

Rades bestimmt; hierdurch hat man zugleich den Vortheil, daß, wenn man den großen Zeiger abnimmt, die beiden Räder mit den Zeigern verbunden bleiben, und willkürlich abgenommen und aufgesetzt werden können, ohne daß man gezwungen ist etwas daran zu verändern. Um das erste zu verhindern, habe ich das mittelste Rohr von Messing gemacht, wobei ich zugleich auf die größere Ausdehnung Rücksicht nahm, damit bei einem hohen Grad von Wärme keine Stockungen entstehen können.

Diese zwei Räder verband ich mit einer Spiralfeder F. 8 von welcher das äußere Ende an der Stelle *a* des Rades F. 4, und das innere mit einer Rolle an *b* F. 6 befestigt ist; um diese Spiralfeder, welche die Reibung der Röhre überwinden und durch eine kleine Anspannung die beiden Zeiger gegenseitig an dem flachen Stift des großen Zeigers anlegen muß, recht schwach anwenden zu können, suchte ich die Reibung aufs Aeußerste zu vermindern; indem ich die Räder so leicht wie möglich und die Röhre hohl machte, damit sie sich nur an den Enden berühren; eben so habe ich, um die Reibung gleich zu vertheilen, ungeachtet das Instrument nur horizontal gebraucht wird, das untere Rad mit der Befestigung der Spiralfeder, und das obere durch eine Schraube mit den Zeigern in das Gleichgewicht gebracht.

Jedes dieser beiden Räder hat 500 gesperrförmige Zähne, in welche 2 Kegelfedern F. 9 und F. 10 einfallen, deren Entfernung immer jeden Zahn in zwei Hälften theilen, und die durch den Schieber F. 11 sanft ausgehoben und eingelassen werden können, indem sich in der Lücke *a* der in schiefer Linie aufrecht stehende Rand eines anderen Schiebers F. 12 bewegt, welcher im Inneren des Gehäuses durch eine Schraube mit dem äußeren Schieber verbunden ist, und durch dessen zirkuläre Bewegung den Schieber F. 11 auf und abzieht.

Da nun die Zähne des oberen Rades für das Maximum von der rechten nach der linken Seite stehen, und die des unteren für das Minimum entgegengesetzt, wornach auch die Kegel geformt sein müßten, so wird der große Zeiger F. 13 bei Veränderung der Temperatur durch seinen fachen Stift a die mit den Rädern verbundenen Zeiger mitnehmen, indem sie durch die Spiralfeder an diesem Stift anliegen, und bei dem Rückgange desselben, durch die Kegelfedern zurückgehalten, selbige auf der Stelle stehen lassen, bis man durch die Bewegung des äußeren Schiebers die 4 Federn ausbeut, worauf sie sich, durch die Kraft der verbundenen Spiralfeder, augenblicklich mit dem Zeiger der gegenwärtigen Temperatur vereinigen, und wenn man die Federn ausgehoben läßt, mit demselben vereinigt mitfolgen werden.

Da hier die ganze Theilung für 100° angenommen ist, nemlich 60° für Wärme und 40° für Kälte, so wird, da die Kegelfedern die Anzahl der Zähne noch einmal vergrößern, das Minimum und Maximum für jedes Zehntheil genau sein; da aber die Ausführung dieser Federn ihrer Schwiehe wegen so viele Schwierigkeiten erzeugt, so glaube ich, daß folgende Art sie auszuführen mehr zu empfehlen wäre.

Wenn man die ganze Theilung auf 80° vermindert, und in jedem Rade 600 Zähne macht, welches sich mit guten Maschinen noch leicht thun ließe, so wäre es hinreichend für jedes Rad nur eine Feder anzuwenden, und um die Reibung dieser Röhre noch etwas zu vermindern, sie gegenüber aufzusetzen. Diese Federn wären nach meiner Meinung am leichtesten, wie F. 14 zu machen.

Ein Stück Spiralfeder, welches man leicht erforderlichlich schwach machen könnte, in einem kleinen Fufs von Messing mit einem Stift befestiget, würde die Dienste mit demselben Vollkommenheit verrichten, wobei man noch den Vorteil hätte, daß, wenn zufällig eine derselben zerbräche, mau mit leichter Mühe eine andere einsetzen könnte.

Dieses ist die Erklärung beifolgender Zeichnung, welche Sie als natürliche Größe etwas größer finden werden, als das Ausgeführte; diese Veränderung glaubte ich um der

Vollkommenheit näher zu kommen, machen zu müssen, deren Grund darin besteht, daß, weil diese Hinzufügung doch immer eine etwas stärkere Spiralfeder für das Getriebe erfordert, als es ohne dieselbe nöthig wäre, der Druck auf eine größere und stärkere Compensations-Feder weniger Einfluß hat, wodurch dann auch die allenfalls vorkommenden kleinen Unterschiede bei dem Vor- und Rückgange der Temperatur vermieden würden.

Da ich die Zeichnung des Abends machte, und weder Anleitung noch Uebung hatte, so könnte sie, so einfach sie auch ist, vielleicht wohl hic und da etwas besser sein; auch war ich ungewiß, ob die zwei ersten Figuren, ohne die einzelnen Theile, hinreichend wären, und nur der Gedanke, daß Sie es als eine Bequemlichkeit von mir betrachten könnten, bestimmte mich es so zu machen. Bei der Beschreibung, da ich beinahe gar nichts von der Art lese, fand ich es schwer, mit wenigen und sicheren Worten mich deutlich zu erklären; ich weiß daher nicht in wie fern ich es erreicht habe.

Copenhagen den 1 Januar 1829.

Winnerl.

Zusatz des Herausgebers.

Herr *Winnerl* hat das hier von ihm selbst beschriebene Thermometer mit der Vollendung für mich ausgeführt, die man von diesem so sehr ausgezeichneten Arbeiter erwarten kann. Es ist unter allen mir bekannten das vollkommenste. Bringt man durch Seitenbewegung des Schiebers seinen Mechanismus in Thätigkeit, so lösen sich, nach Veränderung der Temperatur, an beiden Seiten der Hauptzeigers, zwei besondere Zeiger, deren einer das Maximum, der andere das Minimum des Zeitraums anzeigt. Eine entgegengesetzte Bewegung bewirkt, daß augenblicklich alle 3 Zeiger zusammenfallen und das Thermometer jetzt ein gewöhnliches Metallthermometer wird, das weder Maximum noch Minimum anzeigt. Sowohl Herr *Kessels* als Herr *Jürgensen* erkennen die mechanische Ausführung als rollendet und ihrer Schule würdig.

S.

Schreiben des Herrn Professors *Weisse*, Directors der Sternwarte in Krakau, an den Herausgeber.

Krakau 1829. Februar 3.

Ich überende beyliegend die von mir gemachten Beobachtungen des *Encke'schen* Cometen; leider ist deren Anzahl sehr geringe; das anhaltend schlechte Wetter im December erlaubte ihn nur bis am 7. zu beobachten. Ich sah ihn

zwar später noch einmahl, aber nur einen Augenblick. Die Positionen der verglichenen Sterne nahm ich aus *Beobachtungen* Zonen-Beobachtungen; der Stern (e) den 30. Novbr. ist aus der 18., (a), (b), (c), (d) aus der 30. Zone, γ Equuli

aus Bradley; die Sterne des 2. Dec. sind aus der 10. Zone, so wie die des 3. Decembers. Die Beobachtungen an diesem Tage wurden durch einen dünnen Nebel gemacht, daher sie auch nicht recht gut harmoniren. Die Sterne des 6. und 7. sind aus der 8. Zone. Sollten Sie diese meine wenigen Beobachtungen für werth halten, in Ihre geschätzten astronomischen Nachrichten aufgenommen zu werden, so

würde es mich um so mehr freuen, als ich daraus ersehen würde, daß meine Mühe, die ich mir bey den Beobachtungen, bey den ungünstigen Verhältnissen unserer Sternwarte gab, doch nicht ganz vergebens war, da die größte Vorsicht nöthig war, indem im Observations-Saal die geringste Bewegung an einem Ende an dem andern alles stört.

Max Weisse.

Beobachtungen des Encke'schen Cometen auf der Cracauer Sternwarte von Herrn Prof. und Dir. Weisse.

Den 28. November 1828. Correction der Uhr gegen Sternzeit = + 54",1.

	Eintritte.	Antritte.	Scheinbare Oester der verglichenen Sterne.
1. Com.	22 44 4,5	22 49 34,0	Nach einer Beobachtung trübte sich der Himmel.
"	45 36,0	47 3,0	Von diesen Sternen konnte keiner aufgefunden werden.
"	46 21,5	48 13,0	
"	46 37,5	48 49,0	
"	47 56,0	49 16,0	

Den 30. November. Correction der Uhr gegen Sternzeit = + 7",7.

	Eintritte.	Antritte.	Scheinbare Oester der verglichenen Sterne.
1. (a)	22 26 55,5	22 28 32,6	$\alpha = 20\ 58\ 9,41\ \delta = +10\ 6\ 13,4$
Com.	27 45,0	29 41,0	
(a)	28 11,0	30 5,0	20 59 32,77 + 9 53 1,2
(b)	30 35,0	32 26,0	21 1 55,31 + 10 3 3,8
(c)	32 23,0	34 23,0	21 3 47,82 + 9 56 39,3
(d)	32 56,0	34 54,0	21 4 20,21 + 9 59 44,1
2. (a)	37 41,8	39 29,0	
Com.	38 33,0	40 27,5	
(a)	39 0,0	40 53,0	
(b)	41 23,0	43 14,2	
(c)	43 11,0	45 11,5	
3. Com.	42 28,0	23 6 20,0	
(a)	4 56,0	6 55,0	
(b)	5 44,0	7 16,0	
(c)	6 14,5	11 6,5	
(d)	9 53,5	11 32,0	
4. Com.	19 6,5	20 44,0	
(a)	19 30,0	21 20,8	
(b)	20 4,0	21 56,0	
5. Com.	27 13,0	28 25,0	
(a)	27 40,0	29 5,0	
(b)	27 57,0	29 52,0	
6. Com.	35 14,0	36 13,9	
(a)	35 45,0	36 52,0	
(b)	35 53,0	37 52,0	
7. Equil.	38 23,0	39 11,0	
(a)	42 15,0	42 50,0	
(b)	42 43,0	44 38,5	
(c)	43 27,0	45 10,5	
8. Com.	43 0,0	44 10,5	
(a)	48 35,0	49 14,0	
(b)	49 7,0	51 4,0	
9. Equil.	49 14,0	49 48,0	

in keinem Katalog gefunden.

21 2 0,84 111 + 9 27 8,5

Scheinbare Oester der verglichenen Sterne.

	Eintritte.	Antritte.
9. Com.	0 44 14,0	0 45 5,0
(a)	44 56,0	45 43,0
(b)	44 56,0	46 53,0
7. Equil.	47 14,5	48 23,0
10. Com.	54 30,0	55 17,0
(a)	55 23,0	57 18,0
(b)	55 34,0	55 58,0
7. Equil.	57 35,0	58 52,0
11. Com.	1 1 9,0	1 2 30,0
(a)	1 58,0	3 13,0
(b)	2 10,0	4 10,0
7. Equil.	4 49,0	5 18,0
12. Com.	7 52,0	9 12,0
(a)	8 48,0	9 58,0
(b)	8 57,0	10 55,0
7. Equil.	11 26,5	12 13,5
13. Com.	14 27,0	15 32,0
(a)	15 24,0	17 24,5
(b)	15 24,5	16 16,0
7. Equil.	17 49,0	18 50,0

Den 2. December. Correction der Uhr gegen Sternzeit = + 16",5

	Eintritte.	Antritte.	Scheinbare Oester der verglichenen Sterne.
1. Com.	0 5 20,0	0 6 18,0	$\alpha = 20\ 51\ 21,37\ \delta = +8\ 13\ 11,0$
(a)	5 41,0	6 1,0	20 51 49,61 + 8 20 19,0
(b)	6 43,0	8 34,0	20 56 58,00 + 8 29 39,7
(c)	8 30,0	10 12,0	20 59 6,37 + 8 36 52,7
(d)	10 29,0	12 29,0	
(e)	12 50,0	14 24,0	
2. Com.	58 48,0	59 31,0	
(a)	1 0 24,0	1 1 8,5	
(b)	1 57,0	2 56,0	
(c)	3 56,0	5 55,0	
(d)	7 5,0	8 15,0	20 59 41,02 + 8 40 44,5
(e)	9 37,0	11 36,5	21 2 38,76 + 8 51 35,9
(f)	12 54,0	14 52,0	
(g)	12 43,0	14 29,0	
(h)	15 29,0	16 47,5	21 8 9,32 + 8 41 37,8
(i)	18 18,5	20 14,0	21 11 17,17 + 8 48 40,3
(j)	22 7,0	23 48,5	
(k)	22 45,5	23 19,0	
(l)	24 16,0	25 7,0	21 16 42,82 + 8 39 16,1

Den 3. December. Correction der Uhr gegen Sternzeit
 $= + 20^m,0$.

	Eintritte.		Austritte.		Scheinbare Oerter der vergleichenen Sterne.
	h	m	h	m	
1. (a)	23 23 25,0	23 24 35,0			
(b)	23 25,0	25 5,0			$a = 20 47 31,55 \quad \delta = + 7 47 24,9$
Com.	23 39,0	25 4,0			
(c)	25 35,0	26 55,5			20 49 31,32 ... + 7 44 36,5
(d)	25 42,0	27 36,0			20 49 55,61 ... + 7 51 46,3
(e)	26 41,0	28 36,0			20 50 54,45 ... + 7 58 57,4
2. (a)	32 57,0	34 3,5			
(b)	32 59,0	34 41,0			
Com.	33 19,0	34 34,0			
(c)	35 6,0	36 33,0			
(d)	35 15,0	37 12,0			
e	37 14,0	37 40,0			
3. (a)	37 20,0	38 10,5			
(b)	41 8,0	42 23,0			
Com.	41 13,5	42 50,0			
(c)	41 21,0	42 50,0			
(d)	43 25,0	44 40,0			
(e)	43 30,0	45 23,0			
f	44 15,0	45 9,0			20 50 10,01 ... + 8 5 50,3
(g)	44 28,0	46 24,0			
4. (a)	48 30,0	49 16,5			
(b)	48 40,0	49 37,0			
Com.	49 11,0	50 17,0			
(d)	51 16,0	52 52,0			
(e)	51 30,0	53 7,0			
(f)	52 4,5	54 3,0			
5. (a)	0 6 17,0	0 7 29,0			
(b)	6 22,5	8 0,0			
Com.	6 26,0	7 54,0			
(c)	8 30,0	9 48,0			
(d)	8 35,0	10 30,5			
(e)	9 23,0	10 13,5			
(f)	9 35,5	11 30,5			
6. (a)	13 41,0	14 43,0			
(b)	13 38,0	15 23,8			
Com.	13 49,0	15 11,0			
(c)	15 47,0	17 13,0			
(d)	15 56,0	17 53,0			
(e)	16 55,0	17 22,5			
(f)	17 0,0	18 51,0			
7. (a)	20 56,0	22 11,2			Alle Beobachtungen dieses
(b)	21 1,0	22 39,0			Tages wurden durch dünne
Com.	21 0,0	22 35,0			Wolken und Nebel ge-
(c)	23 14,0	24 27,0			macht.
(d)	23 17,0	25 11,0			
(e)	24 0,0	24 57,0			
(f)	24 16,0	26 12,0			

Den 6. December. Correction der Uhr gegen Sternzeit
 $= + 0^m,03$

	h	m	h	m	h	m
1. (a)	23 21 30,2	23 22 48,5	a = 20 33 39,114	$\delta = + 5 54 21,88$		
(b)	22 52,5	24 35,0	20 35 12,78	... + 5 58 17,5		
Com.	23 39,0	25 23,0				

Eintritte. Austritte.

Scheinbare Oerter der
vergleichenen Sterne.

	h	m	h	m	h	m
2. (a)	23 27 40,0	23 28 37,5				
(b)	28 55,0	30 29,0				
(c)	29 17,0	31 9,0				
Com.	29 34,0	31 23,0				
(d)	32 34,0	34 27,5	a = 20 39 1,37	$\delta = + 6 11 37,5$		
(e)	33 26,0	34 0,5	20 39 13,715	... + 6 21 25,13		
3. (a)	39 5,0	39 45,0				
(b)	40 15,0	41 42,0				
Com.	40 46,0	42 38,0				
(d)	43 52,0	45 45,0				
(e)	44 28,5	45 27,0				
4. (a)	49 42,0	50 2,5				
(b)	50 43,0	52 6,5				
(c)	50 58,0	52 54,0				
Com.	51 10,0	53 4,0				
(d)	54 15,0	56 12,0				
(e)	54 53,0	56 57,5				
5. (a)	0 39 19,0	0 40 1,0				
(b)	40 28,0	41 57,0				
Com.	40 54,0	42 43,0				
(d)	44 3,0	45 58,0				
(e)	44 46,5	45 38,0				
6. (a)	55 27,0	56 8,0				
(b)	56 36,0	58 4,5				
Com.	56 58,0	58 50,0				
(d)	1 0 10,0	1 2 7,0				
(e)	0 53,0	1 48,0				
7. (a)	4 4,0	5 0,0				
(b)	6 19,0	6 52,0				
(c)	5 40,0	7 34,0				
Com.	5 43,0	7 34,0				
(d)	8 57,0	10 51,0				
(e)	9 45,0	10 26,5				

Den 7. December. Correction der Uhr gegen Sternzeit
 $= + 3^m,6$.

	h	m	h	m	h	m
1. (a)	22 58 4,0	22 59 57,0				
Com.	58 12,0	58 34,0				
(b)	58 27,0	59 29,0				
(c)	59 0,0	23 0 43,0	Diese beyden Sterne sind (a) u. (b)			
(d)	23 0 48,0	2 2 55	des vorigen Tages.			
2. (a)	5 27,0	7 19,0				
(b)	5 36,0	5 53,0				
(c)	5 49,0	6 41,5				
(d)	6 21,5	8 6,0				
(e)	8 10,0	9 25,5				
3. Com.	10 9,0	11 0,0				
(d)	10 19,0	12 16,0				
(b)	10 33,0	11 55,5				
(c)	11 23,0	12 54,0				
(d)	13 17,0	14 7,0				
4. (a)	22 6,0	24 0,0				
Com.	22 12,0	22 32,0				
(b)	22 25,0	23 34,0				
(c)	23 4,0	24 44,0				
(d)	24 51,5	26 3,0				

	Eintritte.		Austritte.		Scheinbare Oerter der vergleichenen Sterne.
	<i>h</i>	<i>m</i>	<i>h</i>	<i>m</i>	
5. Com.	23	26 42,0	23	27 20,0	
(a)		26 50,0		28 45,0	
(b)		27 6,0		28 23,5	
(c)		27 51,0		29 28,0	
(d)		29 42,0		30 44,5	
6. Com.	31	22,0	31	57,0	
(a)		31 28,0		33 23,5	
(b)		31 44,0		32 59,5	
(c)		32 28,0		34 5,5	
(d)		34 17,0		35 22,5	
7. Com.	36	0,0	37	4,0	
(a)		36 19,0		38 17,0	
(b)		36 26,0		38 3,0	
(c)		37 29,0		38 47,5	
8. Com.	44	4,0	44	41,0	
(a)		44 12,0		46 8,0	
(b)		44 26,0		45 47,0	
(c)		45 14,0		46 48,0	
(d)		47 6,0		48 3,0	
9. Com.	48	33,0	49	19,0	
(a)		48 46,0		50 43,5	
(b)		48 59,0		50 23,0	

	Eintritte.		Austritte.		Scheinbare Oerter der vergleichenen Sterne.
	<i>h</i>	<i>m</i>	<i>h</i>	<i>m</i>	
9. (c)	23	49 51,0	23	51 21,5	
(d)		51 44,0		52 34,5	
10. Com.	54	0,0	54	51,0	
(a)		54 15,5		56 13,5	
(b)		54 25,5		55 56,0	
(c)		55 24,0		56 47,5	
(d)		57 25,0		57 51,6	
11. (f)	0	9 17,0	0	10 21,0	$= 20\ 29\ 7,201 \pm = + 54\ 52,54$
Com.		11 57,0		13 12,0	
(a)		12 31,0		14 30,0	
(b)		12 35,5		14 17,0	
(c)		13 48,0		14 55,0	
12. (f)		17 10,0		18 20,0	
Com.		20 0,0		21 9,0	
(a)		20 28,0		22 26,0	
(b)		20 34,0		22 13,5	
(c)		21 42,0		22 53,5	
13. (f)		23 41,0		24 47,0	
Com.		26 26,0		27 31,0	
(a)		26 56,0		28 54,0	
(b)		27 1,0		28 41,0	
(c)		28 10,0		29 22,5	

Resultate der vorhergehenden Beobachtungen.

Tag.	Mittlere Zeit.		AR. des Cometen.	Declination des Cometen.		Bemerkungen.
	<i>h</i>	<i>m</i>		<i>h</i>	<i>m</i>	
30 November	5	50 47,76	20 59 7,944	—	—	
	6	1 33,23	20 59 6,766	—	—	Verglichene Sterne: (a), (b), (c).
	6	27 22,74	20 59 1,350	—	—	Verglichene Sterne: (a), (c), (d).
	6	41 48,62	20 58 59,620	—	—	Verglichener Stern: (a).
	6	49 49,06	20 58 59,270	+	9 54 22,90	Verglichener Stern: (a).
	6	57 37,35	20 58 57,555	9	53 45,20	Verglichene Sterne: (a), γ Equulei.
	7	4 25,23	—	9	53 35,30	Verglichener Stern: γ Equulei.
	7	10 46,19	—	9	52 49,50	Verglichener Stern: (a).
	8	6 22,06	—	9	52 53,70	Verglichene Sterne: (a), (y).
	8	16 34,39	—	9	52 14,06	Verglichene Sterne: (a), (y).
	8	22 26,42	20 58 46,805	9	52 24,00	Zur AR: (a) und (y), zur Declination nur (a).
	8	30 10,65	20 58 42,305	9	52 4,79	Verglichene Sterne: (a), (y).
	8	36 37,10	20 58 41,430	—	—	Verglichene Sterne: (a), (y).
2 December	7	10 54,79	20 51 18,375	8	41 5,90	Zur AR. und Declination alle Sterne.
	8	13 6,56	20 51 10,770	8	38 59,90	Zur AR. und Decl. alle Sterne mit Ausnahme des Sterns (a).
3 December	6	34 41,64	20 47 37,796	8	6 23,17	Zur Declination: (b) und (c).
	6	44 15,07	—	8	6 49,90	Zur Declination: (b) und (c).
	6	52 22,74	20 47 34,380	8	5 20,86	Zur Declination: (e) und (f).
	6	59 27,57	20 47 34,700	—	—	Zur AR.: (e).
	7	17 28,12	20 47 31,740	8	4 37,68	Zur Declination: (e).
	7	24 41,92	20 47 31,085	8	4 2,43	Zur AR. alle bis auf (e), zur Declination (e).
	7	31 59,23	20 47 28,690	8	3 5,40	Zur Declination: (e).
	—	—	—	—	—	Zur AR.: (a), (b).
6 December	6	22 43,45	20 36 0,395	—	—	Zur AR.: (a), (b), (d), (e); zur Decl. (d).
	6	28 39,98	20 35 59,055	6	10 15,31	Zur AR.: (a), (b), (c); zur Decl. (d).
	6	39 51,64	20 35 56,120	6	10 17,78	Zur AR.: (a), (b), (c); zur Decl. (d).
	6	50 14,94	20 35 55,121	6	10 19,78	Zur AR.: (b), (d), (e); zur Decl. (d).
	7	39 48,29	20 35 49,372	6	9 41,36	Zur AR.: (b), (d), (e); zur Decl. (d).
	7	55 51,16	20 35 46,870	6	9 38,89	Zur AR.: (b), (d), (e); zur Decl. (d).
	8	4 34,22	20 35 44,325	—	—	Zur AR.: (b), (d).
	—	—	—	—	—	

Tag.	Mittlere Zeit.	AR. des Cometen.	Declination des Cometen.		Bemerkungen.
			α	δ	
7 December	5 52 47,38	20 32 10,585	+ 5 31	54,22	Zur AR. und Declination: (c), (d).
	6 0 7,67	20 32 9,695	5 32	1,23	Zur AR. und Declination: (c), (d).
	6 4 56,87	—	5 31	6,18	Zur Declination: (c), (d).
	6 16 42,45	20 32 7,322	5 31	25,40	Zur Declination und AR.: (c), (d).
	6 21 20,69	—	5 31	20,31	Zur Declination: (c), (d).
	6 25 58,43	20 32 2,322	5 31	22,79	Zur AR. und Declination: (c), (d).
	6 30 50,12	—	5 30	22,90	Zur Declination: (c), (d).
	6 38 39,34	20 32 0,697	5 30	51,48	Zur AR. und Declination: (c), (d).
	6 43 12,09	20 31 59,197	5 30	48,45	Zur AR. und Declination: (c), (d).
	6 48 40,69	20 31 59,422	5 30	7,12	Zur AR. und Declination: (c), (d).
	7 6 46,71	—	5 30	23,84	Zur Declination: (c), (f).
	7 14 43,41	20 31 54,282	5 29	57,18	Zur Declination und AR.: (c), (f).
	7 21 8,36	20 31 51,532	+ 5 29	49,75	Zur AR. und Declination: (c), (f).

Ueber die Correction der mit dem doppelt repetirenden Theodoliten gemessenen Winkel, wegen der Excentricität des zweiten oder sogenannten Versicherungs-Fernrohrs.

Von Herrn Lieutenant Hartmann in der Königl. Hannoverschen Artillerie

Wenn xy die rechtwinkligen Coordinaten von dem Mittelpunkt der Theilung und $ab, a_1b_1, a_2b_2, \dots$ die rechtwinkligen Coordinaten der Zielpunkte A, B, C, \dots sind; so kann man die Gleichungen

$$\begin{aligned} a &= x + r \cos \varphi & b &= y + r \sin \varphi \\ a_1 &= x + r_1 \cos \varphi_1 & b_1 &= y + r_1 \sin \varphi_1 \\ a_2 &= x + r_2 \cos \varphi_2 & b_2 &= y + r_2 \sin \varphi_2 \end{aligned}$$

bilden, worin also r, r_1, r_2, \dots die in der Ebene der Coordinatenachsen gemessenen Entfernungen der Zielpunkte A, B, C, \dots von dem Mittelpunkt der Theilung und $\varphi, \varphi_1, \varphi_2, \dots$ der Winkel bedeuten, welche in jener Ebene die Lage der genannten Entfernungen gegen die erste Axe des vorausgesetzten Coordinaten-Systems angeben.

Gehört die Zielebene, welche der optischen Axe des ersten Fernrohrs entspricht, durch den Mittelpunkt der Theilung, so stellt sich bei dem Fokiren auf die Punkte A, B, C, \dots die optische Axe des ersten Fernrohrs in die Ebene ein, welche mit der ersten Axe des vorausgesetzten Coordinatensystems respective die Winkel $\varphi, \varphi_1, \varphi_2, \dots$ bilden und $(\varphi_1 - \varphi), (\varphi_2 - \varphi), \dots$ sind alldann die Winkel, welche jene Zielebene hierbei respective zwischen den Zielpunkten $A, B; A, C, \dots$ beschreiben könnte.

Bezeichnen nun $(x+dx)(y+dy), (x_1+dx_1)(y_1+dy_1), (x_2+dx_2)(y_2+dy_2), \dots$ die rechtwinkligen Coordinaten von den Punkten 1, 2, 3, ... welche in der Zielebene des zweiten Fernrohrs, wenn dieses auf die Punkte A, B, C, \dots zielt, respective die Projection von dem Mittelpunkt der Theilung sind, so zeigen die Gleichungen

$$\begin{aligned} a &= (x+dx) + (r+dr) \cos(\varphi+d\varphi) \\ a_1 &= (x_1+dx_1) + (r_1+dr_1) \cos(\varphi_1+d\varphi_1) \\ a_2 &= (x_2+dx_2) + (r_2+dr_2) \cos(\varphi_2+d\varphi_2) \\ b &= (y+dy) + (r+dr) \sin(\varphi+d\varphi) \\ b_1 &= (y_1+dy_1) + (r_1+dr_1) \sin(\varphi_1+d\varphi_1) \\ b_2 &= (y_2+dy_2) + (r_2+dr_2) \sin(\varphi_2+d\varphi_2) \end{aligned}$$

dafs die Zielebene des ersten und zweiten Fernrohrs, sobald sie beide zugleich der Reihe nach auf einenlei Punkt A, B, C, \dots zielen, die Winkel $d\varphi, d\varphi_1, d\varphi_2, \dots$ mit einander bilden.

Wird noch

$$\begin{aligned} x+dx &= x + p \cos \psi & y+dy &= y + p \sin \psi \\ x_1+dx_1 &= x_1 + p_1 \cos \psi_1 & y_1+dy_1 &= y_1 + p_1 \sin \psi_1 \\ x_2+dx_2 &= x_2 + p_2 \cos \psi_2 & y_2+dy_2 &= y_2 + p_2 \sin \psi_2 \end{aligned}$$

gesetzt, so hat man die Beziehungen

$$\begin{aligned} r \sin d\varphi &= p \sin(\varphi + d\varphi - \psi) \\ r_1 \sin d\varphi_1 &= p_1 \sin(\varphi_1 + d\varphi_1 - \psi_1) \end{aligned}$$

woraus aber, weil nicht allein $\sin(\varphi + d\varphi - \psi) = \sin(\varphi_1 + d\varphi_1 - \psi_1) \dots = \sin(\varphi_2 + d\varphi_2 - \psi_2)$ sondern auch $p = p_1 = p_2$ ist,

$$d\varphi = \frac{p \sin(\varphi_2 + d\varphi_2 - \psi_2)}{r} \quad 206265^{\text{Sec.}}$$

$$d\varphi_1 = \frac{p \sin(\varphi_2 + d\varphi_2 - \psi_2)}{r} \quad 206265^{\text{Sec.}}$$

folgt.

Bei der doppelt repetirenden Messung zielt man zuerst mit dem ersten Fernrohre auf den Zielpunkt A und mit dem

zweiten auf B ; wenn man hierbei die Zielebene des zweiten Fernrohrs nicht durch den Mittelpunkt der Eintheilung führt, so bilden die Zielebenen dieser Fernrohre bei dem Anfange oder bei der Vorbereitung der doppelt-repetirenden Messung nicht den Winkel $(\varphi_1 - \varphi)$, sondern den Winkel $(\varphi_1 + d\varphi_1 - \varphi)$. Jetzt stellt man durch Drehung des ganzen Instrumentes das zweite Fernrohr auf den ersten Zielpunkt, hierdurch wird der Winkel $((\varphi_1 + d\varphi_1) - (\varphi + d\varphi))$ rückwärts beschrieben und also auch das erste Fernrohr um diesen Winkel zurückgestellt; bei dem Schlusse der Messung wird daher die Zielebene des ersten Fernrohrs zuerst diesen Winkel $((\varphi_1 + d\varphi_1) (\varphi + d\varphi))$ und alsdann noch den Winkel $(\varphi_1 - \varphi)$ zwischen A und B beschreiben. Das Resultat der ersten doppelten Messung ist folglich

$$2(\varphi_1 - \varphi) + (d\varphi_1 - d\varphi);$$

setzt man hierinn für $d\varphi$, $d\varphi_1$ die oben gefundenen gleichbedeutenden Werthe, und macht $\mathfrak{C} = \varphi_1 - \varphi$, so erscheint dieses Resultat in der Form

$$N = \mathfrak{C} + \frac{1}{2} \left(\frac{1}{r_1} - \frac{1}{r} \right) \rho_0 \sin(\varphi_0 + d\varphi_0 - \psi_0) 206265^{\text{Sec}},$$

worinn aber \mathfrak{C} den einfachen Werth des Winkels bezeichnet, welcher durch die wiederholte Messung zwischen A und B bestimmt werden sollte und N der Werth ist, welcher dafür durch Ablesung gefunden wurde.

Die Entfernung ρ_0 muß zwar stets mit der Zielebene des zweiten Fernrohrs genau rechtwinklig verbunden gedacht wer-

den, allein das Zeichen des Productes $\rho_0 \sin(\varphi_0 + d\varphi_0 - \psi_0)$ hängt von der Beschaffenheit des Winkels $(\varphi_0 + d\varphi_0 - \psi_0)$ ab; es ist also auch möglich, den hier erwähnten Einfluß der Excentricität $e = \rho_0 \sin(\pm 90^\circ)$ bei der Messung von jedem einzelnen Winkel eines geodätischen Dreiecks gänzlich zu compensiren, wenn nur die besondere Einrichtung des Instrumentes eine solche Stellung des zweiten Fernrohrs erlaubt, für welche zwar jenes Product seine Größe nicht ändert, aber doch z. B. negativ werden muß, wenn es für die vorhergehende Stellung des zweiten Fernrohrs positiv war.

Anmerkung. Mit Beziehung auf die Messung der Winkel A, B, C eines Dreiecks kann das für den einfachen Werth der einzelnen Winkel gefundene Resultat der Messung nach Anleitung des Obigen in der Form

$$N = C + \left(\frac{e}{2} \frac{1}{r_2} - \frac{e}{2} \frac{1}{r} \right) 206265^{\text{Sec}},$$

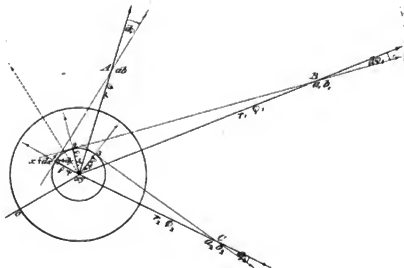
$$(N) = B + \left(\frac{e}{2} \frac{1}{(r)} - \frac{e}{2} \frac{1}{(r)} \right) 206265^{\text{Sec}},$$

$$[N] = A + \left(\frac{e}{2} \frac{1}{(r)} - \frac{e}{2} \frac{1}{(r)} \right) 206265^{\text{Sec}},$$

geschrieben werden; hierinn ist aber der Natur der Sache nach $r = [r]_1$, $(r) = r_1$, $[r] = (r)_1$ und wenn man diese Werthe substituirt, so wird

$$[N] + (N) + N = A + B + C.$$

Hartmann.



Auszug aus einem Schreiben des Herra Astronomen Schwarzenbrunner, Directors der Sternwarte in Kremsmünster, an den Herausgeber.

Kremsmünster 1829. Febr. 20.

Es ist nunmehr hohe Zeit, Ihnen meine Beobachtungen des *Encke'schen* Kometen, welche mir die im November und December größtentheils ungünstige Witterung zu machen erlaubte, zu überreichen, und ich besorge sehr, dieselmal einer der Allerletzten zu sein, von welchen Sie die Berechnung derselben erhalten werden. Die Ursache dieses so langen Aufschubes lag vorzüglich in dem Umstande, daß durch die länger dauernde Krankheit meines Nachfolgers in der Professur der Physik und Naturgeschichte für mich die Nothwendigkeit herbeigeführt wurde, seine Stelle zu suppliren, welches mir viele Zeit hinwegnahm. Andererseits war ich anfänglich auch Willens, mehrere Berechnungen von Sonnenmakeln, welche ich im verlossenen Jahre beobachtete, und aus denen ich die Lage des Sonnen-Aequators gegen die Ekliptik abzuleiten bemüht war, zugleich mit anzuschließen; allein ich sehe schon, daß mich diese Berechnung immer wieder auf neue Combinationen führt, über deren Berechnung wohl noch mehrere Wochen verfließen dürften. Vielleicht nehme ich mir die Freiheit, dieselben, wenn ich sie einmal beendigt haben werde, Ihnen zu übersicken.

Neben den Ergebnissen aus meinen Kometenbeobachtungen habe ich zugleich *Encke's* Ephemeride, auf die jedesmalige Beobachtungszeit in Kremsmünster reducirt, beigelegt, um die Vergleichung der Ephemeride mit den Beobachtungen zu erleichtern. Die Trefflichkeit der Elemente, aus denen

die Ephemeride abgeleitet ist, zeigt sich durch ihr genaues Anschließen an die Beobachtungen aufs Schönste bestätigt, so daß ich bis zum 8. November einschließend, wo ohnehin der Komet in meinem Tubum nur sehr schwach zu sehen war, ohne Bedenken der Ephemeride den Vorrang vor den Beobachtungs-Resultaten einzuräumen geneigt, und selbst noch hinsichtlich der folgenden Beobachtungen, wo die Abweichung der Rectascension der Ephemeride von den Beobachtungen auf 3 bis 4 Raum-Minuten beträgt, ungewiss bin, ob der Fehler nicht etwa meinen Beobachtungen zur Last falle *).

Leid war es mir, daß mir der nach dem 16. December beständig trübe Himmel nicht gestattete, nach diesem Tage noch einige Beobachtungen des Kometen anzustellen; denn ich glaube sicher, daß ich ihn schon, weil der Mondschein seinen Schimmer nicht mehr verdunkelt haben würde, mit freiem Auge leicht am Himmel hätte bemerken können, was mir 13. und 16. December nur mit Beihilfe der genauen Kenntniß seines Standortes, indem ich nach der Kante des Fernrohrs auf ihn hinauf, gelang.

(Die Fortsetzung folgt.)

* Herr Schwarzenbrunner wird an die Beobachtungen, die in den Astr. Nachrichten bekannt gemacht sind, sehen, daß er seine Beobachtungen nicht mißtrauen braucht.

S.

Schwarzenbrunner.

List of instruments, novel in principle or construction, made and sold by T. C. Robinson, Nr. 38, Devonshire Street, Portland Place, London, by whom is also made every description of Mathematical and Optical Instruments.

A Balance for chemical and philosophical purposes

Length of beam.	Will weigh.	Price.	Size of case.
10 in. and a half.	2000 Grains.	14 Guineas	18 in. by 7 and 15 high.
8 ditto.	1000 ditto.	11 ditto.	13 ditto 6 and 13 ditto.
5 do. and a half.	400 ditto.	8 ditto.	9 ditto 5 and 10 ditto.

The above have steel knife edges acting against plane surfaces, with crystal knife edges instead of steel, each also One Guinea extra; they will turn with one thousandth of a grain with one thousand grains.

An Altitude and Azimuth Circle, for astronomical and surveying purposes, contrived by Capt. Kater. The circles three inches and a half diameter, reading to one minute, in a case five inches square by nine inches and a half high, price Ten Guineas. To this instrument, when required, is attached a branch for small crystals and a table for larger ones, rendering it a reflecting Goniometer, price Ten Shillings; and also a stand, on which the lower telescope of the instrument, and also the goniometer branch and table, will fit, price Fifteen Shillings.

A tripod field stand for the above instrument, of brass sliding tubes, contained in a brass tabular case, two inches diameter, sixteen inches long, price Four Guineas. This stand is also applicable for a telescope, or a drawing board of a Camera Lucida.

Professor Smith's improved Camera Lucida. Ltr. 2. 12s. 6d. An improved drawing board for Camera Lucida. Ltr. 1. 16s. 0d.

The Floating Collimator, invented by Capt. Kater.

	Ltr. S. d.
The Vertical Collimator, with float, ten inches diameter	8 8 0
Ditto ditto five inches diameter	6 6 0
The Horizontal ditto ditto twelve inches long	4 14 0

An improved Theodolite, for land surveying; circles five inches diameter, reading to one minute, with mahogany stand, price Eighteen Guineas. In this construction angles of altitudes are measured by a circle, and index with two verniers: it admits of the telescope being turned round on its axis, and thus the angle being measured on other arc, the usual Theodolite having a semicircle with only one reading, and admitting only of the angle being read on another part of the semicircle by reversing the telescope in its frame; the adjustment for horizontality is by three foot screws, standing on a plate on the top of the stand; and the other adjustments are of improved construction. The compass and the division of difference hypothesis and bear etc. are laid aside as being inconducive in construction, and next to useless in the practice.

A single motion line Micrometer, in case, with eye-piece and screw, adopted to two and a half, three and a half, or five foot telescope, of London make, as ordered, with improved arrangements of its fixed lines, etc. price Three Guineas.

Capt. Kater's Hygrometer, price Two Guineas and a half.

Altona im März 1828. (Hiebei eine Beilage.)

№. 157. DER ASTRONOMISCHEN NACHRICHTEN.

Ueber die Correction der gemessenen Horizontal-Winkel wegen excentrischer Aufstellung des Instrumentes. Fig. 1.

Von Herrn Lieutenant Hartmann in der Königl. Hannöv. Artillerie.

Die Lage der Zielpunkte, so wie die des eigentlichen Centrums und des Platzes, in welchem das Instrument wirklich aufgestellt wurde, soll durch rechtwinkelige Coordinaten angezeigt werden, deren Axen in einer horizontalen Ebene, z. B. in der erweiterten Ebene des eingetheilten Kreises gedacht werden.

Sind nun xy die rechtwinkligen Coordinaten vom Mittelpunkt des eingetheilten Kreises, wenn das Instrument auf der excentrisch gelegenen Beobachtungsstelle steht; so können die rechtwinkligen Coordinaten des eigentlichen Centrums, in welchem man das Instrument aufzustellen beabsichtigte, aber durch irgend einen Umstand daran verhindert wurde, durch $(x+dx)$ $(y+dy)$ bezeichnet werden. Die Lage des letzteren Punktes gegen den ersten, d. i. die Lage des eigentlichen Centrums gegen den dafür gewählten Platz kann also in den Gleichungen

$$dx = \rho \cos \psi; \quad dy = \rho \sin \psi$$

vorgestellt werden, worin ρ die horizontale Entfernung des eigentlichen Centrums von dem Mittelpunkt der Eintheilung vorstellt und ψ der Winkel ist, welchen diese Entfernung mit der ersten Axe (oder vielmehr: welchen die Richtung, in der jene Entfernung liegt, mit der Richtung der ersten Axe) des rechtwinkligen Coordinaten-Systems bildet.

Bezeichnen ferner $a, b, a_1, b_1, a_2, b_2, \dots$ die rechtwinkligen Coordinaten der Zielpunkte, zwischen denen horizontale Winkel gemessen werden sollen, so kann man in den Gleichungen

$$\begin{aligned} a &= x + r \cos \phi; & b &= y + r \sin \phi \\ a_1 &= x + r_1 \cos \phi_1; & b_1 &= y + r_1 \sin \phi_1 \\ a_2 &= x + r_2 \cos \phi_2; & b_2 &= y + r_2 \sin \phi_2 \end{aligned}$$

die Lage der Zielpunkte gegen den Mittelpunkt der Eintheilung und hiernach auch durch die Gleichungen

$$\begin{aligned} a &= (x+dx) + (r+r_1) \cos(\phi+d\phi) \\ a_1 &= (x+dx) + (r_1+d_1r) \cos(\phi_1+d\phi_1) \\ a_2 &= (x+dx) + (r_2+d_2r) \cos(\phi_2+d\phi_2) \\ b &= (y+dy) + (r+r_1) \sin(\phi+d\phi) \\ b_1 &= (y+dy) + (r_1+d_1r) \sin(\phi_1+d\phi_1) \\ b_2 &= (y+dy) + (r_2+d_2r) \sin(\phi_2+d\phi_2) \end{aligned}$$

die Lage derselben Zielpunkte gegen das Centrum darstellen, in welchem das Instrument nicht aufgestellt werden konnte. Hierin bezeichnen r, r_1, r_2, \dots der Reihe nach die horizontalen Entfernungen des ersten, zweiten, dritten... Zielpunktes von dem Mittelpunkt des eingetheilten Kreises und $\phi, \phi_1, \phi_2, \dots$ sind der Reihe nach die Winkel für die Richtungen von dem Mittelpunkt der Eintheilung nach dem ersten, zweiten, dritten... Zielpunkte; auf eine ähnliche Art sind $(r+d_1r), (r_1+d_1r), (r_2+d_2r), \dots$ der Reihe nach die horizontalen Entfernungen des ersten, zweiten, dritten... Zielpunktes von dem eigentlichen Centrum, ferner sind $(\phi+d\phi), (\phi_1+d\phi_1), (\phi_2+d\phi_2), \dots$ die Winkel für die Richtungen von dem eigentlichen Centrum nach denselben ersten, zweiten, dritten... Zielpunkte und bei allen diesen Richtungen (so wie auch bei der Richtung von der Stelle des Instrumentes nach dem eigentlichen Centrum) liegt die Richtung der ersten Axe des vorausgesetzten rechtwinkligen Coordinaten-Systems als Anfangs-Richtung zum Grunde. Hieraus folgt aber, daß

$$n = \phi, -\phi; \quad n_1 = \phi_1, -\phi_1; \dots$$

der Reihe nach die horizontalen Winkel sind, welche man im Mittelpunkt der Eintheilung zwischen dem ersten... zweiten und zwischen dem ersten... dritten Zielpunkte messen kann; ferner sind

$$N = (\phi_1+d\phi_1) - (\phi+d\phi); \quad N_1 = (\phi_2+d\phi_2) - (\phi_1+d\phi_1) \dots$$

die gleichnamigen horizontalen Winkel, welche man in dem eigentlichen Centrum auf eine gleiche Weise, wie die

Winkel n, n_1, \dots würde gemessen haben; wenn das Instrument auf dieser Stelle aufgestellt worden wäre. Setzt man daher noch

$$dn = d\phi_1 - d\psi; \quad dn_1 = d\phi_2 - d\psi; \dots$$

so finden folgende Beziehungen Statt

$$N = n + dn; \quad N_1 = n_1 + dn_1; \dots$$

es müssen also erst die Correctionen dn, dn_1, \dots dargestellt werden, ehe man durch die, an der excentrisch gelegenen Beobachtungsstelle unmittelbarer gemessenen horizontalen Winkel n, n_1, \dots die Winkel N, N_1, \dots finden kann, welche zwar verlangt werden, aber durch Messung in dem eigentlichen Centrum nicht unmittelbar bestimmt werden konnten.

Durch Benutzung der Gleichungen, in welchen die Lage der Zielpunkte $a, b, a_1, b_1, a_2, b_2, \dots$ gegen die Plätze xy und $(x + dx), y + dy$ vorgesteld wurde, erhält man zunächst

$$(r + dr) \sin d\phi = \rho \sin(\phi - \psi)$$

$$(r_1 + dr_1) \sin d\phi_1 = \rho \sin(\phi_1 - \psi)$$

$$(r_2 + dr_2) \sin d\phi_2 = \rho \sin(\phi_2 - \psi)$$

die Entwicklung von $\sin(\phi - \psi), \dots$ und die Substitution der gleichbedeutenden Werthe für die Producte $\rho \cos \psi, \rho \sin \psi$ giebt daher die Gleichungen

$$\sin d\phi = \frac{\sin \phi}{r + dr} dx - \frac{\cos \phi}{r + dr} dy$$

$$\sin d\phi_1 = \frac{\sin \phi_1}{r_1 + dr_1} dx - \frac{\cos \phi_1}{r_1 + dr_1} dy$$

$$\sin d\phi_2 = \frac{\sin \phi_2}{r_2 + dr_2} dx - \frac{\cos \phi_2}{r_2 + dr_2} dy$$

Substituiert man ferner für $\sin \phi, \dots \cos \phi, \dots$ die gleichbedeutenden Werthe $\frac{b-y}{r}, \dots \frac{a-x}{r}, \dots$ so wird

$$\sin d\phi = \frac{b-y}{r(r+dr)} dx - \frac{a-x}{r(r+dr)} dy$$

$$\sin d\phi_1 = \frac{b_1-y}{r_1(r_1+dr_1)} dx - \frac{a_1-x}{r_1(r_1+dr_1)} dy$$

$$\sin d\phi_2 = \frac{b_2-y}{r_2(r_2+dr_2)} dx - \frac{a_2-x}{r_2(r_2+dr_2)} dy$$

und hieraus erhält man, wenn die Correctionen $d\phi, d\phi_1, d\phi_2, \dots$ und auch dx, dy sehr klein sind, die Näherungswerte

$$d\phi^{\text{Sec.}} = \frac{b-y}{r r} 206265^{\text{Sec.}} dx - \frac{a-x}{r r} 206265^{\text{Sec.}} dy (^{\circ})$$

$$d\phi_1 = \frac{b_1-y}{r_1 r_1} 206265^{\text{Sec.}} dx - \frac{a_1-x}{r_1 r_1} 206265^{\text{Sec.}} dy$$

$$d\phi_2 = \frac{b_2-y}{r_2 r_2} 206265^{\text{Sec.}} dx - \frac{a_2-x}{r_2 r_2} 206265^{\text{Sec.}} dy$$

durch welche $d\phi, d\phi_1, d\phi_2, \dots$ in Secunden berechnet werden können.

Werden diese letzten Gleichungen in der Form

$$d\phi = a dx + \epsilon dy$$

$$d\phi_1 = a_1 dx + \epsilon_1 dy$$

$$d\phi_2 = a_2 dx + \epsilon_2 dy$$

geschrieben; so ist

$$dn = (a_1 - a) dx + (\epsilon_1 - \epsilon) dy$$

$$dn_1 = (a_2 - a_1) dx + (\epsilon_2 - \epsilon_1) dy$$

und daher

$$N = n + (a_1 - a) dx + (\epsilon_1 - \epsilon) dy$$

$$N_1 = n_1 + (a_2 - a_1) dx + (\epsilon_2 - \epsilon_1) dy.$$

(*) *Astronomische Nachrichten* Nr. 6. p. 82.

Hartmann.

Ueber die Benutzung des sogenannten fehlerzeigenden Dreiecks zur Bestimmung der Correctionen der angenäherten Coordinaten des unbekannten vierten Punktes. Fig. 2.

Man kann sich vorstellen, das fehlerzeigende Dreieck wäre dadurch entstanden, daß man den Meßtisch in jedem der bekannten Punkte — deren rechtwinkelige Coordinaten der Reihe nach a, b, a_1, b_1, a_2, b_2 sind — zwar genau orientirt, aber die in der Richtung nach dem unbekannten vierten Punkte gezeichneten Linien in jedem der bekannten Punkte, von der genauen Richtung auf einerlei Art und um dieselbe Größe abweichend, also fehlerhaft dargestellt hätte.

Sind die Punkte, in welchen sich hiernach die von dem ersten, zweiten und dritten bekannten Punkte in der Richtung nach dem vierten unbekannten Punkte gezeichneten

Richtungslinien paarweise durchschneiden könnten, die Spitzen 1, 2, 3 des fehlerzeigenden Dreiecks 123 und bezeichnen xy, x_1y_1, x_2y_2 der Reihe nach die rechtwinkligen Coordinaten dieser Punkte; so kann man deren Lage gegen die bekannten Punkte in den Gleichungen

$$x = a + r \cos \phi; \quad y = b + r \sin \phi$$

$$x_1 = a_1 + r_1 \cos \phi_1; \quad y_1 = b_1 + r_1 \sin \phi_1$$

$$x_2 = a_2 + r_2 \cos \phi_2; \quad y_2 = b_2 + r_2 \sin \phi_2$$

vorstellen; wenn aber ferner die rechtwinkligen Coordinaten des unbekannten vierten Punktes selbst in der Form:

$$\begin{array}{ccc} x + dx & x_1 + dx_1 & x_2 + dx_2 \\ y + dy & y_1 + dy_1 & y_2 + dy_2 \end{array}$$

geschrieben werden, so bezeichnen die Gleichungen

$$\begin{array}{l} x + dx = a + (r + dr) \cos(\varphi + d\varphi) \\ x_1 + dx_1 = a_1 + (r_1 + dr_1) \cos(\varphi_1 + d\varphi_1) \\ x_2 + dx_2 = a_2 + (r_2 + dr_2) \cos(\varphi_2 + d\varphi_2) \\ y + dy = b + (r + dr) \sin(\varphi + d\varphi) \\ y_1 + dy_1 = b_1 + (r_1 + dr_1) \sin(\varphi_1 + d\varphi_1) \\ y_2 + dy_2 = b_2 + (r_2 + dr_2) \sin(\varphi_2 + d\varphi_2) \end{array}$$

die Lage des vierten Punktes gegen die drei bekannten Punkte und endlich kann die Lage des unbekannten Punktes gegen die Spitzen 1, 2, 3 des fehlerzeigenden Dreiecks der Reihe nach in den Gleichungen

$$\begin{array}{ll} dx = \rho \cos \psi; & dy = \rho \sin \psi \\ dx_1 = \rho_1 \cos \psi_1; & dy_1 = \rho_1 \sin \psi_1 \\ dx_2 = \rho_2 \cos \psi_2; & dy_2 = \rho_2 \sin \psi_2 \end{array}$$

dargestellt werden.

Die Benutzung dieser Gleichungen giebt zunächst die Beziehungen

$$\begin{array}{l} (r + dr) \sin d\varphi = \rho \sin(\varphi - \psi) \\ (r_1 + dr_1) \sin d\varphi_1 = \rho_1 \sin(\varphi_1 - \psi_1) \\ (r_2 + dr_2) \sin d\varphi_2 = \rho_2 \sin(\varphi_2 - \psi_2) \end{array}$$

und wenn man bei der Entwicklung von $\sin(\varphi - \psi), \dots$

für die Produkte $\rho \cos \psi, \dots, \rho \sin \psi, \dots$ die gleichbedeutenden Werthe substituiert, so wird

$$\begin{array}{l} \sin d\varphi = \frac{\sin \varphi}{r + dr} dx - \frac{\cos \varphi}{r + dr} dy \\ \sin d\varphi_1 = \frac{\sin \varphi_1}{r_1 + dr_1} dx_1 - \frac{\cos \varphi_1}{r_1 + dr_1} dy_1 \\ \sin d\varphi_2 = \frac{\sin \varphi_2}{r_2 + dr_2} dx_2 - \frac{\cos \varphi_2}{r_2 + dr_2} dy_2 \end{array}$$

Durch die Entstehungsart des fehlerzeigenden Dreiecks wird aber die Bedingung

$$d\varphi = d\varphi_1 = d\varphi_2$$

festgestellt und aus der Zeichnung des fehlerzeigenden Dreiecks können die Werthe $(dx_1 - dx)$, $(dx_2 - dx)$; $(dy_1 - dy)$, $(dy_2 - dy)$ als bekannte Grössen entlehnt werden; man darf also aus den obigen Gleichungen die folgenden von der Form

$$\begin{array}{l} \sin d\varphi = a dx + \xi dy \\ = a_1 dx + \xi_1 dy + \gamma_1 \\ = a_2 dx + \xi_2 dy + \gamma_2 \end{array}$$

bilden und endlich erhält man hieraus für die Bestimmung der unbekannten Grössen dx, dy die beiden Gleichungen

$$\begin{array}{l} 0 = (a_1 - a) dx + (\xi_1 - \xi) dy + \gamma_1 \\ 0 = (a_2 - a) dx + (\xi_2 - \xi) dy + \gamma_2 \end{array}$$

Hartmann.

Ueber die Benutzung von zwei gleichen entgegengesetzt liegenden fehlerzeigenden Dreiecken zur Bestimmung der unbekannten Beobachtungsstelle. Fig. 2.

Bei der Benutzung eines einzigen fehlerzeigenden Dreiecks, dessen Spitzen die Punkte x, y, x_1, y_1, x_2, y_2 sind, wurden die zu bestimmenden Coordinaten des vierten unbekannten Punktes in der Form

$$\begin{array}{ccc} x + dx & x_1 + dx_1 & x_2 + dx_2 \\ y + dy & y_1 + dy_1 & y_2 + dy_2 \end{array}$$

vorgestellt und

$$\begin{array}{ll} dx = \rho \cos \psi & dy = \rho \sin \psi \\ dx_1 = \rho_1 \cos \psi_1 & dy_1 = \rho_1 \sin \psi_1 \\ dx_2 = \rho_2 \cos \psi_2 & dy_2 = \rho_2 \sin \psi_2 \end{array}$$

gesetzt. Bezeichnet $d\varphi$ den Fehler der Orientierung, dessen Folge dieses erste fehlerzeigende Dreieck 1 2 3 ist, so darf man nach dem Vorhergehenden

$$(1) \dots \dots \left\{ \begin{array}{l} d\varphi = a dx + \xi dy \\ = a_1 dx_1 + \xi_1 dy_1 \\ = a_2 dx_2 + \xi_2 dy_2 \end{array} \right.$$

setzen.

Sind ferner $(x)(y)$, $(x_1)(y_1)$, $(x_2)(y_2)$ der Reihe nach die rechtwinkligen Coordinaten der Spitzen (1) (2) (3) eines

zweiten fehlerzeigenden Dreiecks (1) (2) (3), welches bei der Bestimmung desselben unbekannten Punktes und durch Benutzung derselben bekannten Punkte a, b, a_1, b_1, a_2, b_2 dem Fehler $d(\varphi)$ der Orientierung entspricht; so können die zu bestimmenden Coordinaten des unbekannten Punktes in der Form

$$\begin{array}{ccc} (x) + d(x) & (x_1) + d(x_1) & (x_2) + d(x_2) \\ (y) + d(y) & (y_1) + d(y_1) & (y_2) + d(y_2) \end{array}$$

geschrieben, ferner

$$\begin{array}{ll} d(x) = (\rho) \cos(\psi); & d(y) = (\rho) \sin(\psi) \\ d(x_1) = (\rho_1) \cos(\psi_1); & d(y_1) = (\rho_1) \sin(\psi_1) \\ d(x_2) = (\rho_2) \cos(\psi_2); & d(y_2) = (\rho_2) \sin(\psi_2) \end{array}$$

und nach Anleitung des Obigen

$$(2) \dots \dots \left\{ \begin{array}{l} d(\varphi) = (a) d(x) + (\xi) d(y) \\ = (a_1) d(x_1) + (\xi_1) d(y_1) \\ = (a_2) d(x_2) + (\xi_2) d(y_2) \end{array} \right.$$

gesetzt werden. Wenn nun in $d\varphi$ der kleinste Werth des Fehlers in der Orientierung vorgeschrieben wäre, welchen $d(\varphi)$ annehmen

kann, so würde die Voraussetzung, welche den Näherungswerten der Coefficienten $a, \dots, \epsilon, \dots$ und $(a), \dots, (\epsilon), \dots$ oder überhaupt den Werten von $d\phi$ und $d(\phi)$ selbst zum Grunde liegt, für das zweite System der obigen Gleichungen, oder für das zweite fehlerzeigende Dreieck nicht in eben der Strenge Statt finden, als für das erstere. Wollte man aber gerade dieses zur Bedingung machen, so muß, wenn zwei verschiedene fehlerzeigende Dreiecke entstehen sollen

$$d(\phi) = -d\phi$$

und dieser Fehler in der Orientirung sehr klein gesetzt werden.

Weil aber in diesem Falle das Zeichen der Coefficienten $(a), (a)_1, (a)_2$ und $(\epsilon), (\epsilon)_1, (\epsilon)_2$ der Reihe nach dem Zeichen der gleichnamigen Coefficienten a, a_1, a_2 und $\epsilon, \epsilon_1, \epsilon_2$ gleich ist und diese gleichnamigen Coefficienten ausserdem auch gleich werden, so erhält man statt der Gleichungen in (2) die folgenden

$$\begin{aligned} -d\phi &= a \, d(x) + \epsilon \, d(y) \\ &= a_1 \, d(x)_1 + \epsilon_1 \, d(y)_1 \\ &= a_2 \, d(x)_2 + \epsilon_2 \, d(y)_2 \end{aligned}$$

und durch Zusammenstellung dieser Gleichungen mit denen in (1) findet man

$$\begin{aligned} d(x) &= -dx & d(y) &= -dy \\ d(x)_1 &= -dx_1 & d(y)_1 &= -dy_1 \\ d(x)_2 &= -dx_2 & d(y)_2 &= -dy_2 \end{aligned}$$

Das zweite fehlerzeigende Dreieck wird also unter den obigen Voraussetzungen in diesem Falle eben so groß als das erstere werden; es wird aber eine Lage erhalten, die der des ersteren entgegengesetzt ist.

Aus den Gleichungen für dx, \dots, dy, \dots und $d(x), \dots, d(y), \dots$ folgt alsdann

$$\text{tang } \psi = \frac{dy}{dx} \quad \text{tang } (\psi) = \frac{-dy}{-dx}$$

$$\text{tang } \psi_1 = \frac{dy_1}{dx_1} \quad \text{tang } (\psi)_1 = \frac{-dy_1}{-dx_1}$$

$$\text{tang } \psi_2 = \frac{dy_2}{dx_2} \quad \text{tang } (\psi)_2 = \frac{-dy_2}{-dx_2}$$

es ist daher

$$(\psi) = \psi + 180^\circ$$

$$(\psi)_1 = \psi_1 + 180^\circ$$

$$(\psi)_2 = \psi_2 + 180^\circ$$

Unter den obigen Voraussetzungen kann also der zu bestimmende unbekannte Punkt wie der gemeinschaftliche Durchschnittspunkt der geraden Linien angesehen werden, welche die gleichnamigen Spitzen der entgegengesetzt liegenden fehlerzeigenden Dreiecke mit einander verbinden.

Hartmann.

Directe Bestimmung der Coordinaten von zwei unbekannten Punkten, wenn man in jedem dieser Punkte dieselben beiden bekannten Punkte und auch den andern unbekannten Punkt sieht. Fig. 3.

Es mögen $ab, a_1 b_1$ die rechtwinkligen Coordinaten der beiden bekannten Punkte sein; die Lage des zweiten gegen den ersten kann in den Gleichungen

$$a_1 = a + R \cos F; \quad b_1 = b + R \sin F$$

vorgestellt werden; für die Berechnung der Polarcordinaten RF folgt hieraus

$$\text{tang } F = \frac{b_1 - b}{a_1 - a}; \quad R = \frac{a_1 - a}{\cos F}; \quad R = \frac{b_1 - b}{\sin F}$$

Sind noch xy und $(x)(y)$ die rechtwinkligen Coordinaten der beiden unbekannten Punkte, so wird durch die Gleichungen

$$\begin{aligned} x &= a + r \cos \phi & y &= b + r \sin \phi \\ &= a_1 + r_1 \cos \phi_1 & &= b_1 + r_1 \sin \phi_1 \end{aligned}$$

die Lage des ersten unbekannten Punktes, und durch die Gleichungen

$$\begin{aligned} (x) &= a + (r) \cos (\phi) & (y) &= b + (r) \sin (\phi) \\ &= a_1 + (r)_1 \cos (\phi)_1 & &= b_1 + (r)_1 \sin (\phi)_1 \end{aligned}$$

die Lage des zweiten unbekannten Punktes gegen die be-

kannten Punkte $ab, a_1 b_1$ der Reihe nach dargestellt; auf eine ähnliche Art kann

$$(x) = x + r \cos \psi; \quad (y) = y + r \sin \psi$$

gesetzt werden.

Die Benutzung dieser Gleichungen giebt zunächst die Beziehungen

$$r \sin (\phi_1 - \phi) = R \sin (\phi_1 - F)$$

$$(r) \sin ((\phi)_1 - (\phi)) = R \sin ((\phi)_1 - F);$$

es ist also, wenn man

$$N = \phi_1 - \phi \quad (N) = (\phi)_1 - (\phi)$$

und

$$d = \frac{R}{\sin N} \quad (d) = \frac{R}{\sin (N)}$$

setzt

$$r = d \sin (\phi_1 - F); \quad (r) = (d) \sin ((\phi)_1 - F)$$

Durch die Beobachtungen wird auch die Größe des Winkels $(\phi)_1 - \phi$ bekannt, man darf daher

$$M = F - (\phi_1 - \phi); \quad (M) = F - ((\phi)_1 - \phi)$$

setzen; alsdann ist

$$r = d \sin(\Phi - M); \quad (r) = (d) \sin(\Phi - M)$$

Aus den obigen Gleichungen folgt aber noch die Beziehung

$$r \sin(\Phi - \Psi) = (r) \sin((\Phi) - \Psi)$$

und wenn man hierin die Werthe von r und (r) substituirt; so ist

$$d \sin(\Phi - \Psi) \sin(\Phi - M) = (d) \sin((\Phi) - \Psi) \sin(\Phi - M).$$

Macht man nun

$$m = d \sin(\Phi - \Psi); \quad (m) = (d) \sin((\Phi) - \Psi),$$

so hat man die Gleichung

$$m \sin(\Phi - M) = (m) \sin(\Phi - M)$$

oder wenn

$$\frac{m}{(m)} = \tan \omega$$

gesetzt wird

$$\tan \omega = \frac{\sin(\Phi - (M))}{\sin(\Phi - M)}.$$

Setzt man ferner

$$\xi = \frac{1}{2}((M) + M); \quad \delta = \frac{1}{2}((M) - M)$$

so findet man aus der Gleichung (*)

$$\tan(\Phi - \xi) = \frac{\tan \delta}{\tan(45 - \omega)}$$

den Werth von Φ , durch welchen mit Hülfe der Beobachtungen die übrigen unbekannten Winkelgrößen, durch diese aber die unbekannten Entfernungen und daher auch die Coordinaten xy , $(x)(y)$ nach den im Eingange aufgestellten Gleichungen berechnet werden können.

(*) Astronomische Nachrichten Nr. 6.

Hartmann.

Ueber die Ausgleichung des Einflusses der Excentricität bei eingetheilten Kreisen, durch das Ablesen an verschiedenen Nonien. Fig. 4.

Es mögen xy die rechtwinkligen Coordinaten vom Mittelpunkt des eingetheilten Kreises und $(x+dx)(y+dy)$ die rechtwinkligen Coordinaten von den Mittelpunkten des Nonienkreises sein. Die gegenseitige Lage dieser Mittelpunkte kann alsdann in den Gleichungen

$$dx = p \cos \psi \quad dy = p \sin \psi$$

vorgestellt werden.

Durchschneiden die Linien, welche man von dem Mittelpunkt des Nonienkreises nach den Anfangspunkten der verschiedenen Nonien führt, den Umfang des eingetheilten Kreises in den Punkten, deren rechtwinklige Coordinaten der Reihe nach ab , (a) , (b) , $[a]$, $[b]$, sind; so kann man die Lage dieser Punkte gegen den Mittelpunkt des eingetheilten Kreises in den Gleichungen

$$\begin{aligned} a &= x + r \cos \varphi & b &= y + r \sin \varphi \\ (a) &= x + r \cos(\varphi) & (b) &= y + r \sin(\varphi) \\ [a] &= x + r \cos[\varphi] & [b] &= y + r \sin[\varphi] \end{aligned}$$

darstellen und auf eine ähnliche Weise werden die Gleichungen

$$\begin{aligned} a &= (x+dx) + (r+dr) \cos(\varphi+d\varphi) \\ (a) &= (x+dx) + (r+dr) \cos((\varphi)+d(\varphi)) \\ [a] &= (x+dx) + (r+[dr]) \cos([\varphi]+d[\varphi]) \end{aligned}$$

$$\begin{aligned} b &= (y+dy) + (r+dr) \sin(\varphi+d\varphi) \\ (b) &= (y+dy) + (r+dr) \sin((\varphi)+d(\varphi)) \\ [b] &= (y+dy) + (r+[dr]) \sin([\varphi]+d[\varphi]) \end{aligned}$$

die Lage jener Punkte gegen den Mittelpunkt des Nonienkreises aussprechen.

Wenn nun jene Nonien eine zweite Stellung einnehmen so werden die Linien, welche von dem Mittelpunkt des Nonienkreises nach den Anfangspunkten derselben Nonien führen, den Umfang des eingetheilten Kreises in andern Punkten durchschneiden deren rechtwinklige Coordinaten durch $a_2 b_2$, $(a)_2$, $(b)_2$, $[a]_2$, $[b]_2$, ... der Reihe nach bezeichnet werden sollen. Für diese zweite Nonienstellung kann man die Beziehungen

$$\begin{aligned} a_2 &= x + r \cos \varphi_2 & b_2 &= y + r \sin \varphi_2 \\ (a)_2 &= x + r \cos(\varphi_2) & (b)_2 &= y + r \sin(\varphi_2) \\ [a]_2 &= x + r \cos[\varphi_2] & [b]_2 &= y + r \sin[\varphi_2], \end{aligned}$$

und

$$\begin{aligned} a_2 &= (x+dx) + (r+dr_2) \cos(\varphi_2 + d\varphi_2) \\ (a)_2 &= (x+dx) + (r+(dr_2)) \cos((\varphi_2)+d(\varphi_2)) \\ [a]_2 &= (x+dx) + (r+[dr]_2) \cos([\varphi_2]+d[\varphi_2]) \end{aligned}$$

$$\begin{aligned} b_2 &= (y+dy) + (r+dr_2) \sin(\varphi_2 + d\varphi_2) \\ (b)_2 &= (y+dy) + (r+(dr_2)) \sin((\varphi_2)+d(\varphi_2)) \\ [b]_2 &= (y+dy) + (r+[dr]_2) \sin([\varphi_2]+d[\varphi_2]) \end{aligned}$$

aufstellen.

Aus jenen Beziehungen geben zunächst folgende Gleichungen hervor

$$\sin d\varphi = \frac{r}{r} \sin(\varphi + d\varphi - \psi)$$

$$\sin d(\varphi) = \frac{r}{r} \sin((\varphi) + d(\varphi) - \psi)$$

$$\sin d[\varphi] = \frac{r}{r} \sin((\varphi) + d[\varphi] - \psi)$$

$$\sin d\varphi_1 = \frac{r}{r} \sin(\varphi_1 + d\varphi_1 - \psi)$$

$$\sin d(\varphi)_1 = \frac{r}{r} \sin((\varphi)_1 + d(\varphi)_1 - \psi)$$

$$\sin d[\varphi]_1 = \frac{r}{r} \sin((\varphi)_1 + d[\varphi]_1 - \psi)$$

der Einfluß der Excentricität ist daher um so geringer, je größer bei einerlei Werthe von p der Halbmesser r des eingetheilten Kreises ist und je kleiner die Sinuszahlen der Winkel $(\varphi + d\varphi - \psi), \dots$ sind.

Ist z. B. die erste dieser Sinuszahlen $= 0$, so wird auch die zugehörige Correction $d\varphi = 0$ werden, und dieses geschieht sowohl, wenn $\varphi = \psi$, als auch, wenn $\varphi = \psi + 180^\circ$ ist; es wird ferner z. B. $d(\varphi) = -d\varphi$ werden müssen, wenn $((\varphi) + d(\varphi) - \psi) = (\varphi + d\varphi - \psi) + 180^\circ$ ist und end-

$$d n = \frac{r}{r} 2 \sin \frac{1}{2} [((\varphi) + d(\varphi)) - (\varphi + d\varphi)] \cos [\psi - \frac{1}{2} ((\varphi) + d(\varphi) + \varphi + d\varphi)] \quad 206265^{\text{Sec.}}$$

$$d n_1 = \frac{r}{r} 2 \sin \frac{1}{2} [((\varphi)_1 + d(\varphi)_1) - (\varphi_1 + d\varphi_1)] \cos [\psi - \frac{1}{2} ((\varphi)_1 + d(\varphi)_1 + \varphi_1 + d\varphi_1)] \quad 206265^{\text{Sec.}}$$

Die Bogenentfernungen

$$N = ((\varphi) + d(\varphi)) - (\varphi + d\varphi)$$

$$N_1 = ((\varphi)_1 + d(\varphi)_1) - (\varphi_1 + d\varphi_1)$$

vom Anfangspunkte des einen Nonius zum Anfangspunkte des andern sind aber bei allen Ablesungen dieselben, weil sie als unveränderlich gedacht werden können; man hat also, wenn

$$M = \frac{1}{2} ((\varphi) + d(\varphi) + \varphi + d\varphi)$$

$$M_1 = \frac{1}{2} ((\varphi)_1 + d(\varphi)_1 + \varphi_1 + d\varphi_1)$$

gesetzt wird

$$\frac{d n}{d n_1} = \frac{\cos(\psi - M)}{\cos(\psi - M_1)}$$

und es ist

$$d n = N - n \quad d n_1 = N_1 - n_1;$$

macht man also noch

$$\tan g w = \frac{d n}{d n_1}$$

und

$$\epsilon = \frac{1}{2} (M_1 + M); \quad \delta = \frac{1}{2} (M_1 - M)$$

so wird

$$\cotang(\psi - \epsilon) = \frac{\tan g \delta}{\tan g(45 - w)}$$

lich können für die Correctionen $d\varphi, \dots d\varphi_1, \dots$ Näherungswerte durch die Gleichungen

$$d\varphi^{\text{Sec.}} = \frac{r}{r} \sin(\varphi - \psi) \quad 206265^{\text{Sec.}}$$

$$d\varphi_1^{\text{Sec.}} = \frac{r}{r} \sin(\varphi_1 - \psi) \quad 206265^{\text{Sec.}}$$

berechnet werden.

Wenn die erste von den Axen des vorausgesetzten rechtwinkligen Coordinaten-Systems parallel mit dem Halbmesser ist, welcher von dem Mittelpunkte des eingetheilten Kreises nach dem Nullpunkte der Eintheilung führt; so werden auf dem eingetheilten Kreise die Bogen ψ und φ (φ) (φ)₁, φ_1 (φ)₁, $[\varphi]$, $[\varphi]$ ₁ unmittelbar abgelesen; hierdurch bestimmen sich auch die Bogen

$$n = (\varphi) - \varphi \quad n_1 = (\varphi)_1 - \varphi_1$$

wenn man also

$$d n = +d(\varphi) - d\varphi \quad d n_1 = d(\varphi)_1 - d\varphi_1$$

setzt, so erhält man aus den Gleichungen

$$\sin d(\varphi) - \sin d\varphi = \frac{r}{r} [\sin((\varphi) + d(\varphi) - \psi) - \sin(\varphi + d\varphi - \psi)]$$

$$\sin d(\varphi)_1 - \sin d\varphi_1 = \frac{r}{r} [\sin((\varphi)_1 + d(\varphi)_1 - \psi) - \sin(\varphi_1 + d\varphi_1 - \psi)]$$

in der Voraussetzung, daß die Correctionen $d\varphi, \dots$ nur wenige Secunden betragen, die Näherungswerte

$$\cos [\psi - \frac{1}{2} ((\varphi) + d(\varphi) + \varphi + d\varphi)] \quad 206265^{\text{Sec.}}$$

$$\cos [\psi - \frac{1}{2} ((\varphi)_1 + d(\varphi)_1 + \varphi_1 + d\varphi_1)] \quad 206265^{\text{Sec.}}$$

Mit Hülfe dieser Gleichung könnte jetzt der Winkel ψ hinlänglich genau berechnet werden, wenn ϵ und δ genau bekannt wären; es ist aber

$$\epsilon = \frac{1}{2} ((\varphi)_1 + \varphi) + \frac{1}{2} (d(\varphi)_1 + d\varphi)$$

$$= \frac{1}{2} (\varphi_1 + (\varphi)) + \frac{1}{2} (d\varphi_1 + d\varphi)$$

$$\delta = \frac{1}{2} (\varphi_1 - \varphi) + \frac{1}{2} (d\varphi_1 - d\varphi)$$

$$= \frac{1}{2} ((\varphi)_1 - (\varphi)) + \frac{1}{2} (d(\varphi)_1 - d(\varphi))$$

hierdurch ergeben sich also die Näherungswerte durch welche eine angenäherte Bestimmung des Winkels ψ möglich wird.

Setzt man $d n$ kleiner als $d n_1$ voraus, damit der Hülfswinkel w kleiner als 45° wird; so sieht man, daß wenn $d n = 0$ ist, auch $w = 0$ werden muß, und daß alsdann der Fehler in $\tan g \delta$, welcher aus der Annahme des Näherungswertes entspringt, durch Division mit $\tan g(45 - w)$ nicht vergrößert werden kann. Wollte man die eine Ablesung da bewerkstelligen, wo der Einfluß der Excentricität am kleinsten und also z. B. $d\varphi = 0$ ist; so müßte, wenn $d n = 0$ sein sollte, auch $d(\varphi) = 0$ vorausgesetzt werden, und dieses ist nur dadurch zu erreichen, wenn beide Nonien um 180° von einander entfernt werden. In diesem Falle wird aber immer

$$d(\varphi) = -d\varphi; \quad d(\varphi)_1 = -d\varphi_1$$

und daher

$$\epsilon = \frac{1}{2}(\varphi_1 + \varphi + (\varphi)_1 + (\varphi)) \\ \delta = \frac{1}{2}[(\varphi_1 - \varphi) + ((\varphi)_1 - (\varphi))]$$

sein. Sollte hingegen der Fehler in $\tan \delta$, welchen man wegen der Annahme der Näherungswerte nicht vermeiden kann, so klein als möglich werden; so muß $(\varphi + d\varphi)_1 - (\varphi + d\varphi)$ so nahe als möglich $= 90^\circ$ sein, und deshalb die zweite Ableitung an einer Stelle geschehen, welche von der der ersten um 90° entfernt ist.

Der Werth von ρ kann durch die Gleichungen

$$dn = 2 \sin \frac{1}{2} N \cos(\psi - M) \frac{r}{r}; \quad dn_1 = 2 \sin \frac{1}{2} (N_1 \cos(\psi - M_1)) \frac{r}{r}$$

gefunden werden; wenn aber $dn = 0$ war, so wird, in der Voraussetzung, daß $N = 180^\circ$ ist, dn_1 den größten Werth erhalten.

Die Bestimmung von ρ und ψ muß also durch zwei um 90° von einander verschiedene Ableitungen an zwei gegenüber überstehenden Nonien, zwar am genauesten werden; man sieht aber leicht, daß jene Werthe auch durch zwei verschiedene Ableitungen an zwei näher beieinander liegenden Nonien gefunden werden können, wenn man die Mühe nicht scheut, zuerst Näherungswerte für ψ und ρ und hieraus die Näherungswerte von $d\varphi$... zu berechnen, durch deren Substitution sich ψ und ρ schärfer bestimmen. Ist hierdurch endlich ein hinlänglich genauer Werth für ψ und ρ gefunden worden, so kann auch die Größe der Correctionen $d\varphi$... d. i. der Einfluß der Excentricität für jede Ableitung berechnet werden.

Durch Ableitungen an gegenüberliegenden Nonien wird der Einfluß der Excentricität geradezu compensirt; bewegt man den Anfangspunkt des einen Nonius um den Winkel

$$w = (\varphi_1 + d\varphi_1) - (\varphi + d\varphi)$$

so beschreibt der andere denselben Winkel

$$w = ((\varphi)_1 + d(\varphi)_1) - ((\varphi) + d(\varphi))$$

die Summe

$$(\varphi_1 - \varphi) + ((\varphi)_1 - (\varphi)) + (d\varphi_1 + d(\varphi)_1) - (d\varphi + d(\varphi))$$

dieser Winkel ist aber

$$2w = (\varphi_1 - \varphi) + ((\varphi)_1 - (\varphi))$$

weil, wenn $N = 180^\circ$ vorausgesetzt wird,

$$d\varphi_1 + d(\varphi)_1 = 0 \quad d\varphi + d(\varphi) = 0$$

sein muß; so daß also

$$w = \frac{(\varphi_1 - \varphi) + ((\varphi)_1 - (\varphi))}{2}$$

ist, worinn $(\varphi_1 - \varphi)$ und $((\varphi)_1 - (\varphi))$ die Bogen sind, welche auf dem eingetheilten Kreise respective an dem ersten

und zweiten Nonius, bei der ersten und zweiten Nonienstellung abgelesen werden.

Hat der Nonienkreis drei Nonien und wird der erste Nonius um den Winkel

$$w = (\varphi_1 + d\varphi_1) - (\varphi + d\varphi)$$

bewegt, so beschreibt der zweite Nonius denselben Winkel

$$w = ((\varphi)_1 + d(\varphi)_1) - ((\varphi) + d(\varphi))$$

und daher auch der dritte Nonius denselben Winkel

$$w = ([\varphi] + d[\varphi])_1 - ([\varphi] + d[\varphi]);$$

die Summe dieser Winkel ist

$$3w = (\varphi_1 - \varphi) + ((\varphi)_1 - (\varphi)) + ([\varphi]_1 - [\varphi]) \\ + (d\varphi_1 + d(\varphi)_1 + d[\varphi]_1) - (d\varphi + d(\varphi) + d[\varphi]).$$

Sind die Anfangspunkte dieser drei Nonien um 120° von einander entfernt, so folgt aus den Gleichungen

$$d\varphi = \frac{r}{r} \sin(\varphi - \psi) \quad d\varphi_1 = \frac{r}{r} \sin(\varphi_1 - \psi)$$

$$d(\varphi) = \frac{r}{r} \sin((\varphi) - \psi) \quad d(\varphi)_1 = \frac{r}{r} \sin((\varphi)_1 - \psi)$$

$$d[\varphi] = \frac{r}{r} \sin([\varphi] - \psi) \quad d[\varphi]_1 = \frac{r}{r} \sin([\varphi]_1 - \psi),$$

weil so eben

$$(\varphi) = \varphi + 120^\circ \quad (\varphi)_1 = \varphi_1 + 120^\circ$$

$$[\varphi] = -(\varphi) = -120^\circ \quad [\varphi]_1 = -(\varphi)_1 = -120^\circ$$

vorausgesetzt wurde

$$d\varphi = \frac{r}{r} \sin(\varphi - \psi)$$

$$d(\varphi) = \frac{r}{r} \sin(\varphi - \psi) \cos 120^\circ + \frac{r}{r} \cos(\varphi - \psi) \sin 120^\circ$$

$$d[\varphi] = \frac{r}{r} \sin(\varphi - \psi) \cos 120^\circ - \frac{r}{r} \cos(\varphi - \psi) \sin 120^\circ$$

und

$$d\varphi_1 = \frac{r}{r} \sin(\varphi_1 - \psi)$$

$$d(\varphi)_1 = \frac{r}{r} \sin(\varphi_1 - \psi) \cos 120^\circ + \frac{r}{r} \cos(\varphi_1 - \psi) \sin 120^\circ$$

$$d[\varphi]_1 = \frac{r}{r} \sin(\varphi_1 - \psi) \cos 120^\circ - \frac{r}{r} \cos(\varphi_1 - \psi) \sin 120^\circ$$

es ist also

$$d\varphi + d(\varphi) + d[\varphi] = 0; \quad d\varphi_1 + d(\varphi)_1 + d[\varphi]_1 = 0$$

und daher

$$w = \frac{(\varphi_1 - \varphi) + ((\varphi)_1 - (\varphi)) + ([\varphi]_1 - [\varphi])}{3};$$

hierinn bezeichnen $(\varphi_1 - \varphi)$, $(\varphi)_1 - (\varphi)$ und $[\varphi]_1 - [\varphi]$ die Bogen, welche in Folge der beiden verschiedenen Nonienstellungen respective an dem ersten, zweiten und dritten Nonius abgelesen wurden.

Hartmann.

Ueber die Ausgleichung des Fehlers in den gemessenen Horizontalwinkeln, welcher nur durch das Ablesen auf dem nicht genau horizontal liegenden eingetheilten Kreise entsteht. Fig. 5.

Wenn die Axe des eingetheilten Kreises vollkommen vertikal liegt und wenn sich das Fernrohr, mit dem die Pointirungen auf die Objecte geschehen, genau in einer Vertikalebene kippt; so wird der Fehler, welcher durch eine nicht vollkommen rechtwinklige Verbindung des eingetheilten Kreises mit der genannten Axe, in dem abgelesenen Bogen entstehen kann, nur gering sein.

Dieser Fehler läßt sich ausserdem gänzlich compensiren wenn die drei Fußspitzen mit dem eingetheilten Kreise in unveränderlicher Verbindung stehen, wie dieses gewöhnlich bei Kreisen der Fall ist, mit denen nicht repetirt werden soll.

Denkt man sich durch den Mittelpunkt des eingetheilten Kreises eine Ebene, welche vollkommen rechtwinklig mit der Hauptaxe des Instruments verbunden ist, so wird diese die Ebene des eingetheilten Kreises in dem vorliegenden Falle durchschneiden. Beschreibt man ferner in dieser Ebene mit dem Halbmessers des eingetheilten Kreises, aus dessen Mittelpunkt einen Kreisumfang, so hätten eigentlich die Ablesungen auf dieser Peripherie geschehen sollen, statt daß sie auf dem nicht horizontalen Kreise vorgenommen wurden. Einer von den beiden Durchschnittspunkten der genannten Kreis-Peripherie kann als Anfangspunkt der Bogen angesehen werden, welche respective auf dem eingetheilten und auf dem horizontalen Kreise bestimmten Pointirungen entsprechen. Ist auf diese Weise der gemeinschaftliche Punkt A der genannten Peripherie als Anfangspunkt aller Ableitungen gedacht, die bei einer bestimmten Aufstellung der Fußspitzen gemacht werden können, und gehört zu einem gewissen horizontalen Winkel am Mittelpunkt des Instruments der Bogen $AC = b_1$, so wird dafür auf dem eingetheilten nicht horizontal liegenden Kreise der Bogen $AB = c$ abgelesen, der die Hypothenuse des in C rechtwinkligen sphärischen Dreiecks ABC ist. Gehört ferner zu dem horizontalen Bogen $AC = b_1$, auf dem nicht horizontalen eingetheilten Kreise der Bogen $AB_1 = c_1$, so wird c_1 die Hypothenuse eines zweiten in C_1 rechtwinkligen sphärischen Dreiecks

$$\begin{aligned} \tan g(b+w) - \cos A \tan g(c+w) &= \left\{ \begin{aligned} \tan g(b+w) \tan g(c+w) + \cos A \\ \tan g((b+w) - \cos A \tan g(c+w)) \end{aligned} \right\} \tan g(dw) \\ \tan g((b+w) - \cos A \tan g(c+w)) &= \left\{ \begin{aligned} \tan g(b+w) \tan g(c+w) + \cos A \\ \tan g((b+w) \tan g(c+w) + \cos A \end{aligned} \right\} \tan g(dw) \\ \tan g((b+w) - \cos A \tan g(c+w)) &= \left\{ \begin{aligned} \tan g(b+w) \tan g(c+w) + \cos A \\ \tan g((b+w) \tan g(c+w) + \cos A \end{aligned} \right\} \tan g(dw) \end{aligned}$$

weil man aber hierin ohne Nachtheil für die Genauigkeit des Resultates $b = c; \dots$ und $dw = \tan g dw; \dots$ setzen darf so wird

$$\begin{aligned} 2 \sin \frac{1}{2} A^2 \tan g(b+w) &= \left\{ \begin{aligned} \tan g(b+w)^2 + 1 - 2 \sin \frac{1}{2} A^2 \end{aligned} \right\} dw \\ 2 \sin \frac{1}{2} A^2 \tan g((b+w)) &= \left\{ \begin{aligned} \tan g((b+w))^2 + 1 - 2 \sin \frac{1}{2} A^2 \end{aligned} \right\} (dw) \\ 2 \sin \frac{1}{2} A^2 \tan g([b+w]) &= \left\{ \begin{aligned} \tan g([b+w])^2 + 1 - 2 \sin \frac{1}{2} A^2 \end{aligned} \right\} [dw] \end{aligned}$$

oder, weil man die Produkte $2 \sin \frac{1}{2} A^2 dw$ vernachlässigen darf,

$$\begin{aligned} dw &= 2 \sin \frac{1}{2} A^2 \sin(b+w) \cos(b+w) \\ (dw) &= 2 \sin \frac{1}{2} A^2 \sin(b) \cos(b) + \cos(b+w) \\ [dw] &= 2 \sin \frac{1}{2} A^2 \sin([b+w]) \cos([b+w]) \end{aligned}$$

und folglich

AB, C_1 sein, welches mit dem vorigen den Winkel A gemein hat; hieraus gehen die Beziehungen $\tan g b = \cos A \tan g c; \tan g b_1 = \cos A \tan g c_1$ hervor.

Erhält jetzt das Instrument eine andere Aufstellung, bei welcher zwar der Mittelpunkt der Eintheilung und die Hauptaxe des Instruments, aber nicht die Fußspitzen wieder an dieselbe Stelle wie vorher kommen, so werden auch die Bogen b, b_1 nicht dieselbe Grösse wie vorher erhalten können. Setzt man hierbei die erste Fußspitze an die Stelle der zweiten, und bei einer dritten Aufstellung die erste Fußspitze an die Stelle der dritten; so müssen sich die Bogen b, b_1 , wenn jene Spitzen ein horizontales gleichseitiges Dreieck bilden, um 120° ändern, also bei der zweiten Aufstellung um 120° größer und bei der dritten um 120° kleiner werden, wenn wieder auf dieselben Gegenstände gezielt wird.

Sind $(b), (b_1)$ diese Bogen für die zweite und $[b], [b_1]$ für die dritte Aufstellung, so hat man, wenn der Reihe nach $(c), (c_1)$ und $[c], [c_1]$ die Bogen bedeuten, welche jenen auf dem eingetheilten nicht horizontalen Kreise entsprechen, die Beziehungen

$$\begin{aligned} \tan g(b) &= \cos A \tan g(c); \tan g(b_1) = \cos A \tan g(c_1) \\ \tan g(b) &= \cos A \tan g[c]; \tan g(b_1) = \cos A \tan g[c_1] \end{aligned}$$

Bezeichnet man durch w den horizontalen Winkel zwischen den beiden Objecten, auf welche gezielt wurde, so ist $w = b - b_1 = (b) - (b_1) = [b] - [b_1]$;

man kann also die Winkel

$$W = c - c_1 \quad (W) = (c) - (c_1) \quad [W] = [c] - [c_1]$$

welche bei den drei verschiedenen Aufstellungen auf den eingetheilten Kreise als fehlerhafte Werthe für den Winkel w abgelesen werden, der die Reihe nach in der Form

$$w + [dw] \quad w + [dw] \quad w + [dw]$$

schreiben, wo die Beziehungen

$$\begin{aligned} \tan g(b+w) &= \cos A \tan g(c+w+dw) \\ \tan g((b+w)) &= \cos A \tan g((c)+w+[dw]) \\ \tan g([b+w]) &= \cos A \tan g([c]+w+[dw]) \end{aligned}$$

entstehen. Hieraus folgt zunächst

$$\begin{aligned} dw + (dw) + [dw] &= 2 \sin \frac{1}{2} A^2 \left\{ \begin{aligned} \sin(b+w) \cos(b+w) \\ \sin((b+w)) \cos((b+w)) \\ \sin([b+w]) \cos([b+w]) \end{aligned} \right\} \\ \text{Nach dem Obigen ist aber} & \\ (b) &= b + 120^\circ; \quad [b] = b - 120^\circ \end{aligned}$$

$$\sin(b+w) \cos(b+w) + \sin((b+w)) \cos((b+w)) + \sin([b+w]) \cos([b+w]) = 0$$

folgt; es ist also auch

$$\begin{aligned} dw + (dw) + [dw] &= 0 \\ \text{und hierdurch erhält man aus der Gleichung} & \\ (w+dw) + (w+(dw)) + (w+[dw]) &= W + (W) + [W] \\ \text{für } w \text{ den Werth } w &= \frac{W + (W) + [W]}{3} \end{aligned}$$

Hartmann.

ASTRONOMISCHE NACHRICHTEN.

N^o. 158.

Originalbeobachtungen des Enckeschen Cometen auf der Sternwarte zu Kremsmünster.

1828.	Sterne und Comet.	U h r z e i t.					Tägl. Urrcorr.	1828.	Sterne und Comet.	U h r z e i t.					Tägl. Urrcorr.
		Lam. I. Aus.	I. Inn.	II. Inn.	II. Aus.	Lam. I. Aus.				I. Inn.	II. Inn.	II. Aus.			
Oct. 28	Comet	22 48 59:	49 26:	—	52 49	—	+4,2	Nov. 8	H.C. 28'36"	0 52 17	52 37	56 11	56 37	+7,0	
	P. 23 ^b 251	23 16 33	16 54	19 11	19 34,5				Comet	52 23	52 46	55 6	55 31		
	P. 257	18 7,5	18 29,5	21 10	21 32,5				H.C. 28 59	52 44	53 5	—	—		
	P. 0 ^b 19	31 11,3	31 33,5	34 32	34 54				P. 217	1 133,5	1 52:	6 38	6 2		
— 29	Comet	21 22 56	23 23	26 6	26 33:		+4,7	— 22 a	H.C. 37,26	21 52 18	52 39	54 58	55 21	+9,7	
	P. 251	56 23	59 29	59 29	59 43				H.C. 27 45	53 54	54 15	56 49	57 10		
	P. 257	57 58	58 20	61 20:	61 40				Comet	54 8	54 35	57 14	57 37		
	P. 19	22 11 2	11 23	14 39	15 2				H.C. 34,29	22 0 38	0 58	2 44	3 6		
— 31	P. 22 ^b 304	22 56 48,5	57 8	58 30,5	58 54,5		+5,3	b	H.C. 26	22 3 46	4 6	6 19	6 41,5		
	P. 23 ^b 23	23 5 1	5 25:	7 7	7 31				Comet	5 21	5 45:	8 8	8 30		
	Comet	6 13	6 40:	9 27	9 55				H.C. 34	12 5	12 25	14 4	14 26,5		
	P. 69	11 40,5	12 6	15 34	16 58			— 23 a	Comet	21 47 54	48 14	49 54	50 19	+5,5	
	P. 91	17 11	17 30	18 17,5	18 41				H.C. 26	49 59	50 20	52 34	52 56		
Nov. 3	Comet	4 42 11	42 38:	45 14	45 36		+6,1		H.C. 27	51 36	51 55	54 23	54 46		
	P. 304	48 9	48 29	52 3,5	52 27				H.C. 34	58 19	58 39	60 19	60 42		
— 4 a	P. 217	21 24 20	24 40,5	25 31	25 53,5		+6,1	b	Comet	22 121	1 40,5	3 11	3 34		
	P. 231	27 44,5	5 30	50,5	31 11,5				H.C. 26	8 27	8 47	8 53	6 15,5		
	Comet	24 52	35 22	38 9	38 41				H.C. 27	5 2	5 23	7 42	8 4		
	P. 304	44 44	45 3,5	—	—				H.C. 34	11 47	12 6,5	13 38,5	14 1		
b	P. 217	21 47 53,5	48 13	49 15,5	49 38			c	Comet	22 20 12	20 33	22 0	22 24		
	P. 231	51 17	51 38	54 34	54 54,5				H.C. 26	22 27	22 46,5	24 51,5	23 14,5		
	Comet	58 26	58 50	61 52	—				H.C. 27	24 3	24 23	26 42	27 5		
— 5 a	P. 217	22 24 27	24 46,5	26 28	26 50		+6,8	d	H.C. 34	30 43	31 3	32 33,5	32 56,5		
	P. 231	27 55,5	28 15	31 50	32 13				Comet	22 33 45	34 7	35 36,5	36 0		
	Comet	30 5	30 35	33 25	33 54				H.C. 26	36 1	36 22	38 31	38 53		
	P. 285	40 32	40 52	41 42,5	42 6				H.C. 27	37 39	38 0	40 21	40 43,5		
b	P. 217	23 1 31	1 50,5	3 31	3 53				H.C. 34	41 20	44 39	46 13	46 35		
	P. 231	5 0	5 19,5	8 54	9 17			Dec. 2 a	* 7	23 33 18	38 38,5	33 37	35 59	+5,3	
	Comet	7 3	7 34:	10 23	10 48				* 7,8	34 4	34 23,5	35 35	35 67		
	P. 285	17 37	17 58	18 47	19 10				Comet	37 32	37 53,5	39 8,5	39 32,5		
— 6	P. 217	21 57 37,5	57 58	59 37	59 59		+6,8	b	* 7	23 58 59	59 19,5	56 21	61 43		
	Comet	58 37	59 1	61 16	61 40				* 7,8	59 44	60 4	61 18	61 40		
	P. 231	22 1 6	1 28	4 59,5	5 22				Comet	0 310	3 31	4 47,5	5 10,9		
— 7 a	H.C. 32' 49"	0 44 10	44 32	46 46	47 9,5		+7,0	c	* 7	0 12 40	13 1	14 57	15 20		
	Comet	44 54	45 15	46 39	46 53				* 7,8	13 26	13 45,5	14 54	15 17		
	P. 217	49 11	49 31	51 13	51 36				Comet	16 50	17 10,5	18 20	18 44		
b	H.C. 28' 36"	1 27 59	28 20	30 3	30 26,5				P. 21 ^b 6	27 45,5	28 5	30 41	31 1		
	H.C. 28 59	28 7	28 39	31 30,5	31 53				P. 10	27 56	28 15	30 42	31 8		
	H.C. 32 49	32 16	32 37	35 0	35 24				P. 38	51 52	52 11,5	54 35	54 56		
	Comet	32 51	33 16	34 36	35 0			— 3 a	P. 20 ^b 329	23 27 10	27 80	29 14	29 36	+5,3	
	P. 217	37 15	37 36	39 28	39 51				P. 373	32 27	32 46,5	33 54	34 17		
									Comet	33 10	33 31	36 34,5	36 59		

1828.	Sterne und Comet.	U h r z e i t.					Tägl. Uhhcorr.
		Lam. I. aus.	I. inn.	II. inn.	II. aus.		
Dec. 3b	P. 329	23 52 38	52 58	54 42	55 4	+5,3	
	P. 373	57 54	58 14	59 21	59 45		
	Comet	58 35	58 59	61 58	62 23		
— 4a	P. 329	0 10 21	10 41	13 17,5	13 38	+5,3	
	Comet	12 25,5	12 49	15 32	16 4		
	P. 373	15 36	15 56	17 57	18 19		
	P. 378	16 18	16 38	18 53	19 15		
b	P. 329	0 27 32,5	27 52	30 22,5	30 43,5		
	Comet	29 35,5	29 57	32 45	33 7		
	P. 373	32 47	33 7	35 2	35 25		
	P. 378	33 29,5	33 59	35 58	36 21		
— 5a	H.C. p. 188.31	22 52 29	52 40	53 35,5	53 57	+5,3	
	H.C. 33	53 53	54 13	55 16,5	55 39		
	Comet	58 35	58 55	61 23,5	61 44		
	P. 329	23 0 14	0 31	3 43	4 5,5		
	P. 373	5 27	5 46	8 23	8 45		
	P. 378	6 9	6 28	9 19,5	9 41		
	P. 431	12 29	12 49	14 48	15 10		
b	H.C. 31	23 16 58	17 16	18 17	18 39		
	H.C. 33	18 31	18 50	19 57	20 21		
	Comet	23 8	23 28	26 0	26 25		
	P. 329	24 49	25 8	28 25	28 47		
c	H.C. 31	23 19 39,5	30 0	30 59	31 22		
	H.C. 33	31 13	31 32	32 40	33 2		
	Comet	35 46	36 10	38 38	39 2		
	P. 329	37 32	37 51,5	41 8	41 31		
d	H.C. 31	23 54 43	55 2	56 6	56 27		
	H.C. 33	56 16	56 36	57 45	58 8		
	Comet	0 0 48	1 9	3 40	4 2		
	P. 329	2 36	2 54	6 13	6 36		
	P. 373	7 54	8 11	10 54	11 15		
	P. 378	8 33	8 52	11 50	12 12		
	P. 431	14 52	15 13	17 18	17 40		
— 10a	P. 134	23 1 31,5	1 50	2 43	3 6	+9,2	
	P. 149	3 33	3 52	4 42	5 2		
	Comet	3 33	3 53	6 38	6 59		
b	P. 134	23 11 50,2	12 9	12 55	13 19		
	P. 149	13 51	14 10	14 54,5	15 17		
	Comet	13 49	14 10	16 47	17 10		
c	P. 134	23 21 45	22 0	22 46,5	23 9		
	Comet	23 43	24 0	25 37	25 59		
	P. 149	23 47	24 6	24 46	25 10		
d	P. 134	23 31 54,5	32 13	33 8,5	33 26		
	Comet	33 51,5	34 13	36 50	37 14		
	P. 149	33 56	34 15	35 2	35 23		
e	P. 134	23 42 9,5	42 28,5	43 14,5	43 37		
	Comet	44 5	44 25	47 0	47 23		
	P. 149	44 10,5	44 29	45 14	45 37		
f	P. 134	23 52 5,5	52 45	53 35	53 57,5		
	Comet	54 19	54 41	—	—		
	P. 149	54 26	54 45	55 34	55 56		
— 11a	P. 134	23 15 12	15 35	18 18	18 42	+9,4	
	P. 149	17 31	17 51	19 38	20 19		
	P. 149	19 32,5	19 52	21 55	22 18		
b	P. 134	23 25 59	26 23	28 57,5	—		
	P. 149	28 20	28 40	30 42	31 5		
	P. 149	30 22	30 41	32 41,5	33 4		

1828.	Sterne und Comet.	U h r z e i t.						Tägl. Ueberr.
		Lsm. I. aus.	I. inn.	II. aus.	II. inn.			
Dec. 11c	Comet	23 51 51,5	52 19	54 50	55 17		+9,4	
	P. 134	54 21	54 41	56 41	57 3,5			
	P. 149	56 22	56 42	58 39,5	59 2			
— 12a	Comet	0 57 39,5	58 1	60 0	60 24		+9,4	
	P. 134	1 4 41	5 1	7 42	8 3			
	P. 149	6 42,5	7 3	9 41	10 2			
b	P. 134	11 35 26,5	—	13 46	14 11			
	P. 134	20 39,5	20 52	23 31,5	23 53			
	P. 149	23 34	22 54	25 31	25 52			
— 13a	Bezel n. 1. 4	22 52 15	52 37,5	53 38	53 59		+9,4	
	Comet	54 53,5	55 16	57 54	58 14			
	Bezel 10'	58 16	58 36	59 14	59 37			
	H.C. p. 97.13	23 4 17	4 36	5 57	6 18			
	P. 117	4 22	4 41	6 31	6 53			
b	Comet	23 7 45,5	8 5	9 8,5	9 30			
	P. 117	10 22,5	10 42	13 21	13 42			
	H.C. 10	13 47	—	14 45	15 7			
	P. 117	19 47	20 6,5	21 27	21 49			
c	Comet	19 51	20 11	22 2	22 24,5			
	P. 117	23 23 30,5	23 40	25 0	25 22,5			
	Comet	26 4	26 25	29 10	29 31			
	P. 117	29 31	29 50,5	30 37,5	30 59			
	H.C. 13	35 33	35 52	37 20	37 41,5			
	P. 117	35 37	35 57	37 54	38 17			
d	Comet	23 39 2	39 21	40 27	40 49			
	H.C. 10	41 32	41 52	44 32	44 53,5			
	P. 117	45 3	45 23	46 3,5	46 26			
	H.C. 13	51 4	51 23,5	52 46,5	53 7,5			
	P. 117	51 8,5	51 28,5	53 29	53 42,5			
e	Comet	23 54 30	54 49	55 55	56 16,5			
	P. 117	56 57	57 18,5	59 56,5	60 18,5			
	H.C. 10	0 6 51	0 51	1 31,5	1 52			
	P. 117	6 32	6 51,5	8 13	8 35			
	H.C. 13	6 35,5	6 55	8 18	8 40,5			
f	Comet	10 12 34	12 52	14 0	14 21			
	P. 117	14 58,5	15 21	17 58	18 20,5			
	H.C. 10	18 36	18 53	19 36	19 58			
	P. 117	24 37	24 58	26 19	26 41			
	H.C. 13	24 42	25 1,5	26 54	27 16			
	P. 117	28 35,5	28 55	29 57	30 22			
— 15a	P. 383	22 51 54,5	52 13,5	53 0	53 22		+9,4	
	Comet	53 35,5	53 55,5	56 38	56 40			
	P. 408	55 32	55 51	56 38	57 0,5			
	P. 10	58 49	59 8	59 40	60 2			
b	P. 383	23 4 53,5	5 19,5	6 28	6 49			
	Comet	6 32	6 54	9 42	10 0			
	P. 408	8 31	8 50	10 6	10 28			
	P. 10	11 49	12 7	13 8	13 28			
	P. 31	13 44	14 4	14 44	15 6			
c	P. 383	23 15 39,5	15 57	17 8,5	17 31			
	Comet	17 15	17 38	—	—			
— 16a	Comet	23 3 58	4 18	6 45	6 28		+9,4	
	P. 365	4 22	4 43	7 5	7 27			
	P. 383	7 7	7 26	8 57	9 19			
	P. 408	10 44	11 8	12 36,5	12 59			
	P. 10	14 2	14 20	15 38,5	15 58			

1828.	Sterne und Comet.	U h r z e i t.				Tägl. Uhrerr.	1828.	Sterne und Comet.	U h r z e i t.				Tägl. Uhrerr.
		Lam. I. aus.	I. inn.	II. inn.	II. aus.				Lam. I. aus.	I. inn.	II. inn.	II. aus.	
Dec. 16b	Comet	23 26 6,5	26 26,5	28 8	28 31,5		Dec. 16d	Comet	0 9 54,5	10 17,5	11 56,5	12 21	
	P. 365	26 35	26 54	29 15				P. 365	30 33,5	10 53	13 16	13 37	
	P. 383	29 19	29 38	31 7	31 28,5			P. 383	13 16	13 35,5	15 8	15 29,5	
	P. 408	32 56,5	33 15	34 45,5	35 8			P. 408	16 54	17 13	18 41,5	19 9	
	P. 10	36 13	36 32	37 47,5	38 8			P. 10	20 11	20 29,5	21 48	22 9	
c	Comet	23 47 58	48 18	50 4	50 28		e	Comet	0 31 54	32 15	33 56	34 20,5	
	P. 365	48 32	48 52	51 17	51 39			P. 365	32 37	32 57	35 21	35 42	
	P. 383	51 15	51 35	53 9	53 31			P. 383	35 21	35 39	37 11	37 34	
	P. 408	54 53	55 12	56 48	57 10			P. 408	38 58	39 17	40 51	41 13	
	P. 10	58 10	58 28	59 49	60 10,5			P. 10	42 14,5	42 33	43 52	44 13	

Ergebnisse aus vorstehenden Originalbeobachtungen von *Encke's* Cometen.

1828.	Mittl. Zeit in Kreuzen.	Verglichene Sterne.	Cometenort- in A.R.	Sternort- in Decl.	Des Cometen Decl. N.	beobachtete Decl. N.	Encke's Ephem. A.R.	gibt: Decl. N.
Oct. 28	8 18 15,3	Piaz. 33 ^b n. 251	- 6 52 45,0	+ 23 4,1	351 2 26,9	+ 26 21 22,6	350 40,0	26 22,7
		P. 257	- 7 16 30,0	+ 10 40,2	1 59,6	21 50,1		
		P. 0 ^a 19	- 10 32 28,5	+ 1 15,6	2 36,7	21 26,9		
— 29	6 49 43,8	P. 251	- 8 21 0,0	+ 6 18,8	349 34 11,9	26 4 37,3	349 31,5	26 4,5
		P. 257	- 8 44 52,5	- 5 47,3	33 37,1	5 22,6		
		P. 19	- 12 0 45,0	- 15 9,1	34 20,2	5 2,2		
— 31	8 25 5,2	P. 22 ^b 304	+ 2 22 4,5	+ 48 7,8	347 4 15,6	25 21 11,6	347 0,2	25 22,1
		P. 23 ^b 23	+ 0 18 22,5	+ 36 29,5	3 44,2	21 6,8		
		P. 60	+ 1 22 3,0	- 19 26,8	1 50,5	21 20,7		
		P. 91	- 2 43 30,0	+ 67 14,7	4 30,3	21 10,7		
Nov. 3	13 48 36,4	P. 304	- 1 28 37,5	- 29 45,6	343 13 33,6	24 3 18,2	343 4,4	24 7,8
— 4a	6 38 37,7	P. 217	+ 2 39 12,0	+ 68 14,8	342 13 54,6	23 48 38,5	342 13,6	23 49,9
		P. 231	+ 1 48 4,5	+ 6 17,3	14 24,6	48 35,7		
		P. 304	- 2 26 40,5	- 15 30,6				
	b 7 2 5,0	P. 217	+ 2 38 40,5	+ 66 6,0	342 13 23,1	23 46 29,7	342 12,4	23 49,5
		P. 231	+ 1 47 37,5	+ 4 40,4	13 57,6	46 58,8		
— 5a	7 29 49,6	P. 217	+ 1 25 4,5	+ 43 25,7	340 59 47,1	23 23 49,4	340 58,5	23 23,5
		P. 231	+ 0 32 57,0	- 18 40,6	59 17,1	23 37,8		
		P. 285	- 2 36 15,0	+ 70 48,1	59 54,1	23 51,8		
	b 8 6 41,7	P. 217	+ 1 23 34,5	+ 42 53,7	340 58 17,1	23 23 17,4	340 56,6	23 22,9
		P. 231	+ 0 31 19,5	- 18 57,9	57 39,6	23 20,5		
		P. 285	- 2 38 7,5	+ 70 22,7	58 1,6	23 26,4		
— 6	6 54 37,9	P. 217	+ 0 15 19,5	+ 15 36,0	339 50 2,1	22 55 59,7	339 48,7	22 57,2
		P. 231	- 0 37 0,0	- 45 40,7	49 20,1	56 37,7		
— 7a	9 36 37,8	H.C. p. 31. 22 ^b 32	+ 0 10 52,5	- 32 29,9	338 29 48,2	22 25 9,3	338 29,2	22 27,1
		P. 217	+ 1 4 7,5	- 14 27,5	30 35,1	25 56,2		
	b 10 24 29,2	H.C. 28 ^b 36"	+ 1 13 45,0	- 11 50,3	338 29 19,3	22 23 45,2	338 26,9	22 26,1
		H.C. 28 ^b 59"	+ 1 8 29,5	- 43 2,4	30 12,5	24 13,3		
		H.C. 32 ^b 49"	+ 0 9 15,0	- 33 11,3	28 10,7	24 27,9		
		P. 217	- 1 5 30,0	- 16 5,1	29 12,6	24 18,6		
— 8	9 40 17,5	H.C. 28 ^b 36"	+ 0 1 52,5	- 39 46,8	337 17 26,8	21 55 48,7	337 18,6	21 58,5
		H.C. 28 ^b 59"	- 0 5 0,0	- 16 20,0	16 20,0			
		P. 217	- 2 17 8,0	- 45 14,8	17 39,6	55 8,0		
— 22a	5 49 22,3	H.C. 26 ^b 10"	+ 0 28 15,0	+ 13 9,4	322 27 23,7	14 32 59,1	322 24,9	14 34,1
		H.C. 27 ^b 45"	+ 0 4 15,0	- 7 7,7	27 9,0	32 34,8		
		H.C. 34 ^b 29"	- 1 36 37,5	+ 32 39,2	27 22,7	32 44,9		

1878.	Mittl. Zeit in Kremsm.	Verglichene Sterne.	Cometenort — Sternort in Decl.		Des Cometen beobachtete		Each's Ephem. gibt: AR.	Decl. N.
			in AR.	in Decl.	AR.	Decl. N.		
Nov. 22b	6 0 42,5	H.C. 26 H.C. 27 H.C. 34 H.C. 39/23	+ 0 26 52,5 + 0 2 37,5 - 1 37 52,5 - 2 51 52,5	+12 45,5 + 6 0,2 -32 15,6 -25 57,2	322 26 1,2 25 31,5 26 7,7 25 44,5	14 32 35,2 33 26,3 32 21,3 31 52,9	322 24,4	14 33,8
— 23a	5 39 18,6	H.C. p. 37, 26 H.C. 27 H.C. 34	- 0 31 22,5 - 0 55 22,5 - 2 36 15,0	-18 55,7 -26 39,2 + 0 34,6	321 27 46,2 27 31,5 27 45,2	14 0 54,0 0 46,9 0 40,3	321 25,8	14 0,3
b	5 52 43,1	H.C. 26 H.C. 27 H.C. 34	- 0 31 34,5 - 0 55 27,0 - 2 36 30,0	-20 19,8 -27 55,6 + 0 41,6	321 27 34,2 27 27,0 27 30,2	13 59 30,9 59 30,5 59 24,1	321 25,2	14 0,0
c	6 11 31,9	H.C. 26 H.C. 27 H.C. 34	- 0 33 33,0 - 0 57 37,5 - 2 37 37,5	-21 7,1 -29 14,9 + 1 26,2	321 25 35,7 25 16,5 26 22,7	13 58 42,6 58 11,2 58 39,5	321 24,5	13 59,5
d	6 25 3,3	H.C. 26 H.C. 27 H.C. 34	- 0 33 52,5 - 0 58 22,5 - 2 38 22,5	-21 58,6 -28 57,5 - 1 19,5	321 25 16,2 24 31,5 25 37,7	13 57 51,1 58 28,6 58 46,2	321 23,9	13 59,2
Dec. 2a	6 54 7,1	* 7 * 7.8	+ 1 3 37,5 + 0 52 15,0	-24 36,9 + 3 13,8	312 47 54,0 47 49,5	8 39 55,1 39 30,4	312 46,1	8 39,2
b	7 19 41,1	* 7 * 7.8	+ 1 2 49,5 + 0 51 37,5	-25 57,8 + 2 3,2	312 47 5,0 47 12,0	8 38 38,2 38 19,8	312 45,1	8 38,5
c	7 33 18,7	* 7 * 7.8 P. 21 ^b 6 P. 10 P. 38	+ 1 2 25,5 + 0 51 7,5 + 2 43 43,5 + 2 46 19,5 - 8 45 22,5	-26 57,3 + 1 10,5 -49 14,5 -44 2,6 -42 10,4	312 46 42,0 46 42,0 46 26,1 46 41,7 46 42,3	8 37 34,8 37 27,1 37 54,5 37 34,2 37 19,9	312 44,5	8 38,2
— 3a	6 45 55,9	P. 50 ^b 329 P. 373 P. 329	+ 1 30 7,5 + 0 10 57,0 + 1 29 45,0	+47 42,4 -69 2,0 +46 7,4	311 51 8,4 51 23,0 50 45,9	8 1 56,5 2 17,6 0 21,5	311 49,0	8 2,9
b	7 11 18,4	P. 373 P. 329	+ 0 10 45,0 + 1 29 45,0	-68 32,2 +46 7,4	311 50 45,9 51 11,0	8 0 21,5 1 47,8	311 47,9	8 2,3
— 4a	7 21 19,6	P. 329 P. 373 P. 378	+ 0 31 33,0 + 0 47 12,0 + 0 67 42,0	+11 13,5 +31 54,9 -33 24,3	310 52 33,9 53 14,0 53 5,2	7 25 27,6 25 10,5 24 54,0	310 49,5	7 23,9
b	7 38 25,9	P. 329 P. 373 P. 378	+ 0 31 0,0 + 0 47 42,0 - 0 58 22,5	+11 10,1 +31 21,5 -23 31,6	310 52 0,9 52 44,9 52 24,7	7 25 24,2 24 54,0 25 1,3	310 48,8	7 23,5
— 5a	6 3 46,0	H.C. p. 188. 31' H.C. 33' P. 329 P. 373 P. 378 P. 431	+ 1 33 45,0 + 1 10 30,0 + 0 24 0,0 - 1 42 52,5 - 1 53 22,5 - 3 28 30,0	+54 34,4 -49 33,2 -26 10,4 + 5 10,8 -13 32,1 +16 54,6	309 57 34,4 57 26,1 57 0,9 57 33,5 57 24,7 58 0,5	6 48 58,5 47 44,1 48 3,7 48 4,8 47 57,6 47 56,9	309 54,7	6 48,0
b	6 28 15,1	H.C. 31 H.C. 33 P. 329	+ 1 32 45,0 + 1 9 22,5 + 0 25 7,5	+53 58,7 +49 32,9 -26 28,5	309 56 34,4 56 18,6 53 53,4	6 48 22,8 47 45,8 47 45,0	309 53,7	6 47,4
c	6 40 53,0	H.C. 31 H.C. 33 P. 329	+ 1 32 4,5 + 1 8 52,5 - 0 25 55,5	+53 48,2 +49 15,2 -26 56,3	309 55 53,9 55 48,6 55 4,4	6 48 12,3 47 26,1 47 17,8	309 53,2	6 47,1
d	7 5 49,6	H.C. 31 H.C. 33 P. 329 P. 373 P. 378 P. 431	+ 1 31 27,0 + 1 8 7,5 - 0 26 22,5 - 1 45 37,5 - 1 56 0,0 - 3 31 0,0	+52 37,4 +48 22,1 -27 38,6 -24 5,5 -15 18,0 +19 19,1	309 55 16,4 55 3,6 54 38,4 54 48,5 54 47,2 55 30,5	6 47 1,5 46 33,0 46 35,5 46 47,1 46 11,7 46 21,4	309 52,1	6 46,4
— 10a	5 49 46,1	P. 134 P. 149	+ 0 30 34,5 + 0 0 7,5	+66 17,9 -68 51,1	304 54 53,0 54 42,2	3 30 45,1 31 39,2	304 49,8	3 28,3

1828.	Mittl. Zeit in Kremsm.	Verglichene Sterne.	Cometenort in A.R.	Sternort in Decl.	Des Cometen A.R.	beobachtete Decl. N.	Encke's Ephem. gibt: A.R.	Decl. N.
Dec. 10b	6 0 1,0	P. 134	+ 0 30 0,0	+65 53,2	304 54 18,5	3 30 20,4	304 49,3	0 28,0
		P. 149	+ 0 0 15,0	+67 33,1	54 19,7	30 21,2		
c	6 9 54,5	P. 134	+ 0 29 52,5	+65 42,9	304 54 11,0	3 30 10,1	304 48,9	3 27,7
		P. 149	+ 0 30 0,0	+65 29,2	54 4,7	29 17,3		
d	6 20 0,6	P. 134	+ 0 29 37,5	+64 34,9	304 53 56,0	3 29 2,1	304 48,4	3 27,4
		P. 149	+ 0 0 49,5	+66 57,4	53 45,2	29 45,5		
e	6 30 11,7	P. 134	+ 0 29 0,0	+65 10,6	304 53 18,5	3 29 37,8	304 48,0	3 27,1
		P. 149	+ 0 0 40,5	+65 42,7	53 54,2	28 30,8		
f	6 40 25,1	P. 134	+ 0 28 42,0		304 53 0,5		304 47,5	3 26,8
		P. 149	+ 0 1 22,5		53 12,2			
— 11a	5 57 38,2	P. 134	+ 0 34 22,5	+23 9,2	303 49 56,0	2 47 36,4	303 45,4	2 45,6
		P. 149	+ 1 4 40,5	+25 3,2	49 54,2	47 51,3		
b	6 8 24,0	P. 134	+ 0 34 45,0	+20 18,2	303 49 33,5	2 44 45,4	303 44,9	2 43,3
		P. 149	+ 1 5 7,5	+21 37,7	49 27,2	44 23,8		
c	6 34 19,1	P. 134	+ 0 35 12,0	+19 3,5	303 49 6,5	2 43 30,7	303 43,8	2 44,5
		P. 149	+ 1 5 27,0	+20 30,3	49 7,7	43 18,4		
— 12a	7 36 1,6	P. 134	+ 1 45 12,0	+23 34,8	302 39 6,5	2 0 52,4	302 34,6	1 58,7
		P. 149	+ 2 15 37,5	+21 58,7	38 57,2	0 49,4		
b	7 51 45,6	P. 134	+ 1 46 22,5	+22 41,4	302 37 56,5	2 1 45,8	302 33,8	1 58,2
		P. 149	+ 2 16 49,5	+21 12,3	37 45,2	1 35,8		
— 13a	5 29 49,4	Hevelius 1.4 8'	+ 0 40 7,5	+56 30,2	301 37 54,1	+1 18 24,0	301 33,9	+1 18,6
		B. 10' 9"	+ 0 50 19,5	+71 15,5	37 39,1	18 19,3		
		H.C. p. 97. 13'	+ 2 20 27,0	+46 34,1	37 55,6	18 3,0		
b	5 45 14,4	P. 117	+ 2 21 42,0	+29 1,2	37 58,9	18 31,0	301 33,2	+1 18,1
		B. 4	+ 0 39 15,0	+56 40,9	301 37 1,6	+1 18 34,7		
		B. 10	+ 0 51 12,0	+71 33,3	36 46,6	18 36,1		
		H.C. 13	+ 2 21 7,5	+46 23,3	37 15,1	17 52,2		
c	6 0 54,3	P. 117	+ 2 22 12,0	+28 0,5	37 28,9	17 30,3	301 32,5	+1 17,6
		B. 4	+ 0 38 42,0	+56 12,5	301 36 28,6	+1 18 6,1		
		B. 10	+ 0 51 33,0	+70 29,1	36 25,6	17 31,9		
		H.C. 13	+ 2 22 0,0	+46 16,2	36 22,6	17 45,1		
d	6 16 19,3	P. 117	+ 2 23 7,5	+28 14,8	36 33,4	17 44,6	301 31,7	+1 17,1
		B. 4	+ 0 37 37,5	+56 4,7	301 35 24,1	+1 17 55,5		
		B. 10	+ 0 52 45,0	+70 47,1	35 13,6	17 49,9		
		H.C. 13	+ 2 22 55,5	+46 1,9	35 27,1	17 30,8		
e	6 31 42,9	P. 117	+ 2 24 7,5	+28 32,6	35 33,4	17 62,4	301 31,0	+1 16,7
		B. 4	+ 0 37 7,5	+55 29,5	301 34 54,1	+1 17 23,3		
		B. 10	+ 0 53 15,0	+70 39,8	34 43,6	17 42,6		
		H.C. 13	+ 2 23 25,5	+45 54,7	34 57,1	17 23,6		
f	6 49 41,2	P. 117	+ 2 24 35,0	+27 39,0	35 7,9	17 8,8	301 30,2	+1 16,1
		B. 4	+ 0 36 40,5	+54 43,1	301 34 27,1	+1 16 36,9		
		B. 10	+ 0 53 57,0	+70 11,4	34 1,6	17 14,2		
		H.C. 13	+ 2 24 27,0	+45 47,7	33 55,6	17 16,6		
		P. 117	+ 2 25 30,0	+27 28,4	34 10,9	16 58,2		
		H.C. 17'	+ 3 23 52,5	+57 13,1	34 5,5	16 46,4		
— 15a	5 20 57,1	P. 383	+ 0 25 22,5	+57 25,8	299 18 45,5	+0 13 4,9	299 15,1	+0 14,6
		P. 408	+ 0 29 0,0	+57 0,8	18 39,2	12 37,8		
		P. 10	+ 1 18 15,0	+66 3,5	18 39,3	13 7,5		
b	5 33 52,5	P. 383	+ 0 25 0,0	+56 50,3	299 18 23,0	+0 13 40,4	299 14,4	+0 15,1
		P. 408	+ 0 29 22,5	+56 14,5	18 16,7	13 24,0		
		P. 130	+ 1 18 45,0	+66 3,7	18 9,3	13 7,3		
		P. 31	+ 1 47 45,0	+77 22,1	17 56,0	13 22,8		
c	5 44 32,9	P. 383	+ 0 24 19,5		299 17 42,5		299 13,9	+0 15,4
— 16a	5 23 31,8	P. 365	+ 0 6 7,5	+21 0,6	298 6 43,8	+1 0 44,2	298 1,5	+1 3,7
		P. 383	+ 0 47 7,5	+ 9 56,4	6 15,5	0 34,3		
		P. 408	+ 1 41 22,5	+ 8 20,0	6 16,7	1 18,6		
		P. 10	+ 2 30 45,0	+18 27,0	6 9,3	0 44,0		

1828.	Mittl. Zeit in Kremsm.	Verglichene Sterne.	Cometenort — Sternort in A.R.	in Decl.	Des Cometen A.R.	beobachtete Decl. N.	Encke's Ephem. gibt: A.R.	Decl. N.
Dec. 16b	5 45 36,9	P. 365 P. 383 P. 408 P. 10	— 0 7 0,0 — 0 48 0,0 — 1 42 18,0 — 2 31 30,0	— 22 54,9 + 8 20,0 + 7 15,7 + 16 39,9	298 5 51,3 5 28,0 5 21,2 5 24,3	— 1 2 38,5 2 10,7 2 22,9 2 31,1	298 0,3	— 1 4,4
c	6 7 24,9	P. 365 P. 383 P. 408 P. 10	— 0 8 30,0 — 0 49 15,0 — 1 43 37,5 — 2 32 45,0	— 22 37,1 + 7 44,2 + 6 41,1 + 16 14,9	298 4 21,3 4 8,0 4 1,7 4 9,3	— 1 2 20,7 2 46,5 2 57,5 2 56,1	297 59,2	— 1 5,2
d	6 29 19,4	P. 365 P. 383 P. 408 P. 10	— 0 9 18,0 — 0 49 55,5 — 1 44 22,5 — 2 33 33,0	— 23 34,2 + 6 22,1 + 15 7,0 — 24 17,1	298 3 33,3 3 27,5 3 16,7 3 21,3	— 1 3 17,8 4 8,6 4 4,0 — 1 4 0,7	297 58,1	— 1 5,9
e	6 51 14,5	P. 365 P. 383 P. 408 P. 10	— 0 10 37,5 — 0 51 22,5 — 1 45 45,0 — 2 34 48,0	+ 6 40,0 + 5 28,6 + 14 49,2	298 2 13,8 2 8,3 2 4,0 2 6,3	— 1 4 0,7 2 0,8 4 10,0 4 11,8	297 57,0	— 1 6,7

Anmerk. Sämmtliche Kometenbeobachtungen wurden mit einem *Fraunhofer'schen* paralactisch montirten Kometensucher und 16maliger Vergrößerung angestellt. Der Radius des im Brennpunct befindlichen Winkelmicrometers beträgt 4280,7 Raumseconds, und der Winkel der zwei Lamellen $22^{\circ} 47' 20''$.

Am 28. October war der Komet ein äusserst blasser nebelartiger Schimmer, in welchem zuweilen ein leuchtender Punct mit scintillirendem Lichte erschien. Da ein solcher Punct sich bei den folgenden Beobachtungen nicht mehr zeigte, so wird es sehr wahrscheinlich, daß ein Scintilliren von einem telescopischen Sterne kam, der sich eben damals

im Nebel des Kometen befand. Auch am 3. November und in den nächstfolgenden Tagen war der Komet nur schwer zu bemerken, und noch schwerer zu beobachten. Den 3. November verschwand er bald in einem dünnen, sich erhebenden Nebel; den 4. war er sehr niedrig. Vom 23. November anfangen, war der Komet im Tubus gut sichtbar. Die Beobachtungen am 3. und 11. December geschahen durch feinen Nebel, jene am 12. durch leichte Wolken. Vom 13. December anfangen, war der Komet ungeachtet des Mondschlins mit freiem Auge als ein sehr blasser Nebelfleck bemerkbar, wenn man nach der Kante des Fernrohrs hinsah.

Schwarzenbrunner.

Sternbedeckungen, beobachtet im Jahr 1828 auf der Sternwarte zu Kremsmünster.

1828.	Stern und GröÙe.	Ein- oder Austritt.	Mittl. Zeit.	Bemerkungen.
Januar 31	*1a β Bode's Jahrb. 1828	Eintr. lichter. R. 10' R.	h 12 36 2,0	vielleicht um 1 bis 2 Sec. zu früh ang.
März 26	*5,6m 76a Canc. Eff. Mil.	Eintr. dunkl. R. 7' A.	9 2 11,6	gute Beob. mit <i>Fraunh.</i> Achs. 85 Vergr.
April 20	*8,9m Gemin.	Eintr. dunkl. R. 2' A.	10 49 50,2	gute Beobachtung.
April 20	*7m Gemin.	Eintr. dunkl. R. 7' A.	10 50 27,2	zweif. Beob. wegen Zittern des Tubus.
Juni 16	*6m 76a Canc.	Eintr. dunkl. R. 10' A.	9 20 29,2	gute Beobachtung.
Juni 20	*9m Leo	Eintr. dunkl. R. 15' A.	9 33 43,1	zweif., weil Stern sehr klein u. schwach.
August 21	*7m Sagitt.	Eintr. dunkl. R. Centr.	10 56 20,0	gute Beob.; Mond in feinem Nebel.
Octbr. 28	*4,5m 1/2 Gem. Bode's Jahrb.	{ Eintr. Licht. R. 13' B. Austr. dunkl. —	9 54 45,5 10 29 31,4	Mondrand sehr wallend.

Schwarzenbrunner.

Schreiben des Herrn Professors *Knorre*, Directors der Sternwarte in Nicolajew, an den Herausgeber.
Nicolajew Sternwarte 1829. März 1. N. St.

Ich nehme mir die Freiheit, Ihnen die im Laufe des vor-
zigen Jahres hieselbst beobachteten Sternbedeckungen mit-
zutheilen:

		Sternzeit.		
		<i>h</i>	<i>m</i>	
1828.	23 Jan.	2 20	52,2	Eintritt 9.
		2 30	30,2	Eintritt 8.
		2 38	2,7	Eintritt 10.
18 April.	0 29	34,5		<i>Reguli</i> Anfang der Sonnenfinsternis etwa 15" zu spät.
14 —	2 8	10,4		Ende der Sonnenfinsternis.
		16,8		<i>Reg.</i>

		Wahre Zeit.		
		<i>h</i>	<i>m</i>	
27 April.	12 0	24,5		Eintr. 6.7
22 Mai.	8 41	43,3		Eintr. 7.
	10 15	39,4		— 9. 10
25 Mai.	11 36	33,1		— 6.7
31 Mai.	13 40	46,8		— 1 p Sagittarii
	15 54	1,9		— Austr. 1 p Sagitt.
		0,7		<i>Reg.</i>
19 Juni.	9 27	21,9		Eintr. 5. 6
23 —	11 21	46,5		— μ Librae
20 Aug.	9 15	17,7		Eintr. 7.
	9 20	29,4		— 8.
21 Aug.	9 17	40,9		— 8.
	10 52	59,9		— 6.7
	12 29	32,1		— 7.
22 Aug.	10 8	3,7		— 8.9.
28 Aug.	11 2	41,6		— 6.7.
28 Aug.	10 28	22,8		— σ Piscium
	11 24	0,0		— Austr. σ Piscium.

		Sternzeit.		
		<i>h</i>	<i>m</i>	
22 Sept.	0 54	57,5		Eintr. 13 Piscium.

Die Breite der neuen Sternwarte finde ich aus einer Menge
Höhen nach *Gauss's* Methode (Mon. Corr. Bd. XVIII. S. 277)
= 46 [58,20] 6 mit dem wahrscheinlichen Fehler 0",84.

Lieutenant *Manganari*, welcher sich schon seit einigen
Jahren mit Küstenvermessungen des schwarzen Meeres be-
schäftigt, hat auf seiner vorjährigen Reise ebenfalls einige
Sternbedeckungen beobachtet, welche ich hier beifüge:

		1829.		Wahre Zeit.
		<i>h</i>	<i>m</i>	
Leuchthurm von Yenikale, nördl. Breite . . . 45° 23' 6",8 östl. Länge v. Paris . 2° 17' 23"		16 Juni	9 19	29,33 Eintr. 8.
Merianopol, bei der Kirche der heil. Georg und Charlampius, Br. 47° 5' 28",5 L. 2° 21' 5		22 Juli	10 7	1,62 — 8.
		20 Aug.	9 45	15,64 — 8.
		21 Aug.	9 41	55,77 — 7.8
			11 24	1,62 — 8.9
Taganrog Festung bei der St. Mi- chaeliskirche Br. 47° 12' 21",1 L. 2° 26' 31"		14 Sept.	7 45	50,90 — 8.

Ich habe meinem Sextanten eine Einrichtung gegeben,
welche ich bei Höhenbeobachtungen von Nutzen finde. Jeder,
der Sternhöhen im künstlichen Horizont gemessen hat, wird
die Erfahrung gemacht haben, daß die Auflindung des durch
die Spiegel reflectirten Bildes einige Uebung erfordert. Zumal
ist es, wenn zwei gleich helle Sterne neben einander stehn,
öfters schwer, Verwechslungen zu vermeiden. Man hat
daher häufig vorgeschlagen, die Höhen der zu beobachtenden
Sterne vorauszurechnen. Dies erfordert eine vorläufige
Kenntniß der Breite, Zeit und Sternposition. Es giebt in-
dessen ein anderes Mittel, bei welchem diese Einschränkungen
nicht statt finden. Aus einer einfachen geometrischen Be-
trachtung folgt nämlich, daß, im Augenblick, wenn die
beiden Bilder sich decken, die Neigung des großen Spiegels
gegen den Horizont gleich der Neigung der Gesichtslinie des
Fernrohrs gegen den kleinen Spiegel, also ein beständiger
Winkel ist. Bringt man daher an der Alhidade eine kleine
Libelle an, welche der Ebene des Gradbogens parallel ist
und den genannten Winkel mit dem großen Spiegel macht,
so wird diese jedesmal einspielen, sobald die beiden Bilder
in der Mitte des Gesichtsfeldes zusammenfallen, und demnach
zur Auflindung des 2ten Bildes dienen können. Man richtet
zuerst das Fernrohr auf das Bild im Horizonte; darauf bringt
man durch Bewegung der Alhidade die Libelle zum Ein-
spielen, ohne dabei das Bild aus der Mitte des Gesichtsfel-
des zu verlieren: alsdann wird, wenn man das Instru-
ment genau vertical hält, das 2te Bild ebenfalls im Gesichts-
felde seyn, oder, wenn dieses nicht der Fall ist, bei einer
sanften Drehung des Instruments um die Axe des Fernrohrs
hineintreten. An einem Spiegelkreise dient eine solche Li-
belle sowohl für die Beobachtung links, als für die Beob-
achtung rechts, wenn nämlich ihre beiden Seiten so nahe
parallel sind, als zu diesem Zweck erfordert wird, und be-
wirkt daher bei häufigen Repetitionen eine wesentliche Zeit-
ersparniß. Ich habe es am bequemsten gefunden, die Li-

belle an den Stift anzuklemmen, welcher die Loupe trägt, indem sie bei dieser Befestigung um eine der Ebene des Grabbogens senkrechte Axe gedreht, und daher mit Leichtigkeit berichtigt werden kann. Dies geschieht, indem man die zwei Bilder der Sonne oder eines Sterns aufeinander, und alsdann bei unverrücktem Stande des Instruments die Libelle zum Einspielen bringt. Es ist übrigens keinesweges meine Meinung, ein solches Niveau zur Messung irdischer

Höhenwinkel vorzuschlagen, wie dieses sonst wohl geheißen ist, indem es ein weit genaueres Mittel giebt, mit einem Spiegelinstrumente und einer berichtigten Uhr das Azimuth und den Elevationswinkel eines irdischen Object's zu bestimmen. Dieses Mittel besteht bekanntlich darin, daß man zu zwei verschiedenen Tageszeiten die Distanz der Sonne von dem Objecte mißt.

K. Knorre.

Druck- oder Schreibfehler.

Astron. Nachr. Nr. 123. S. 43. Z. 3. AR. 345°.

Nr. 145. S. 3. Z. 14. st. $\cos(a-A) \cos(a-A')$

Z. 3. v. u. st. $\sin \delta \cos D - \cos \delta \sin D \cos(a-A)$ lies $\frac{\sin \delta \cos D - \cos \delta \sin D \cos(a-A)}{\sin \pi}$

S. 8. Z. 14. st. p lies r .

Nr. 151. S. 125. Z. 29. Nach „Quadrat“ ist der Punkt wegzulöschen.

S. 127. Z. 21. st. $q'i + q'i'$ lies $q'i + p'i'$

In der Inhaltsanzeige st. Nr. 51 lies Nr. 151.

Theor. mot. corp. coel. p. 223. Z. 10 v. u. st. $D' + x\delta'$ l. $D' + y\delta'$.

Hist. cel. p. 183. st. $11^h 40' 35,5$ l. $21^h 40' 35,5$

Burkhardt tab. de la lune p. 38. Nov. 2^e col. $\begin{matrix} 24 \\ 26 \end{matrix}$ lies $\begin{matrix} 23 \\ 25 \end{matrix}$

K. Knorre.

Beobachtungen des Enckeschen Kometen auf der k. Sternwarte zu Prag.

Monats-tag.	Mittlere Zeit.	Unterschied der Aufsteigung.		Des Kometen scheinbare Aufsteigung.	Noch. Zahl.	Verglichene Sterne.
		Aufw.	Abw.			
1828. Nov. 4	12 6 26"	- 2 19 15"	+ 0 48"	341 57 15"	23 44 20"	1 H. C. Zone 10 Nov. 1795 p. 198
	5 11 24 27	+ 22 38	- 22 45	340 48 59	23 19 34	1 μ Pegasi. Piazzi cat. 1814
	30 7 15 7	+ 2 9 59	- 19 35	314 42 46	9 51 46	1 18 im Delphin Piazzi.
Dec. 2	7 44 3,6	+ 50 51	+ 2 34,5			4 8 ^e unbekannt.
	— 7 54 13,5	+ 14 13,5	+ 30 41	312 46 42,7	8 39 36	2 δ im Adler P.
	5 7 18 52,6	+ 31 35	zweifelhaft + 1 23	309 54 43	6 47 23,5	4 H. C. p. 102. 20 ^h 36' 73"
10	6 30 59,7	+ 43 0	+ 2 30,6	304 52 28	3 29 1	3 H. C. p. 190. 8-9 ^e 17 Sept. 1795.
14	6 25 21	+ 4 31 8	- 1 31	300 27 9	0 33 6	2 y im Adler P.
—	—	30 35	—	300 27 6	—	2 26 Antin. P.
16	5 50 50	- 2 31 17,6	- 17 39	298 5 34	1 1 34	3 δ im Adler P.
16	—	— 47 48	—	298 5 35	—	3 62 im Adler P.

Die anhaltend schlechte Witterung machte es unmöglich mehrere Beobachtungen zu erhalten.
Prag den 8 Januar 1829.

Prof. David.

Originalbeobachtungen des Enckeschen Kometen und Sternbedeckungen auf der Sternwarte zu Kremsmünster. p. 249.

Schreiben des Herrn Professors Anner, Directors der Sternwarte in Nicolajew, an den Herausgeber. p. 261.

Druck und Schreibfehler. p. 263.

Beobachtungen des Enckeschen Kometen auf der k. Sternwarte zu Prag. p. 263.

Altona im April 1828. (Hiebei eine Beilage.)

Ueber die genaue Bestimmung der Brechung und Zerstreung des Lichts in gegebenen Glasarten mit
Hülfe sorgfältig geschliffener Prismen.

Von Herrn Lieutenant *Hartmann* in der Königl. Hannöv. Artillerie.

Lehrsätze aus der Catoptrik und Dioptrik.

1.

Bestimmung der Winkel zwischen leuchtenden Punkten, durch Zurückstrahlung von einer spiegelnden Ebene.

Wenn der Lichtstrahl, welcher von dem leuchtenden Punkte A ausgeht, die spiegelnde Ebene in dem Punkte R trifft; so liegt der zugehörige reflectirte Strahl $R(A)$ in der Ebene, welche durch die Normallinie RP des Incidenzpunktes R und durch den leuchtenden Punkt A gedacht werden kann. Diese Zurückwerfungsebene durchschneidet sich also mit der spiegelnden Ebene in der geraden Linie $s \dots R \dots (s)$ unter rechten Winkeln.

Betrachtet man den Incidenzpunkt R wie den Anfangspunkt eines beliebigen rechtwinkligen Coordinaten-Systems, dessen Axen in der Zurückwerfungsebene $sP(s)$ liegen und bezeichnen $a\epsilon$, (ϵ) in dieser Voraussetzung respective die Coordinaten der Punkte s , (ϵ) , ferner ab , (a) (b) der Reihe nach Coordinaten der Punkte A , (A) ; so kann man

$$\tan \psi = \frac{\epsilon}{a}; \quad \tan \phi = \frac{b}{a}$$

$$\tan(\psi) = \frac{(\epsilon)}{(a)}; \quad \tan(\phi) = \frac{(b)}{(a)}$$

setzen. Hierin bezeichnen ψ , (ψ) die Winkel, welche die Lage der Linien Rs und $R(s)$ gegen die erste Axe des vorausgesetzten Coordinaten-Systems ausmachen und ϕ , (ϕ) bedeuten die Winkel, welche auf die nämliche Art die Lage der Linien RA und $R(A)$ gegen dieselbe Axe des genannten Coordinaten-Systems nennen.

Hierdurch erhält man Gelegenheit, das Gesetz der Zurückstrahlung in der Form

$$\phi - \psi = (\psi) - (\phi)$$

darstellen zu können und es ist hierbei ganz gleichgültig, ob der Winkel (ϕ) oder der Winkel $PR(A)$ den Namen: Reflectionswinkel erhält; weil aber $(\psi) = \psi + 180^\circ$ ist, so findet man aus der obigen Form die Beziehung:

$$\phi + (\phi) = 2\psi + 180^\circ.$$

Sollen die Lichtstrahlen, von einem zweiten leuchtenden Punkte ausgehen, in demselben Incidenzpunkte R und von derselben spiegelnden Ebene zurückgeworfen werden; so liegt der zugehörige reflectirte Strahl $R(B)$ in der Ebene, welche durch dieselbe Normallinie RP und durch den zweiten leuchtenden Punkt B gedacht werden kann und diese zweite Zurückwerfungsebene durchschneidet sich mit der spiegelnden Ebene in der geraden Linie $s \dots R \dots (s)$, unter rechten Winkeln. Nimmt man in dieser zweiten Zurückwerfungsebene $sP(s)$, ein zweites rechtwinkliges Coordinaten-System an, für welches R wieder der Anfangspunkt ist und bezeichnen $a\epsilon$, (ϵ) , (ϵ) , die rechtwinkligen Coordinaten der Punkte s , (s) , ferner ab , (a) , (b) , die rechtwinkligen Coordinaten der Punkte B , (B) ; so kann für diesen Fall zuerst

$$\tan \psi = \frac{\epsilon}{a}; \quad \tan \phi = \frac{b}{a}$$

$$\tan(\psi) = \frac{(\epsilon)}{(a)}; \quad \tan(\phi) = \frac{(b)}{(a)}$$

gesetzt werden; alsdann hat man nach dem Gesetze der Zurückstrahlung

$$\phi - \psi = (\psi) - (\phi)$$

und weil $(\psi) = \psi + 180^\circ$ ist; so wird

$$\phi + (\phi) = 2\psi + 180^\circ.$$

Wenn man nun der spiegelnden Ebene eine solche Lage giebt, daß sie mit der Ebene ARB rechte Winkel bildet, so müssen beide Zurückwerfungen in dieser Ebene geschehen; alsdann kann aber auch die Lage der Punkte A , (A) und B , (B) auf einerlei Coordinaten-System bezogen werden, dessen Axen in der Ebene ARB liegen und dessen Anfangspunkt R ist.

Sollte aber hierbei der zurückgeworfene Strahl $R(B)$ in die Lago der Linie RA kommen, so kann dieses nur durch eine Drehung der spiegelnden Ebene geschehen und die Axe dieser Drehung muß mit der normalen Zurückwerfungs-

ebene ABR rechte Winkel bilden. Dieter Fall wird in den Gleichungen $\Phi + (\Phi) = 2\psi + 180^\circ$; $\Phi + (\Phi) = 2\psi + 180^\circ$ dadurch bezeichnet, daß man $(\Phi) = \Phi$ vorschreibt; alsdann ist

$$\Phi - \Phi = 2(\psi - \psi).$$

Hierin bezeichnet aber $(\Phi - \Phi)$ den Winkel, welchen die erleuchtenden Lichtstrahlen AR und BR in R mit einander bilden und $(\psi - \psi)$ ist der Winkel, welchen die spiegelnde Ebene beschreiben mußte, indem sie sich um die genannte Axa drehte.

Anmerkung. Wenn man auf die unmittelbare Messung sehr kleiner Winkel verzichtet, so folgt aus dem eben angeführten Satze, daß bei den Spiegelkreisen, Sextanten u. s. f. der kleine Spiegel entbehrt werden kann, ohne daß dadurch ein anderer, als der genannte Nachtheil entsteht, vielmehr ist sehr zu hervorheben, ob der Umstand, daß man mit den Spiegelwerkzeugen, wie sie gewöhnlich von Liebhabern der Astronomie und von Seefahrern gebraucht werden, sehr kleine Winkel messen kann, wichtig genug ist, um den großen Lichtverlust dadurch zu entschuldigen, der doch durch Anwendung des kleinen Spiegels immer entstehen muß. Es würde zu weit führen, hier die Form näher zu bezeichnen, welche z. B. die Spiegelkreise ohne kleinen Spiegel erhalten müssen, wenn sie ausserdem auch noch den Forderungen einer größeren Bequemlichkeit im Gebrauche und einer größeren Genauigkeit sowohl in der Construction und Anordnung der einzelnen Theile, als auch der Messungen selbst Genüge leisten sollten *); es mag hinreichend sein, nur noch des Umstandes zu erwähnen, daß die Construction der Spiegelkreise und Sextanten mit kleinem Spiegel mehrere Schriftsteller zu einer solchen Darstellung der, dem Gebrauche dieser Instrumente zum Grunde liegenden, Theorie verleitet hat, welche Anderen zu offenkaren Irrthümern Veranlassung geben konnte. Der kleine Spiegel hat ja durchaus nur den Nutze, die von dem großen Spiegel zurückgeworfenen Lichtstrahlen durch eine zweite Spiegelung in einer anderen und zwar in der Linie zurückzuwerfen; welche man wegen der Construction der übrigen Theile des Instrumentes als bestimmte Ziellinie vorschreiben mußte, weil diese Construction nicht erlaubt, geradezu auf das Spiegelbild zu zielen, welches von dem großen Spiegel hergebracht wird. Bei der Messung der Winkel wird mit Hilfe der Eintheilung nur die Größe der Drehungen bestimmt, welche der große Spiegel beschreibt, um dadurch nacheinander die von den verschiedenen leuchtenden Punkten ausgehenden Strahlen in einer und derselben vorgeschriebenen Linie zurückzuwerfen. Wäre also diese Linie selbst durch die Axa des Fernrohrs vorgestellt, so ist auch der kleine Spiegel unnütz; wenn aber hingegen die Axa des Fernrohrs in der Zurückwerfungsebene eine andere Lage hat, so muß man jener Linie, z. B. durch eine zweite Zurückwerfung, erst die Lage geben; daß sie mit der

Axe des Zielrohrs zusammenfällt. Hieraus sieht man zunächst, daß diese Ablenkung durch Spiegelung freilich am einfachsten durch den einen Spiegel geschehen kann, welcher vorher die kleine genannt wurde; wenn man aber nicht an den Lichtverlust denkt; so hätte die genannte Ablenkung auch eben so gut nach und nach durch Spiegelung von mehr als einer neuen spiegelnden Ebene geschehen können. Es soll durch diese Bemerkung nur darauf hingewiesen werden, daß sich der Gebrauch des kleinen Spiegels durchaus nicht geradezu auf die eigenthümliche Anwendung einer spiegelnden Ebene zur Messung der Winkel zwischen leuchtenden Punkten bezieht, sondern daß die genannten Winkel nur durch die Drehungen des großen Spiegels gemessen werden und daß diejenigen Winkel, welche die Ebene des großen Spiegels mit der des kleinen in bestimmten Fällen bilden mag, bei diesen Messungen auf keinen Fall in nothwendige Betrachtung kommen; hieraus folgt aber, daß das Centrum der Winkelmessung das Centrum der Eintheilung ist und daß deshalb auch die Tafeln, welche von Schriftstellern geodätischer Werke in der irrigen Voraussetzung constructirt wurden, daß mit Spiegelkreisen und Sextanten, z. B. die Winkel der Dreiecke bey trigonometrischen Aufnahmen excentrisch gemessen wurden, ganz unnütz sind.

2.

Verbindung von zwei spiegelnden Ebenen.

Werden zwei sich durchkreuzende spiegelnde Ebenen die beide dem leuchtenden Punkte A zugewendet sind, von der durch den leuchtenden Punkt gedachten gemeinschaftlichen normalen Zurückwerfungsebene in den geraden Linien $s \dots (s)$ und $s' \dots (s')$ geschnitten; so bilden diese Linien den Winkel, unter welchem sich die spiegelnden Ebenen selbst durchschneiden. Der Lichtstrahl, welcher von A ausgehend, jene Linien in ihrem Durchschnittpunkte R trifft, wird von der ersten spiegelnden Ebene nach (A) und von der zweiten spiegelnden Ebene nach (B) zurückgeworfen. Sind also ψ, ψ , die Winkel, welche nach dem Obigen in der genannten gemeinschaftlichen Zurückwerfungsebene die Lage der Linien Rs und Rs' gegen die erste Axa eines vorausgesetzten rechtwinkligen Coordinaten-Systems bezeichnen, dessen Anfangspunkt H ist, ferner auf eine sibielse Axt $\Phi, (\Phi)$ die Lagerwinkel der Linien $RA, R(A)$ und endlich $\Phi, (\Phi)$, die Lagerwinkel der Linien $RA, R(B)$; so hat man zunächst die Beziehungen

$$\Phi + (\Phi) = 2\psi + 180^\circ; \quad \Phi + (\Phi) = 2\psi + 180^\circ$$

und hieraus findet man sogleich

$$(\Phi) - (\Phi) = 2(\psi - \psi).$$

Hierin bezeichnet aber $(\psi - \psi)$ den Winkel, welchen die zweite spiegelnde Ebene mit der ersten bildet und $(\Phi) - (\Phi)$ ist der Winkel, welchen der, von der zweiten spiegelnden Ebene zurückgeworfene Strahl $H(B)$ mit dem Strahle ein-

*) Obgleich in Jazzt der Gebrauch der Reflectionswerkzeuge von keiner Wichtigkeit mehr, wenn man die wenigen Messungen ausnimmt, welche wirklich zur See gemacht werden.

schließt, der von der ersten spiegelnden Ebene zurückgeworfen wurde. *)

Hierbei wurde indessen angenommen, daß der einfalende Lichtstrahl in dem Punkte R von beiden spiegelnden Ebenen gleichzeitig zurückgeworfen wird. Diese Voraussetzung findet also nicht Statt, wenn nur eine von den beiden spiegelnden Ebenen dem leuchtenden Punkte zugewendet ist, die andere aber nicht; in diesem Falle könnte man mit der letzteren eine dritte spiegelnde Ebene in Berührung bringen, welche nicht allein dem leuchtenden Punkte zugewendet ist, sondern auch eine Zurückstrahlung von der Stelle R gestattet.

Wenn aber die Verbindung der beiden spiegelnden Ebenen um die Kante, in welcher sie sich durchschneiden, wie um eine Axe gedreht werden kann, so wird man hierdurch die zweite spiegelnde Ebene auch in eine solche Lage bringen können, daß diese den leuchtenden Lichtstrahl in der Linie RA zurückwerfen muß. Diese Lage der zweiten spiegelnden Ebene wird in den Gleichungen $\varphi + (\varphi) = 2\psi + 180^\circ$; $\varphi + (\varphi) = 2\psi + 180^\circ$ dadurch angezeigt, daß man $\psi_1 = \psi + 180$ setzt und in diese Lage kommt die zweite spiegelnde Ebene nur durch die Beschreibung des Winkels

$$[180^\circ - (\psi_1 - \psi)],$$

weil ψ_1 die ursprüngliche Lage der zweiten spiegelnden Ebene bezeichnet und

$$\psi_1 + [180^\circ - (\psi_1 - \psi)] = \psi + 180^\circ$$

ist.

3.

Weg der Lichtstrahlen durch prismatische Glaskörper.

Die obere Oberfläche, welche man wie die Grenze von zwei verschiedenen brechenden Mitteln betrachten kann, heißt brechende Ebene. Der Durchschnittspunkt R der brechenden Ebene mit der geraden Linie RA , welche die Lage des Lichtstrahls anzeigt, die er in dem ersten brechenden Mittel hat, wird in dem folgenden der Incidenzpunkt genannt. In dem zweiten Mittel wird der Lichtstrahl durch die Brechung von seinem Wege RA nach B oder (B) abgelenkt, je nachdem das zweite Mittel mehr oder weniger dicht ist, als das erste. Der gebrochene Lichtstrahl liegt in der Ebene, welche man sich durch die Normallinie RP des Incidenzpunktes R und durch die Linie RA gelegt denken kann und deshalb heißt diese normale Ebene die Brechungsebene.

*) Wenn also $(\psi_1 - \psi) = 90^\circ$, so ist $(\varphi_1 - \varphi) = 180^\circ$; in diesem Falle wird die Linie $R(B)$ die Verlängerung von $(A)R$ und umgekehrt; diesen Satz benutzte der Herr Hrnströte mit 2 Spiegeln.

Wenn in dieser Ebene ein System rechtwinklig verbundener Coordinaten-Axen vorausgesetzt wird, so kann die Lage der Punkte R , P und A , B respective durch die rechtwinkligen Coordinaten x, y , a, b und a, b , $(a)(b)$ angegeben werden. Setzt man also

$$\tan \psi = \frac{y - y_1}{a - x_1}; \quad \tan \varphi = \frac{b - y_1}{a - x_1}; \quad \tan(\varphi) = \frac{(b) - y_1}{(a) - x_1}$$

so sind ψ , φ , (φ) der Reihe nach die Winkel, welche die Lage der Linien RP , RA , RB gegen die erste Axe des angenommenen Coordinaten-Systems ausprechen, und $(\varphi - \psi)$, $((\varphi) - \psi)$ sind die Winkel, welche beziehungsweise die Linien RA , RB mit der Normallinie RP bilden; die Linien RA und RB bezeichnen aber respective die Lage des einfallenden und gebrochenen Strahls. Ist das zweite Mittel dichter als das erste und hat der Incidenzwinkel $(\varphi - \psi)$ die Form $(180^\circ - \omega)$ worin ω einen Winkelwerth bedeutet, der kleiner als 90° ist, so wird der zugehörige Refractionswinkel $((\varphi) - \psi)$ größer; ist hingegen das zweite Mittel weniger dicht, als das erste und hat der Incidenzwinkel die Form $(180^\circ - \omega)$ so wird der zugehörige Refractionswinkel kleiner als der Incidenzwinkel. Das Gesetz für die Brechung des Lichtstrahls in nicht kristallisierten durchsichtigen Mitteln von verschiedener Dichtigkeit kann nun in der Form

$$(m) \sin(\varphi - \psi) = m \sin((\varphi) - \psi)$$

dargestellt werden, und hierin sind die Zahlen m , (m) für jede zusammengehörigen Werthe der Winkel $(\varphi - \psi)$, $((\varphi) - \psi)$ dieselben, so lange der Lichtstrahl durch die beiden Mittel geht, für welche diese Zahlen bestimmt wurden.

Trifft der gebrochene Lichtstrahl RB auf seinem Wege eine zweite brechende Ebene in dem Punkte R_1 , so kann man auf eine ähnliche Art durch die Linie R_1A_1 die Lage des Lichtstrahls vorstellen, die er in dem zweiten brechenden Mittel hat; wird dieser Lichtstrahl in dem Incidenzpunkte R_1 in dem dritten Mittel nach B_1 abgelenkt, so liegt der gebrochene Strahl R_1B_1 in der Ebene, welche durch die Normallinie R_1P_1 des Incidenzpunktes R_1 und durch die Linie R_1A_1 geht. Setzt man in dieser zweiten Brechungsebene ein zweites System rechtwinkligen Coordinaten voraus und beziehen x_1, y_1 , a_1, b_1 , $(a_1), (b_1)$ der Reihe nach die rechtwinkligen Coordinaten der Punkte R_1 , P_1 , A_1 , B_1 ; so bedeuten, nach Anleitung des Obigen, in den Gleichungen

$$\tan \psi_1 = \frac{y_1 - y_2}{a_1 - x_1}; \quad \tan \varphi_1 = \frac{b_1 - y_2}{a_1 - x_1}; \quad \tan(\varphi)_1 = \frac{(b_1) - y_2}{(a_1) - x_1}$$

der Reihe nach ψ_1 , φ_1 , $(\varphi)_1$ die Winkel, welche die Lage der Linien R_1P_1 , R_1A_1 , R_1B_1 gegen die erste Axe von dem vorausgesetzten zweiten Coordinaten-System ausprechen und $(\varphi_1 - \psi_1)$, $((\varphi)_1 - \psi_1)$ sind die Winkel, welche die

Linien R_1A_1 , R_1B_1 mit der Normallinie RP bilden. Das Gesetz für die Brechung in dem zweiten Mittel kann also in der Form

$$(m_1) \sin(\varphi_1 - \psi_1) = m_1 \sin((\varphi) - \psi_1)$$

geschrieben werden und hierin darf man $m_1 = (m)$ annehmen.

Fällt die zweite Brechungsebene mit der ersten zusammen, so kann man die Lage der genannten Punkte auf den Anfangspunkt von einem und demselben Coordinaten-System beziehen, geht in diesem Falle der gebrochene Strahl RB durch den Incidenzpunkt R_1 der zweiten brechenden Fläche, so wird er sich in derselben Ebene fortpflanzen und nur in dem zweiten Incidenzpunkte eine Brechung erleiden, durch welche er in der genannten Ebene die Lage R_1B_1 annimmt; weil aber der gebrochene Strahl RB alsdann für die zweite brechende Ebene wie der einfallende Strahl betrachtet werden muß, so wird $\varphi = (\varphi)$ sein und wenn das dritte brechende Mittel dem ersten gleich ist, so darf man auch $(m_1) = m$ voraussetzen; man hat also für diesen Fall

$$(m) \sin(\varphi - \psi) = m \sin((\varphi) - \psi)$$

$$m \sin((\varphi) - \psi_1) = (m) \sin((\varphi_2) - \psi_1).$$

Wenn die brechenden Ebenen z. B. Seitenflächen eines prismatischen Glaskörpers sind, so nennt man den Winkel, welchen die beiden auf einander folgenden brechenden Ebenen mit einander bilden, den brechenden Winkel. Die Brechungsebene durchschneidet sich mit den Seitenflächen des prismatischen Glaskörpers in zwei geraden Linien, welche den brechenden Winkel darstellen; der Scheitelpunkt dieses Winkels ist der Durchschnittspunkt der Kante des brechenden Winkels mit der Brechungsebene und man sieht, daß der Winkel, welchen die Normallinien der beiden Incidenzpunkte mit einander einschließen, dem brechenden Winkel gleich ist. Sind XY die rechtwinkligen Coordinaten von dem Scheitelpunkte des brechenden Winkels, so kann man

$$\tan \nu = \frac{y-Y}{x-X}; \quad \tan \nu_1 = \frac{y_1-Y}{x_1-X}$$

setzen; alsdann ist der brechende Winkel $\nu_1 - \nu = \psi_1 - \psi$, weil aber $\psi - \nu = 90^\circ = \psi_1 - \nu_1$ ist, so hat man

$$(m) \cos(\varphi - \psi) = m \cos((\varphi) - \nu)$$

$$m \cos((\varphi) - \nu_1) = (m) \cos((\varphi_2) - \nu_1).$$

4.

Brechungsvermögen der brechenden Mittel.

Wird in den Gleichungen

$$(m) \sin(\varphi - \psi) = m \sin((\varphi) - \psi)$$

$$m \sin((\varphi) - \psi_1) = (m) \sin((\varphi_2) - \psi_1)$$

das Brechungsverhältniß $\frac{m}{(m)}$ durch n bezeichnet, so erhält man

$$\sin(\varphi - \psi) = n \sin((\varphi) - \psi)$$

$$n \sin((\varphi) - \psi_1) = \sin((\varphi_2) - \psi_1)$$

bedeutet aber $w = \psi_1 - \psi$ den brechenden Winkel eines prismatischen Glaskörpers, so ist

$$\sin(\varphi - \psi) = n \sin((\varphi) - \psi)$$

$$n \sin((\varphi) - \psi - w) = \sin((\varphi_2) - \psi - w)$$

Man kann also, wenn der Incidenzwinkel $(\varphi - \psi)$ und das Brechungsverhältniß gegeben wird, mit Hülfe dieser Gleichungen den Winkel $((\varphi) - \psi)$ berechnen; ist aber ausserdem φ gegeben, so findet man zuerst ψ und erhält dann durch jene Gleichungen den Werth von (φ_2) , indessen wurde hier vorausgesetzt, daß sich die wahre Größe der Winkel $((\varphi) - \psi)$, $((\varphi) - \psi_1)$ und $((\varphi_2) - \psi_1)$ mit Hülfe ihrer Sinuszahlen erkennen läßt. Der Unterschied $(\varphi_2) - \varphi = \Delta\varphi$ zeigt alsdann, wie groß der Winkel ist, um welchen der einfallende Strahl durch die Brechung in der Brechungsebene von seiner ursprünglichen Lage abgelenkt wird; man erkennt aber leicht aus den obigen Gleichungen, daß der Werth dieses Winkels, bei einerlei Werthe des brechenden Winkels w , noch von dem Brechungsverhältnisse n und von dem besonderen Werthe des Incidenzwinkels abhängig ist.

Die vorübergehende Brechung kann auch mit Hülfe der Gleichungen

$$\cos(\varphi - \nu) = n \cos((\varphi) - \nu)$$

$$n \cos((\varphi) - \nu_1) = \cos((\varphi_2) - \nu_1)$$

bewerkstelligt werden. Hierin bezeichnet $(\varphi - \nu)$ den Winkel, welchen der erste einfallende Strahl mit der ersten brechenden Fläche bildet; verändert dieser Winkel seinen Werth um die Größe $d(\varphi - \nu)$, so kann man die davon abhängigen Veränderungen der übrigen Winkel $((\varphi) - \nu)$, $((\varphi) - \nu_1)$ und $((\varphi_2) - \nu_1)$ der Reihe nach durch $d((\varphi) - \nu)$, $d((\varphi) - \nu_1)$ und $d((\varphi_2) - \nu_1)$ bezeichnen und wenn man

$$\nu_1 = \nu + w; \quad (\varphi_2) = \varphi + \Delta\varphi$$

setzt; so ist, weil der brechende Winkel w hierbei seine Größe unverändert behält,

$$d((\varphi) - \nu_1) = d((\varphi) - \nu); \quad d((\varphi_2) - \nu_1) = d((\varphi) - \nu) + d(\Delta\varphi).$$

Hiernach findet man aus den Gleichungen

$$\cos(\varphi - \nu + d(\varphi - \nu)) = n \cos[(\varphi) - \nu + d((\varphi) - \nu)]$$

$$n \cos((\varphi) - \nu_1 + d((\varphi) - \nu_1)) = \cos((\varphi_2) - \nu_1 + d((\varphi_2) - \nu_1)),$$

wenn die Veränderungen $d(\varphi - \nu)$... sehr klein vorausgesetzt werden, die Beziehungen

$$\sin(\varphi - \nu) d'(\varphi - \nu) = n \sin((\varphi) - \nu) d((\varphi) - \nu)$$

$$n \sin((\varphi) - \nu_1) d'((\varphi) - \nu_1) = \sin((\varphi_2) - \nu_1) d((\varphi) - \nu) + \sin((\varphi_2) - \nu_1) d(\Delta\varphi).$$

Substituiert man den Werth von $d((\varphi) - \nu)$, welchen man aus der ersten Gleichung entlehnen kann, in die zweite; so wird

$$d(\Delta\phi) = \left(\frac{\sin(\phi - \nu)}{\sin((\phi) - \nu)} \cdot \frac{\sin((\phi) - \nu)}{\sin((\phi) - \nu)} - 1 \right) d(\phi - \nu).$$

Hieraus sieht man, daß $d(\Delta\phi)$ nur dann gleich Null wird, wenn

$$\frac{\sin(\phi - \nu)}{\sin((\phi) - \nu)} = \frac{\sin((\phi) - \nu)}{\sin((\phi) - \nu)}$$

ist; weil aber die Werthe der Sinuszahlen von den Winkeln $(\phi - \nu)$, $((\phi) - \nu)$ und $((\phi) - \nu)$, bei einerlei brechendem Winkel ω und einerlei Werthe des Brechungsverhältnisses n nur von dem Werthe der Sinuszahl des Winkels $(\phi - \nu)$ abhängig sind; so erkennt man leicht, daß es nur einen einzigen Werth der Sinuszahl des Incidenzwinkels geben kann, für welchen der Ablenkungswinkel unveränderlich, d. i. $d(\Delta\phi) = 0$ wird. Wollte man z. B. $(\phi - \nu) = 90^\circ$ setzen,

so würde zwar $(\phi - \nu) = 90^\circ$ und daher $\frac{\sin(\phi - \nu)}{\sin((\phi) - \nu)} = 1$ sein;

weil aber alsdann $\sin((\phi) - \nu)$ von $\sin((\phi) - \nu)$ durchaus verschieden ist; so lange ω nicht gleich Null wird, so kann auch in diesem Falle $d(\Delta\phi)$ nicht gleich Null werden. Wird hingegen sowohl $\sin((\phi) - \nu) = \sin((\phi) - \nu)$, als auch $\sin(\phi - \nu) = \sin((\phi) - \nu)$, gesetzt, so muß auch $d(\Delta\phi) = 0$ sein; alsdann bildet aber der erste gebrochene Strahl mit der ersten und zweiten brechenden Fläche gleiche Winkel und hieraus folgt sogleich

$$\omega = 2((\phi) - \psi) = 2(\psi - (\phi)); \Delta\phi = 2(\phi - \phi) = 2((\phi) - \phi),$$

man hat also

$$\sin \frac{1}{2}(\omega - \Delta\phi) = \sin(\phi - \psi),$$

oder man findet, weil $\sin(\phi - \psi) = n \sin((\phi) - \psi)$ ist, den constanten Ablenkungswinkel $\Delta\phi$ durch die Gleichung

$$\sin \frac{1}{2}(\omega - \Delta\phi) = n \sin \frac{1}{2}\omega.$$

Bezeichnet $\Delta\phi$ diesen constanten Ablenkungswinkel für ein brechendes Prisma, dessen Brechungsverhältnis n ist und bedeutet N das Brechungsverhältnis für ein zweites Prisma mit demselben brechenden Winkel; so kann der constante Ablenkungswinkel dieses zweiten Prismas dem Winkel $\Delta\phi$ nicht gleich sein, sobald N und n nicht gleich sind. Ist hierbei der Ablenkungswinkel des zweiten Prismas größer, als der des ersten; so hat das zweite Prisma ein größeres Brechungsvermögen, als das erste und in diesem Falle wird auch N größer als n sein.

5.

Farbenzerstreuungvermögen der brechenden Mittel.

Bisher wurde vorausgesetzt, daß die einfallenden Lichtstrahlen in der Brechungsebene durch die Brechung von ihrem ursprünglichen Wege nach einerlei Gesetze abgelenkt würden. Wenn aber der Lichtstrahl, welcher die brechende Oberfläche eines Glaskörpers trifft, von glänzend weißen Gegenständen ausstrahlt, so wird er durch die Brechung nicht

allein von seinem ursprünglichen Wege abgelenkt, sondern auch in eine Menge einzelner Strahlen zertrüet, von denen einige vorzugsweise die Empfindung der bekannten Farben des Regenbogens hervorbringen. Diese Erscheinung, welche stets die Brechung des weißen Lichtes begleitet, obgleich sie sich dem bloßen Auge nicht immer bemerklieh macht, wird die Farbenzerstreuung genannt.

Bezeichnet R den Incidenzpunkt des weißen Lichtstrahls R_0 , so bringt von den farbigen Lichtstrahlen $R_1, R_2, \dots, R_6, R_7$ der erstere die Empfindung der rothen Farbe, der letztere aber die der violetten hervor; der rothe Theil des zusammengesetzten Lichtstrahls wird weniger als der violette von seinem anfänglichen Wege abgelenkt, als die Brechbarkeit des rothen Lichtes ist geringer als die des violetten. Ist also n das Brechungsverhältnis für die rothen Strahlen, so kann man das für die violetten durch $(n+d)n$ bezeichnen und wenn bei einem zweiten brechenden Mittel das Brechungsverhältnis für die rothen Strahlen N ist, so kann das Brechungsverhältnis für die zugehörigen violetten Strahlen $(N+dN)$ gesetzt werden. Der Unterschied in der Brechbarkeit der rothen und violetten Strahlen ist für das erste Mittel dn und für das zweite dN ; wenn dN größer ist als dn , so hat das zweite Mittel ein größeres Farbenzerstreuungvermögen.

Die Gleichungen

$$\begin{aligned} \sin(\phi - \psi) &= n \sin((\phi) - \psi) \\ n \sin((\phi) - \psi) &= \sin((\phi) - \psi) \end{aligned}$$

zeigen, daß die farbigen Lichtstrahlen nach der letzten Brechung nur dann parallel werden können, wenn $\psi = \phi$ gesetzt wird; alsdann wird aber auch der brechende Winkel des prismatischen Glaskörpers gleich Null sein. Ist dieses hingegen nicht der Fall; so kann nach der letzten Brechung jeder von den nicht parallelen farbigen Strahlen für sich die Empfindung einer besonderen Farbe hervorbringen. Wenn durch die obigen Gleichungen der Weg für die rothen Strahlen angedeutet wird, so kann man den Weg der zugehörigen violetten Strahlen in den Gleichungen

$$\begin{aligned} \sin(\phi - \psi) &= (n+d)n \sin((\phi) + d(\phi) - \psi) \\ (n+d)n \sin((\phi) + d(\phi) - \psi) &= \sin((\phi) + d(\phi) + \psi) \end{aligned}$$

vorstellen.

6.

Berechnung des Brechungs-Verhältnisses.

Ist der brechende Winkel ω eines prismatischen Glaskörpers gegeben, so kann man, weil nahe $2 \sin(\phi - \psi) = 3 \sin((\phi) - \psi)$ ist, wenn der Lichtstrahl aus Luft in Glas übergeht, für n den Näherungswert $\frac{3}{2}$ setzen und also auch durch die Gleichung

$$2 \sin \frac{1}{2}(\omega - \Delta\phi) = 3 \sin \frac{1}{2}\omega$$

einen Näherungswert für $\frac{1}{2}(\omega - \Delta\phi)$ berechnen, durch welchen man ferner, weil $\omega - \Delta\phi = 2(\phi - \psi)$ ist, einen Näherungswert für den Incidenzwinkel $(\phi - \psi)$ erhält. Giebt man nun der einen Seitenfläche des brechenden Winkels gegen den einfallenden Lichtstrahl die hierin vorgeschriebene Lage, so wird man sich auch die Lage des letzten gebrochenen Strahls auf irgend eine Art bemerken können. Man verändert alsdann z. B. durch eine Drehung des Prismas um die Kante des brechenden Winkels, den Incidenzwinkel so lange nach und nach um eine geringe Größe, bis eine sehr geringe Vergrößerung oder eine sehr geringe Verkleinerung des Incidenzwinkels keine bemerkbare Veränderung in der Lage des letzten gebrochenen Strahls mehr hervorbringt, d. h. bis der Ablenkungswinkel constant wird. Hat man dieses Ziel erreicht, so wird der Winkel $\Delta\phi$ durch unmittelbare Messung bestimmt und mit Hilfe dieses constanten Ablenkungswinkels erhält man das Brechungsverhältniß n durch die Gleichung

$$n = \frac{\sin \frac{1}{2}(\omega - \Delta\phi)}{\sin \frac{1}{2}\omega}$$

Ist hingegen der Ablenkungswinkel nicht constant, so findet man aus den Gleichungen

$$\begin{aligned} \sin(\phi - \psi) &= n \sin((\phi) - \psi) \\ n \sin((\phi) - \psi) &= \sin((\phi) - \psi) \end{aligned}$$

zunächst die Beziehung

$$\frac{\sin((\phi) - \psi)}{\sin((\phi) - \psi)} = \frac{\sin((\phi) - \psi)}{\sin((\phi) - \psi)}$$

und hieraus erhält man leicht

$$\frac{\sin((\phi) - \psi) + \sin((\phi) - \psi)}{\sin((\phi) - \psi) - \sin((\phi) - \psi)} = \frac{\sin(\phi - \psi) + \sin((\phi) - \psi)}{\sin(\phi - \psi) - \sin((\phi) - \psi)}$$

welches mit

$$\frac{\tan(\phi - \psi) + \tan(\phi - \psi)}{\tan(\phi - \psi) - \tan(\phi - \psi)} = \frac{\tan \frac{1}{2}(\phi - \psi + (\phi) - \psi)}{\tan \frac{1}{2}(\phi - \psi - ((\phi) - \psi))}$$

gleichbedeutend ist. Macht man noch

$$\psi = \phi + \omega; \quad (\phi) = \phi + \Delta\phi$$

so wird durch die Gleichung

$$\tan(\phi - \psi - \frac{\omega}{2}) = \frac{\tan((\phi) - \psi) - \frac{1}{2}(\omega - \Delta\phi)}{\tan \frac{1}{2}(\omega - \Delta\phi)}$$

der Winkel $((\phi) - \psi)$ bekannt und weil $(\phi) - \psi = (\phi) - \psi - \omega$, ferner $(\phi) - \psi = \phi - \psi - (\omega - \Delta\phi)$ ist; so findet man aus den obigen Gleichungen

$$n = \frac{\sin(\phi - \psi)}{\sin((\phi) - \psi)}; \quad n = \frac{\sin(\phi - \psi - (\omega - \Delta\phi))}{\sin((\phi) - \psi - \omega)}$$

Aus den Gleichungen

$$\begin{aligned} \sin(\phi - \psi) &= (n + dn) \sin((\phi) + d(\phi) - \psi) \\ (n + dn) \sin((\phi) + d(\phi) - \psi) &= \sin((\phi) + d(\phi) - \psi) \end{aligned}$$

erhält man auf eine ähnliche Art

$$\begin{aligned} \tan(\phi + d(\phi) - \psi - \frac{\omega}{2}) \\ = \frac{\tan((\phi) - \psi) - \frac{1}{2}(\omega - \Delta\phi) + \frac{1}{2}d(\phi)}{\tan \frac{1}{2}(\omega - \Delta\phi - d(\phi))} \end{aligned}$$

und

$$\begin{aligned} n + dn &= \frac{\sin(\phi - \psi)}{\sin((\phi) + d(\phi) - \psi)}; \\ (n + dn) &= \frac{\sin((\phi) - \psi) - (\omega - \Delta\phi) - d(\phi)}{\sin((\phi) + d(\phi) - \psi + \omega)} \end{aligned}$$

Wenn aber die Ablenkung für die Strahlen constant ist, welche zu dem Brechungsverhältniß n gehören, so hat man $(\phi) - \psi = \frac{\omega}{2}$ und $\phi - \psi = \frac{1}{2}(\omega - \Delta\phi)$; in diesem Falle wird

$$\tan d(\phi) = \frac{\tan \frac{1}{2}d(\phi), \tan \frac{\omega}{2}}{\tan \frac{1}{2}(\omega - \Delta\phi - d(\phi))}$$

und endlich

$$\begin{aligned} n + dn &= \frac{\sin \frac{1}{2}(\omega - \Delta\phi)}{\sin(\frac{\omega}{2} + d(\phi))}; \\ n + dn &= \frac{\sin(\frac{1}{2}(\omega - \Delta\phi) - d(\phi))}{\sin(\frac{\omega}{2} - d(\phi))} \end{aligned}$$

Anmerkung. Aus den Bedingungen

$$\begin{aligned} \omega &= 2((\phi) - \psi) = 2(\psi - (\phi)) \\ \Delta\phi &= 2((\phi) - \psi) = 2((\phi) - \phi) \end{aligned}$$

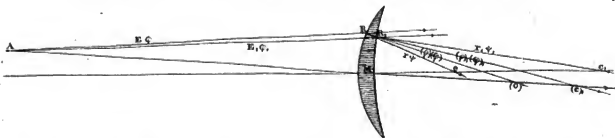
für die constante Ablenkung erhält man

$$\omega - \Delta\phi = 2(\phi - \psi); \quad \omega + \Delta\phi = 2(\psi - \phi)$$

Diese Gleichungen zeigen, daß man dem Prisma zwei verschiedene Stellungen gegen den einfallenden Strahl geben kann, für welche die Ablenkung constant werden muß; bei der ersten Stellung des Prismas fallen die erleuchtenden Strahlen auf die erste von den Seitenflächen des brechenden Winkels und bei der zweiten Stellung treffen sie die zweite Seitenfläche. In dem ersten Falle erhält man nach dem Obigen als constanten Ablenkungswinkel den Werth $-\Delta\phi$ und im zweiten Falle wird man alsdann $+\Delta\phi$ für den Werth des constanten Ablenkungswinkels finden; hieraus folgt, daß die beiden Strahlen, welche respective für die beiden Aufstellungen die letzten gebrochenen Strahlen sind, um das Doppelte des constanten Ablenkungswinkels von einander abweichen.

Hartmann.

Ueber die Berechnung der Brennweite der verschiedenen dioptrischen Gläser



1.

Man kann die Axe eines dioptrischen Glases wie die erste von den Axen eines rechtwinkligen Coordinaten-System und einen bestimmten Punkt in der Axe dieses Glases wie den Anfangspunkt der rechtwinkligen Coordinaten betrachten, durch welche man die Lage des strahlenden Punktes, der Mittelpunkte der brechenden Flächen, der Vereinigungspunkte u. s. f. darstellen will. Wird hier zuerst ein convergirendes Glas angenommen, dessen Mitte M ist, so kann die zugehörige zweite Axe der genannten rechtwinkligen Coordinaten in der Ebene vorausgesetzt werden, welche man sich durch die Axe des convergirenden Glases und durch den strahlenden Punkt A denkt, dessen (endliche) Entfernung von der Mitte des convergirenden Glases größer als die Brennweite dieses Glases sein soll. Wenn nun sowohl der Winkel, welchen die Linie AM mit der Axe des convergirenden Glases bildet, als auch die Dicke des convergirenden Glases in der Mitte unbestimmbar klein ist, so darf man in der geraden Linie, welche von A aus durch M führt, die Lage des Lichtstrahls darstellen, der durch die Mitte des convergirenden Glases geht.

2.

Werden die rechtwinkligen Coordinaten der Incidenzpunkte R, R_1 der Lichtstrahlen x, y , bezogen auf die rechtwinkligen Coordinaten des strahlenden Punktes A , so kann man die Gleichungen

$$x = a + E \cos \phi; \quad x_1 = a + E_1 \cos \phi_1 \\ y = \xi + E \sin \phi; \quad y_1 = \xi + E_1 \sin \phi_1$$

bilden; wenn ferner a, b, a_1, b_1 die rechtwinkligen Coordinaten der Mittelpunkte c, c_1 der brechenden Flächen des convergirenden Glases bedeuten, so kann man

$$a = x + r \cos \psi; \quad a_1 = x_1 + r_1 \cos \psi_1 \\ b = y + r \sin \psi; \quad b_1 = y_1 + r_1 \sin \psi_1$$

setzen. Erhält aber der einfallende Strahl AR durch die erste Brechung in R eine solche Lage, daß der gebrochene Strahl, wenn er nicht wieder gebrochen würde, die Linie AM in dem Punkte (c) , dessen rechtwinklige Coordinaten $(a) (b)$ sind, durchschneiden würde und bezeichnen $(a)_1 (b)_1$ die rechtwinkligen Coordinaten des Punktes $(c)_1$, in welchem der in R_1 gebrochene Strahl nach der zweiten und letzten Brechung mit dem durch M gehenden Strahl vereinigt; so kann man die Beziehungen

$$(a) = x + (p) \cos (\phi) \quad (a)_1 = x_1 + (p)_1 \cos (\phi)_1 \\ (b) = y + (p) \sin (\phi) \quad (b)_1 = y_1 + (p)_1 \sin (\phi)_1$$

aufstellen.

3.

Wird nun die Lage der Punkte A, R, c gegeben, so findet man zunächst

$$\tan \phi = \frac{y - \xi}{x - a}; \quad \tan \psi = \frac{y - b}{x - a}$$

und wenn n das Brechungsverhältniß ist, so erhält man aus der Gleichung

$$\sin (\psi - \phi) = n \sin (\psi - (\phi))$$

den Werth des Winkels (ϕ) ; ist ferner die Entfernung des Incidenzpunktes R_1 vom dem Incidenzpunkte R bekannt, so können jetzt auch die Coordinaten x_1, y_1 gefunden werden, alsdann ist

$$\tan \phi_1 = \frac{y_1 - \xi_1}{x_1 - a_1}; \quad \tan \psi_1 = \frac{y_1 - b_1}{x_1 - a_1}$$

und aus der Gleichung

$$n \sin (\psi_1 - (\phi)_1) = \sin (\psi_1 - (\phi)_1)$$

erhält man den Werth des Winkels $(\phi)_1$.

Wenn noch XY die rechtwinkligen Coordinaten der Mitte M des convergirenden Glases sind, so kann man ferner die Gleichungen

$$X = a + p \cos P; \quad Y = \xi + p \sin P \\ (a)_1 = a + p_1 \cos P; \quad (b)_1 = \xi + p_1 \sin P \\ (a)_1 = X + p_1 \cos P; \quad (b)_1 = Y + p_1 \sin P$$

bilden, wodurch

$$P = p + \Re$$

wird; alsdann erhält man aber aus dem Dreiecke $AR(c)_1$ die Beziehung

$$P = \frac{E_1}{\sin ((\phi)_1 - P)} \sin ((\phi)_1 - \phi_1).$$

4.

Liegt der strahlende Punkt A in der Axe des convergirenden Glases, so ist $P = 0$; für diesen Fall wird

$$P = \frac{E_1}{\sin ((\phi)_1)} \sin ((\phi)_1 - \phi_1)$$

ist aber die Entfernung des strahlenden Punktes von der Mitte des Glases sehr groß, so darf man $E = E_1$ und $\phi_1 = \phi$ setzen, in diesem Falle wird

$$P = \frac{E}{\sin ((\phi)_1)} \sin ((\phi)_1 - \phi).$$

Hierbei wurde also vorausgesetzt, daß die Dicke des convergirenden Glases selbst in der Mitte unbestimmbar klein ist; findet dieses aber Statt und fallen die Strahlen nahe genug bei der Mitte der ersten brechenden Fläche ein, so darf

man auch $\Re = (\varphi)_1$ und $E = p$ setzen. Hieraus folgt zunächst

$$\Re + E = \frac{\sin((\varphi)_1 - \varphi)}{\sin(\varphi)_1} E; \quad y_1 = \Re \sin(\varphi)_1;$$

wenn indessen $F = 0$ ist; so hat man

$$y = r \sin \psi; \quad y_1 = r_1 \sin \psi_1;$$

es darf also $y_1 = y$ oder

$$y = \Re \sin(\varphi)_1$$

und ferner

$$\sin \psi - \sin \psi_1 = \left(\frac{1}{r} - \frac{1}{r_1}\right) y$$

gesetzt werden, sobald $E_1 = E$ und $\varphi_1 = \varphi$ angenommen wird.

5.

Die obigen Voraussetzungen erlauben aber ferner, δ als man für die Sinusverhältnisse der Winkel ψ und φ , $(\varphi)_1$ die gleichnamigen Bogen setzen darf; man hat also

$$\Re + E = \frac{(\varphi)_1 - \varphi}{(\varphi)_1} E; \quad \psi - \psi_1 = \left(\frac{1}{r} - \frac{1}{r_1}\right) y$$

und daher folgt aus den Gleichungen

$$\sin(\psi - \varphi) = n \sin(\psi - (\varphi)_1)$$

die Beziehung

$$(\varphi)_1 - \varphi = (n-1) \left(\frac{1}{r} - \frac{1}{r_1}\right) y.$$

Substituiert man diesen Werth von $(\varphi)_1 - \varphi$ in die Gleichung für $\Re + E$, so hat man

$$\frac{\Re + E}{E} (\varphi)_1 = (n-1) \left(\frac{1}{r} - \frac{1}{r_1}\right) y$$

und weil nach dem Obigen $(\varphi)_1 = \frac{\Re}{E}$ ist; so findet man die Entfernung des letzten Vereinigungspunktes von der Mitte des convergirenden Glases durch die Berechnung der Gleichung

$$\Re = \frac{1}{(n-1) \frac{r_1 - r}{r_1 r} - \frac{1}{E}}.$$

6.

Der Werth des Gliedes $\frac{1}{E}$ wird um so kleiner werden müssen, je größer die Entfernung E ist; wenn also E so groß vorausgesetzt wird, daß die Strahlen, welche zunächst bei der Mitte der ersten brechenden Oberfläche einfallen, wie parallel betrachtet werden dürfen; so wird man auch $\frac{1}{E}$ gleich Null setzen können; alsdann findet man die Brennweite $[b]$ dieser Strahlen durch die Gleichung

$$[b] = \frac{1}{(n-1) \frac{r_1 - r}{r_1 r}}.$$

Hierin kann $[b]$ sowohl die Brennweite eines convex-concaven, als auch die eines concav-convexen Glases vorstellen; für das letztere ist der Halbmesser r_1 kleiner als r , man wird also für die Brennweite des concav-convexen Glases einen negativen Werth finden.

7.

Bei diesen beiden dioptrischen Gläsern liegen aber die Mittelpunkte der brechenden Oberflächen auf einerlei Seite

von der einen oder der andern dieser Oberflächen; bei den doppelt-convexen oder doppelt-concaven Gläsern ist dieses nicht der Fall, für diese liegen die Mittelpunkte der brechenden Oberflächen auf entgegengesetzten Seiten. Wollte man die daraus entspringende entgegengesetzte Lage der Halbmesser andeuten, welche mit der Axe der dioptrischen Gläser zusammenfallen; so könnte man in den obigen Gleichungen bei der Berechnung der Brennweite eines doppelt-convexen Glases den Werth des Halbmessers r negativ setzen, alsdann erhält man die Brennweite der doppelt-convexen Gläser durch die Gleichung

$$(b) = \frac{1}{n-1} \frac{r_1 r}{r_1 + r}.$$

Für das doppelt-concave Glas müßte also in der obigen Gleichung der Werth des Halbmessers r negativ gesetzt werden, hierdurch verändert sich nur das Zeichen des Werthes von (b) in der zuletzt gefundenen Form.

Giebt man der Gleichung für die Brennweite des convex-concaven (Meniscus-) Glases die Gestalt

$$[b] = \frac{1}{(n-1)} r \frac{r_1}{r_1 - r};$$

so sieht man, daß die Berechnung der unvollständigen Gleichung $b = \frac{1}{n-1} r$ einen Näherungswert für die Brennweite des Meniscus darstellt, dessen concave Seite sehr flach ist, weil der Factor $\frac{r_1}{r_1 - r}$ um so näher gleich 1 sein wird, je kleiner r in Vergleichung mit r_1 ist. Hieraus erkennt man ferner, daß

$$b = \frac{1}{n-1} r$$

die Brennweite eines plan-convexen Glases ist, denn für dieses darf wirklich der Factor $\frac{r_1}{r_1 - r} = 1$ gesetzt werden.

Bei dem plan-concaven Glase hat der Halbmesser r eine entgegengesetzte Lage, wenn man also in dieser letzten Gleichung den Werth von r negativ setzt, so wird hierdurch nur das Zeichen von b verändert.

Anmerkung. Aus der Vergleichung der Werthe

$$\Re = \frac{1}{(n-1) \frac{r_1 - r}{r_1 r} - \frac{1}{E}} \quad \text{und} \quad (b) = \frac{1}{(n-1) \frac{r_1 - r}{r_1 r}}$$

welche in Beziehung auf das convergirende Meniscusglas dargestellt wurden, erkennt man: daß die Vereinigungsweite \Re größer ist als die Brennweite $[b]$ und daß die Größe der ersten durch den besondern Werth der (endlichen) Entfernung des strahlenden Punktes von dem Glase bedingt wird.

Berechnet man das Brechungsverhältnis der rothen Strahlen und ist $(n+d)$ das Brechungsverhältnis der zugehörigen violetten Strahlen; so zeigt die Vergleichung der Werthe

$$[b] = \frac{1}{n-1} \frac{r_1 r}{r_1 - r} \quad (b) = \frac{1}{(n+d-1) \frac{r_1 r}{r_1 - r}}$$

weil $(n+d)$ größer ist als n , daß die Brennweite der violetten Strahlen kleiner sein muß, als die Brennweite der zugehörigen rothen Strahlen.

Hannover, am 2. Februar 1829.

F. Hartmann.
Art.-Lientenant.

ASTRONOMISCHE NACHRICHTEN.

N^o. 159.

Schreiben des Herrn Professors *Hansen*, Directors der Seeburger Sternwarte, an den Herausgeber.
Seeburg 1829. März 13.

Hiermit überende ich Ihnen die Beobachtungen des *Enckeschen* Cometen, welche die Witterung mir anzustellen gestattet hat. Am 28^{ten} und 29^{ten} October sahe ich sowohl im Fernrohre des Heliometers als in dem des Meridiankreises einen schwachen Nebel, welcher vermuthlich der Comet gewesen ist; am 4^{ten} November erkannte ich ihn vollkommen, allein er war zu schwach, um beobachtet werden zu können, erst am 10^{ten} November, wie Sie unten sehen werden, erlaubten die Umstände dieses, doch war an diesem Abend die Luft neblig, weshalb diese Beobachtung nicht viel Zutrauen verdient. Die übrigen Beobachtungen habe ich Ursache für gut zu halten. Indess weicht die Beobachtung vom 25^{ten} November in der Declination um 9-10 Minuten von der vorläufigen *Enckeschen* Ephemeride ab, während die Rectascension, so viel sich daraus sehen läßt, richtig ist, aber die Ursache kann nur an dem Vergleichungsstern liegen. Ich hielt mich bei der Beobachtung überzeugt, daß ich den Stern gewählt hätte, welcher in den vortheilhaften *Besselschen* Zonen Nr. 28. 21^h 15' 42",88 + 12° 54' 33",7 angegeben ist, worin aber nothwendig eine Irrung statt findet; ob ich den richtigen Stern übersehen habe, oder ob in den *Besselschen* Beobachtungen ein Druckfehler ist, werde ich, sobald es die Umstände gestatten, ins Klare bringen, unterdessen füge ich die beobachteten Differenzen bei.

Nov. 25. 6^h 7' 31",0

AR. des Com. = * + 20° 41' 3" d. des Com. = * — 15° 23",4

für eine 10' größere Decl. des Sterns ist die Veränderung der AR. des Com. = + 0",8.

Vom 15^{ten} Decbr. an haben wir lange Zeit hindurch immer trüben Himmel gehabt, wodurch ich verhindert wurde, die Reduction der Beobachtungen vorzunehmen. Ich hatte nemlich einen früher nicht gebrauchten Gegenstand, dessen Azimuth mir nur beiläufig bekannt war, als Zeichen für die Berichtigung des Heliometers gewählt, und die nähere Bestimmung aufgeschoben, bis der Comet verschwunden sein würde, um den Theodoliten genau auf den Platz des Heliometers stellen zu können, aber die Witterung neckte mich so, daß es mir erst am 1^{ten} Februar möglich wurde das Azimuth zu bestimmen.

Die Einheit des den Beobachtungen beigefügten Gewichts ist Eine Beobachtung.

Beobachtungen des *Enckeschen* Cometen auf der Sternwarte Seeburg.

1828.	Mittl. Seeb. Zeit.	Scheinb. AR. des Com.	Scheinb. Decl. des Com.	Gewicht.
Nov. 10.	6 39 55,0	335 11 21,5	+ 21 3 49,1	8
— 22.	6 5 46,4	322 26 9,7	+ 14 34 37,2	6
— 24.	6 8 32,2	320 28 56,4	+ 13 25 36,2	8
— 25.	6 7 31,0	319 30 26,8	+ 12 40 11,9	8½
— 26.	5 47 28,6	318 34 2,3	+ 12 16 33,9	8
Dec. 2.	8 0 54,3	312 46 21,0	+ 8 38 31,3	10
— 6.	7 35 28,8	308 54 38,9	+ 6 8 13,6	8½
— 9.	7 32 2,5	305 52 22,0	+ 4 8 25,3	6
— 15.	6 33 35,8	299 15 25,2	— 0 15 23,7	10

Hansen.

Ueber die Länge von Moskau und Benares.

Da ich zu einer der in den Astronomischen Nachrichten mitgetheilten astronomischen Beobachtungen aus Benares eine correspondirende in Moskau aufgefunden habe; so schicke ich hier einen Versuch, vorläufig die Länge von Moskau zu bestimmen, voraus.

71 Bd.

Von Moskauer Beobachtungen des gegenwärtigen Jahrhunderts kenne ich bios folgende: eine von *Goldbach* 1806 beobachtete Sternbedeckung (Astron. Jahrbuch 1809. S. 278.) zwei Sonnenfinsternisse und zwei Sternbedeckungen, die Hr. Staatsrath, Dr. *Jänisch*, in den Jahren 1820 und 1827 beob-

19

achtet hat. (Astr. Jahrb. 1824. S. 115 und Astron. Nachrichten Nr. 120. S. 467). Nur zu vier dieser Beobachtungen waren correspondirende aus Europa vorhanden; die Sonnenfinsternis von 1827 konnte ich blos mit einer gleichzeitigen Beobachtung am Ganges vergleichen.

Moskau.

1. Bedeckung von ϵ Lüge. 1806. 1 April.
Eintritt am dunkeln Mondrande.

		Mittl. Zeit.	Conjunction.
Lilienthal	E. 7 23 17,5	8 52 8,00	— 2,493 x
	A. 8 5 17,5	8 52 12,70	+ 1,571 x
Reichenbach	E. 8 0 16,7	9 23 43,83	— 2,549 x
	A. 8 44 36,2	9 23 40,52	+ 1,460 x
Reval	E. 8 30 31,18	9 55 27,51	— 0,637 x
Dorpat	E. 8 39 43,60	10 3 18,89	— 0,669 x
St. Petersburg	E. 8 56 23,11	10 17 30,36	— 0,450 x
Moskau	E. 9 32 17,74	10 46 46,37	— 0,521 x

Der Eintritt in Moskau ist ursprünglich in Sternzeit $\approx 10^h 10^m 5^s$ beobachtet, was ich mit Hülfe der Bessel'schen Sonnenzeiten oben auf mittlere Sonnenzeit reducirt habe; Goldbach fand, etwas abweichend, die mittl. Zeit $\approx 9^h 32^m 18^s,6$. Der Ein- und Austritt in Lilienthal gibt $x = -1',156$ und in Reichenbach $+0',826$. Die Länge von Reichenbach in Schletien ist nach Herrn v. Lindenau $\approx +57^{\circ}20',5$ (Mon. Corr. XIX. S. 420); mit dieser Länge stimmt aber die obige Sternbedeckung, wie auch Herr von Lindenau bei Berechnung des Eintritts gefunden, nicht gut überein, wenn nicht etwa von der Zeit des Eintritts sowohl als des Austritts, eine halbe Minute abgezogen wird. Werden die berechneten Conjunctionszeiten mit $x = -1',156$ verbessert, so ergibt sich die Länge von Moskau, durch Lilienthal $+2^h 20^m 54^s,49$, durch Dorpat $2^h 20^m 59^s,31$, durch St. Petersburg $2^h 21^m 8^s,09$, wenn die Länge von Lilienthal $\approx 26^{\circ}18',4$ nach Astron. Nachr. Nr. 89 die von Dorpat nach Mondsculminationen und Sternbedeckungen $\approx 1^h 37^m 32^s,0$ und von St. Petersburg $\approx 1^h 51^m 52^s$ nach Trienecker vorausgesetzt wird. Das Mittel aus diesen drei Bestimmungen gäbe $2^h 21^m 0^s,63$; da es aber sicherer seyn möchte, mehr nördliche Punkte mit nördlichen zu vergleichen, so erhält man vielleicht das zuverlässigere Mittel aus Dorpat und St. Petersburg $\approx 2^h 21^m 3^s,70$. Schon früher sind indess einzelne Beobachtungen dieser Bedeckung berechnet worden von Trienecker (Sammlung astr. Beobachtungen IV. Stück. S. 82), von Herrn Prof. Olmanus (Astron. Jahrbuch 1810 und 1815) und Herrn v. Lindenau (Mon. Corr. XIX B.). Die Länge von Reval hatte ich aus den Sonnenfinsternis vom 17 Aug.

1803 $\approx 1^h 29^m 44^s,9$ gefunden (Mon. Corresp. XII B. S. 358); obige Sternbedeckung gibt, damit übereinstimmend, im Mittel durch Dorpat und St. Petersburg $1^h 29^m 45^s,0$.

2. Bedeckung der Alcyone. 1820. 29 August.
Eintritt am dunkeln Mondrande.

Diese Bedeckung findet sich, unanständig von mir berechnet, in den Astr. Nachrichten Nr. 61. S. 221; sie gab durch correspondirende Beobachtungen die Länge von Moskau $2^h 21^m 12^s,96$.

3. Sonnenfinsternis 1820. 7 September.

In Moskau wurde blos der Anfang dieser merkwürdigen Finsternis beobachtet; ich berechnete aus demselben die Länge $2^h 21^m 20^s,0$ (Astr. Jahrbuch 1825. S. 97).

4. Bedeckung von ψ Jungfrau. 1827. 8 Mai.
Eintritt am dunkeln Mondrande.

Oberkastell.	E. 8 41 6,04	9 57 6,71	+ 0,113 x
Moskau.	E. 11 20 2,00	11 51 4,68	+ 1,982 x

Der Eintritt an beiden Orten gilt, wenn die Länge von Oberkastell nach Astr. Nachr. Nr. 152 $\approx 27^{\circ}10'$ angenommen wird, die Länge von Moskau $\approx 2^h 21^m 8^s,97 + 1,869 x$.

Aus den von Herrn Staatsrath Jäntsch, A. N. Nr. 152, mitgetheilten Distanzangaben finde ich den Beobachtungsort der Sonnenfinsternis und Sternbedeckung von 1820 in Zeit $\approx 0^h,51$ westlich vom Krenl (Kreutz auf Iwan Weliky), und den Ort, wo die Sonnenfinsternis und Sternbedeckung von 1827 beobachtet worden, $3^h,02$ in Zeit östlich vom Krenl. Goldbach's Beobachtungsort ist in Rücksicht auf dessen Lage gegen Herrn Jäntsch's ältere und neuere Wohnung nicht näher bekannt; daher laßt sich von der Sternbedeckung 1806. 1 April kein sicherer Gebrauch machen. Nach gehöriger Reduction auf den Krenl gibt indess die Bedeckung vom 29 Aug. 1820 Moskau's Länge $\approx 2^h 21^m 13^s,47$, die Sonnenfinsternis 1820. 7 Sept. $\approx 2^h 21^m 20^s,51$, und die Bedeckung vom 8 Mai 1827 $\approx 2^h 21^m 5^s,95$. Gibt man der Sonnenfinsternis nur die Hälfte Werth einer Bedeckung, so ist das Mittel $2^h 21^m 11^s,9$, oder mit völliger Ausschließung dieser Finsternis, bei der blos der Anfang beobachtet wurde, Mittel aus jenen zwei Bedeckungen $\approx 2^h 21^m 9^s,7$, so daß einstweilen, bis weitere Beobachtungen eine genauere Bestimmung möglich machen, die Länge des Krenl auf $2^h 21^m 10^s$ gesetzt werden kann.

Benáres.

Ueber die geographische Lage von Benáres, einem nicht unbedeutenden Punkte des britischen Ostindiens, war bisher

nur sehr wenig bekannt. In den Längen- und Breitenverzeichnissen der Connaissance des tems kommt der Ort nicht vor. Ein Verzeichniß Ostindischer Orte in der Mon. Corresp. XVII B. S. 344 gibt blos die Breite von Bénarés, (Sternwarte des Hindu's) = + 25° 18' 36"; eine Längenangabe fehlt ebendasselbst, und auch sonst fand ich diese Länge nirgends erwähnt. Um so erwünschter kommt in den Astr. Nachr. Nr. 150. S. 115 die Bekanntmachung einiger, wenn auch für eine genauere Bestimmung der Länge nicht genügenden, doch aber zu einer ersten Annäherung führenden Beobachtungen in Bénarés, durch Herrn *Princep* im Jahr 1827 angestellt. Herr *Princep* sagt übrigens nicht, in welchem Bezirke von Bénarés, einer Stadt, welche 3 bis 400000 Einwohner enthalten soll, er beobachtet hat. Die Beobachtungen selbst, die hier näher untersucht werden sollen, sind von dreierlei Art, eine Mondfinsternis, eine während desselben beobachtete Sternbedeckung, und eine Sonnenfinsternis. Mit der Mondfinsternis mache ich den Anfang, da sie, durch Berechnung nach den Mondstafeln ohne Mühe die erste genährte Bestimmung der Länge an die Hand gibt.

1. Mondfinsternis. 1827. 3 November.

Aus der Connaissance des tems, bei welcher die Mondrechnung nach *Burkhardt's* Tafeln zum Grunde liegen, berechnete ich, wie gewöhnlich, mehrere Oerter des Monde, und bestimmte daraus so genau, als möglich, die Erscheinungen der Mondfinsternis in mittlerer Zeit zu Paris. So ergab sich die Opposition von Sonne und Mond = 5h 5' 39".6. Größte Verfinsternung 5h 0' 42".5, Anfang der Finsternis 3h 21' 59".5, Ende derselben 6h 39' 26".6. Werden diese Berechnungen mit Vorbeuehung des beobachteten Anfangs, mit dem in Bénarés beobachteten Ende = 12h 1' 6".0 m. Z. verglichen, so folgt daraus: Länge von Bénarés = + 5h 21' 39".4. Indes hat sowohl die Beobachtung als die Berechnung einer Mondfinsternis ihre eignen Schwierigkeiten. Die Beobachtungen, auch des Endes, der zuverlässigsten Phase, können aus bekannten Ursachen nur innerhalb der Grenze von mehreren Secunden als sicher angesehen werden. Die Berechnung einer Mondfinsternis ist, abgesehen von dem unbekannten Fehler der Sonnen- und Mondstafeln, auch deswegen etwas unzuverlässig, weil die Astronomen über die von der Atmosphäre der Erde herüberragende Vergrößerung des Erdschattenhalbmessers nicht einig sind; ich folgte bei meinen Berechnungen der Vorschrift 766. *Mayers*; und addirte zur Summe der Monde- und Sonnenparallaxe $\frac{1}{2}$ dieser Summe. Vielleicht wäre es der Mühe werth, die Größe jener Vergrößerung durch eine beträchtliche Anzahl neuerer, mit Sorgfalt beobachteter Mondfinsternisse, für welche der

Fehler der Sonnen- und Mondstafeln ausgemittelt werden müßte, empirisch zu bestimmen.

2. Bedeckung eines Fixsterns während der Mondfinsternis 1827. 3 November.

Selten sind die Beispiele einer während einer Mondfinsternis wahrgenommenen Sternbedeckung. So wurde bei der Mondfinsternis 1811. 2 Sept. sowohl der Eintritt als Austritt des Sterns *Wassermann* am verfinsterten Mondrande an mehreren Orten beobachtet (Mon. Corr. XXVIII. S. 409). Auch am 3 November 1827 trat am verfinsterten Mondrande etwa 20 Minuten vor dem Mittel der Finsternis ein kleiner Stern ein. Herr *Princep* nennt den Stern nicht; man findet aber leicht, daß es kein anderer, als *o* *Widder* (37 *Flametz*) gewesen seyn kann. Die Berechnung dieser Beobachtung gab folgendes Resultat.

$$\text{Bénarés. E. } 10^{\circ} 42' 14.2'' \mid 11^{\circ} 25' 25.8'' + 1,255 x$$

In Paris ereignete sich die Conjunction nach den Tafeln um 6h 2' 44".70 mittl. Z. = 0,192 x. Daher Länge von Bénarés: 5h 22' 41".17 + 1,255 x + 0,192 x.

3. Sonnenfinsternis. 1827. 26 April.

Eine correspondirende Beobachtung liefern die Astron. Nachrichten Nr. 120. S. 468. Herr *Staatsrath Jänisch* hat diese Finsternis zu Moskau ringförmig, und zugleich das Ende derselben beobachtet. Vorläufig bemerke ich, daß ich mit den *Schumacherschen* Astronom. Hülftafeln für 1827 den wahren Mittag des 26 April, auf Moskau reducirt, = 11h 57' 46".59 m. Z. gefunden, und hiernach die Zeitmomente für den Ring und das Ende der Finsternis verbessert habe. Herr *Jänisch* setzt dagegen den wahren Mittag = 11h 57' 48".4. Das Ende der Finsternis gilt für den Augenblick, wo der Sonnenrand frei vom Monde war; 10 bis 15 Secunden später schien indess, wie der Beobachter glaubt, der Sonnenrand sich aufs neue gegen die vom Monde verlassene Stelle anzudehnen.

Moskau, Ringenfang	17 1 23,7	17 30 16,64	+ 1,585 x
Ringende	17 4 37,2	17 31 28,23	- 2,234 x
Ende d. Finst.	18 5 31,7	17 30 42,99	- 0,129 x
Bénarés, Ende d. Finst.	20 3 7,5	20 31 50,79	+ 2,320 x

Die Ringphasen in Moskau geben x = + 19".01. Hierdurch verbessert, ist die Conjunction für Moskau aus dem Anfang und Ende des Rings 17h 30' 46".77, aus dem Ende der Finsternis 17h 30' 40".54, oder im Mittel, wenn man den Ringphasen doppelten Werth, wie dem Ende der Finsternis gibt, = 17h 30' 44".70, und auf den Kermel reducirt = 17h 30' 41".68. Die Conjunction für Bénarés, gleichfalls durch x verbessert, ist 20h 32' 44".88. Daraus folgt,

wenn wir oben, die Länge von Moskau $2^h 21' 10''$ gesetzt wird, die Länge von Benares, durch die Sonnenfinsternis 1827 bestimmt, $= 5^h 23' 8''/20$. Oben fand sich eben diese Länge durch das Ende der Mondfinsternis $5^h 21' 39''/4$, durch die Sternbedeckung $5^h 22' 41''/17$, daher im Mittel aus dieser dreifachen Bestimmung $5^h 22' 28''$. Es scheint jedoch sicherer, die Mondfinsternis ganz zu übergeben, und die Länge bloß aus den zwei letzteren Beobachtungen abzuleiten und da die Sonnenfinsternis in Benares eine correspon-

dirende Beobachtung hat, so möchte dieselbe in diesem Falle den Vorzug vor der Sternbedeckung verdienen. Das Mittel aus der Sternbedeckung, wenn diese nur zum halben Werth eingerechnet wird, und aus der Sonnenfinsternis gibt endlich den beiläufigen Werth der Länge von Benares, so wie dieser aus den obigen Beobachtungen sich bestimmen läßt, $= 5^h 22' 56''$.

Stuttgart, 21 März 1829.

H u r m.

De l'emploi des micromètres et des réticules dans les observations obliques.

Par Mr. Benjamin Fals.

Les micromètres peuvent sans doute procurer plus d'exactitude que les réticules dans la détermination des différences de déclinaison; mais cet avantage se trouve par fois compensé par divers inconvénients, surtout lorsque les observations par elles-mêmes ne comportent pas une grande rigueur, telles ordinairement que celles des Comètes. 1] Il est d'abord assez difficile d'éviter entièrement les tems perdus, et d'obtenir une égalité parfaite dans les mouvemens de la vis des micromètres: tellement qu'un observateur infatigable, qui feroit si peu de cas des théories qu'il se borna toute sa vie aux observations (histoire de l'Astronomie du 18^e siècle p. 768. 770 et 774) ne s'aperçut d'une erreur de deux minutes provenant du jeu de sa vis micrométrique, qu'après plus de deux mois d'observations d'une comète (com. des tems 1820. p. 308). 2] L'éclairage des fils des micromètres devient un obstacle presque insurmontable pour les observations des astres faibles, et si l'on parvient à en passer en substituant des lames au fil, c'est alors relativement au fil curseur aux dépens de l'exactitude, et encore est-on bien obligé d'en venir à se servir d'une lumière pour lire les indications de la vis; ce qui obscurcit l'œil, et ne lui permet pas ensuite de distinguer aussi bien les objets faibles dans l'obscurité du champ de la Lunette. *Lacaille* tâchoit d'y remédier autant que possible, en réservant toujours le même œil pour le même genre de service, et peignant en noir l'intérieur de son observatoire; attentions scrupuleuses qu'on n'imite guère à cause de l'incommodité qui en résulte, mais à laquelle on s'accoutume cependant aisément avec quelque persévérance. Lorsqu'un des astres a un mouvement propre on a moins d'indications à noter au réticule qu'au micromètre et pour des observations fort nombreuses ou très-rapprochées on perdrait beaucoup de tems à mouvoir la vis et à lire les divisions, ou bien on n'en auroit pas la possibilité, comme ce seroit le cas pour une revue complète du ciel étoilé; aussi dans une pareille circonstance, *Lacaille* a-t-il

préféré le réticule, et en en tirer le parti le plus avantageux; car avant cela cet ingénieux instrument n'auroit pas encore été aussi utilement employé. 3] Enfin le réticule peut aussi servir quoique incliné, tandis que le micromètre doit être très-exactement dirigé sur le mouvement diurne; car la moindre déviation altère d'autant plus les différences d'ascension droite, que les différences en déclinaison sont plus considérables; aussi doit on avoir la prudence de ne prendre ces dernières qu'assez faibles. On pourroit observer sous ce rapport que si les réticules donnent en général moins bien les différences de déclinaison, on peut toujours craindre qu'il n'en soit de même pour celles d'ascension droite aux micromètres. Cependant quoique le micromètre ne soit employé que lorsqu'il est placé parallèlement, il est toutefois des circonstances, où l'on ne pourroit le rectifier aussi rigoureusement qu'il seroit nécessaire, soit manque de tems soit à cause des difficultés mêmes qu'il y auroit à surmonter, telles qu'on les éprouveroit avec une lunette sans monture parallèle. Il semble toutefois qu'alors même le micromètre pourroit être utilisé, ainsi que les réticules, mais seulement à défaut de moyens plus convénables, et qu'il se présenteroit plusieurs manières d'y parvenir. D'abord connaissant l'intervalle de deux fils parallèles, on observeroit le tems qu'une étoile connue emploieroit à le traverser dans une direction quelconque; on en déduiroit facilement l'inclinaison, et par là les corrections des différences des passages aux fils et des distances du curseur. Mais on doit faire attention que l'inclinaison s'obtenoit ainsi par son cosinus ne seroit pas assez précise, lorsqu'elle se trouveroit faible, et que les corrections des différences d'ascension droite seroient moins sûres. On pourroit alors mesurer deux distances à l'aide du fil mobile aux deux passages aux fils parallèles; leur différence et l'intervalle de ces fils connu donneroit l'inclinaison par sa tangente, ce qui seroit plus exact. La mesure des distances par le curseur est, il est vrai assez

delicate à prendre dans les positions inclinées, parce qu'il faut la saisir au moment précis où l'étoile traverse les fils parallèles, aussi ne doit-on y avoir recours que faite de mieux. Enfin on aurait un autre moyen en se servant du passage de deux étoiles connues, que l'histoire céleste, les zones de Mr. Bessel, ou le *coelum australe* fourniraient aisément. Pour cela soit dA , dP leurs différences d'ascension droite, et de passage au fil, réduites en arc de grand cercle, dD leur différence de déclinaison, I l'inclinaison au

fil, on obtiendra $\tan I = \frac{dD}{dA \pm dP}$ et par là ensuite les corrections convenables; mais on pourra les avoir plus simplement, en éliminant cette même Inclinaison qu'il deviendra ainsi inutile de connaître. Il faudra introduire alors $d\delta$, différence des distances du fil mobile pour les deux étoiles, donnée par observation, ou par $d\delta^2 = dD^2 + (dA \pm dP)^2$ soit donc dP' , dP'' les différences des passages de l'étoile inconnu, et de chacune des deux étoiles connues. dA' , dA'' , dD' , dD'' pareilles différences en ascension droite, et en déclinaison, et $d\delta'$, $d\delta''$ mêmes différences des distances d'après le curseur, on aurait généralement

$$\begin{aligned} dA \pm dP &= \cos I d\delta \\ dD &= d\delta \sin I \\ dA' \pm dP' &= d\delta' \cos I \\ dD' &= d\delta' \sin I \end{aligned}$$

et par conséquent

$$\begin{aligned} dA' \pm dP' &= \frac{dA \pm dP}{d\delta} d\delta' \\ dP' \pm dA'' &= \frac{dA \pm dP}{d\delta} d\delta'' \\ dD' &= \frac{dD d\delta'}{d\delta} \\ dD'' &= \frac{dD d\delta''}{d\delta} \end{aligned}$$

Ces dernières expressions sont de plus tout aussi indépendantes des effets de la réfraction que de ceux de l'inclinaison car la fonction qui exprimerait les premiers s'évanouirait aussi bien que celle qui représenterait les seconds. On évitera donc ainsi les calculs de correction qui se rapporteraient à ces deux influences. D'après les difficultés qu'il y a dans les cas d'obliquité de mesurer assez exactement les distances par le fil curseur, on pourroit encore employer les passages à ce fil ramené à un point convenable, ce qui reviendrait à une sorte de réticule. Du reste avec l'inclinaison déterminée comme ci-dessus, les passages à deux fils rectangulaires suffiroient pour étendre l'emploi du micromètre à celui des réticules. Quant à ceux-ci les observations obliques n'y offrent pas plus de difficultés que les autres seulement elles nécessitent un passage de plus à un troisième fil pour déter-

miner l'inclinaison; mais comme elle dépend de la différence des deux parties de l'arc intercepté, lorsque celle-ci sera faible, l'inclinaison sera trop influencée par les erreurs d'observations et elle ne pourra s'obtenir avec précision, ce qui rendra les ascensions droites peu sûres. Il parait qu'il seroit plus avantageux d'employer encore alors deux étoiles connues (qui ne sauroient manquer d'être dans les catalogues cités) d'autant qu'on évite ainsi de calculer les corrections dues aux effets de la réfraction, qu'il devient inutile de connaître l'inclinaison non plus que l'angle du réticule qui n'a pas toujours l'exactitude convenable. Les formules seront donc les mêmes pour différents réticules, quels que soient leurs angles quelles que puissent être leurs inclinaisons, et malgré les effets divers de la réfraction. Pour cela il conviendra d'employer le réticule le plus simple, celui qui ne comprendroit qu'une angle quelconque, et dont le sommet seroit sur les bords du diaphragme; mais afin que les différences de déclinaison aient à peu près le même degré d'exactitude que celles d'ascension droite, il conviendrait que cet angle fut de 40° à 45° environ. Conservant les mêmes dénominations que ci-dessus, et de plus soit t le tems employé par l'étoile inconnue à traverser l'angle du réticule r , t' ceux pour les deux étoiles connues, P l'inclinaison du parallèle apparent provenant de la réfraction, A l'angle du réticule A' l'angle du vertical et du cercle horaire, et f , f' des fonctions différentes, on auroit en général

$$\begin{aligned} dA \pm dP &= (t'' - t') f(A, I, P) \\ dA' \pm dP' &= (t' - t) f(A, I, P) \\ dD &= (t'' - t') f'(A, I, A', P) \\ dD' &= (t' - t) f'(A, I, A', P) \end{aligned}$$

et par conséquent

$$\begin{aligned} dA' \pm dP' &= \frac{t' - t}{t'' - t'} (dA \pm dP) \\ dA'' \pm dP'' &= \frac{t'' - t}{t'' - t'} (dA \pm dP) \\ dD' &= \frac{t' - t}{t'' - t'} dD \\ dD'' &= \frac{t'' - t}{t'' - t'} dD \end{aligned}$$

Mais près de l'horizon, et avec le crépuscule, ce qui est assez fréquent pour les comètes, il pourroit ne se trouver qu'une seule étoile de visible; alors même on pourroit disposer les observations de telle manière que les données qu'elles fournissent se trouvent indépendantes des altérations que les réfractions y occasionnent ordinairement, ce qui paroitra d'abord paradoxal. Il suffira cependant pour cela de disposer horizontalement un des fils d'un réticule ou d'un micromètre, ce qu'on pourroit obtenir par un fil métallique traversant

le diaphragme parallèlement au fil précédent, ou même le remplaçant; et à ses extrémités extérieures au tube de la lunette on suspendroit un petit niveau à bulle d'air; ou bien à l'aide d'un fil à plomb ou d'un niveau qu'on rectifieroit en visant à la Lunette sur une mire horizontale. Deux fils perpendiculaires au premier et dont l'intervalle sera connu complèteront la disposition convenable. Il est évident en effet que les observations aux deux fils parallèles ne seroient être altérées par la réfraction, puisque ces fils sont sensiblement dans des plans verticaux. Rigoureusement ils déterminent deux grands cercles qui vont concourir au delà du zénith, et à une distance égale à la hauteur du fil horizontal au-dessus de l'horizon laquelle est supposée fort peu considérable dans l'hypothèse admise. On peut s'assurer qu'il ne peut en résulter dans pareil cas de différence sensible, d'après les formules exposées au sujet d'un nouveau réticule particulièrement propre à cette manière d'observer (Corresp. astron. 3^e Vol. p. 362). Quant aux observations qu'on obtiendra au fil horizontal, la réfraction ne peut différer pour chacune d'elles: elles seront donc les mêmes que si elles eussent été faites indépendamment de la réfraction, à un fil plus abaissé de la quantité de cette même réfraction. Or la hauteur de ce fil n'entre pas dans le calcul et n'influe en rien sur les résultats. On pourra donc employer les données de l'observation, comme si elles n'avoient subi aucune influence étrangère, et obtenir un résultat qui en sera

indépendant, ce qui auroit pu paroître d'abord un peu singulier. Pour ces cas suit donc à la distance des fils parallèles, et à l'intervalle des observations à ces fils réduit en arc de grand cercle avec les mêmes désignations que ci-dessus. L'inclinaison étant alors considérable on l'aura assez exactement par $\cos l = \frac{a}{b}$, et ensuite $dA \pm dP = (i' - i) \sin^2 i$.

$$dD = 15 \cos D \cot g l (dA \pm dP) = \frac{15}{2} (i' - i) \cos D \sin 2i.$$

Enfin que dans toutes les situations le réticule se trouve toujours aussi favorablement disposé pour les observations, il paroîtroit convenable de le composer d'un triangle équilatéral inscrit au Diaphragme de la lunette, et formé de petites lames de quelques minutes de largeur pour éviter l'éclairement. On vérifieroit l'égalité des côtes et on en connoîtroit la valeur en les faisant parcourir par une étoile ou bien ayant dirigé un des côtes verticalement sur le méridien, et faisant passer deux étoiles connues l'une au-dessus et l'autre au-dessous de l'angle opposé, on auroit, ce côté

$$c = dD + 5 \cos D (i + i') \sqrt{3}$$

L'inclinaison s'obtiendrait par la différence des passages de deux étoiles connues, par un des côtés, ce qui donneroit

$$\tan g l = \frac{dD}{dA \pm dP}$$

et par la ensuite les différences cherchées d'ascension droite et de déclinaison de l'astre inconnu, avec les étoiles.

B. Valz.

Observations de Mr. Pons à Florence de la Comète qu'il a découverte le 3 Août 1827 à 2h du matin.

1827.	Astres.	Cercle extérieur.		Cercle intérieur.		
		Entrée.	Sortie.	Entrée.	Sortie.	
Août 4	5 à 6 G.	23 9 22,5	13 37,0	9 46,0	13 14,0	A
	Com.	10 27,0	15 52,5	10 53,0	15 5,0	B
	5 à 6	17 43,0	23 9,0	18 1,0	22 49,0	A
	Com.	20 6,0	23 49,0	20 36,5	23 14,0	B
	5 à 6	25 12,0	30 6,0	26 34,0?	29 46,0	A
	Com.	26 55,0	31 31,0	27 27,0	31 1,0	B
5	5 à 6 G.	22 52 58,0	55 56,5	63 39,0	55 17,0	A
	Com.	23 0 10,0	7 1,0	0 34,5	6 39,0	B
	8 à 8	2 17,0	9 30,0	2 32,5	9 16,0	A
	7 à 8	5 36,5	11 10,0	5 56,5	10 50,0	B
	5 à 6	10 8,0	16 30,0	10 25,0	16 15,5	A
	8	22 32,5	28 26,0	22 49,0	28 8,0	A
	8	29 1,0	35 1,0	29 18,0	34 38,5	A
	7 à 8	29 52,0	36 7,0	30 15,0	35 51,0	A
	7	42 13,0	48 37,0	42 27,0	48 3,5	B
	7	47 21,0	53 19,0	47 38,0	53 2,0	A
	7 à 8	49 50,0	55 24,0	50 12,0	55 4,0	A

Passages de la Comète au méridien inférieur.

Août 13	Comet	1 ^{er} fil.	2 ^e fil.	3 ^e fil.	4 ^e fil.	5 ^e fil.	Dist. Zén.
		18 46 36,5	48 13,5	49 52,0	51 47,5	53 20,0	74 21
14	Comet	18 58 49,0	0 21,0	2 7,0	3 59,5	5 29,0	74 44
	6 a 7 Gr.	19 18 57,5	20 36,0	22 12,0	24 5,0	25 31,0	75 9
	5 a 6	43 39,5	45 9,0	46 43,5	48 37,5	50 4,0	75 18
	3 ^e	20 12 19,7	14 4,0	15 42,5	17 38,5	19 4,0	74 42
15	Comet	19 11 26,0	13 4,7	14 40,0	16 33,0	18 2,0	75 12
	7 a 8 Gr.	18 59,7	20 37,0	22 13,0	24 6,0	25 30,7	même p ^{re} s.
	5 a 6	43 32,0	45 6,0	46 43,0	48 34,5	50 1,5	75 14
	3 ^e	20 12 25,5	14 4,7	15 42,0	17 39,5	19 2,0	74 41

Le 16 et 17 tems couvert ou brouillé.

L'espace du 5 au 13 Août la comète est restée perdue soit par le tems couvert ou par le clair de lune.

Passages au méridien pour régler la pendule.

		h	m	s	h	m	s
3 Août.	Antares	16	18	2,0	18	42,0	19 24,0
4 —	id.	16	18	2,0	18	41,7	19 23,0
5 —	id.	16	18	1,0	18	41,5	19 23,0
13 —	id.	16	17	58,0	18	38,5	19 19,0
14 —	a Ilerc.	17	5	55,7	6	33,0	7 11,0

Les observations du 4 et du 5 Août ont été faites au micro-mètre circulaire dont le diamètre du cercle extérieur est de 50' 14", 10 et celui du cercle intérieur 46 53, 12.

B. Valz.

Herr Fals hat die Güte gehabt mir vorstehende Beobachtungen mittheilen und bemerkt dabei:

Voici les observations dont je Vous avais parlé de Mr. Fals de la seconde comète de 1827 antérieures à celles que Vous avez publiées. Les suivantes n'offrent pas le même intérêt je les ai omises. Il paraît que l'instrument méridien ne donne pas assez bien les différences zénithales, et qu'il ne faut guère y compter. L'étoile de comparaison du 4 Août paraît P. V. 57. Comme il se trouve des inexactitudes à la 1^{re} et à la 3^e comparaison, j'ai calculé la seconde, et je trouve pour le 3 Août à 14^h 34' 40" T. M. à Florence, la différence d'AR. = + 22' 44", et celle de déclinaison = - 38' 23".

N'ayant pu faire accéder convenablement diverses étoiles de comparaison du 5 Août j'ai été amené avec quelque probabilité à supposer un dérangement au milieu de la série, ce

qui ne paraîtra pas fort extraordinaire, si l'on fait attention qu'elle a été continuée pendant plus d'une heure. Dans cette hypothèse on satisfait assez bien au plus grand nombre d'étoiles qui seroient alors

la 1^{re} encore P. V. 57,

la 2^e la 55^e étoile p. 379 de l'Hist. Cél., et

la 4^{ème} la 53^e étoile de la même page.

Après le dérangement supposé de la lunette la 6^e étoile de la série seroit la 57^e étoile de la page 380 de l'H. C. et la 7^e seroit la 58^e étoile de la même page. Enfin la dernière étoile seroit P. VI. 54. Je n'ai calculé que la 1^{re} et la 4^e étoile de la série, avant le dérangement (la 2^e étoile ayant passé trop près du centre) et elles s'accordent fort bien en AR.; en Decl. il n'y a que 20" de différence. Les différences pour le 4 Août à 13^h 1' 3" T. M. à Florence sont avec la 1^{re} étoile en AR. + 2^e 17' 9", et en Decl. - 31' 37"; avec la 4^e étoile de la série en AR. - 2^e 25' 53", et en Decl. - 21' 19". La seconde étoile seroit la 53^e de la Grosse et la 3^e seroit O de la grande Ourse. Le 15 Août mêmes étoiles. Les observations pourrout servir à rectifier encore les éléments de cette comète, ce que je n'ai pas encore terminé. Je remercie infiniment Mr. Nicolai de la complaisance qu'il a bien voulu avoir de Vous communiquer son observation très précieuse de cette comète d'après le désir que je Vous en avois témoigné. Je suis charmé de pouvoir user de toute l'utilité dont elle peut être dans les recherches sur cette comète, ce que Mr. Olbers a déjà fait du reste avec le plus grand zèle.

S.

Ueber die Länge von Nikolajew.

(Fortsetzung zu Astr. Nachr. Nr. 112.)

Versanlassung zu weiteren Untersuchungen über die Länge von Nicolajew geben mir die von Herrn Professor Knorre in den Astr. Nachr. Nr. 148 bekannt gemachten Beobachtungen; ich berechnete dieselben, wo ich correspondirende fand, in der Absicht, ein noch genaueres Resultat über jene Länge zu erhalten. Da Herr Prof. Knorre bei einigen früher von mir in den A. N. Nr. 112 berechneten Beobachtungen die Lesart verbessert hat, so lasse ich die wiederholte Berechnung derselben hier vorangehen.

12. Bedeckung von P. VIII. 195. 1821. 10 April.
(Durch einen Druckfehler steht A. N. Nr. 112: S. 261.
P. VIII. 95.)

	Mitt. Zeit.	Conjunction.
Nicolajew	E. 11 17 25,26	11 2 28,31 + 0,153 x
Prag (K. Sternw.)	E. 9 46 53,08	9 52 15,62 — 0,509 x
Prag (Hall.)	E. 9 46 58,03	9 52 18,87 — 0,509 x

Die Länge von Nicolajew ist hiernach, mit Wien verglichen, (A. N. Nr. 112) = $1^h 58' 31''.67 + 0,685 x$, mit Copenhagen ... $34''.71 + 0,382 x$, mit Prag (K. Sternwarte) ... $33''.09 + 0,662 x$, mit Prag (Herrn Prof. Hallaschka's Wohnung) ... $32''.34 + 0,662 x$, Mittel = $1^h 58' 33''.0$.

13. Bedeckung von γ Steinbock. 1821. 12 August.
(mit Verbesserung des Austritts.)

Nicolajew.	E. 10 49 51,83	11 1 11,38 + 0,774 x
A. 12	4 28,58	11 1 34,78 + 0,059 x

Da der Austritt doch als zweifelhaft bezeichnet ist, so kann auch x nicht genau bestimmt werden; sicherer ergibt sich also die Länge, wie A. N. Nr. 112 aus den bloßen Eintritt.

Die aus folgenden neu berechneten Beobachtungen, welche A. N. Nr. 148 mitgeteilt werden, verbinde ich mit den früher in Nr. 112 berechneten durch fortlaufende Nummern.

14. Bedeckung von P. VII. 182. 1821. 6 Mai.
Eintritt am dunkeln Mondrande.

(Diese Beobachtung findet sich schon Astr. Nachr. Nr. 9. S. 136.)

Wien	E. 10 50 50,20	10 2 24,30 — 5,649 x
Dorpat	E. 11 4 25,29	10 43 56,07 — 1,833 x
Nicolajew	E. 11 42 52,04	11 5 0,53 — 2,390 x

Hieraus: Länge durch Wien $1^h 58' 46''.63 + 3,259 x$, durch Dorpat ... $36''.46 - 0,557 x$. Die letztere Bestimmung verdient wegen des kleineren Factors von x den Vorzug.

15. Bedeckung von 136 Stier. 1822. 1 März.
Eintritt am dunkeln Mondrande.

Speier	E. 6 48 44,34	7 20 12,00 — 0,143 x
Göttingen	E. 6 57 38,90	7 26 6,73 + 0,306 x
Prag (Hall.)	E. 7 22 15,04	7 44 8,90 — 0,055 x
Wien	E. 7 33 51,10	7 51 59,77 — 0,236 x
Nicolajew	E. 9 1 25,54	8 54 19,05 — 0,113 x
	A. 10 13 18,33	8 54 33,20 — 0,467 x

Der Werth von x läßt sich bei der geringen Größe der Factors durch Nicolajew nicht sicher bestimmen: man erhält demnach die Länge durch Speier = $1^h 58' 32''.02 + 0,030 x$, durch Göttingen .. $37''.32 - 0,439 x$, durch Prag .. $33''.05 - 0,058 x$, durch Wien .. $29''.68 + 0,123 x$. Mittel: $1^h 58' 33''.017$.

16. Bedeckung von P. V. 279. 1822. 1 März.

Nicolajew	E. 11 52 14,38	11 7 33,90 + 1,374 x
-----------	----------------	----------------------

Meine Berechnungen dieser an mehreren Orten beobachteten Bedeckung stehen in den A. N. Nr. 80. S. 132: nach denselben ist die Länge durch Wien $1^h 58' 51''.62 + 0,796 x$, durch Prag .. $52''.01 + 0,684 x$. Mittel: $1^h 58' 51''.82$; eine von den übrigen zu stark abweichende und daher unsichere Bestimmung.

(Der Beschluß folgt.)

I n h a l t.

Schreiben des Herrn Professors Hansen, Directors der Sternwarte Seeberg, an den Herausgeber. p. 281.

Herm., über die Länge von Moskau und Bendrés. p. 281.

De l'emploi des Micromètres et des Réticules dans les observations obliques. Par Mr. Benjamin Falc. p. 287.

Observations de Mr. Falc à Florence de la Comète qu'il a découverte le 3 Août 1827 à 2^h du matin. p. 291.

Herm., über die Länge von Nicolajew (Fortsetzung zu Astr. Nachr. Nr. 112.) p. 295.

B E I L A G E

ZU

No. 159. DER ASTRONOMISCHEN NACHRICHTEN.

Fortsetzung der von Herrn *Petersen* am Meridiankreise in Altona bestimmten Sterne.

(Siehe A. N. Nr. 149.)

1828.	Namen d. Sterne	Gr.	Scheinb. A.R.	Feld.	Scheinb. Decl.	1828.	Nam. d. Sterne	Gr.	Scheinb. A.R.	Feld.	Scheinb. Decl.	
Sept. 20	21 Sagittarii B. 2118 P. 58	6	18 15 9,48	3	—20 37 23,29	Sept. 18	Sagittarii B. 2221 P. 316	7	18 59 42,66 42,53 42,44	6 6 6	—20 34 46,65 47,06 45,56	
Sept. 22	Sagittar. B. 2132 P. 92	6	18 21 24,54	4	—18 30 31,54	Sept. 18	43 Sagitt. d B. 2230 P. 35	5	19 7 37,33 37,32 37,24 37,19 37,07 37,23	6 6 4 5 3 2	—19 14 50,21 — — — 51,88 52,26	
Sept. 23	Cip. Sob. B. 2151 P. 128	7	18 27 55,17	6	—17 21 54,33	Oct. 2						
July 24		7.8	18 37 43,72	6	—20 27 —	Sept. 23		7	19 8 10,03	2	—	
Sept. 20			43,12	6	1,64	— 26			10,31	4	—19 9 37,00	
— 22			42,90	5	—	— 27			10,35	5	36,94	
— 23			42,90	6	—	— 28			10,02	3	35,20	
— 28			42,86	6	26 56 29.	Sept. 22	Sagittarii B. 2246 P. 67	7	19 11 35,45 35,46	6 6	—19 32 39,87 37,23	
Oct. 3			43,01	3	—	Sept. 30	45 Sagitt. p' B. 2250 P. 70	5.6	19 11 51,67 51,37	6 6	—18 36 55,92	
July 24	29 Sagittarii B. 2174 P. 185	6	18 39 31,34	6	—	June 27	44 Sagitt. p' B. 2248 P. 69	5	19 11 45,00 45,28 44,84 44,40	6 6 6 3	—18 9 32,12	
— 25			31,36	6	—	Oct. 11						
Sept. 18			30,84	6	—20 30 30,34	Oct. 7	46 Sagitt. u B. 2251 P. 70	5.6	19 11 55,28 54,76	3 1	—16 15 58,12 57,12	
— 20			30,80	6	—	Sept. 26		9.10	19 13 32,45 32,79	2 3	—18 10 21,53 21,75	
— 22			30,75	6	—	Oct. 4		9.10	19 14 17,13	2	—18 6 22,50	
— 23			30,66	3	—	Sept. 23		6.7	19 17 42,78 42,54 42,47 42,39	6 6 6 4	—18 41 3,01 4,24	
— 27			30,78	6	29,36	Oct. 2						
— 28			30,69	5	—	Sept. 20	E. 2270 Sag. Z. 1294	6	19 18 7,91 7,81 7,72 7,70	2 2 3 1	—18 41 43,02 44,93	
Oct. 3			30,66	3	—	Sept. 20		7.8	19 20 12,14 11,85 11,91	4 6 6	—18 35 13,42 11,88	
— 7			30,52	6	30,77	— 23						
Sept. 18		7.8	18 40 50,89	4	—	— 28						
— 20			50,86	3	—							
— 22			50,60	3	—20 28 56,68							
— 28			50,62	4	—							
Oct. 3			50,71	6	57,76 57,40							
— 4												
Sept. 18		7.8	18 40 57,18	1	—							
— 20			57,33	2	—							
— 22			56,97	2	—							
— 23			57,30	6	—20 29 15,11							
— 28			57,04	3	—							
Sept. 18	36 Sagittar. E' B. 2185 P. 231	6	18 47 10,13	1	—20 52 9,56							
— 22			10,02	2	10,86							
— 23			10,23	6	9,74							
— 27			10,28	6	10,33							
Sept. 20	B. 2217 Sagitt.	6.7	18 58 13,52	6	—19 32 52,45							
— 23			13,23	6	52,66							
— 28			13,22	6	52,65							

1828.	Nam. d. Sterne.	Gr.	Scheinb. AR.	Fid.	Scheinb. Decl.
Sept. 20		7.8	19 20 44,13	4	—
— 23			44,20	1	—
— 26			44,01	6	—18 40 11,18
— 27			44,18	3	—
— 28			44,05	2	—
Oct. 2			43,85	6	10,56
Oct. 7			57,02	4	—19 7 47,60
— 11			57,02	4	—
Sept. 20	Sagittar.	7	19 26 27,57	3	—19 13 13,09
Oct. 7	B. 2291 P. 176		27,10	3	16,31
— 11			27,14	5	—
— 22			27,02	6	15,59
— 27			26,05	6	—
Sept. 20		9	19 26 50,98	2	—
— 26			51,06	6	—19 9 11,18
— 28			50,90	6	11,83
Sept. 23	Sagittar.	7	19 27 7,50	4	—18 36 3,46
— 27	B. 2293 P. 180		7,38	1	5,11
Oct. 2			7,33	6	4,16
Sept. 18	Sagittar. e'	5.6	19 30 55,26	6	—16 40 32,33
Oct. 27	B. 2302 P. 214		54,58	5	30,39
— 29			54,53	6	31,14
Oct. 3		9	19 30 57,23	6	—16 39 59,11
— 4			57,11	6	58,21
— 22			56,76	5	58,52
June 28	55 Sagitt. e'	5	19 32 43,99	6	—
Sept. 22	B. 2308 P. 222		43,82	5	—16 30 54,22
Oct. 3			43,64	4	—
Nov. 5			43,07	6	55,50
Oct. 7	Sagittar.	6	19 33 47,47	4	—15 51 23,74
Nov. 4	B. 2310 P. 230		47,19	6	24,75
— 6			47,20	6	—
Oct. 3		10,11	19 46	—	—15 50 47,91
— 4			13,58	5	47,98
Oct. 2		9	19 47 59,53	6	—15 54 4,35
— 3			59,44	3	—
— 4			52,42	6	—
— 7			52,43	2	4,67
June 28	61 Sagittar. g	6	19 48 14,76	6	—
July 25	B. 2343 P. 329		15,00	6	—
Sept. 18			14,71	6	—15 56 8,55
Oct. 7			14,43	6	—
— 22			14,20	6	10,96
Sept. 20		8	19 56 45,61	4	—15 23 8,72
— 28			45,53	6	8,41
Sept. 17	Capricorn.	7	19 58 49,96	4	—15 30 47,63
— 18	B. 2367 P. 404		49,98	6	47,39
— 20			49,94	6	—
— 28			49,75	6	—
Sept. 17		8	20 9 56,17	4	—13 19 48,47
Oct. 3			55,83	2	47,07
— 4			55,85	6	48,18

1828.	Nam. d. Sterne.	Gr.	Scheinb. AR.	Fid.	Scheinb. Decl.
Sept. 17	8 Capricorn v	5	20 11 10,49	4	—
Oct. 20	B. 2396 P. 81		10,43	6	—13 17 18,65
— 3			10,27	6	26,38
— 3			10,32	2	—
— 4			10,08	3	—
Oct. 3		9,10	20 22 21,16	3	—14 20 35,48
— 4			21,04	6	37,02
Oct. 22		9,10	20 23 14,28	5	—14 16 44,37
— 23			14,21	6	43,57
Sept. 20	Capricorn	7	20 24 40,25	6	—14 18 1,09
— 30	B. 2414 P. 174		40,08	6	1,70
Oct. 2			40,14	6	—
— 4			40,02	6	—
— 22			39,80	5	—
Sept. 25	13 Capric. r'	6	20 27 45,63	3	—15 43 53,83
Oct. 2	B. 2424 P. 209		45,41	6	52,56
— 23			44,31	3	54,18
Oct. 3	14 Capric. r'	6	20 29 42,15	1	—
Nov. 4	B. 2430 P. 225		42,12	6	—15 32 55,12
— 13			41,57	6	49,78
— 13			41,31	2	—
Oct. 3		8	20 29 58,61	6	—15 34 8,62
— 27			58,33	1	—
Nov. 5			58,01	6	10,20
Sept. 23	Capric. p	6.7	20 41 15,92	3	—13 10 13,71
Oct. 2	B. 2461 P. 325		15,82	3	15,60
— 22			15,51	3	16,28
— 23			15,54	6	16,28
Sept. 20	Aquarii	7	20 42 39,31	5	—12 4 18,86
— 25	B. 2467 P. 337		39,15	5	16,38
— 30			39,15	6	16,30
Oct. 27			38,64	4	—
Sept. 20	Aquarii	6	20 43 44,08	3	—
Oct. 3	B. 2471 P. 351		44,02	3	—12 12 44,43
— 27			43,68	6	45,37
Sept. 20	13 Aquarii v	5	21 0 16,64	6	—12 3 25,08
— 30	B. 2508 P. 485		16,51	6	25,47
Sept. 16		8.9	21 5 42,15	4	—15 49 39,56
— 25			42,27	3	39,47
Oct. 11			42,03	5	39,20
— 22			41,65	5	40,64
— 23			41,90	2	—
Sept. 16	29 Capr. S'	5	21 6 16,61	4	—
— 30	B. 2516 P. 37		16,43	4	—15 52 51,83
Oct. 11			16,43	2	—
— 22			16,13	2	—
— 23			16,30	6	32,97
Sept. 20	B. 2529 Aquar.	7	21 12 48,07	6	—
— 30			47,82	5	—10 2 46,66
Oct. 22			47,55	6	48,83
Sept. 25	17 Aquar. y'	6	21 13 46,18	3	—10 2 29,26
— 30	B. 2531 P. 92		46,10	3	—
Oct. 23			45,92	6	29,98

1828	Nam. d. Sterne.	Gr.	Scheinb. AR.	Fad.	Scheinb. Decl.
Sept. 16	18 Aquarii A.	6	21 14 50,68	6	-13 36 20,56
Oct. 11	B. 2538 P. 104		50,50	6	18,97
Sept. 20	19 Aquar. γ	6	21 16 1,63	2	-10 28 12,52
	B. 2540 P. 110				
Sept. 16			21 24 14,67	6	-14 12 5,10
— 30			14,43	6	3,57
Oct. 23			14,05	6	—
Sept. 16		7	21 24 56,89	3	—
— 30			56,96	3	—
Oct. 11			56,66	6	-14 14 15,54
— 22			56,47	6	—
— 23			56,52	3	—
Sept. 16		8.9	21 27 24,72	6	—
Oct. 22			24,29	6	-14 13 5,12
— 23			24,43	4	2,83
Sept. 16		7	21 28 56,36	5	—
— 30			56,37	2	-14 17 48,53
Oct. 11			56,14	5	—
— 22			56,00	5	—
— 23			55,65	3	—
Nov. 4			55,81	6	50,10
Sept. 30	46 Capric. ε	6	21 35 53,16	5	-9 51 43,48
Oct. 22	B. 2579 P. 258		52,72	1	—
Oct. 22		7	21 35 47,52	6	-9 49 0,17
— 23			47,65	6	0,00
July 11	48 Capric. A.	5.6	21 37 19,29	6	-12 8 59,79
Sept. 16	B. 2585 P. 270		19,77	6	55,29
— 25			19,77	6	55,02
Sept. 20	11 Pegasi	5.6	21 37 39,70	4	-8 47 17,55
Oct. 11	B. 2589 P. 282		39,50	5	21,15
Oct. 11		8	21 37 46,04	1	—
Nov. 4			45,51	5	-8 43 13,77
Sept. 16		8	21 49 36,61	1	-9 17 9,57
Oct. 22			35,86	2	—
Sept. 16	36 Aquar.	7	22 124,76	2	-11 39 26,63
Oct. 2	B. 2629 P. 414		24,38	6	26,59
— 11			24,36	6	26,95
Sept. 20	43 Aquar. θ	4.5	22 7 48,83	6	-8 37 47,30
Oct. 2	B. 2655 P. 44		48,70	6	—
— 22			48,49	6	—
— 23			48,51	6	52,34
Sept. 23	Aquarii	6	22 7 51,18	6	-9 53 15,47
Oct. 11	B. 2656 P. 46		50,82	6	15,81
Sept. 27	44 Aquar.	6.7	22 8 11,04	6	-6 14 9,13
Nov. 4	B. 2657 P. 48		10,63	6	11,88
Oct. 2		10	22 10 8,86	6	-8 38 59,56
— 22			8,63	6	59,46
Oct. 2	46 Aquar. ρ	6	22 11 17,12	3	—
— 22	B. 2661 P. 63		11,91	4	—
— 23			11,72	2	-8 40 31,94

1828	Nam. d. Sterne.	Gr.	Scheinb. AR.	Fad.	Scheinb. Decl.
Sept. 16	Aquarii	7	22 14 34,21	6	-8 3 19,01
— 19	B. 2669 P. 81		34,26	4	15,87
Oct. 11	51 Aquar. G	6	22 15 12,63	6	-5 41 51,08
Nov. 4	B. 2671 P. 85		12,28	6	51,59
Oct. 4		11.12	22 20 15,90	4	-12 16 57,08
Oct. 2		11	22 20 37,12	3	-12 23 37,00
— 22			36,84	3	34,39
— 23			36,84	1	33,96
Oct. 2		11	22 20 41,80	3	-12 23 37,00
— 22			41,76	3	34,99
— 23			41,76	3	33,96
Aug. 24	63 Aquar. x	6	22 28 54,46	4	—
— 25	B. 2701 P. 166		54,37	6	—
Sept. 16			54,35	6	-5 6 21,39
— 18			54,33	6	20,54
— 25			54,48	3	19,98
Sept. 25	67 Aquar. N	6	22 34 18,51	6	-7 51 14,98
Oct. 2	B. 2714 P. 202		18,81	6	15,23
— 4			18,66	5	—
— 11			18,63	6	—
— 21			18,51	6	13,90
— 22			18,53	4	—
Sept. 25		8	22 35 58,99	6	—
Oct. 2			58,81	6	—
— 4			58,72	6	-7 47 50,45
— 11			58,77	4	—
— 22			58,35	6	52,25
— 23			58,70	5	50,92
Sept. 18		7.8	22 41 19,05	6	—
Oct. 4			18,59	1	-8 21 37,49
— 21			18,98	5	39,66
— 22			18,77	4	40,46
— 23			18,86	3	—
Sept. 16	73 Aquar. λ	4	22 43 41,96	6	-8 29 9,48
— 18	B. 2730 P. 235		41,96	6	11,32
— 25			42,05	6	—
Oct. 4			41,89	6	—
Sept. 18		7.8	22 46 14,73	6	—
— 25			14,82	6	-8 26 46,25
Oct. 2			14,56	6	47,57
Oct. 22	Aquar. M ¹	7	22 46 18,96	6	-5 53 42,97
— 23	B. 2739 P. 250		19,27	4	43,50
Sept. 25		8.9	22 53 17,53	5	-8 38 19,79
Oct. 2			17,37	3	21,43
Sept. 25	83 Aquar. h ¹	6.7	22 56 15,23	4	—
Oct. 2	B. 2754 P. 289		14,96	3	—
Nov. 4			14,67	6	-8 36 59,29
Sept. 25		8	22 56 25,11	3	—
— 30			25,12	5	-8 40 27,93
Oct. 2			24,96	4	—
Oct. 22	15 Piscum	7	23 26 44,74	6	+0 22 15,41
Nov. 4	B. 2815 P. 127		44,57	6	13,17

1828.	Nam. d. Sterne.	Gr.	Scheinb. AR.	Fid.	Scheinb. Decl.
Jul. 29 18	Pisciml	5	23 33 19,45	6	—
Sept. 23 B. 2829 P. 158			19,95	4	+ 0 50 27,78
— 25			20,10	6	26,55.
— 26			20,11	6	31,02.
Oct. 21			20,03	6	28,14
Sept. 26 21 Piscium		6	23 40 42,90	6	+ 0 74 42,47
Oct. 2 B. 2845 P. 197			42,08	6	42,63
— 21			42,97	4	42,28

1828.	Nam. d. Sterne.	Gr.	Scheinb. AR.	Fid.	Scheinb. Decl.
Sept. 23 25 Piscium		6	23 44 20,26	6	+ 1 8 28,76
— 25 B. 2858 P. 219			20,14	3	28,03
Oct. 20			20,20	6	29,40
Jul. 29 Piscium		6	23 56 17,74	6	—
Sept. 25 B. 2876 P. 270			18,63	6	+ 127 6,37
Oct. 2			18,68	6	6,45

Petersen.

Ueber die Länge von Nikolajew.

(Fortsetzung zu Astr. Nachr. Nr. 158.)

17. Bedeckung von dreikleinen Sternen im Fuhrmann. 1822. 1 März.

Diese Sterne, die ich mit a, b, c bezeichne, kommen in der Hist. ccl. vor unter der Zenitdistanz: $21^{\circ} 9' 35''$; $21^{\circ} 33' 7''$ und $21^{\circ} 34' 25''$. Auf 1800 ist die mittlere Rectascension von a = $85^{\circ} 46' 27''$, die Decl. + $27^{\circ} 39' 55''$, ebenso für b = $86^{\circ} 8' 23''$, und + $27^{\circ} 16' 22''$, für c = $86^{\circ} 53' 33''$ und + $27^{\circ} 14' 52''$.

Stern a.	Mittl. Zeit.	Conjunction.
Seeborg E. 8 21 29,50	$8^{\text{h}} 23 37,43$	+ 1,108 x
Wien E. 8 51 58,80	$8 46 9,13$	+ 0,853 x
Nicolajew E. 10 20 53,98	$9 48 41,28$	+ 1,541 x

Daraus: Länge durch Seeborg $1^{\text{h}} 58' 38'',65$ + 0,432 x, durch Wien .. $42'',55$ + 0,687 x, Mittel: $1^{\text{h}} 58' 40'',60$.

Stern b.

Speier E. 9 51 49,47	$8 47 4,40$	+ 1,569 x
Wien E. 9 46 20,00	$9 18 33,91$	+ 2,417 x
Nicolajew E. 10 28 32,39	$10 20 56,41$	+ 1,328 x

Durch Speier ergibt sich die Länge $1^{\text{h}} 58' 17'',01$ + 2,897 x, durch Wien .. $32'',90$ + 1,089 x; letztere Bestimmung ist die zuverlässigere.

Stern c.

Prag (Hall) E. 10 51 1,20	$10 20 23,58$	+ 1,062 x
Wien E. 11 3 36,00	$10 28 11,25$	+ 1,170 x
Nicolajew E. 12 12 25,36	$11 30 39,24$	+ 0,549 x

Die Länge durch Prag $1^{\text{h}} 58' 38'',16$ + 0,513 x, durch Wien .. $38'',39$ + 0,621 x. Mittel: $1^{\text{h}} 58' 38'',27$.

18. Bedeckung von 39 und 40 Zwill. 1822. 2 März. Eintritt am dunkeln Mondrande.

39 Zw. Nicolajew E. 10 39 44,83	$10 28 1,04$	+ 0,200 x
40 ————— E. 11 2 32,78	$10 44 55,66$	+ 0,530 x

Andere Beobachtungen dieser Bedeckung, die ich Astron. Nachr. Nr. 73. S. 33 berechnet habe, geben die Länge von Nicolajew: 1. durch 39 Zwilling, verglichen mit Wien $1^{\text{h}} 58' 34'',36$ + 0,425 x, mit Prag (K. Stw.) .. $36'',68$ + 0,299 x, mit Prag (Hall) .. $37'',10$ + 0,299 x, mit Speier .. $37'',90$ + 0,508 x, mit Marseille .. $36'',78$ + 0,318 x. Mittel = $1^{\text{h}} 58' 36'',56$. 2. Durch 40 Zwill., verglichen mit Wien $1^{\text{h}} 58' 33'',97$ + 0,574 x, mit Prag (K. Stw.) .. $35'',60$ + 0,420 x, mit Prag (Hall) .. $36'',60$ + 0,420 x, mit Speier .. $37'',46$ + 0,467 x, mit Seeborg .. $37'',87$ + 0,450 x. Mittel = $1^{\text{h}} 58' 36'',70$.

19. Bedeckung von 69 Löwe. 1823. 18 Mai.

Eintritt am dunkeln Mondrande.

Speier E. 9 40 36,24	$9 59 19,44$	+ 1,082 x
Kremsmünster E. 10 10 4,60	$10 22 4,14$	+ 0,878 x
Königsberg E. 10 27 47,35	$10 47 29,83$	+ 0,456 x
Nicolajew E. 11 35 10,60	$11 33 30,37$	+ 0,382 x
A. 12 36 37,80	$11 33 27,07$	+ 0,023 x

Noch andere Beobachtungen sind Astr. Nachr. Nr. 56 von mir berechnet. Der Werth von x kann durch den Eintritt und Austritt in Nicolajew nicht genau gefunden werden, da die Factoren von x zu klein, und der Austritt zweifach ist. Mittelst der Eintritte ergibt sich die Länge durch Prag $1^{\text{h}} 58' 36'',17$ + 0,403 x, durch Kremsm. .. $37'',23$ + 0,496 x, durch Speier .. $36'',13$ + 0,700 x, durch Lübeck .. $34'',39$ + 0,410 x, durch Königsberg .. $39'',94$ + 0,074 x. Mittel: $1^{\text{h}} 58' 36'',02$.

20. Bedeckung von π Scorpion. 1823. 20 Jan.

Eintritt am dunkeln Mondrande.

Nicolajew E. 12 42 58,34	$12 34 27,04$	+ 2,324 x
--------------------------	---------------	-----------

Aus andern A. N. Nr. 80. S. 133 berechneten Beobachtungen ergibt sich die Länge durch Wien $1^{\text{h}} 58' 37'',20$ + 0,565 x, durch Altona .. $35'',98$ + 0,772 x. Mittel: $1^{\text{h}} 58' 36'',59$.

21. Bedeckung der Alcyone. 1823. 4 Jul.
Eintritt am erleuchteten Mondrande.

Nicolajew E. $15^{\text{h}} 18^{\text{m}} 57,26$ | $16^{\text{h}} 29^{\text{m}} 24,03 + 1,555 x$

Andere Beobachtungen sind von mir berechnet A. N. Nr. 120 S. 452. Werden die Conjunctionen durch $x = -5''/4$ verbessert, so ergibt sich durch Vergleichung mit Neapel (Miradolo) die Länge $1^{\text{h}} 58' 37''/64$. Ich übergehe die gleichfalls in Nicolajew beobachteten Eintritte des Atlas und der Plejone, da bei jener zwei Beobachter um $9''/5$, bei dieser um $3''/2$ voneinander abweichen; bei dem Eintritt der Alcyone stimmen drei Beobachter innerhalb einer halben Secunde überein.

22. Bedeckung eines Sterns in den Zwillingen.
1823. 3 Aug. Eintritt am erleuchteten Mondrande.

Nach der Hist. celeste S. 145 ist für 1800 des Sterns Rectascension $96^{\circ} 48' 51''/7$ und Declination $+24^{\circ} 45' 24''/3$.

Speier E. $14^{\text{h}} 26^{\text{m}} 43,19$ | $15^{\text{h}} 49^{\text{m}} 30,30 + 1,677 x$

A. 15 2 37,41 | $15^{\text{h}} 49^{\text{m}} 28,36 - 1,496 x$

Nicolajew E. $15^{\text{h}} 47^{\text{m}} 40,67$ | $17^{\text{h}} 23^{\text{m}} 40,81 + 0,375 x$

Ein- und Austritt in Speier gibt $x = -0''/61$, daher Länge durch Speier $1^{\text{h}} 58' 36''/53$.

23. Bedeckung eines Sterns der Zwillinge. 1824.
3 Mai. Eintritt am dunkeln Mondrande.

Nach Hist. celeste S. 272 ist für 1800 des Sterns A. R. $102^{\circ} 13' 21''/1$. Decl. $+22^{\circ} 16' 51''/3$.

Prag (Hall) E. $8^{\text{h}} 45^{\text{m}} 2,70$ | $7^{\text{h}} 23^{\text{m}} 29,20 - 0,573 x$

Nicolajew E. $10^{\text{h}} 0^{\text{m}} 0,33$ | $8^{\text{h}} 33^{\text{m}} 34,05 - 1,042 x$

Bei Prag las ich: Eintritt $8^{\text{h}} 48' 23''/95$ wahre Zeit, statt $8^{\text{h}} 45' 23''/95$, wie A. N. Nr. 65. S. 287 steht; damit wäre die Länge $1^{\text{h}} 58' 27''/75 - 0,469 x$; eine unzuverlässige Bestimmung.

24. Bedeckung von P. XVI. 273. 1827. 26 September.
Eintritt am dunkeln Mondrande.

Nicolajew E. $8^{\text{h}} 29^{\text{m}} 44,33$ | $8^{\text{h}} 5^{\text{m}} 58,50 - 0,588 x$

Die von mir A. N. Nr. 137. S. 361 berechneten Beobachtungen geben die Länge durch Kreismünster $1^{\text{h}} 58' 34''/55 - 0,492 x$, oder auf den Meridian der vorhergehenden Beobachtungen reducirt, $1^{\text{h}} 58' 37''/97 - 0,492 x$. Ich bemerke bei

dieser Gelegenheit, daß an dem eben angeführten Orte der A. N. Nr. 137 meine Berechnung des Werths von x für die Bedeckung am 30 Sept. 1827 irrig ist. Aus den Altonster Mondbeobachtungen desselben Tages hatte ich zwar die Verbesserungen der Rectascension und Declination des Monds richtig bestimmt, aber dieselben unrichtig auf Länge und Breite des Monds reducirt; die Breitenverbesserung x sollte $-6''/69$ heißen statt $+0''/63$; mit dem Werthe $-6''/69$ stimmen die Beobachtungen mit den bekannten Längen von Kreismünster und Altona nahe überein.

Zur Uebersicht der einzelnen Resultate stelle ich theils die früher erhaltenen, theils die oben neuerechneten Längen zusammen.

1.	$1^{\text{h}} 58' 33,00$	15.	$1^{\text{h}} 58' 33,02$
2.	36,67	16.	51,82+
3.	38,39	17a	40,60
4.	40,30	b.	32,90
5.	31,74	c.	38,27
6.	40,11	18a.	36,56
7.	37,02	b.	36,70
8.	40,08	19.	36,04
9.	39,75	20.	36,59
10.	49,58+	21.	37,64
11.	40,33	22.	36,53
12.	37,72	23.	27,75+
13.	34,66	24.	37,97
14.	36,46		

Wenn man bloß die offenbar verwerflichen, und von allen übrigen sich auffallend weit entfernenden Nr. 10, 16 und 23 ausschließt, so ist das Mittel aus der Bedeckung von 24 Sternen $= 1^{\text{h}} 58' 37''/05$: von diesen 24 Bestimmungen stimmen 20 innerhalb drei Secunden, die übrigen bis auf vier Secunden mit dem Mittel überein. Aus der Hälfte von Beobachtungen hatte ich früher $1^{\text{h}} 58' 39''/1$ gefunden. Obige Länge $1^{\text{h}} 58' 37''/05$ gilt insofern von dem Orte, wo 1821-1825 beobachtet wurde, der Wohnung des Herrn Admiral Greig, der selbst auch an den Beobachtungen Antheil hat. Da die neue Sternwarte $3''/42$ in Zeit westlicher liegt, so ist demnach die Länge der neuen Sternwarte in Nicolajew $= 1^{\text{h}} 58' 33''/6$ in Zeit von Paris, ein Resultat, das bis auf wenige Secunden sicher seyn möchte.

Stuttgart. 2 April 1829.

W u m.

Verzeichniß der optischen Instrumente, welche in dem optischen Institute *Utschneider et Fraunhofer*, ehemals in Benedictbeuren, jetzt in München für nachstehende Preise verfertigt werden.

Alle in diesem Preis-Courant angesetzte Dimensionen sind im zwölftheiligen Pariser Maße, und die Preise, franco München, ohne Emhallage, in Gulden und Kreuzern im 24 fl. Fuße, zu verstehen.

- 45750
1. Heliometer mit messingener Säule und drei Füßen, parallelisch montirt, mit zwei Labellen, Stunden- und Declinations-Kreis von 4,6 Zollen im Durchmesser, beide mit silbernem Limbus, durch die Fernrohr von Minute in Minute getheilt. Das Fernrohr hat ein achromatisches Objectiv von 42 Zoll Brennweite und 34 Linien Oeffnung, vier astronomische Oculare von 41, 52, 81 und 13maliger Vergrößerung, und zwei Sonneggläser. Dieser Heliometer ist in allen Stücken sehr wesentlich von allen bisherigen verschieden, er repetirt die damit gemessenen Durchmesser der Sonne und Planeten, Distanzen, Ascensions- und Declinations-Unterschiede, ist in jeder Lage vollkommen balancirt, und gibt mittelst der Micrometer-Schraube eine halbe Secunde ohne Repetition an 1850 —
2. Cometensucher mit hölzernem Rohre, messingener Säule und drei Füßen, parallelisch montirt, mit Stunden- und Declinations-Kreis von 5,6 Zollen im Durchmesser, beide von fünf zu fünf Minuten unmittelbar getheilt. Das Fernrohr hat ein achromatisches Objectiv von 24 Zoll Brennweite, 34 Linien Oeffnung, und zwei astronomische Oculare von 10 und 15maliger Vergrößerung. Das Feld hat 6 Grade 490 —
3. Cometensucher mit hölzernem Rohre, ohne Stativ. Das Fernrohr hat ein achromatisches Objectiv von 24 Zoll Brennweite, 34 Linien Oeffnung, und ein astronomisches Ocular von 10maliger Vergrößerung. Das Feld hat 6 Grade 88 —
Auf Verlangen wird hierzu auch noch eine 15malige Vergrößerung geliefert 11 —
4. Großer achromatischer Refractor von 9 Fuß 2 Zoll Brennweite und 6 Zoll 6 Linien Oeffnung, parallelisch montirt, mit eintheiltem Stunden-Kreis und Declinations-Quadranten. Das Rohr hat einen astronomischen Sucher, alle nöthigen feinen und groben Bewegungen, ist in jeder Lage balancirt, folgt durch eine Uhr mit einem Centrifugal-Pendel der Bewegung der Sterne, und hat 6 astronomische Oculare von 62, 93, 140, 210, 320 und 470maliger Vergrößerung, nebst einem repetirenden Linsen-Micrometer mit drei besondern Ocularen etc.
- Außer diesen neunfüßigen Refractoren sind noch einige von 14 Fuß Brennweite und 8,5 Pariser Zoll Oeffnung in Arbeit. Bei Bestellungen solcher größerer Instrumente wird man sich über den Preis vereinigen.
5. Tubus mit Pyramidal-Stativ, unmittelbar am Boden stehend, Füße und Rohr von Mahagony-Holz, mit Horizontal-Kreis und Höhen-Gradbogen durch die Verniers von Minute zu Minute getheilt, mit feiner Bewegung. Das achromatische Objectiv hat 72 Zoll Brennweite und 52 Linien Oeffnung, zwei irdische Oculare von 82 und 120, fünf astronomische von 64, 96, 144, 216 und 324maliger Vergrößerung, einen Kreis-Micrometer, zwei Sonneggläser und achromatischen Sucher 1500 —
6. Tubus mit Pyramidal-Stativ, unmittelbar am Boden stehend, Füße und Rohr von Mahagony-Holz, zwey gekrümmten schiefen Stangen zur sanften Bewegung des Rohres. Das achromatische Objectiv hat 72 Zoll Brennweite und 52 Linien Oeffnung, zwei irdische Oculare von 82 und 120, fünf astronomische von 64, 96, 144, 216 und 324maliger Vergrößerung, einen Kreis-Micrometer, zwei Sonneggläser und achromatischen Sucher 1280 —
7. Tubus mit Pyramidal-Stativ, unmittelbar am Boden stehend, Füße und Rohr von Mahagony-Holz, zwey gekrümmten schiefen Stangen zur sanften Bewegung des Rohres. Das achromatische Objectiv hat 60 Zoll Brennweite und 48 Linien Oeffnung, ein irdisches Ocular von 66, fünf astronomische von 54, 80, 120 und 270maliger Vergrößerung, einen Kreis-Micrometer, achromatischen Sucher und zwei Sonneggläser 1040 —
8. Tubus mit Pyramidal-Stativ, unmittelbar am Boden stehend, Füße und Rohr von Mahagony-Holz, zwei gekrümmten schiefen Stangen zur sanften Bewegung des Rohres. Das achromatische Objectiv hat 60 Zoll Brennweite und 48 Linien Oeffnung, ein irdisches Ocular von 66, fünf astronomische Oculare von 54, 80, 120, 180 und 270maliger Vergrößerung, einen Kreis-Micrometer, achromatischen Sucher und zwei Sonneggläser 870 —
9. Tubus von 5 Fuß 4 Zoll Länge mit hölzernem Rohre, messingenerm Stativ und feiner Vertikal-Bewegung. Das Fernrohr hat ein achromatisches Objectiv von 54 Zoll Brennweite und 43 Linien Oeffnung; zwei irdische Oculare von 60 und 80, und fünf astronomische von 48, 72, 108, 162 und 243maliger Vergrößerung mit zwei Sonneggläsern. Der ganze Tubus in einem polirten Kasten 692 —
10. Tubus von 4 Fuß 10 Zoll Länge mit messingener Rohre und Stativ mit feiner Vertikal-Bewegung.

- Das Fernrohr hat ein achromatisches Objectiv von 48 Zoll Brennweite und 37 Linien Oeffnung; zwei irdische Oculare von 57 und 80, und vier astronomische von 64, 96, 144 und 216maliger Vergrößerung mit einem Sonnenglas. Der ganze Tubus in einem polirten Kasten 422 —
11. Tubus von 4 Fuß 4 Zoll Länge mit messingener Röhre und Stativ mit feiner Vertical-Bewegung. Das achromatische Objectiv des Fernrohrs hat 42 Zoll Brennweite und 34 Linien Oeffnung; zwei irdische Oculare von 50 und 70, und drei astronomische von 54, 84 und 126maliger Vergrößerung, nebst einem Sonnenglas und polirten Kasten 320 —
12. Tubus von 3 Fuß 4 Zoll Länge mit messingener Röhre und Stativ mit feiner Vertical-Bewegung. Das Fernrohr hat ein achromatisches Objectiv von 30 Zoll Brennweite und 29 Linien Oeffnung, ein irdisches Ocular von 42, und zwei astronomische von 60 und 90maliger Vergrößerung, nebst einem Sonnenglas und polirten Kasten 220 —
13. Tubus von 3 Fuß 4 Zoll Länge, mit Ausnahme der feinen Vertical-Bewegung, in allen Stücken dem vorhergehenden Nr. 12 gleich 190 —
14. Tubus von 2 Fuß 6 Zoll Länge mit messingener Röhre und Stativ. Das Fernrohr hat ein achromatisches Objectiv von 20 Zoll Brennweite und 21 Linien Oeffnung, ein irdisches Ocular von 28, und zwei astronomische von 40 und 60maliger Vergrößerung, nebst einem Sonnenglas und polirtem Kasten 117 —
15. Fernrohr von 4 Fuß 1 Zoll Länge mit hölzernem Rohre ohne Stativ. Das Fernrohr hat ein achromatisches Objectiv von 42 Zoll Brennweite und 32,5 Linien Oeffnung; eine Auszugsröhre mit einem irdischen Ocular von 55 und zwei astronomischen von 84 und 126maliger Vergrößerung, ein Sonnenglas und Kasten 160 —
16. Fernrohr von 3 Fuß 1 Zoll Länge mit hölzernem Rohre ohne Stativ. Das Fernrohr hat ein achromatisches Objectiv von 30 Zoll Brennweite und 27 Linien Oeffnung; eine Auszugsröhre mit einem irdischen Ocular von 40, und zwei astronomischen von 60 und 90maliger Vergrößerung, ein Sonnenglas und Kasten 94 —
17. Seefernrohr von 4 Fuß 1 Zoll Länge mit hölzernem Rohre. Das Fernrohr hat ein achromatisches Objectiv von 42 Zoll Brennweite und 29,5 Linien Oeffnung, mit einer irdischen Ocularröhre von 50maliger Vergrößerung, nebst Kasten 97 —
18. Seefernrohr von 3 Fuß 1 Zoll Länge mit hölzernem Rohre, achromatischem Objectiv von 30 Zoll Brennweite und 25,5 Linien Oeffnung, einer irdischen Ocularröhre von 40maliger Vergrößerung und Kasten 68 —
19. Seefernrohr von 2 Fuß 3 Zoll Länge mit hölzernem Rohre, achromatischem Objectiv von 20 Zoll Brennweite, 19 Linien Oeffnung, einer irdischen Ocularröhre und Futteral 38 —
20. Seefernrohr von 1 Fuß 10 Zoll Länge mit hölzernem Rohre, achromatischem Objectiv von 16 Zoll Brennweite, 15,5 Linien Oeffnung, einer irdischen Ocularröhre und Futteral 31 —
21. Marinefernrohr von 2 Fuß 6 Zoll Länge mit hölzernem Rohre, achromatischem Objectiv von 16 Zoll Brennweite, 15,5 Linien Oeffnung und einer irdischen Ocularröhre 54 —
22. Marinefernrohr, wie des vorhergehenden Nr. 21, mit verstellbarem Oculare, um die Vergrößerung zu verändern 57 —
23. Zugfernrohr von 2 Fuß 2 Zoll Länge mit hölzernem Rohre und drei Auszugsröhren von Messing, einem achromatischen Objectiv von 20 Zoll Brennweite, 19 Linien Oeffnung und Futteral von Maroquin 45 —
24. Zugfernrohr von 1 Fuß 10 Zoll Länge mit hölzernem Rohre und drei Auszugsröhren von Messing, einem achromatischen Objectiv von 16 Zoll Brennweite, 15,5 Linien Oeffnung, und Futteral von Maroquin 34 —
25. Zugfernrohr von 1 Fuß 6 Zoll Länge mit hölzernem Rohre und drei Auszugsröhren von Messing, einem achromatischen Objectiv von 12 Zoll Brennweite, 13 Linien Oeffnung, und Futteral von Maroquin 26 —
26. Graßmanns zusammengesetztes Microscop mit vollständigem Apparat, um die Durchmesser der Geometriadien in irgend einem bestimmten Maasse auf 0,00001 Zolle genau messen zu können; mit Apparat zur Beleuchtung, sechs achromatischen Objectiven, einem doppelten und einem einfachen Oculare zu verschiedenen Gesichtsfeld und Vergrößerung. Die Vergrößerungen der Flächen sind bei dem einfachen Oculare 256, 441, 1024, 2809, 5476, 10000, und beim doppelten Oculare 576, 992, 2304, 6320, 12321, 22500. Das ganze Microscop ist in einem polirten Kasten 560 —
27. Zusammengesetztes Microscop mit vollständigem Apparat, vier achromatischen Objectiven und zwei Ocularen, nebst Kästchen. Die Flächen der Gegenstände werden 400, 900, 2500, 5620 u. 12100mal vergrößert 130 —
28. Zusammengesetztes Microscop mit vollständigem Apparat, drei achromatischen Objectiven und einem Oculare, nebst Kästchen. Die Flächen der Gegenstände werden 400, 900 und 2500mal vergrößert 61 —
29. Reise-Microscop mit zwei achromatischen Objectiven, Spiegel, Stellope, Schieber, Zangchen etc. Alles in einer messingenen Hülle 52 —

30. Zusammengeetzte Loupen von drei verschiedenen Vergrößerungen, in messingener Röhre gefaßt, ein Stück. 5 —
 31. Einfache Loupe, in messingenen Ring gefaßt. 2 30
 32. Einfache Loupe, in messingenen Röhren gefaßt 1 30
 33. Einfache Loupe, wie die vorhergehende Nr. 32, nur etwas kleiner. 1 24
 34. Camera lucida, mit Fassung zum Anschrauben am Tisch, mit vier Augengläsern für Kurz- und Weitwichtige. 40 —
 35. Camera lucida, wie die vorhergehende Nr. 34 mit zwei Augengläsern. 33 —
 36. Heliostat mit Uhrwerk, Stunden- und Declinations-Bogen etc. 450 —
 37. Apparat zur Beobachtung der neuen physico-optischen Experimente in Bezug auf die neuen Entdeckungen *Fraunhofer's* über Brechung, Farbenstreuung, Beugung des Lichtes, Hervorbringung der *Fauvespectra* etc. 350 —
 38. Heliotrop zum Behuf geodätischer Messungen. . 450 —
 39. Licht-Polarisierungs-Apparat. 77 —
 40. Repetirende Filar-Micrometer mit und ohne Lampen und Positionskreisen.
 Der Preis wird nach Verhältniß der Größe bestimmt.
 41. Kreis-Micrometer mit doppeltem Stahlringe. 37 —
 42. Kreis-Micrometer mit einfachem Stahlringe. 23 —
 43. Prismen von Crown- und Flintglas, einfache und zusammengeetzte, von verschiedener Größe, zu. 6, 10, 20 —
 44. Plan- und Parallel-Spiegel in runder Form.
 45. Oculare, idische und astronomische, auch bloße Ocular-Linear.
 46. Libellen.
 Diese drei unter No. 44, 45 und 46 bemerkten Gegenstände werden nur auf Bestellungen gefertigt und deren Preis nach Maßgabe ihrer Dimensionen bestimmt.
 47. Achromatische Objectiva.
 Zur Bequemlichkeit für Künstler, welche sich mit Verfertigung astronomischer Instrumente beschäftigen, hat sich das optische Institut entschlossen, einzelne Objectiva, bloß in einem Ring gefaßt, zu verkaufen.
 Die Öffnungen sind in Linien des zwölftheiligen Pariser Maasses angegeben, und die Breite des Fassungsringes nicht mitgerechnet; der ganze Durchmesser der Objective wird also um einige Linien größer als der hier bezeichnete seyn.

Öffnung 12 Linien	8. kr.
14	13 —
16	15 —
18	18 —
21	21 —
24	28 —
27	44 —
30	63 —
33	87 —
36	116 —
39	151 —
42	193 —
45	238 —
48	293 —
51	356 —
54	427 —
57	506 —
60	595 —
63	694 —
66	804 —
72	924 —

Außer obigen rein optischen Gegenständen liefert das optische Institut auch noch:

- Astronomische Pendeluhrn nach einer neuen Construction im Echepement mit Compensationspendel und gestochenen Zifferblatt
 einen Monat lang gehend. 350 —
 acht Tage lang gehend. 328 —
 Pendeluhrn mit gewöhnlichem Anker-Echepement, hölzerner Pendeltange und gestochenen Zifferblatt
 einen Monat lang gehend. 132 —
 acht Tage lang gehend. 110 —
 Reise-Pendeluhrn mit Compensationspendel, Gewichten, gestochenen Zifferblatt und Karten
 einen Monat lang gehend. 297 —
 acht Tage lang gehend. 275 —
 Sekunden-Zähler mit hölzernem halben Sekunden-Pendel, drei Stunden lang gehend. 88 —
 Tertiären-Zähler mit kreisförmig schwingenden Pendel, drei Stunden lang gehend. 88 —
 Schritt-Zähler in Taschenuhr-Form. 16 30

Auf Verlangen werden lithographirte perspectivische Zeichnungen in Groß-Quart-Format von Nr. 1, 2, 4, 5, 26 und 34 gegen 40 kr. pr. Stück abgegeben.

München im December 1836.

In h.: Fortsetzung der von Herrn *Petersen* am Meridiankreise in Altona bestimmten Sterne, p. 297.

Ueber die Länge von *Nicolajew* (Beschluß), p. 303.

Verzeichniß der optischen Instrumente, welche in dem optischen Institute *Vitschneider* et *Fraunhofer*, ehemals in *Benedictshausen*, jetzt in München, für nachstehende Preise verfertigt werden, p. 307.

Altona im Mai 1829.

ASTRONOMISCHE NACHRICHTEN.

N^o. 160.

Schreiben des Herrn *Santini*, Directors der Sternwarte in Padua, an den Herausgeber.

Padova 1829. Aprile 22.

Distratto in molte occupazioni ho lasciato trascorrere lunghissimo tempo senza scriverle, per inviare le osservazioni fatte in sul finire del decorso anno intorno alla Cometa a breve periodo del Sigr. *Encke*, la cui reaparizione ha posto un nuovo sigillo alla teoria di questo vellentissimo Astronomo. Qui a tergo troverà le osservazioni originali che ho fatto in compagnia del mio Collega Sigr. *Carlo Conti*, giovane di molta abilità, e di liete speranze.

Dopo la pubblicazione della mia Teoria degli strumenti ottici, il Sigr. *Roger* ha letto alla Società Astronomica di Londra una memoria, (a quanto pare interessantissima per la Scienza Ottica), che io non conosco, che per l'estratto inserito nel V Volume dell' opera Periodica pubblicata in Vienna dai Signori *Ettingshausen*, e *Baumgartner* sotto il titolo: *Zeitschrift für Physik und Mathematik* (p. 120). Considerando il Sigr. *Roger*, che l'ostacolo principale nella costruzione degli obiettivi acromatici per i grandi rifrattori consiste nella difficoltà di ottenere dalle fornaci dei pezzi grandi di Flintglas puro omogeneo, a scervo da fili, ed onde, valevole a produrre l'acromatismo congiunto immediatamente ad alte lenti di Crown, ha avuto la felice idea di interporre fra quest' ultima, ed il suo foco, quando il fascio dei raggi luminosi è già ristretto in uno spazio più angusto, una lente di correzione composta di due minori lenti di Crown, e di Flint ridotte a contatto, le quali ritardando la convergenza dei raggi rossi, ed allontanando quella dei violacei produca nei raggi di media rifrangibilità l'effetto di un vetro piano, ed è chiaro che si produrranno immagini precise, se si dispongono le superficie della lente di correzione, a la sua distanza dalla maggiore lente obiettiva in modo che tutti i raggi eterogenei paralleli all'asse si riuniscano nel foco medio di quest'ultima. L'illustre Autore prescrive una regola semplice per determinare le distanze focali delle lenti di correzione; indi osserva che costruite queste secondo le dimensioni espresse dalla regola ad un di presso, si potranno distruggere i

residui errori di rifrangibilità mediante un movimento micrometrico, in virtù di cui si possano congiuntamente le due minori lenti avvicinare od allontanare dalla prima; e si distruggeranno gli errori di figura mediante un piccolo movimento tendente a separare alcun poco le due lenti di correzione, senza che siavi bisogno come nell'ordinaria lente di rituccare le superficie dell'ultima lente.

La semplicità di questa costruzione ha destato in me la curiosità di calcolarne dietro la teoria le dimensioni in un esempio numerico, ad oggetto di verificare anco il modo semplice che si prescrive per distruggere le aberrazioni residue sia di rifrangibilità, come anche di figura. Siccome però in quest'ultima parte sono giunto a risultati non troppo concordi con quanto si asserisce dal Chiarissimo Autore, così ho stimato opportuno di unirle qui i risultati del mio calcolo, dai quali ancor più chiaramente apparirà in quali circostanze, e sotto quali precauzioni si debba avere ricorso alla progettata lente di correzione.

Si consideri un sistema di tre lenti disposte intorno ad uno stesso asse, costruite dei vetri appellati Crown e Flint, dei quali gli indici medii di rifrazione siano rispettivamente m, m' ; la prima e la seconda essendo di Crown, e convessa; la terza di Flint, e concava. Le loro distanze focali siano p, q, r , ed assumasi $p = 1$; inoltre siano le distanze di riunione indicate rispettivamente da a, b, β, γ ; la distanza della prima dalla seconda lente $= d$; la seconda a la terza si fangano a contatto. Dovendo la lente di correzione produrre nei raggi di media rifrangibilità l'effetto di un vetro piano, $q + r = 0$, cioè $q = -r$. Non considerando, che i raggi paralleli all'asse, caso che ha luogo negli obiettivi destinati alle osservazioni astronomiche, sarà $a = \infty, a = p = 1, b = -(1-d)$, e ponendo per brevità $\zeta = \frac{d m'}{d m} \cdot \frac{m-1}{m'-1}$, l'equazione, che deva aver

luogo perché si annulli l'aberrazione longitudinale di rifrangibilità, sarà

$$1 + \frac{b^2}{q} (1 - \zeta) = 0;$$

dalla quale si avrà

$$q = \frac{b^2 (\zeta - 1)}{r} = -b^2 (\zeta - 1)$$

donde preso d , e quindi b ad arbitrio, si avranno le distanze focali della due lenti di correzione, ed è abbastanza palese che queste espressioni conducono alla regola data da *Hoger*. Ottenuti b , q , r , si avranno tutte le altre distanze β , c , γ ; giacché sarà $\beta = \frac{b \cdot q}{b - q}$, ed essendo le lenti ultime a contatto sarà $c = -b$, e perché $r = -q$, si troverà anche $\gamma = -b$.

Resta a determinare la figura delle lenti, in modo che sia distrutta l'aberrazione longitudinale di sfericità. A tale oggetto, si indichino per λ , λ' , λ'' i numeri arbitrari, dai quali dipende la loro figura, e si ponga per brevità (come nella teoria degli stromenti ottici Vol. I No. 104).

$$\mu = \frac{m(4m-1)}{8(m-1)^2(m+2)}$$

$$\nu = \frac{4(m-1)^2}{4m-1}$$

$$\rho = \frac{4+m-2m^2}{2(m+2)(m-1)}$$

$$\sigma = \frac{m(2m+1)}{2(m+2)(m-1)}$$

$$\tau = \frac{mV(4m-1)}{2(m+2)(m-1)^2}$$

μ , ν , ρ , σ , τ indicando simili funzioni, quando l'indice m relativo al Crown si cangia nell'indice m' relativo al Flint. Dietro le convenienti riduzioni si troverà che l'equazione data al No. 106 dell'opera citata, affinché si annulli l'aberrazione longitudinale di sfericità in un sistema di tre lenti, riducesi nel caso presente alla seguente.

$$\mu\lambda + \frac{b^2}{q} (\mu\lambda' - \mu\lambda'') + \frac{b^2}{q^2} (\mu\lambda' - \mu'\lambda') = 0 \dots (a)$$

nella quale rimangono tre quantità arbitrarie λ , λ' , λ'' ; determinandone pertanto due a piacere si avrà la terza; in seguito per i noti principii dell'ottica si avranno i raggi delle singole superficie delle lenti.

Esempio numerico. Si voglia costruire un obiettivo aeromatico dietro i precedenti principii con un Crown, ed un Flint della fabbrica di *Prantloper*, per cui si abbiano i seguenti indici;

per il Crown ... raggi medii $m = 1,530000$ } $dm = 0,009$
 raggi rossi $m - dm = 1,521000$
 per il Flint ... raggi medii $m = 1,634494$ } $dm' = 0,01778$
 raggi rossi $m' - dm' = 1,616707$

Di qui si trarrà $\zeta = 1,550853$. Assunto $d = \frac{1}{2}$; sarà $b = -\frac{1}{2}$; quindi si troverà

$$\begin{aligned} q &= 0,072317 \\ r &= -0,072317 \\ \beta &= -c = +0,0594247, \\ \gamma &= -b = 0,3333333. \end{aligned}$$

Per ciò, che riguarda la figura delle lenti, rimanendo arbitraria due della tre quantità λ , λ' , λ'' determineremo λ , λ' in modo che la prima due lenti risultino isoceli, lo che si otterrà mediante le seguenti equazioni (No. 106 Vol. I).

$$\sqrt{\lambda(1-\lambda)} = \frac{q-r}{2r}; \quad \sqrt{\lambda'(1-\lambda')} = \frac{q-r}{2r} \cdot \frac{b-\beta}{\beta}.$$

Da queste nel nostro caso si otterrà $\lambda = 1,6000678$; $\lambda' = 2,233782$; quindi l'equazione (a) darà $\lambda'' = 2,917859$. Dietro questi numeri i raggi delle lenti risulteranno come segue

1° Lente $R = R' = 1,06$;

2° Lente $R'' = R''' = 0,0766553$; ambedue convesso-convesse.

3° Lente di Flint concavo-concava: $R'' = -0,0800292$, $R''' = -0,075404$.

L'apertura si dovrà determinare in modo, che quella delle lenti di correzione non oltrepassi la metà della loro distanza focale. Si troverà così prossimamente l'apertura della prima lente $= 0,108$; in numeri rotondi la riterrò $= 0,1$, la quale eccede notabilmente quella che in pratica si suole adottare per i maggiori obiettivi.

Vediamo ora primieramente, come in questo sistema sia distrutto l'errore di rifrangibilità per i raggi prossimi all'asse, e perciò attribuiamo alle lenti le seguenti grossezze 1° lente 0,002; 2° lente $= 0,002$; 3° lente $= 0,001$, e siano k , k' , k'' , k''' , k'''' , k''''' le distanze ove vanno a riunirsi i raggi prossimi all'asse dopo la rifrazione per la prima, seconda sesta superficie. Si troverà dietro i principii della diottrica

Per i raggi medii.	Per i raggi rossi.
$k = 3,060000$	$k = 3,094550$
$k' = 0,999673$	$k' = 1,016946$
$k'' = 0,1542802$	$k'' = 0,1575919$
$k''' = 0,0589577$	$k''' = 0,0603449$
$k'''' = 0,1809460$	$k'''' = 0,1823450$
$k'''' = 0,314150$	$k'''' = 0,314422$

Quindi l'aberrazione residua di rifrangibilità sarà $= 0,000272$

Prima di procedere al calcolo dell'aberrazione di sfericità, è opportuno distruggere questa residua aberrazione con una piccola variazione δd data alla distanza d . Chiamando δ''

la corrispondente variazione di k^* , si troverà

$$\delta k^* = - \frac{k^2}{(k^* - d)^2} \cdot \delta d; \text{ perciò avremo}$$

$$\text{per i raggi medii } k^* = 0,314150 = 0,889959 \cdot \delta d$$

$$\text{per i raggi rossi } k^* = 0,314422 = 0,603748 \cdot \delta d.$$

Uguagliando questi due valori di k^* si avrà $\delta d = -0,003230$; perciò $d = 0,663437$.

Dietro questo valore corretto di d ricalcolando i valori di k , ottengo i seguenti risultati

Raggi medii.	Raggi rossi.
$k = 3,060000$	$k = 3,094550$
$k^* = 0,999673$	$k^* = 1,016946$
$k^{11} = 0,1547307$	$k^{11} = 0,1580190$
$k^{111} = 0,0590609$	$k^{111} = 0,0603006$
$k^{1V} = 0,1815420$	$k^{1V} = 0,1828973$
$k^V = 0,317137$	$k^V = 0,317921$

Aberr. Resid.

$$= 0,000016$$

donde risulta, che l'aberrazione residua di rifrangibilità è trascurabile.

Ad oggetto di determinare l'errore di sfericità, che ha luogo in questo sistema di lenti con la superiore distanza d corretta, indicheremo gli angoli di incidenza del raggio luminoso, che va verso l'estremità della prima lente, nelle superficie successive retringenti con $i, i^1, i^{11}, \dots, i^V$; gli angoli rifratti rispettivi con $k, k^1, k^{11}, \dots, k^V$; le inclinazioni delle direzioni del raggio rifratto all'asse per $\alpha, \alpha^1, \alpha^{11}, \dots, \alpha^V$; le distanze del punto d'incontro dalle rispettive superficie retringenti per $k, k^1, k^{11}, \dots, k^V$. Si troverà, ritenendo le quantità superiori per le grossezze delle lenti, e ponendo in numeri rotondi $i = 2^{\circ} 43'$.

Per i raggi medii.	Per i raggi rossi.
$i = 2 \ 43 \ 0,0$	$i = 2 \ 43 \ 0,0$
$i^1 = 1 \ 46 \ 30,8$	$i^1 = 1 \ 47 \ 8,6$
$\alpha = 0 \ 56 \ 29,2$	$\alpha = 0 \ 55 \ 51,4$
$k = 3,0555405$	$k = 3,0930420$
$k^1 = 3 \ 39 \ 30,40$	$k^1 = 3 \ 38 \ 52,63$
$\alpha^1 = 5 \ 36 \ 9,16$	$\alpha^1 = 5 \ 33 \ 12,53$
$\alpha^2 = 2 \ 53 \ 7,96$	$\alpha^2 = 2 \ 50 \ 11,3$
$k^2 = 0,995676$	$k^2 = 1,012955$
$k^{11} = 9 \ 39 \ 45,36$	$k^{11} = 10 \ 8 \ 43,80$
$\alpha^{11} = 6 \ 17 \ 53,35$	$\alpha^{11} = 6 \ 39 \ 1,45$
$\alpha^{111} = 6 \ 14 \ 59,77$	$\alpha^{111} = 6 \ 19 \ 53,65$
$k^{111} = 0,1539007$	$k^{111} = 0,1571542$

Per i raggi medii.

$k^{1111} = 18 \ 56 \ 27,6$
$k^{11111} = 29 \ 46 \ 38,1$
$\alpha^{1111} = 17 \ 5 \ 10,3$
$k^{11111} = 0,0529159$
$k^{1V} = 29 \ 12 \ 51,8$
$k^V = 17 \ 22 \ 27,2$
$\alpha^V = 5 \ 14 \ 45,7$
$k^V = 0,1813396$
$k^V = 3 \ 32 \ 54,9$
$k^V = 5 \ 48 \ 23,0$
$\alpha^V = 2 \ 59 \ 17,6$
$k^V = 0,316238$

Per i raggi rossi.

$k^{1111} = 19 \ 28 \ 52,3$
$k^{11111} = 50 \ 28 \ 50,9$
$\alpha^{1111} = 17 \ 19 \ 51,2$
$k^{11111} = 0,0538743$
$k^{1V} = 29 \ 53 \ 44,8$
$k^V = 17 \ 57 \ 23,6$
$\alpha^V = 2 \ 23 \ 30,0$
$k^V = 0,1825478$
$k^V = 3 \ 42 \ 26,3$
$k^V = 6 \ 0 \ 1,9$
$\alpha^V = 3 \ 5 \ 54,4$
$k^V = 0,315527$

Per i raggi medii prossimi all'asse, si trovò $k^* = 0,317137$, che confrontato col valore superiore di k^* per i raggi medii remoti, darà l'aberrazione residua di figura = 0,000899; cioè circa dieci volte più grande di quella, che dagli scrittori di Ottica si stabilisce per tollerabile all'Occhio.

Il Sigr. *Roger* vanta, come uno dei pregi della sua nuova costruzione il poter togliere l'errore di sfericità mediante un piccolo allontanamento della seconda della terza lente, che prescrive doverci lasciare arbitrario, mediante un' apparato micrometrico, finché per osservazione trovati questo distrutto, od almeno ottenuto a segno di essere impercettibile all'occhio. Qualunque non sembri gran fatto lodevole, lasciare alle lenti di questo sistema la libertà di avvicinarsi, od allontanarsi mediante apparati micrometrici per la facilità, con cui possono intorgere errori di centratura anche più pericolosi di quelli, che si vogliono evitare, non parmi ne anche possibile (almeno in questo esempio) di togliere con tal mezzo gli errori di sfericità. In fatti introducendo una piccola distanza δd fra la seconda, e terza lente, si riproducono gli errori di rifrangibilità, che da principio erano stati distrutti. Conviene quindi far variare contemporaneamente eziandio la distanza d di una piccola quantità arbitraria δd ; calcolando numericamente i coefficienti di δd , δd nell'espressione di k^* tanto per i raggi prossimi, come per i raggi remoti, ottengo i seguenti risultati

$$\begin{aligned} k^* &= 0,317137 - 0,88962 \cdot \delta d - 26,8332 \cdot \delta d^2 \\ &\text{per i raggi medii prossimi} \\ k^* &= 0,317121 - 0,80472 \cdot \delta d - 27,5364 \cdot \delta d^2 \\ &\text{per i raggi rossi prossimi} \\ k^* &= 0,316238 - 1,21610 \cdot \delta d - 34,8746 \cdot \delta d^2 \\ &\text{per i raggi medii remoti} \end{aligned}$$

Uguagliando i valori di k^* , si ottiene $\delta d = +0,014013$; $\delta d^2 = -0,0009021$; ed essendosi precedentemente supposto le lenti di correzione a contatto, il risultato negativo e

21*

inamistibile. Non voglio però dedurre generalmente, che non si possa con un'altro rapporto di dispersione giungere anco per questa strada a distruggere gli errori di figura e di rifrangibilità; solo apparisce, che variano fortemente con la distanza sd' , e quindi deve essere, anche se in altri casi la cosa è possibile, costruito con grandissima diligenza l'apparato micrometrico.

Non essendo riuscito con la variazione delle distanze a distruggere l'errore di figura, ho avuto ricorso a piccole variazioni arbitrarie dR'' , dR' date ai raggi dell'ultima lente, che ho riguardati come positivi, quantunque relativi ad una lente concava, avendo per maggiore facilità ricavato in questa ipotesi le equazioni generali relative al viaggio del raggio luminoso. Ho trovato in tal modo le seguenti equazioni di condizione.

$$\begin{aligned} \text{per i raggi medii prossimi all'asse} \quad k'' &= 0,316145 \\ \text{rossi prossimi all'asse} \quad k'' &= 0,316136 \\ \text{medii remoti} \dots\dots k'' &= 0,316129 \\ \text{rossi remoti} \dots\dots k'' &= 0,315466 \end{aligned}$$

Le prime due aberrazioni residue di sfericità, e di rifrangibilità sono tenuissime, e senza i piccoli errori delle tavole a sette cifre, o senza l'influenza delle seconde potestà delle trovate correzioni avrebbero dovuto svanire; l'ultima, cioè l'errore di sfericità nei raggi rossi è all'incirca dello stesso ordine di quella, che rimane negli obiettivi duplicati a contatto costruiti secondo le teorie di *Herschel*, e *Fraunhofer*; è poi minore di quella residua negli obiettivi triplicati; Non può esser tolta del tutto per le ragioni che più diffusamente si dimostrano nell'ottica, ma potrebbe ancora attenuarsi, se tornasse conto di rinunziare alla semplicità della costruzione, che presentano le lenti isocetali, quelli abbiamo supposto essere la prima, e la seconda. Vedesi anco nel tempo stesso, che le aberrazioni variano fortemente coi raggi dell'ultima lente, a quindi la costruzione di una si fatta lente di cor-

$$\begin{aligned} \text{per i raggi medii prossimi} \\ k'' &= 0,317137 - 10,07444 \cdot dR'' = 5,51794 \cdot dR'' \\ \text{per i raggi rossi prossimi} \\ k'' &= 0,317121 - 9,79024 \cdot dR'' = 5,37508 \cdot dR'' \\ \text{per i raggi medii remoti} \\ k'' &= 0,316238 - 12,15546 \cdot dR'' = 4,97661 \cdot dR'' \end{aligned}$$

Le quali risolte danno
 $dR'' = -0,0002655$; $dR' = +0,0006401$; $k' = 0,316280$.
 Quindi i valori corretti di R'' , R' saranno in sequenti
 $R'' = 0,0797637$; $k' = 0,1081805$,
 rinomando la distanza $d = 0,663437$.

Se ora direttamente si calcolo in questo sistema la distanza k' del punto, a cui si riuniscono i raggi dietro l'ultima lente si troverà

$$\begin{aligned} \text{Aberrazioni residua.} \\ \text{di rifrangibilità nei raggi medii} &= 0,000009 \\ \text{di figura nei raggi medii} &= 0,000025 \\ \text{di figura nei raggi rossi} &= 0,000669 \end{aligned}$$

reazione esige molta diligenza, e non sembra doversi consigliare se non per i maggiori cannocchiali destinati alle osservazioni astronomiche, per quali pare potersi impiegare con gran vantaggio, e risparmio di spese. Gode poi la costruzione del Sigr. *Roger* di un'altro grande vantaggio, ed è che sono da essa tolti i contorni colorati. In fatti la condizione, che in un sistema di tre lenti separate da distanze d , d' , e disposte intorno ad uno stesso asse deve aver luogo, perché sia tolto il margine colorato, è rappresentata dall'equazione (Vol. II. Nr. 246) ... $d' = \frac{q+r}{2-\frac{q}{d}}$, la quale nel nostro caso è identica per essere $d' = 0$; $q+r = 0$. Merito pertanto una si fatta combinazione tutta l'attenzione degli ottici pratici.

Giovanni Santini.

Osservazioni della Cometa a breve periodo di *Enke*, fatte nell' I. R Osservatorio di Padova alla Macchina equatoriale di *Utzschneider* esistente nello stesso Osservatorio.

(I numeri Romani preceduti dai numeri Arabici indicano l'Ora, ed il posto in detta ora di una stella di confronto nel Catalogo di *Piazzi*, edizione del 1814; i numeri Arabici colla Lettera B designano il posto di una stella nel Catalogo Recente del Sigr. *Baily*. London 1835.)

1828. Mesi-Giorni.	Nomi delle stelle.	Angolo Orario nell' Equat.	Appulse alla lamina Media.	Decl. latta nella Macchina.	Corr. dell' Orologio.
		$h^{\circ} m'$	$h^{\circ} m'$	$^{\circ} m'$	$^{\circ} m'$
Novembre 1	Cometa	1 28 10	0 31 15,0	25 2 0,0	0 0 "
23. XIII			0 35 9,0	24 46 16,0	

1828. Mesi - Giorni.	Nomi delle stelle.	Angolo Orario nell' Equat.	Appulse alla lamina Media.	Decl. leta nella Macchina.	Corr. dall' Orologio.
Novembre 3	Cometa	^h 0 ^m 36 ^s 41	^h 23 ^m 31 ^s 30,3	^o 24 ['] 15 ["] 4	- 1' 4,0
	60 Pegaso		23 41 29,2	25 57 12	
	61 Pegaso		23 45 23,6	27 20 46	
	Cometa	1 12 10	0 6 54,6	24 15 0	
	h Pegaso		0 12 13,4	24 34 40	
	60 Pegaso		0 16 57,96	25 57 28	
	Cometa	1 41 5	0 35 39,3	24 14 20	
	61 Pegaso		0 49 47,2	27 21 20	
	Cometa	23 55 3	22 45 16,5	23 50 0	- 1 6,5
	h Pegaso		22 58 15,3	24 32 16	
4	Cometa	0 22 0	23 11 54,0	23 51 4	
	h Pegaso		23 21 59,3	24 34 44	
	Cometa	0 47 1	23 36 41,33	23 50 58	
	h Pegaso		23 47 0,0	24 34 48	
	Cometa	0 10 0	22 55 6,3	23 25 24	- 1 9,0
5	h Pegaso		23 9 56,3	24 34 12	
	Cometa	0 47 56	23 33 53,3	23 25 12	
	h Pegaso		23 47 51,7	24 34 12	
	Cometa	2 5 11	22 54 40,03	10 14 12	+ 0 41,7
28	Cometa		23 10 59,8	11 7 14	
	h Pegaso		23 40 14,73	9 8 52	
	y Delino	2 57 55	23 47 22,43	10 15 4	
	Cometa		0 3 34,07	11 6 52	
	h Pegaso		0 32 57,57	9 9 32	
	Cometa	2 55 10	23 45 23,17	8 43 48	+ 1 4,0
Dicembre 2	2510 B.		23 56 16,5	9 30 50	
	h Pegaso		0 29 56,36	9 9 14	
	Cometa	4 0 49	0 50 56,00	8 42 48	
	2510 B.		1 1 50,46	9 31 38	
	h Pegaso		1 35 36,03	9 10 20	
3	Cometa	2 25 58	23 12 20,43	8 7 30	+ 1 4,2
	y Cavallino		23 26 50,00	9 30 26	
	h Cavallino		23 30 57,47	9 22 40	
	Cometa	2 51 0	23 37 20,67	8 7 24	
	y Cavallino		23 51 53,00	9 30 32	
	h Cavallino		23 56 0,97	9 22 50	
5	Cometa	2 54 9	23 32 39,70	+ 6 52 2	+ 1 12,0
	2476 B.		23 40 0,13	3 56 56	
	h Cavallino		23 46 40,33	6 34 38	
	Cometa	3 14 40	23 53 7,27	6 51 48	
	2476 B.		0 0 31,67	3 57 18	
	h Cavallino		0 7 11,13	6 34 54	

1828. Mesi-Giorni.	Nomi delle Stelle.	Angolo Orar. nell' Equat.	Appulso alla Lamina Media.	Decl. letta nell' Equat.	Corr. dell' Orologio.
Dicembre 6	Cometa	$\begin{smallmatrix} h & ' & '' \\ 3 & 21 & 6 \end{smallmatrix}$	$\begin{smallmatrix} h & ' & '' \\ 23 & 55' & 35,50 \end{smallmatrix}$	$\begin{smallmatrix} o & ' & '' \\ + & 6 & 13 & 40 \end{smallmatrix}$	$+ 1 \text{ } 16,1$
	À Delfino		$\begin{smallmatrix} h & ' & '' \\ 23 & 59 & 7,10 \end{smallmatrix}$	$\begin{smallmatrix} o & ' & '' \\ 5 & 27 & 28 \end{smallmatrix}$	
	2476 B.		$\begin{smallmatrix} h & ' & '' \\ 0 & 6 & 54,30 \end{smallmatrix}$	$\begin{smallmatrix} o & ' & '' \\ 3 & 57 & 26 \end{smallmatrix}$	
	À Cavallino		$\begin{smallmatrix} h & ' & '' \\ 0 & 13 & 34,13 \end{smallmatrix}$	$\begin{smallmatrix} o & ' & '' \\ 6 & 35 & 8 \end{smallmatrix}$	
	Cometa	$3 \text{ } 56 \text{ } 53$	$\begin{smallmatrix} h & ' & '' \\ 0 & 31 & 22,73 \end{smallmatrix}$	$\begin{smallmatrix} o & ' & '' \\ 6 & 13 & 12 \end{smallmatrix}$	
	À Delfino		$\begin{smallmatrix} h & ' & '' \\ 0 & 38 & 1,77 \end{smallmatrix}$	$\begin{smallmatrix} o & ' & '' \\ 5 & 28 & 10 \end{smallmatrix}$	
— 7	2476 B.		$\begin{smallmatrix} h & ' & '' \\ 0 & 42 & 49,10 \end{smallmatrix}$	$\begin{smallmatrix} o & ' & '' \\ 3 & 58 & 8 \end{smallmatrix}$	
	À Cavallino		$\begin{smallmatrix} h & ' & '' \\ 0 & 49 & 28,97 \end{smallmatrix}$	$\begin{smallmatrix} o & ' & '' \\ 6 & 35 & 30 \end{smallmatrix}$	
	Cometa	$2 \text{ } 50 \text{ } 44$	$\begin{smallmatrix} h & ' & '' \\ 23 & 21 & 13,33 \end{smallmatrix}$	$\begin{smallmatrix} o & ' & '' \\ + & 5 & 34 & 52 \end{smallmatrix}$	
	À Delfino		$\begin{smallmatrix} h & ' & '' \\ 23 & 28 & 38,30 \end{smallmatrix}$	$\begin{smallmatrix} o & ' & '' \\ 5 & 27 & 2 \end{smallmatrix}$	
	2476 B.		$\begin{smallmatrix} h & ' & '' \\ 23 & 36 & 25,20 \end{smallmatrix}$	$\begin{smallmatrix} o & ' & '' \\ 3 & 57 & 8 \end{smallmatrix}$	
	À Cavallino		$\begin{smallmatrix} h & ' & '' \\ 23 & 43 & 5,03 \end{smallmatrix}$	$\begin{smallmatrix} o & ' & '' \\ 6 & 34 & 38 \end{smallmatrix}$	
— 10	Cometa	$3 \text{ } 20 \text{ } 16$	$\begin{smallmatrix} h & ' & '' \\ 23 & 50 & 42,17 \end{smallmatrix}$	$\begin{smallmatrix} o & ' & '' \\ 5 & 34 & 24 \end{smallmatrix}$	$+ 1 \text{ } 33,6$
	À Delfino		$\begin{smallmatrix} h & ' & '' \\ 23 & 58 & 12,00 \end{smallmatrix}$	$\begin{smallmatrix} o & ' & '' \\ 5 & 27 & 28 \end{smallmatrix}$	
	2476 B.		$\begin{smallmatrix} h & ' & '' \\ 0 & 5 & 59,97 \end{smallmatrix}$	$\begin{smallmatrix} o & ' & '' \\ 3 & 58 & 36 \end{smallmatrix}$	
	Cometa	$3 \text{ } 11 \text{ } 56$	$\begin{smallmatrix} h & ' & '' \\ 23 & 29 & 55,93 \end{smallmatrix}$	$\begin{smallmatrix} o & ' & '' \\ + & 3 & 33 & 8 \end{smallmatrix}$	
	205.XX.		$\begin{smallmatrix} h & ' & '' \\ 23 & 37 & 28,60 \end{smallmatrix}$	$\begin{smallmatrix} o & ' & '' \\ 2 & 47 & 44 \end{smallmatrix}$	
	À Delfino		$\begin{smallmatrix} h & ' & '' \\ 23 & 49 & 40,60 \end{smallmatrix}$	$\begin{smallmatrix} o & ' & '' \\ 5 & 27 & 44 \end{smallmatrix}$	
— 19	2476 B.	$3 \text{ } 47 \text{ } 51+$	$\begin{smallmatrix} h & ' & '' \\ 23 & 57 & 27,67 \end{smallmatrix}$	$\begin{smallmatrix} o & ' & '' \\ 3 & 57 & 50 \end{smallmatrix}$	$+ 2 \text{ } 3,1$
	Cometa		$\begin{smallmatrix} h & ' & '' \\ 0 & 5 & 46,40 \end{smallmatrix}$	$\begin{smallmatrix} o & ' & '' \\ 3 & 32 & 36 \end{smallmatrix}$	
	205.XX.		$\begin{smallmatrix} h & ' & '' \\ 0 & 13 & 27,80 \end{smallmatrix}$	$\begin{smallmatrix} o & ' & '' \\ 2 & 48 & 20 \end{smallmatrix}$	
	À Delfino		$\begin{smallmatrix} h & ' & '' \\ 0 & 25 & 39,20 \end{smallmatrix}$	$\begin{smallmatrix} o & ' & '' \\ 5 & 27 & 56 \end{smallmatrix}$	
	2476 B.		$\begin{smallmatrix} h & ' & '' \\ 0 & 33 & 26,20 \end{smallmatrix}$	$\begin{smallmatrix} o & ' & '' \\ 3 & 57 & 48 \end{smallmatrix}$	
	2278 B.	$4 \text{ } 14 \text{ } 0$	$\begin{smallmatrix} h & ' & '' \\ 23 & 33 & 40,53 \end{smallmatrix}$	$\begin{smallmatrix} o & ' & '' \\ - & 3 & 2 & 8 \end{smallmatrix}$	
— 19	2295 B.		$\begin{smallmatrix} h & ' & '' \\ 23 & 39 & 49,17 \end{smallmatrix}$	$\begin{smallmatrix} o & ' & '' \\ - & 1 & 33 & 48 \end{smallmatrix}$	
	Cometa		$\begin{smallmatrix} h & ' & '' \\ 23 & 49 & 4,97 \end{smallmatrix}$	$\begin{smallmatrix} o & ' & '' \\ - & 3 & 30 & 8 \end{smallmatrix}$	
	Cometa	$4 \text{ } 25 \text{ } 0$	$\begin{smallmatrix} h & ' & '' \\ 0 & 0 & 3,67 \end{smallmatrix}$	$\begin{smallmatrix} o & ' & '' \\ - & 3 & 30 & 12 \end{smallmatrix}$	
	2409 B.		$\begin{smallmatrix} h & ' & '' \\ 0 & 43 & 47,43 \end{smallmatrix}$	$\begin{smallmatrix} o & ' & '' \\ - & 3 & 20 & 42 \end{smallmatrix}$	

Annotazioni.

Dietro la scorta della effemeride del Sig. Enke si ricercò molte volte la Cometa nel mese di Settembre, e di Ottobre; ma non si poté giungere a trovarla. Si riconobbe per la prima volta la sera del 28 Ottobre; però si languida, che non se ne poté istituire un'osservazione regolare. La sera 31 Ottobre era cresciuta in luce; il Sig. Conti la confrontò ad un'Anonima ad esse molto vicina nel modo seguente

Tempo Medio = $10^h 54' 42''$

AR. Com. = AR. di Anon. — $15''$

Decl. Com. = Decl. di Anon. + $4'$

Determinammo la posizione dell'anonima la sera 5 Dicembre alla macchina parallattica.

Lamina Media.

Anonima = $\begin{smallmatrix} h & ' & '' \\ 0 & 13 & 46,73 \end{smallmatrix}$ $\delta = + 25^{\circ} 18' 50''$ $\begin{smallmatrix} h & ' & '' \\ 1 & 6 & 59 \end{smallmatrix}$

69 Pegaso = $\begin{smallmatrix} h & ' & '' \\ 0 & 24 & 55,77 \end{smallmatrix}$ $\delta = + 24^{\circ} 16' 6''$

2^a Osservazione.

60 Pegaso = $\begin{smallmatrix} h & ' & '' \\ 0 & 42 & 17,17 \end{smallmatrix}$ $\delta = + 25^{\circ} 58' 6''$

Anonima = $\begin{smallmatrix} h & ' & '' \\ 0 & 46 & 47,33 \end{smallmatrix}$ $\delta = + 25^{\circ} 19' 6''$ $+ 1' 12''$

69 Pegaso = $\begin{smallmatrix} h & ' & '' \\ 0 & 57 & 56,13 \end{smallmatrix}$ $\delta = + 24^{\circ} 16' 2,0''$

Ai primi di Dicembre la Cometa era bene visibile e rassomigliava ad una larga nebulosa di circa 2 minuti, o piuttosto ad un ammasso di vapori, e di nebbia mal contornata. Non potevasi distinguere il nucleo chiaramente; pure nella parte inferiore apparente, cioè nella spirere vera, pareva potervisi distinguere un punto un poco più splendente

col cannocchiale della Meccina paralattica, che è di 2½ piedi, della fabbrica di *Pianhofer*, dotato di molta chiarezza. Osservata con un cannocchiale dello stesso Autore di 48 pollici presentava le stesse apparenze alla sera 3 Dicembre col minore ingrandimento; coll'ingrandimento 126 il punto splendente appariva un poco più incerto, e più languido.

Tutte queste osservazioni sono state fatte promiscuamente dal Sigr. Don. *Carlo Conti*, Aggiunto all'osservatorio, e da me. Il Sigr. *Conti* le ha diligentemente ridotte, calcolando le posizioni apparenti delle stelle mediante il Catalogo del Sigr. *Baily* (London 1826), ed applicandovi le correzioni della rifrazione, quando erano sensibili. Ha così ottenuto i seguenti risultati.

1828.	D. Medio.	'AR. Com.	Decl. Com.
Ottobre 31	10° 54' 42"	346° 54' 15,0	+ 25° 20' 43,8
Novembre 1	9 46 48	345 46 43,5	25 0 22,3
3	8 38 18	343 23 19,0	24 13 35,2
5	7 13 9	341 22 24,0	24 13 29,2
7	5 42 16	343 19 36,0	24 13 16,1
9	4 12 13	342 12 21,0	23 50 52,6

1828.	D. Medio.	'AR. Com.	Decl. Com.
Novembre 4	3 14 47	342 10 58,5	+ 23 49 28,6
6	2 39 30	342 7 22,5	23 49 18,6
8	1 54 2	340 59 33,0	23 24 20,6
10	0 32 43	340 57 27,0	23 23 8,6
12	6 41 16	316 37 49,5	11 4 22,1
14	7 33 42	316 35 45,0	11 3 14,8
16	7 0 14	312 48 22,5	8 40 16,2
18	5 36	312 46 36,0	8 38 18,7
20	6 23 21	311 52 48,0	8 4 9,5
22	6 48 18	311 52 1,5	8 3 55,1
24	6 35 53	309 56 22,5	6 48 34,6
26	6 56 17	309 55 28,5	6 47 55,9
28	6 54 54	308 56 52,5	6 9 35,4
30	7 30 35	308 55 0,6	6 8 32,5
1	6 16 45	307 58 33,0	5 31 9,6
3	6 46 9	307 57 22,5	5 30 12,4
5	6 13 52	304 53 36,0	3 28 38,8
7	6 49 37	304 51 31,5	+ 3 27 47,9
9	5 58 4	294 16 28,5	- 3 35 57,5
11	6 9 1	294 14 22,5	- 3 36 11,5

Zusatz zu Astr. Nachrichten Nr. 159.

Ueber die Länge von Moskau und Benares.

Da ich die am 3 November 1827 in Benares beobachtete Mondsfinsternis nur mit der Berechnung aus den Tafeln vergleichen konnte, so schien sie mir für die Länge von Benares wenig brauchbar. Von einer Europäischen mir erst später bekannt gewordenen Beobachtung desselben Mondsfinsternis glaubte ich eine nähere Bestimmung der Länge erwarten zu dürfen, eine Vermuthung, die sich indess nicht bewährt hat. Nach den Astr. Nachr. Nr. 155. S. 192 hat Herr Professor *Hallaschka* das Ende der Mondsfinsternis $\equiv 7^h 36^m 30^s,8$ mittl. Zeit in einer Wohnung beobachtet, die unter dem Meridian der Kön. Sternwarte in Prag gelegen ist. Mit der Länge von Prag $48^{\circ} 20' 4''$ erhält man demnach aus dem zu Benares beobachteten Ende $\equiv 12^h 1' 6''$ mittl. Zeit, die Länge von Benares $\equiv 5^h 18' 55^s,6$. Meine Berechnung aus den Tafeln gibt für Prag das Ende $7^h 27' 47^s,0$ mittl. Z. und aus einer Sonnenfinsternis und Sternbedeckung, die in Benares beobachtet worden, fand ich, innerhalb 29 Sekunden übereinstimmend, die Länge von Benares $5^h 22' 56''$, demnach in Zeit 4 Minuten mehr, als die mit Prag verglichene Mondfinsternis geben würde. Sollten etwa, um diese allzugroße Disparität erklärlich

zu finden, von der Prager Beobachtung 3 oder 4 Minuten abgezogen werden müssen? Ich kenne bis jetzt durchaus keine näheren Gründe für diese Muthmaßung. Oder sollte vielleicht entweder in meiner Berechnung der Mondsfinsternis, oder in der Zeiangabe des zu Benares beobachteten Endes ein bedeutender Irrthum liegen? Was erstlich meine Berechnung der Finsternis betrifft, so bemerke ich bloß, daß solche wenigstens mit der Ankündigung in der *Commissance des tems* für 1827 ganz nahe übereinstimmt. Die *Conn. d. t.* setzt 8,7 das Ende $\equiv 6^h 55^m$ Min. wahr. Z. in Paris (oder $\equiv 5^h 39^m 29^s$ mittl. Z.) und die Größe der Finsternis 10 Zolle $36'$; ich finde dagegen das Ende $\equiv 6^h 39^m 26^s,6$ mittl. Z. und die Größe 10 Z. 39,7. Auch die Beobachtung des Endes in Benares scheint, in Rücksicht auf Zeitberichtigung, keinem erheblichen Zweifel unterworfen zu seyn, wie aus folgenden Betrachtungen erhellen wird. Während der Mondsfinsternis wurde in Benares auch die Culmination des Monds um $11^h 46' 52^s,65$ mittl. Z. beobachtet. Nach *Bessel's* Sonnentafeln ist diese mittl. Zeit $\equiv 2^h 35^m 47^s,31$ Sternzeit, oder der Mondmittelpunct culminirte mit dem Punkte der Rectascension $38^{\circ} 56' 49^s,65$; in demselben Mo-

ment aber war nach den Tafeln die Rectasc. des Mondes $\approx 38^{\circ} 57' 6''$, $0 \approx 2^{\circ} 35' 48''$ in Zeit; der Unterschied in Zeit also nur $\approx 9''$. Ich mußte allerdings bei Verwandlung der mittleren Zeit zu Benares in Sternzeit von einer bestimmten Länge dieses Orts ausgehen, und setzte diese Länge $\approx 5^{\circ} 22' 0''$ voraus; allein selbst eine Ungewißheit von ± 3 Min. Zeit in der Länge macht die berechnete Sternzeit nur auf $\pm 0''$ 49 ungewiß, so daß demnach bei der Beobachtung in Benares die Zeitangabe auf 2 bis 3 Sekunden für sicher gehalten werden dürfte.

Da die oben erwähnten Schwierigkeiten sich nicht so leicht heben lassen, und da überhaupt Mondfinsternisse nicht die tauglichsten Beobachtungen für den Zweck einer Längenbestimmung sind; so scheint es mir beinahe am sichersten, mit Vorbeibegung der Mondfinsternisse, sich einstweilen blos an die Resultate zu halten, welche die beobachtete Sonnenfinsternis und Sternbedeckung für die Länge von Benares darbieten.

Stuttgart. 2 April 1829.

W u r m.

Auszug aus einem Schreiben des Herrn Professors *Hansteen*, an den Herausgeber.

Irkutsk 1829. April 11.

Einen solchen Himmel zu astronomischen Beobachtungen, wie den des göttlichen Sirius findet man wohl sonst nicht so leicht wieder. Von dem Augenblick an, da die Fluß Angara (der aus dem Baikalsee kommt, und theilweise Irkutsk einschließt) mit Eis belegt ist, bis zum April hat man unaufhörlich heiteren Himmel. Kein Wölkchen ist zu sehen. Die Sonne geht bei 30° bis 33° Kälte rein und klar auf und unter, und hat nicht den röthlichen Schein, in dem wir sie in der Nähe des Horizonts im Winter sehen. Die ziemlich hohe Lage des Landes (das Barometer oscillirte vom 9ten Februar bis heute zwischen 737^{mm} u. 710^{mm}) und die bedeutende Entfernung vom Meere machen die Luft trocken und dunstfrei, und bewirken ein starkes Strahlen der Wärme, welches letztere mit ein Grund zu der niedrigen Temperatur des Orts ist. Die Gewalt der Sonne im Frühjahr ist hier so stark, daß, bei einer Kälte von 20° bis 30° im Schatten, des Mittags an der Sonnenseite das Wasser von den Dächern tropfelt.

Wir reiten den 12ten Decbr. von Tobolsk, und hatten auf der Reise hieher beinahe unablässig eine Temperatur von -20° bis -34° Réaumur; demohnerachtet beobachtete ich jeden Morgen bei Sonnenaufgang eine Stunde hindurch unter freiem Himmel. Bei 30° Kälte ist glücklicherweise die Luft hier immer still, und ihre Trockenheit macht daß man hier bei -30° weniger leidet als bei uns bei -15° . Die Nase und die Ohren sind der Wirkung der Kälte am meisten ausgesetzt, und es war gar nicht ungewöhnlich daß mein Bedienter mir während des Beobachtens die Bemerkung mit-

theilte daß meine Nase schon ganz weiß sey, und gleich gerieben werden müsse. Die Schrauben an den Instrumenten, die man berühren muß, habe ich mit dünnem Leder bezogen, denn wenn man Metall mit der bloßen Hand berührt, so fühlt man einen stechenden Schmerz wie bei der Berührung einer Kohle, und es kommt gleich eine weiße Blase, wie nach glühendem Eisen.

Mein *Arnoldscher* Chronometer blieb während der Intensitäts-Beobachtungen bei einer Kälte von 26° — 30° 3mal stehen, dagegen hielten sich die beiden *Kesselschen* Uhren sehr gut. Bei einer Kälte von 30° bis 32° gehen sie freilich nicht ganz so regelmäßig wie sonst, aber im Ganzen sind sie vortreflich, was denn nun keine Neuigkeit ist. Auf dem letzten Theile der Reise habe ich das *Arnoldsche* Chronometer und *Kessels* 1250 in der Westentasche getragen, der Boxchronometer *Kessels* 1259 hat aber in seinem Ueberzuge von Krollhausen die Kälte abhalten müssen. Er erträgt Wagentöße sehr gut. Der *Arnoldsche* Chronometer hat seinen Gang von $+6''$ bis zu $+29''$ verändert, die beiden *Kesselschen* Chronometer hingegen, obgleich sie dem schlimmsten ausgesetzt waren, das Chronometern begegnen kann, nemlich einer unmäßigen Kälte, und ewigen Stößen auf rassistischen Wagen (die bekanntlich immer zu carriere gefahren werden) haben ihren Gang von Christiania her nur $2''$ bis $3''$ verändert. Statten Sie dem vorzüglichen Künstler meinen herzlichsten Dank ab.

Hansteen.

(Fortsetzung folgt.)

Inh.: Schreiben des Herrn *Saxini*, Directors der Sternwarte in Padua, an den Herausgeber. pag. 313. — Zusatz zu Astr. Nachr. Nr. 159. Ueber die Länge von Moskau und Benares. p. 325. — Auszug aus einem Schreiben des Herrn Prof. *Hansteen* an den Herausgeber. p. 327.

L E T T R E

A MONSIEUR *LOUIS BREGUET.*

453000



für die Astronomischen Nachrichten.

Stettin - Stern-Verlag

45/2000

L E T T R E ,

A MONSIEUR

L O U I S B R E G U E T

s u r

une Pendule astronomique de Messrs *Breguet Père et
Fils*, avec le tableau de la marche de cette Pendule
pendant 5 années consécutives,

p a r

M. Schumacher.

Δ ALTONA

de l'Imprimerie de *Hammerich et Heineking.*

1 8 2 9.

4250

Monsieur,

Vous aurez vu dans les *Astronomische Nachrichten* Nr. 37 les premiers mois de la marche de votre belle pendule; elle s'y trouve depuis le 1 Octobre 1822, jusqu'au 21 Juillet 1823. J'ai continué depuis ce temps à en suivre la marche, et si j'ai tardé à vous en envoyer le tableau, qui se trouve à la fin de cette lettre, c'était pour y comprendre une période plus étendue; et afin de pouvoir vous présenter un nombre plus considérable de résultats. Peut-être ne l'auriez vous pas encore, et j'y ajouterais toujours des déterminations, pour jouir plus longtemps du plaisir d'étudier la perfection de votre ouvrage, si les circonstances ne me forçaient pas de la démonter bientôt pour m'en servir après pour les observations du pendule simple. Il faut donc me contenter de ce que je possède, et j'ai l'honneur de vous l'offrir, tel qu'il est.

Votre pendule marche depuis le 1 Octobre 1822, sans avoir jamais été arrêtée, et sans que j'y aie touché de quelque façon que ce fût. Son demi-arc de vibration était, lorsqu'elle fût mise en mouvement de 59', il est dans ce moment de 51'. Elle est placée au premier étage de ma maison, dans une des chambres que j'occupe, immédiatement au-dessus de la porte de la maison. Chaque fois qu'on ferme cette porte, elle doit être exposée à une petite secousse, et il me paraît hors de doute que sa belle marche serait encore plus régulière, si j'avais pu la placer d'une manière plus solide. Mais comme elle devait servir de terme de comparaison à mes chronomètres, mon choix n'était plus libre, et toute autre place aurait été incommode.

Elle a été toujours comparée à la pendule de l'observatoire quand l'état de cette dernière a été fixé par des observations. Cette comparaison s'est faite au moyen des chronomètres. Lorsqu'un des chronomètres à temps moyen battait exactement avec votre pendule, on le portait à l'observatoire, où l'on était sûr d'obtenir en 3 minutes une coïncidence parfaite avec la pendule du cercle méridien. En effet, puisque cette pendule suit le temps sidéral, elle doit en 3 minutes, gagner une demi-seconde sur le chronomètre, et par conséquent il

doit y avoir dans cette période un coup de la pendule qui coïncide parfaitement avec un coup du chronomètre. Il est très-facile avec un peu d'exercice de saisir ce coup, et quand on se tromperait même de 4 secondes sur le moment de la coïncidence (ce qui est très-possible), on ne se tromperait que d'un centième de seconde sur la comparaison, parceque le temps sidéral s'avance en 4 secondes, que de 0^h01 sur le temps moyen. Si, au contraire, aucun des chronomètres à temps moyen ne coïncidait pas avec votre pendule, on était obligé de se servir de deux chronomètres au lieu d'un seul. On commençait par la comparer à un chronomètre à temps sidéral, ce qui donnait une coïncidence parfaite tout au plus en 3 minutes; on comparait après ce chronomètre à temps sidéral à un chronomètre à temps moyen, entre lesquels on était sûr d'obtenir dans le même espace de temps une parfaite coïncidence, et l'on portait enfin ces deux chronomètres à l'observatoire, où l'on pouvait obtenir la comparaison avec la pendule du cercle méridien, ou d'abord par le chronomètre à temps sidéral, si par hasard leurs coups coïncidaient, ou tout au plus en trois minutes par le chronomètre à temps moyen, si la coïncidence avec le chronomètre à temps sidéral n'avait pas lieu.

Vous voyez que de cette manière les erreurs provenant des comparaisons, n'étaient pas fort à craindre, mais les erreurs des observations astronomiques restent toujours, et doivent également affecter l'état des deux pendules, et par conséquent influer sur la marche de la vôtre. Cependant il est à présumer, vu l'excellence de l'instrument dont on s'est servi, et les soins minutieux qu'on a employés, tant pour les observations, que pour les calculs, que ces erreurs, en général, n'ont pas dû être très-sensibles, quoique quelquefois leur existence se fasse assez connaître quand les déterminations sont trop rapprochées *). Il m'eût été très-facile de les cacher, en groupant ces déterminations dans des intervalles assez grands pour faire évanouir leur influence sur la marche, mais j'ai préféré de donner le tableau, tel qu'il était, et d'indiquer les défauts qui s'y trouvent.

Avant de vous donner le tableau de la marche, il est bon de dire quelques mots sur l'emploi des signes dont cette marche est affectée. On se sert gé-

*) Voyez par exemple le renvoi N^o 5 de la marche.

ralement du signe (+) pour marquer qu'une horloge avance, et c'est sans doute le signe convenable, quand le temps moyen ou sidéral étant donné, il s'agit de trouver ce qu'une pendule fait par rapport à ce temps. J'aurais donc dû l'employer ici, et je l'aurais fait, si je n'étais trop accoutumé à me servir du signe opposé pour marquer la même chose. En effet, pour un Astronome le plus souvent c'est le problème inverse dont il s'agit, le temps de la pendule est donné, et l'on veut trouver le temps moyen ou sidéral de l'observation: or, dans ce cas, le signe (—) est le signe convenable pour marquer qu'il faut soustraire la quantité dont elle avance, du temps que les aiguilles indiquent. On peut regarder l'avance ou le retard comme une équation qu'il faut appliquer au temps de la pendule, et sa marche est le mouvement de cette équation. Le signe (—) convient donc à cette marche quand elle avance, et le signe (+) quand elle retarde, et c'est de cette manière que j'ai employé ces signes dans le tableau de la marche de votre pendule, comme partout ailleurs.

Vous trouverez au commencement du tableau quelques renvois, dont voici l'explication.

1. Dans les *Astronomische Nachrichten* Nr. 37 p. 201 il y a faute d'impression. Il faut lire

1822 Octobre 21 jusqu'à Octobre 31

au lieu de:

1822 Octobre 1 jusqu'à Octobre 31

La pendule fut placée le 1 Octobre, mais ce n'est que le 21 qu'on a commencé les observations.

2. La pendule fut exposée pendant 8 jours de suite à un froid de — 10° jusqu'à — 11° Réaumur.
3. On a mis les centièmes de seconde dans l'avance de la pendule, non qu'on la garantisse exacte à quelques centièmes près, mais parceque les réductions des observations faites depuis cette époque au grand cercle méridien de *Reichenbach*, donnaient l'état de la pendule de l'observatoire sous cette forme.
4. Il faisait un vent si violent que la maison en tremblait. Vent plus fort encore le lendemain.
5. Quand l'intervalle des observations n'était pas d'un jour entier, on a toujours déduit la marche de la pendule de l'observation la plus prochaine

qui en était éloignée au moins d'un jour entier. Ainsi, la marche $-0''.10$, notée dans le tableau, n'a pas été trouvée en comparant le 11 Janvier avec le 10, parceque ces deux observations ne sont éloignées l'une de l'autre, que de 22 heures; mais elle est déduite de la comparaison de l'observation du 11 Janvier avec celle du 6. Il est évident qu'on ne peut, sans augmenter l'influence des erreurs de l'observation, déduire la marche journalière de deux déterminations, qui ne sont éloignées que d'une fraction de la journée.

On croit, en jetant les yeux sur le tableau de cette belle marche, s'apercevoir que l'influence des températures, pendant les plus fortes chaleurs de l'été et les froids au milieu de l'hiver, s'y fait sentir; ce qui tiendrait à un petit défaut de la compensation, qui paraît un peu trop faible. Mais ce petit défaut, si c'en est un, ne fournit qu'une preuve de plus de l'excellence de votre ouvrage. En effet, quelle perfection ne doit on pas supposer à une pendule qui, pendant 5 années de suite, au milieu de tant de causes accidentelles d'erreur, indique constamment une correction de la compensation, qui ne s'élève dans les extrêmes qu'à une fraction de seconde? Vous savez qu'on pourrait très-misérablement remédier à cette légère inadvertance, mais votre pendule n'y gagnerait rien d'essentiel pour l'usage astronomique, et j'ai préféré de n'y pas toucher du tout.

J'ai cru faire une chose agréable à tous les amateurs de la haute horlogerie, en joignant à cette lettre le dessin du buste de feu Mr. votre Père fait par Mr. *Kassels* à Rome. Je l'ai placé au-dessus de la pendule, et il me rappelle à chaque instant vos bontés et les traits vénérables de cet homme célèbre, qui m'honorait de son amitié.

J'ai l'honneur d'être avec une parfaite considération

Monsieur,

votre très-obéissant serviteur,

Schumacher.

Altona. Janvier 1828.

Marche journalière de la Pendule
N°. 3405

de Messrs. Breguet père et fils.

Depuis le 21 Octobre 1822, jusqu'au 20 Novembre 1827.

45000

1 8 2 2.					1 8 2 3.				
Jours du mois.	Heure.	Avance de la pendule.	Marche jour.		Jours du mois.	Heure.	Avance de la pendule.	Marche jour.	
Oct. 21	8 35	0,1	—	1)	Nov. 5	7 9	37,67	— 0,23	4)
— 31	8 35	2,0	— 0,19		— 8	7 9	38,13	— 0,15	
Nov. 10	5 26	3,6	— 0,16		— 15	22 36	39,93	— 0,24	
— 22	4 24	7,0	— 0,28		— 23	0 48	41,44	— 0,21	
— 29	12 10	9,3	— 0,31		Dec. 3	8 0	43,84	— 0,23	
Dec. 8	10 14	12,3	— 0,34		— 6	23 4	45,09	— 0,34	
— 18	16 28	14,7	— 0,23		— 13	7 4	47,12	— 0,32	
— 30	7 8	15,7	— 0,09		— 21	0 19	49,50	— 0,31	
					— 29	8 55	51,27	— 0,21	
1 8 2 3.					1 8 2 4.				
Jours du mois.	Heure.	Avance de la pendule.	Marche jour.		Jours du mois.	Heure.	Avance de la pendule.	Marche jour.	
Janvier 7	8 12	16,2	— 0,06	2)	Janvier 4	0 40	52,20	— 0,16	5)
— 23	7 54	17,7	— 0,09		— 6	6 0	51,82	+ 0,17	
Févr. 13	8 29	21,4	— 0,19		— 10	2 32	51,82	0,00	
— 18	9 26	22,2	— 0,16		— 11	0 37	52,11	— 0,10	
— 26	9 26	25,3	— 0,39		— 14	9 23	51,89	+ 0,06	
Mars 6	7 36	27,9	— 0,33		— 15	4 27	51,91	+ 0,02	6)
— 15	7 6	29,7	— 0,20		— 23	10 38	52,20	— 0,04	
— 28	7 27	32,4	— 0,21		— 24	20 13	52,46	— 0,14	
Avril 8	9 18	33,7	— 0,12		— 30	8 30	52,73	— 0,05	
— 22	8 20	35,6	— 0,14		— 31	21 49	52,65	+ 0,05	
— 30	10 0	36,1	— 0,06		Févr. 3	0 0	52,75	— 0,05	
Mai 4	9 44	35,7	+ 0,01		— 7	9 14	52,83	— 0,02	
— 15	11 14	35,9	— 0,02		— 11	9 18	52,86	— 0,00	
— 24	9 0	36,3	— 0,03		— 18	9 55	54,34	— 0,21	
— 31	9 12	35,0	+ 0,19		— 19	9 51	54,42	— 0,08	
Jun 9	7 45	33,3	+ 0,19		— 27	8 29	55,11	— 0,08	
— 11	9 3	33,2	+ 0,05		— 28	0 0	55,24	— 0,09	
— 13	9 23	33,0	+ 0,15		Mars 1	8 12	55,34	— 0,04	
— 24	8 0	32,4	+ 0,06		— 4	8 3	56,20	— 0,29	
— 30	7 40	32,3	— 0,02		— 5	9 23	56,35	— 0,15	
Juillet 9	11 12	31,6	+ 0,08		— 10	8 42	56,14	+ 0,04	
— 14	11 19	31,3	— 0,06		— 13	19 22	56,49	— 0,10	
— 21	11 0	31,0	+ 0,04		— 14	8 19	56,67	— 0,13	
— 26	10 34	31,3	— 0,06		— 15	7 19	56,69	— 0,13	
— 30	10 2	30,6	+ 0,08		— 18	8 2	56,60	+ 0,03	
— 14	10 24	30,1	+ 0,05		— 19	7 58	56,50	+ 0,10	
— 25	10 2	29,5	+ 0,05		— 20	7 07	56,43	+ 0,07	
Sept. 11	9 25	29,8	+ 0,01		— 24	4 30	56,48	— 0,01	
— 20	12 0	28,9	— 0,06		— 25	7 37	56,51	— 0,03	
— 28	21 0	29,8	— 0,11		— 31	7 50	56,54	— 0,01	
Oct. 5	0 0	31,1	— 0,21	3)	Avril 3	7 0	56,88	— 0,11	
— 8	6 0	31,3	— 0,06		— 4	6 0	56,55	— 0,00	
— 14	8 12	32,61	— 0,21		— 8	8 29	56,45	+ 0,02	
— 20	9 0	34,00	— 0,23						

1824.				1823.			
Jours du mois	Avance de la pendule.		Marche jours.	Jours du mois	Avance de la pendule.		Marche jours.
	Heure.	Min.			Heure.	Min.	
Avril 13	6 24	56,71	-0,05	Juill. 13	10 34	56,13	+0,96
14	6 16	56,75	-0,04	14	12 17	55,98	+0,14
19	12 28	56,85	-0,02	15	10 59	55,84	+0,13
21	12 20	56,69	+0,08	16	15 33	55,89	-0,04
25	11 18	56,71	-0,01	17	8 59	55,75	+0,05
27	11 52	56,62	+0,04	20	10 8	55,27	+0,16
30	11 0	56,31	+0,10	21	22 26	55,30	-0,02
Mai 2	11 24	56,38	-0,03	23	8 30	55,38	-0,06
9	10 25	56,50	-0,02	24	8 18	55,11	+0,27
11	8 35	56,60	-0,05	28	12 3	54,83	+0,07
12	8 35	56,53	+0,07	29	7 10	54,73	+0,08
14	8 37	56,68	-0,07	30	10 25	54,60	+0,11
19	10 8	57,44	-0,15	31	11 25	54,64	-0,04
21	10 0	57,87	-0,22	Avr. 2	11 0	54,40	+0,12
22	9 52	57,95	-0,08	3	10 23	54,32	+0,08
24	9 45	58,08	-0,07	6	11 14	54,07	+0,08
28	9 28	58,11	-0,01	7	11 2	54,23	+0,16
29	9 24	57,97	+0,14	8	9 44	54,30	-0,12
31	9 24	57,87	+0,05	9	9 52	54,16	+0,14
Juin 2	9 12	57,81	+0,03	10	23 56	54,35	+0,12
3	9 3	57,65	+0,16	11	7 45	54,43	-0,14
4	9 3	57,43	+0,22	14	12 6	53,70	+0,23
5	8 58	57,31	+0,12	16	7 35	54,04	-0,19
6	8 53	57,15	+0,16	17	9 30	54,24	-0,18
7	9 31	56,98	+0,17	22	20 49	54,29	-0,01
8	8 46	56,90	+0,13	23	20 30	54,16	+0,13
9	8 43	56,83	+0,07	24	21 30	54,10	+0,06
11	9 47	56,57	+0,13	25	22 0	53,98	+0,12
14	8 44	56,92	-0,12	26	20 44	53,79	+0,16
15	8 41	56,95	-0,03	27	19 33	53,75	+0,12
18	8 29	57,20	-0,08	28	21 48	53,71	+0,04
23	22 25	57,38	-0,03	30	2 27	53,22	+0,41
24	8 3	57,22	-0,00	31	11 0	52,78	+0,32
29	10 25	57,00	+0,04	Sept. 2	18 51	52,53	+0,11
30	17 10	57,00	+0,00	3	21 22	52,25	+0,25
Juill. 1	10 17	56,96	+0,02	5	22 33	52,05	+0,10
3	18 16	57,06	-0,04	10	5 26	52,52	-0,41
4	9 43	57,19	-0,04	12	5 9	52,57	-0,03
5	18 31	57,04	+0,04	13	7 18	52,30	+0,25
6	9 35	57,26	-0,08	14	11 42	51,90	+0,34
8	21 30	56,90	+0,14	17	2 11	51,81	+0,03
9	9 17	56,58	+0,23	29	5 3	53,71	-0,16
10	10 29	56,24	+0,33	30	10 13	53,89	-0,15
12	11 50	56,42	-0,09	Oct. 3	12 46	54,12	-0,07

1 8 2 4.				1 8 2 5.			
Jours du mois.	Avance de la pendule.		Marche journ.	Jours du mois.	Avance de la pendule.		Marche journ.
	Heure.	pendule.			Heure.	pendule.	
Oct. 4	4 30	54,16	-0,07	Mars 7	6 28	72,68	-0,06
16	10 29	57,56	-0,28	8	6 47	72,76	-0,08
22	11 53	59,27	-0,28	9	9 48	72,70	+0,05
28	3 2	60,27	-0,18	10	8 41	72,77	-0,07
29	23 4	60,97	-0,38	12	8 23	73,04	-0,14
Nov. 2	0 2	61,98	-0,33	14	6 24	73,18	-0,07
9	5 52	64,18	-0,30	16	7 36	73,42	-0,12
10	21 48	64,78	-0,39	17	6 22	73,54	-0,13
15	21 18	66,53	-0,35	19	8 4	73,32	+0,11
19	7 51	67,52	-0,29	20	7 2	73,28	+0,04
24	9 16	69,37	-0,37	23	9 40	73,23	+0,02
26	0 7	69,73	-0,22	25	5 47	73,29	-0,03
27	10 24	70,02	-0,20	26	6 32	73,52	-0,22
29	20 1	70,66	-0,27	30	5 25	74,08	-0,14
Dec. 1	21 49	71,04	-0,19	31	5 20	74,10	-0,02
5	22 29	72,06	-0,26	Avril 2	7 6	74,34	-0,12
9	8 29	73,04	-0,28	6	9 20	74,53	-0,05
10	5 17	73,23	-0,27	7	9 24	74,36	+0,17
17	9 37	73,27	-0,01	8	8 30	74,29	+0,07
23	8 33	73,93	-0,11	9	6 34	74,33	-0,04
25	22 34	73,77	+0,06	11	4 35	74,25	+0,04
29	7 43	74,30	-0,13	18	5 2	75,30	-0,15
1 8 2 5.				25	9 5	76,50	-0,17
Janv. 1	10 49	74,26	-0,02	Mai 4	8 46	77,04	-0,06
5	8 51	73,94	+0,08	8	5 0	76,62	+0,11
8	6 11	73,74	+0,07	8	21 6	76,54	+0,11
16	23 3	72,63	+0,13	9	22 17	76,60	-0,06
18	5 38	72,60	+0,02	10	9 44	76,62	-0,04
26	23 38	72,42	+0,02	21	10 35	76,93	-0,03
27	22 59	72,49	-0,07	22	9 57	76,84	+0,09
Févr. 4	9 1	72,49	-0,00	23	10 11	76,85	-0,01
6	21 42	72,73	-0,10	24	10 10	76,81	+0,04
8	23 1	72,82	-0,04	25	9 45	77,00	-0,19
12	23 18	72,09	+0,18	26	10 14	77,13	-0,13
15	22 22	71,63	+0,16	28	10 4	77,25	-0,06
17	22 55	71,59	+0,02	29	10 43	77,43	-0,18
20	3 28	71,43	+0,07	31	9 45	77,56	-0,07
21	22 5	71,08	+0,20	Juin 1	9 35	77,55	+0,01
25	9 50	71,02	+0,02	5	10 12	77,63	-0,04
26	22 16	70,97	+0,03	7	11 36	78,13	-0,24
28	8 11	71,54	-0,40	7	21 59	77,92	-0,12
Mars 1	10 27	71,87	-0,30	8	9 12	77,93	+0,20
4	8 7	72,51	-0,22	9	10 15	77,68	+0,26
				13	10 12	76,80	+0,22

1825.			
Jours du mois	Heure.	Avance de la pendule.	Marche jour.
	<i>h</i>	<i>m</i>	<i>sec</i>
Juin 14	9 1	76,62	+0,19
15	8 9	76,51	+0,06
20	10 30	76,49	+0,00
21	7 58	76,71	-0,04
23	8 53	76,63	+0,04
25	11 20	76,51	+0,06
27	11 22	76,71	-0,10
Juill. 1	10 37	77,16	-0,11
2	10 10	77,15	-0,01
8	10 8	76,89	-0,04
9	10 27	76,73	-0,16
10	11 34	76,26	-0,45
11	10 16	75,93	-0,35
12	10 12	75,41	-0,52
15	8 58	74,54	-0,29
16	14 10	74,38	-0,13
17	16 32	74,20	-0,16
20	9 42	73,39	-0,28
23	22 0	73,73	-0,10
31	6 22	73,57	-0,02
Août 1	16 0	73,46	-0,08
4	6 9	73,16	-0,12
7	22 58	73,53	-0,10
20	5 8	75,59	-0,17
22	9 7	75,59	-0,00
23	9 49	75,31	-0,27
24	9 43	75,36	-0,05
25	9 9	75,47	-0,11
27	7 16	75,56	-0,05
30	8 52	75,84	-0,09
Sept. 9	30	76,89	-0,11
10	20 48	77,18	-0,16
14	20 30	77,64	-0,12
17	7 50	77,41	-0,09
19	20 4	77,70	-0,12
21	12 24	77,29	-0,24
27	14 37	77,96	-0,11
30	18 46	78,59	-0,20
Oct. 6	20 18	79,23	-0,10
7	22 55	79,33	-0,09
15	12 9	79,66	-0,04
23	11 22	82,43	-0,35
27	3 0	83,43	-0,27
Nov. 5	2 42	86,85	-0,38

1825.			
Jours du mois	Heure.	Avance de la pendule.	Marche jour.
	<i>h</i>	<i>m</i>	<i>sec</i>
Nov. 6	8 42	87,50	-0,52
15	23 11	91,60	-0,43
17	7 56	91,45	+0,11
20	7 13	92,32	-0,29
Dec. 15	8 30	101,23	-0,36

1826.			
Jours du mois	Heure.	Avance de la pendule.	Marche jour.
	<i>h</i>	<i>m</i>	<i>sec</i>
Janv. 1	7 53	107,28	-0,36
2	9 52	107,70	-0,39
11	10 4	110,02	-0,26
16	8 51	111,38	-0,27
20	8 14	112,02	-0,16
29	19 15	113,96	-0,20
Févr. 8	7 37	116,21	-0,22
12	7 57	117,17	-0,24
15	10 9	117,85	-0,22
16	10 18	118,21	-0,36
18	9 22	118,57	-0,24
21	8 52	119,40	-0,28
26	8 37	120,84	-0,29
27	9 17	120,97	-0,26
Mars 6	11 54	122,31	-0,19
10	9 54	122,76	-0,12
11	9 5	122,96	-0,20
16	10 52	123,62	-0,13
22	9 50	124,82	-0,20
Avril 9	11 0	129,94	-0,28
10	11 21	130,03	-0,09
18	10 17	131,74	-0,21
20	10 7	131,81	-0,04
21	10 2	131,86	-0,05
22	10 7	132,07	-0,21
25	9 59	132,48	-0,14
Mai 2	10 48	134,74	-0,32
5	10 34	134,90	-0,05
6	10 30	135,22	-0,32
8	10 30	135,24	-0,01
11	12 7	135,25	-0,00
13	12 20	135,69	-0,32
14	10 3	135,84	-0,17
15	10 5	135,89	-0,05
16	10 19	136,00	-0,11
17	10 12	136,08	-0,08
18	10 18	136,03	+0,05

1826.			
Jours du mois.	Heure.	Avance de la pendule.	Marche jour.
Mai 23	9 25	136,59	— 0,11
31	8 54	136,57	— 0,00
Juin 1	8 48	136,55	+ 0,02
2	9 40	136,28	+ 0,26
8	10 27	136,52	— 0,04
9	9 58	136,36	+ 0,14
11	10 3	135,69	+ 0,33
14	10 24	135,22	+ 0,15
17	10 12	135,41	— 0,06
20	9 52	135,36	+ 0,01
21	11 26	135,46	— 0,10
23	9 41	135,26	+ 0,10
24	9 58	135,07	+ 0,19
25	9 59	134,76	+ 0,31
27	10 12	134,38	+ 0,19
28	10 7	134,09	+ 0,29
30	9 2	134,02	+ 0,03
Juill. 2	10 23	133,70	+ 0,16
3	10 53	133,47	+ 0,23
4	10 23	133,47	+ 0,12
8	9 49	133,45	+ 0,01
13	10 41	133,67	— 0,04
19	9 48	134,19	— 0,08
24	19 45	134,64	— 0,08
27	6 52	134,65	— 0,00
28	6 37	134,61	+ 0,04
29	9 18	134,52	+ 0,02
Aôut 2	9 9	135,04	— 0,17
6	9 8	135,18	— 0,14
23	8 44	136,19	— 0,06
25	7 2	136,42	— 0,12
26	8 31	136,57	— 0,14
28	7 13	136,57	— 0,00
29	7 33	136,34	+ 0,06
30	9 3	136,65	— 0,18
Sept 1	8 9	136,55	+ 0,07
2	8 41	136,74	— 0,19
4	7 56	136,59	+ 0,07
5	8 22	136,64	— 0,05
10	8 49	137,57	— 0,18
13	7 53	138,03	— 0,15
15	8 27	138,24	— 0,10
16	7 35	138,46	— 0,22
17	7 34	138,61	— 0,15

1826.			
Jours du mois.	Heure.	Avance de la pendule.	Marche jour.
Sept. 18	7 40	138,86	— 0,25
21	6 59	139,58	— 0,24
24	7 11	140,35	— 0,26
25	6 27	140,70	— 0,33
26	6 27	140,96	— 0,26
29	8 20	141,25	— 0,10
Oct. 1	7 26	141,34	— 0,05
6	8 6	143,73	— 0,50
7	6 26	143,88	— 0,42
8	5 57	144,50	— 0,63
10	4 54	145,24	— 0,37
11	6 13	145,56	— 0,32
14	7 18	146,35	— 0,26
15	9 47	146,66	— 0,28
16	6 57	147,03	— 0,35
19	5 26	147,45	— 0,14
20	6 44	147,51	— 0,06
21	5 8	147,96	— 0,26
22	5 15	148,26	— 0,32
23	5 28	148,53	— 0,27
24	5 50	148,82	— 0,29
Nov. 8	5 35	155,04	— 0,41
9	6 7	155,45	— 0,41
25	20 47	161,67	— 0,37
Dec. 22	7 33	172,38	— 0,40

1827.

Janv. 5	2 30	175,50	— 0,22
6	6 12	175,94	— 0,38
19	5 41	181,68	— 0,44
22	11 2	182,91	— 0,39
31	4 39	188,30	— 0,59
Févr. 3	4 33	187,93	— 0,31
6	8	187,38	— 0,05
7	4 39	187,02	+ 0,36
8	3 11	186,93	+ 0,09
10	3 46	187,21	— 0,11
11	3 25	187,33	— 0,12
15	3 28	188,48	— 0,28
18	1 45	189,50	— 0,36
23	2 0	191,53	— 0,48
Mars 3	7 13	193,03	— 0,42
5	7 17	196,17	— 0,57
7	7 6	197,17	— 0,50

1827.			
Jours du mois.	Heure.	Avance de la pendule.	Marche journ.
Mars 16	1 16	198,74	-0,57
— 19	7 45	202,36	-0,39
Avril 1	6 36	207,31	-0,40
— 3	3 18	207,53	-0,14
— 6	6 5	208,67	-0,38
— 9	8 36	209,53	-0,27
— 13	6 11	210,42	-0,23
— 14	21 55	210,91	-0,30
— 29	0 30	214,8	-0,28
Mai 7	9 39	215,61	-0,10
— 19	9 46	217,06	-0,12
— 20	9 22	217,00	+0,06
— 29	23 34	219,31	-0,23
Juin 5	8 26	220,39	-0,17
— 9	15 48	221,29	-0,21
— 11	8 41	221,30	-0,01
Juill. 2	21 44	224,52	-0,15
— 6	7 56	225,90	-0,40
— 18	7 55	229,51	-0,30
— 29	23 9	231,37	-0,16

1827.			
Jours du mois.	Heure.	Avance de la pendule.	Marche journ.
Juill. 31	23 2	231,62	-0,13
Août 17	12 7	234,84	-0,20
— 20	22 37	235,20	-0,10
— 21	20 56	240,02	-0,04
— 22	22 19	235,30	-0,05
— 31	21 48	238,76	-0,38
Sept. 4	9 30	239,28	-0,15
— 5	21 30	239,79	-0,38
— 8	21 6	240,77	-0,35
— 15	6 47	240,59	-0,02
— 20	8 3	242,14	-0,25
— 29	3 4	244,81	-0,30
— 30	8 56	245,06	-0,20
Oct. 4	10 8	245,82	-0,19
— 15	11 52	251,98	-0,55
— 20	22 30	254,60	-0,48
— 29	5 6	259,09	-0,54
Nov. 13	0 19	266,50	-0,50
— 17	20 55	268,44	-0,40
— 20	20 34	269,59	-0,38

—————

ASTRONOMISCHE NACHRICHTEN.

N^o 161.

G n a d e n b e z e u g u n g .

Seine Majestät der König von Dänemark haben, um den glänzenden Kreis fremder Astronomen, die mit dem Dannebrogorden beehrt sind, zu erweitern, dem berühmten Vorsteher der Berliner Sternwarte, Herrn Professor *Encke*,

Königlichen Astronomen, und Secretär der Academie der Wissenschaften, des Ritterkreuz des Dannebrog, durch den Herausgeber dieser Blätter übersenden lassen.

S.

Beobachtungen der Ceres in Göttingen.

1829.	M. Z.	G. A.	Abw. N.
	^h ₁ ^m ₂₁ ^s _{46,2}	^o ₉₇ ['] ₂₄ ["] _{25,0}	^o ₃₀ ['] ₂₂ ["] _{0,4}
Januar 22	10 21 46,2	97 24 25,0	30 22 0,4
25	10 7 41,4	96 50 4,0	30 30 8,3
Febr. 11	8 52 51,7	94 49 55,8	30 58 55,4
19	8 20 52,8	94 41 58,8	31 4 46,7
März 5	7 29 47,9	95 41 35,9	31 6 19,2

1829.	M. Z.	G. A.	Abw. N.
	^h ₆ ^m ₅₉ ^s _{57,5}	^o ₉₇ ['] ₅ ["] _{4,0}	^o ₃₁ ['] ₂ ["] _{42,0}
März 14	6 59 57,5	97 5 4,0	31 2 42,0
16	6 53 37,2	97 27 56,7	
18	6 47 22,3	97 52 14,5	30 59 55,9

Die Beobachtung der Opposition war durch die anhaltend ungünstige Witterung vereitelt.

G a u s s .

Bestimmung der GröÙe der Erde aus den vorzüglichsten Messungen der Breitengrade.

Unter der Voraussetzung die Erdoberfläche sey ein elliptisches Sphäroid läßt sich bekanntlich aus zwei unter verschiedenen Polhöhen gemessenen Meridianbögen, die Gestalt der erzeugenden Ellipse finden; allein die Anwendung der aus dieser Annahme abgeleiteten Formeln auf die verschiedenen Messungen hat gezeigt, daß jede paarweise Verbindung derselben ein ganz anderes Resultat der Dimensionen darstellt. Es war daher nützlich, nach einem der Natur der Sache gemäßen Princip die Gesamtmasse der besten Messungen zu behandeln, um aus denselben die wahrscheinlichste Gestalt der Erdoberfläche abzuleiten. Dies ist zum Theil von *Hfbeck* in der nicht ganz vollendeten Abhandlung *Dissertatio de forma et magnitudine telluris, ex dimensis arcibus meridiani definiendis* geschehen, welcher dabei das Princip zum Grunde legte, daß die Summe der Quadrate der Unterschiede zwischen den gemessenen und den berechneten Amplituden ein Minimum seyn solle. Allein theils hat er bei den Rechnungen die zweite Potenz der Abplattung, theils auch alle zwischen den Endpunkten

der ganzen Messung beobachteten Amplituden vernachlässigt, so daß durch eine genauere Untersuchung seine Resultate noch einige Abänderung erleiden konnten. Durch den Herrn *Hofrath Gauss* veranlaßt, nahm ich daher diesen Gegenstand wieder auf, wobei die zweite Potenz der Abplattung mit berücksichtigt, und das erwähnte Princip dahin abgeändert wurde, daß nicht die Summe der Quadrate der Unterschiede der Amplituden, sondern der Unterschiede der berechneten und beobachteten Polhöhen ein Minimum wird. Die Resultate meiner Berechnung wurden schon früher bekannt gemacht (*Bestimmung des Breitenunterschiedes zwischen den Sternwarten von Göttingen und Altona von C. F. Gauss*); allein bei einer Revision zeigte sich ein kleiner Rechnungsfehler; auch wurde ich mit einer kleinen Correction bekannt, welche die ostindischen und englischen Messungen erleiden müssen (*Philosophical Transactions* 1821, wo *Kater* durch die Vergleichung der Maßre zeigt, daß die Länge der ostindischen Bogen mit $1 - 0,000018$, die der englischen mit $1 + 0,000007$ multiplicirt werden muß), so

dafs eine neue Berechnung nothwendig wurde, die ich hier mittheile. Man bezeichne die Länge des mittlern Grades durch f' (den dreihundertsechzigsten Theil des Erdmeridians), die Abplattung durch a , so dafs wenn b die halbe kleine, a die halbe große Axe der Ellipse ist $b = a(1-a)$ wird, setze dann

$$f = \frac{57009,76}{1 + \frac{a}{10,33}} \text{ Toisen}$$

$$a = \frac{1 + y}{302,78}$$

so geben die folgenden Messungen zur Bestimmung von u und y diese End-Gleichungen:

$$72,13 = 2100,99 u + 1763,16 y$$

$$209,77 = 1763,16 u + 9348,66 y$$

Hieraus folgt

$$u = +0,01937669, \text{ Gewicht} = 1768$$

$$y = +0,01782113, \text{ ———} = 7869$$

und die Fehler der einzelnen Polhöhen sind dann folgende:

Peruanische Messung.

Tarqui	— 3 4 30,83	+ 1,79
Cotchesqui	+ 0 2 37,83	— 1,79

Erste Ostindische Messung.

Trivandeporum	+ 11 44 52,59	— 0,54
Paudree	13 19 49,02	+ 0,55

Zweite Ostindische Messung.

Punnee	8 9 38,39	— 1,73
Putchapolliam	10 59 48,93	— 1,21
Dodagootah	12 59 59,91	+ 3,50
Namthabadi	15 6 6,64	— 0,57

Französische Messung.

Formentera	38 39 56,11	+ 3,39
Montjouy	41 21 45,45	+ 2,56
Barcellona	41 22 47,16	+ 0,83
Perpignan	42 41 58,01	— 4,15
Carcassonne	43 12 54,31	— 1,01

Evvaux	46 10' 42,19	— 5,88
Pantheon	48 50 48,94	+ 0,36
Dünkirchen	51 2 8,74	+ 3,88

Englische Messung.

Dunnose	+ 50 37 7,81	— 1,88
Greenwich	51 28 39,60	+ 0,95
Blenheim	51 50 27,50	+ 3,01
Arburyhill	52 13 27,79	+ 1,83
Clifton	53 27 31,59	— 3,89

Hannoversche Messung.

Göttingen	51 31 47,85	— 2,74
Altona	53 32 45,27	+ 2,74

Schwedische Messung.

Malörn	65 31 31,06	+ 1,33
Peltawara	67 8 51,41	— 1,33

Die Summe der Quadrate dieser Fehler beträgt $157''78$, und hieraus ergibt sich der mittlere Fehler einer Bestimmung $\pm 3''140$. Der mittlere Fehler ist

$$\text{für } u = 0,074684$$

$$\text{für } y = 0,035401.$$

Substituiert man die vorhin angegebenen Werthe von u und y in die Ausdrücke für a und f , so findet sich

$$\text{Der dreihundertsechzigste Theil des Erdmeridians} = 57009,655 \text{ Toisen}$$

$$\text{die Abplattung} = \frac{1}{297,479}$$

Der mittlere zu befürchtende Fehler in dem Werthe von f ist 4,26 Toisen, und der mittlere in dem Werthe von a zu befürchtende Fehler beträgt 10,5 Einheiten des Nenners; $a = 3271852',32$; $b = 3260853',70$.

Rücksichtlich der bei diesen Berechnungen angewendeten Formeln beziehe ich mich auf den ersten Theil meiner mathematischen und physischen Geographie, dessen Druck in einigen Wochen beendigt seyn wird.

Dr. Eduard Schmidt.

Thermometer- und Barometerstand in Danzig.

I.

Thermometerstand in Danzig.

Die Formel, welche Herr Prof. Ritter Bessel in Nr. 136 der Astron. Nachrichten für die Königsberger Temperatur gegeben hat, veranlaßte mich nach denselben Grundsätzen eine Formel für die Temperatur von Danzig zu suchen. Die unten folgende Formel beruht auf den Beobachtungen des Herrn Regierungsraths Dr. Kleffel, welcher seit einer

Reihe von Jahren den Thermometerstand um 6^h Morgens, 2^h Nachmittags und 10^h Abends aufzeichnet hat. Zur Berechnung sind dessen 15jährige Beobachtungen von 1811 bis 1825 incl. benutzt worden. Als mittlere Temperatur des Tages ist das Mittel der 3 genannten Beobachtungen angesehen worden; bei der Berechnung der Constanten sind die bis zur 4^{ten} Decimale berechneten 51gigen Mittel angewendet worden; die beiden letzten Decimalen aber in der

unten folgenden Vergleich zwischen den nach der Formel berechneten und den beobachteten Temperaturen weglassen wurden.

Wenn x die vom 3^{ten} Januar an gerechnete Zeit in Tagen ausgedrückt, bedeutet, so ist die Formel für die Temperatur Danzigs nach Réaumur's Scale

$$y = 6,2441 + \frac{7,5920}{\circ} \cdot \sin \frac{\pi}{365} [252,251 + x \cdot 0,998,333] \\ + \frac{0,3273}{\circ} \cdot \sin \frac{\pi}{365} [349,47,3 + 2x \cdot 0,998,333] \\ + \frac{0,1565}{\circ} \cdot \sin \frac{\pi}{365} [219,41,0 + 3x \cdot 0,998,333] \\ + \frac{0,2850}{\circ} \cdot \sin \frac{\pi}{365} [805,21,9 + 4x \cdot 0,998,333]$$

mit der Quadratsumme der übrig bleibenden Fehler 9,56.

		Beobachtung.	Berechnung.	Unterschied.
		\circ	\circ	\circ
Jan.	3	- 2,65	- 1,38	- 1,27
	8	- 2,10	- 1,46	- 0,64
	13	- 0,93	- 1,45	+ 0,52
	18	- 1,09	- 1,36	+ 0,27
	23	- 1,56	- 1,22	- 0,34
	28	- 0,51	- 1,03	+ 0,52
Febr.	2	+ 0,06	- 0,80	+ 0,86
	7	- 0,96	- 0,55	- 0,41
	12	- 0,43	- 0,28	- 0,15
	17	+ 0,25	+ 0,01	+ 0,24
	22	+ 0,25	+ 0,31	- 0,06
	27	+ 0,33	+ 0,62	- 0,29
März	4	+ 0,89	+ 0,96	- 0,07
	9	+ 1,38	+ 1,33	+ 0,05
	14	+ 1,36	+ 1,73	- 0,37
	19	+ 2,33	+ 2,17	+ 0,16
	24	+ 2,52	+ 2,65	- 0,13
	29	+ 3,32	+ 3,18	+ 0,14
April	3	+ 3,62	+ 3,75	- 0,13
	8	+ 4,36	+ 4,35	+ 0,01
	13	+ 5,31	+ 4,99	+ 0,32
	18	+ 5,79	+ 5,64	+ 0,15
	23	+ 6,13	+ 6,30	- 0,17
	28	+ 6,81	+ 6,95	- 0,14
Mai	3	+ 7,96	+ 7,58	+ 0,38
	8	+ 8,07	+ 8,19	- 0,12
	13	+ 8,84	+ 8,76	+ 0,08
	18	+ 9,54	+ 9,30	+ 0,24
	23	+ 9,49	+ 9,81	- 0,32
	28	+ 9,82	+ 10,28	- 0,46
Juni	2	+ 10,31	+ 10,73	- 0,42
	7	+ 11,37	+ 11,16	+ 0,21
	12	+ 12,10	+ 11,57	+ 0,53
	17	+ 11,93	+ 11,97	- 0,04
	22	+ 12,31	+ 12,37	- 0,06
	27	+ 12,89	+ 12,75	+ 0,14

		Beobachtung.	Berechnung.	Unterschied.
		\circ	\circ	\circ
Juli	2	+ 13,15	+ 13,12	+ 0,03
	7	+ 13,35	+ 13,46	- 0,11
	12	+ 13,57	+ 13,76	- 0,19
	17	+ 14,29	+ 14,02	+ 0,27
	22	+ 14,50	+ 14,20	+ 0,30
	27	+ 14,20	+ 14,31	- 0,11
Aug.	1	+ 14,21	+ 14,32	- 0,11
	6	+ 14,28	+ 14,24	+ 0,04
	11	+ 13,89	+ 14,06	- 0,17
	16	+ 13,65	+ 13,78	- 0,13
	21	+ 12,82	+ 13,40	- 0,58
	26	+ 13,17	+ 12,94	+ 0,23
	31	+ 12,73	+ 12,42	+ 0,31
Sept.	5	+ 11,74	+ 11,83	- 0,09
	10	+ 11,43	+ 11,22	+ 0,21
	15	+ 10,76	+ 10,58	+ 0,18
	20	+ 9,87	+ 9,94	- 0,07
	25	+ 9,48	+ 9,31	+ 0,17
	30	+ 8,49	+ 8,69	- 0,20
Octbr.	5	+ 8,17	+ 8,09	+ 0,08
	10	+ 7,63	+ 7,51	+ 0,12
	15	+ 6,91	+ 6,94	- 0,03
	20	+ 6,47	+ 6,37	+ 0,10
	25	+ 5,41	+ 5,80	- 0,39
	30	+ 4,92	+ 5,22	- 0,30
Nov.	4	+ 4,77	+ 4,62	+ 0,15
	9	+ 4,16	+ 4,00	+ 0,16
	14	+ 2,79	+ 3,37	- 0,58
	19	+ 2,37	+ 2,73	- 0,36
	24	+ 2,56	+ 2,18	+ 0,38
	29	+ 2,75	+ 1,46	+ 1,29
Decbr.	4	+ 0,94	+ 0,86	+ 0,08
	9	- 0,32	+ 0,30	- 0,62
	14	- 0,06	- 0,20	+ 0,14
	19	- 0,70	- 0,62	- 0,08
	24	- 0,93	- 0,97	+ 0,04
	29	- 0,75	- 1,22	+ 0,47

Der konstante Winkel $\zeta^{(0)}$ im 2^{ten} Gliede von y ist für Königsberg und Danzig nahe derselbe, für den erstern Or $253^{\circ} 19', 8$, für den 2^{ten} $252^{\circ} 25', 1$. Es war mir interessant, zu untersuchen, was sich hierüber aus andern Beobachtungen ergeben würde. Für Danzig konnte ich noch die Resultate 21jähriger Thermometerbeobachtungen benutzen welche Herr Dr. Westphal im 1^{sten} Bande der Schriften der naturforschenden Gesellschaft zu Danzig S. 75 mitgetheilt hat! Aus der dort gegebenen Tafel, welche den mittlern Gang der Temperatur in Danzig für jeden Tag des Jahres ent-

hält, findet man den konstanten Winkel $U' = 251^{\circ} 58' 2$. Dieser Winkel scheint für ganz Europa nahe derselbe zu sein, denn man findet denselben

$$\begin{aligned} &= 249^{\circ} 52' \text{ für Stockholm.} \\ &247 \text{ } 44 \text{ für Rom.} \\ &251 \text{ } 6 \text{ für London.} \\ &256 \text{ } 30 \text{ für Wien.} \end{aligned}$$

Die zur Bestimmung dieses Winkels nöthigen Data sind aus Herrn Prof. Brandes Beiträgen zur Witterungskunde S. 10 entnommen.

II.

Barometerstand in Danzig.

Zur Anstellung regelmäßiger Barometerbeobachtungen hatte die hiesige Naturforschende Gesellschaft die Anschaffung eines Barometers aus der Werkstatt der Herren *Pistor & Schick* in Berlin bewilligt. Das schöne Instrument von der im 12ten Bande der Königsberger Beobachtungen beschriebenen Einrichtung, wurde im Novbr. 1826 in meiner Wohnung aufgestellt. Herr *Schick* selbst, welcher auf seiner Reise von Königsberg nach Berlin einige Tage in Danzig verweilte, hatte die Güte, dieses Geschäft zu übernehmen. Die Mittagsbeobachtungen des Jahres 1827 verglichen mit korrespondirenden Beobachtungen an einem gleichen Instrumente auf der Königsberger Sternwarte ergeben, daß das Danziger Barometer etwa 43 Rheinh. Fufs über dem Spiegel der Ostsee steht. Seit dem Novbr. 1826 habe ich mit wenigen Unterbrechungen täglich von 8^h Morgens bis 10^h Abends in Intervallen von 2 Stunden die Barometerstände an diesem Instrumente aufgezeichnet; außer den angezeigten aber auch nicht selten noch zu andern Tageszeiten. Die bei einer solchen Unternehmung fast unvermeidlichen Lücken sind durch Interpolation ausgefüllt, nachdem zuvor die vorhandenen Beobachtungen nach Tafeln reduziert waren, denen die Formel

$$h' = h \cdot \frac{1 + m(t' - t^0)}{1 + q t'}$$

zum Grunde liegt; wo h die beobachtete Barometerhöhe, m die Ausdehnung der Scale von Messing, t' die Temperatur dieser Scale, q die Ausdehnung des Quecksilbers, t die Temperatur des Quecksilbers, h' die Barometerhöhe bei 0° R. in Theilen der Toise du Pérou bedeutet. (S. Samml. von Hülfstafeln, 1 Heft. Copenhagen 1822. S. XV.)

Zur Berechnung der Formel, welche den mittlern Gang des Barometers für jede Stunde des Tages darstellt, sind die mittlern Barometerstände von 692 Beobachtungstagen in den Jahren 1827 und 1828 benutzt. Der Stand um 6^h Morgens und 12^h Abends, zu welchen Zeiten seltener beobachtet wurde, ist aus dem Stande von 10^h und 8^h und den Ver-

änderungen von 6^h bis 8^h und von 10^h bis 12^h geschloßen, da bemerkt wurde, daß in längern Zeitabständen diese Veränderungen nahe dieselben bleiben, während die mittlern Barometerstände nicht dieselben sind. Die beiden fehlenden Beobachtungen von 2^h und 4^h Morgens, wo fast gar keine Beobachtungen gemacht sind, habe ich nach der in Nr. 136 S. 341 gegebenen Vorschrift interpolirt. Die Formel, welche den aus 2jährigen Beobachtungen gefolgerten Barometerstand B für jede vom Mittag an gerechnete Stunde t des Tages darstellt, ist folgende

$$\begin{aligned} B = 336,3262 &+ \frac{1}{1000} 0,025447 \sin(262^{\circ} 0,2 + t \cdot 15^{\circ}) \\ &+ 0,05073 \sin(146 15,0 + 2t \cdot 15) \\ &+ 0,00431 \sin(83 20,5 + 3t \cdot 15) \\ &+ 0,00649 \sin(121 44,5 + 4t \cdot 15) \end{aligned}$$

mit der Quadratsumme der übrig bleibenden Fehler 0,0003

Beobachtung.	Berechnung.	Unterschied.
0 ^h	336,344	+ 0,005
2 ^h	269	- 0,006
4 ^h	262	+ 0,006
6 ^h	294	- 0,005
8 ^h	361	+ 0,004
10 ^h	395	- 0,003
12 ^h	382	+ 0,001
14 ^h	321	+ 0,000
16 ^h	296	+ 0,000
18 ^h	307	- 0,001
20 ^h	331	+ 0,002
22 ^h	353	- 0,004

Außer diesen zu den genannten Zeiten angestellten Beobachtungen enthält mein meteorologisches Journal noch 14 monatliche Beobachtungen von 1^h Nachmittags. Das Mittel derselben ist bei der Berechnung der obigen Formel nicht benutzt.

Die Summe der im Jahr 1827 um 1^h angestellten Beobachtungen ist = 12699,92 + 336,353. Hiezu kommt noch die Summe der im Juni und Juli 1828 beobachteten Barometerstände = 1729,00 + 48,336. Für die übrigen 10 Monate wurde der Werth für diese Stunde aus den Summen von 12^h und 2^h interpolirt. Die Summe aller auf diese Weise zusammengestellten Beobachtungen von 1^h dividiert durch 692 ist $336^{\circ} 304$, die obige Formel giebt für 1^h den Barometerstand $336^{\circ} 307$.

Schon die Beobachtungen eines Jahres deuten auf eine nicht zu verkennende Uebereinstimmung in den konstanten Quantitäten und Winkeln der Formel. Für das J. 1827 ist

$$\begin{aligned} B = 336,0038 &+ 0,03156 \sin(228 52 + t \cdot 15) \\ &+ 0,06021 \sin(145 20 + 2t \cdot 15) \end{aligned}$$

die Beobachtungen des J. 1828 geben

$$B = 336,6600 + 0,03201 \sin(303^{\circ} 40,5' + t.15^{\circ}) \\ + 0,04271 \sin(143^{\circ} 12,7' + t.30^{\circ})$$

Die nach diesen Formeln berechneten Werthe weichen von den beobachteten höchstens um $0,001$ ab.

Der konstante Winkel im 3^{ten} Gliede von B oder U_{00} scheint überall nahe derselbe zu sein. Nach Herrn Prof. *Hällström's* Untersuchungen (*Poggendorff's* Annalen B. 84. Jahrgang 1828. St. 10, 11, 12) ist dieser Winkel nach *La-manson's* Beobachtungen zwischen 1° nördlicher und $1^{\circ} 34'$ südlicher Breite bei $161^{\circ} 40'$ westlicher Länge . . . $157^{\circ} 32'$ nach *v. Humboldt's* Beobachtungen am Äquator in Amerika 147 13

nach *Horner* in der Äquatorialregion des stillen Meeres $155^{\circ} 21'$ und 148 38
nach *Simanoff's* Beobachtungen in Otscheit 169 25
nach *Balfour's* Beobachtungen in Calcutta 147 7
nach *Chiminello* in Padua 136 3
nach *v. Jelin* in München 137 12
nach den Pariser Beobachtungen 148 32
nach *Winkler* in Halle 136 9
nach *Hällström* in Åbo 124 11

Das Mittel aus allen diesen Angaben ist $146^{\circ} 30'$; aus den 25jährigen Danziger Beobachtungen ist dieser Winkel $146^{\circ} 19'$; eine schwerlich ganz zufällige Uebereinstimmung.

Strehlke.

Schreiben des Herrn Professors *Strehlke* an den Herausgeber.

Danzig 1829. Juni 3.

Die Resultate, welche sich aus der Vergleichung der mit *Pistorchen* Heberbarometern von gleicher Konstruktion in Königsberg und Danzig während der Jahre 1827 und 1828 angestellten Mittagsbeobachtungen ergeben haben, erlaube ich mir Ihnen vorzulegen.

Die Königsberger Beobachtungen, wurden mir mit Erlaubniß des Herrn Professors *Ritter Bessel* durch die Güte des Herrn *Anger* besorgt.

Um beide Beobachtungstreihen nach derselben Formel reduziert ansehen zu dürfen, müßte man jeder Danziger Beobachtung die Verbesserung

$$-b m^2.13 (t'-13) \\ (1+13m) (1+(t'-13)m)$$

hinzufügen, wo b die bereits auf 0° reduzierte Barometerhöhe, t' die Temperatur der Scale in Réaumur Graden, m den 80^{ten} Theil von 0,0018782 bedeutet. Wegen des

unmerklichen Einflusses dieser Correction ist an den Reduktionen nichts weiter geändert worden.

Die folgenden Angaben enthalten die Summen der in jedem Monate der Jahre 1827 und 1828 verglichenen Beobachtungen am Barometer und äufsern Thermometer, von erstern jedoch nur den Ueberschuß über 300° . Auch muß ich bemerken, daß sich die Summen der Danziger Lufttemperaturen für die Monate Januar, Februar, März 1827, da ich noch kein äußeres Thermometer erhalten hatte, auf die in dieser Zeit von dem Herrn Regierungsrath Dr. *Kießfeldt* gemachten Thermometerbeobachtungen gründen. Es dürfte aus so weniger Bedenken getragen werden, diese Beobachtungen, welche überdies nicht fern von meiner Wohnung angestellt worden, anzuwenden, da der Einfluss eines kleinen Fehlers in den Lufttemperaturen bei der Reduktion der Barometerstände auf das Niveau des Meeres in so kleinen Höhen nur unbedeutend einwirken konnte.

1 8 2 8.

	Danzig.		Königsberg.		Anzahl der Beob.
	Barom.	Äuß. Therm.	Barom.	Äuß. Th. Fahr.	
	\sim	\sim	\sim	\sim	
Januar	1146,73	-107,8	1137,77	627,4	30
Februar	1087,71	-38,7	1085,91	777,6	29
März	827,11	+ 63,3	822,67	786,0	24 (Kön. Therm. 23)
April	1031,89	227,0	1024,11	1406,4	29
Mai	1115,51	343,5	1101,08	1789,2	31
Juni	1109,90	453,8	1100,11	1961,0	30
Juli	654,40	352,5	648,52	1349,3	19
August	637,63	294,2	632,76	1208,5	18
Septbr.	1112,90	376,9	1101,11	1760,4	30
Octbr.	1167,40	260,7	1156,10	1520,0	31

1828.

	Danzig.		Königsberg.		Anzahl der Beob.
	Barom.	Aeufs. Therm.	Barom.	Aeufs. Fahr.	
Novbr.	1139,92	+ 86,6	1135,15	1088,8	30
Dechr.	1162,40	- 20,1	1151,89	841,5	31
Summe	12193,50	2278,9	12097,18	15119,1	332
Mittel	336,7274	+ 6,8641	336,4373	45,6770	69,0787 R.

1827.

Januar	1041,72	- 27,0	1030,59	877,0	31
Februar	1037,24	- 63,9	1020,38	674,8	28
März	1013,35	+ 87,1	1003,46	1163,7	31
April	799,45	158,5	792,24	1065,4	21
Mai	1128,31	405,3	1120,47	1296,2	31
Juni	1086,76	492,1	1073,65	2124,1	30
Juli	1033,37	465,3	1020,99	1832,2	28 (Kön. Therm. 27)
August	1106,55	502,9	1095,63	2015,2	31 (Kön. Therm. 30)
Septbr.	1162,24	434,2	1134,32	1911,8	30
Octbr.	1131,99	303,6	1124,92	1619,7	31
Novbr.	1066,66	69,8	1057,12	1033,6	30
Dechr.	1072,11	79,8	1059,61	1062,0	30
Summe	12680,75	2917,7	12553,38	17298,7	352
Mittel	336,0248	+ 8,2889	335,6630	49,425	79,744 R.
S. 27 u. 28	24874,25	5196,6	24650,56	32417,8	684 (Kön. Therm. 581)
Mittel aus 27 u. 28	336,3659	7,5974	336,0388	47,6032	6,9348 R.

Diese mittlern Barometerstände wurden durch die Formel

$$\Delta = 58603,8 (1 + 0,002837 \cos 2\phi) (1 + \frac{a}{800}) (\log a - \log b)$$

auf den mittlern Spiegel der Ostsee reduziert. Hier bedeutet Δ in Rheinl. Füssen, die Höhendifferenz der beiden Stationen, in welchen die um die Ausdehnung des Quecksilbers und der Skale korrigirten Barometerstände a und b sind, ϕ ist die Summe der in beiden Stationen beobachteten Lufttemperaturen in Reaumur. Graden, wofür die doppelte Lufttemperatur der höchsten Station gesetzt war, ϕ die Polhöhe.

Für das Königsberger Barometer ist $\Delta = 70,4$ F. Rheinl.

Für das Danziger Barometer ist $\Delta = 46,2$

Anmerk. Nach einem schon vor mehreren Jahren angestellten Nivellement liegt die Basis des Danziger Rathhauses 16,3 Rh. Fufs über dem mittlern Spiegel der Ostsee; durch ein vor kurzem ausgeführtes Nivellement wurde gefunden, daß der mittlere Quecksilberpiegel im kühnen Schenkel des Danziger Barometers 29,9 Rh. Fufs über der Basis des Rathhauses erhoben sei.

ϕ wurde für Danzig $54^{\circ} 21'$, für Königsberg $54^{\circ} 43'$ angenommen. Unter Anwendung dieser Quantitäten findet man den mittlern Barometerstand im Niveau der Ostsee aus den Danziger und Königsberger Mittagsbeobachtungen.

Danzig.	Königsberg.	
336,612	336,559	1827
337,319	337,343	1828
336,955	336,939	1827 u. 1828

Aus allen während der Jahre 1827 und 1828 in Danzig zu verschiedenen Tageszeiten angestellten Barometerbeobachtungen findet man, wenn die mittlere Temperatur zu $6^{\circ} 244$ R., der mittlere Barometerstand in einer Erhebung von 46,2 Rh. Füssen über der See zu 336,3262 angenommen wird, den mittlern Barometerstand im Niveau der Ostsee

$$336,919.$$

Es schien mir noch interessant zu untersuchen, wie genau sich der kleine Höhenunterschied beider Barometer, die im kürzesten Abstände etwa 16 geograph. Meilen von einander entfernt sind, aus den obigen Angaben würde ableiten lassen. Unter Anwendung der obigen Formel, wo für ϕ der mittl. Werth von Danzig und Königsberg angenommen ist, wurde erhalten

$\Delta = 27,2$ Rh. F.	Januar 1827.
44,8	Februar
24,7	März
26,9	April
20,4	Mai
35,8	Juni

$\Delta = 36,1$ Rh. F.	Juli 1827
28,5	August
21,2	September
20,6	October
24,3	November
31,9	December
22,9	Januar 1828
4,6	Februar
14,2	März
21,1	April
37,2	Mai
26,5	Juni
25,6	Juli
22,1	August
31,7	September
28,6	October
12,1	November
25,4	December.

Aus allen im Jahre 1827 angestellten Beobachtungen ist $\Delta = 28,5$, aus den Beobachtungen der 9 letzten Monate $\Delta = 27,2$, wofür ich, ehe ein Nivellement die Erhebung des Danziger Barometers ausgemittelt hatte, aus der bekannten Erhebung des Königsberger Barometers von 70,4 Rheinl. Fuß geschlossen hatte, das Danziger Barometer stehe 43 Rh. F. über der Ostsee. Durch Hinzurechnung der drei ersten Monate des J. 1827 erhält man $\Delta = 28,5$ F. aus den Beobachtungen des J. 1828 $\Delta = 22,6$

Aus allen 684 Beobachtungen der J. 1827 u. 1828 folgt

$$\Delta = 23,6 \text{ Rh. F.}$$

aus dem Nivellement $\Delta = 24,2$.

Strehlke.

Osservazioni di Vesta intorno all' opposizione col Sole fatte nell' I. R. Osservatorio di Padova.

1829.	Tempo Medio.	AR. osservata di Vesta.	Decl. di Vesta.
		0	0
Aprile 26	13 24 35,4	220 24' 43,4	— 5 5' 49,8
28	12 13 11,0	219 57' 8,1	— 2 59' 36,6
29	12 8 17,8	219 42' 47,2	— 2 56' 39,8
30	12 3 24,9	219 28' 29,6	— 2 53' 50,1
Maggio 1	11 58 31,6	219 14' 6,9	— 2 51' 7,3
5	11 38 52,1	218 16' 43,5	— 2 41' 55,9

determ. alla Macch. parallattica
(al. Quad. Murale, e allo strom. pass.)
idem.
idem.
idem.
idem.

Giovanni Santini.

Schreiben des Herrn *George Innes* aus Aberdeen an den Herausgeber.

Aberdeen 1829. April 18.

Having had early communications of the observations of the Solar Eclipse of the 29th November 1826, which were made in Great Britain and Ireland, I made the necessary calculations, in order to deduce the longitude of each of the places where the observations were made, and communicated the results to the Astronomical Society of London, which the committee of the Society published in their monthly notices, in the Philosophical Magazine and Annals of Philosophy for September 1827. — In addition to the Observations made in this country, I have lately met with some others, made in Germany and Italy; and although most of these have been already calculated by M. *Wurm* and M. *Santini*, and inserted in some of the numbers of the Astronomische Nachrichten, they could not be compared with those I had previously calculated, as it appears that M. *Santini* used *Carlini's* Tables of the Sun, and *Burkhardt's* Tables of the Moon; whereas I used *Delambre's* Solar, and *Dominicus's* Lunar Tables; and M. *Wurm* does not state what set of tables he has used. Also, the ellipticity, $\frac{1}{175}$, which I have used for reducing the Latitudes

of the places of observation, and also the Moon's parallax, differs from that used by Mr. *Santini*, which is $\frac{1}{175}$. It does not appear what ellipticity M. *Wurm* has used. Although the figure of the earth has not as yet been satisfactorily ascertained, I do not think it can very much affect the present results, where the same ellipticity has been used for each place of observation. Whatever may have been the ellipticity used by M. *Wurm*, his difference of longitude of Bushey Heath and Aberdeen, differs only 0"03 from mine, but the difference of our results for Abo, is considerable. No correction was applied to the semi-diameter of the Sun for Irradiation, nor to that of the Moon for Inflection as these have not been well ascertained by Astronomers.

Having reason to think the Bushey Heath observations as good as most of the others, as its longitude has been well ascertained, and as both the beginning and end of the eclipse were observed, I have used it as the basis in the reductions. It is in Longitude $10^{\circ} 42' 43$, in time, West from Paris.

Places of Observation.		Observations Apparent Time.	Conjunction, Apparent Time.	Correction of Tables in Lat.	Longitude from Bushey Heath.	Longitude from Paris.
		<i>d h m s</i>	<i>d h m s</i>			
Bushey Heath, Beginning . .		28 21 57 37,14	28 23 35 50,66			10 42,43 W.
— End		29 0 9 50,26	— 23 35 47,64			
— Beg. and End			— 23 35 50,19	— 2,488		
Epping, End		29 0 12 25,25	28 23 37 38,08		1° 50,44 E.	8 51,99 W.
— 25 inch. Achromatic		29 0 11 42,75				
— 46 inch. Achromatic		29 0 11 43,64				
— 5 feet Achromatic		29 0 11 44,65				
Greenwich, 5 feet Equatorial		29 0 11 47,75	28 23 37 13,21		1° 25,57 E.	9 16,86 W.
— 30 inch. Achromatic		29 0 11 47,75				
— 7 feet Newtonian.		29 0 11 49,25				
Dublin, End		28 23 37 1,39	28 23 11 51,40		23 56,94 W.	34 38,67 W.
Armagh, End		28 23 35 42,19	28 23 10 34,23		25 13,41 W.	35 55,84 W.
Aberdeen, End		29 0 1 16,42	28 23 28 48,30		6 59,34 W.	17 41,77 W.
Aho, Beginning		28 23 64 21,84	29 1 6 21,51		90 30,85 E.	79 48,42 E.
— End		29 2 5 0,41	— 1 6 14,55		90 26,91 E.	79 44,48 E.
— Beg. and End.			— 1 6 19,07	— 5,168	90 28,88 E.	79 46,45 E.
Padua, Beginning		28 23 0 54,83	29 0 24 38,35		48 47,69 E.	38 5,26 E.
— End		29 1 18 32,13	— 0 24 34,69		48 47,05 E.	38 4,62 E.
— Beg. and End			— 0 24 36,81	— 1,824	48 46,62 E.	38 4,19 E.
Naples, Beginning		28 23 16 15,87	29 0 34 7,97		58 17,31 E.	47 34,88 E.
— End		29 1 32 27,90	— 0 34 13,52		58 25,88 E.	47 43,45 E.
— Beg. and End.			— 0 34 10,27	+ 2,345	58 20,08 E.	47 37,65 E.
Milan, Beginning		28 22 46 21,83	29 0 13 56,85		38 6,19 E.	27 23,76 E.
Königsberg, End		29 1 59 42,16	29 0 58 15,67		82 28,03 E.	71 45,60 E.

There appears to be some error in the Naples observations, as the error of the Tables in Latitude comes out with a contrary sign. The Königsberg observation is taken from Mr. Bessel's observations for the year 1826, but it seems that there is an error of one minute in printing.

The following are the elements which I have obtained from *Delambre's* Tables of the Sun, and *Damoiseau's* Tables of 1824 for the Moon. In adopting the Tables of *Damoiseau*, I have reduced the results from the decimal, to the sexagesimal division of the circle.

True time of ecliptic conjunction at Paris.	<i>d h m s</i>
Mean time, Nov.	28 23 34 44,89
Equation of mean to apparent time, at conjunction	+ 11 31,76
True time of ecliptic conjunction. Apparent time.	28 23 46 16,65

Longitude of the Sun and Moon at Conjunction.	246° 46' 19" 84
Apparent obliquity of the Ecliptic.	23 27 36,86
Sun's right ascension.	244 55 38,92
— declination, north.	21 27 34,17
— hourly motion in Longitude.	2 32,19
— — in Right Ascension.	2 41,05
— Semidiameter.	16 15,15
— horizontal parallax.	8,93
Hourly decrease of the equation of time	0,875
Moon's Latitude, north increasing.	1 12 29,55
— equatorial horizontal parallax.	1 1 23,84
— horizontal semidiameter.	16 43,85
— hourly motion in long, first order	38 8,447
— — — — — sec. order	— 0,064
— hourly motion in latit., first order	+ 3 25,904
— — — — — sec. order	+ 0,277

George Innes.

U e b e r d i e L ä n g e v o n C o b u r g .

Nach meinem in der Mon. Corresp. II Bd. S. 265 enthaltenen ersten Längenverzeichnisse ist die Länge von Coburg aus 6 *Arbergerschen* Beobachtungen = $34^{\circ}29'8''$, oder wenn man zwei derselben ausschließt, $34^{\circ}33'0''$; aus eben diesen 4 Beobachtungen fand auch *Tricanecker* $34^{\circ}32'9''$ und *Arberger* selbst macht diese Länge = $34^{\circ}32'31''$. Herr Kammersecretär *Göbel*, der seit einigen Jahren mehrere Sternbedeckungen in Coburg beobachtet, und in den *Astron. Nachr.* Nr. 144. S. 479 berechnet hat, findet die *Arbergersche* Längenbestimmung um etwa 10 Secunden zu groß. Ich habe früher ebendieselben und außer diesen noch einige andere *Göbel'sche* Beobachtungen in Rechnung genommen; aber ohne ein von dem *Arbergerschen* merklich verschiedenes Resultat zu finden, und mache hier den Erfolg meiner Berechnungen bekannt, in der Absicht, um weitere Untersuchungen über die Länge von Coburg zu veranlassen.

1. Bedeckung eines Sterns im Stier. 1825. 29 Jan. Eintritt am dunkeln Mondrande.

Der Stern kommt vor in der Hist. céleste S. 575; R. A. für 1800 = $66^{\circ}6'42''$, Declination = $+22^{\circ}55'15''$.

	Mittl. Zeit.	Conjunction.
	$h^{\circ} m^{\circ} s^{\circ}$	$h^{\circ} m^{\circ} s^{\circ}$
Prag (K. Sternw.)	E. 8 54 12,02	8 46 13,99 — 2,291 x
Prag (<i>Halla'schka</i>)	E. 8 54 13,62	8 46 14,83 — 2,292 x
Coburg	E. 8 54 28,45	8 32 19,52 — 2,253 x
Bushey Heath	E. 7 27 6,01	7 47 1,61 — 1,649 x

Daraus: Länge von Coburg durch Prag (K. Sternwarte) $34^{\circ}25'93'' + 0,038x$, Prag (*Hall.*) $34^{\circ}27'59'' + 0,039x$. Mittel: $34^{\circ}26''76$. Coburg wird wegen Ähnlichkeit der Coefficienten von x sicherer mit Prag, als mit Bushey Heath verglichen.

2. Bedeck. eines Sterns im Schützen. 1825. 16 Oct. Eintritt am dunkeln Mondrande.

Diese Bedeckung ist von mir schon in den *Astr. Nachr.* Nr. 144. S. 477 berechnet, und gibt die Länge, durch Vergleichung mit Prag K. Sternw. = $34^{\circ}19'98'' + 0,116x$.

3. Bedeck. eines Sterns im Widder. 1826. 13 März. Eintritt am dunkeln Mondrande.

In den *Astr. Nachr.* N. 118. S. 382 habe ich diese Bedeckung berechnet; sie gibt die Länge durch Speier $34^{\circ}39'35'' + 0,155x$, durch Mannheim .. $38''88'' + 0,137x$, durch Josephstadt .. $34''76'' - 0,131x$, durch Verona .. $25''11'' + 0,484x$. Mittel, mit Anschluss von Verona $34^{\circ}37'70''$. Da der Eintritt in Coburg zweifelhaft war, so ist von dieser Bestimmung wenig zuverlässiges zu erwarten.

4. Bedeckung von 2 A Krebs. 1826. 13 Mai. Eintritt am dunkeln Mondrande.

Bushey Heath	A. 8 31' 8,79	B. 8 28 42,54 — 0,467 x
Speier	E. 9 15 39,35	9 3 44,69 — 0,311 x
Mannheim		
Nicolaï	E. 9 15 26,00	9 3 50,04 — 0,302 x
v. Heiligenstein	E. 9 15 26,55	9 3 50,69 — 0,302 x
Coburg	E. 9 25 12,55	9 13 49,80 — 0,096 x
Berlin	E. 9 31 52,80	9 23 30,38 — 0,035 x

Die Länge ergibt sich durch Speier $34^{\circ}30'11'' + 0,115x$, durch Mannheim (*Nicolaï*) .. $29''76'' + 0,106x$, Mannheim (*v. Heiligenstein*) .. $31''11'' + 0,106x$, Berlin (mit $44'11''5$) .. $30''92'' - 0,161x$, im Mittel $34^{\circ}30'47''$.

5. Bedeckung von 76 k Krebs. 1826. 16 Jun. Eintritt am dunkeln Mondrande.

Prag (<i>Halla'schka</i>)	E. 9 17' 57,91	B. 8 49 19,20 — 0,189 x
Coburg	E. 9 3 59,24	8 49 19,20 — 0,189 x

Daraus Länge von Coburg $34^{\circ}31'78'' + 0,049x$. Die Bedeckung nahe central. Die nun folgenden fünf Bedeckungen hat auch Herr *Göbel*, *Astr. Nachr.* Nr. 144 berechnet.

6. Bedeckung von e Löwe. 1825. 1 April. Eintritt am dunkeln Mondrande.

Diese Bedeckung habe ich in den *Astron. Nachr.* Nr. 116. S. 341 berechnet; ich füge noch die Beobachtung von Marseille bei.

Marseille E. 7 57 56,90 | 9 23 40,27 — 1,973 x

Durch Speier findet sich zwar $x = +2''.14$: da aber der Austritt in Speier auf mehrere Secunden unsicher ist, so lasse ich den Werth von x unbestimmt. So erhält man die Länge durch Speier $34' 34''.29 + 0,185 x$, durch Marseille .. $40''.24 + 0,369 x$. Die Vergleichung mit Speier ist wegen der kleineren Factors von x vorzuziehen. Ich übergehe die Beobachtung von Mannheim (Astr. Nachr. Nr. 77. S. 179), da sie zu weit von der Länge von Speier abweicht. Herr Göbel findet die Conjunctionszeiten in Coburg, Mannheim, Speier um 40 bis 50 Secunden von meiner Berechnung, die ich noch einmal sorgfältig geprüft habe, verschieden. Diese starke Abweichung würde sich erklären lassen, wenn Herr Göbel die südliche Mondsbreite, was wirklich in dem Berliner Astr. Jahrbuche für 1825 geschehen ist, um eine ganze Minute kleiner angenommen hätte, als sie nach neueren Tafeln und nach der Connaissance des tems wirklich ist. Die von Herrn Göbel aus dieser Bedeckung gefundene Länge von Coburg trägt viel dazu bei, das Endresultat für diese Länge überhaupt kleiner zu machen.

7. Bedeck. eines Sterns im Orion. 1825. 22 April. Eintritt am dunkeln Mondrande.

In der Hist. edeste S. 36 und 32 findet sich ein Stern (A), dessen R. A. auf 1800 = $82^{\circ} 29' 42''.0$, Decl. $+23^{\circ} 32' 45''.2$, daher auf 1825. 22 April seine scheinb. Länge $63^{\circ} 25' 30''.3$ und scheinbare Breite = $44' 5''.26$: dieser Stern ist derselbe mit P. V. 184. Die Bedeckung des andern Sterns (B) mit der R. A. auf 1800 = $82^{\circ} 28' 51''.3$, Decl. $+22^{\circ} 20' 12''.9$, scheinbare Länge 1825. 22 April $83^{\circ} 24' 22''.1$, scheinbare Breite = $50' 33''.49$ ist nur allein in Prag von Herrn Prof. Hallschka beobachtet.

Stern A.

Coburg	E. 7 57 46,99	9 13 47,91 + 0,728 x
Prag (K. St.)	E. 10 11 43,58	9 27 27,00 + 0,545 x
Prag (Hall.)	E. 10 11 46,20	9 27 29,60 + 0,846 x
Äbo	E. 10 35 34,33	9 58 34,57 + 2,465 x

Stern B.

Prag (Hall.)	E. 10 7 4,70 9 25 6,42 — 0,071 x
Die Länge von Coburg durch den ersten Stern, Prag (K. St.)	$34' 41''.31 = 0,117 x$, Prag (Hall.) .. $41''.21 = 0,118 x$.
Mittel	$34' 41''.26$.

Ich hatte den von mir gewählten Stern A für den wirklich bedeckten, um so mehr, da die aus dem Mond- und Sternort voraus berechnete Conjunction für Prag (Kön. Sternw.) = $9^{\text{h}} 27' 24''.83$ mittl. Zeit mit, was ich durch die Bedeckung fand, bis auf $2''.17$ übereinstimmt. Herr Göbel

nimmt dagegen einen dritten Stern (C) für den in Coburg und Prag bedeckten, und bestimmt seinen Ort aus der Conn. des tems pour l'an VIII; ich finde für diesen dritten Stern aus der Hist. cel. S. 36 auf 1800. R. A. = $82^{\circ} 43' 41''.7$, Decl. $+22^{\circ} 21' 2''.9$, daher für 1825. 22 April scheinbare Länge $83^{\circ} 37' 48''.48$, scheinb. Breite = $56' 29''.46$ (nach Herrn Göbel = $56' 20''.45$). Aus der scheinbaren Länge, mit dem Mondsorte nach den Tafeln verglichen, folgt, daß die Conj. in Prag (K. St.) sich hätte um $9^{\text{h}} 50' 25''.87$ m. Z. ereignen sollen; da aber Herr Göbel aus dem Eintritte zu Prag diese Conjunction = $9^{\text{h}} 33' 52''.63$, demnach um genau $16' 33''$ früher findet, so kann der von ihm gewählte Stern nicht der richtige, wirklich bedeckte seyn; zwar paßt die Breite desselben ziemlich nahe für die Bedeckung, aber nicht die Länge.

8. Bedeckung von 51 Stier. 1826. 15 Februar. Eintritt am dunkeln Mondrande.

Speier	E. 7 25 21,61	7 15 53,94 + 2,663 x
Coburg	E. 7 43 40,24	7 26 2,19 + 3,420 x
Kremsmünster	E. 7 54 39,65	7 38 50,26 + 2,109 x
Prag (Hall.)	E. 8 3 8,07	7 39 57,08 + 3,397 x

Durch Speier erhält man die Länge $34' 33''.25 = 0,757 x$, durch Kremsmünster .. $22''.71 + 1,311 x$, durch Prag .. $28''.01 + 0,023 x$. Mittel aus diesen drei Bestimmungen $34' 28''.00$, was auch aus Prag folgt, wo die Correction x auf die Länge den geringsten Einfluß hat. In der Florentiner Occultationsephemeride, A. N. Nr. 63. S. 250 ist durch einen Druckfehler die Declination des bedeckten Sterns $+21^{\circ} 4' 21''$ statt $+21^{\circ} 4' 41''$ gesetzt. Herr Göbel findet es schwer, seine Berechnungen für Prag mit denen von Coburg und Kremsmünster zu vereinigen; der Grund liegt bloß darin, daß er für Prag einen andern, mit Coburg und Kremsmünster nicht correspondierenden Eintritt, statt des oben von mir angeführten, berechnet hat.

9. Bedeckung von 2 µ (14) Schiltes. 1826. 13 Aug. Eintritt am dunkeln Mondrande.

Ich habe diese Bedeckung in den Astr. Nachr. Nr. 144. S. 478 berechnet, und dabei vermuthet, daß vom Eintritte zu Coburg etwa 3 Minuten abzuweichen seyn möchte; diese Vermuthung ist durch den Beobachter selbst (S. 481 ebendasselbst) befestigt worden; ich wiederhole nun hier die Berechnung für Coburg mit der verbesserten Lesart.

Coburg	E.	$8^{\text{h}} 30' 15,34$	$ $	$8^{\text{h}} 59' 2,83$	$+ 0,040 x$
--------	----	--------------------------	-----	-------------------------	-------------

Damit folgt die Länge durch Kremsmünster $34' 30'',86 + 0,106 x$,
durch Prag (K. St.) .. $32'',75 + 0,034 x$, durch Prag (Hall.)
.. $32'',13 + 0,034 x$. Mittel: $34' 31'',91$. Die Bedeckung
nahe central.

10. Bedeckung einiger Sterne im Schützen. 1826.
4 Novbr. Eintritt am dunkeln Mondrande.

Diese Bedeckung ist von mir Astr. Nachr. Nr. 152. S. 151 berechnet. Mit $x = -6''$ erhält man die Länge durch Kreismünster, mittelst des ersten Sterns $34^{\circ}26'16''$ und des zweiten $\dots 38''68$. Da aber der Eintritt des ersten Sterns zu Kreismünster wegen Wolken zweifelhaft war, (Astron. Nachr. Nr. 116. S. 343), so kann nur die Länge aus dem zweiten Stern hier in Betracht kommen.

Hier folgt noch die Uebersicht der einzelnen Resultate.

1)	$34^{\circ}26'56''$
2)	$\dots 19'98''$
3)	$\dots 37'70''$
4)	$\dots 30'47''$
5)	$\dots 31'74''$
6)	$\dots 34'29''$

7)	$34^{\circ}41'26''$
8)	$\dots 28'00''$
9)	$\dots 31'91''$
10)	$\dots 38'68''$

Die beiden sehr nahe centralen Bedeckungen Nr. 5 und 9 geben die Länge $34^{\circ}31'8''$ und $31'9''$. Das Mittel aus allen 10 Bestimmungen ist $34^{\circ}32'1''$, oder, wenn man die über 6 Sekunden vom Mittel abweichenden Nr. 2. 7. 10 ausschließt, das Mittel aus 7 Beobachtungen $\equiv 34^{\circ}31'6''$, was von der älteren *Arbergerschen* Länge $34^{\circ}32'3''$ wenig verschieden ist. Da indeß die einzelnen Resultate nicht genau genug zu einander stimmen, so bedarf die Länge von Coburg wohl noch einer weiteren Berichtigung, wozu, wie zu hoffen ist, vielleicht Herr Kammersekretär *Göbel* selbst durch Fortsetzung seiner Beobachtungen neue Beiträge liefern wird.

Stuttgart. 22 Mai 1829.

Wurm.

Zweiter Nachtrag über die Länge von Buenos Ayres.

(Vergl. Astr. Nachr. Nr. 137. S. 363 und Nr. 143. S. 467.)

Nachdem ich einmal in den Astron. Nachrichten die Frage über die, wie es mir schien, noch gar zu wenig bekannte Länge von Buenos Ayres in Anregung gebracht habe; so glaube ich es den Lesern dieser Nachrichten schuldig zu seyn, einige mir früher entgangene, nicht uninteressante Notizen, die geographische Länge und Breite jenes Orts betreffend, hier mitzutheilen. Ich fand diese Bezeichnungen in der geschätzten Zeitschrift: *Hertha*, herausgegeben von *Berghaus u. Hofmann*, Erster Jahrg., 2 Band, 3 Heft (1825) S. 696 folg., wo Auszüge einiger von dem Herrn Geheimrath *Alexander v. Humboldt*, mitgetheilten Briefe aus Paraguay gegeben werden; noch anderes hieher gehörige enthält dieselbe Zeitschrift: Erster Jahrg., 4 Band, 2 Heft (1825) S. 321 folg. Ich begnüge mich, das Wesentliche für meinen Zweck daraus anzuführen.

1) Auf der Expedition des Generals *Varrel* 1782 und 1783 wurde aus Beobachtungen, bei San Miguel angestellt, die Breite von Buenos Ayres gefunden $\equiv -34^{\circ}36'38''$, die Länge $3^{\circ}28'25''1$ westlich von Cadix, demnach, wenn nach meinen Untersuchungen in den Astr. Nachr. Nr. 125 die Länge von Cadix $\equiv 34^{\circ}31'0''$ gesetzt wird; Länge von Buenos Ayres $\equiv 4^{\circ}2'56''1$ in Zeit von Paris.

2) Auf der Expedition von *Malaspina* (1769) fand Don *Pedro Cervino* auf der Piazza Mayor die Breite $\equiv 34^{\circ}36'43''$, die Länge $3^{\circ}28'21''5$ westlich von der Insel Leon. Gibt man der Insel Leon nach Astr. Nachr. Nr. 125 die Länge $\equiv 34^{\circ}10'5''$, so folgt hieraus die Länge von Buenos Ayres $\equiv 4^{\circ}2'32''0$ von Paris.

3) Capitän *Heywood* gibt nach Beobachtungen, am Bord seines Schiffes angestellt, die Breite $\equiv 34^{\circ}34'30''$, Länge $3^{\circ}52'8''$ westlich von Greenwich, demnach, Greenwich $\equiv 9^{\circ}21'6''$ von Paris gesetzt, Länge von Buenos Ayres $\equiv 4^{\circ}1'29''6$ von Paris.

4) Eine seit 1822 in Buenos Ayres erteilene Zeitschrift: „Statistisches Register der Provinz Buenos Ayres“ nimmt als Resultat verschiedener Bestimmungen an: Breite $\equiv 34^{\circ}36'29''$, Länge $3^{\circ}53'34''3$ westlich von London. Hiernach ist, wenn die Länge von St. Paul in London $\equiv 9^{\circ}44'7''$, die Länge von Buenos Ayres $\equiv 4^{\circ}3'19''0$ von Paris.

5) Nach der Abj. Argentina vom August 1822 ist, wie der *Freiherr von Zach* in seiner Correspondance astronomique erwähnt, die Breite der Piazza Vittoria in Buenos

Ayres — $34^{\circ} 35' 45''$, die Länge $3^{\circ} 54' 22''$ westlich von Greenwich, also — $4^{\circ} 3' 43''$ von Paris.

6) Durch Uebertragung von Monte Video läßt sich die Länge von Buenos Ayres noch auf folgende Art bestimmen. Durch die Expedition von *Malaspina* wurde der Meridianunterschied zwischen Monte Video und Buenos Ayres $2^{\circ} 10'$ gefunden; spätere Spanische Seekarten geben $2^{\circ} 16'$. Nach einem Mittel aus beiden Angaben ist also dieser Unterschied $2^{\circ} 13'$ oder $8' 52''$ in Zeit; dieß gibt, wenn die Länge von Monte-Video = — $3^{\circ} 54' 17''$ angenommen wird, die Länge von Buenos Ayres — $4^{\circ} 3' 9''$ von Paris. In meinen Berechnungen für Monte Video (*Astr. Nachr.* Nr. 146. S. 26) habe ich dessen Länge aus einem Mercurdurchgang, einer Sternbedeckung und aus Verflüsterung der Jupiterstrahlen zu bestimmen gesucht; eine vierte Bestimmungsart bot sich mir später in dem Mittagsunterschied zwischen Monte Video und der Insel Anhatomir dar, welcher nach *Fouque* = $30' 17''$ 22 in Zeit. Die Länge von Anhatomir, (seit *Roussin's* Expedition des am sichersten bestimmten Puncts der Brasilischen Küste) ist nach *Astr. Nachr.* Nr. 139. S. 404 = $3^{\circ} 24' 4''$ 26 demnach die Länge von Montevideo, durch den Meridianunter-

schied mit jener Insel, = — $3^{\circ} 54' 21''$ 48. Wird diese vierte Bestimmung noch mit den drei übrigen (*A. N.* Nr. 146) verbunden, so ergibt sich im Mittel die Länge von Monte Video = — $3^{\circ} 54' 17''$, so wie ich dieselbe oben zur Bestimmung von Buenos Ayres vorausgesetzt habe.

Wahrscheinlich beziehen sich die obigen sechs Längenbestimmungen nicht auf einen und ebendenselben Punct von Buenos Ayres; indeß dürfte doch das Mittel derselben eine genährte Bestimmung für die Länge dieses Orts darbieten. Werden die auf der See angestellten *Haywood'schen* Beobachtungen Nr. 3 ausgeschossen; so gibt das Mittel aus Nr. 1. 2. 4. 5. 6 die Länge = — $4^{\circ} 3' 12''$ in Zeit von Paris, nahe mit dem, was aus dem Unterschiede mit Monte Video folgt, übereinstimmend, aber etwa 2 Minuten in Zeit westlicher, als aus der von mir und Herrn von *Hoilgenstein* berechneten Sternbedeckung vom Jahr 1708 gefunden wurde. Die Breite von Buenos Ayres, welche nach *Fouille's* Beobachtungen = — $34^{\circ} 34' 59''$ (*A. N.* Nr. 143. S. 463.) würde nach obigen Angaben in Nr. 1. 2. 4. 5 von — $34^{\circ} 36' 24''$ wenig verschieden seyn.

Stuttgart. 22 Mai 1829.

W u r m.

Sternbedeckungen von Monde und Jupiterstrahlen-Verflüsterungen.

Die Länge und Breite meines gegenwärtigen Beobachtungsortes ist aus Nr. 155. S. 192 der *Astr. Nachrichten* bekannt.

1829	Febr. 11	Eintritt α^6 (63 Tauri)	um 7 49 24,3	mittlere Zeit		
	März 17	Eintritt α^{11} (29 π Leon.)	um 6 44 55,1	— — —		
	April 11	Eintritt α^4	um 7 13 47,8	— — —	nördlich.	
	May 6	Eintritt α^{6-7}	um 9 36 32,4	— — —	südlich.	
	— 6	Eintritt α^9	um 9 46 8,4	— — —	— — —	
	— 6	Eintritt α^{9-10}	um 9 48 45,4	— — —	— — —	
	— 8	Eintritt α^8	um 9 25 15,6	— — —	nördlich.	
	— 8	Eintritt α^{6-7}	um 9 29 12,0	— — —	— — —	

1829	März 24	Eintr. I. um 15 ^h 48 ^m 57 ^s 2	mittl. Zeit.	Streifen sehr deutlich, Luft ruhig, gute Beobachtung.
	May 18	Eintr. I. um 12 30 53,4	mittl. Zeit.	Streifen deutlich. Der Eintritt erfolgte nach und nach.

Hallaszka.

I n h a l t.

Gnadenbeziehung. p. 329. — Beobachtungen der Ceres in Göttingen. p. 329. — Bestimmung der Größe der Erde aus den vorzüglichsten Messungen der Breitengrade. p. 329. — Thermometer- und Barometerstand zu Danzig. p. 331. — Schreiben des Herrn Professors *Sirchie* an den Herausgeber. p. 337. — Observazioni di Vasa interna all' opposizione col Sole fatte nell' I. R. Osservatorio di Padova. p. 341. — Schreiben des Herrn *George Jenner* aus Aberdeen an den Herausgeber. p. 341. — Ueber die Länge von Coburg. p. 345. — Zweiter Nachtrag über die Länge von Buenos Ayres. p. 348. — Sternbedeckungen vom Monde und Jupiterstrahlen-Verflüsterungen. p. 351.

Altona im Juni 1829.

Schreiben des Herrn Barons *Poisson*, Mitglieds des französischen Instituts, Officiers der Ehrenlegion,
an den Herausgeber.
Paris 1829. April 10.

En me communiquant l'article de Mr. *de Schultén*, inséré dans votre journal, vous me faites l'honneur de me demander mon avis sur la question que l'auteur a traitée. Je ne partage pas son opinion, et je m'écarte aussi de celle de *Lagrange*. Voici sous quel point de vue je considère la question.

D'abord il faut mettre dans les équations (2) de M. *de Schultén*, une autre lettre à la place de λ : la Lettre F par exemple, comme dans la Mécanique Analytique p. 159. Alors les équations (1) et (2) ne sont plus incompatibles: les unes et les autres donnent les deux mêmes équations pour la courbe élastique; ou en déduit des valeurs différentes pour λ et pour F , ce qui n'a rien de contradictoire parce que ces deux quantités ne sont pas les mêmes. Mais je dis de plus que ni l'une ni l'autre n'exprime la véritable tension. En effet si l'on appelle celle-ci ... T ; que l'on représente par $\int p \, ds$ la somme des forces tangentielles, provenant des forces données x, y, z ; que l'on appelle $d\Phi$ l'angle de contingence, et qu'on fasse

$$E = a \frac{d\Phi}{ds}$$

a étant un coefficient constant, on aura

$$T = \int p \, ds - \frac{a}{2} \cdot \frac{d\Phi^2}{ds^2}$$

C'est ce qu'on peut voir dans un Mémoire d'*Euler* (Nouv. Comment. Tom. XV. page 399) ou la question de la lame élastique est traitée d'une manière qu'on n'a pas assez remarquée. Or on tire des équations (1) de Mr. *de Schultén*,

$$\lambda = \int p \, ds - a \cdot \frac{d\Phi^2}{ds^2}$$

et des équations (2) (en y mettant F au lieu de λ)

$$F = \int p \, ds$$

Le calcul n'a aucune difficulté en prenant ds pour la différentielle constante, ce qui est toujours permis. Il est remarquable que la valeur de T soit la moyenne des valeurs de λ et de F . Elle convient à la courbe dans les deux cas

de l'extensibilité, et de la non-extensibilité; et à cet égard, je pense comme Mr. *de Schultén* que la tension doit être la même dans ces deux suppositions; mais je ne crois pas avec ce Professeur que la tension soit indépendante de l'Elasticité. La formule précédente d'*Euler* est, en cela, contraire au résultat que Mr. *de Schultén* annonce à la fin de son article.

En général la manière dont *Lagrange* applique le principe des vitesses virtuelles aux forces dont l'effet est de faire varier une fonction différentielle, m'a toujours paru très peu satisfaisante. Ainsi σ étant une sensible fonction, et E la force qui tend à en accroître la grandeur, il faut ajouter $E \, ds$ à la somme des moments virtuels des autres forces; et si en même temps, une force F agit suivant ds , ou si ds est invariable, il faut encore ajouter à cette somme de moments, un terme $F \, ds \cdot ds$ ou $\lambda \, ds \cdot ds$, en ayant soin de faire varier ds dans σ , dans le 1^{er} cas, et non pas dans la second. Or, on n'a pas alors une idée bien nette de ce que représentent les coefficients E, F, λ . Dans le cas de la lame élastique *Lagrange* dit que E est la force élastique qui s'oppose à l'inflexion, et il prend pour E le rayon de courbure renversé par lequel *Jacques Bernoulli* et les géomètres qui l'ont suivi, ont exprimé le moment de cette force, et non pas cette force même. On vient ainsi de voir d'après *Euler* que F et λ ne représentent plus qu'une partie de la tension ou de la force agissante suivant l'élément de la courbe. Si l'on veut suivre les anciennes méthodes, il me semble qu'il n'y a que celle d'*Euler*, dans le Mémoire cité plus haut, et celle de *Jacques Bernoulli*, quand on ne veut que former l'équation de la courbe, qui ne laissent aucune obscurité. Mais je crois préférable de ramener la question aux actions moléculaires d'où naissent sans aucune hypothèse, les forces de flexion et d'extension; et c'est là ce que j'ai tâché de faire dans mon Mémoire sur l'Équilibre et le Mouvement des corps élastiques.

Poisson.

Auszug aus einem Schreiben des Herrn Professors *Hansteen*, an den Herausgeber.Irkutsk 1829. April 11.
(Besehluß.)

Auf meiner Reise habe ich mehrere Ortsbestimmungen mit dem *Troughton'schen* Sextanten und den 3 Chronometern gemacht, die ich bei einer andern Gelegenheit mittheilen werde. Heute nur folgenden Beitrag zur Länge von Irkutsk.

	Mittl. Zeit.
1829 Februar 8. Eintritt (6-7)	7 55 59,4
Eintritt (5-6)	9 13 51,4

Der Mond ist gezeichnet, wie er im umkehrenden *Pfaunhofer* erscheint. Beide Eintritte in den dunkeln Mondrand sind von meinem Gehülfen *Premierlieutenant Dux* beobachtet, und sein Probetrick. Die Zeitbestimmung ist von mir aus absoluten Höhen von α Urs. maj. östlich, und Alderara westlich zwischen beiden Eintritten. Die Breite des Beobachtungsortes habe ich $= 52^{\circ} 17' 16'',5$ gefunden.

	Mittl. Zeit.
1829 April 7. Eintr. (6)	9 23 48,46 etwas dunstig, doch ziemlich gute Beobachtung.
April 9. Eintr. (6)	9 36 43,36 ungewöhnlich klar. Sehr gute Beobachtung. Sicher auf $0'',2$.

Beide Beobachtungen sind von mir. Die Breite des Beobachtungsorts $= 52^{\circ} 16' 48'',1$; sein Zeitunterschied vom Beobachtungsorte des 8^{ten} Februars $= 1''96$ östlich. Da diese Eintritte bei hellem Tage in Europa eintreffen, so ist keine correspondirende Beobachtung zu erwarten, doch ist vielleicht der Mondsort auf einer europäischen Sternwarte in diesen Tagen bestimmt.

Die Lage des Observatoriums, das der *Abbt Chappo* in Tobolsk 1769 gebrauchte, habe ich nach langem Forschen endlich gefunden. Ein 80jähriger Artillerie-Obriester von *Crämer* zeigte mir sowohl das Haus, wo *Schubert* 1805 beobachtete, als auch die Bastion in einer jetzt verfallenen Verschanzung wo *Chappo* sein kleines Observatorium hatte. *Chappo's* Observatorium hatte er selbst vor 20 Jahren auf Befehl niederreißen lassen. Noch jetzt ist das vierechte Fundament, das ein Quadrat bildet, deutlich zu sehen, und nicht ganz in der Mitte sind im Grunde Ueberreste eines viereckten Mauerstückpfeilers, auf dem *Chappo* vermuthlich seinen Sector aufgestellt hatte. Durch eine kleine Triangulation habe ich die Lage dieses Puncts gegen ein paar Stadtkirchen, und *Schubert's* und mein Observatorium bestimmt. *Schubert's* Breite stimmt mit der meinigen auf ein paar Secunden. Längenbrech. konnte ich leider nicht machen.

Obgleich unsere Thermometer in Holzfutteralen lagen, die mit dicken Lederüberzügen versehen, und in den Taschen unsers Reisewagens eingepackt waren, fanden wir sie doch mehreremale des Abends gefroren. Auch das Barometer würde gefroren seyn, wenn ich es nicht zwischen den Beinen gehalten, und auf jeder Station in die warme Stube gebracht hätte. Am 30^{ten} Januar 1829 7½ Uhr Morgens zeigte das *Spiritus-Thermometer* auf der Station *Tunguska* (Breite 56° , Länge 1141° Ferro) $= 34^{\circ},4$; im Quecksilber-Thermometer war das Quecksilber ganz in der Kugel, und hatte oben eine ziemliche Vertiefung. Es war ganz fest. Die Röhre des Thermometers geht übrigens bis $- 35^{\circ}$. Des Abends wurden auf der Station *Bagnanowskaja* (Breite $55^{\circ},5$, Länge 1151° Ferro) beide Thermometer um 8½ Uhr in freie Luft gehängt. Um 9 Uhr fand ich das Quecksilber in *Pistora's* Thermometer unten in der Kugel, nach dem fließend, so daß es bei dem Umkehren des Thermometers und mäßigen Stößen ganz in die Spitze lief. Das *Spiritus-thermometer* zeigte $- 30^{\circ},2$; es ist also des Quecksilbers unregelmäßige Zusammensetzung noch etwas vor seinem Gefrierpunct sehr stark. Eine Viertelstunde nachher zeigte das *Spiritus-Thermometer* $- 30^{\circ},4$, und das Quecksilber in beiden *Pistora'schen* Thermometern war schon steif, und konnte bei dem Umdrehen durch kein Stoßen hinunter gebracht werden. In dem einen stand das Quecksilber noch eine Linie hoch in der Röhre, aber in der Kugel war an der einen Seite eine große Vertiefung, die bei einem Schläge etwas zu vibriren schien. Kurz darauf war das Quecksilber ganz fest. Im nächsten Nachtquartier goss ich des Abends etwa 3 Pfund Quecksilber in eine Spülkanne, und setzte es der Einwirkung der Luft aus. Am nächsten Morgen den 31^{ten} war es vor 7½ Uhr zu einer zusammenhängenden harten Masse gefroren, die ich mit meinem Messer nicht vom Boden der Schale losmachen konnte. Man schnitt darin wie in Blei, und das Quecksilber ward anfangs, da das Messer aus einer warmen Stube kam, am Schnitte etwas flüssig. Das *Spiritus-Thermometer* zeigte $- 31^{\circ},25$. Nachdem es etwas in der warmen Stube gestanden hatte, löste es sich von der Schale, war aber noch so spröde, daß es sich zerbrechen ließ. Das bei diesen Beobachtungen gebrauchte *Spiritus-Thermometer* stimmte mit den beiden *Pistora'schen* Quecksilber-Thermometern bis $- 10^{\circ}$. Unter $- 10^{\circ}$ zeigte das *Spiritus-Thermometer* beständig höhere Temperaturen, mit wachsenden Differenzen, je mehr die Temperatur sank.

Pistar	— 10°	Differenz	= 0,0
	— 15,9		+ 0,40
	— 20,7		+ 0,95
	— 25,1		+ 1,78
	— 30,0		+ 2,00

d. h. wenn das Quecksilber-Thermometer — 30° zeigte, so zeigte das Spiritus-Thermometer — 28°, wenn aber das letzte unter — 30° kam, so sank das Quecksilber im ersten ganz in die Kugel.

Meine astronomischen Beobachtungen in diesen niedrigen Temperaturen geben bei südlichen Sternen die Polhöhen zu groß, bei nördlichen zu klein, also überhaupt die Höhen zu klein. Ich habe die französischen Refractionstafeln in ihren Hilfstafeln gebraucht, wage aber nicht zu entscheiden, ob es an der Refraction, oder an der Einwirkung der Kälte auf das Instrument liegt.

Dr. *Ermann* ist von hier nach Jakutsk und Ochotsk gereist, von wo aus er nach Kamtschatka zu gehen wünscht. Ebenso ist Lieutenant *Due* nach Jakutsk gegangen, von wo aus er, wo möglich auf dem Lena-Fluss nördlich nach Schigansk gehen will. Ich warte bloß auf den Aufbruch der *Angara*, um mich auf ihr nach Jeniseisk und von dort auf dem Jenisei nördlich nach Turukansk unter dem Polarcirkel zu begeben. Bei meiner Zurückkunft nach Krasnojarsk hoffe ich Lieutenant *Due* zu treffen, und mit ihm über Orenburg nach Astrakan, und von da auf dem Caspischen Meere nach Baku zu gehen; von Baku geht es über Tiflis, die Krim, Nicolaieff zurück nach Hause.

Nachdem ich vorstehendes geschrieben hatte, beobachtete ich noch gestern Abend 3 Sternbedeckungen, lauter Eintritte in den dunkeln Mondrand.

Mittl. Zeit.

1829. April 10.	Eintritt a (6)	10 53 51,8	sehr scharf.
	— b (7)	— 54 14,3	gut.
	— c (7,8)	11 5 1,2	zweifelhaft.

Die Zeitbestimmung beruht auf Höhen des Arctus. Der Beobachtungsort derselbe wie am 7^{ten}—9^{ten} April. Ich werde seine Lage gegen die Hauptkirche die sogenannte Sobort bestimmen. Die angegebenen Größen der Sterne stimmen vielleicht nicht mit den Angaben anderer Astronomen, sie geben aber wenigstens das Verhältniß zwischen der Lichtstärke an.

Die Aufnahme, die wir hier überall gefunden haben, übergeht alle Beschreibung. Gouverneure und General-Gouverneure haben gewetteifert um jede erdenkliche Artigkeit und Hülfsleistung zu erzeugen. Von Krasnojarsk gab

der Gouverneur uns einen Kosaken nach Irkutsk mit, und auf einer Reise nach Kiasbia an der chinesischen Gränze halten wir zwei. *Due* und *Ermann* haben jeder ihren Kosaken nach Jakutsk mit.

Im Irkutsker Gynasium fanden wir die Instrumente vor, die Baron *Wangel* und *Aojou* auf ihrer nördlichen Reise gebraucht haben, unter andern 2 englische Sextanten, und 2 Inclinations-Instrumente. Die Sextanten waren in vortrefflichem Stande, die Inclinations-Instrumente aber in Unordnung. Seine Excellenz der General-Gouverneur *Lazinsky* hat die Güte gehabt, mir den einen *Troughton'schen* Sextanten, und das eine Inclinations-Instrument für Lieutenant *Due* nach Jakutsk zu leihen. Der Sextant gab auf ein paar Secunden dieselbe Polhöhe die mein eigener gab. Das Inclinations-Instrument habe ich selbst in Stand gesetzt. Lieutenant *Due* hat auch den Chronometer *Kessels* 1280 mit.

Meinen gesuchten Magnetpol habe ich ungefähr im Meridian 119° von Ferro, also 8° bis 9° östlicher gefunden, als ich in Christiania erwartete. Die magnetische Intensität hat von Nischnei Nowogorod stark gegen Osten bis auf diesen Meridian zugenommen, wie man aus folgender Uebersicht beurtheilen kann, in der die *Humboldtsche* Intensität in Paris als Einheit angenommen ist.

Stockholm	1,386
St. Petersburg	1,410
Moswa	1,401
Nischnei Nowogorod	1,408
Kazan	1,425
Penn	1,494
Ekatharinenburg	1,524
Timen	1,550
Tobolsk	1,560
Kaimuk	1,601
Atschinsk	1,654
Kaukas	1,678
Nischnei Udinsk	1,672
Irkutsk	1,642

Nischnei Udinsk und Irkutsk liegen bedeutend südlicher, welches den Grund angibt, warum die Intensität hier abnimmt. Die größte Intensität im Meridian 119° scheint etwas über 1,7 zu seyn.

Grüßen Sie *Repsold* und danken Sie ihm für die Verbesserungen an meinem Inclinations-Instrumente, jetzt ist es vortrefflich.

Chr. Hansteen.

Zusatz des Herausgebers.

Auf der Altouzer Sternwarte sind um die Zeit dieser Sternbedeckungen folgende Mondbeobachtungen am Meridiankreise gemacht.

1829.	Beob. AR. des ersten Randes.		Fad.	Zeit.		Beob. Declination des Nordrandes.		Eingestellt.
	h	m				°	'	
Febr. 9	2	19 36,78	10	— 0,20	U. R.	+ 10 33	2,09	1 24" nach dem ersten Rande.
— 11	4	10 26,26	11	— 0,25	U. R.	+ 15 58 39,53	1 33	
April 10	7	7 14,85	5	— 0,48	O. R.	+ 16 58 34,00	1 34	
— 13	9	37 41,60	8	— 0,52	O. R.	+ 9 49 42,74	1 31	

Die Zahl in der Columnen Zeit muß zu der beobachteten AR. addirt werden, um die Sternzeit der Beobachtung zu erhalten. Die Declination ist von Refraction aber nicht von Parallaxe befreit.

Die hiesige Meridianbeobachtung vom 10^{ten} April füllt nur eine Stunde nach den 3 letzten von Herrn Professor *Hansten* in Irkutsk beobachteten Sternbedeckungen. Sie scheint sehr gelungen. In AR. weicht nur der eine Faden 0^h 13 vom Mittel ab. Sobald die bedeckten Sterne aus den Sonnenstrahlen treten, sollen sie hier mit denselben Sternen verglichen werden, mit denen der Mond am 10^{ten} April verglichen ward, nemlich mit α Can. min., β Gemin. und α^2 Gem.

Vom 13^{ten} April an ist der Mond einige Zeit hindurch täglich im Meridian beobachtet. Diese Beobachtungen

stehen jedem Rechner zu Befehl, der sie zu benutzen wünscht.

Herr *Petersen* hat auf meine Veranlassung die von Herrn Prof. *Hansten* beobachteten Sterne zu bestimmen gesucht.

Februar 8. Der erste bedeckte Stern (6. 7. nach *Hansten*) war nirgends zu finden. Er hat ohngefähr AR. 1^h 17' 5" δ + 6° 36' der zweite Stern ist 96 Picrom P. I. 91.

April 7. Der bedeckte Stern ist 75 Tauri P. IV. 88.

April 9. Der bedeckte Stern steht H. C. p. 255.

6^h 7' 4" und 31° 25' 14".

April 10. Der erste bedeckte Stern ist 51 Gem. P. VII. 17. Der zweite war nicht zu finden. Der dritte kommt vor H. C. p. 255. 7^h 2' 2" und 31° 53' 55".

S.

Zenithdistanzen des Polarsterns, zur Bestimmung der Polhöhe der Mitauer Sternwarte, mit einem 18zolligen *Reichenbach-Értelschen* Verticalkreis im Sommer 1828 gemessen. Von Professor Dr. *Georg Paucker*.

In der oberen Culmination.

July 5.		July 8.		July 9.		July 16.		July 17.		July 19.		July 19.		July 20.		July 20.	
o	p	o	p	o	p	o	p	o	p	o	p	o	p	o	p	o	p
55 14	45,86	242 54	50,83	248 12	40,50	258 5	10,74	263 8	24,53	272 59	24,50	253 1	15,04	268 19	44,78	278 39	26,91
48,98	44,68				41,41		14,54		29,32		17,56		47,32		29,71		29,71
121 42	2,68	306 22	4,53	311 39	60,54	321 32	36,63	326 35	46,00	336 26	56,59	316 28	37,36	331 47	8,88	342 6	32,03
	7,08		2,85		59,74		36,33		47,43		55,34		37,84		10,08		50,44
	2,52		4,16		59,05		35,04		47,22		52,78		39,66		10,28		52,40
	3,90		5,32		58,06		31,84		44,30		55,04		38,87		9,49		51,77
58 14	41,13	242 54	43,91	248 12	35,89	258 5	10,37	263 8	21,95	272 59	25,59	253 1	13,40	268 19	43,07	278 39	26,77
	45,18		43,87		35,93		10,86		22,66		30,84		16,89		43,32		26,70
Polhöhen		Polhöhen		Polhöhen		Polhöhen		Polhöhen		Polhöhen		Polhöhen		Polhöhen		Polhöhen	
56 39	7,00	56 39	6,99	56 39	6,22	56 39	3,92	56 39	4,90	56 39	1,60	56 39	5,54	56 39	4,86	56 39	6,74
	5,69		4,66		4,30		4,36		4,52		4,30		4,24		3,34		3,82
July 22.		July 22.		July 24.		July 24.		July 26.		July 28.		July 29.		Aug. 5.		Aug. 5.	
o	p	o	p	o	p	o	p	o	p	o	p	o	p	o	p	o	p
283 39	23,63	288 7	35,70	292 57	42,63	298 23	61,34	303 8	54,16	308 20	12,78	313 24	6,34	318 27	34,20	323 18	41,33
	20,36		38,92		49,91		61,00		54,58		11,05		8,68		35,87		42,90
347 6	41,13	351 34	59,59	356 25	12,49	1 51	24,20	6 36	22,28	11 47	33,98	16 51	33,60	21 54	60,21	26 46	7,98
	41,43		60,19		10,62		22,94		22,10		38,83		35,23		59,59		10,81
	41,22		56,64		11,45		24,81		17,98		38,89		33,22		60,59		10,77
	43,81		56,73		8,04		—		23,14		—		37,02		63,36		10,11
283 39	14,24	288 7	36,01	292 57	39,86	298 23	57,24	303 8	48,59	308 20	10,25	313 24	7,96	318 27	29,44	323 18	39,98
	18,13		37,30		43,72		56,36		54,30		12,52		4,40		31,39		40,10
Polhöhen		Polhöhen		Polhöhen		Polhöhen		Polhöhen		Polhöhen		Polhöhen		Polhöhen		Polhöhen	
56 39	7,08	56 39	5,61	56 39	4,47	56 39	5,97	56 39	3,89	56 39	5,51	56 39	4,39	56 39	6,59	56 39	5,34
	3,59		5,93		3,23		3,15		3,21		4,04		3,14		3,12		3,78

In der unteren Culmination.

July 4.	July 6.	July 8.	July 10.	July 13.	July 17.	July 18.	July 19.	July 26.
0 1 2 3 4 5 6 7 8 9 10 11 12	0 1 2 3 4 5 6 7 8 9 10 11 12	0 1 2 3 4 5 6 7 8 9 10 11 12	0 1 2 3 4 5 6 7 8 9 10 11 12	0 1 2 3 4 5 6 7 8 9 10 11 12	0 1 2 3 4 5 6 7 8 9 10 11 12	0 1 2 3 4 5 6 7 8 9 10 11 12	0 1 2 3 4 5 6 7 8 9 10 11 12	0 1 2 3 4 5 6 7 8 9 10 11 12
124 55 16,27	234 34 39,63	244 52 5,35	319 41 50,96	354 51 57,36	259 55 12,76	264 58 1,97	269 46 13,89	293 10 47,17
21,69	40,70	6,28	50,49	57,43	13,58	4,45	15,45	47,17
55 1 23,60	304 28 35,02	314 45 55,36	249 47 58,84	324 45 46,71	329 49 1,48	334 51 55,40	339 40 8,29	5 4 33,62
26,73	33,90	54,07	59,91	48,46	0,03	37,02	7,42	37,36
28,24	36,86	54,31	58,48	47,13	2,30	56,75	7,40	37,44
27,04	34,78	56,86	59,77	47,15	4,84	59,10	9,65	37,43
124 55 20,28	234 34 38,98	244 51 60,43	319 41 51,01	354 51 50,62	259 55 10,71	264 58 0,98	269 46 14,02	293 10 48,84
19,90	38,71	58,29	53,49	58,57	11,34	2,86	17,44	49,04
Polhöhen	Polhöhen	Polhöhen	Polhöhen	Polhöhen	Polhöhen	Polhöhen	Polhöhen	Polhöhen
56 39 4,90	56 39 5,56	56 39 7,05	56 39 6,03	56 39 6,17	56 39 6,51	56 39 4,11	56 39 3,40	56 39 4,91
4,67	4,16	3,43	5,08	5,00	4,01	2,66	3,59	4,84
July 26.	Aug. 3.	Aug. 3.	Aug. 3.	Aug. 5.	Aug. 5.	Aug. 6.	Aug. 9.	Aug. 13.
299 55 45,95	310 10 59,05	315 6 43,59	320 10 35,83	305 15 1,81	289 49 3,24	275 8 30,98	280 9 24,69	285 12 29,64
42,15	58,53	42,97	35,77	4,27	3,16	33,78	27,93	34,14
9 49 32,07	20 4 45,85	25 0 33,63	30 4 23,63	15 8 50,12	359 42 43,61	345 2 19,79	350 3 11,98	355 6 14,54
32,73	42,49	35,49	23,82	49,86	47,24	20,04	11,70	17,61
31,84	44,19	34,59	24,35	49,37	46,97	18,68	8,02	17,66
33,58	42,71	35,06	22,47	50,39	47,50	17,40	11,95	17,82
299 55 43,28	310 10 52,58	315 6 43,99	320 10 35,72	305 15 3,57	289 49 0,10	275 8 30,65	280 9 26,07	285 12 36,44
44,72	56,30	44,16	39,02	6,84	0,52	31,45	28,98	35,12
Polhöhen	Polhöhen	Polhöhen	Polhöhen	Polhöhen	Polhöhen	Polhöhen	Polhöhen	Polhöhen
56 39 4,89	56 39 5,15	56 39 2,21	56 39 3,83	56 39 3,44	56 39 5,88	56 39 3,34	56 39 3,03	56 39 2,92
4,77	3,94	2,49	4,77	4,60	3,57	3,57	5,14	4,03

Zusammenstellung der Polhöhen, als Mittel aus 8 Einstellungen.

Aus der oberen Culmination des Polarsterns.					Aus der unteren Culmination des Polarsterns.				
Beobachtungstag.	Zenith-ort.	Polhöhe.	Abweichung vom Mittel.	Quadrat der Abw.	Beobachtungstag.	Zenith-ort.	Polhöhe.	Abweichung vom Mittel.	Quadrat der Abw.
July 5	0	56 39 6,34	+ 1,688	2,849	July 4	0	56 39 4,78	+ 0,415	0,172
8	5	5,82	+ 1,168	1,364	6	5	4,86	+ 0,495	2,45
9	10	5,26	+ 0,608	3,70	8	10	5,24	+ 0,875	7,66
19	15	4,89	+ 0,238	57	10	15	5,55	+ 1,185	14,04
16	20	4,14	- 0,512	262	13	20	5,58	+ 1,215	14,76
17	25	4,71	+ 0,058	3	17	25	5,26	+ 0,895	801
20	30	4,10	- 0,552	305	18	30	3,38	- 0,985	970
19	35	2,95	- 1,702	2897	19	35	3,49	- 0,875	766
20	40	4,53	- 0,122	15	Aug. 6	40	3,45	- 0,915	837
22	45	5,33	+ 0,678	460	9	45	4,08	- 0,285	81
22	50	5,77	+ 1,118	1250	13	50	3,47	- 0,895	801
24	55	3,85	- 0,802	643	5	55	5,72	+ 0,355	126
24	60	4,56	- 0,092	8	July 26	60	4,87	+ 0,505	255
26	65	3,55	- 1,102	1214	26	65	4,83	+ 0,465	216
28	70	4,77	+ 0,118	14	Aug. 5	70	4,02	- 0,345	119
29	75	3,76	- 0,892	796	3	75	4,34	- 0,025	1
Aug. 5	80	4,85	+ 0,198	39	3	80	4,35	- 2,015	4060
5	85	4,56	- 0,092	8	3	85	4,30	- 0,065	4
Mittel	56 39 4,652			12,555	Mittel	56 39 4,365			13,101
Gewicht einer einzelnen Polhöhe	= 1				Gewicht einer einzelnen Polhöhe	= 1			
Mittl. Fehler einer einzelnen Polhöhe	= 0",859				Mittl. Fehler einer einzelnen Polhöhe	= 0",878			
Gewicht des Mittels	= 18				Gewicht des Mittels	= 18			
Mittlerer Fehler des Mittels	= 0",202				Mittlerer Fehler des Mittels	= 0",207			

Mittlere Polhöhe aus beyden Culminationen	$56^{\circ} 39' 4,508''$
Mittlere Verbesserung der angenommenen Declination	$- 0,143$
Gewicht dieser beyden Resultate $\equiv 36$	
Mittlerer Fehler der mittlern Polhöhe und der mittlern Declinationsverbesserung	0,145
Mittlerer Fehler einer einzelnen Polhöhe, aus 8 Einstellungen, ohne Rücksicht darauf, ob sie aus der obern oder unteren Culmination bestimmt worden	0,869

Ich habe bey diesen Beobachtungen die Methode meines geehrten Freundes, des Herrn Professors und Ritters *Struve* befolgt. Zuerst zwey Einstellungen Kreis Ost, dann vier Einstellungen Kreis West, zuletzt zwey Einstellungen Kreis Ost, oder umgekehrt. Bey je zwey zusammengehörigen Einstellungen wird die letzte Drehung der Micrometerschraube, wodurch man den Stern in die Mitte zwischen beyde Horizontalfäden bringt, in entgegengesetzter Richtung gemacht, z. B. bey der ersten Einstellung vorwärts, bey der zweyten rückwärts, oder umgekehrt. Bey jeder Einstellung werden die vier Verniers abgelesen, das Mittel derselben wird durch das am Umfange des Limbuskreises befestigte Niveau aufs Zenith, und durch die Uhr auf den Meridian reducirt. Diese reducirten Mittel habe ich in dem ersten Tableau aufgeführt, damit man aus ihrer Harmonie unter einander beurtheilen könne, in wie fern die daraus abgeleiteten Polhöhen Zutrauen verdienen. Von den beyden reducirten Einstellungen in jeder Lage des Kreises wird das Mittel genommen, dieselbe Summe beyder Mittel giebt den Zenithort, ihre halbe Differenz die Meridianzenithdistanz.

Die Declination des Polarsterns nahm ich aus den *Schumacherischen* Ephemeriden, und die Refraction aus der *Gaussen'schen* Tafel in den Hülftafeln Heft I. Beym Niveau des Limbuskreises legte ich den von Herrn Professor Dr. *Struve* bey den Beobachtungen zur Gradmessung 1826 ausgemittelten Werth der Scaletheile zum Grunde: eine spätere Bemerkung meines geehrten Freundes, daß es Wasserwagen giebt, die mit der Zeit ihre Empfindlichkeit verändern, konnte ich nicht mehr benutzen, und behalte mir eine neue Bestimmung der Niveaufäden für die in diesem Sommer anzustellenden Beobachtungen vor. In dem ersten Tableau findet man bey jedem Satze von 8 Einstellungen zwey Polhöhen angesetzt, die erste ergab sich aus den vier ersten Einstellungen, und die zweyte aus den vier letzten. Das Mittel aus diesen beyden Polhöhen habe ich im zweyten Tableau aufgeführt, und nach den Zenithorten grundirt, indem ich nämlich, nach der *Struve'schen* Methode, um den Einfluß der Theilungsfehler zu eliminiren, den Zenithort für jede Reihe von 8 Einstellungen veränderte, und ihn von 5° zu 5° fortschreiten ließe. Ich bemerke noch, daß ich bey der Reduction der Polhöhen auch auf die tägliche Aberration der Declination Rücksicht nahm, was gewißlich nur

auf die Hunderttheile der Secunde Einfluß hat. Da aus den beyden Culminationen des Polarsterns die Verbesserung der Declination $0^{\circ},143$ folgt, welche dem mittlern Fehler eben dieser Declinationsverbesserung $0^{\circ},145$ genau gleich ist, so läßt sich hieraus schließen, daß der 13zöllige Verticalkreis keinen Fehler in der auf *Bessel's* Beobachtungen beruhenden Declination des Polarsterns anzeigt, und daß die Differenz beyder Culminationen auf Rechnung zufälliger Beobachtungsfehler zu setzen ist.

Paucker.

Zusatz des Herausgebers.

Der erste, der die Unsicherheit der Repetition bey verticalen Winkeln zur Sprache gebracht hat, ist soviel ich weiß Herr Professor *Bohnberger*. Bei meinen Beobachtungen habe ich sie etwa seit 1822 aufgegeben, und meine repetirenden Verticalkreise auf verschiedene Weise als nicht repetirend gebraucht. Ein Versuch, durch einen nach meinen Ideen von Herrn *Bessel* (1827) construirten Verticalkreis die Repetition wieder einzuführen, gelang nur in gewissen Gränzen der Temperatur, aber innerhalb dieser auch vollkommen. Sollte es mir gelingen, woran ich aber zweifle, die Idee allgemein auszuführen, so werde ich dem astronomischen Publicum das Nähere mittheilen.

Herrn Professor *Paucker* theilte ich schon vor mehreren Jahren, als dieser verdienstvolle Astronom mir Repetitionsbeobachtungen übersandte, meine Ansichten über diesen Gegenstand mit, und ich sehe mit Vergnügen, daß er sich auch von der Unsicherheit der Wiederholungen verticaler Winkel, bei dem jetzigen Bau unserer Instrumente überzeugt hat. Herr Hofrath und Ritter *Struve*, der die Güte gehalten hat, mir Herrn Professor *Paucker's* Beobachtungen zu übersenden, bemerkt dabei, daß er denselben Kreis, der bei den Mieters Beobachtungen gedient hat, nachher bei seiner Gradmessung gebraucht, und den Biegungscoefficienten verschwindend ($\equiv 0^{\circ},05$) gefunden habe, so daß, da er diesen Coefficienten als unveränderlich annehmen zu dürfen glaubt, die mit dem Kreise bestimmte Polhöhe von Mietsau frei von dem Einflusse einer dem Sinus der Zenithdistanz proportionalen Biegung des Fernrohrs seyn wird.

S.

Auszug aus einem Schreiben des Hrn. Prof. *Weisse*, Dir. der Krak. Sternwarte, an den Herausgeber.
Krakau 1829. Mai 23.

Beiliegend übersende ich die von mir berechneten Tafeln der Coordinaten der 6 älteren Planeten *). Ich hoffe durch diese Tafeln den Berechnern von Ephemeriden, bey welchen nicht die größte Genauigkeit gefordert wird, einigen Dienst geleistet zu haben. Es würde mich sehr freuen, zu hören,

daß diese Arbeit gebilligt würde. Eben habe ich unter der Presse Tafeln der Mittags-Correction, wie selbe *Zach* und *Gauss* geben; sie sind von 30°—30° und auf 6 Decimalen berechnet; eigentlich hatte ich selbe auf 7 Decimalen berechnet, aber ich gebe sie nur auf 6. Wenn sie gedruckt seyn werden, werde ich mir die Freiheit nehmen, selbe Ihnen zu übersenden. Der Druck der Stundentafeln wird sich wohl noch einige Zeit verzihen.

*) Coordinatas Mercurii, Veneris, Martis, Jovis, Saturni et Uranii calculatas a Maximiliane *Weisse*, Phil. Doct. Astron. P. P. O. Oberv. Astron. Direct. Academi. Scient. Cracov. Societ. Cracoviae 1829. 4to. Sie enthalten die Gaussischen Sonnen-Coordinaten (mit 4 Decimalen) und die Coordinaten der genannten Planeten für 1840 u. 1900 mit 5 Decimalen. Das Argument ist mittlere Länge der Planeten. Sie dienen bekanntlich um nach *Gaussens* Methode den geocentrischen Ort eines Planeten zu bestimmen, und gewähren in der Ausdehnung wie hier berechnet die Bequemlichkeit, diese Oerter für Jahre leicht finden zu können, für die noch keine Ephemeriden da sind. Herr *Adjuut Stokowsky* hatte seine Dissertation De longitudinis Geographicae beigelegt, in der die Länge Cracova aus dem 1827 Sept. 29 hier (von Herrn *Glaessen*) und dort beobachteten Eintritte von 187 Sgitt. berechnet wird. Er findet daraus den Längenunterschied beider Sternwarten zu 39° 59' 3" in Zeit.

8.

Diese Zeit her vor den Beobachtungen eben nicht sehr günstig; besonders der May gehört unter die ungünstigsten Monate seit langer Zeit; seit dem 6ten bis heute den 23ten hatten wir nur einen einzigen heitern Abend. Indessen um nicht mit ganz leeren Händen zu erscheinen, lege ich einige beobachtete Mondsterne bey. Der beobachtete Durchgang durch den mittlern Faden ist bereits von dem Fehler des Instruments und der Uhr befreit. Ungesachtet der ungünstigen Witterung habe ich doch schon eine ziemliche Anzahl von Beobachtungen des Polarsterns seit der Aufstellung des Meridiankreises beysammen; die Resultate, die diese Beobachtungen für die Polhöhe geben, werde ich später bekannt machen.

Max Weisse.

Beobachtungen von Mondsternen auf der Cracauer Sternwarte von Herrn Professor *Weisse*, Director derselben, gemacht.

		^h	^m	^s	
1829 Jänner 13.	ε Ceti	2	4	57,58	5 Fäden.
	38 Arietis	2	35	40,06	5 —
	Mond I	2	36	35,18	5 —
	σ Arietis	2	42	4,99	5 —
	(4) Ceti	3	1	59,90	5 —
	(103) Tauri	3	29	46,73	5 —
	Mond I	3	31	6,34	5 —
	(187) Tauri	3	43	24,73	5 —
	γ Tauri	4	10	5,47	5 —
	g Geminorum	7	36	14,56	5 —
Febr. 10.	Mond I	7	59	1,61	5 —
	A' Cancri	8	33	48,09	5 —
	(4) Ceti	3	1	59,58	5 —
	Mond I	3	13	40,72	5 —
	f Tauri	3	21	27,31	5 —
	λ Tauri	3	51	13,85	5 —
	N Tauri	5	37	29,20	5 —
	Mond I	5	39	11,58	5 —
	λ' Orionis	5	44	50,34	5 —
	ε' Orionis	6	4	48,21	5 —
15.	γ Cancri	7	51	46,37	5 —

1829 März 15.	Mond I	h 8	16	11,45	5 —
	α' Cancri	8	49	9,04	1 —
16.	α' Cancri	8	49	9,38	5 —
	α Cancri	8	58	30,50	5 —
	Mond I	9	6	23,51	5 —
	(35) Leonis	9	8	36,08	5 —
	α Leonis	9	32	2,77	5 —
April 12.	A' Cancri	8	37	33,10	5 —
	Mond I	8	47	52,82	5 —
	α Cancri	8	58	30,07	5 —
	ξ Leonis	9	22	44,69	2 —
14.	16 Sextantis	10	0	17,20	1 —
	Mond I	10	23	42,66	5 —
	48 Leonis	10	25	54,22	5 —
	35 Sextantis	10	34	30,09	5 —
	d Leonis	10	51	45,26	5 —
15.	d Leonis	10	51	45,41	5 —
	76 Leonis	11	10	10,19	3 —
	Mond I	11	10	28,79	4 —
	γ Leonis	11	19	10,42	4 —
	β Virginis	11	41	49,18	5 —

Max Weisse.

Schreib- und Druckfehler in *Struve's* Beobachtungen des *Enckeschen* Cometen in den *Astronomischen* Nachrichten Nr. 153 und 154.

Seite 162 und 166 ist in der Beschreibung der Figuren I und III statt *k* fast immer *K* zu setzen. Dies kann zu einem gänzlichen Mißverstehen veranlassen. Ich glaube es ist am besten, die beiden Stellen mit richtigen Buchstaben hier abdruckten. Sie lauten nun so:

7 November. Seite 162 Zeile 12 von unten bis ans Ende.

Der hellere Theil des Cometen erstreckt sich von *a* bis nahezu an *K*, den Schwerpunkt der Figur, seine Form ist der des größeren Nebels analog, und namentlich ist die schärfere Begrenzung bei *a* kennlich. Der hellste Punkt des Cometen *k*, der aber gar nichts bestimmt bezeichnendes hat, liegt, wie die Figur zeigt, entschieden ebenso außerhalb des Schwerpunkts *i* des helleren Theiles des Cometen von *a* bis *K*, als dieser Theil excentrisch in Bezug auf *K*.

Bei Bestimmung des Ortes wurde nach *k* dem hellsten Punkte visirt, dessen AR. nahezu mit der des Schwerpunktes *K*

zusammenfiel, dessen Declination aber größer war als die von *K*.

30 November. Seite 166 Zeile 9 und folgende.

Figur III stellt den Kometen dar, wie er unter 94facher Vergrößerung erschien. *k* ist der fast kreisförmig erscheinende Kernnebel. Der Durchmesser *cd* ist 9". Die äußerste Gränze bei *b* ist nicht zu bestimmen, da der Komet hier so verwaschen erscheint. Der hellere Nebel von *a* bis nahe an *K* hat 4" Durchmesser und geht bis an die äußerste Gränze des Cometen bei *a*, während am 7 Novbr., in Fig. I, *a* von *K* bedeutend abstand. In diesem helleren Nebel liegt der Kernnebel *k* excentrisch auf ähnliche Weise wie am 7 Novbr. Die Linie von *a* durch *K* nach *b* ist so gelegen, daß *b* von *a* aus in der Richtung 51° A. Fr. liegt. Die Begrenzung von *d* durch *a* nach *c* ist auch diesmal parabolisch, und viel schärfer als von *d* durch *b* nach *c*.

Seite 165 Zeile 5 für Decl. Cometae = $k - 1^{\circ} 26' 6''$ ist zu lesen: Decl. Cometae = $k + 1^{\circ} 26' 6''$.

— 171 — 3 — $\frac{1^{\circ} 2}{\sqrt{6}} = 0^{\circ} 05$

— 21 — Decl. Cometae = $r + 32'' 0$

— 22 — Genäherter Ort des Sterns *r*

— 172 — 5 — $22^{\circ} 43' 45''$

— 17 — $\epsilon = 34'' 11$

— 18 — $\epsilon = 2' 14'' 8$

— 33 — $23^{\circ} 3'$ Uhrzeit

— 174 — 7 — $0^{\circ} 2'$ Uhrzeit

— 19 — $23^{\circ} 6' 19''$ Sternzeit

— — — $\frac{1^{\circ} 2}{\sqrt{6}} = 0^{\circ} 5$

— — — Decl. Cometae = $r - 32'' 0$

— — — Genäherter Ort des Sterns *a*

— — — Decl. Cometae = $\epsilon + 2' 28'' 5$

— — — $\epsilon + 34'' 11$

— — — $\epsilon + 2' 14'' 8$

— — — $23^{\circ} 3' 5$ Uhrzeit

— — — $23^{\circ} 29' 19''$ Uhrzeit

— — — $23^{\circ} 6' 9''$ Sternzeit

W. Struve.

D r u c k f e h l e r .

Astron. Nachr. Nr. 157.

S. 228 Z. 4 v.u. $\frac{\rho_2 \sin(\varphi_2 + d(\varphi) - \psi_2)}{r, \text{ statt } r}$ 206265°

- 229 - 8 v.o. $-(\varphi + d(\varphi))$ st. $-\varphi + d(\varphi)$

- 12 v.o. $(\varphi + d(\varphi)) - (\varphi + d(\varphi))$ st. $(\varphi + d(\varphi))(\varphi + d(\varphi))$

Beilage zu Nr. 157.

- 239 - 12 v.o. der st. des

- 241 - 2 v.o. $(d) \sin(\varphi - (M))$ = $(d) \sin(\varphi - (M))$

- 242 - 2 v.u. $\sin(\varphi + d(\varphi))$ = $\sin(\varphi + d(\varphi))$

- 244 - 13 v.u. Setzt = Setze

- 245 - 10 v.o. $2 \sin \frac{1}{2} N, \dots$ = $2 \sin \frac{1}{2} N, \dots$

S. 248 Z. 29 v.o. dem st. den

- 33 v.o. wodurch - wo

Beilage zu Nr. 158.

S. 265 Z. 17 v.u. die Coordinaten st. Coordinaten

- 266 - 32 - Punkte *B* - Punkte

- 269 - 22 - $\psi + 180^{\circ}$ - $\psi 180^{\circ}$

- 271 - 9 - $v - \psi$ und $v, -\psi$, - $\psi - v$ und $\psi, -v$

- 272 - 9 - $\cos[(\varphi), -v, +d((\varphi), -v)]$ st. $\cos[(\varphi), -v, +d((\varphi) - v)]$

- 280 - 6 v.o. Axe des st. Axe der

- 280 - 34 - $[b]$ - (b)

ASTRONOMISCHE NACHRICHTEN.

N^o 163.

Bemerkungen über die Königsberger Zonen-Beobachtungen.

Die Sternbestimmungen, welche die Königsberger Zonen ergeben, sind gegenwärtig schon häufig angewandt worden, sowohl um Kometen damit zu vergleichen, als auch um den Himmelskarten welche die Berliner Akademie der Wissenschaften veranlaßt hat zur Grundlage zu dienen. Durch diese Anwendungen sind hin und wider Fehler in den gedruckten Zonen bekannt geworden, über welche ich hier einige Erläuterungen geben werde, da dieselben vielleicht dienen können, die zur Berichtigung einer entstellten Beobachtung zu machenden Conjecturen zu leiten.

Die wahrscheinlichen Fehler der Beobachtungen, sowohl der Rectascensionen als der Declinationen, habe ich Nr. 17 der astronomischen Nachrichten zu bestimmen gesucht. Obgleich hier eigentlich nicht von dieser Art der Fehler, sondern nur von zufälligen Entstellungen der Beobachtungen die Rede ist, so benutze ich doch diese Gelegenheit, auf einige zu berücksichtigende Umstände aufmerksam zu machen, welche im Laufe der Beobachtungen stärker hervorgetreten sind. Das oft sehr starke Zittern der Sterne, ihre Undeutlichkeit und Blässe, haben die Beobachtungen, welche unter diesen Umständen gemacht worden sind, oft so sehr erschwert, daß der wahrscheinliche Fehler der verschiedenen Zonen sehr ungleich sein muß; dieses ist mehr der Fall bei kleinen Sternen als bei größeren, indem die ersteren, unter den angeführten Umständen, im erleuchteten Felde des Fernrohrs oft schwierig zu sehen sind, auch wohl in einzelnen Augenblicken ganz verschwinden, wodurch die Bemerkung der Stetigkeit ihres Fortschreitens an Sicherheit verliert. Hierzu kommt noch, daß für die höheren Zonen, über 15° der nördlichen Declination hinaus, ein zusammengesetztes Ocular mit einem Spiegel-Prisma angewandt werden mußte, welches lichtschwächer ist als die geraden Oculare des Instruments, und welches daher zur Vernebrung der Schwierigkeit des Sehens der kleinen Sterne beträchtlich beiträgt. Alle nachtheilige Umstände zusammen, bringen oft die Wirkung hervor, daß man sowohl über die Durchgangszeit eines sehr kleinen Sterns, als auch über sein Einstellen in die Mitte des Zwischenraums der beiden horizon-

talen Fäden, weit unsicherer bleibt, als bei größeren Sternen und unter günstigen Umständen der Fall ist. Inzwischen hängt der wahrscheinliche Fehler der Rectascensionen von der Uebung eines Beobachters ab; der der Declinationen von dem Zusammenwirken zweier Beobachter, des einen der das Fernrohr einstellt und des anderen, der am Mikroskopes aliiert. Auch hierdurch kann eine Ungleichheit entstehen, indem die Person des zweiten Beobachters dreimal geändert worden ist. Obgleich ich mich des Glücks erfreue, in den Herren *Argelander*, *Rosenberger* und *Anger* sehr sorgfältige Gehülfen besessen zu haben und noch zu besitzen, so läßt sich doch nicht annehmen, daß bei dem Eintritte eines neuen Gehülfen schon alle die Uebung verhanden war, welche in der Folge erworben wird.

Unter den zufälligen Entstellungen einer Beobachtung der Durchgangszeit eines Sterns scheint mir ein Fehler von einer Zeiteinheit im Zählen der Umrührs der gefährlichste zu sein, indem seine Existenz sich schwerer mit Sicherheit ausmitteln läßt, als dieses für größere Fehler der Fall ist. Bei den gewöhnlichen Beobachtungen ist ein Fehler dieser Art nicht zu fürchten, indem vor und nach jeder derselben Zeit genug vorhanden ist, sich von der Richtigkeit zu überzeugen und indem man, durch Uebung, leicht eine so große Sicherheit im Zählen erlangt, daß die Vergleichung der gezählten Secunde mit der von dem Zeiger der Uhr angegebenen, nach Vollendung der Beobachtung, meistens ganz unnötig und nur dann wünschenswerth wird, wenn zufälliges Geräusch eine Störung hervorgebracht hat. Bei den Beobachtungen der Zonen aber folgen die Sterne oft so schnell hintereinander, daß die Zwischenzeiten kaum hinreichen, die Beobachtungen niederzuschreiben; man muß dann eine längere abwarten, ehe man die gezählte Secunde mit der Uhr vergleichen kann, wodurch man zwar gewöhnlich die gewünschte Bestätigung erhält, allein auch Geräusch werden kann, zumal wenn heftiger Wind oder Geräusch auf dem neben der Sternwarte vorbeiführenden Spaziergange, stören. In diesen Fällen habe ich zuweilen einen Fehler von einer Secunde oder 10 Secunden bemerkt und

densthes durch die beigeetzten Noten: Zeilsec. ? $\pm 10''$? $\pm 10''$? angedeutet; zuweilen ist auch das Fortzählen durch dieselben Störungen ganz unterbrochen worden und dadurch die Controle seiner Richtigkeit verloren gegangen. Aus der Entstehung dieser Zweifel geht hervor, daß dieselben nicht nur bei dem Sterne, bei welchem sie bemerkt sind, sondern auch bei einigen der vorhergehenden stattfinden können; in der Columna der Durchgangszeiten wird aber, wenn ein Zweifel vorhanden ist, immer die Zahl angegeben, welche mir die wahrscheinlichste zu sein scheint. Fehler von $1''$ oder $10''$, welche von einer irigen Reducion der an den Seitenfäden gemachten Beobachtungen auf den mittleren Faden herrühren, werden hoffentlich sehr selten vorkommen; wenigstens fehlt es nicht an der zu ihrer Vermeidung nöthigen Vorsicht. Ein Fehler von einer ganzen Zeitminute hat sich häufiger, und dann gewöhnlich bei mehreren Sternen zugleich, gefunden; er entsteht, so wie die Zählungsfehler, aus dem Mangel der zum jedesmaligen Vergleichen der Minute erforderlichen Zeit, und kommt in den früheren Zonen häufiger vor als ich erwartete, weshalb bei den späteren die Aufmerksamkeit darauf vermehrt worden ist. Zuweilen wird man diesen Fehler dadurch entdecken können, daß die Beobachtungen stets in der Zeitfolge fortschreiten müssen; z. B. in Zone 175 kommt ein am 2^{ten} Faden beobachteter Stern $18^h 44' 57''.11$ vor, nach demselben ein am 1^{ten} Faden beobachteter $18^h 44' 41''.59$, welche beide Angaben nicht zusammen bestehen können, indem das Beobachtungsmoment für den ersten $18^h 44' 42''.3$, für den andern $18^h 44' 12''.2$ sein würde, was mit der Zeitfolge nicht vereinbar ist; es ist also ein Fehler vorhanden, und zwar ist anderweitig ausgemittelt worden, daß die erste Minute 43 gelesen werden muß. Endlich können die Durchgangszeiten noch dadurch entstellt sein, daß ein falscher Faden auf den mittleren reducirt worden ist; ich glaube, die zu der Vermeidung dieses Fehlers nöthige Aufmerksamkeit mir angewöhnt zu haben, allein dennoch habe ich denselben zuweilen begangen, was ich mehr einer Verwechselung der Columna des Papiers, auf welches die Beobachtung niedergeschrieben wird, als einer Verwechselung des Fadens selbst zuschreiben zu müssen glaube.

Die Schreibfehler, welche bei den Declinationen am häufigsten vorkommen, sind eine Windung der Schraube des Mikroskops = 100 Theilen = $34''.2$, und ein Theilstrich des Kreises = $3'$; seltener finden sich Fehler von 5, 10, 30 Theilstrichen = $15'$, $30'$, $1^{\circ} 30'$. Kame ein Fehler von einer Minute, 5 oder 10 Minuten, oder überhaupt von einer nicht durch drei theilbaren Anzahl von Minuten vor, so könnte es kein Schreibfehler im Originale, sondern nur

ein Fehler in der Verwandlung der Angabe des Mikroskops in Grade, Minuten und Secunden, oder ein Druckfehler sein, welche beide sich durch die beigezeichnete unmittelbare Angabe des Mikroskops erkennen und berichtigen lassen. Ich bemerke bei dieser Gelegenheit, daß die Herren *Anglander*, *Rosenberger* und *Anger* eine Art der Verwandlung der Mikroskop-Angaben in die gewöhnlichen Theile des Kreises angewandt haben, welche ihre Controle stets mit sich führt.

Indem meine Zonen etwas mehr als zwei Grad Breite haben, ihre Mitten aber zwei Grade voneinander entfernt sind, so finden die Sterne an einer Grenze der einen, sich häufig auch an der antoisenden Grenze der andern beobachtet. Hierdurch erhält man das Mittel zur Erkennung einiger vorgefallenen Fehler, und in der That sind die Verbesserungen längs gedruckter Zonen, welche ich in jedem neu erscheinenden Bande meiner Beobachtungen anzugeben pflege, meistens auf diese Art entdeckt worden. Unter dem von Herrn *Inghirami*, bei Gelegenheit der Verfertigung seiner Karte vermisst Sternen, finden sich einige, welche schon als fehlerhaft angezeigt waren, auch der Stern Zone 2. $19^h 54' 47''.64$, welchen unser hochverehrter *Obers* vermisst (A. N. Nr. 150), ist, der Anzeige der Verbesserungen am Ende der IX. Abtheilung der Königsberger Beobachtungen zufolge, 30 Minuten nördlicher als er in der 2^{ten} Zone angegeben ist. Ich bitte jeden Besitzer meiner Tagebücher, die Verbesserungen, welche ich, so wie sie mir bekannt werden, stets anzeige, jedesmal abzuändern, weil dadurch hin und wider eine vergiebliche Nachscheidung erspart werden wird.

In Nr. 17 der Astr. Nachr. habe ich den ganzen Mechanismus der Zonen-Beobachtungen erläutert; ich habe denselben so gewählt, daß dadurch Unrichtigkeiten so sehr vermieden werden, als mir, bei einmaligen, sehr schnell aufeinanderfolgenden Beobachtungen möglich schien. In wiefern dieses gelungen ist, kann man durch die Fehleranzeigen beurtheilen, welche Herr Professor *Harding* und Herr *Inghirami* ihren vortheilhaften Karten der Stunden XV und XVIII beigegeben haben. Der erstere hat 12, der andere 10 Sterne nicht an den Oertern gefunden, an welchen sie den gedruckten Zonen zufolge (nach Verbesserung der von mir selbst angegebenen Fehler) stehen sollten; die Zahl der Beobachtungen, unter welchen diese Sterne vermisst worden sind, wird für jede Karte 1500 bis 2000 betragen. Die 12 vermissten Sterne des Herrn Professor *Harding* hat er größtentheils selbst richtig entdeckt, über zweifelhafte bleibende haben die Originale der Beobachtungen Aufschluß gegeben; dasselbe ist der Fall mit den Sternen des Herrn

Inghirami, jedoch findet sich einer darunter: Zone 174. 8.9 Gr. 18° 50' 7", 40 + 3° 34' 19", 7, für welchen ich keine wahrscheinliche Auslegung der Beobachtung finden kann. Dieser Stern war auch am 19ten Juni d. J., wo ich ihn

suchte, nicht vorhanden. Andere, welche Herr *Inghirami* vermisse, habe ich wiedergefunden. Es sind gewiss noch viele kleine Sterne am Himmel welche Lichtwechsel haben; *Harding* hat mehrere derselben entdeckt.

Bessel.

. Tafel zur Reduction der Abwägungen.

Die Reductionen vermöge welcher man aus unmittelbaren Abwägungen, sowohl in der umgebenden Luft als im destillirten Wasser, das wahre Gewicht und die spezifische Schwere eines gewogenen Körpers erhält, habe ich in einer logarithmischen Tafel gebracht, deren Mittheilung an diesem Orte entschuldigt werden mag, da auch den Astronomen das Wägen wohl vorkommt, so wie es mir, bei Gelegenheit meiner Pendelversuche vorgekommen ist.

Unter spezifischer Schwere eines Körpers wird hier der Quotient seiner Masse dividirt durch die Masse des Wassers welches er aus der Stelle drängt, verstanden, das Wasser im Zustande der größten Dichtigkeit und die Ausdehnung des Körpers der Temperatur des schmelzenden Eises entsprechend angenommen. Bezeichnet man diese spezifische Schwere durch Δ , die Masse des Körpers durch M , und das Verhältniß einer seiner Dimensionen bei den Temperaturen des Eispunktes und des Versuchs durch $1:R$, so ist der Raum welchen der Körper ausfüllt

$$= \frac{M}{\Delta} R^3;$$

und er drängt eine Masse Flüssigkeit

$$= \frac{M}{\Delta} R^3 Q$$

aus der Stelle, wenn Q die spezifische Schwere derselben bedeutet. Er zieht also an einem der Arme der Wage mit der Kraft

$$M \left\{ 1 - \frac{R^3 Q}{\Delta} \right\},$$

Au dem andern Arme der Wage zieht das Gewicht $= m$, mit der Kraft.

$$m \left\{ 1 - \frac{r^3 q}{\delta} \right\}$$

wo die kleinen Buchstaben in Beziehung auf das Gewicht dieselbe Bedeutung haben, wie die großen in Beziehung auf den Körper. Sind der Körper und die Gewichte im Gleichgewichte, so ist

$$M \left\{ 1 - \frac{R^3 Q}{\Delta} \right\} = m \left\{ 1 - \frac{r^3 q}{\delta} \right\},$$

Nun werde ich zuerst den Körper und die Gewichte in der Luft befindlich annehmen, wodurch $Q = q$ und

$$M \left\{ 1 - \frac{R^3 q}{\Delta} \right\} = m \left\{ 1 - \frac{r^3 q}{\delta} \right\}$$

wird. Ferner werde ich den Körper in reinem Wasser, die Gewichte in der Luft annehmen, wodurch, wenn Q die spezifische Schwere des Wassers bedeutet,

$$M \left\{ 1 - \frac{R^3 Q}{\Delta} \right\} = m \left\{ 1 - \frac{r^3 q}{\delta} \right\}$$

Da bei dem letzten Versuche aber die Temperaturen des Wassers und der Luft verschieden sein können, die letzte auch nicht notwendig der bei dem ersten Versuche stattfindenden gleich ist, so will ich m, r, q, R für die Wägung in Wasser durch m', r', q', R' bezeichnen.

Eliminirt man aus beiden Gleichungen die Masse des Körpers, so erhält man

$$\Delta = \frac{m R^3 Q (1-i) - m' R' q (1-i')}{m (1-i) - m' (1-i')}$$

wo i und i' für $\frac{r^3 q}{\delta}$ und $\frac{r'^3 q'}{\delta'}$ geschrieben sind. Sobald Δ bekannt ist, hat man aus der ersten Gleichung

$$M = m \cdot \frac{1-i}{1-i'}$$

wo $i = \frac{R^3 q}{\Delta}$ ist. Will man nur die erste Potenz von i berücksichtigen, was, mit Ausnahme der elastischen Flüssigkeiten, keinen erheblichen Fehler veranlaßt, so kann man statt der richtigen Formeln die Näherungen:

$$\Delta = \frac{m}{m-m'} R^3 Q - \frac{m'}{m-m'} R^3 q + \frac{m \cdot m'}{(m-m')^2} Q (i'-i)$$

$M = m + m i - m i'$
anwenden.

Die Tafel welche ich hier, zur bequemen Berechnung dieser Formeln mittheile, setzt voraus, daß atmosphärische Luft in der Temperatur des Eispunktes und unter dem Drucke von 0,76 mit Quecksilber, die spezifische Schwere

$$\frac{13,59606}{10475,6} = \frac{1}{770,488}$$

hat; der Zähler dieses Bruches ist die spezifische Schwere des Quecksilbers nach *Brissons* Versuchen und *Hallströms*

Rechnung; der Nenner ist das von den Herren *Biot* und *Arago* gefundene Verhältniß der Dichtigkeiten der Luft und des Quecksilbers. Hieraus folgt, für die in Pariser Linien ausgedrückte und auf die Dichte des Quecksilbers in der Temperatur des Eispunktes reducirte Barometerhöhe b , und die Temperatur der Luft t ,

$$q = \frac{1}{770,488} \cdot \frac{b}{0,76 \times 443,296} \cdot \frac{1}{1 + t \cdot 0,00375}$$

$$= \frac{b}{259581 (1 + t \cdot 0,00375)}$$

Nimmt man die Gewichte von Messing an, ihre spezifische Schwere = 8,4 und ihre Längenausdehnung für jeden Centesimalgrad des Thermometers = 0,000018785, so erhält man hieraus

$$i = a \cdot b$$

$$n = \frac{(1 + t \cdot 0,000018785)^i}{8,4 \cdot 259581 (1 + t \cdot 0,00375)}$$

gesetzt worden ist. Den Logarithmen dieses a enthält die erste Column der Tafel, deren Argument der Centesimalgrad des Thermometers ist. Es versteht sich, daß man i' eben so erhält, wenn man den Barometerstand und die Lufttemperatur zur Zeit der Abwägung in Wasser anwendet.

Setzt man die Ausdehnung des gewogenen Körpers für jeden Grad des Thermometers = Δ , so ist

$$l = \frac{\beta \cdot b (1 + t\Delta)}{\Delta}$$

und die zweite Column der Tafel enthält den Logarithmen von

$$\beta = \frac{1}{259581 (1 + t \cdot 0,00375)}$$

Mit diesen beiden Columnen reicht man aus, wenn Δ gegeben ist. Soll es aber durch Abwägung in Wasser erst

gefunden werden, so gebraucht man noch Q . Herr *Hallström* in Åbo hat Untersuchungen über die spezifische Schwere des Wassers wiederholt angestellt und netherlich seine letzten Resultate in den Schwedischen Abhandlungen für 1823 mitgetheilt, wovon im 77^{ten} Bande der *Annalen der Physik* von *Poggendorff* eine Uebersetzung in unsere Sprache erschienen ist, welche eine Tafel für Q , für jeden Grad des Thermometers enthält. Von diesen Werthen von Q gebe ich in der dritten Column meiner Tafel die Logarithmen, zu welchen also $3 \log (1 + t\Delta)$ zu addiren ist, um $\log R^1 Q$ zu erhalten; den Logarithmen von $R^1 q$ erhält man, indem man $\log b + 3 \log (1 + t\Delta)$ zu dem Logarithmen von β addirt.

Hierbei ist die spezifische Schwere der Gewichte von Messing als bekannt angenommen = 8,4; es ist aber bekannt, daß dieselbe ziemlich verschieden ausfällt, je nachdem dieses Metall verschieden zusammengesetzt und bearbeitet ist. Will man daher alle mögliche Genauigkeit der Reductionen erhalten, so wird man δ für die Gewichte selbst, durch eine Wägung in Wasser bestimmen müssen. Bringt man das Gewicht m im Wasser, mit dem Gewicht m' in der Luft in Gleichgewicht, so ist

$$m \left\{ 1 - \frac{\rho^1 Q}{\delta} \right\} = m' \left\{ 1 - \frac{\rho^1 q'}{\delta'} \right\}$$

woraus

$$\delta = \frac{m^{\rho^1} Q - m'^{\rho^1} q'}{m - m'}$$

folgt. Um auch hier leichter rechnen zu können, habe ich den Logarithmen von $\rho^1 Q$ in die 4^{te} Column der Tafel gebracht; $\log \rho^1 q'$ ist = $\log x + \log b + 0,92428$. Sobald δ bekannt geworden ist, hat man der ersten Column der Tafel die beständige Verbesserung

hinzuzufügen. $0,92428 - \log \delta$

Tafel zur Reduction der Abwägungen.

Therm. Cent.	Log. a	Log. β	—	Log Q	Log $\rho^1 Q$
0	3,66145	—	4,58573	9,9999530	9,9999530
1	3,65985	160	4,58411	9,9999731	+ 201
2	3,65825	160	4,58248	9,9999877	+ 149
3	3,65666	159	4,58087	9,9999966	+ 80
4	3,65508	158	4,57926	9,9999998	+ 32
5	3,65350	158	4,57766	9,9999978	— 20
6	3,65193	157	4,57607	9,9999903	— 75
7	3,65037	156	4,57448	9,9999771	— 132
8	3,64881	156	4,57289	9,9999585	— 186
9	3,64725	156	4,57131	9,9999347	— 238

Term. Cent.	Log. α	Log β	Log. Q	Log $^t Q$
9	3,64725	—	4,57131	—
10	3,64571	154	4,56974	— 292
11	3,64416	155	4,56818	— 345
12	3,64263	153	4,56661	— 397
13	3,64110	153	4,56506	— 451
14	3,63957	153	4,56351	— 503
15	3,63804	153	4,56196	— 556
16	3,63653	151	4,56042	— 602
17	3,63503	150	4,55889	— 656
18	3,63352	151	4,55736	— 707
19	3,63202	150	4,55584	— 756
20	3,63053	149	4,55432	— 807
21	3,62904	148	4,55281	— 853
22	3,62756	148	4,55130	— 906
23	3,62608	148	4,54980	— 952
24	3,62461	147	4,54830	— 1002
25	3,62314	147	4,54681	— 1051
			9,9993347	0,0001549
			9,9999055	0,0001502
			9,9998710	0,0001402
			9,9998131	0,0001249
			9,9997862	0,0001043
			9,9997359	0,0000785
			9,9996805	0,0000476
			9,9996203	0,0000119
			9,9995547	9,9999707
			9,9994844	9,9999245
			9,9994084	9,9998733
			9,9993277	9,9998171
			9,9992424	9,9997563
			9,9991516	9,9996991
			9,9990558	9,9996404
			9,9989564	9,9995837
			9,9988513	9,9995230

Bessel.

Brief des Herrn Geheimenraths v. Utzschneider an den Herausgeber.

München 1829. April 26.

Monsieur, je m'adresse à vous, comme ami de la vérité, pour redresser des assertions défavorables à mon institut optique, par l'insertion de cette lettre dans votre journal.

On lit dans la bibliothèque universelle (1828 Novembre page 175) que l'objectif de neuf pouces de la lunette fournie à l'observatoire de Dorpat par l'institut optique d'*Utschneider* et de *Fraunhofer*, est sorti des creusets de Mr. *Guinand*.

Plusieurs journaux ont répété en même temps d'après le *Globe* (Vol. VI. N. 107, Novembre 1828), que MM. *Thibaut* et *Bontemps* avaient, de concert avec Mr. *Guinand* fils, retrouvé le secret de produire le Flintglas de toute grandeur et le plus favorable à l'optique, secret qu'on croyait perdu depuis la mort de *Franhofer* et de *Guinand* père, qu'en outre parmi les morceaux présentés par eux à l'Académie des sciences, il s'en trouvait de 14 pouces de diamètre.

Je suis loin de vouloir entretenir le public de ce qui m'est particulier; je me crois néanmoins obligé par l'intérêt même qu'on attache à cette précieuse découverte, de donner quelques renseignemens sur le séjour de Mr. *Guinand* dans

ma fonderie de verre de Benedictbeuern. En 1826, j'en ai déjà fait mention dans mon abrégé de la vie de *Fraunhofer*; mais je crois devoir y revenir encore pour réfuter des bruits injurieux à mon établissement et à la mémoire de *Fraunhofer*.

Ainsi que Mr. *Pierre Louis Guinand* entrât à mon service, il fut obligé de me communiquer tout ce qu'il avait fait jusqu'à cette époque dans l'art de fondre le verre. J'obtins ainsi une description des petites fontes, faites par lui depuis 1773; et je pus me convaincre que ses efforts n'avaient eu d'heureux résultats ni pour les sciences ni pour ses propres intérêts. Mr. *Guinand* renouvela infructueusement ses essais, et n'en demeura pas moins bien accueilli par moi. Ses tentatives me guidèrent dans la route qu'il convenait de suivre pour arriver au but je résolus donc de continuer à travailler avec lui d'après un plan réglé et de profiter du loisir que me laissent mes fonctions publiques pour assister à toutes les fontes. Nous obtînmes quelques morceaux de Flintglas on fit des objectifs pour des instruments construits dans l'institut de *Reichenbach, Utzschneider et Liebherr*. Nos travaux ne discontinuèrent que quand je fus rappelé à mes fonctions publiques: je cherchai alors

Mr. *Fraunhofer* de la direction des fontes, entrepries à mes frais; et cet habile opticien me fit toujours un rapport écrit des essais et des fontes qui avaient été faites.

Mr. *Guinand* m'annonça le 6 Décembre 1813, que des affaires de famille le rappelaient chez lui à Bienne; il partit en effet quelque temps après et ne retourna plus à Benedictleurn.

La description des fontes de Mr. *Guinand*, écrite de sa propre main et que je possédais encore, prouve qu'en 1805 il n'était pas encore parvenu au point de fournir un Flint-glas sans défaut, et qu'il n'avait réussi que par les essais faits à Benedictleurn, avec moi et à mes frais. Encore le verre de la dernière fonte qu'il fit au commencement de 1814, n'égalait point en qualité celui que *Fraunhofer* fit plus tard.

Le Flintglas pour l'objectif de la lunette de Dorpat ne fût fondu que quatre ans après le départ de Mr. *Guinand*, dans la 33^e fonte du 18 Déc. 1817; comme on peut le voir par le journal tenu par *Fraunhofer*. Ce fut moi qui, tant pour cette fonte que pour la 32^e, fournis les principaux matériaux.

Le 11 Janvier 1816, Mr. P. L. *Guinand* m'écrivit qu'il avait occasion de prendre la direction d'une verrerie importante; je lui répondis qu'il devait le faire et que j'étois

d'avis qu'il enseignât en même temps à quelqu'un la fabrication du Flint- et Crown-glas. Peu de temps après, dans une lettre du 10 Février 1816, il m'offrit de nouveaux services, en me disant: „j'ai nouvellement acquis des connaissances sur la fonte du verre, je les ai mises en pratique dernièrement par deux petites fontes.“ Or Mr. *Guinand* à cette époque n'était point encore en état de produire du verre à l'usage des opticiens.

Après le départ de Mr. *Guinand*, mon ami *Fraunhofer* fit plusieurs grandes et précieuses fontes qui réussirent à notre gré. Depuis sa mort, j'ai entrepris moi-même la continuation des fontes du verre destiné à mon institut optique, et je crois pouvoir garantir leur bonté. Les objectifs nouvellement construits dans mes ateliers prouvent suffisamment que le secret de fonder le Flintglas pur de toute grandeur et propre à l'usage de l'optique, n'est pas encore perdu comme le Globe l'assure. Du reste je serais heureux de voir nos voisins nous suivre et même nous surpasser dans un art qui se rattache si directement aux intérêts de la science, j'aurai soin de continuer de mon côté les recherches commencées par *Fraunhofer* sur la théorie de la lumière, espérant que ceux qui y contribuent, recevront un jour du public l'accueil que méritent leurs travaux. *Suum euique.*

Vous m'obligerez, Monsieur, en donnant place dans votre journal aux observations précédentes.

Utzschneider.

Beobachtungen auf der Hamburger Sternwarte mitgeteilt von dem Herrn Director und Ritter *Repsold*.

Der Herausgeber dieser Nachrichten hat das Vergnügen, die ihm von Herrn *Repsold* mitgetheilten Entlinge der Beobachtungen auf der neuerrichteten Hamburger Sternwarte hier bekannt zu machen.

Das Gebäude ist seiner Einrichtung nach den Astronomen aus *Bode's* Jahrbuch, und der dort befindlichen Abbildung bekannt. Es liegt auf einer Bastion des demolirten Walls nahe am Altonaer Thore, 7/4 in Zeit östlich von der Altonaer Sternwarte, unter der Polhöhe von 53° 33' 5". Beide Bestimmungen sind aus einer von Herrn Lieutenant v. *Nyegaard* ausgeführten trigonometrischen Verbindung dieser Sternwarten abgeleitet.

Sobald die Mauern hinlänglich getrocknet waren, um die Aufstellung eines Instruments zu erlauben, ward auf die für den Meridiankreis bestimmten Pfeiler ein kleines Passageninstrument von *Utzschneider* und *Liebherr* gelegt.

Dies ist jetzt durch ein vortreffliches von Herrn *Repsold* verfertigtes Passageninstrument, von denselben Dimensionen, wie die größten *Reichenbach'schen* Meridiankreise, ersetzt, welches in dem andern Zimmer der Sternwarte zugleich mit einer *Repsold'schen* Pendeluhr aufgestellt ist. Die Sternwarte ist also schon in diesem Anglick mit allem versehen, was zur schriftlichen Bestimmung von Rectascensionsdifferenzen erforderlich ist, allein Passageninstrument, Uhren, Fernröhre, sind bis jetzt noch Herrn *Repsold's* Privateigentum. Die Sternwarte besitzt an eignen Instrumenten nur einen *Fraunhofer'schen* Heliometer, und als Geschenk von Herrn *Richard Parich* einen vortrefflichen *Breguet'schen* Chronometer; indessen ist bei der bekannten Liberalität der Einwohner Hamburgs, und bei dem Interesse, welches ein von ihrem berühmten Mitbürger selbst geleitetes wissenschaftliches Institut verdient, keineswegs zu zweifeln, daß nicht bald die zur Ausstattung mit Instrumenten nöthigen Fonds angewiesen werden sollten.

Die folgenden Beobachtungen sind von Herrn *Peters* | Passageninstrument gemacht, und von diesem talentvollen
theils an dem *Liebherrsch*, theils an dem *Repsoldtschen* | jungen Mathematiker selbst reducirt.

S.

Sternbedeckungen auf der Hamburger Sternwarte beobachtet.

		Sternzeit.			
1828	März 4.	9 55 38,5	Eintr.	• 8 ^r Gr.	scheinbar $\frac{1}{16}$ Halb. unter dem Mittelpunkt des Mondes.
		10 10 5,0	—	• 6 ^r Gr.	fast central.
		10 16 12,6	—	• 7 ^r Gr.	scheinbar $\frac{1}{16}$ Halb. unter dem Mittelpunkt des Mondes.
1829	März 15.	11 25 9,8	—	• 7 ^r Gr.	fast central.
	17.	6 7 29,7	—	• Leonis.	
	23.	12 19 49,2	—	• Librae.	vielleicht zu spät.
		13 10 27,4	—	Austr. • Librae.	
	27.	15 40 40,0	—	728 Mayeri.	
		16 22 17,5	—	729 —	durch Wolken, unsicher.
April 8.	11 37 14,7	Eintr.	• 7 ^r Gr.	beinahe central.	
	15.	12 22 3,3	—	• Leonis.	durch Wolken, unsicher.

M o n d s t e r n e .

Am kleinen Passagen-Instrumente.

Am kleinen Passagen-Instrumente.			Ans. der Faden.	Am großen Passagen-Instrumente.			Ans. der Faden.		
		AR. app.			AR. app.				
1827	Januar 6.	19 Arietis	2 3 39,30	(6)	1827	März 5.	97 i Tauri	4 41 17,17	(6)
		Mond I	2 8 10,54	(5)			Mond I	4 49 54,17	(4)
		27 ψ Arietis	2 21 21,02	(7)			Mond I	28,62	(5)
Februar 6.	102 i Tauri	4 53 47,72	(6)				durch Wolken.		
	Mond I	5 11 24,51	(7)				43 ζ Gem.	6 53 52,60	(4)
	114 a Tauri	5 17 17,05	(6)		April 9.	69 Leonis	11 4 56,70	(4)	
	123 ζ Tauri	5 27 20,68	(7)			Mond I	11 23 33,72	(7)	
— 7.	54 χ Orionis	5 44 10,32	(6)		Nov. 25.	XXII. 2	37,01	(7)	
	Saturn Rd.L.	5 58 15,42	(6)			Mond I	0	(5)	
	Rd. II.	5 58 18,68	(3)				keine Zeitbestimmung für diesen Tag.		
	Mond I	6 4 5,86	(6)		— 26.	i Piscium	22 46 11,96	(7)	
	18 ν Gem.	6 18 43,58	(6)			Mond I	23 2 24,81	(7)	
— 8.	Mond I.	6 56 57,07	(6)			962 Mayeri	23 14 43,04	(4)	
	54 λ Gem.	7 8 11,24	(6)		1828	März 24.	51 Gemin.	7 3 30,99	(7)
— 10.	29 Cancr.	8 19 0,08:	(7)				λ Gemin.	7 8 13,70	(7)
	Mond I	8 41 47,88	(5)				Mond I	7 17 24,08	(7)
	76 μ Cancr.	8 58 24,65	(6)				r Cancr.	7 51 43,21	(7)
— 11.	14 o Leonis	9 31 57,09	(7)		— 25.	i Cancr.	7 59 6,85	(7)	
	Mond I	9 33 24,80	(5)			Mond I	8 7 24,33	(7)	
	II	9 35 44,12:	(5)			29 Cancr.	8 19 2,61	(7)	
	29 τ Leonis	9 41 6,37	(6)		— 27.	Mond I	9 45 11,30	(7)	
	32 a Leonis	9 59 11,43:	(6)			τ Leonis	9 52 9,01	(7)	
März 5.	94 ν Tauri	4 31 53,60	(4)			a Leonis	9 59 14,20	(7)	
	durch Dünste.								

Mittlere Polhöhe aus beyden Culminationen	$0^{\circ} 39' 4,508$
Mittlere Verbesserung der angenommenen Declination	$- 0,143$
Gewicht dieser beyden Resultate $= 36$	
Mittlerer Fehler der mittleren Polhöhe und der mittlern Declinationsverbesserung . . .	$0,145$
Mittlerer Fehler einer einzelnen Polhöhe, aus 8 Einstellungen, ohne Rücksicht darauf, ob sie aus der obern oder untern Culmination bestimmt worden	$0,569$

Ich habe bey diesen Beobachtungen die Methode meines gelehrten Freundes, des Herrn Professors und Ritters *Struve* befolgt. (Zuerst zwey Einstellungen Kreis Ost, dann vier Einstellungen Kreis West, zuletzt zwey Einstellungen Kreis Ost, oder umgekehrt. Bey je zwey zusammengehörigen Einstellungen wird die letzte Drehung der Micrometer-schraube, wodurch man den Stern in die Mitte zwischen beyde Horizontalfäden bringt, in entgegengesetzter Richtung gemacht, z. B. bey der ersten Einstellung vorwärts, bey der zweyten rückwärts, oder umgekehrt. Bey jeder Einstellung werden die vier Verniers abgelesen, das Mittel derselben wird durch das am Umfang des Limbuskreises befestigte Niveau aufs Zenith, und durch die Uhr auf den Meridian reducirt. Diese reducirten Mittel habe ich in dem ersten Tableau aufgeführt, damit man aus ihrer Harmonie unter einander beurtheilen könne, in wie fern die daraus abgeleiteten Polhöhen Zutrauen verdienen. Von den beyden reducirten Einstellungen in jeder Lage des Kreises wird das Mittel genommen, dieselbe Summe beyder Mittel giebt den Zenithort, ihre halbe Differenz die Meridianzenithdistanz.

Die Declination des Polarsterns nahm ich aus den *Schumacherschen* Ephemeriden, und die Refraction aus der *Gaußschen* Tafel in den Hilfstafeln Heft I. Beym Niveau des Limbuskreises legte ich den von Herrn Professor Dr. *Struve* bey den Beobachtungen zur Gradmessung 1826 angestellten Werth der Scaletheile zum Grunde: eine spätere Bemerkung meines geehrten Freundes, daß es Wasserwagen giebt, die mit der Zeit ihre Empfindlichkeit verändern, konnte ich nicht mehr benutzen, und behalte mir eine neue Bestimmung der Niveaucala für die in diesem Sommer anzustellenden Beobachtungen vor. In dem ersten Tableau findet man bey jedem Satze von 8 Einstellungen zwey Polhöhen angesetzt, die erste ergab sich aus den vier ersten Einstellungen, und die zweyte aus den vier letzten. Das Mittel aus diesen beyden Polhöhen habe ich im zweyten Tableau aufgeführt, und nach den Zenithörtern geordnet, indem ich nämlich, nach der *Struverschen* Methode, um den Einfluß der Theilungsfehler zu eliminiren, den Zenithort für jede Reihe von 8 Einstellungen veränderte, und ihn von 50° zu 50° fortschreiten ließ. Ich bemerke noch, daß ich bey der Reduction der Polhöhen auch auf die tägliche Aberration der Declination Rücksicht nahm, was freylich nur

auf die Hundertheile der Secunde Einfluß hat. Da aus den beyden Culminationen des Polarsterns die Verbesse- rung der Declination $0^{\circ},143$ folgt, welche dem mittlern Fehler eben dieser Declinationsverbesserung $0^{\circ},145$ genau gleich ist, so läßt sich hieraus schließen, daß der 180zellige Verticalkreis keinen Fehler in der auf *Bessel's* Beobachtungen beruhenden Declination des Polarsterns anzeigt, und daß die Differenz beyder Culminationen auf Rechnung zufälliger Beobachtungsfehler zu setzen ist.

Pauker.

Zusatz des Herausgebers.

Der erste, der die Unsicherheit der Repetition bey verticalen Winkeln zur Sprache gebracht hat, ist soviel ich weiß Herr Professor *Bohnberger*. Bei meinen Beobachtungen habe ich sie etwa seit 1822 aufgegeben, und meine repetitirenden Verticalkreise auf verschiedene Weise als nicht repetitirend gebraucht. Ein Versuch, durch einen nach meinen Ideen von Herrn *Ertel* (1827) construirten Verticalkreis die Repetition wieder einzuführen, gelang nur in gewissen Gränzen der Temperatur, aber innerhalb dieser auch vollkommen. Sollte es mir gelingen, woran ich aber zweifeln, die Idee allgemein auszuführen, so werde ich dem astronomischen Publicum das Nähere mittheilen.

Herr Professor *Pauker* theilte ich schon vor mehreren Jahren, als dieser verdienstvolle Astronom mir Repetitionsbeobachtungen übersandte, meine Ansichten über diesen Gegenstand mit, und ich sehe mit Vergnügen, daß er sich auch von der Unsicherheit der Wiederholungen verticaler Winkel, bei dem jetzigen Bau unserer Instrumente überzeugt hat. Herr Hofrath und Ritter *Struve*, der die Güte gehabt hat, mir Herrn Professor *Paukers* Beobachtungen zu übersenden, bemerkt dabei, daß er denselben Kreis, der bei den *Mietauer* Beobachtungen gedient hat, nochher bei seiner Gradmessung gebraucht, und den Biegungscoefficienten verschwindend ($= 0^{\circ},09$) gefunden habe, so daß, da er diesen Coefficienten als unveränderlich annehmen zu dürfen glaubt, die mit dem Kreise bestimmte Polhöhe von *Mietau* frei von dem Einflusse einer dem Sinus der Zenithdistanz proportionalen Biegung des Fernrohrs seyn wird.

S.

Auszug aus einem Schreiben des Hrn. Prof. *Weisse*, Dir. der Krak. Sternwarte, an den Herausgeber.
Krahu 1829. Mai 23.

Beyliegend überende ich die von mir berechneten Tafeln der Coordinaten der 6 älteren Planeten *). Ich hoffe durch diese Tafeln den Berechnern von Ephemeriden, bey welchen nicht die grösste Genauigkeit gefordert wird, einigen Dienst geleistet zu haben. Es würde mich sehr freuen, zu hören,

*) Coordinatas Mercurii, Veneris, Martis, Jovis, Saturni et Uranii calculatas a Maximiliano Weiss, Phil. Doct. Astron. P. P. O. Obserr. Astron. Direct. Academi. Scient. Cracov. Societ. Cracoviae 1829, 4to. Sie enthalten die *Gauß'schen* Sonnen-Coordinaten (mit 4 Decimalen) und die Coordinaten der genannten Planeten für 1840 u. 1900 mit 5 Decimalen. Das Argument ist mittlere Länge der Planeten. Sie dienen bekanntlich um nach *Gauß's* Methode den geocentrischen Ort eines Planeten zu bestimmen, und gewähren in der Ausdehnung wie hier berechnet die Bequemlichkeit, diese Orter für Jahre leicht finden zu können, für die noch keine Ephemeriden da sind. Herr Adjunct *Stechowsky* hatte seine Dissertation Da longitudine Geographica beilegt, in der die Länge Cracovae aus dem 1827 Sept. 28 hier (von Herrn *Glauser*) und dort beobachteten Eintritte von 187 Sagitt. berechnet wird. Er findet daraus den Längengrunterschied beider Sternwarten = 39° 59' 3 in Zeit.

S.

dafs diese Arbeit gebilligt würde. Eben habe ich unter der Presse Tafeln der Mittag-Correction, wie selbe *Zach* und *Gauss* geben; sie sind von 30"—30" und auf 6 Decimalen berechnet; eigentlich hatte ich selbe auf 7 Decimalen berechnet, aber ich gebe sie nur auf 6. Wenn sie gedruckt seyn werden, werde ich mir die Freiheit nehmen, selbe Ihnen zu überenden. Der Druck der Stundentafeln wird sich wohl noch einige Zeit verzieren.

Diese Zeit her war den Beobachtungen eben nicht sehr günstig; besonders der May gehört unter die ungünstigsten Monate seit langer Zeit; seit dem Jahr bis heute den 23ten halten wir nur einen einzigen heitern Abend. Indessen um nicht mit ganz leeren Händen zu erscheinen, lege ich einige beobachtete Mondsterne bey. Der beobachtete Durchgang durch den mittlern Faden ist bereits von dem Fehler des Instruments und der Uhr befreit. Ungeachtet der ungünstigen Witterung habe ich doch schon eine ziemliche Anzahl von Beobachtungen des Polarsterns seit der Aufstellung des Meridiankreises beysammen; die Resultate, die diese Beobachtungen für die Polhöhe geben, werde ich später bekannt machen.

Max Weiss.

Beobachtungen von Mondsternen auf der Cracauer Sternwarte von Herrn Professor *Weisse*, Director derselben, gemacht.

		^h	^m	^s	Fäden.
1829 Jänner 13.	♄ Ceti	2	4	57,35	5
	38 Arietis	2	35	40,06	5
	Mond I	2	36	35,18	5
	σ Arietis	2	42	4,99	1
	14. (4) Ceti	3	1	59,90	5
	(103) Tauri	3	29	46,73	5
	Mond I	3	31	6,34	5
	(187) Tauri	3	43	26,73	5
	γ Tauri	4	10	5,47	5
	19. g Geminorum	7	36	14,56	1
Febr. 10.	Mond I	7	59	1,61	5
	A' Cancri	8	33	48,09	4
	(4) Ceti	3	1	59,65	5
	Mond I	3	13	40,72	5
	f Tauri	3	21	27,31	5
	λ Tauri	3	51	13,85	5
	März 12. N Tauri	5	37	29,20	5
	Mond I	5	39	11,58	5
	λ Orionis	5	44	50,34	5
	E' Orionis	6	4	48,21	5
15. r Cancri		7	51	46,37	5

1829 März 15.	Mond I	8	16	11,45	5
	a' Cancri	8	49	9,04	1
	16. a' Cancri	8	49	9,38	5
	x Cancri	8	58	30,50	5
	Mond I	9	5	23,51	5
	(35) Leonis	9	8	36,08	4
	e Leonis	9	32	2,77	5
	A' Cancri	8	37	33,10	5
	Mond I	8	47	52,82	5
	x Cancri	8	58	30,07	5
April 12.	f Leonis	9	22	44,69	5
	16 Sextantis	10	0	47,20	1
	Mond I	10	23	42,66	5
	48 Leonis	10	25	54,22	5
	33 Sextantis	10	34	30,09	5
	d Leonis	10	51	45,26	5
	d Leonis	10	51	45,41	5
	76 Leonis	11	10	10,19	3
	Mond I	11	10	28,79	4
	r Leonis	11	19	10,42	4
15. β Virginis		11	41	49,18	5

Max Weiss.

Schreib- und Druckfehler in *Struve's* Beobachtungen des *Enckeschen* Cometen in den Astronomischen Nachrichten Nr. 153 und 154.

Seite 162 und 166 ist in der Beschreibung der Figuren I und III statt *k* fast immer *K* zu setzen. Dies kann zu einem gänzlichen Mißverstehen veranlassen. Ich glaube es ist am besten, die beiden Stellen mit richtigen Buchstaben hier abzudrucken. Sie lauten nun so:

7 November. Seite 162 Zeile 12 von unten bis ans Ende.

Der hellere Theil des Cometen erstreckt sich von *a* bis nahezu an *K*, den Schwerpunkt der Figur, seine Form ist der des größeren Nebels analog, und namentlich ist die schärfere Begrenzung bei *a* kenntlich. Der hellste Punkt des Cometen *k*, der aber gar nichts bestimmt bezeichnendes hat, liegt, wie die Figur zeigt, entschieden ebenso außerhalb des Schwerpunktes *l* des helleren Theiles des Cometen von *a* bis *K*, als dieser Theil excentrisch in Bezug auf *K*.

Bei Bestimmung des Ortes wurde nach *k* dem hellsten Punkte visirt, dessen A.R. nahezu mit der des Schwerpunktes *K*

zusammenfiel, dessen Declination aber größer war als die von *K*.

30 November. Seite 166 Zeile 9 und folgende.

Figur III stellt den Cometen dar, wie er unter 94facher Vergrößerung erschien. *k* ist der fast kreisförmig erscheinende Kernnebel. Der Durchmesser *cd* ist 9'. Die äußerste Gränze bei *b* ist nicht zu bestimmen, da der Komet hier so verwaschen erscheint. Der hellere Nebel von *a* bis nahe an *K* hat 4' Durchmesser und geht bis an die äußerste Gränze des Cometen bei *a*, während am 7 Novbr., in Fig. I, *a* von *K* bedeutend abstand. In diesem helleren Nebel liegt der Kernnebel *k* excentrisch auf ähnliche Weise wie am 7 Novbr. Die Linie von *a* durch *K* nach *b* ist so gelegen, daß *b* von *a* aus in der Richtung 51° A. Fr. liegt. Die Begrenzung von *d* durch *a* nach *c* ist auch diesmal parabolisch, und viel schärfer als von *d* durch *b* nach *c*.

Seite 165 Zeile 5 für Decl. Cometae = $k + 1^{\circ}26'6''$ ist zu lesen: Decl. Cometae = $k + 1^{\circ}26'6''$.

$$- 171 - 3 - \frac{1^{\circ}2}{\sqrt{6}} = 0^{\circ}05$$

$$- 21 - \text{Decl. Cometae} = r + 32^{\circ}0'$$

$$- 22 - \text{Genäherter Ort des Sterns } r$$

$$- 172 - 5 = 22^{\circ}43'45''$$

$$- 17 - t = 34^{\circ}11'$$

$$- 18 - t = 2^{\circ}14'8''$$

$$- 33 - 23^{\circ}3' \text{ Uhrzeit}$$

$$- 174 - 7 = 0^{\circ}2' \text{ Uhrzeit}$$

$$- 19 - 23^{\circ}6'19'' \text{ Sternzeit}$$

$$- \frac{1^{\circ}2}{\sqrt{6}} = 0^{\circ}5.$$

$$- \text{Decl. Cometae} = r - 32^{\circ}0'.$$

$$- \text{Genäherter Ort des Sterns } z.$$

$$- \text{Decl. Cometae} = z + 2^{\circ}28'5''.$$

$$- t + 34^{\circ}11'$$

$$- t + 2^{\circ}14'8''$$

$$- 23^{\circ}3'5 \text{ Uhrzeit.}$$

$$- 23^{\circ}29'19'' \text{ Uhrzeit.}$$

$$- 23^{\circ}6'9'' \text{ Sternzeit.}$$

W. Struve.

D r u c k f e h l e r .

Astron. Nachr. Nr. 157.

$$S. 228 \text{ Z. 4 v. u. } \frac{\rho_1 \sin(\varphi_1 + \varphi_2 - \psi_1)}{r_1 \sin r} 206265^{\circ}$$

$$- 229 - 8 \text{ v. o. } - (\varphi + d\varphi) \quad \text{st. } - \varphi + d'(\varphi)$$

$$- 12 \text{ v. o. } (\varphi + d\varphi) - (\varphi + d\varphi) \quad \text{st. } (\varphi + d\varphi)(\varphi + d\varphi)$$

Beilage zu Nr. 157.

$$- 239 - 12 \text{ v. o. } \text{der} \quad \text{st.} \quad \text{des}$$

$$- 241 - 2 \text{ v. o. } (d) \sin(\varphi - (M)) \quad \text{st. } (d) \sin(\varphi - (M))$$

$$- 2 \text{ v. o. } \sin((\varphi) + d(\varphi)) \quad \text{st. } \sin((\varphi) + d(\varphi))$$

$$- 244 - 13 \text{ v. u. } \text{Setzt} \quad \text{st.} \quad \text{Setzt}$$

$$- 245 - 10 \text{ v. o. } 2 \sin \frac{1}{2} N \dots \quad \text{st. } 2 \sin \frac{1}{2} N \dots$$

$$S. 248 \text{ Z. 29 v. o. dem} \quad \text{st.} \quad \text{den}$$

$$- 33 \text{ v. o.} \text{ wodurch} \quad \text{st.} \quad \text{wo}$$

Beilage zu Nr. 158.

$$S. 265 \text{ Z. 17 v. u. die Coordinaten} \quad \text{st.} \quad \text{Coordinaten}$$

$$- 266 - 32 \quad \text{Punkte } B \quad \text{st.} \quad \text{Punkte}$$

$$- 269 - 22 \quad \psi + 180^{\circ} \quad \text{st.} \quad \psi + 180^{\circ}$$

$$- 271 - 9 \quad v - \psi \text{ und } v_1 - \psi_1 \quad \text{st.} \quad v - \psi \text{ und } \psi_1 - v_1$$

$$- 272 - 9 \quad \cos[(\varphi)_1 - v_1 + d'((\varphi)_1 - v_1)] \quad \text{st.} \quad \cos[(\varphi)_1 - v_1 + d'((\varphi)_1 - v_1)]$$

$$- 280 - 6 \text{ v. o.} \text{ Axe des} \quad \text{st.} \quad \text{Axe der}$$

$$- 280 - 34 \quad [b] \quad \text{st.} \quad (b)$$

ASTRONOMISCHE NACHRICHTEN.

№ 163.

Bemerkungen über die Königsberger Zonen-Beobachtungen.

Die Sternbestimmungen, welche die Königsberger Zonen ergeben, sind gegenwärtig schon häufig angewandt worden, sowohl um Kometen damit zu vergleichen, als auch um den Himmelskarten welche die Berliner Akademie der Wissenschaften veranlaßt hat zur Grundlage zu dienen. Durch diese Anwendungen sind hin und wider Fehler in den gedruckten Zonen bekannt geworden, über welche ich hier einige Erläuterungen geben werde, da dieselben vielleicht dienen können, die zur Berichtigung einer entstellten Beobachtung zu machenden Conjecturen zu leiten.

Die wahrscheinlichen Fehler der Beobachtungen, sowohl der Rectascensionen als der Declinationen, habe ich Nr. 17 der astronomischen Nachrichten zu bestimmen gesucht. Obgleich hier eigentlich nicht von dieser Art der Fehler, sondern nur von zufälligen Entstellungen der Beobachtungen die Rede ist, so benutze ich doch diese Gelegenheit, auf einige zu berücksichtigende Umstände aufmerksam zu machen, welche im Laufe der Beobachtungen stärker hervorgetreten sind. Das oft sehr starke Zittern der Sterne, ihre Undeutlichkeit und Blässe, haben die Beobachtungen, welche unter diesen Umständen gemacht worden sind, oft so sehr erschwert, daß der wahrscheinliche Fehler der verschiedenen Zonen sehr ungleich sein muß; dieses ist mehr der Fall bei kleinen Sternen als bei größeren, indem die ersten, unter den angeführten Umständen, im erleuchteten Felde des Fernrohrs oft schwierig zu sehen sind, auch wohl in einzelnen Augenblicken ganz verschwinden, wodurch die Bemerkung der Stetigkeit ihres Fortschreitens an Sicherheit verliert. Hierzu kommt noch, daß für die höheren Zonen, über 15° der nördlichen Declination hinaus, ein zusammengeetztes Ocular mit einem Spiegel-Prisma angewandt werden mußte, welches lichtschwächer ist als die geraden Oculare des Instruments, und welches daher zur Vermehrung der Schwierigkeit des Sehens der kleinen Sterne beträchtlich beiträgt. Alle nachtheilige Umstände zusammen, bringen oft die Wirkung hervor, daß man sowohl über die Durchgangzeit eines sehr kleinen Sterns, als auch über sein Einstellen in die Mitte des Zwischenraums der beiden horizon-

talen Fäden, weit unsicherer bleibt, als bei größeren Sternen und unter günstigen Umständen der Fall ist. Inzwischen hängt der wahrscheinliche Fehler der Rectascensionen von der Übung eines Beobachters ab; der der Declinationen von dem Zusammenwirken zweier Beobachter, des einen der das Fernrohr einstellt und des anderen, der am Mikroskop allicirt. Auch hierdurch kann eine Ungleichheit entstehen, indem die Person des zweiten Beobachters dreimal gekündert worden ist. Obgleich ich mich des Glücks erfreue, in den Herren Argelander, Rosenberger und Anger sehr sorgfältige Gehülfen besessen zu haben und noch zu besitzen, so läßt sich doch nicht ausräumen, daß bei dem Eintritte eines neuen Gehülfen schon alle die Übung vorhanden war, welche in der Folge erworben wird.

Unter den zufälligen Entstellungen einer Beobachtung der Durchgangszeit eines Sterns scheint mir ein Fehler von einer Zeitscunde im Zählen der Ubrschläge der gefährlichste zu sein, indem seine Existenz sich schwerer mit Sicherheit ausmitteln läßt, als dieses für größere Fehler der Fall ist. Bei den gewöhnlichen Beobachtungen ist ein Fehler dieser Art nicht zu fürchten, indem vor und nach jeder derselben Zeit genug vorhanden ist, sich von der Richtigkeit zu überzeugen und indem man, durch Übung, leicht eine so große Sicherheit im Zählen erlangt, daß die Vergleichung der gezählten Secunde mit der von dem Zeiger der Uhr angegebenen, nach Vollendung der Beobachtung, meistens ganz unnötig und nur dann wünschenswerth wird, wenn zufälliges Geräusch eine Störung hervorgerufen hat. Bei den Beobachtungen der Zonen aber folgen die Sterne oft so schnell hintereinander, daß die Zwischenzeiten kaum hinreichen, die Beobachtungen niederzuschreiben; man muß dann eine längere abwarten, ehe man die gezählte Secunde mit der Uhr vergleichen kann, wodurch man zwar gewöhnlich die gewünschte Bestätigung erhält, allein auch getäuscht werden kann, zumal wenn heftiger Wind oder Geräusch auf dem neben der Sternwarte vorbeiführenden Spaziergange, stören. In diesen Fällen habe ich zuweilen einen Fehler von einer Secunde oder 10 Secunden bemerkt und

denselben durch die beigezeichneten Noten: Zeitsec. $\pm 1''$ $\pm 10''$ angedeutet; zuweilen ist auch das Fortzählen durch dieselben Störungen ganz unterbrochen worden und dadurch die Controlle seiner Richtigkeit verloren gegangen. Aus der Entstehungsart dieser Zweifel geht hervor, daß dieselben nicht aus bei dem Sterne, bei welchem sie bemerkt sind, sondern auch bei einigen der vorhergehenden stattfinden können; in der Columna der Durchgangszeiten wird aber, wenn ein Zweifel vorhanden ist, immer die Zahl angegeben, welche mir die wahrscheinlichste zu sein scheint. Fehle von $1''$ oder $10''$, welche von einer irrigen Redaction der an den Seitenfäden gemachten Beobachtungen auf den mittleren Faden herühren, werden hoffentlich sehr selten vorkommen; wenigstens fehlt es nicht an der zu ihrer Vermeidung nützlichen Vorsicht. Ein Fehler von einer ganzen Zeitminute hat sich häufiger, und dann gewöhnlich bei mehreren Sternen zugleich, gefunden; er entsteht, so wie die Zeitfadenfehler, aus dem Mangel der zum jedesmaligen Vergleichen der Minute erforderlichen Zeit, und kommt in den früheren Zonen häufiger vor als ich erwartete, weshalb bei den späteren die Aufmerksamkeit darauf vermehrt worden ist. Zuweilen wird man diesen Fehler dadurch entdecken können, daß die Beobachtungen stets in der Zeitfolge fortschreiten müssen; z. B. in Zone 175 kommt ein am 2^{ten} Faden beobachteter Stern $18^h 44^m 57^s.11$ vor, nach demselben ein am 1^{ten} Faden beobachteter $18^h 44^m 41^s.59$, welche beide Angaben nicht zusammen bestehen können, indem das Beobachtungsmoment für den ersten $18^h 44^m 42^s.3$, für den anderen $18^h 44^m 12^s.2$ sein würde, was mit der Zeitfolge nicht vereinbar ist; es ist also ein Fehler vorhanden, und zwar ist anderweitig ausgemittelt worden, daß die erste Minute 43 Secunden werden muß. Endlich können die Durchgangszeiten noch dadurch entstellt sein, daß ein falscher Faden auf den mittleren reducirt worden ist; ich glaube, die zu der Vermeidung dieses Fehlers nützliche Aufmerksamkeit nie angewandt zu haben, allein dennoch habe ich denselben zuweilen begangen, was ich mehr einer Verwechselung der Columna des Papiers, auf welches die Beobachtung niedergeschrieben wird, als einer Verwechselung des Fadens selbst zuschreiben zu müssen glaube.

Die Schreibfehler, welche bei den Declinationen am häufigsten vorkommen, sind eine Windung der Schraube des Mikroskops = 100 Theilen = $34^{\circ}2$, und ein Theilstrich des Kreises = $3'$; seltener finden sich Fehler von 5, 10, 30 Theilstrichen = $15'$, $30'$, $1^{\circ}30'$. Kame ein Fehler von einer Minute, 5 oder 10 Minuten, oder überhaupt von einer nicht durch drei theilbaren Anzahl von Minuten vor, so könnte es kein Schreibfehler im Originale, sondern nur

ein Fehler in der Verwandlung der Angabe des Mikroskops in Grade, Minuten und Secunden, oder ein Druckfehler sein, welche beide sich durch die beige gedruckte unmittelbare Angabe des Mikroskops erkennen und beichtigen lassen. Ich bemerke bei dieser Gelegenheit, daß die Herren *Argelander*, *Rosenberger* und *Anger* eine Art der Verwandlung der Mikroskop-Angaben in die gewöhnlichen Theile des Kreises angewandt haben, welche ihre Controlle stets mit sich führt.

Indem meine Zonen etwas mehr als zwei Grad Breite haben, ihre Mitten aber zwei Grade voneinander entfernt sind, so finden die Sterne an einer Grenze der einen, sich häufig auch an der ausstößenden Grenze der anderen beobachtet. Hierdurch erhält man das Mittel zur Erkennung einiger vorgefallenen Fehler, und in der That sind die Verbesserungen längst gedruckte Zonen, welche ich in jedem neu erscheinenden Bande meiner Beobachtungen anzugeben pflege, meistens auf diese Art entdeckt worden. Unter den von Herrn *Inghirami*, bei Gelegenheit der Verfertigung seiner Karte vermißten Sternen, finden sich einige, welche schon als fehlerhaft angezeigt waren; auch der Stern Zone 2. $19^h 54^m 47^s.64$, welchen unser hochverehrter *Olbers* vermißte (A. N. Nr. 150), ist, der Anzeige der Verbesserungen am Ende der IX. Abtheilung der Königsberger Beobachtungen zufolge, 30 Minuten nördlicher als er in der 2^{ten} Zone angegeben ist. Ich hätte jeden Besitzer meiner Tagebücher, die Verbesserungen, welche ich, so wie sie mir bekannt werden, stets anzeigen, jedesmal abzuändern, weil dadurch hin und wider eine vergeltliche Nachsichtung erspart werden wird.

In Nr. 17 der Aste. Nachr. habe ich den ganzen Mechanismus der Zonen-Beobachtungen erläutert; ich habe denselben so gewählt, daß dadurch Unrichtigkeiten so sehr vermieden werden, als nur, bei einmaligen, sehr schnell aufeinanderfolgenden Beobachtungen möglich schien. In wiefern dieses gelungen ist, kann man durch die Fehleranzeigen beurtheilen, welche Herr Professor *Harding* und Herr *Inghirami* ihren vortrefflichen Karten des Stunden XV und XVIII beigegeben haben. Der erstere hat 12, der andere 10 Sterne nicht an den Oertern gefunden, an welchen sie den gedruckten Zonen zufolge (noch Verbesserung der von mir selbst angezeigten Fehler) stehen sollten; die Zahl der Beobachtungen, unter welchen diese Sterne vermißt worden sind, wird für jede Karte 1500 bis 2000 betragen. Die 12 vermißten Sterne des Herrn Professor *Harding* hat er größtentheils selbst richtig gedeutet, über zweifelhaft bleibende haben die Originale der Beobachtungen Aufschluß gegeben; dasselbe ist der Fall mit den Sternen des Herrn

Inghirami, jedoch findet sich einer darunter: Zone 174. 8.9 Gr. $18^{\circ} 50' 7''.40 + 3^{\circ} 34' 19''.7$, für welchen ich keine wahrscheinliche Auslegung der Beobachtung finden kann. Dieser Stern war auch am 19ten Juni d. J., wo ich ihn

suchte, nicht vorhanden. Andere, welche Herr *Inghirami* vermisse, habe ich wiedergefunden. Es sind gewiss noch viele kleine Sterne am Himmel welche Lichtwechsel haben; *Harding* hat mehrere derselben entdeckt.

Bessel.

Tafel zur Reduction der Abwägungen.

Die Reductionen vermöge welcher man aus unmittelbaren Abwägungen, sowohl in der umgebenden Luft als im destillirten Wasser, das wahre Gewicht und die spezifische Schwere eines gewogenen Körpers erhält, habe ich in eine logarithmische Tafel gebracht, deren Mittheilung an diesem Orte entschuldigt werden mag, da auch den Astronomen das Wägen wohl vorkommt, so wie es mir, bei Gelegenheit meiner Pendelversuche vorgekommen ist.

Unter spezifischer Schwere eines Körpers wird hier der Quotient seiner Masse dividirt durch die Masse des Wassers welches er aus der Stelle drängt, verstanden, das Wasser im Zustande der grössten Dichtigkeit und die Ausdehnung des Körpers der Temperatur des schmelzenden Eises entsprechend angenommen. Bezeichnet man diese spezifische Schwere durch Δ , die Masse des Körpers durch M , und das Verhältniß einer seiner Dimensionen bei den Temperaturen des Eispunktes und des Versuchs durch $1 : R$, so ist der Raum welchen der Körper ausfüllt

$$= \frac{M}{\Delta} R;$$

und er drängt eine Masse Flüssigkeit

$$= \frac{M}{\Delta} R' Q$$

aus der Stelle, wenn Q die spezifische Schwere derselben bedeutet. Er zieht also an einem der Arme der Wage mit der Kraft

$$M \left\{ 1 - \frac{R' Q}{\Delta} \right\}.$$

An dem anderen Arme der Wage zieht das Gewicht $= m$, mit der Kraft

$$m \left\{ 1 - \frac{r' q}{\delta} \right\}$$

wo die kleinen Buchstaben in Beziehung auf das Gewicht dieselbe Bedeutung haben, wie die großen in Beziehung auf den Körper. Sind der Körper und die Gewichte im Gleichgewichte, so ist

$$M \left\{ 1 - \frac{R' Q}{\Delta} \right\} = m \left\{ 1 - \frac{r' q}{\delta} \right\}.$$

Nun werde ich zuerst den Körper und die Gewichte in der Luft befindlich annehmen, wodurch $Q = q$ und

$$M \left\{ 1 - \frac{R' q}{\Delta} \right\} = m \left\{ 1 - \frac{r' q}{\delta} \right\}$$

wird. Ferner werde ich den Körper in reinem Wasser, die Gewichte in der Luft annehmen, wodurch, wenn Q die spezifische Schwere des Wassers bedeutet,

$$M \left\{ 1 - \frac{R' Q}{\Delta} \right\} = m \left\{ 1 - \frac{r' q}{\delta} \right\}$$

Da bei dem letzten Versuche aber die Temperaturen des Wassers und der Luft verschieden sein können, die letztere auch nicht nothwendig der bei dem ersten Versuche stattfindenden gleich ist, so will ich m, r, q, R für die Wägung in Wasser durch m', r', q', R' bezeichnen.

Eliminirt man aus beiden Gleichungen die Masse des Körpers, so erhält man

$$\Delta = \frac{m R' Q (1-i) - m' R' q (1-i')}{m (1-i) - m' (1-i')}$$

wo i und i' für $\frac{r' q}{\delta}$ und $\frac{r' q'}{\delta'}$ geschrieben sind. Sobald Δ bekannt ist, hat man aus der ersten Gleichung

$$M = m \cdot \frac{1-i}{1-i'}$$

wo $l = \frac{R' q}{\Delta}$ ist. Will man nur die erste Potenz von i berücksichtigen, was, mit Ausnahme der elastischen Flüssigkeiten, keinen erheblichen Fehler veranlaßt, so kann man statt der richtigen Formeln die Näherungen:

$$\Delta = \frac{m}{m-m'} R' Q - \frac{m'}{m-m'} R' q + \frac{m \cdot m'}{(m-m')^2} Q (i'-i)$$

$$M = m + m l - m i$$

anwenden.

Die Tafel welche ich hier, zur bequemeren Berechnung dieser Formeln mittheile, setzt voraus, daß atmosphärische Luft in der Temperatur des Eispunktes und unter dem Drucke von 0,76 mit. Quecksilber, die spezifische Schwere

$$\frac{13.59606}{10475.6} = \frac{1}{770.488}$$

hat; der Zähler dieses Bruches ist die spezifische Schwere des Quecksilbers nach *Brissons* Versuchen und *Hallströms*

35*

Rechnung; der Nenner ist das von den Herren *Biot* und *Arago* gefundene Verhältniß der Dichtigkeiten der Luft und des Quecksilbers. Hieraus folgt, für die in Pariser Linien ausgedrückte und auf die Dichte des Quecksilbers in der Temperatur des Eispunktes reducirte Barometerhöhe b , und die Temperatur der Luft t ,

$$q = \frac{1}{170,488 \cdot 0,76 \times 443,295} \cdot \frac{1}{1+t \cdot 0,00375}$$

$$= \frac{1}{259581 (1+t \cdot 0,00375)}$$

Nimmt man die Gewichte von Messing an, ihre spezifische Schwere = 8,4 und ihre Längenausdehnung für jeden Centesimalgrad des Thermometers = 0,00018785, so erhält man hieraus

$$i = a \cdot b$$

$$a = \frac{(1+t \cdot 0,00018785)^3}{8,4 \cdot 259581 (1+t \cdot 0,00375)}$$

gesetzt worden ist. Den Logarithmen dieses a enthält die erste Columne der Tafel, deren Argument der Centesimalgrad des Thermometers ist. Es versteht sich, daß man i' eben so erhält, wenn man den Barometerstand und die Lufttemperatur zur Zeit der Abwägung in Wasser anwendet.

Setzt man die Ausdehnung des gewogenen Körpers für jeden Grad des Thermometers = k , so ist

$$l = \frac{\beta \cdot b (1+t k')}{\Delta}$$

und die zweite Columne der Tafel enthält den Logarithmus von

$$\beta = \frac{1}{259581 (1+t \cdot 0,00375)}$$

Mit diesen beiden Columnen reicht man aus, wenn Δ gegeben ist. Soll es aber durch Abwägung in Wasser erst

gefunden werden, so gebraucht man noch Q . Herr *Hallström* in Åbo hat Untersuchungen über die spezifische Schwere des Wassers wiederholt angestellt und neuerlich seine letzten Resultate in den Schwedischen Abhandlungen für 1823 mitgetheilt, wovon im 77^{ten} Bande der Annalen der Physik von *Poggendorf* eine Uebersetzung in unsere Sprache erschienen ist, welche eine Tafel für Q , für jeden Grad des Thermometers enthält. Von diesen Werthen von Q geht ich in der dritten Columne meiner Tafel die Logarithmen, zu welchen also $3 \log (1+t)$ zu addiren ist, um $\log R'Q$ zu erhalten; den Logarithmen von $R'q$ erhält man, indem man $\log b + 3 \log (1+t)$ zu dem Logarithmen von β addirt.

Hierbei ist die spezifische Schwere des Gewichte von Messing als bekannt angenommen = 8,4; es ist aber bekannt, daß dieselbe ziemlich verschieden ausfällt, je nachdem dieses Metall verschieden zusammengesetzt und bearbeitet ist. Will man daher alle mögliche Genauigkeit der Reductionen erhalten, so wird man δ für die Gewichte selbst, durch eine Wägung in Wasser bestimmen müssen. Bringt man das Gewicht m im Wasser, mit dem Gewicht m' in der Luft in Gleichgewicht, so ist

$$m \left\{ 1 - \frac{r'Q}{\delta} \right\} = m' \left\{ 1 - \frac{r'q'}{\delta} \right\}$$

woraus

$$\delta = \frac{m r'Q - m' r'q'}{m - m'}$$

folgt. Um auch hier leichter rechnen zu können, habe ich den Logarithmen von $r'Q$ in die 4^{te} Columne der Tafel gebracht; $\log r'q'$ ist = $\log z + \log b + 0,92428$. Sobald δ bekannt geworden ist, hat man der ersten Columne der Tafel die beständige Verbesserung

$$0,92428 - \log \delta$$

hinzuzufügen.

Tafel zur Reduction der Abwägungen.

Therm. Cent.	Log. β	Log. β	Log. Q	Log. $r'Q$
0	3,66145	—	9,9999530	9,9999330
1	3,65985	169	9,9999731	+ 146
2	3,65825	159	9,9999877	+ 89
3	3,65666	158	9,9999966	+ 32
4	3,65508	158	9,9999998	— 20
5	3,65350	157	9,9999978	— 75
6	3,65193	156	9,9999903	— 132
7	3,65037	156	9,9999771	— 186
8	3,64881	156	9,9999585	— 238
9	3,64725	156	9,9999347	— 288

Therm. Cent.	Log. a	Log β	Log Q	Log' Q
9	3,64725	—	4,57131	—
10	3,64571	154	4,56974	157
11	3,64416	155	4,56818	156
12	3,64263	153	4,56661	157
13	3,64110	153	4,56506	155
14	3,63957	153	4,56351	155
15	3,63804	153	4,56196	155
16	3,63653	151	4,56042	154
17	3,63503	150	4,55889	153
18	3,63352	151	4,55736	153
19	3,63202	150	4,55584	152
20	3,63053	149	4,55432	152
21	3,62904	148	4,55281	151
22	3,62756	148	4,55130	151
23	3,62608	147	4,54980	150
24	3,62461	147	4,54830	149
25	3,62314	147	4,54681	149
			9,9999347	— 292
			9,9999055	— 345
			9,9998710	— 397
			9,9998313	— 451
			9,9997962	— 603
			9,9997359	— 554
			9,9996805	— 602
			9,9996203	— 656
			9,9995547	— 707
			9,9994840	— 756
			9,9994084	— 807
			9,9993277	— 853
			9,9992424	— 906
			9,9991518	— 952
			9,9990566	— 995
			9,9989564	— 1002
			9,9988513	— 1051
				0,0001549
				0,0001502
				0,0001402
				0,0001249
				0,0001043
				0,0000785
				0,0000476
				0,0000119
				9,9999707
				9,9999245
				9,9998733
				9,9998171
				9,9997563
				9,9996901
				9,9996194
				9,9995437
				9,9994630

Bessel.

Brief des Herrn Geheimenraths v. Utzschneider an den Herausgeber.

München 1829. April 26.

Monsieur, je m'adresse à vous, comme ami de la vérité, pour redresser des assertions défavorables à mon institut optique, par l'insertion de cette lettre dans votre journal.

On lit dans la bibliothèque universelle (1828 Novembre page 175) que l'objectif de neuf pouces de la lunette fournie à l'Observatoire de Dorpat par l'Institut optique d'Utzschneider et de Fraunhofer, est sorti des creusets de Mr. Guinand.

Plusieurs journaux ont répété en même temps d'après le Globe (Vol. VI. Nr. 107, Novembre 1828), que MM. Thibaut et Bontemps, assistant de concert avec Mr. Guinand fils, retrouvèrent le secret de produire le Flintglas de toute grandeur et le plus favorable à l'optique, secret qu'on croyait perdu depuis la mort de Fraunhofer et de Guinand père, qu'en outre parmi les morceaux présentés par eux à l'Académie des sciences, il s'en trouvait de 14 pouces de diamètre.

Je suis loin de vouloir entretenir le public de ce qui m'est particulier; je me crois néanmoins obligé par l'intérêt même qu'on attache à cette précieuse découverte, de donner quelques renseignements sur le séjour de Mr. Guinand dans

ma fonderie de verre de Benedictheim. En 1826, j'en ai déjà fait mention dans mon abrégé de la vie de Fraunhofer; mais je crois devoir y revenir encore pour réfuter des bruits injurieux à mon établissement et à la mémoire de Fraunhofer.

Avant que Mr. Pierre Louis Guinand entrât à mon service, il fut obligé de me communiquer tout ce qu'il avait fait jusqu'à cette époque dans l'art de fondre la verre. J'obins ainsi une description des petites fontes, faites par lui depuis 1775; et je pus me convaincre que ses efforts n'avaient eu d'heureux résultats ni pour les sciences ni pour ses propres intérêts. Mr. Guinand renouvela infructueusement ses essais, et n'en demeura pas moins bien accueilli par moi. Ses tentatives me guidèrent dans la route qu'il convenait de suivre pour arriver au but; je résolus donc de continuer à travailler avec lui d'après un plan réglé et de profiter du loisir que me laissaient mes fonctions publiques pour assister à toutes les fontes. Nous obtînmes quelques morceaux de Flintglas dont on fit des objectifs pour des instruments construits dans l'Institut de Reichenbach, Utzschneider et Lieb-herr. Nos travaux ne discontinuèrent que quand je fus appelé à mes fonctions publiques: je chargeai alors

Mr. *Fraunhofer* de la direction des fontes, entreprises à mes frais; et cet habile opticien m'a fait toujours un rapport écrit des essais et des fontes qui avaient été faites.

Mr. *Guinand* m'annonça le 6 Décembre 1813, que des affaires de famille le rappelaient chez lui à Bienne; il partit en effet quelque temps après et ne retourna plus à Biedietheurn.

La description des fontes de Mr. *Guinand*, écrite de sa propre main et que je possède encore, prouve qu'en 1805 il n'était pas encore parvenu au point de fournir un Flint-glas sans défaut, et qu'il n'avait réussi que par les essais faits à Biedietheurn, avec moi et à mes frais. Encore le verre de la dernière fonte qu'il fit au commencement de 1814, n'était point en qualité celui que *Fraunhofer* fit plus tard.

Le Flintglas pour l'objectif de la lunette de Dorpat ne fut fondu que quatre ans après le départ de Mr. *Guinand*, dans la 3^e fonte du 18 Déc. 1817; comme on peut le voir par le journal tenu par *Fraunhofer*. Ce fut moi qui, tant pour cette fonte que pour la 32^e, fournis les principaux matériaux.

Le 11 Janvier 1816, Mr. P. L. *Guinand* m'écrivit qu'il avait occasion de prendre la direction d'une verrerie importante; je lui répondis qu'il devait le faire et que j'étais

d'avoir qu'il enseignât en même temps à quelqu'un la fabrication du Flint- et Crown-glas. Peu de temps après, dans une lettre du 10 Février 1816, il m'offrit de nouveau ses services, en me disant: „j'ai nouvellement acquis des connaissances sur la fonte du verre, je les ai mises en pratique dernièrement par deux petites fontes.“ Or Mr. *Guinand* à cette époque n'était point encore en état de produire du verre à l'usage des opticiens.

Après le départ de Mr. *Guinand*, mon ami *Fraunhofer* fit plusieurs grandes et précieuses fontes qui réussirent à notre gré. Depuis sa mort, j'ai entrepris moi-même la continuation des fontes du verre destiné à mon Institut optique, et je crois pouvoir garantir leur bonté. Les objectifs nouvellement construits dans mes ateliers prouvent suffisamment que le secret de fonder le Flintglas pur de toute grandeur et propre à l'usage de l'optique, n'est pas encore perdu comme le Globe l'assure. Du reste je serais heureux de voir nos voisins nous suivre et même nous surpasser dans un art qui se rattache si directement aux intérêts de la science, j'aurai soin de continuer de mon côté les recherches commencées par *Fraunhofer* sur la théorie de la lumière, espérant que ceux qui y contribuent, recevront un jour du public l'accueil que méritent leurs travaux. *Suum cuique.*

Vous m'obligerez, Monsieur, en donnant place dans votre journal aux observations précédentes.

Utzschneider.

Beobachtungen auf der Hamburger Sternwarte mitgeteilt von dem Herrn Director und Riter *Repsold*.

Der Herausgeber dieser Nachrichten hat das Vergnügen, die ihm von Herrn *Repsold* mitgetheilten Erstlinge der Beobachtungen auf der neuerrichteten Hamburger Sternwarte hier bekannt zu machen.

Das Gebäude ist seiner Einrichtung nach den Astronomen aus *Bode's* Jahrbuch, und der dort befindlichen Abbildung bekannt. Es liegt auf einer Basis des demolirten Walls nahe am Altonaer Thore, 7/4 in Zeit östlich von der Altonaer Sternwarte, unter der Polhöhe von 53° 33' 5". Beide Bestimmungen sind aus einer von Herrn Lieutenant v. *Nyegaard* ausgeführten trigonometrischen Verbindung dieser Sternwarten abgeleitet.

Sobald die Mauern hinlänglich ausgetrocknet waren, um die Aufstellung eines Instruments zu erlauben, ward auf die für den Meridiankreis bestimmten Pfeiler ein kleines Passageninstrument von *Utzschneider* und *Liebherr* gelegt.

Dies ist jetzt durch ein vortreffliches von Herrn *Repsold* verfertigtes Passageninstrument, von denselben Dimensionen, wie die größten *Reichenbach'schen* Meridiankreise, ersetzt, welches in dem andern Zimmer der Sternwarte zugleich mit einer *Repsold'schen* Penduluhr aufgestellt ist. Die Sternwarte ist also schon in diesem Augenblicke mit allem versehen, was zur schärfsten Bestimmung von Rectascensionen erforderlich ist, allein Passageninstrument, Uhren, Fernröhre, sind bis jetzt noch Herrn *Repsold's* Privateigentum. Die Sternwarte besitzt an eignen Instrumenten nur einen *Fraunhofer'schen* Heliometer, und als Geschenk von Herrn *Richard Parich* einen vortrefflichen *Breguet'schen* Chronometer; indessen ist bei der bekannten Liberalität der Einwohner Hamburgs, und bei dem Interesse, welches ein von ihrem berühmten Bürger selbst geleitetes wissenschaftliches Institut verdient, keinesweges zu zweifeln, daß nicht bald die zur Ausstattung mit Instrumenten nöthigen Fonds angewiesen werden sollten.

Die folgenden Beobachtungen sind von Herrn *Peters* | Passageninstrument gemacht, und von diesem talentvollen
theils an dem *Liebherrischen*, theils an dem *Repsoldischen* | jungen Mathematiker selbst reducirt.

S.

Sternbedeckungen auf der Hamburger Sternwarte beobachtet.

		Stornzeit.			
		h	m		
1828	März 4.	9 55	38,5	Eintr.	* 8 ^h Gr. scheinbar $\frac{1}{10}$ Halb. unter dem Mittelpunkte des Mondes.
		10 10	5,0	—	* 6 ^h Gr. fast central.
		10 16	12,6	—	* 7 ^h Gr. scheinbar $\frac{1}{10}$ Halb. unter dem Mittelpunkte des Mondes.
1829	März 15.	11 25	9,8	—	* 7 ^h Gr. fast central.
		17.	6 7 29,7	—	* Leonis.
		23.	12 19 49,2	—	* Librae, vielleicht zu spät.
			13 10 27,4	Austr.	* Librae.
		27.	15 40 40,0	—	728 Mayeri.
			16 22 17,5	—	729 — durch Wolken, unsicher.
April	8.	11 37	14,7	Eintr.	* 7 ^h Gr. beinahe central.
	15.	12 22	3,3	—	* Leonis, durch Wolken, unsicher.

M o n d s t e r u e.

Am kleinen Passagen-Instrumente.

		AR. app.		Ant. der Fäden.	
		h	m		
1827	Januar 6.	19 Arietis	2 3 39,30	(6)	
		Mond I	2 8 10,54	(5)	
		27 ψ Arietis	2 21 21,02	(7)	
	Februar 6.	102 ϵ Tauri	4 53 47,72	(6)	
		Mond I	5 11 24,51	(7)	
		114 ϵ Tauri	5 17 17,05	(6)	
		123 ζ Tauri	5 27 20,68	(7)	
—	7.	54 χ Orionis	5 44 10,52	(6)	
		Saturn Rd. I.	5 58 15,42	(6)	
		Rd. II.	5 58 18,68	(3)	
		Mond I	6 4 5,86	(6)	
		18 ν Gem.	6 18 43,58	(6)	
—	8.	Mond I.	6 56 57,07	(6)	
		54 λ Gem.	7 8 11,24	(6)	
—	10.	29 Cancri	8 19 0,08:	(7)	
		Mond I	8 41 47,88	(5)	
		76 α Cancri	8 58 24,65	(6)	
—	11.	14 α Leonis	9 31 57,09	(7)	
		Mond I	9 33 34,80	(5)	
		II	9 35 44,12:	(5)	
		29 π Leonis	9 41 6,37	(6)	
		32 α Leonis	9 59 11,43:	(6)	
März	5.	94 τ Tauri	4 31 53,60	(4)	
		durch Dünste.			

		AR. app.		Ant. der Fäden.	
		h	m		
1827	März 5.	97 ι Tauri	4 41 17,17	(6)	
		Mond I	4 49 54,17	(5)	
—	7.	Mond I	28,62	(5)	
		durch Wolken.			
		43 ζ Gem.	6 53 52,60	(4)	
	April 9.	69 Leonis	11 4 56,70	(4)	
		Mond I	11 22 33,72	(7)	
	Nov. 25.	XXII. 2	37,01	(7)	
		Mond I	0	(5)	
		keine Zeitbestimmung für diesen Tag.			
—	26.	1 Piscium	22 46 11,96	(7)	
		Mond I	23 2 24,81	(7)	
		962 Mayeri	23 14 43,04	(4)	
1828	März 24.	51 Gemin.	7 3 30,99	(7)	
		λ Gemin.	7 8 13,70	(7)	
		Mond I	7 17 24,08	(7)	
		ϵ Cancri	7 51 43,21	(7)	
—	25.	α Cancri	7 59 6,85	(7)	
		Mond I	8 7 24,33	(7)	
		29 Cancri	8 19 3,61	(7)	
—	27.	Mond I	9 45 11,30	(7)	
		π Leonis	9 52 9,01	(7)	
		α Leonis	9 59 14,20	(7)	

Am großen Passagen-Instrument.

		AR. app.			Anz. der Fäden.
		h	r	o	
1629 März 13.	Mond I	6 34	36,34		(1)
	G Gemin.	6 39	0,33		(6)
	λ Gemin.	7 8	16,98		(6)
— 14.	α Gemin.	7 8	16,86		(7)
	k —	7 23	51,94		(6)
	Mond I	7 26	54,33		(7)
— 15.	f Gemin.	7 29	37,06		(7)
	γ Cancri	7 51	46,48		(6)
	ε Cancri	7 51	46,39		(7)
— 16.	Mond I		34,55		(6)
	29 Cancri	8 19	5,81		(2)
	α' Cancri	8 49	9,16		(7)
— 18.	α' Cancri	8 49	9,22		(6)
	α Cancri	8 58	30,38		(5)
	Mond I		45,28		(7)
— 19.	ε Leonis	9 32	2,88		(6)
	α Leonis	10 14	5,06		(7)
	35 Sext.	10 34	29,61		(4) praec.
— 20.	d Sext.		29,96		(3) sequ.
	Mond I	10 41	45,91		(7)
	d Leonis	10 54	45,56		(7)
— 21.	r Leonis	11 19	10,44		(7)
	q Leonis	11 8	35,33		(7)
	d Sext.				
— 22.	Mond I		29,10		(7)
	β Virginis	11 44	49,37		(7)
	γ Virginis	12 11	11,61		(6)
— 23.	γ' Virg.	12 33	2,21		(7)

		AR. app.			Anz. der Fäden.
		h	r	o	
1629 März 21.	δ Virg.	13 1	8,26		(7)
	Mond II	13 4	58,96		(7)
	α Virg.	13 16	13,81		(7)
— 23.	m Virg.	13 32	40,89		(7)
	λ Virg.	14 9	54,40		(7)
	α' Librae	14 41	28,08		(7)
April 11.	Mond II	14 44	18,59		(7)
	F' Librae	14 47	32,10		(7)
	k Gemin.	7 23	51,43		(3)
— 12.	durch Dünste.				
	Mond I	7 59	12,49		(4)
	h Leonis	9 22	48,57		(7)
— 15.	α Leonis	9 32	2,44		(7)
	Mond I	9 37	41,21		(7)
	10 Sext.	9 47	23,14		(7)
— 16.	16 Sext.	10 0	18,47		(7)
	d Leonis	10 51	45,31		(7)
	Mond I	11 11	46,79		(7)
— 17.	r Leonis	11 19	10,38		(7)
	β Virg.	11 41	49,27		(7)
	β Virg.	11 41	49,25		(6)
— 18.	(213) Virg.	11 52	18,53		(7)
	Mond I	11 58	35,10		(7)
	δ Virg.	13 1	8,42		(7)
— 19.	m —	13 32	41,04		(7)
	Mond I	13 34	43,50		(7)
	88 Virg.	13 39	24,03		(7)
— 20.	α —	14 3	49,33		(7)

A n z e i g e n.

Der Herausgeber dieser Blätter hält es für seine Pflicht in Bezug auf den in dieser Nummer abgedruckten Brief des Herrn Geheimraths von *Erchenbrecher*, zu bemerken: daß mehrere Fernrohre die er seit *Franckfers* Tode aus dem optischen Institut in München erhalten hat, vollkommen so gut als die von *Franckfer* selbst in derselben Größe verfertigten sind. Ebenso hat Herr *Baily* in London, der gleichfalls ein nach *Franckfers* Tode verfertigtes Fernrohr erhalten hat, sich öffentlich über dessen Trefflichkeit erklärt.

Am 17ten September d. J. wird in Copenhagen die Bibliothek meines unvergessenen Freundes und Collegen des verstorbenen Professors der Astronomie *Thomsen* verkauft. Ich habe mehrere Cataloge dieser reichen Sammlung zur Vertheilung und werde sie mit Vergütungen jedem Astronomen der sie verlangt senden, und eben so bereitwillig sich darauf beziehende Aufträge nach Copenhagen besorgen.

Herr Professor *Strehlke* in Danzig hat mir folgende Schreibfehler angeteigt:

A. N. Nr. 161. p. 356. Z. 13 v. u. lies 300,353 statt 336,353
11 — 48,300 48,336

Der Herausgeber legt zu dieser Nummer als ein, wie er vermuthet, den Lesern angenehmes Geschenk, die von Hrn. v. *Weidenbach* berechneten Tafeln, um mit $\log x$ den $\log \frac{x+1}{x-1}$ zu finden. Er hat sie in dem Formate der kleinen *Lalandens* Tafeln drucken lassen, denen sie angebunden werden können. Einige wenige Exemplare dieser Tafeln die bei dem Abdruck, über die für die Art. Nachr. nöthige Anzahl abgezogen sind, kann man bei Herrn *Pertkes* et *Besser* in Hamburg erhalten.

S.

Altona im August 1829. (Hiebei Herrn v. *Weidenbachs* Tafeln.)

TAFEL
rån
DEN LOGARITHMEN
FÖR $\frac{x+1}{x-1}$

1871
1872
1873
1874
1875
1876
1877
1878
1879
1880
1881
1882
1883
1884
1885
1886
1887
1888
1889
1890
1891
1892
1893
1894
1895
1896
1897
1898
1899
1900

TAFEL

um den Logarithmen von $\frac{x+1}{x-1}$ zu finden,
wenn der Logarithmus von x gegeben ist.

VON

HERRN V. WEIDENBACH

BERECHNET,

MIT EINEM VORWORTE

VON

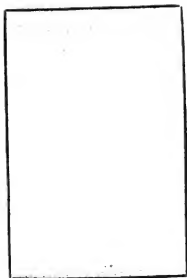
HERRN HOFRATH GAUSS.

Für die astronomischen Nachrichten.

COPENHAGEN,

Gedruckt bey dem Director J. HÖSTRUP-SCHULZE
königl. und Univers. Buchdr.

1829.



1891
1892

Gegenwärtige Tafel ist das Seitenstück zu der zuerst im Jahr 1612 bekannt geworden und seitdem oft wieder abgedruckten Tafel für die Logarithmen von Summen und Differenzen, und von einer fast ebenso niedrigen Brauchbarkeit. Der Zusammenhang der beiden Columnen ist der, dass, wenn die eine der Logarithmen von x darstellt, die andere den Logarithmus von $\frac{x+1}{x-1}$ giebt. Diese Beziehung ist also gegenseitige, und daher die Tafel absolut vollständig, indem man jeden positiven Logarithmen entweder in der einen oder andern Columnen antrifft. Anstatt die Argumente mit 1.363 aufzugeben zu lassen, hätte man sie auch von 0 auftragen und mit 6.363 schliessen lassen können; die Tafel würde dann aber nicht so bequem für den Gebrauch angefallen sein.

Die Tafel ist von Hrn. v. Waldebucheruphaglich auf sieben Decimalen berechnet, um die Resultate auf eine halbe Einheit vergrößern zu können; in dem Falle, wo an der Entscheidung selbst sieben Ziffern noch nichtreichen, sind sogar noch mehrere zugegeben.

Man sieht leicht, dass eine Hauptanwendung der Tafel, bei der es häufig vorkommenden Aufgabe findet, wo zwei unbekannte Größen p , F durch zwei Gleichungen

$$p \cos (F + A) = a$$

$$p \cos (F + B) = b$$

oder

$$p \sin (F + A) = a$$

$$p \sin (F + B) = b$$

oder

$$a \cos (P+M) = b \cos (P+B) = p$$

oder

$$a \sin (P+M) = b \sin (P+B) = p$$

bestimmt werden sollen. Es gehet daher der Fall der ebenen Trigonometrie, wo aus zwei Seiten eines Dreiecks a, b und dem eingeschlossenen Winkel C die beiden andern Winkel A, B bestimmt werden sollen, aus, wenn man bekanntlich

$$\frac{a+b}{a-b} \cdot \tan \frac{1}{2} C = \tan (B+\frac{1}{2} C)$$

hat; indem man hier a die größere gegebene Seite bedeutet hat, giebt die Tafel, wenn man in sie mit $\log a - \log b$ einträgt, ohne weiteres den Logarithmus von $\frac{a+b}{a-b}$, wenn man sonst, wenn man erst a und b aus den Logarithmen berechnen wollte, vier Aufschüßungen, oder wenn man sich der Form

$$\frac{\frac{a}{b} + 1}{\frac{a}{b} - 1}$$

rechnet, drei, oder wenn man den Höhenwinkel einführt, dessen Tangente $\frac{a}{b}$ ist, doch zwei Aufschüßungen nöthig hätte. Beispiele in Tabellen hier beizufügen würde wohl überflüssig sein.

Gauss.

A.	B.	n.	A.	B.	n.	A.	B.	n.
0.392 (0.39355)	100	0.412 (0.35680)	91	0.442 (0.32871)	83	0.445 (0.32797)	84	0.465 (0.32718)
0.383 (0.38755)	101	0.413 (0.35737)	92	0.443 (0.32798)	84	0.446 (0.32718)	85	0.466 (0.32631)
0.394 (0.39155)	102	0.414 (0.35806)	93	0.444 (0.32718)	85	0.447 (0.32631)	86	0.467 (0.32549)
0.395 (0.39045)	103	0.415 (0.35874)	94	0.445 (0.32631)	86	0.448 (0.32549)	87	0.468 (0.32464)
0.396 (0.38957)	104	0.416 (0.35942)	95	0.446 (0.32549)	87	0.449 (0.32464)	88	0.469 (0.32379)
0.397 (0.38869)	105	0.417 (0.36010)	96	0.447 (0.32464)	88	0.450 (0.32379)	89	0.470 (0.32293)
0.398 (0.38779)	106	0.418 (0.36078)	97	0.448 (0.32379)	89	0.451 (0.32293)	90	0.471 (0.32208)
0.399 (0.38681)	107	0.419 (0.36145)	98	0.449 (0.32293)	90	0.452 (0.32208)	91	0.472 (0.32123)
0.399 (0.38584)	108	0.420 (0.36213)	99	0.450 (0.32208)	91	0.453 (0.32123)	92	0.473 (0.32038)
0.400 (0.38486)	109	0.421 (0.36280)	100	0.451 (0.32123)	92	0.454 (0.32038)	93	0.474 (0.31953)
0.401 (0.38387)	110	0.422 (0.36348)	101	0.452 (0.32038)	93	0.455 (0.31953)	94	0.475 (0.31868)
0.402 (0.38288)	111	0.423 (0.36415)	102	0.453 (0.31953)	94	0.456 (0.31868)	95	0.476 (0.31783)
0.403 (0.38188)	112	0.424 (0.36483)	103	0.454 (0.31868)	95	0.457 (0.31783)	96	0.477 (0.31698)
0.404 (0.38088)	113	0.425 (0.36550)	104	0.455 (0.31783)	96	0.458 (0.31698)	97	0.478 (0.31613)
0.405 (0.37988)	114	0.426 (0.36618)	105	0.456 (0.31698)	97	0.459 (0.31613)	98	0.479 (0.31528)
0.406 (0.37888)	115	0.427 (0.36685)	106	0.457 (0.31613)	98	0.460 (0.31528)	99	0.480 (0.31443)
0.407 (0.37788)	116	0.428 (0.36753)	107	0.458 (0.31528)	99	0.461 (0.31443)	100	0.481 (0.31358)
0.408 (0.37688)	117	0.429 (0.36820)	108	0.459 (0.31443)	100	0.462 (0.31358)	101	0.482 (0.31273)
0.409 (0.37588)	118	0.430 (0.36888)	109	0.460 (0.31358)	101	0.463 (0.31273)	102	0.483 (0.31188)
0.410 (0.37488)	119	0.431 (0.36955)	110	0.461 (0.31273)	102	0.464 (0.31188)	103	0.484 (0.31103)
0.411 (0.37388)	120	0.432 (0.37023)	111	0.462 (0.31188)	103	0.465 (0.31103)	104	0.485 (0.31018)
0.412 (0.37288)	121	0.433 (0.37090)	112	0.463 (0.31103)	104	0.466 (0.31018)	105	0.486 (0.30933)
0.413 (0.37188)	122	0.434 (0.37158)	113	0.464 (0.31018)	105	0.467 (0.30933)	106	0.487 (0.30848)
0.414 (0.37088)	123	0.435 (0.37225)	114	0.465 (0.30933)	106	0.468 (0.30848)	107	0.488 (0.30763)
0.415 (0.36988)	124	0.436 (0.37293)	115	0.466 (0.30848)	107	0.469 (0.30763)	108	0.489 (0.30678)
0.416 (0.36888)	125	0.437 (0.37360)	116	0.467 (0.30763)	108	0.470 (0.30678)	109	0.490 (0.30593)
0.417 (0.36788)	126	0.438 (0.37428)	117	0.468 (0.30678)	109	0.471 (0.30593)	110	0.491 (0.30508)
0.418 (0.36688)	127	0.439 (0.37495)	118	0.469 (0.30593)	110	0.472 (0.30508)	111	0.492 (0.30423)
0.419 (0.36588)	128	0.440 (0.37563)	119	0.470 (0.30508)	111	0.473 (0.30423)	112	0.493 (0.30338)
0.420 (0.36488)	129	0.441 (0.37630)	120	0.471 (0.30423)	112	0.474 (0.30338)	113	0.494 (0.30253)
0.421 (0.36388)	130	0.442 (0.37698)	121	0.472 (0.30338)	113	0.475 (0.30253)	114	0.495 (0.30168)

[illegible]

A.	B.	a.	A.	B.	a.	A.	B.	a.
0.5602	0.24430	50	0.590	0.22725	55	0.672	0.21169	54
0.560	0.24479	50	0.591	0.22815	55	0.673	0.21199	54
0.561	0.24529	50	0.592	0.22911	55	0.674	0.21187	54
0.565	0.24261	50	0.595	0.22952	54	0.675	0.21197	50
0.566	0.24307	50	0.596	0.22991	54	0.676	0.21191	50
0.567	0.24144	50	0.597	0.23035	54	0.677	0.21007	50
0.569	0.24095	50	0.598	0.23083	54	0.678	0.21004	50
0.569	0.24167	50	0.599	0.23134	54	0.679	0.21077	50
0.570	0.23960	50	0.600	0.23226	54	0.680	0.21078	50
0.571	0.23911	50	0.601	0.23241	54	0.681	0.21068	50
0.572	0.23853	50	0.602	0.23281	54	0.682	0.21061	50
0.573	0.23795	50	0.603	0.23312	54	0.683	0.21059	50
0.574	0.23738	50	0.604	0.23346	54	0.684	0.21058	50
0.575	0.23681	50	0.605	0.23382	54	0.685	0.21059	49
0.576	0.23625	50	0.606	0.23417	54	0.686	0.21055	49
0.577	0.23569	50	0.607	0.23453	54	0.687	0.21051	49
0.578	0.23513	50	0.608	0.23487	54	0.688	0.21045	49
0.579	0.23457	50	0.609	0.23523	54	0.689	0.21038	49
0.580	0.23401	50	0.610	0.23559	54	0.690	0.21038	49
0.581	0.23345	50	0.611	0.23594	54	0.691	0.21038	49
0.582	0.23289	50	0.612	0.23629	54	0.692	0.21038	49
0.583	0.23233	50	0.613	0.23664	54	0.693	0.21038	49
0.584	0.23177	50	0.614	0.23699	54	0.694	0.21038	49
0.585	0.23121	50	0.615	0.23734	54	0.695	0.21038	49
0.586	0.23065	50	0.616	0.23769	54	0.696	0.21038	49
0.587	0.23009	50	0.617	0.23804	54	0.697	0.21038	49
0.588	0.22953	50	0.618	0.23839	54	0.698	0.21038	49
0.589	0.22897	50	0.619	0.23874	54	0.699	0.21038	49
0.590	0.22841	50	0.620	0.23909	54	0.700	0.21038	49
0.591	0.22785	50	0.621	0.23944	54	0.701	0.21038	49
0.592	0.22729	50	0.622	0.23979	54	0.702	0.21038	49

A.	R.	S.	A.	R.	S.	A.	R.	S.
0.652	0.19867	43	0.682	0.19131	43	0.712	0.17075	42
0.653	0.19897	43	0.683	0.19200	43	0.713	0.17085	42
0.654	0.19920	43	0.684	0.19245	43	0.714	0.16994	41
0.655	0.19947	43	0.685	0.19299	43	0.715	0.16954	41
0.656	0.19978	43	0.686	0.19356	43	0.716	0.16914	41
0.657	0.19995	43	0.687	0.19415	43	0.717	0.16873	40
0.658	0.20007	43	0.688	0.19477	43	0.718	0.16833	40
0.659	0.20014	43	0.689	0.19540	43	0.719	0.16793	40
0.660	0.20017	43	0.690	0.19605	43	0.720	0.16753	39
0.661	0.20017	43	0.691	0.19673	43	0.721	0.16714	39
0.662	0.20013	43	0.692	0.19743	43	0.722	0.16677	39
0.663	0.20007	43	0.693	0.19815	43	0.723	0.16641	38
0.664	0.19997	43	0.694	0.19891	43	0.724	0.16606	38
0.665	0.19985	43	0.695	0.19969	43	0.725	0.16573	38
0.666	0.19970	43	0.696	0.20050	43	0.726	0.16540	38
0.667	0.19954	43	0.697	0.20133	43	0.727	0.16508	38
0.668	0.19936	43	0.698	0.20218	43	0.728	0.16477	37
0.669	0.19916	43	0.699	0.20305	43	0.729	0.16447	37
0.670	0.19894	43	0.700	0.20394	43	0.730	0.16418	37
0.671	0.19869	43	0.701	0.20485	43	0.731	0.16390	37
0.672	0.19841	43	0.702	0.20578	43	0.732	0.16363	37
0.673	0.19811	43	0.703	0.20673	43	0.733	0.16337	37
0.674	0.19779	43	0.704	0.20770	43	0.734	0.16312	37
0.675	0.19744	43	0.705	0.20869	43	0.735	0.16287	37
0.676	0.19707	43	0.706	0.20970	43	0.736	0.16263	37
0.677	0.19668	43	0.707	0.21073	43	0.737	0.16240	37
0.678	0.19627	43	0.708	0.21178	43	0.738	0.16217	37
0.679	0.19584	43	0.709	0.21285	43	0.739	0.16195	37
0.680	0.19539	43	0.710	0.21394	43	0.740	0.16174	37
0.681	0.19492	43	0.711	0.21505	43	0.741	0.16154	37
0.682	0.19443	43	0.712	0.21618	43	0.742	0.16135	37

A.	B.	a.	A.	B.	a.	A.	B.	a.
0.7472-0.18905	36	0.7772-0.14905	34	0.8602-0.13018	35			
0.7483-0.18871	37	0.7783-0.14879	35	0.8613-0.12986	36			
0.7494-0.18834	37	0.7794-0.14856	36	0.8624-0.12954	37			
0.7505-0.18797	37	0.7795-0.14821	36	0.8635-0.12922	37			
0.7516-0.18760	37	0.7796-0.14786	37	0.8646-0.12890	37			
0.7517-0.18723	37	0.7777-0.14653	34	0.8657-0.12858	37			
0.7546-0.18566	37	0.7778-0.14618	34	0.8668-0.12826	37			
0.7549-0.18549	37	0.7779-0.14584	34	0.8679-0.12794	37			
0.7550-0.18512	37	0.7780-0.14552	35	0.8690-0.12762	37			
0.7551-0.18475	38	0.7781-0.14517	35	0.8701-0.12730	38			
0.7552-0.18438	37	0.7782-0.14482	35	0.8712-0.12698	38			
0.7553-0.18401	38	0.7783-0.14447	35	0.8723-0.12666	38			
0.7554-0.18364	38	0.7784-0.14412	36	0.8734-0.12634	38			
0.7555-0.18327	38	0.7785-0.14377	36	0.8745-0.12602	38			
0.7556-0.18290	38	0.7786-0.14342	36	0.8756-0.12570	38			
0.7557-0.18253	38	0.7787-0.14307	36	0.8767-0.12538	38			
0.7558-0.18216	38	0.7788-0.14272	36	0.8778-0.12506	38			
0.7559-0.18179	38	0.7789-0.14237	36	0.8789-0.12474	38			
0.7560-0.18142	38	0.7790-0.14202	36	0.8800-0.12442	38			
0.7561-0.18105	38	0.7791-0.14167	36	0.8811-0.12410	38			
0.7562-0.18068	38	0.7792-0.14132	36	0.8822-0.12378	38			
0.7563-0.18031	38	0.7793-0.14097	36	0.8833-0.12346	38			
0.7564-0.17994	38	0.7794-0.14062	36	0.8844-0.12314	38			
0.7565-0.17957	38	0.7795-0.14027	36	0.8855-0.12282	38			
0.7566-0.17920	38	0.7796-0.13992	36	0.8866-0.12250	38			
0.7567-0.17883	38	0.7797-0.13957	36	0.8877-0.12218	38			
0.7568-0.17846	38	0.7798-0.13922	36	0.8888-0.12186	38			
0.7569-0.17809	38	0.7799-0.13887	36	0.8899-0.12154	38			
0.7570-0.17772	38	0.7800-0.13852	36	0.8910-0.12122	38			
0.7571-0.17735	38	0.7801-0.13817	36	0.8921-0.12090	38			
0.7572-0.17698	38	0.7802-0.13782	36	0.8932-0.12058	38			

A.	B.	A.	B.	A.	B.	A.	B.
0.012 (0.13902)	20	0.012 (0.13902)	20	0.007 (0.11206)	25	0.007 (0.11206)	25
0.013 (0.13902)	20	0.009 (0.11982)	26	0.002 (0.11114)	26	0.002 (0.11114)	26
0.014 (0.13922)	20	0.004 (0.11955)	26	0.004 (0.11166)	26	0.004 (0.11166)	26
0.015 (0.13932)	20	0.005 (0.11927)	26	0.005 (0.11172)	26	0.005 (0.11172)	26
0.016 (0.13932)	20	0.006 (0.11907)	26	0.006 (0.11166)	26	0.006 (0.11166)	26
0.017 (0.13932)	20	0.007 (0.11879)	27	0.007 (0.11205)	26	0.007 (0.11205)	26
0.018 (0.13932)	20	0.008 (0.11844)	26	0.008 (0.11194)	26	0.008 (0.11194)	26
0.019 (0.13932)	20	0.009 (0.11815)	26	0.009 (0.11185)	26	0.009 (0.11185)	26
0.020 (0.13932)	20	0.010 (0.11789)	26	0.010 (0.11176)	26	0.010 (0.11176)	26
0.021 (0.13932)	20	0.011 (0.11764)	27	0.011 (0.11166)	26	0.011 (0.11166)	26
0.022 (0.13932)	20	0.012 (0.11734)	27	0.012 (0.11157)	25	0.012 (0.11157)	25
0.023 (0.13932)	20	0.013 (0.11707)	27	0.013 (0.11147)	25	0.013 (0.11147)	25
0.024 (0.13932)	20	0.014 (0.11679)	27	0.014 (0.11137)	25	0.014 (0.11137)	25
0.025 (0.13932)	20	0.015 (0.11652)	27	0.015 (0.11127)	25	0.015 (0.11127)	25
0.026 (0.13932)	20	0.016 (0.11625)	27	0.016 (0.11117)	25	0.016 (0.11117)	25
0.027 (0.13932)	20	0.017 (0.11597)	27	0.017 (0.11107)	25	0.017 (0.11107)	25
0.028 (0.13932)	20	0.018 (0.11570)	27	0.018 (0.11097)	25	0.018 (0.11097)	25
0.029 (0.13932)	20	0.019 (0.11542)	27	0.019 (0.11087)	25	0.019 (0.11087)	25
0.030 (0.13932)	20	0.020 (0.11515)	27	0.020 (0.11077)	25	0.020 (0.11077)	25
0.031 (0.13932)	20	0.021 (0.11487)	27	0.021 (0.11067)	25	0.021 (0.11067)	25
0.032 (0.13932)	20	0.022 (0.11460)	27	0.022 (0.11057)	25	0.022 (0.11057)	25
0.033 (0.13932)	20	0.023 (0.11432)	27	0.023 (0.11047)	25	0.023 (0.11047)	25
0.034 (0.13932)	20	0.024 (0.11405)	27	0.024 (0.11037)	25	0.024 (0.11037)	25
0.035 (0.13932)	20	0.025 (0.11377)	27	0.025 (0.11027)	25	0.025 (0.11027)	25
0.036 (0.13932)	20	0.026 (0.11350)	27	0.026 (0.11017)	25	0.026 (0.11017)	25
0.037 (0.13932)	20	0.027 (0.11322)	27	0.027 (0.11007)	25	0.027 (0.11007)	25
0.038 (0.13932)	20	0.028 (0.11295)	27	0.028 (0.10997)	25	0.028 (0.10997)	25
0.039 (0.13932)	20	0.029 (0.11267)	27	0.029 (0.10987)	25	0.029 (0.10987)	25
0.040 (0.13932)	20	0.030 (0.11240)	27	0.030 (0.10977)	25	0.030 (0.10977)	25
0.041 (0.13932)	20	0.031 (0.11212)	27	0.031 (0.10967)	25	0.031 (0.10967)	25
0.042 (0.13932)	20	0.032 (0.11185)	27	0.032 (0.10957)	25	0.032 (0.10957)	25
0.043 (0.13932)	20	0.033 (0.11157)	27	0.033 (0.10947)	25	0.033 (0.10947)	25
0.044 (0.13932)	20	0.034 (0.11130)	27	0.034 (0.10937)	25	0.034 (0.10937)	25
0.045 (0.13932)	20	0.035 (0.11102)	27	0.035 (0.10927)	25	0.035 (0.10927)	25
0.046 (0.13932)	20	0.036 (0.11075)	27	0.036 (0.10917)	25	0.036 (0.10917)	25
0.047 (0.13932)	20	0.037 (0.11047)	27	0.037 (0.10907)	25	0.037 (0.10907)	25
0.048 (0.13932)	20	0.038 (0.11020)	27	0.038 (0.10897)	25	0.038 (0.10897)	25
0.049 (0.13932)	20	0.039 (0.10992)	27	0.039 (0.10887)	25	0.039 (0.10887)	25
0.050 (0.13932)	20	0.040 (0.10965)	27	0.040 (0.10877)	25	0.040 (0.10877)	25
0.051 (0.13932)	20	0.041 (0.10937)	27	0.041 (0.10867)	25	0.041 (0.10867)	25
0.052 (0.13932)	20	0.042 (0.10910)	27	0.042 (0.10857)	25	0.042 (0.10857)	25
0.053 (0.13932)	20	0.043 (0.10882)	27	0.043 (0.10847)	25	0.043 (0.10847)	25
0.054 (0.13932)	20	0.044 (0.10855)	27	0.044 (0.10837)	25	0.044 (0.10837)	25
0.055 (0.13932)	20	0.045 (0.10827)	27	0.045 (0.10827)	25	0.045 (0.10827)	25
0.056 (0.13932)	20	0.046 (0.10800)	27	0.046 (0.10817)	25	0.046 (0.10817)	25
0.057 (0.13932)	20	0.047 (0.10772)	27	0.047 (0.10807)	25	0.047 (0.10807)	25
0.058 (0.13932)	20	0.048 (0.10745)	27	0.048 (0.10797)	25	0.048 (0.10797)	25
0.059 (0.13932)	20	0.049 (0.10717)	27	0.049 (0.10787)	25	0.049 (0.10787)	25
0.060 (0.13932)	20	0.050 (0.10690)	27	0.050 (0.10777)	25	0.050 (0.10777)	25
0.061 (0.13932)	20	0.051 (0.10662)	27	0.051 (0.10767)	25	0.051 (0.10767)	25
0.062 (0.13932)	20	0.052 (0.10635)	27	0.052 (0.10757)	25	0.052 (0.10757)	25

A.	B.	n.	A.	B.	n.	A.	B.	n.
0.222 (0.10455)	24	0.1027	0.09742	23	0.982	0.00066	21	
0.923 (0.10471)	25	0.953	0.04719	23	0.983	0.00065	21	
0.124 (0.10396)	24	0.954	0.09965	23	0.984	0.00064	21	
0.925 (0.10377)	26	0.955	0.09674	22	0.985	0.00023	21	
0.926 (0.10346)	24	0.956	0.09652	23	0.986	0.00065	21	
0.927 (0.10318)	24	0.957	0.09679	22	0.987	0.00067	21	
0.928 (0.10286)	24	0.958	0.09607	22	0.988	0.00161	21	
0.929 (0.10277)	24	0.959	0.09585	22	0.989	0.00161	21	
0.930 (0.10252)	24	0.960	0.09582	23	0.990	0.00119	21	
0.931 (0.10229)	24	0.961	0.09546	22	0.991	0.00099	21	
0.932 (0.10203)	24	0.962	0.09519	22	0.992	0.00178	21	
0.933 (0.10181)	24	0.963	0.09496	22	0.993	0.00456	21	
0.934 (0.10156)	24	0.964	0.09471	22	0.994	0.00437	21	
0.935 (0.10134)	24	0.965	0.09432	22	0.995	0.00417	21	
0.936 (0.10110)	23	0.966	0.09430	22	0.996	0.00736	21	
0.937 (0.10083)	23	0.967	0.09448	22	0.997	0.00715	21	
0.938 (0.10064)	24	0.968	0.09456	21	0.998	0.00736	21	
0.939 (0.10046)	23	0.969	0.09465	22	0.999	0.00735	21	
0.940 (0.10017)	23	0.970	0.09443	22	1.000	0.00715	21	
0.941 (0.09994)	21	0.971	0.09471	21	1.001	0.00695	21	
0.942 (0.09970)	23	0.972	0.09480	21	1.002	0.00671	21	
0.943 (0.09944)	23	0.973	0.09478	22	1.003	0.00651	21	
0.944 (0.09924)	23	0.974	0.09497	22	1.004	0.00635	21	
0.945 (0.09900)	23	0.975	0.09485	22	1.005	0.00612	21	
0.946 (0.09878)	23	0.976	0.09474	21	1.006	0.00596	21	
0.947 (0.09855)	23	0.977	0.09462	24	1.007	0.00575	21	
0.948 (0.09832)	22	0.978	0.09471	21	1.008	0.00555	21	
0.949 (0.09810)	23	0.979	0.09450	24	1.009	0.00535	21	
0.950 (0.09787)	23	0.980	0.09474	21	1.010	0.00512	21	
0.951 (0.09764)	22	0.981	0.09468	21	1.011	0.00491	21	
0.952 (0.09742)	22	0.982	0.09460	21	1.012	0.00470	21	

150000

A.	B.	n.	A.	B.	n.	A.	B.	n.
1.102 (0.00980)	14	1.137 (0.00847)	15	1.107 (0.00901)	14			
1.103 (0.00976)	15	1.138 (0.00840)	15	1.103 (0.00977)	14			
1.104 (0.00970)	16	1.139 (0.00830)	16	1.104 (0.00969)	15			
1.105 (0.00963)	17	1.140 (0.00820)	17	1.105 (0.00960)	16			
1.106 (0.00956)	18	1.141 (0.00810)	18	1.106 (0.00950)	17			
1.107 (0.00948)	19	1.142 (0.00800)	19	1.107 (0.00940)	18			
1.108 (0.00940)	20	1.143 (0.00790)	20	1.108 (0.00930)	19			
1.109 (0.00932)	21	1.144 (0.00780)	21	1.109 (0.00920)	20			
1.110 (0.00924)	22	1.145 (0.00770)	22	1.110 (0.00910)	21			
1.111 (0.00916)	23	1.146 (0.00760)	23	1.111 (0.00900)	22			
1.112 (0.00908)	24	1.147 (0.00750)	24	1.112 (0.00890)	23			
1.113 (0.00900)	25	1.148 (0.00740)	25	1.113 (0.00880)	24			
1.114 (0.00892)	26	1.149 (0.00730)	26	1.114 (0.00870)	25			
1.115 (0.00884)	27	1.150 (0.00720)	27	1.115 (0.00860)	26			
1.116 (0.00876)	28	1.151 (0.00710)	28	1.116 (0.00850)	27			
1.117 (0.00868)	29	1.152 (0.00700)	29	1.117 (0.00840)	28			
1.118 (0.00860)	30	1.153 (0.00690)	30	1.118 (0.00830)	29			
1.119 (0.00852)	31	1.154 (0.00680)	31	1.119 (0.00820)	30			
1.120 (0.00844)	32	1.155 (0.00670)	32	1.120 (0.00810)	31			
1.121 (0.00836)	33	1.156 (0.00660)	33	1.121 (0.00800)	32			
1.122 (0.00828)	34	1.157 (0.00650)	34	1.122 (0.00790)	33			
1.123 (0.00820)	35	1.158 (0.00640)	35	1.123 (0.00780)	34			
1.124 (0.00812)	36	1.159 (0.00630)	36	1.124 (0.00770)	35			
1.125 (0.00804)	37	1.160 (0.00620)	37	1.125 (0.00760)	36			
1.126 (0.00796)	38	1.161 (0.00610)	38	1.126 (0.00750)	37			
1.127 (0.00788)	39	1.162 (0.00600)	39	1.127 (0.00740)	38			
1.128 (0.00780)	40	1.163 (0.00590)	40	1.128 (0.00730)	39			
1.129 (0.00772)	41	1.164 (0.00580)	41	1.129 (0.00720)	40			
1.130 (0.00764)	42	1.165 (0.00570)	42	1.130 (0.00710)	41			
1.131 (0.00756)	43	1.166 (0.00560)	43	1.131 (0.00700)	42			
1.132 (0.00748)	44	1.167 (0.00550)	44	1.132 (0.00690)	43			
1.133 (0.00740)	45	1.168 (0.00540)	45	1.133 (0.00680)	44			
1.134 (0.00732)	46	1.169 (0.00530)	46	1.134 (0.00670)	45			
1.135 (0.00724)	47	1.170 (0.00520)	47	1.135 (0.00660)	46			
1.136 (0.00716)	48	1.171 (0.00510)	48	1.136 (0.00650)	47			
1.137 (0.00708)	49	1.172 (0.00500)	49	1.137 (0.00640)	48			
1.138 (0.00700)	50	1.173 (0.00490)	50	1.138 (0.00630)	49			
1.139 (0.00692)	51	1.174 (0.00480)	51	1.139 (0.00620)	50			
1.140 (0.00684)	52	1.175 (0.00470)	52	1.140 (0.00610)	51			
1.141 (0.00676)	53	1.176 (0.00460)	53	1.141 (0.00600)	52			
1.142 (0.00668)	54	1.177 (0.00450)	54	1.142 (0.00590)	53			
1.143 (0.00660)	55	1.178 (0.00440)	55	1.143 (0.00580)	54			
1.144 (0.00652)	56	1.179 (0.00430)	56	1.144 (0.00570)	55			
1.145 (0.00644)	57	1.180 (0.00420)	57	1.145 (0.00560)	56			
1.146 (0.00636)	58	1.181 (0.00410)	58	1.146 (0.00550)	57			
1.147 (0.00628)	59	1.182 (0.00400)	59	1.147 (0.00540)	58			
1.148 (0.00620)	60	1.183 (0.00390)	60	1.148 (0.00530)	59			
1.149 (0.00612)	61	1.184 (0.00380)	61	1.149 (0.00520)	60			
1.150 (0.00604)	62	1.185 (0.00370)	62	1.150 (0.00510)	61			
1.151 (0.00596)	63	1.186 (0.00360)	63	1.151 (0.00500)	62			
1.152 (0.00588)	64	1.187 (0.00350)	64	1.152 (0.00490)	63			
1.153 (0.00580)	65	1.188 (0.00340)	65	1.153 (0.00480)	64			
1.154 (0.00572)	66	1.189 (0.00330)	66	1.154 (0.00470)	65			
1.155 (0.00564)	67	1.190 (0.00320)	67	1.155 (0.00460)	66			
1.156 (0.00556)	68	1.191 (0.00310)	68	1.156 (0.00450)	67			
1.157 (0.00548)	69	1.192 (0.00300)	69	1.157 (0.00440)	68			
1.158 (0.00540)	70	1.193 (0.00290)	70	1.158 (0.00430)	69			
1.159 (0.00532)	71	1.194 (0.00280)	71	1.159 (0.00420)	70			
1.160 (0.00524)	72	1.195 (0.00270)	72	1.160 (0.00410)	71			
1.161 (0.00516)	73	1.196 (0.00260)	73	1.161 (0.00400)	72			
1.162 (0.00508)	74	1.197 (0.00250)	74	1.162 (0.00390)	73			
1.163 (0.00500)	75	1.198 (0.00240)	75	1.163 (0.00380)	74			
1.164 (0.00492)	76	1.199 (0.00230)	76	1.164 (0.00370)	75			
1.165 (0.00484)	77	1.200 (0.00220)	77	1.165 (0.00360)	76			
1.166 (0.00476)	78	1.201 (0.00210)	78	1.166 (0.00350)	77			
1.167 (0.00468)	79	1.202 (0.00200)	79	1.167 (0.00340)	78			
1.168 (0.00460)	80	1.203 (0.00190)	80	1.168 (0.00330)	79			
1.169 (0.00452)	81	1.204 (0.00180)	81	1.169 (0.00320)	80			
1.170 (0.00444)	82	1.205 (0.00170)	82	1.170 (0.00310)	81			
1.171 (0.00436)	83	1.206 (0.00160)	83	1.171 (0.00300)	82			
1.172 (0.00428)	84	1.207 (0.00150)	84	1.172 (0.00290)	83			
1.173 (0.00420)	85	1.208 (0.00140)	85	1.173 (0.00280)	84			
1.174 (0.00412)	86	1.209 (0.00130)	86	1.174 (0.00270)	85			
1.175 (0.00404)	87	1.210 (0.00120)	87	1.175 (0.00260)	86			
1.176 (0.00396)	88	1.211 (0.00110)	88	1.176 (0.00250)	87			
1.177 (0.00388)	89	1.212 (0.00100)	89	1.177 (0.00240)	88			
1.178 (0.00380)	90	1.213 (0.00090)	90	1.178 (0.00230)	89			
1.179 (0.00372)	91	1.214 (0.00080)	91	1.179 (0.00220)	90			
1.180 (0.00364)	92	1.215 (0.00070)	92	1.180 (0.00210)	91			
1.181 (0.00356)	93	1.216 (0.00060)	93	1.181 (0.00200)	92			
1.182 (0.00348)	94	1.217 (0.00050)	94	1.182 (0.00190)	93			
1.183 (0.00340)	95	1.218 (0.00040)	95	1.183 (0.00180)	94			
1.184 (0.00332)	96	1.219 (0.00030)	96	1.184 (0.00170)	95			
1.185 (0.00324)	97	1.220 (0.00020)	97	1.185 (0.00160)	96			
1.186 (0.00316)	98	1.221 (0.00010)	98	1.186 (0.00150)	97			
1.187 (0.00308)	99	1.222 (0.00000)	99	1.187 (0.00140)	98			
1.188 (0.00300)	100	1.223 (0.00000)	100	1.188 (0.00130)	99			

A.	B.	n.	A.	B.	n.	A.	B.	n.
1.195 (0.6558)	13	1.222 (0.6579)	12	1.285 (0.6687)	11			
1.198 (0.6557)	13	1.721 (0.6539)	12	1.253 (0.6685)	11			
1.194 (0.6556)	13	1.774 (0.6537)	12	1.234 (0.6684)	11			
1.196 (0.6555)	13	1.729 (0.6549)	12	1.232 (0.6683)	11			
1.196 (0.6553)	13	1.726 (0.6548)	12	1.236 (0.6682)	11			
1.197 (0.6552)	13	1.777 (0.6546)	12	1.227 (0.6681)	11			
1.198 (0.6551)	13	1.729 (0.6544)	12	1.229 (0.6680)	11			
1.196 (0.6548)	13	1.770 (0.6542)	12	1.226 (0.6679)	11			
1.196 (0.6546)	13	1.730 (0.6541)	12	1.226 (0.6678)	11			
1.201 (0.6545)	13	1.731 (0.6540)	12	1.221 (0.6675)	11			
1.197 (0.6544)	13	1.732 (0.6539)	12	1.222 (0.6674)	11			
1.201 (0.6542)	13	1.733 (0.6538)	12	1.203 (0.6671)	11			
1.204 (0.6541)	13	1.734 (0.6537)	12	1.204 (0.6670)	11			
1.205 (0.6540)	13	1.735 (0.6536)	12	1.205 (0.6669)	11			
1.206 (0.6539)	13	1.736 (0.6535)	12	1.206 (0.6668)	11			
1.207 (0.6538)	13	1.737 (0.6534)	12	1.207 (0.6667)	11			
1.208 (0.6537)	13	1.738 (0.6533)	12	1.208 (0.6666)	11			
1.209 (0.6536)	13	1.739 (0.6532)	12	1.209 (0.6665)	11			
1.210 (0.6535)	13	1.740 (0.6531)	12	1.210 (0.6664)	11			
1.211 (0.6534)	13	1.741 (0.6530)	12	1.211 (0.6663)	11			
1.212 (0.6533)	13	1.742 (0.6529)	12	1.212 (0.6662)	11			
1.213 (0.6532)	13	1.743 (0.6528)	12	1.213 (0.6661)	11			
1.214 (0.6531)	13	1.744 (0.6527)	12	1.214 (0.6660)	11			
1.215 (0.6530)	13	1.745 (0.6526)	12	1.215 (0.6659)	11			
1.216 (0.6529)	13	1.746 (0.6525)	12	1.216 (0.6658)	11			
1.217 (0.6528)	13	1.747 (0.6524)	12	1.217 (0.6657)	11			
1.218 (0.6527)	13	1.748 (0.6523)	12	1.218 (0.6656)	11			
1.219 (0.6526)	13	1.749 (0.6522)	12	1.219 (0.6655)	11			
1.220 (0.6525)	13	1.750 (0.6521)	12	1.220 (0.6654)	11			
1.221 (0.6524)	13	1.751 (0.6520)	12	1.221 (0.6653)	11			
1.222 (0.6523)	13	1.752 (0.6519)	12	1.222 (0.6652)	11			

A.	B.	P.	A.	B.	A.	B.	P.
1.285 0-04347	11		1.312 0-04219	10	1.342 0-03955	9	
1.283 0-04351	10		1.311 0-04218	9	1.341 0-03948	8	
1.284 0-04351	9		1.314 0-04218	8	1.344 0-03947	7	
1.285 0-04350	8		1.316 0-04199	7	1.346 0-03938	6	
1.287 0-04349	7		1.317 0-04199	6	1.347 0-03938	5	
1.289 0-04379	11		1.319 0-04170	9	1.349 0-03939	4	
1.289 0-04469	10		1.320 0-04184	8	1.350 0-03945	3	
1.290 0-04468	9		1.321 0-04154	7	1.351 0-03957	2	
1.292 0-04458	8		1.322 0-04161	6	1.352 0-03963	1	
1.293 0-04478	7		1.323 0-04137	5	1.353 0-03968	0	
1.294 0-04418	11		1.324 0-04122	9	1.354 0-03942	9	
1.295 0-04407	10		1.325 0-04113	8	1.355 0-03949	8	
1.296 0-04392	9		1.326 0-04099	7	1.356 0-03955	7	
1.297 0-04387	8		1.327 0-04074	6	1.357 0-03950	6	
1.298 0-04377	7		1.328 0-04064	5	1.358 0-03911	5	
1.299 0-04362	6		1.329 0-04073	4	1.359 0-03963	4	
1.300 0-04357	5		1.330 0-04060	3	1.360 0-03794	3	
1.301 0-04347	4		1.331 0-04060	2	1.361 0-03783	2	
1.302 0-04337	3		1.332 0-04041	1	1.362 0-03776	1	
1.303 0-04317	2		1.333 0-04038	0	1.363 0-03766	0	
1.304 0-04317	1		1.334 0-04029	9	1.364 0-03759	9	
1.305 0-04297	0		1.335 0-04019	8	1.365 0-03750	8	
1.306 0-04297	9		1.336 0-04010	7	1.366 0-03741	7	
1.307 0-04287	8		1.337 0-04005	6	1.367 0-03733	6	
1.308 0-04277	7		1.338 0-03991	5	1.368 0-03723	5	
1.309 0-04267	6		1.339 0-03982	4	1.369 0-03716	4	
1.310 0-04258	5		1.340 0-03973	3	1.370 0-03707	3	
1.311 0-04258	4		1.341 0-03965	2	1.371 0-03699	2	
1.312 0-04238	3		1.342 0-03965	1	1.372 0-03690	1	

A.	B.	P.	A.	B.	P.	A.	B.	P.
1.442	0.47599	7	1.445	0.47739	7	1.575	0.47917	6
1.443	0.47592	7	1.446	0.47752	7	1.576	0.47906	6
1.444	0.47585	7	1.447	0.47765	7	1.577	0.47890	6
1.445	0.47578	6	1.448	0.47778	6	1.578	0.47864	6
1.446	0.47572	7	1.449	0.47773	6	1.579	0.47848	6
1.447	0.47565	7	1.450	0.47767	6	1.577	0.47822	6
1.448	0.47558	7	1.451	0.47760	6	1.578	0.47797	6
1.449	0.47551	7	1.452	0.47754	6	1.579	0.47770	6
1.450	0.47544	6	1.453	0.47748	7	1.580	0.47754	6
1.451	0.47538	7	1.454	0.47741	7	1.581	0.47750	6
1.452	0.47531	7	1.455	0.47735	6	1.582	0.47732	6
1.453	0.47524	7	1.456	0.47729	7	1.583	0.47726	6
1.454	0.47517	7	1.457	0.47722	7	1.584	0.47541	6
1.455	0.47511	7	1.458	0.47716	6	1.585	0.47535	6
1.456	0.47504	6	1.459	0.47710	6	1.586	0.47529	6
1.457	0.47497	7	1.460	0.47704	6	1.587	0.47523	6
1.458	0.47491	7	1.461	0.47697	6	1.588	0.47517	6
1.459	0.47484	6	1.462	0.47691	6	1.589	0.47512	6
1.460	0.47477	6	1.463	0.47685	6	1.590	0.47506	6
1.461	0.47471	7	1.464	0.47679	6	1.591	0.47500	6
1.462	0.47464	7	1.465	0.47673	6	1.592	0.47494	6
1.463	0.47457	6	1.466	0.47667	7	1.593	0.47488	6
1.464	0.47451	7	1.467	0.47660	6	1.594	0.47482	6
1.465	0.47444	6	1.468	0.47654	6	1.595	0.47477	6
1.466	0.47438	7	1.469	0.47648	6	1.596	0.47471	6
1.467	0.47431	6	1.470	0.47642	7	1.597	0.47465	6
1.468	0.47425	7	1.471	0.47636	6	1.598	0.47460	6
1.469	0.47418	6	1.472	0.47630	6	1.599	0.47454	6
1.470	0.47412	7	1.473	0.47624	6	1.600	0.47448	6
1.471	0.47405	6	1.474	0.47618	6	1.601	0.47442	6
1.472	0.47399	6	1.475	0.47612	6	1.602	0.47437	6

A.	B.	B.	A.	B.	B.	A.	B.	B.
1.552	0.02437	5	1.567	0.02775	6	1.612	0.02123	5
1.553	0.02532	6	1.568	0.02869	5	1.613	0.02118	5
1.554	0.02626	6	1.569	0.02964	5	1.614	0.02113	5
1.555	0.02721	5	1.565	0.02259	5	1.615	0.02108	5
1.556	0.02815	5	1.566	0.02354	5	1.616	0.02103	5
1.557	0.02909	5	1.567	0.02449	5	1.617	0.02098	5
1.558	0.03003	5	1.568	0.02543	5	1.618	0.02094	5
1.559	0.03098	5	1.569	0.02638	5	1.619	0.02089	5
1.560	0.03192	5	1.590	0.02733	5	1.620	0.02084	5
1.561	0.03287	5	1.591	0.02828	5	1.621	0.02079	5
1.562	0.03382	5	1.592	0.02923	5	1.622	0.02074	5
1.563	0.03476	5	1.593	0.03018	5	1.623	0.02070	5
1.564	0.03571	5	1.594	0.03113	5	1.624	0.02065	5
1.565	0.03665	5	1.595	0.03208	5	1.625	0.02060	5
1.566	0.03760	5	1.596	0.03303	5	1.626	0.02055	5
1.567	0.03854	5	1.597	0.03397	5	1.627	0.02051	5
1.568	0.03949	5	1.598	0.03492	5	1.628	0.02046	5
1.569	0.04043	5	1.599	0.03587	5	1.629	0.02041	5
1.570	0.04138	5	1.600	0.03682	5	1.630	0.02037	5
1.571	0.04233	5	1.601	0.03777	5	1.631	0.02032	5
1.572	0.04327	5	1.602	0.03872	5	1.632	0.02027	5
1.573	0.04422	5	1.603	0.03967	5	1.633	0.02023	5
1.574	0.04517	5	1.604	0.04062	5	1.634	0.02018	5
1.575	0.04612	5	1.605	0.04157	5	1.635	0.02013	5
1.576	0.04706	5	1.606	0.04252	5	1.636	0.02009	5
1.577	0.04801	5	1.607	0.04347	5	1.637	0.02004	5
1.578	0.04896	5	1.608	0.04442	5	1.638	0.01999	5
1.579	0.04990	5	1.609	0.04537	5	1.639	0.01995	5
1.580	0.05085	5	1.610	0.04632	5	1.640	0.01990	5
1.581	0.05180	5	1.611	0.04727	5	1.641	0.01986	5
1.582	0.05275	5	1.612	0.04822	5	1.642	0.01981	5

A.	B.	n.	A.	B.	n.	A.	B.	n.
1.447 (0.04981)	1.477 (0.06845)	4	1.707 (0.04725)	4		1.707 (0.04725)	4	
1.448 (0.04976)	1.478 (0.06845)	4	1.708 (0.04725)	4		1.708 (0.04725)	4	
1.449 (0.04972)	1.479 (0.06846)	4	1.709 (0.04725)	4		1.709 (0.04725)	4	
1.450 (0.04967)	1.480 (0.06846)	4	1.710 (0.04725)	4		1.710 (0.04725)	4	
1.451 (0.04963)	1.481 (0.06847)	4	1.711 (0.04725)	4		1.711 (0.04725)	4	
1.452 (0.04958)	1.482 (0.06847)	4	1.712 (0.04725)	4		1.712 (0.04725)	4	
1.453 (0.04954)	1.483 (0.06848)	4	1.713 (0.04725)	4		1.713 (0.04725)	4	
1.454 (0.04949)	1.484 (0.06848)	4	1.714 (0.04725)	4		1.714 (0.04725)	4	
1.455 (0.04945)	1.485 (0.06849)	4	1.715 (0.04725)	4		1.715 (0.04725)	4	
1.456 (0.04940)	1.486 (0.06849)	4	1.716 (0.04725)	4		1.716 (0.04725)	4	
1.457 (0.04936)	1.487 (0.06850)	4	1.717 (0.04725)	4		1.717 (0.04725)	4	
1.458 (0.04931)	1.488 (0.06850)	4	1.718 (0.04725)	4		1.718 (0.04725)	4	
1.459 (0.04927)	1.489 (0.06851)	4	1.719 (0.04725)	4		1.719 (0.04725)	4	
1.460 (0.04922)	1.490 (0.06851)	4	1.720 (0.04725)	4		1.720 (0.04725)	4	
1.461 (0.04918)	1.491 (0.06852)	4	1.721 (0.04725)	4		1.721 (0.04725)	4	
1.462 (0.04913)	1.492 (0.06852)	4	1.722 (0.04725)	4		1.722 (0.04725)	4	
1.463 (0.04909)	1.493 (0.06853)	4	1.723 (0.04725)	4		1.723 (0.04725)	4	
1.464 (0.04904)	1.494 (0.06853)	4	1.724 (0.04725)	4		1.724 (0.04725)	4	
1.465 (0.04900)	1.495 (0.06854)	4	1.725 (0.04725)	4		1.725 (0.04725)	4	
1.466 (0.04895)	1.496 (0.06854)	4	1.726 (0.04725)	4		1.726 (0.04725)	4	
1.467 (0.04891)	1.497 (0.06855)	4	1.727 (0.04725)	4		1.727 (0.04725)	4	
1.468 (0.04886)	1.498 (0.06855)	4	1.728 (0.04725)	4		1.728 (0.04725)	4	
1.469 (0.04882)	1.499 (0.06856)	4	1.729 (0.04725)	4		1.729 (0.04725)	4	
1.470 (0.04877)	1.500 (0.06856)	4	1.730 (0.04725)	4		1.730 (0.04725)	4	
1.471 (0.04873)	1.501 (0.06857)	4	1.731 (0.04725)	4		1.731 (0.04725)	4	
1.472 (0.04868)	1.502 (0.06857)	4	1.732 (0.04725)	4		1.732 (0.04725)	4	

A.	B.	n.	A.	B.	n.	A.	B.	n.
1.782 (0.01440)	1.783 (0.01500)	4	1.789 (0.01403)	1.790 (0.01366)	4	1.796 (0.01329)	1.797 (0.01292)	4
1.783 (0.01496)	1.784 (0.01556)	4	1.790 (0.01460)	1.791 (0.01423)	4	1.798 (0.01346)	1.799 (0.01309)	4
1.784 (0.01613)	1.785 (0.01673)	4	1.791 (0.01517)	1.792 (0.01480)	4	1.799 (0.01372)	1.800 (0.01335)	4
1.785 (0.01759)	1.786 (0.01819)	4	1.792 (0.01573)	1.793 (0.01536)	4	1.800 (0.01428)	1.801 (0.01391)	4
1.786 (0.01905)	1.787 (0.01965)	4	1.793 (0.01630)	1.794 (0.01593)	4	1.801 (0.01484)	1.802 (0.01447)	4
1.787 (0.02051)	1.788 (0.02111)	4	1.794 (0.01687)	1.795 (0.01650)	4	1.802 (0.01540)	1.803 (0.01503)	4
1.788 (0.02200)	1.789 (0.02260)	4	1.795 (0.01744)	1.796 (0.01707)	4	1.803 (0.01596)	1.804 (0.01559)	4
1.789 (0.02346)	1.790 (0.02406)	4	1.796 (0.01801)	1.797 (0.01764)	4	1.804 (0.01652)	1.805 (0.01615)	4
1.790 (0.02492)	1.791 (0.02552)	4	1.797 (0.01858)	1.798 (0.01821)	4	1.805 (0.01708)	1.806 (0.01671)	4
1.791 (0.02638)	1.792 (0.02698)	4	1.798 (0.01915)	1.799 (0.01878)	4	1.806 (0.01764)	1.807 (0.01727)	4
1.792 (0.02784)	1.793 (0.02844)	4	1.799 (0.01972)	1.800 (0.01935)	4	1.807 (0.01820)	1.808 (0.01783)	4
1.793 (0.02930)	1.794 (0.02990)	4	1.800 (0.02029)	1.801 (0.01992)	4	1.808 (0.01876)	1.809 (0.01839)	4
1.794 (0.03076)	1.795 (0.03136)	4	1.801 (0.02086)	1.802 (0.02049)	4	1.809 (0.01932)	1.810 (0.01895)	4
1.795 (0.03222)	1.796 (0.03282)	4	1.802 (0.02143)	1.803 (0.02106)	4	1.810 (0.01988)	1.811 (0.01951)	4
1.796 (0.03368)	1.797 (0.03428)	4	1.803 (0.02200)	1.804 (0.02163)	4	1.811 (0.02044)	1.812 (0.02007)	4
1.797 (0.03514)	1.798 (0.03574)	4	1.804 (0.02257)	1.805 (0.02220)	4	1.812 (0.02100)	1.813 (0.02063)	4
1.798 (0.03660)	1.799 (0.03720)	4	1.805 (0.02314)	1.806 (0.02277)	4	1.813 (0.02156)	1.814 (0.02119)	4
1.799 (0.03806)	1.800 (0.03866)	4	1.806 (0.02371)	1.807 (0.02334)	4	1.814 (0.02212)	1.815 (0.02175)	4
1.800 (0.03952)	1.801 (0.04012)	4	1.807 (0.02428)	1.808 (0.02391)	4	1.815 (0.02268)	1.816 (0.02231)	4
1.801 (0.04098)	1.802 (0.04158)	4	1.808 (0.02485)	1.809 (0.02448)	4	1.816 (0.02324)	1.817 (0.02287)	4
1.802 (0.04244)	1.803 (0.04304)	4	1.809 (0.02542)	1.810 (0.02505)	4	1.817 (0.02380)	1.818 (0.02343)	4
1.803 (0.04390)	1.804 (0.04450)	4	1.810 (0.02599)	1.811 (0.02562)	4	1.818 (0.02436)	1.819 (0.02399)	4
1.804 (0.04536)	1.805 (0.04596)	4	1.811 (0.02656)	1.812 (0.02619)	4	1.819 (0.02492)	1.820 (0.02455)	4
1.805 (0.04682)	1.806 (0.04742)	4	1.812 (0.02713)	1.813 (0.02676)	4	1.820 (0.02548)	1.821 (0.02511)	4
1.806 (0.04828)	1.807 (0.04888)	4	1.813 (0.02770)	1.814 (0.02733)	4	1.821 (0.02604)	1.822 (0.02567)	4
1.807 (0.04974)	1.808 (0.05034)	4	1.814 (0.02827)	1.815 (0.02790)	4	1.822 (0.02660)	1.823 (0.02623)	4
1.808 (0.05120)	1.809 (0.05180)	4	1.815 (0.02884)	1.816 (0.02847)	4	1.823 (0.02716)	1.824 (0.02679)	4
1.809 (0.05266)	1.810 (0.05326)	4	1.816 (0.02941)	1.817 (0.02904)	4	1.824 (0.02772)	1.825 (0.02735)	4
1.810 (0.05412)	1.811 (0.05472)	4	1.817 (0.02998)	1.818 (0.02961)	4	1.825 (0.02828)	1.826 (0.02791)	4
1.811 (0.05558)	1.812 (0.05618)	4	1.818 (0.03055)	1.819 (0.03018)	4	1.826 (0.02884)	1.827 (0.02847)	4
1.812 (0.05704)	1.813 (0.05764)	4	1.819 (0.03112)	1.820 (0.03075)	4	1.827 (0.02940)	1.828 (0.02903)	4
1.813 (0.05850)	1.814 (0.05910)	4	1.820 (0.03169)	1.821 (0.03132)	4	1.828 (0.02996)	1.829 (0.02959)	4
1.814 (0.05996)	1.815 (0.06056)	4	1.821 (0.03226)	1.822 (0.03189)	4	1.829 (0.03052)	1.830 (0.03015)	4
1.815 (0.06142)	1.816 (0.06202)	4	1.822 (0.03283)	1.823 (0.03246)	4	1.830 (0.03108)	1.831 (0.03071)	4
1.816 (0.06288)	1.817 (0.06348)	4	1.823 (0.03340)	1.824 (0.03303)	4	1.831 (0.03164)	1.832 (0.03127)	4
1.817 (0.06434)	1.818 (0.06494)	4	1.824 (0.03397)	1.825 (0.03360)	4	1.832 (0.03220)	1.833 (0.03183)	4
1.818 (0.06580)	1.819 (0.06640)	4	1.825 (0.03454)	1.826 (0.03417)	4	1.833 (0.03276)	1.834 (0.03239)	4
1.819 (0.06726)	1.820 (0.06786)	4	1.826 (0.03511)	1.827 (0.03474)	4	1.834 (0.03332)	1.835 (0.03295)	4
1.820 (0.06872)	1.821 (0.06932)	4	1.827 (0.03568)	1.828 (0.03531)	4	1.835 (0.03388)	1.836 (0.03351)	4
1.821 (0.07018)	1.822 (0.07078)	4	1.828 (0.03625)	1.829 (0.03588)	4	1.836 (0.03444)	1.837 (0.03407)	4
1.822 (0.07164)	1.823 (0.07224)	4	1.829 (0.03682)	1.830 (0.03645)	4	1.837 (0.03500)	1.838 (0.03463)	4
1.823 (0.07310)	1.824 (0.07370)	4	1.830 (0.03739)	1.831 (0.03702)	4	1.838 (0.03556)	1.839 (0.03519)	4
1.824 (0.07456)	1.825 (0.07516)	4	1.831 (0.03796)	1.832 (0.03759)	4	1.839 (0.03612)	1.840 (0.03575)	4
1.825 (0.07602)	1.826 (0.07662)	4	1.832 (0.03853)	1.833 (0.03816)	4	1.840 (0.03668)	1.841 (0.03631)	4
1.826 (0.07748)	1.827 (0.07808)	4	1.833 (0.03910)	1.834 (0.03873)	4	1.841 (0.03724)	1.842 (0.03687)	4
1.827 (0.07894)	1.828 (0.07954)	4	1.834 (0.03967)	1.835 (0.03930)	4	1.842 (0.03780)	1.843 (0.03743)	4
1.828 (0.08040)	1.829 (0.08100)	4	1.835 (0.04024)	1.836 (0.03987)	4	1.843 (0.03836)	1.844 (0.03799)	4
1.829 (0.08186)	1.830 (0.08246)	4	1.836 (0.04081)	1.837 (0.04044)	4	1.844 (0.03892)	1.845 (0.03855)	4
1.830 (0.08332)	1.831 (0.08392)	4	1.837 (0.04138)	1.838 (0.04101)	4	1.845 (0.03948)	1.846 (0.03911)	4
1.831 (0.08478)	1.832 (0.08538)	4	1.838 (0.04195)	1.839 (0.04158)	4	1.846 (0.04004)	1.847 (0.03967)	4
1.832 (0.08624)	1.833 (0.08684)	4	1.839 (0.04252)	1.840 (0.04215)	4	1.847 (0.04060)	1.848 (0.04023)	4
1.833 (0.08770)	1.834 (0.08830)	4	1.840 (0.04309)	1.841 (0.04272)	4	1.848 (0.04116)	1.849 (0.04079)	4
1.834 (0.08916)	1.835 (0.08976)	4	1.841 (0.04366)	1.842 (0.04329)	4	1.849 (0.04172)	1.850 (0.04135)	4
1.835 (0.09062)	1.836 (0.09122)	4	1.842 (0.04423)	1.843 (0.04386)	4	1.850 (0.04228)	1.851 (0.04191)	4
1.836 (0.09208)	1.837 (0.09268)	4	1.843 (0.04480)	1.844 (0.04443)	4	1.851 (0.04284)	1.852 (0.04247)	4
1.837 (0.09354)	1.838 (0.09414)	4	1.844 (0.04537)	1.845 (0.04500)	4	1.852 (0.04340)	1.853 (0.04303)	4
1.838 (0.09500)	1.839 (0.09560)	4	1.845 (0.04594)	1.846 (0.04557)	4	1.853 (0.04396)	1.854 (0.04359)	4
1.839 (0.09646)	1.840 (0.09706)	4	1.846 (0.04651)	1.847 (0.04614)	4	1.854 (0.04452)	1.855 (0.04415)	4
1.840 (0.09792)	1.841 (0.09852)	4	1.847 (0.04708)	1.848 (0.04671)	4	1.855 (0.04508)	1.856 (0.04471)	4
1.841 (0.09938)	1.842 (0.09998)	4	1.848 (0.04765)	1.849 (0.04728)	4	1.856 (0.04564)	1.857 (0.04527)	4
1.842 (0.10084)	1.843 (0.10144)	4	1.849 (0.04822)	1.850 (0.04785)	4	1.857 (0.04620)	1.858 (0.04583)	4
1.843 (0.10230)	1.844 (0.10290)	4	1.850 (0.04879)	1.851 (0.04842)	4	1.858 (0.04676)	1.859 (0.04639)	4
1.844 (0.10376)	1.845 (0.10436)	4	1.851 (0.04936)	1.852 (0.04899)	4	1.859 (0.04732)	1.860 (0.04695)	4
1.845 (0.10522)	1.846 (0.10582)	4	1.852 (0.04993)	1.853 (0.04956)	4	1.860 (0.04788)	1.861 (0.04751)	4
1.846 (0.10668)	1.847 (0.10728)	4	1.853 (0.05050)	1.854 (0.05013)	4	1.861 (0.04844)	1.862 (0.04807)	4
1.847 (0.10814)	1.848 (0.10874)	4	1.854 (0.05107)	1.855 (0.05070)	4	1.862 (0.04900)	1.863 (0.04863)	4
1.848 (0.10960)	1.849 (0.11020)	4	1.855 (0.05164)	1.856 (0.05127)	4	1.863 (0.04956)	1.864 (0.04919)	4
1.849 (0.11106)	1.850 (0.11166)	4	1.856 (0.05221)	1.857 (0.05184)	4	1.864 (0.05012)	1.865 (0.04975)	4
1.850 (0.11252)	1.851 (0.11312)	4	1.857 (0.05278)	1.858 (0.05241)	4	1.865 (0.05068)	1.866 (0.05031)	4
1.851 (0.11398)	1.852 (0.11458)	4	1.858 (0.05335)	1.859 (0.05298)	4	1.866 (0.05124)	1.867 (0.05087)	4
1.852 (0.11544)	1.853 (0.11604)	4	1.859 (0.05392)	1.860 (0.05355)	4	1.867 (0.05180)	1.868 (0.05143)	4
1.853 (0.11690)	1.854 (0.11750)	4	1.860 (0.05449)	1.861 (0.05412)	4	1.868 (0.05236)	1.869 (0.05199)	4
1.854 (0.11836)	1.855 (0.11896)	4	1.861 (0.05506)	1.862 (0.05469)	4	1.869 (0.05292)	1.870 (0.05255)	4
1.855 (0.11982)	1.856 (0.12042)	4	1.862 (0.05563)	1.863 (0.05526)	4	1.870 (0.05348)	1.871 (0.05311)	4
1.856 (0.12128)	1.857 (0.12188)	4	1.863 (0.05620)	1.864 (0.05583)	4	1.871 (0.05404)	1.872 (0.05367)	4
1.857 (0.12274)	1.858 (0.12334)	4	1.864 (0.05677)	1.865 (0.05640)	4	1.872 (0.05460)	1.873 (0.05423)	4
1.858 (0.12420)	1.859 (0.12480)	4	1.865 (0.05734)	1.866 (0.05697)	4	1.873 (0.05516)	1.874 (0.05479)	4
1.859 (0.12566)	1.860 (0.12626)	4	1.866 (0.05791)	1.867 (0.05754)	4	1.874 (0.05572)	1.875 (0.05535)	4
1.860 (0.12712)	1.861 (0.12772)	4	1.867 (0.05848)	1.868 (0.05811)	4	1.875 (0.05628)	1.876 (0.05591)	4
1.861 (0.12858)	1.862 (0.12918)	4	1.868 (0.05905)	1.869 (0.05868)	4	1.876 (0.05684)	1.877 (0.05647)	4
1.862 (0.13004)	1.863 (0.13064)	4	1.869 (0.05962)	1.870 (0.05925)	4	1.877 (0.05740)	1.878 (0.05703)	4
1.863 (0.13150)	1.864 (0.13210)	4	1.870 (0.06019)	1.871 (0.05982)	4	1.878 (0.05796)	1.879 (0.05759)	4
1.864 (0.13296)	1.865 (0.13356)	4	1.871 (0.06076)	1.872 (0.06039)	4	1.879 (0.05852)	1.880 (0.05815)	4
1.865 (0.13442)	1.866 (0.13502)	4	1.872 (0.06133)	1.873 (0.06096)	4	1.880 (0.05908)	1.881 (0.05871)	4
1.866 (0.13588)	1.867 (0.13648)	4	1.873 (0.06190)	1.874 (0.06153)	4	1.881 (0.05964)	1.882 (0.05927)	4
1.867 (0.13734)	1.868 (0.13794)	4	1.874 (0.06247)	1.875 (0.06210)	4	1.882 (0.06020)	1.883 (0.05983)	4
1.868 (0.13880)	1.869 (0.13940)	4	1.875 (0.06304)	1.876 (0.06267)	4	1.883 (0.06076)	1.884 (0.06039)	4
1.869 (0.14026)	1.870 (0.14086)	4	1.876 (0.06361)	1.877 (0.06324)	4	1.884 (0.06132)	1.885 (0.06095)	4
1.870 (0.14172)	1.871 (0.14232)	4	1.877 (0.06418)	1.878 (0.06381)	4	1.885 (0.06188)	1.886 (0.06151)	4
1.871 (0.14318)	1.872 (0.14378)	4	1.878 (0.06475)	1.879 (0.06438)	4	1.886 (0.06244)	1.887 (0.06207)	4
1.872 (0.14464)	1.873 (0.14524)	4	1.879 (0.06532)	1.880 (0.06495)	4	1.887 (0.06300)	1.888 (0.06263)	4
1.873 (0.14610)	1.874 (0.14670)	4	1.880 (0.06589)	1.881 (0.06552)	4	1.888 (0.06356)	1.889 (0.06319)	4
1.874 (0.14756)	1.875 (0.14816)	4	1.881 (0.06646)	1.882 (0.06609)	4	1.889 (0.06412)	1.890 (0.06375)	

A.	B.	n.	A.	B.	n.	A.	B.	n.
1.822 0-01809	1	1.853 0-01221	1	1.880 0-01140	1	1.907 0-01060	1	1
1.823 0-01806	1	1.853 0-01215	1	1.880 0-01137	1	1.907 0-01057	1	1
1.824 0-01803	1	1.854 0-01211	1	1.881 0-01132	1	1.908 0-01054	1	1
1.825 0-01800	1	1.855 0-01211	1	1.882 0-01128	1	1.909 0-01051	1	1
1.826 0-01797	1	1.856 0-01210	1	1.882 0-01125	1	1.910 0-01048	1	1
1.827 0-01794	1	1.857 0-01207	1	1.883 0-01122	1	1.911 0-01045	1	1
1.828 0-01791	1	1.858 0-01205	1	1.884 0-01119	1	1.912 0-01042	1	1
1.829 0-01788	1	1.859 0-01202	1	1.885 0-01116	1	1.913 0-01039	1	1
1.830 0-01785	1	1.860 0-01199	1	1.886 0-01113	1	1.914 0-01036	1	1
1.831 0-01783	1	1.861 0-01196	1	1.887 0-01110	1	1.915 0-01033	1	1
1.832 0-01779	1	1.862 0-01194	1	1.888 0-01107	1	1.916 0-01030	1	1
1.833 0-01776	1	1.863 0-01191	1	1.889 0-01104	1	1.917 0-01027	1	1
1.834 0-01773	1	1.864 0-01188	1	1.890 0-01101	1	1.918 0-01024	1	1
1.835 0-01770	1	1.865 0-01185	1	1.891 0-01098	1	1.919 0-01021	1	1
1.836 0-01767	1	1.866 0-01183	1	1.892 0-01095	1	1.920 0-01018	1	1
1.837 0-01764	1	1.867 0-01180	1	1.893 0-01092	1	1.921 0-01015	1	1
1.838 0-01761	1	1.868 0-01177	1	1.894 0-01089	1	1.922 0-01012	1	1
1.839 0-01758	1	1.869 0-01174	1	1.895 0-01086	1	1.923 0-01009	1	1
1.840 0-01755	1	1.870 0-01171	1	1.896 0-01083	1	1.924 0-01006	1	1
1.841 0-01752	1	1.871 0-01168	1	1.897 0-01080	1	1.925 0-01003	1	1
1.842 0-01750	1	1.872 0-01164	1	1.898 0-01077	1	1.926 0-01000	1	1
1.843 0-01747	1	1.873 0-01161	1	1.899 0-01074	1	1.927 0-00997	1	1
1.844 0-01744	1	1.874 0-01158	1	1.900 0-01071	1	1.928 0-00994	1	1
1.845 0-01741	1	1.875 0-01155	1	1.901 0-01068	1	1.929 0-00991	1	1
1.846 0-01738	1	1.876 0-01152	1	1.902 0-01065	1	1.930 0-00988	1	1
1.847 0-01736	1	1.877 0-01150	1	1.903 0-01062	1	1.931 0-00985	1	1
1.848 0-01733	1	1.878 0-01146	1	1.904 0-01059	1	1.932 0-00982	1	1
1.849 0-01730	1	1.879 0-01143	1	1.905 0-01056	1	1.933 0-00979	1	1
1.850 0-01727	1	1.880 0-01140	1	1.906 0-01053	1	1.934 0-00976	1	1
1.851 0-01724	1	1.881 0-01137	1	1.907 0-01050	1	1.935 0-00973	1	1
1.852 0-01721	1	1.882 0-01134	1	1.908 0-01047	1	1.936 0-00970	1	1

A.	B.	A.	B.	A.	B.
1.912 (0.01994)	1	1.942 (0.00953)	1	1.972 (0.00959)	1
1.913 (0.01994)	2	1.943 (0.00950)	2	1.973 (0.00959)	2
1.914 (0.01995)	3	1.944 (0.00946)	3	1.974 (0.00957)	3
1.915 (0.01996)	4	1.945 (0.00941)	4	1.975 (0.00953)	4
1.916 (0.01994)	5	1.946 (0.00934)	5	1.976 (0.00948)	5
1.917 (0.01992)	6	1.947 (0.00924)	6	1.977 (0.00941)	6
1.918 (0.01989)	7	1.948 (0.00912)	7	1.978 (0.00934)	7
1.919 (0.01984)	8	1.949 (0.00897)	8	1.979 (0.00925)	8
1.920 (0.01974)	9	1.950 (0.00875)	9	1.980 (0.00910)	9
1.921 (0.01961)	10	1.951 (0.00857)	10	1.981 (0.00897)	10
1.922 (0.01946)	11	1.952 (0.00833)	11	1.982 (0.00885)	11
1.923 (0.01927)	12	1.953 (0.00808)	12	1.983 (0.00873)	12
1.924 (0.01905)	13	1.954 (0.00784)	13	1.984 (0.00861)	13
1.925 (0.01877)	14	1.955 (0.00763)	14	1.985 (0.00849)	14
1.926 (0.01853)	15	1.956 (0.00741)	15	1.986 (0.00837)	15
1.927 (0.01823)	16	1.957 (0.00716)	16	1.987 (0.00825)	16
1.928 (0.01788)	17	1.958 (0.00692)	17	1.988 (0.00813)	17
1.929 (0.01748)	18	1.959 (0.00665)	18	1.989 (0.00801)	18
1.930 (0.01703)	19	1.960 (0.00637)	19	1.990 (0.00789)	19
1.931 (0.01654)	20	1.961 (0.00607)	20	1.991 (0.00777)	20
1.932 (0.01600)	21	1.962 (0.00575)	21	1.992 (0.00765)	21
1.933 (0.01541)	22	1.963 (0.00541)	22	1.993 (0.00753)	22
1.934 (0.01478)	23	1.964 (0.00504)	23	1.994 (0.00741)	23
1.935 (0.01410)	24	1.965 (0.00465)	24	1.995 (0.00729)	24
1.936 (0.01337)	25	1.966 (0.00423)	25	1.996 (0.00717)	25
1.937 (0.01260)	26	1.967 (0.00378)	26	1.997 (0.00705)	26
1.938 (0.01178)	27	1.968 (0.00330)	27	1.998 (0.00693)	27
1.939 (0.01091)	28	1.969 (0.00279)	28	1.999 (0.00681)	28
1.940 (0.00999)	29	1.970 (0.00225)	29	2.000 (0.00669)	29
1.941 (0.00902)	30	1.971 (0.00169)	30	2.001 (0.00657)	30
1.942 (0.00800)	31	1.972 (0.00111)	31	2.002 (0.00645)	31

A.	B.	n.	A.	B.	n.	A.	B.	n.
2.59	0.00909	95	2.30	0.00435	10	2.60	0.00719	1
2.61	0.00949	19	2.31	0.00425	19	2.61	0.00713	1
2.62	0.00950	19	2.32	0.00410	19	2.62	0.00709	1
2.63	0.00911	19	2.33	0.00406	19	2.63	0.00704	1
2.64	0.00792	19	2.34	0.00397	17	2.64	0.00700	1
2.65	0.00774	17	2.35	0.00388	19	2.65	0.00694	1
2.66	0.00787	18	2.36	0.00379	19	2.66	0.00690	1
2.67	0.00739	17	2.37	0.00371	19	2.67	0.00686	1
2.68	0.00722	17	2.38	0.00362	19	2.68	0.00681	1
2.69	0.00706	16	2.39	0.00354	19	2.69	0.00677	1
2.70	0.00690	16	2.40	0.00346	19	2.70	0.00673	1
2.71	0.00674	15	2.41	0.00338	19	2.71	0.00669	1
2.72	0.00657	15	2.42	0.00330	19	2.72	0.00664	1
2.73	0.00644	15	2.43	0.00323	19	2.73	0.00660	1
2.74	0.00625	14	2.44	0.00315	19	2.74	0.00656	1
2.75	0.00615	14	2.45	0.00308	19	2.75	0.00651	1
2.76	0.00602	14	2.46	0.00301	17	2.76	0.00647	1
2.77	0.00587	13	2.47	0.00293	16	2.77	0.00643	1
2.78	0.00574	13	2.48	0.00286	17	2.78	0.00644	1
2.79	0.00561	13	2.49	0.00281	16	2.79	0.00641	1
2.80	0.00549	12	2.50	0.00275	15	2.80	0.00638	1
2.81	0.00536	13	2.51	0.00269	16	2.81	0.00635	1
2.82	0.00523	12	2.52	0.00262	15	2.82	0.00631	1
2.83	0.00511	12	2.53	0.00256	16	2.83	0.00627	1
2.84	0.00500	12	2.54	0.00251	16	2.84	0.00626	1
2.85	0.00488	11	2.55	0.00245	15	2.85	0.00623	1
2.86	0.00477	11	2.56	0.00239	15	2.86	0.00620	1
2.87	0.00466	11	2.57	0.00234	16	2.87	0.00617	1
2.88	0.00455	10	2.58	0.00228	15	2.88	0.00615	1
2.89	0.00445	10	2.59	0.00223	15	2.89	0.00612	1
2.90	0.00435	10	2.60	0.00218	15	2.90	0.00609	1

A.	R.	A.	R.	A.	R.	A.	R.
2.50	0.00109	3.20	0.00055	1	3.56	0.00027	0
2.51	0.00107	3.21	0.00054	1	3.51	0.00027	0
2.52	0.00104	3.22	0.00052	2	3.52	0.00026	0
2.53	0.00102	3.23	0.00051	1	3.53	0.00026	0
2.54	0.00100	3.24	0.00050	1	3.54	0.00025	0
3.05	0.00092	3.25	0.00049	1	3.55	0.00024	0
2.55	0.00090	3.26	0.00048	1	3.56	0.00021	0
2.57	0.00090	3.27	0.00047	1	3.57	0.00023	0
2.58	0.00091	3.28	0.00046	1	3.58	0.00023	0
2.59	0.00089	3.29	0.00045	1	3.59	0.00022	0
3.00	0.00087	3.30	0.00044	1	3.60	0.00022	0
3.01	0.00085	3.31	0.00043	1	3.7	0.00017	0
3.02	0.00083	3.32	0.00042	1	3.8	0.00014	0
3.03	0.00081	3.33	0.00041	1	3.9	0.00011	0
3.04	0.00079	3.34	0.00040	1	4.0	0.00009	0
3.05	0.00077	3.35	0.00039	1	4.1	0.00007	0
3.06	0.00076	3.36	0.00038	1	4.2	0.00005	0
3.07	0.00074	3.37	0.00037	1	4.3	0.00004	0
3.08	0.00072	3.38	0.00036	1	4.4	0.00003	0
3.09	0.00071	3.39	0.00035	1	4.5	0.00003	0
3.10	0.00069	3.40	0.00035	1	4.6	0.00002	0
3.11	0.00067	3.41	0.00034	1	4.7	0.00001	0
3.12	0.00066	3.42	0.00033	1	4.8	0.00001	0
3.13	0.00064	3.43	0.00032	0	4.9	0.00000	0
3.14	0.00063	3.44	0.00031	1	5.0	0.00000	0
3.15	0.00061	3.45	0.00031	1	5.1	0.00001	0
3.16	0.00060	3.46	0.00030	1	5.2	0.00000	0
3.17	0.00059	3.47	0.00029	0	5.3	0.00000	0
3.18	0.00057	3.48	0.00029	1	5.4	0.00000	0
3.19	0.00056	3.49	0.00028	1	5.5	0.00000	0
3.20	0.00055	3.50	0.00027	1			

ASTRONOMISCHE NACHRICHTEN.

N^o 164.

Resultate der Gradmessung in den Ostseeprovinzen Rußlands.

Von Herrn Hofrath und Ritter *Struve* Director der Sternwarte in Dorpat.

Vorwort.

Die Universität Dorpat veranstaltete mit allerhöchster Genehmigung die Ausführung der ersten Russischen Gradmessung, die von mir in den Jahren 1821 bis 1827 geleitet ward. Einige Nachrichten über diese Arbeit habe ich im Laufe derselben durch die astronomischen Nachrichten bekannt gemacht. Nach Vollendung der Gradmessung erschien ein vorläufiger Bericht über dieselbe, als Denkschrift der philosophischen Fakultät unserer Universität zur Feier ihres ersten Jubelfestes am 12. Dec. 1827, welche Schrift daher vorzugsweise für das nicht astronomische Publikum bestimmt war. Ich konnte damals die Arbeiten der Gradmessung in soweit geschlossen ansehen, als zu denselben Beobachtungen außerhalb der Dorpater Sternwarte erforderlich waren. Auf dieser hatte ich noch die Vergleichung der Messungen, mit welchen die Grundlinie gemessen war, mit der als Normalmaass dienenden Toise von *Fortin* auszuführen, so wie die Untersuchung der Ausdehnung dieser Stangen durch die Temperatur. Dies geschah im Laufe des Sommers 1828. Zugleich unternahm ich die endliche Berechnung der Gradmessung, wozu schon mannigfach vorbereitet war, wesentlich durch die Beihülfe des Herrn Collegienraths Professor *Pauker* in Mitau und des Herrn Flottlieutenants Baron von *Wrangell*, der die ganze Gradmessung mit mir ausgeführt hatte. Jetzt habe ich die Resultate der Rechnungen vor mir. Wenn nun zwar von unserer Universität die Herausgabe einer ausführlichen Beschreibung dieser Gradmessung veranstaltet wird, wozu die Unkosten schon von den hohen Obren bewilligt sind; so halte ich es doch für geeignet, in diesem Aufsatz dem wissenschaftlichen Publico die Hauptresultate vorzulegen. Wenn diese einmal in den Händen der Astronomen sind, kann ich mit desto größerer Muße die Herausgabe der Gradmessung betreiben, ohne durch sie in den astronomischen Arbeiten auf der Sternwarte, so wie in der Herausgabe der Beobachtungen der Sternwarte zu sehr beinträchtigt zu werden.

Ich freue mich bei dieser Gelegenheit dem astronomischen Publico die Nachricht mittheilen zu können, daß ein von

77 Bd.

mir eingegehrter Plan zur Fortsetzung der Gradmessung nach Norden die Bestätigung unseres erhabenen Monarchen erhalten hat, und unter meiner Leitung ausgeführt werden wird. Wenn die Natur keine unübersteigbare Hindernisse entgegenstellt: so soll die Dreiecksmessung so weit geführt werden, daß die Lappländische Gradmessung in die Russische aufgenommen wird.

Die Dreiecke der Gradmessung erstrecken sich nahezu in der Richtung des Dorpater Meridians von der Stadt Jacobstadt in Kurland bis zur Insel Hochland im Finnischen Meerbusen, und umfassen einen Meridianbogen von $3^{\circ} 32' 1''$, der durch den Parallelkreis von Dorpat in zwey Theile von $1^{\circ} 52' 7''$ und $1^{\circ} 42' 4''$ getheilt wird.

Der südliche Endpunkt der Gradmessung liegt auf einem freien Felde vor der Stadt Jacobstadt am südlichen Ufer des Dünastrams in einer Höhe von 41 Toisen über der Ostsee. Er ist durch ein Mauerwerk, in welches ein Bolzen eingelassen ist, bezeichnet. Die Umgegend ist sehr flach, und in ihr ist die Anhöhe Daborskahn, ein Dreieckspunkt, die erste bedeutende Erhebung des Bodens in einer Entfernung von über 7000 Toisen. Die Spitze des Daborskahn ist 40 Toisen über der Ebene vor Jacobstadt. Zwanzig Dreiecke verbinden Jacobstadt mit Dorpat, und liegen mit ihren Winkelpunkten auf den Anhöhen des Landes, mit Ausnahme zweyer Punkte, für welche Thürme gewählt werden mußten. Unter diesen Anhöhen erhebt sich der Gaiskahn (Lufberg) bis auf 160 Toisen über die Ostsee.

Der mittlere Hauptpunkt der Gradmessung ist die Sternwarte in Dorpat, auf der die Winkelmessung im Centro des Thurmes, wo jetzt der große Refractor von *Fraunhofer* aufgestellt ist, gemacht wurde. Auf diesen Punkt sind auch die astronomischen Beobachtungen bezogen. Die Schwelle der Sternwarte liegt 34 Toisen über der Ostsee am Rande eines Thales, worin der Embachfluß fließt, nahezu in gleicher Höhe mit der ganzen Umgegend, die in einer Entfernung mehrerer geographischen Meilen, nirgends Erhaben-

26

heiten über 20 Toisen darbietet. Zwey der früheren Dreyecke und zehn andere verbinden Dorpat mit dem Signal auf der Spitze von Mäggi-Pälis auf Hochland. Unter den Stationen sind 3 Thürme, die übrigen sind Auhöhen, von welchen die beyrn Gute Sall die beträchtlichste ist, und sich auf 86 Toisen über die Meeressfläche erhebt. Das letzte Dreyeck verbindet die Küste Estlands mit der Insel Hochland.

Der nördliche Endpunkt der Gradmessung ist der Standpunkt des Passagen-Instrumentes auf Hochland. Dieses war am westlichen Ende eines breiten von Osten nach Westen streichenden Thales dieser Felsen-Insel, in einer Höhe von 17 Toisen über der See aufgestellt. Eine Felswand von kaum 13 Toisen Höhe schließt das Thal nach Westen. In einer Richtung von Nordwest und Südost erhebt sich der Fels allmählich, und erreicht in ersterer in einer Entfernung von 540 Toisen da vor der Leuchthurm liegt, die Höhe von 59 Toisen über dem Meere, in der entgegengesetzten Richtung in der Entfernung von 693 Toisen steigt der Mäggi-Pälis bis auf 70 Toisen. Diese gleichmäßige Vertheilung der Felsmassen der Insel in der Richtung des Meridians zunächst um den Endpunkt, so wie die nicht bedeutende Höhe derselben, läßt keine irgend erhebliche Einwirkung dieser Massen auf die Richtung der Verticalen vermutheu. Die übrigen Hauptfelsen der Insel durch Thäler getrennt, liegen weiter nach Süden, und nur die Südspitze erhebt sich in einer Entfernung von nahezu einer geographischen Meile bis auf 85 Toisen über der Meeressfläche.

Neun und zwanzig Hauptdreyecke verbinden Kreuzburg am nördlichen Düna-Ufer mit dem Mäggi-Pälis auf Hochland. Ein kleines Dreyeck bringt Jacobstadt in Verbindung. Eine Hilfs-Triangulirung vereinigt das Signal auf dem Mäggi-Pälis mit der Mitte zwischen den gemauerten Pfeilern des Passagen-Instrumentes, und mit bleibenden Punkten auf der Insel, namentlich dem Leuchthurm und dem Glockenthurm.

Die Grundlinie ward in der Nähe der Kirche St. Simons in Estland gemessen. Zwey Mauerwerke, welche Granitblöcke einschließen, in welche metallne Bolzen eingelassen sind, bezeichnen die Endpunkte der Grundlinie neben dem Dorfe Katko und der Windmühle des Gutes Woißfer. Die Höhe des Endpunktes bey Katko ist 53,84 Toisen, die des von Woißfer 56,85 Toisen über der Meeressfläche. Mit der mittleren Höhe 55,345 Toisen ward die gemessene Basis auf die Meeressfläche reducirt. Die gemessene horizontale Distanz der Endpunkte war 2315,1730 Toisen, also 2315,1338 Toisen auf die Meeressfläche reducirt. Hierbey ist die von Fortin in Paris gearbeitete Toise, die mit einem Certificate von Arago versehen ist, bey $+13$ Grad Reaumur als richtig

angesehen worden. Die Messung der Basis geschah mit einem Apparate eigenthümlicher Construction, der in Dorpat angefertigt worden ist. Er besteht aus eisernen Stangen, die an dem einen Ende verstellt und abgedreht, am andern mit einem einfachen Fühlhebel versehen sind, der über eine Theilung läuft. Die Länge der Stange ist zwey Toisen. Eine Eintheilung des Fühlhebels entspricht nahezu $\frac{1}{2}$ Linie. Die Ableitung geht ohne Vernier bis auf $\frac{1}{20}$ Theil, nahezu $= \frac{1}{100}$ Linie, oder etwa $\frac{1}{100000}$ der Länge. Ein eigner Maßvergleicher, mit einem der Mikroskope von Fortin versehen, welches zur Untersuchung der Theilung des Meridiankreises gedient halten, und mit einem Fühlhebel ausgerüstet, dient zur Vergleichung der Meßstangen mit der Toise. Eine Hilfstoise nach Art der Meßstangen mit einem Fühlhebel ward nemlich zuerst mit der Toise des Fortin verglichen, dann die Meßstangen mit der Summe beyder Toisen. Ein Umgang der Schraube des Fortinschen Mikroskopes entspricht 0,05 Linien, so daß die Theile der Schraube, deren 100 auf dem Kopfe angegeben sind, jeder $\frac{1}{200}$ Linie entsprechen. Der Umstand, daß die mittlere Temperatur der Basismessung $13^{\circ},12$ R. war, daß die Vergleichung der Fortinschen Toise mit der Hilfstoise und der Summe beider mit den Meßstangen bey $13^{\circ},20$ und $13^{\circ},31$ R. gemacht sind, macht die Länge der Basis fast unabhängig von der Ausdehnung des Metalls. Alle Ablesungen bey der Basismessung selbst, sowohl der Fühlhebel als der Neigungen der Stangen und der Temperaturen geschahen von mir und Wrangell getrennt, und wurden in zwey verschiedene Tagebücher eingetragen. Nach jedem der Bücher ist die Länge der Basis getrennt berechnet, und beyde Längen stimmen auf 0,00107 Toisen, oder innerhalb $\frac{1}{100000}$ der Länge. Indes ist nur eine Basis, und diese nur einmal, gemessen. Um daher sicher zu gehen, daß kein Versehen vorgefallen, ward die Basis in 2 Theile getheilt, $A = 1072,8605$ und $B = 1242,2733$ Toisen nach allen Reductionen, und diese unter sich durch eine trigonometrische Operation verbunden. Der Werth von A aus B vermittelt zwey Dreyecke geschlossen $= 1072,8715$ Toisen, ist nur 0,011 Toisen größer als der gemessene. Diese Uebereinstimmung ist so genau, als die ungünstige Form der Dreyecke erwarten ließe; da die den Theilen A und B gegenüberliegenden Winkel nur $15^{\circ} 45'$ und $19^{\circ} 5'$ betragen. Die von mir gemessene Grundlinie ist, wenn man sie mit den bey ähnlichen Messungen vergleicht, kurz. Bey der Genauigkeit der Winkelmessung sehen es mir aber vortheilhaft von einer kürzeren sehr sorgfältig gemessenen Standlinie durch zweckmäßige Dreyecke allmählig zu einer größeren Seite aufzusteigen. Drey Dreyecke verbinden daher die Basis mit der Hauptdreyeckseite Ebbafer bis Tammick, deren Länge 7303 Toisen beträgt.

Alle Winkel der Hauptdreyecke wurden mit dem Universal-Instrument von *Reichenbach* gemessen, dessen Horizontalkreis 14 Zoll Durchmesser hat. Das Instrument war jedesmal unter einem Zelte aufgestellt, und blieb so, bis die Arbeit auf jeder Station vollendet war. Das Zeit war genügend genau, um im Fall des Bedarfs als Wohnung dienen zu können, und hatte eine bequeme Einrichtung, um Durchsicht nach jeder Richtung zu gewähren. Da das Zeit immer neben dem Signale aufgeschlagen ward, so konnte das Instrument nie im Centro des Signals stehen. Die erforderlichen Entfernungen und Richtungen wurden mit so großer Sorgfalt gemessen, daß die Reduction aus Centrum keine Fehler verursacht haben kann. Als Signale dienten Pyramiden von sehr solidem Zimmerwerk, aus welchem ein senkrechter Visirbalken hervorragte von 6 Fuß Höhe und 10 Zoll Durchmesser. Dieser Balken war schwarz angestrichen, und erschien in den grünen Dreyecken unter einer Breite kleiner als zwey Skandern. Selbst in Entfernungen wo der scheinbare Durchmesser des Balkens kaum 1" betrug, ward er noch gegen den Himmel deutlich erkannt. Seiner Farbe und seiner Stellung wegen konnte er auch bey Sonnenschein keine Platte darbieten. Indessen ward bey Sonnenschein in den großen Dreyecken vorzugsweise das Heliotrop angewandt. Auf die Stellung der Axe des Visirbalkens gegen den als Centrum des Signals angesehenen Punkt, ward Rücksicht genommen. Bey den wenigen Thürmen, die angewandt wurden, ist die Projection der als Zielpunkt gebrauchten Spitzen aus sorgfältigste ausgeführt, und so jeder Winkel nach mehrfacher Reduction erst richtig erhalten.

Was die Beobachtungsmethode betrifft, so gab ich das Princip der gewöhnlichen Repetition der Winkel auf, und bestimmte den Ort eines jeden Visirpunktes auf dem Limbuskreise bey unverrücktem Index-Kreise, woraus sich die Winkelabstände zwischen allen Visirpunkten durch die Differenzen der Oerter, d. h. der Ablesungen ergaben. Um theils den Einfluß der Beobachtungsfehler zu vermindern, theils etwaigke Theilungsfehler aufzuheben, ward für dieselbe Richtung von 5, späterhin von 6 im Quadranten harmonisch liegenden Theilstrichen ausgegangen, oder in 5 oder 6 Sätzen beobachtet. Gefreut hat es mich zu sehen, daß eine ähnliche Methode der Winkelbeobachtung auch von *Gauß* bey der Hannoverschen Gradmessung angewandt worden, verglicke *Gauß*'s supplementum theoriae combinationis p. 32. Ausführlicher habe ich über diese Beobachtungsmethode, wo wie über die Genauigkeit des Universal-Instrumentes in den astronomischen Nachrichten Vol. II Nr. 47 u. 48 gehandelt. Ich bemerke hier das alle Winkelmessungen nach 1823 mit dem in Bezug auf die Hemmung so veränderten Instru-

mente, wie dastelbt Seite 360 angegeben ist, ausgeführt sind, wodurch wesentlich an Leichtigkeit der Messung gewonnen ward.

Die Hülfsdreyecke in Hochland wurden mit einem stoligen astronomischen Theodoliten von *Etal* gemessen, welcher nach derselben Methode wie das Universal-Instrument angewandt ward. Er ist durch die Vernire in 10" getheilt, nach gehöriger Uehung liest man an jedem derselben aber 2" ab.

Erst nach gütlicher Vollendung der Dreyecksmessung gieng ich an die Berechnung der Dreiecke, wozu zuerst die Reduction aller Winkel aus Centrum, so wie die Correctionen derselben wegen der Abweichung der Visirpunkte von den Mittelpunkten der Signale erforderlich war, so daß ich erst jetzt aus der Uebereinstimmung der Summe der drey Winkel mit 180° + Excess eine Uebersicht der Genauigkeit der Messung a posteriori erhielt. Ich stelle hier die nach der definitiven Reduction erhaltenen Fehler $F = S - (180^\circ + \text{Excess})$, wo S die Summe der drey Winkel bedeutet, aller mit dem Universal-Instrumente gemessenen Dreyecke zusammen.

Dreyeck.	F.	Dreyeck.	F.	Dreyeck.	F.
1	— 0,50	13	— 0,03	23	— 1,03
2	+ 1,36	14	+ 0,15	24	+ 1,15
3	+ 0,50	15	— 1,82	25	+ 1,43
4	— 0,45	16	— 2,81	26	+ 0,28
5	— 0,46	17	+ 1,03	27	— 1,40
6	— 0,22	18	+ 0,13	28	+ 0,16
7	+ 0,46	19	— 0,18	29	+ 0,26
8	+ 0,15	20	— 1,09	30	+ 0,35
10	+ 0,33	21	+ 0,55	31	+ 0,19
11	+ 0,61	22	+ 1,15	32	— 2,18
12	+ 0,51				

Die Dreyecke sind hier geordnet, wie sie von der Basis an folgen, bis zum 8ten nach Norden, dann vom 10ten nach Süden. Im 9ten Dreyeck zwischen Halljals, Hohenkreutz und Mäggi-Pälvis sind nur die zwey Winkel an den beyden letzten Orten vollständig beobachtet, d. h. in allen 6 Sätzen. Der dritte Winkel konnte trotz vieler verwandter Zeit und Mühe, nur in zwey Sätzen beobachtet werden, so daß die Winkel als ungleich genau angesehen werden müssen. F ward in diesem Dreyeck — 1",90 gefunden.

Die Summe der obigen positiven F ist 12",17, die der negativen 10",94; die Summe der $F^2 = 30,60$; und hieraus findet sich:

der mittl. Fehler eines Dreyecks 0,963; der wahrscheinl. 0,649 der mittl. Fehler eines Winkels 0,556; der wahrscheinl. 0,375.

Wenn man die aus den einzelnen Sätzen für jeden Winkel erhaltenen Werthe mit dem Mittel vergleicht, bekommt man eine neue Bestimmung der Genauigkeit der Messung. Diese

Untersuchung habe ich für alle Winkel obiger Dreyecke geföhrt, und als Endresultat erhalten:
den mittl. Fehler eines Winkels $0^{\circ},591$; den wahrscheinl. $0^{\circ},397$.

Beide Untersuchungen führen zu fast ganz genau gleichen mittleren Fehlern eines Winkels $0^{\circ},556$ und $0^{\circ},591$, und zeigen, daß im Mittel die wirklichen Fehler, die wir aus der Summe der drey Winkel erkannt haben, noch etwas kleiner sind, als die aus den Vergleichen der verschiedenen Messungen eines Winkels folgerten; eine merkwürdige Uebereinstimmung, welche anzudeuten scheint, daß außer den zufälligen Beobachtungsfehlern gar keine Ursachen constant nachtheilig auf die Bestimmung der Winkel gewirkt haben. Eine genauere Untersuchung wird uns hier zu einer merkwürdigen Wahrheit führen.

Die Dreyecke der Gradmessung sind von sehr verschiedener Größe, und nördlich von Dorpat finden sich außer den 3 Dreyecken an der Basis noch 7 verhältnißmäßig kleine, da die Beschaffenheit des Landes in den Flächen Erstlands keine größeren gestattete. Die kleinste zweyen Dreyecken gemeinschaftliche Seite beträgt hier 5398 Toisen. Auffallend ist es, daß in diesen kleinen Dreyecken sich entschieden die kleinern Fehler der Summe der drey Winkel $= F$ zeigen, das heißt in den Dreyecken, wo die Gesichtslinien kürzer, der Umfang also der kleinere ist. Die nachfolgende Uebersicht giebt die 31 Dreyecke nach dem Umfange geordnet, diese Umfänge als Vielfache von 10000 Toisen ausgedrückt, nebst den F .

Dreyeck.	Umfang.	P.	Dreyeck.	Umfang.	F.
1	1,003	+ 0,50	32	4,581	- 2,18
2	1,135	+ 1,36	12	4,820	+ 0,51
3	1,671	+ 0,50	17	4,857	+ 1,03
5	2,220	- 0,46	22	4,974	+ 1,15
4	2,225	- 0,45	28	5,016	+ 0,16
6	2,512	- 0,22	24	5,038	+ 1,15
10	2,631	+ 0,33	15	5,113	- 1,82
7	2,902	+ 0,46	18	5,156	+ 0,13
8	3,009	+ 0,15	13	5,228	- 0,03
11	3,056	+ 0,61	26	5,704	+ 0,28
20	3,214	- 1,09	25	5,797	+ 1,43
21	3,387	+ 0,55	27	5,882	- 1,40
30	4,096	+ 0,55	14	6,238	+ 0,14
19	4,108	- 0,18	23	6,607	- 1,03
31	4,334	+ 0,19	16	6,616	- 2,81
29	4,528	+ 0,26			

Betrachtet man nun die ersten 15 Dreyecke für sich und dann die letzten 16, so erhält man als Summen der F^2 die Zahlen 5,39 und 25,21, und hiemit wird:

aus den 15 kleinern Dreyecken	der mittl. Fehler ein. Dr.	$0^{\circ},599$
	der wahrscheinliche	0,404
aus den 16 größern Dreyecken	der mittlere Fehler	1,255
	der wahrscheinliche	0,847

Es scheint hiernach keinem Zweifel unterworfen zu seyn, daß man bey gleicher Sorgfalt eine größere Genauigkeit in kleinen Dreyecken erreicht, als in größern. Daß hieran nicht der Mangel an deutlichem Sehen in größeren Entfernungen die Ursache sey, ergiebt sich daraus, daß diese grade bey den größern Dreyecken durch den Gebrauch der Heliotrope aufgehoben ward. Fehlerhafte Beleuchtung, Ungenauigkeiten in den Contrirungen, müßten grade bey den kleinern Dreyecken größere Fehler erzeugen. Indessen findet vielleicht für entferntere Gegenstände, auch wenn man nie anders als bey günstigen Umständen beobachtet, ein stärkeres Wallen statt. Wenn dies der Fall wäre, und dadurch die Sicherheit der einzelnen Visirungen geringer würde, so müßte aus der Vergleichung der zweyten Art, der Sätze desselben Winkels mit dem Mittel, ein größerer Fehler in den größern Dreyecken sich ergeben. Diese Untersuchung giebt

in den 15 kleineren Dreyecken den mittl. Fehler eines W.	0,554
den wahrscheinlichen	0,374
in den 16 größeren Dreyecken den mittl. Fehler eines W.	0,623
den wahrscheinlichen	0,420

Hier ist ein so kleiner Unterschied, daß er auf keinen Fall hinreicht, die obengedachten großen Differenzen zu erklären, sondern wir angewiesen sind, ob er für zufällig zu halten, oder für die Wirkung des etwas stärkern Wallens bey entfernteren Gegenständen.

Es bleibt also nichts übrig als anzunehmen, daß eine mit der Entfernung zunehmende Störung der Gesichtslinie statt findet, d. h. daß kleine Seiten-Refractionen vorhanden sind. Offenbar müssen Seiten-Refractionen, wenn sie überhaupt vorkommen, für größere Gesichtslinien in der Regel größer seyn. Am naturgemähesten scheint es die Seitenrefractionen der Quadratwurzel aus der Entfernung proportionirt zu setzen. Nimmt man dies an, und setzt man die

Seiten des Dreyecks $= D, D', D''$ und $\frac{D}{10000} = \delta$;

$\frac{D'}{10000} = \delta'; \frac{D''}{10000} = \delta''$, so wird der Ausdruck für den

Fehler eines Dreyecks von der Form

$$F^2 = 3\epsilon^2 + 2P(\delta + \delta' + \delta'')$$

$$= 3\epsilon^2 + A^2 \text{ seyn, wenn } A = 2(\delta + \delta' + \delta''),$$

l die Seitenrefraction für 10000 Toisen Entfernung, ϵ der Fehler eines Winkels von den zufälligen Fehlerquellen abhängig. Eine Vergleichung aller oben gefundenen F mit diesem Ausdrucke führt nach der Methode der kleinsten Quadrate zur Kenntniß des mittleren Werthes von ϵ und von l der Lateralrefraction für 10000 Toisen Distanz. Ich habe nach dieser Methode $P = 0,1865$, oder $l = 0^{\circ},432$

gefunden; aber für e^2 den Werth $-0,1840$, also einen unmöglichen Werth für e erhalten, da ohne Zweifel e einen möglichen Werth haben muß. Die Hypothese, daß die Seitenrefraction den Quadratwurzeln aus der Distanz proportional sey, läßt sich also nicht mit den Beobachtungen vereinigen.

Ich setze daher die Seitenrefraction der Entfernung selbst proportional, dann ergibt sich für F der Ausdruck

$$F^2 = 3e^2 + 2F^2(\delta^2 + \delta'^2 + \delta''^2) \\ = 3e^2 + AF^2, \text{ wo } A = 2(\delta^2 + \delta'^2 + \delta''^2)$$

die Vergleichung dieser Formel mit den 31 beobachteten F giebt $F^2 = 0,0618$, $l = 0''/249$; und $e^2 = 0,0460$ also $e = 0''/215$. Hieraus wäre der mittlere Fehler eines Winkels, dessen Objecte in Entfernungen D und D' Toisen sind:

$$e = \sqrt{\left(0,215^2 + 0,249^2 \cdot \frac{D^2 + D'^2}{10000}\right)''}$$

Der von den zufälligen Fehlern der Beobachtungen und Theilung abhängige mittlere Fehler eines Winkels wäre hiernach $0''/215$. Dieser ist aber oben $= 0,591$ gefunden. Aber er mußte oben entschieden zu groß gefunden werden, weil ein Theil der Unterschiede unter den Werthen eines Winkels in den verschiedenen Sätzen von regelmäßigen Theilungsfehlern abhängig ist, die sich ja grade durch die Beobachtung auf harmonisch vertheilten Bogen gegenseitig größtentheils aufheben müssen. Und so müßte grade in dem Unterschiede der beyden Werthe von e eine Bestätigung unserer Untersuchung enthalten seyn, nach welcher

für Distanzen von:	der mittl. Werth der Seiten-Refraction:
1000 Toisen	$0,025$
10000	$0,249$
20000	$0,498$
40000	$0,995$

Es scheint sehr wünschenswerth zu seyn, daß dieser Gegenstand durch anderweitige Beobachtungen ferner erörtert werde, wozu freylich erforderlich ist, daß die Winkelmessung möglichst gleichförmig für alle Winkel durchgeführt werde. Eine unbestreitbare Folgerung dieser Untersuchung scheint mir aber schon die zu seyn, daß bey Dreyecksmessungen sehr große Dreyecke nicht die größte Sicherheit gewähren. Ich würde Dreyecke, deren Seiten 10000 Toisen oder etwas darüber groß sind, für die besten halten. Bey ihnen findet auch die Bequemlichkeit statt, daß man häufiger die für die Beobachtung nöthige Durchsichtigkeit der Luft findet, und ohne Beyhülfe künstlicher Mittel für's sichere Visiren, der Heliotrope n. s. w. beobachten kann.

Die Messung der Zenithdistanzen der Dreyeckspunkte geschah mit dem Höhenkreise des Universal-Instrumentes der

9 Zoll Durchmesser hat, und $4''$ an jedem Versäue anliegt. Auch hier verlief ich die Repetition, und erhielt dadurch den Vortheil in kurzer Zeit die Zenithdistanzen aller von einem Standpunkte aus sichtbaren Dreyeckspunkte für nahezu dasselbe Zeitmoment geltend zu bekommen. Nachdem nämlich in der einen Lage des Verticalkreises nach allen Objecten eingestellt und abgelesen war, wurde der Kreis gewandt und nach denselben Objecten in der entgegengesetzten Ordnung gezielt. So bekam ich für jedes Object zwey Orter auf dem Kreis, den einen mit dem Limbus rechts, den andern mit dem Limbus links. Der halbe Unterschied dieser Orter ist die Zenithdistanz des Objects, die halbe Summe ist der Ort des Zeniths, der also bey allen Objecten derselbe werden muß, und so eine leichte Prüfung der Richtigkeit der Messungen darbietet. Ich hielt es für überflüssig, von verschiedenen Theilpunkten bey diesen Beobachtungen auszugehen, da einerseits kein Theilungsfehler bey Zenithdistanzen, die nur wenige Minuten von 90° absteigen, zu befürchten sind, und zweytens die Unsicherheit in der Refraction doch bedeutend größer ist, als die der Beobachtung. Von den nördlichsten Dreyeckspunkten auf dem Festlande Estlands führte ich eine Hülfstriangulirung mit dem Theodoliten bis ans Ufer des Meerbusens. Auf der Brücke des Hafens von Kunda in einer Höhe von 1,6 Toisen über dem Meere stehend beobachtete ich die Zenithdistanzen der nächsten Hülfssignale, und konnte so alle Höhen auf die Meeresfläche des Finniichen Meerbusens beziehen.

Die Tageszeit der Beobachtung ist für indische Zenithdistanzen von großer Wichtigkeit, da die indische Strahlenbrechung eine tägliche Periode befolgt. Nach Sonnenaufgang ist sie groß, aber unregelmäßig. Gegen Sonnenuntergang nimmt sie regelmäßig zu. Ich machte mir daher die Vorschrift, die Zenithdistanzen indischer Objecte in Zeiten zu beobachten, die hinlänglich vom Aufgang und Untergang der Sonne entfernt sind, gewöhnlich des Nachmittags, ehe noch die größte Ruhe der Bilder eintritt, die zur Beobachtung der horizontalen Winkel erforderlich ist. Für diese Zeit habe ich aus den Beobachtungen der Gradmessung den mittleren Werth der indischen Strahlenbrechung, d. h. des Unterschiedes der Richtung des Strahls bey Objecten und bey'm Beobachter für die Sommermonate $= 0,123924$ des terrestrischen Bogens gefunden. Dies stimmt sehr nahe mit der Bestimmung von Gauss 0,1306 in dem Berliner Jahrbuche 1826 S. 91 überein. Mit der obigen Refraction stimmen die wechselseitigen Beobachtungen so überein, daß der wahrscheinliche Fehler einer Zenithdistanz $5''/20 \sqrt{\frac{D}{10000}}$ $= 0''/520 \sqrt{D}$ ist, wo D die Distanz in Toisen. Hiernach

wäre der wahrscheintliche Fehler eines Höhenunterschiedes aus einseitigen Zenithdistanzen $dh = 0,652 \sin 1'' D$;

woraus sich für: aus einseit. Zenithdist.: aus recipr. Zenithdist.:

$D = 5000$ Toisen	$dh = 0,09$ Toisen	$dh = 0,06$ T. findet
10000	0,25	$\approx 0,18$
20000	0,71	$\approx 0,50$
30000	1,31	$\approx 0,93$
40000	2,02	$\approx 1,43$

Der Vortheil der Sicherheit der Höhenbestimmung ist natürlich sehr groß auf Seiten kleiner Dreyecke. Dem Umstande, daß zwischen der Basis und dem Ufer des Finischen Meerbusens, welche Entfernung gegen 40000 Toisen beträgt, nur kleine Dreyecke liegen, nöthigte die große Sicherheit in der Bestimmung der Höhen der Endpunkte über dem Meere von 56,85 Toisen für Weibör und 53,84 Toisen für Nalko zuzuschreiben seyn, die ich fast auf einen Fuß genau halten muß.

Azimuthalbeobachtungen wurden in Dorpat, Jacobstadt und Hochland angestellt vermittelt des Polarsterns und des Universalinstrumentes. Die Methode der Beobachtung war, dieselbe wie bey terrestrischen Winkeln, und 6 Sätze gaben ein vollständiges Azimuth. Jeder Satz enthielt vier Einstellungen nach dem terrestrischen Objecte und vier nach dem Polarstern paarweise in den zwey verschiedenen Lagen der Horizontalaxe. Die wichtige Bestimmung der jedesmaligen Neigung der horizontalen Umdrehungsaxe ward so gemacht, daß die Wasserwaage während der Beobachtungen auf der Axe stehen blieb, und zwischen jeden zwey aufeinanderfolgenden Einstellungen nach dem Polarstern umgesetzt ward. Bey der Genauigkeit, mit welcher die Alt. und Decl. des Polarsterns bekannt sind, bey der Sicherheit, die mir meine Hilfsmittel an allen drei Orten für die Bestimmung der absoluten Sternzeit gewährten, schien es mir gleichgültig, auf welchem Punkte des Parallels ich den Polarstern beobachtete, und ich wählte für die Zeit der Azimuthalbeobachtungen die Nachmittagsstunden, wo Stern und irdischer Gegenstand beyde am besten gesehen wurden. In Dorpat gab mir das Meridianzeichen des *Reichenbachschen* Meridiankreises ein neues ganz unabhängiges Mittel zur Bestimmung des Azimuths des nächsten Signales Kerrel durch den am Universalinstrument gemessenen horizontalen Abstand dieser beyden Objecte. Ich erhielt hier folgende Resultate:

Azimuth des Kerrelschen Signals
vom Centrum des Thurns der
Sternwarte in Dorpat.

aus den Beobachtungen des Polarsterns	$337^{\circ} 36' 37,77''$
aus dem Meridianzeichen	$37,48$

Müel $337^{\circ} 36' 37,62''$

Diese Bestimmung ward im Jahre 1824 gemacht. Späterhin ist noch eine Reihe Azimuthalbeobachtungen gemacht, aber noch nicht reducirt worden. Die Vergleichung der in den einzelnen Sätzen erhaltenen Azimuth mit den Mitteln, würdigt die Sicherheit des Universalinstrumentes für Azimuthalbeobachtungen durch den Polarstern. Aus den Beobachtungen an allen drey Orten finde ich den wahrscheintlichen Fehler eines Azimuths für jeden Satz $1'',04$, für das Mittel aus 6 Sätzen also $0'',42$.

Als Hauptuhr für alle astronomischen Beobachtungen diente eine Pendeluhr von *Repsold* der kühnlich, welche seit geraumer Zeit als eine Zierde der Königsberger Sternwarte angesehen wird. Die andern Uhren wurden immer mit dieser Hauptuhr verglichen. Die Bestimmung der absoluten Sternzeit geschah durch die Beobachtung doppelter Zenithdistanzen zweyer Fundamentalsterne, die mit einem der 19zölligen Vertikalkreise von *Reichenbach* brobracht wurden, der eine in der Nähe des Ostverticals, der andere in der Nähe des Westverticals. Die Zeitbestimmung erhielt auf diese Weise eine höchst befriedigende Sicherheit, die durch den regelmäßigen Gang der *Repsold'schen* Uhr auf alle Beobachtungen sich übertrug. Nur einmal sahe ich mich veranlaßt, diese Methode der Zeitbestimmung zu verlassen, und durch Azimuthalunterschiede zwischen einem terrestrischen Abschen und Fundamentalsternen die absolute Zeit abzuleiten, welche Beobachtungen mit dem Universalinstrument angestellt wurden. Dies war in Hochland, wo ich auf der Felspitze von Mäggi-Päus auf das Universalinstrument und einen Chronometer von *Berthold* beschränkt war, indem eine Vergleichung mit der im Thale unter dem Hauptzelte aufgestellten *Repsold'schen* Uhr nicht leicht ausführbar war. Diese Methode der Zeitbestimmung scheint weniger benutzt zu seyn, als sie es verdient, und unter großen Polhöhen vor allen übrigen Arten der Anwendung des Universalinstrumentes für den Zweck der Zeitbestimmungen den Vorzug zu verdienen, indem sich mir der wahrscheintliche Fehler einer Zeitbestimmung aus 4maliger Beobachtung des Fundamentalsterns und des Abschens $\approx 0'',055$ in Zeit ergab, abgesehen von dem Einfluß eines Fehlers des Azimuths des Abschens auf die Zeitbestimmung. Aber dieser konnte nur sehr unbedeutend seyn, da des Abschens Azimuth durch Beobachtung des Polarsterns erhalten wurde. In Dorpat gaben die Beobachtungen der culminirenden Gestirne am Meridiankreise die absolute Zeit durch die Uhr von *Hubert* an, mit welcher die Uhr von *Repsold*, so wie die andern Uhren verglichen wurden.

Ich komme jetzt zum wichtigsten und schwierigsten Elemente einer Breiten-Gradmessung, den Polhöhen und

Amplituden, wozu die Beobachtungen in Jacobstadt und Hochland 1826, in Dorpat zum kleinen Theil 1825, größtentheils 1827 gemacht wurden. Eine vollständige Analyse der Arbeiten für diesen Zweck, würde in diesem Aufsatz zu weitläufig werden. Ich will hier nur die Endresultate mittheilen, zu deren Verständnis Folgendes vorausgeschickt werden mag.

Die Amplituden beruhen erstlich auf Beobachtungen am stifts. Passageninstrumente von *Dollond*, denselben an welchem die in den Obs. Dorp. Vol. I bis III enthaltenen Kollimationen beobachtet sind, indem es für die Gradmessung nach *Bessel*s Vorschlage durch die Aufstellung im ersten Verticale als Verticalsector gebraucht ward.

Wenn der Transport eines so großen Instrumentes und dessen Aufstellung mit Schwierigkeiten verknüpft war, so belohnen sich diese durch die Sicherheit der Beobachtungen. Des Instrumentes Lager wurden an Granitblöcke geschnitten, die auf Pfeilern von Mauerwerk ruhten. Die Neigung der 4 Fuß langen Axe ward durch eine sehr empfindliche Wasserwaage von *Franhofer*, auf welcher ein Theil 0^o6 war, beynahe bey jedem Durchgänge beobachtet. Das Instrument wurde von einem Tage zum andern umgelegt, nicht zwischen den beyden Durchgängen desselben Sterns. Ich beobachtete an allen drey Punkten die 3 großen Sterne γ , ζ und η in großen Bören, und finde nach der Reduction der Beobachtungen den wahrscheinlichen Fehler einer einmaligen Polhöhe, oder Zenithdistanz 0^o46. Die Beobachtungen in Dorpat allein geben diesen nur 6^o32, weil hier unter günstigeren Umständen beobachtet ward. Bey allen diesen Beobachtungen, wo der Gang der Uhr so wichtig ist, ward die Uhr von *Repsold* gebraucht.

Nächst dem Passagen-Instrumente wurden zwey 18zöllige Vertikalreise von *Reichenbach* und *Ertel* angewandt, der eine der Dorpater Sternwarte gehörig, der andre der Sternwarte des Gymnasii illustris zu Mitau. Letzterer kam grade an im Jahre 1826, und ward zuerst auf der Gradmessung angewandt. Dies verdankt die Gradmessung dem Umstande, daß Herr Professor *Pauker* aus Mitau während des Sommers 1826, an den Arbeiten derselben Theil nahm, und über ein Jahr sein kostbares Instrument entlehnte, damit auch 1827 in Dorpat mit denselben die correspondirenden Beobachtungen angestellt werden konnten. Der Dorpater Kreis hatte seine Hemmung an der Peripherie, die Wasserwaage am Centrum. Nach meinem Vorschlage war am Mitauer Kreise die Wasserwaage an die Peripherie gebracht, und die Hemmung ans Centrum. Beyde Kreise waren daher wesentlich verschieden, obgleich in den Dimensionen gleich, und jeder durch 4 Verniere in 4^o getheilt, während die

einzelne Sekunde geschätzt wurde. Bey allen Beobachtungen an diesen Kreisen ward nicht repelirt, sondern nur die doppelte Zenithdistanz gemessen, wobey in jeder Lage des Kreises zweymal eingestellt ward. Durch Verstellung des Limbus gegen die Wasserwaage ward in verschiedenen harmonisch liegenden Sitten beobachtet. Den wahrscheinlichen Fehler der Zenithdistanz aus einem einzelnen Satze von 4 Einstellungen habe ich für den Dorpater Kreis 0^o70, für den Mitauer 0^o61 aus meinen Beobachtungen gefunden.

An beyden Kreisen beobachtete ich einen Cyclus von Zenithdistanzen des Polarsterns und β Ursae min. in beyden Culminationen, am Dorpater Kreise außerdem noch α Coronae und den Polarstern um den Punkt seines Parallelkreises für 15^h 17^m Sternzeit, am Mitauer Kreise noch Arcturus. Diese Beobachtungen wurden gleichförmig an allen drey Orten angestellt. Hierzu kommt noch für Jacobstadt und Hochland eine Reihe von Zenithdistanzen des Polarsterns in beyden Culminationen von Herrn Professor *Pauker* beobachtet. Für beyde Vertikalreise ist von mir nach der von *Bessel* in den astronomischen Nachrichten Nr. 61 angegebenen Methode der Biegemcoefficient bestimmt worden, sowohl zu Anfang ihres Gebrauchs, als am Ende. Im Mittel aus allen Versuchen erhielt ich unter der Voraussetzung einer Correction der beobachteten Zenithdistanz z , die den Sinus derselben proportional ist für die richtige Zenithdistanz z' :

$$\text{Für den Dorpater Vertikalreis} \quad z' = z + 0^{\circ}42 \sin z \\ \text{Mitauer} \quad z' = z + 0^{\circ}09 \sin z$$

Diese beyden Formeln sind angewandt worden. Ihr Einfluß ist für die absoluten Polhöhen ein schon kleiner Bruch der Sekunde, und kaum ein paar Hunderttheile für die Amplituden.

Die Endresultate sind, wenn ich mit *D* die Polhöhe vom Centrum des Thurns der Dorpater Sternwarte, mit *I* die des südlichen Endpunktes der Gradmessung bey Jacobstadt, mit *H* die des nördlichen Endpunktes, dem Standpunkte des Passageninstrumentes in Hochland, bezeichne, folgende:

A m p l i t u d e n .

Aus den Beobd. der 3 Sterne γ, ζ, η des gr. Bören am Passageninstrumente	3 35 5,286	$D - I =$ 1 52 42,850	$H - D =$ 1 42 22,436
Aus dem Complex aller Beobachtungen an beyden Vertikalreisen:	5,240	42,700	22,540
Mittel	3 35 5,263	1 52 42,775	1 42 22,488

Um die absoluten Polhöhen zu erhalten ist es am sichersten für *I* und *H* dieselbe aus der von *D* durch die Amplituden abzuleiten.

Polhöhe der Dorpater Sternwarte, Ort des Meridiankreises.

Aus den Beobachtungen am Meridiankreise nach Anbringung der Correctionen für	Gew.
Biegung und Theilungsschüler . . . 58° 22' 47,225	2
Aus α und β Urae minoris am Dorpater Verticalkreise . . . 47,150	1
Aus denselben Sternen am Mittauer . . . 47,250	1
Aus γ und γ Urae mai. am Passageninstrument mit Bessel's Declinationen . . . 47,428	1
Mittel mit Rücks. auf die geschätzte Gew. 58° 22' 47,256	
Für den Ort des Meridiankreises.	
Reduction auf die Mitte des Thürmes + 0,160	
Für das Centrum des Thürmes $D = 58^{\circ} 22' 47,416$	

Hieraus ergibt sich mit den obigen Amplituden:

$$I = 56^{\circ} 30' 4,641$$

$$H = 60 \quad 5 \quad 9,904$$

Die Beobachtungen der beyden Polsterne an den beyden Verticalkreisen geben im Mittel:

$$I = 56^{\circ} 30' 4,714$$

$$H = 60 \quad 5 \quad 9,937$$

Die Berechnung der Werthe aller Dreyeckseiten aus der Basis ward mit Hülfe des Satzes von Legendre geführt, so zu derselbe auch zur Bestimmung der Abstände aller Dreyeckspunkte von Dorpat und des Azimuths dieser Bogen nach Bessel's Methode in den astron. Nachr. Nr. 3 benutzt. Zum Grunde legte ich das in Dorpat beobachtete Azimuth von Kersel. Das Resultat dieser Rechnung ist:

Abstand des südl. Endpunktes bey Jacobstadt vom Centro des Thürms der Sternwarte in Dorpat . . . = 110528,982 Toisen; $\alpha = 194^{\circ} 17' 37,73$
 Abstand des nördlichen Endpunktes, d. h. des Standes des Passageninstrumentes im Hochland von Dorpat (Centrum des Thürms) . . . 97793,159 Toisen; $\alpha = 4^{\circ} 2' 1,21$
 α ist hier das vom Nonpunkt durch Osten hindurch gerechnete Azimuth.

Hiermit erhält man:

Distanz der Parallelen.	Unterschied der Polhöhen.	Mittlere Polhöhen.
von I und H 204820,145 Toisen	0 5 5,263	58 17 37,723
von I und D 107281,648 Toisen	1 52 42,775	57 26 26,028
D und H 97538,497 Toisen	1 42 22,488	59 13 58,660

Dorpat im März 1829.

Hieraus ergibt sich der Werth eines Breitengrades: ausd. ganzen Bogen = 57135,800 T. für d. mittl. Poll. 58° 17' 37" aus d. Bogen südl.

von Dorpat . . . = 57108,809 T.	57 26 26
aus d. Bogen nördl. von Dorpat . . . = 57165,530 T.	59 13 59

Berechnet man aus den wahrscheinlichsten Dimensionen des Erdellipsoids nach Walbecks Abh. de forma et magnitudine telluris Aboue 1819 diese Werthe, so erhält man folgende Breitengrade:

Berechnet	Beobachtet.	Correction der Rechnung.
57136,078 Toisen	57135,800 Toisen	- 0,278 Toisen
57128,574	57108,809	- 19,765
57144,354	57165,530	+ 21,176

Hier ergibt sich das merkwürdige Resultat, daß der aus dem ganzen Bogen gefolgerte Werth eines Breitengrades fast genau in die Walbecksche Ellipse paßt, während die beyden Theilbogen nicht unbedeutend abweichende Resultate gewähren. Diese Abweichungen übersieht man deutlicher, wenn man die dem Abstand der Parallelen in der wahrscheinlichsten Ellipse entsprechenden Amplituden mit den beobachteten zusammenstellt:

Brech. Amplitude.	Berechnete nach Walbeck aus d. Abst. der Parall.	Corr. der Rechn.
$H - I$ 0 5 5,263	3 35 5,109	+ 0,064
$D - I$ 1 52 42,775	1 52 40,435	+ 2,340
$H - D$ 1 42 22,488	1 42 24,764	- 2,276

Hier zeigt sich deutlich, daß in Dorpat eine relative Ablenkung des Lothes in Beziehung auf Hochland und Jacobstadt statt findet, während dieser beyden Punkte Verticalen so gegen einander geneigt sind, wie der Abstand ihrer Parallelen es fordert, bis auf die innerhalb der Grenze der Genauigkeit liegende Quantität von 0,064.

Diese relative Ablenkung des Lothes in Dorpat in Bezug auf Jacobstadt und Hochland beträgt 2",308.

Um soviel müßte die Polhöhe Dorpats und also die südliche Amplitudo vermehrt, die nördliche vermindert werden, um alles in Uebereinstimmung zu bringen. Wir haben hier also einen neuen Fall der relativen Abweichung der Lothlinie, in einem Lande, das zu den flachsten in Europa gehört, und einen Beleg für den Satz, daß nicht bloß die sichtbaren Unregelmäßigkeiten, d. h. die Uebelnheiten der Oberfläche, sondern eben so sehr die ungleiche Vertheilung der Masse im Innern der Erde auf die Stellung des Lothes gegen die Erdoberfläche Einfluß hat.

W. Struve.

I n h a l t

- zu Nr. 163. Bemerkungen über die Königl. Zonen-Beobachtungen. Von Herrn Prof. u. Ritter Bessel. p. 369. — Tafel zur Reduction der Abwägungen. Von Herrn Prof. und Ritter Bessel. p. 373. — Brief des Herrn Geheimraths v. Tschelander an den Herausgeber. pag. 377. — Beobachtungen auf der Hamburger Sternwarte mittheilt von dem Herrn Director und Ritter Repsold. p. 379. — Anzeigen. p. 383.
- zu Nr. 164. Resultate der Gradmessung in den Ostseeprovinzen Rußlands. Von Herrn Hofrath u. Ritter Struve. p. 385.

Altona im August 1829.

ASTRONOMISCHE NACHRICHTEN.

N^o 165.

Ueber Refractions-Tafeln, von Herrn Professor Dr. Georg Paucker.

Die *Gaus'schen* Tafeln der *Bessel'schen* Refraction in *Schumachers* Hülfstafeln Heft I haben eine für den Gebrauch so bequeme Einrichtung, daß sich gewiß die meisten Astronomen derselben bedienen. Es scheint mir daher nicht unzweckmäßig, zu untersuchen, wie sich durch Anbringung gehöriger Correctionen, mittelst derselben Tafeln auch die von andern Astronomen angegebenen Refractionen berechnen lassen, um so für jede Zenithdistanz mit leichter Mühe alle Refractionen zu erhalten.

Um die von *Laplace*, *Bessel*, *Gauss*, *Brinkley*, *Carlini* etc. gegebenen Refractionsformeln vergleichbar zu machen, reducire ich sie auf 29,6 engl. Zoll = 333,2812 par. Linien = 0,7518255 Meter, und auf 48½° Fahr. = 7½° Réaumur, weil dieses der Normalstand für die mittlere *Bessel'sche* Refraction ist. Für Zenithdistanzen = ζ , welche nicht größer als 80° sind, kann man der Refraction = r , die von *Gauss* gewählte Form

$$r = \lg \zeta \cdot a \cdot \frac{h}{29,6} \cdot b \cdot c \cdot \tau$$

geben, wo ζ die schubbare Zenithdistanz, a die Refractionsconstante, h die unverbesserte Barometerhöhe in englischen Zollen, τ die Reduction des Barometers auf den Gefrierpunct mit der innern Temperatur T , b die Wärmeverbesserung mit der äußern Temperatur t , λ ein Exponent, welcher in den übrigen Refractionsformeln = 1 ist, in der *Bessel'schen* aber von der Zenithdistanz abhängt, doch auch hier erst bey 50° Zenithdistanz Einfluß erhält, wo

$$c = 1 - \frac{0,069192}{57,5621} \lg^3 \zeta + \frac{0,00026459}{57,5621} \lg^5 \zeta - \frac{0,000001733}{57,5621} \lg^7 \zeta \dots$$

oder $c = 1 - 0,00120202 \cdot \lg^3 \zeta + 0,00000459653 \cdot \lg^5 \zeta - 0,000000030106 \cdot \lg^7 \zeta \dots$

$$\log = 7,07991 \quad \log = 4,66243 \quad \log = 2,47865$$

In der Tafel (Fund. p. 49 seq.) sind die Logarithmen von $\lg \zeta$, 57,5621. c unter der Rubrik $\log t \delta$ gegeben, in der *Gaus'schen* Tafel III sind die negativen Logarithmen von c unmittelbar aufgeführt, worin hauptsächlich die Bequemlichkeit dieser Form besteht.

Die Logarithmen der Wärmeverbesserung b sind in den Fundamentis p. 52 nach der Formel

77 Ed.

$\lambda = 1,003$ ist; endlich $c = 1 - \beta \cdot \lg^3 \zeta + \beta' \cdot \lg^5 \zeta \dots$ ein Coefficient, welcher bey größern Zenithdistanzen merklich wird. Der Hauptunterschied der verschiedenen Refractionsformeln besteht in der Wärme-Verbesserung b , welche sich überall auf die Form

$$b = \frac{1 + 161 \cdot s}{1 + (t - 32) \cdot s}$$

bringen läßt, für ° Fahrenheit eingerichtet, so daß für $t = 48\frac{1}{2}^\circ$, $b = 1$ wird.

Die *Bessel'sche* Refraction.

In der ersten *Bessel'schen* Refractionsformel in den Fundamentis Astronomiae ist für 0° R. oder 32° Fahr. (S. 28 und 43.)

$$a = \frac{57,5621}{1 - 18 \times 0,0001025} \text{ also } \log a = 1,76094$$

Denselben Werth findet man in der *Gaus'schen* Tafel I für das Argument $h = 29,6$ engl. Zoll = 333,2812 par. Linien.

Diese Tafel giebt also die Werthe von $a \cdot \frac{h}{333,2812}$ für das in pariter Linie ausgedrückte Argument h . Da $\log 333,2812 = 2,52281$, so findet man die Zahlen dieser Tafel durch die Formel $\log h + 9,23813$. Man kann sich also dieser *Gaus'schen* Tafel I für jede andere Refractionsformel bedienen, wenn man zu den aus ihr genommenen Logarithmen einen constanten Logarithmus addirt.

In der *Bessel'schen* Formel ist ferner (Fund. p. 43)

$$b = \frac{1}{1 + (t - 48\frac{1}{2}) \cdot \frac{1}{415}} = \frac{1 + 161 \cdot s}{1 + (t - 32) \cdot s}$$

$$\text{also } s = \frac{1}{480 - 161} = \frac{1}{463} = 0,0021587$$

für ° Fahrenheit des äußern Thermometers berechnet; dieselben Logarithmen für die Réaumur'sche Scale in der *Gaus'schen* Tafel II. Der Barometerstand ist in den Fun-

27

Annahme p. 51 auf 8° R. = 10° Cent. reducirt, durch die für T° Cent. geltende Formel

$$\tau = \frac{1 + \frac{1}{5412} \cdot 10}{1 + \frac{1}{5412} \cdot T}$$

$$\tau = \frac{1}{1 + \frac{1}{5412} \cdot T} \quad \text{also} \quad \log \tau = -\frac{0,43429448}{5412} T = -\frac{8T}{100000} \quad \text{für } + T^\circ \text{ Cent.}$$

$$\text{oder} \quad \log \tau = -\frac{10T}{100000} \quad \text{für } + T^\circ \text{ Réaumur.}$$

Diese letztere Form ist von *Gauss* in der Refractionstafel III, so wie in der Tafel für Höhenmessungen mit dem Barometer (S. 35) gewählt. Will man den neuern *Dülag-Petersen's* Coefficienten 5550 anwenden, so ist

$$\log \tau = -\frac{7,825 \cdot T}{100000} \quad \text{für } + T^\circ \text{ Cent.}$$

$$\text{und} \quad \log \tau = -\frac{9,78 \cdot T}{100000} \quad \text{für } + T^\circ \text{ Réaumur.}$$

Dieses gilt freilich nur für Barometerscalen auf Glas, wie an dem von *Kummer* in Dresden verfertigten Heberbarometer der hiesigen Sternwarte. Bey Messingscalen muß auf die Ausdehnung dieses Metalls Rücksicht genommen werden (*Schumachers* Hülftafeln I. p. XIV.)

Die zweite *Bessel'sche* Refractionstafel (*Königsberger* Beob. 7 Abth. S. XXXVIII) giebt für $\zeta = 45^\circ$ und $h = 333,2812$ par. Lin. $\log a \cdot c = 1,76103 + 0,00070$ und da für 45° , $\log c = -0,00053$, so ist in dieser Tafel

$$\tau = \frac{1 + \frac{1}{53700} \cdot T}{1 + \frac{1}{3550} \cdot T}, \quad \text{also} \quad \log \tau = -0,43429448 \left(\frac{1}{5550} - \frac{1}{53700} \right) T = -\frac{7,0164}{100000} T$$

wofür *Bessel* mit Recht $\log \tau = -\frac{7T}{100000}$ angenommen hat. Für die Réaumur'sche Scale hätte man $\frac{8,7705 \cdot T}{100000}$, oder sehr nahe $\frac{8\frac{1}{2} \cdot T}{100000}$.

Die Brinkley'sche Refraction.

Nach den *Schumacher'schen* Hülftafeln Heft I. S. 25-27 hat sie die Form

$$\tau = \lg \zeta \cdot h \cdot T - C$$

Die erste Tafel enthält die Logarithmen der in englischen Zollen ausgedrückten Barometerhöhe h . Die Logarithmen von T sind in der zweyten Tafel gegeben, und wenn man annimmt, daß sie die Form haben $T = \frac{x}{1 + (-32)^\circ}$, so findet man aus den Werthen für die Temperaturen $10^\circ, 32^\circ, 80^\circ$,

Der Zähler ist schon in den obigen Werth von a hineingebracht, da $1 + \sqrt[3]{\frac{1}{18 \cdot 0,0001025}}$ mithin bleibt zur Reduction des Barometerstandes auf den Gefrierpunkt

$$\log a = 1,76226 = 1,76094 + 0,00132$$

Der zweyte Theil ist der constante Logarithmus, welchen man an die *Gauss'sche* Tafel I. anbringen muß, um die Refractionen der zweyten *Bessel'schen* Formel zu erhalten.

Die dritte *Bessel'sche* Refractionstafel (*Königsberger* Beob. 8 Abth. S. XXII) giebt für $\zeta = 45^\circ$ und $h = 333,2812$ par. Lin. $\log a \cdot c = 1,76038 + 0,00070$, also ist in dieser Tafel

$$\log a = 1,76161 = 1,76094 + 0,00067$$

Die Wärmeverbesserung b ist in beyden Tafeln dieselbe, nämlich (7 Abth. S. XXVII) für c° Fahr. nach der Formel

$$b = \frac{1 + 16\frac{1}{2} \cdot s}{1 + (-32)^\circ s}, \quad \text{wo} \quad s = \frac{0,36438}{180} = \frac{0,006073}{3} = 0,00202433...$$

Die Reduction der Barometerstände, unter vorausgesetzter Messingscale, auf den Gefrierpunkt, ist in beyden Tafeln für T° Cent. des innern Thermometers nach der Formel

daß $\log s = 0,3067$ und $s = 0,00218 = \frac{2}{915}$. Diese Refraction ist also

$$\tau = \lg \zeta \cdot a \cdot \frac{h}{29,6} \cdot b - C,$$

$$b = \frac{1 + 16\frac{1}{2} s}{1 + (-32)^\circ s},$$

$$s = \frac{1}{480 - 22\frac{1}{2}} = 0,0021858$$

Um a zu bestimmen, hat man die Gleichung $a = \frac{29,6 \cdot T}{b}$. Aber nach der Tafel ist für $t = 50^\circ$, $\log T = 0,2900$ und nach der obigen Formel ist für $t = 50^\circ$, $b = \frac{1897}{1902}$. Hieraus folgt also

$$\log a = 1,76243 = 1,76094 + 0,00149.$$

Man könnte dieser Refraction vielleicht die obige Form

$$r = tg \zeta' \cdot a \cdot \frac{h}{29,6} \cdot b \cdot c$$
 geben, da aber die Tafel III die
 Werthe von C nur in Zehnteln der Secunde giebt, und die
 Formel, auf welcher sie beruhen, nicht bemerkt ist, so las-
 sen sich die Werthe von c nur mit geringer Sicherheit
 finden.

Die Carlinische Refraction.

Schumachers Hülfstafeln I. S. 28—30. Wenn die ihr
 zum Grunde liegende Formel

$$r = tg \zeta' \cdot a \cdot \frac{h}{28} \cdot \beta \cdot c$$

ist, so giebt die Tafel II die Logarithmen von $\frac{h}{28}$, für den
 in pariser Zoll ausgedrückten Barometerstand h . Die Ta-
 fel III enthält die Logarithmen von $\beta = \frac{1}{1 + (t-10)^2}$, für
 t° Résum. Aus den Werthen dieser Tafel für $t = +30^\circ$, und
 $t = -10^\circ$, finde ich $20\beta = 0,094$, also $\beta = \frac{0,375}{80} = \frac{3}{640}$.
 Demnach ist für t° Fahr. $\beta = \frac{1}{1 + (t-54\frac{1}{2})^2 \frac{380}{1}}$. Um also

die Carlinische Refraction nach der gemeinschaftlichen Form
 auszudrücken, so sey

$$r = tg \zeta' \cdot a \cdot \frac{h}{29,6} \cdot b \cdot c;$$

$$b = \frac{1 + 16\frac{1}{2} \cdot a}{1 + (t-32)^2 a} = \frac{1897}{1920} \cdot \beta$$

Dann ist $\epsilon = \frac{1}{480 - 22\frac{1}{2}}$, wie bey Brinkley,

$$\text{und } a = a \cdot \frac{333,2812}{336} \cdot \frac{1920}{1897}.$$

Die Tafel I. giebt die Logarithmen von $tg \zeta' \cdot a \cdot c$. Um a
 zu bestimmen, will ich $\zeta' = 60^\circ$ zum Grunde legen, wo

$$r = tg \zeta' \cdot a \cdot k \cdot \frac{h}{0,76} \cdot \frac{1}{1 + t \cdot \delta}$$

$$k = 1 + a \sin 1'' + \left(\frac{1}{2} a \sin 1'' - \frac{1}{\rho} (1 + t \cdot \delta) \right) \left(1 + tg^2 \zeta' \right)$$

$$\text{oder } k = \left(1 + \frac{1}{2} a \sin 1'' - \frac{1}{\rho} \right) + \left(\frac{1}{2} a \sin 1'' - \frac{1}{\rho} \right) tg^2 \zeta' - \frac{1}{\rho} \sec^2 \zeta' \cdot t \cdot \delta$$

$$\text{oder } k = \left(1 + \frac{1}{2} a \sin 1'' - \frac{1}{\rho} \right) \left(1 - \frac{\frac{1}{\rho} - \frac{1}{2} a \sin 1''}{1 + \frac{1}{2} a \sin 1'' - \frac{1}{\rho}} \cdot tg^2 \zeta' \right) - \frac{1}{\rho} \cdot \sec^2 \zeta' \cdot t \cdot \delta$$

$$\text{Setzt man also } c = 1 - \frac{\frac{1}{\rho} - \frac{1}{2} a \sin 1''}{1 + \frac{1}{2} a \sin 1'' - \frac{1}{\rho}} \cdot tg^2 \zeta' = 1 - 0,001106514 \cdot tg^2 \zeta'$$

$$\log = 7,0439570$$

genau $160'' = tg 60^\circ \cdot a \cdot c$ ist. Aus dem Gange der Tafel
 sieht man, daß sie bis zu 82° dem Laplaceschen Werth
 von $c = 1 - 0,0011 \cdot tg^2 \zeta'$ folgt. Also ist für $\zeta' = 60^\circ$,
 $c = 0,9967$. Hieraus folgt $\log a = 1,76287$, und daraus
 weiter

$$\log a = 1,76458 = 1,76094 + 0,00364$$

Berechnet man aus dieser Tafel die Werthe von c für alle
 Zenithdistanzen durch die Gleichung $\frac{1}{c} = \frac{tg \zeta' \cdot a}{r}$, so er-
 geben sich dieselben Werthe von c , wie in der Delambreschen
 Refractionstafel. Bezeichnet man also die mittlere Delambre-
 sche Refraction für 0,76 Meter und 10° Cent. durch D ;
 und die mittlere Carlinische Refraction für 28 pariser Zoll
 und 10° Résum. durch C , so hat man bis zu 82° Zenith-
 distanz die Gleichung

$$\log D = \log C + 0,0026$$

Die Laplacesche Refraction.

Die Formel findet man in der Mécanique céleste. IV.
 p. 268 u. 271. Nach ihr hat Delambre in den Tafeln des
 Längenbüreau die Refraction bis zu 74° Zenithdistanz be-
 rechnet. Sie ist auch in die Schumacherschen Hülfstafeln I.
 S. 31 aufgenommen, aber nur weichen hier die Logarithmen
 in der 4ten Decimalstelle oft um einige Einheiten ab.

Es sey der mittlere Erdbahnmesser $\rho = 6366198$ Meter;
 die Höhe einer Atmosphäre von durchweg gleicher Dicht-
 heit, von der Temperatur des Gefrierpunkts, und einer
 Quecksilbersäule von 0,76 Meter das Gleichgewicht haltend,
 sey $l = 7974$ Meter; die Refractions-Constante nach der
 Delambreschen Bestimmung sey $\alpha = 60^\circ,616$; die Ausdeh-
 nung der Luft für jeden Grad des 100theiligen Thermo-
 meters sey $\delta = \frac{3}{800}$; die äußere Temperatur $= t^\circ$ Cent.;
 die auf den Gefrierpunkt reducirte Barometerhöhe in Metern
 $= h$; so ist die Laplacesche Formel

$$\text{so ist } k = \left(1 + \frac{1}{2} a \sin^2 \frac{1}{\rho}\right) c - \frac{1}{\rho} \sec^2 \zeta \cdot t \cdot \delta$$

$$\text{und } r = \left\{ \lg \zeta \cdot \frac{a \left(1 + \frac{1}{2} a \sin^2 \frac{1}{\rho}\right) c - \frac{1}{\rho} \cdot \delta}{1 + 10 \delta} - \frac{a \cdot \frac{1}{\rho} \cdot \delta}{1 + 10 \delta} \cdot \lg \zeta \sec^2 \zeta \cdot t \right\} \cdot \frac{h}{0,76} \cdot \frac{1 + 10 \delta}{1 + t \cdot \delta}$$

$$\text{oder } r = \left(\lg \zeta \cdot \beta \cdot c \cdot \gamma \cdot \lg \zeta \sec^2 \zeta \cdot t \right) \cdot \frac{h}{0,76} \cdot \frac{1 + 10 \delta}{1 + t \cdot \delta}$$

$$\text{wo } \beta = 58'', 37764, \quad \lg \beta = 1,7662465, \quad \gamma = 0'', 00027442, \quad \log \gamma = 6,4384265.$$

Das zweyte in der Klammer enthaltene Glied ist so klein, daß es selbst für $\zeta = 80^\circ$ und $t = 30''$ nur $1''$,55 ausmacht, und kann daher füglich vernachlässigt werden. Demnach ist die *Laplacesche* Refraction

$$r = \lg \zeta \cdot \beta \cdot c \cdot \frac{h}{0,76} \cdot \frac{1 + 10 \delta}{1 + t \cdot \delta}$$

Um sie mit der *Besselschen* zu vergleichen, ist $\delta = \frac{3}{800}$,

$$\text{also wird } \frac{1 + 10 \delta}{1 + t \cdot \delta} \text{ für } t^\circ \text{ Fahrenheit, gleich } \frac{1 + \frac{3}{80}}{1 + (t - 32) \cdot \frac{1}{480}}$$

$$= \frac{83}{80} \cdot \frac{1920}{1987} \cdot \frac{1 + 16 \frac{1}{2} s}{1 + (t - 32)s} \text{ wenn } s = \frac{1}{480}. \text{ Die } \textit{Laplacesche} \text{ Refraction sey also}$$

$$r = \lg \zeta \cdot a \cdot \frac{h}{29,6} \cdot b \cdot c \cdot \tau$$

wo h die unverbetterte in englischen Zollen ausgedrückte Barometerhöhe, τ die Reduction derselben auf den Gefrierpunkt, so ist

$$c = 1 - 0,001106514 \cdot \lg^2 \zeta,$$

$$b = \frac{1 + 16 \frac{1}{2} s}{1 + (t - 32)s} \text{ für } t^\circ \text{ Fahrenheit,}$$

$$s = \frac{1}{480}$$

$$a = \beta \cdot \frac{83}{80} \cdot \frac{1920}{1987} \cdot \frac{0,7518255}{0,76} = 57'', 895$$

$$\log a = 1,76264 = 1,76094 + 0,00170$$

Dieses ist die richtige *Laplacesche* Refraction, von welcher aber die *Delambresche* etwas abweicht, da in dessen Tafeln

$\log \beta = 1,7655$ statt $1,7662$. Also ist auch für *Delambres* Tafeln $\log a = 1,7619$ statt $1,7626$.

Um nun alles, was zur Berechnung der Refractionen nach der *Gaußschen* Einrichtung erforderlich ist, beisammen zu haben, lasse ich hier zwey Tafeln folgen. Die erste enthält die Logarithmen von $\frac{1}{c}$ aus der *Besselschen* Tafel in den Fundamentis, daneben die Logarithmen von $\frac{1}{c}$ nach der *Laplaceschen* Formel bis zu 80° , in Einheiten der 5ten Decimalstelle, und von 80° bis 85° dieselben aus der *Delambreschen* Tafel in Einheiten der 4ten Decimalstelle. Für die *Carlinsche* Refraction kann man dieselben brauchen.

Die zweyte Tafel enthält ebenfalls in Einheiten der 5ten Decimalstelle, die Logarithmen der Wärmeverbesserung

$$b = \frac{1 + 16 \frac{1}{2} s}{1 + (t - 32)s} = \frac{k}{1 + (t - 32)s} \text{ für } t^\circ \text{ Fahrenheit.}$$

Die zum Grunde gelegten Zahlen sind:

für die erste *Besselsche* Refraction

$$\log s = 7,3341846, \quad \log k = 0,0154259$$

für die zweyte und dritte *Besselsche* Refraction

$$\log s = 7,3062820, \quad \log k = 0,0144817$$

für die *Brinkleysche* und *Carlinsche* Refraction

$$\log s = 7,3396089, \quad \log k = 0,0156163$$

für die *Laplacesche* Refraction

$$\log s = 7,3187588, \quad \log k = 0,0148956$$

Tafel für $\log \frac{1}{c}$ oder $-\log c$ nach der *Besselschen* und *Laplaceschen* Refractionsformel, in Einheiten der 5ten Decimalstelle.

ζ	$\log \frac{1}{c}$ Bessel.	$\log \frac{1}{c}$ Laplace.	ζ	$\log \frac{1}{c}$ Bessel.	$\log \frac{1}{c}$ Laplace.	ζ	$\log \frac{1}{c}$ Bessel.	$\log \frac{1}{c}$ Laplace.	ζ	$\log \frac{1}{c}$ Bessel.	$\log \frac{1}{c}$ Laplace.
60°	0	0	130°	3	2	18°	5	23°	9	9	9
5	1	0	14	3	3	19	6	6	24	10	9
10	2	1	15	4	3	20	7	6	25	11	9
15	2	1	16	5	4	21	8	7	26	12	11
12	3	2	17	5	4	22	8	8	27	13	12

ζ	$\log \frac{1}{c}$ Bessell.	$\log \frac{1}{c}$ Laplace.	ζ	$\log \frac{1}{c}$ Bessell.	$\log \frac{1}{c}$ Laplace.	ζ	$\log \frac{1}{c}$ Bessell.	$\log \frac{1}{c}$ Laplace.	ζ	$\log \frac{1}{c}$ Bessell.	$\log \frac{1}{c}$ Delambre.
28°	14	13	53°	91	85	75°20'	731	706	80°50'	1804	169
29	16	15	54	98	91	75 40	765	743	81 0	1868	175
30	17	16	55	106	98	76 0	801	780	81 10	1933	182
31	18	17	56	115	106	76 20	840	821	81 20	2001	189
32	20	18	57	124	114	76 40	881	864	81 30	2073	196
33	21	20	58	133	123	77 0	927	914	81 40	2149	202
34	23	22	59	144	133	77 20	975	962	81 50	2227	209
35	25	23	60	156	144	77 40	1028	1017	82 0	2311	218
36	27	25	61	168	156	78 0	1084	1077	82 10	2399	229
37	29	27	62	183	170	78 10	1112	1109	82 20	2493	240
38	31	29	63	199	185	78 20	1142	1142	82 30	2593	252
39	33	31	64	217	203	78 30	1175	1177	82 40	2697	262
40	35	34	65	237	222	78 40	1209	1213	82 50	2808	272
41	38	36	66	260	243	78 50	1244	1251	83 0	2926	283
42	41	39	67	285	268	79 0	1280	1291	83 10	3049	292
43	44	42	68	314	295	79 10	1317	1333	83 20	3182	303
44	48	45	69	348	327	79 20	1357	1376	83 30	3323	316
45	53	48	70	385	364	79 30	1398	1422	83 40	3475	330
46	57	52	71	430	407	79 40	1442	1470	83 50	3636	345
47	61	55	72	480	457	79 50	1486	1521	84 0	3810	364
48	65	59	73	541	517	Delambre		84 10	3993	383	
49	70	64	74	613	588			84 20	4195	403	
50	75	68	74 20	640	616	80 0	1533	143	84 30	4407	423
51	80	73	74 40	669	644	80 20	1635	152	84 40	4634	446
52	85	79	75 0	699	675	80 30	1688	157	84 50	4876	470
						80 40	1744	163	85 0	5136	495

Tafel der Logarithmen der Wärmeverbesserung b , für das äußere Fahrenheit'sche Thermometer.

Fah- renh.	$\log b$ Bessell I	$\log b$ Bessell II Bessell III	$\log b$ Brinkley Carlini	$\log b$ Laplace.	Fah- renh.	$\log b$ Bessell I	$\log b$ Bessell II Bessell III	$\log b$ Brinkley Carlini	$\log b$ Laplace.
10°	+	+	+	+	30°	+	+	+	+
11	0,03656	0,03426	0,03703	0,03528	31	0,01730	0,01624	0,01753	0,01672
12	3557	3335	3603	3433	32	1636	1535	1658	1586
13	3459	3244	3504	3339	33	1542	1448	1564	1490
14	3361	3151	3404	3244	34	1448	1360	1467	1400
	3263	3060	3305	3150	35	1355	1273	1373	1309
15	3166	2969	3206	3056	36	1262	1185	1278	1219
16	3069	2878	3108	2962	37	1169	1098	1184	1130
17	2971	2787	3010	2869	38	1076	1011	1091	1040
18	2875	2697	2912	2776	39	983	924	996	951
19	2778	2606	2813	2682	40	891	837	903	861
20	2682	2516	2716	2590	41	798	751	809	772
21	2586	2426	2619	2497	42	706	664	716	683
22	2490	2336	2522	2404	43	614	578	623	595
23	2394	2247	2425	2312	44	523	492	530	505
24	2299	2157	2329	2220	45	432	406	438	418
25	2203	2068	2232	2128	46	341	320	345	330
26	2108	1979	2135	2036	47	249	234	253	241
27	2014	1890	2039	1945	48	158	149	161	154
28	1918	1801	1943	1853	49	67	60	64	66
29	1824	1713	1848	1762	49	+	23	+	22

Fahr- veh.	$\log b$ Bessel I	$\log b$ Bessel II	$\log b$ Brinkley, Carlini.	$\log b$ Laplace.
50°	0,00114	0,00106	0,00114	0,00109
51	203	191	205	196
52	293	276	296	283
53	383	360	387	370
54	473	444	478	456
55	562	528	568	543
56	652	612	658	629
57	741	690	748	715
58	829	779	838	801
59	918	863	928	887
60	1007	946	1018	972
61	1095	1030	1107	1058
62	1183	1112	1196	1143
63	1271	1195	1285	1228
64	1359	1278	1374	1313
65	1446	1360	1463	1398
66	1534	1443	1551	1482
67	1621	1525	1639	1566
68	1708	1607	1728	1651
69	1795	1689	1815	1735
70	1882	1770	1903	1819
71	1968	1852	1991	1903
72	2055	1933	2078	1986
73	2141	2015	2165	2070
74	2227	2096	2252	2153
75	2313	2177	2339	2236
76	2399	2257	2426	2319
77	2484	2338	2512	2402
78	2570	2419	2599	2484
79	2655	2499	2685	2566
80	2739	2579	2771	2649
81	2824	2659	2857	2731
82	2909	2739	2943	2814
83	2994	2819	3028	2895
84	3078	2898	3113	2977
85	3162	2978	3199	3059
86	3246	3057	3283	3140
87	3330	3137	3368	3221
88	3414	3215	3453	3302
89	3497	3295	3537	3383
90	3581	3373	3622	3464
91	3664	3452	3706	3545
92	3747	3530	3790	3625
93	3830	3608	3873	3705
94	3913	3687	3957	3786
95	3996	3765	4041	3866

Durch Einführung eines Hüllswinkels x , der sich vom Zenith bis zum Horizont sehr langsam ändert, kann man die mittlere Refraction r durch die horizontale R mittel folgender Formel ausdrücken:

$$r = R \cdot \frac{\sin x \sin \zeta}{\cos(\zeta - x)}$$

Diese Formel ist vortheilhaft anzuwenden, wenn man die horizontale Refraction aus Beobachtungen bestimmen will, die in der Nähe des Horizonts angestellt sind. Ich lasse daher hier die Werthe von x folgen, so wie sie sich aus der Besselschen Refractionstafel in den Fundamentis Astronomiae ergeben.

ζ	x	Diff.	ζ	x	Diff.	ζ	x	Diff.
0	1	18,4	78	0	41 24,6	84	30	49 57
1	33 40,5	79	0	42 13,3	47,7	85	40	50 15
2	45,4	4,9	79	10	21	9	84 50	39
3	50,4	5,0	79 20	30	9	85	0	51 4
4	56,0	5,6	79 30	39	9	85 10	30	28
5	61,7	5,7	79 40	48	9	85 20	58	28
6	67,1	6,0	79 50	58	10	85 30	52 26	29
7	72,1	6,3	80	0	43 8	85 40	55	30
8	77,4	6,6	80 10	18	10	85 50	53 25	31
9	82,6	6,7	80 20	28	10	86	0	56
10	87,7	7,0	80 30	38	10	86 10	54 29	33
11	92,7	7,3	80 40	49	11	86 20	55	4
12	97,7	7,6	80 50	44	0	86 30	39	35
13	102,6	7,8	81	0	12	86 40	56 16	37
14	107,5	8,2	81 10	23	11	86 50	55	39
15	112,4	8,6	81 20	36	12	87	0	57 36
16	117,2	9,0	81 30	48	13	87 10	58 18	42
17	122,0	9,4	81 40	45	1	87 20	59	3
18	126,8	9,8	81 50	14	14	87 30	59 49	46
19	131,6	10,2	82	0	25	87 40	2	39
20	136,4	10,6	82 10	42	14	87 50	1 29	51
21	141,2	11,0	82 20	56	15	88	0	2 22
22	146,0	11,4	82 30	46	11	88 10	3 19	57
23	150,8	11,8	82 40	27	16	88 20	4 17	58
24	155,6	12,2	82 50	43	16	88 30	5 19	62
25	160,4	12,6	83	0	59	88 40	6 24	65
26	165,2	13,0	83 10	17	18	88 50	7 33	69
27	170,0	13,4	83 20	34	18	89	0	8 45
28	174,8	13,8	83 30	52	18	89 10	10	0
29	179,6	14,2	83 40	48	10	89 20	11 20	70
30	184,4	14,6	83 50	30	20	89 30	12 44	84
31	189,2	15,0	84	0	49	89 40	14 11	93
32	194,0	15,4	84 10	10	21	89 50	15 44	75
33	198,8	15,8	84 20	30	20	90	0	17 22
34	203,6	16,2	84 30	52	22	90 10	19	5
35	208,4	16,6	84 40	30	20	90 20	20 53	108
36	213,2	17,0	84 50	10	10	90 30	22 48	115

Zur Anwendung obiger Tafeln müge noch der Einfluß bestimmt werden, welchen die verschiedenen Refractionen auf die Nr. 162 gefundene Polhöhe haben. Die Mittel aus sämmtlichen Barometer- und Thermometertafeln sind:

	Polaris ober.	Polaris unter.
Scheinb. Zenithdistanz ζ	31 43,6	34 56,9
Ueverb. Bar. par. Linien Δ	334,5	334,5
Innere Thermometer T	+ 15,7 R.	+ 18,6 R.
Außere Therm. t	+ 11,7 R. = 58,325 F	+ 17,6 R. = 61,6 F.

Mit diesen Daten ist die Rechnung wie folgt:

	Polaris ob. Culm.	Polaris unt. Culm.
$\log \lg \zeta$	9,79117	9,84439
$\log h + 9,23813$	1,76279	1,76253
$10 T$	— 157	— 186
	1,55239	1,60506
Bessel I } b	— 838	— 2020
Gauß } c	— 19	— 25
$\log r$	1,54362	1,58461
r	34,963	38,424
Bessel II } Const.	+ 132	+ 132
b	— 806	— 1901
c	— 19	— 25
$\log r$	1,54546	1,58712
r	35,112	38,647
Bessel III } Const.	+ 67	+ 67
b	— 806	— 1901
c	— 19	— 25
$\log r$	1,54481	1,58647
r	35,060	38,590
Brinkley } Const.	+ 149	+ 149
b	— 867	— 2043
c	— 0	— 0
$\log r$	1,54521	1,58612

	Polaris ob. Culm.	Polaris unt. Culm.
$\log r$	1,54521	1,58612
r	35,092	38,558
Carlini } Const.	+ 364	+ 364
b	— 867	— 2043
c	— 18	— 23
$\log r$	1,54718	1,58804
r	35,252	38,730
Laplace } Const.	+ 170	+ 170
b	— 829	— 1953
c	— 18	— 23
$\log r$	1,54562	1,58700
r	35,125	38,637

Mit diesen verschiedenen Refractionen die Beobachtungen des Polaris reducirt, steht nun die Polhöhe von Mainz so:

	obere Culm.	untere Culm.	Mittel.
Bessel I	56 39 4,652	56 39 4,365	56 39 4,508
Bessel II	4,503	4,142	4,322
Bessel III	4,555	4,199	4,377
Brinkley	4,523	4,231	4,327
Carlini	4,363	4,059	4,211
Laplace	4,490	4,152	4,321

Paucker.

Schreiben des Herrn A. v. Heiligenstein *) an den Herausgeber.

Mannheim 1829. Aug. 7.

Ich überende Ihnen hiebei meine Erstlingsarbeit im Gebiete der rechnenden Astronomie, mit der Bitte ihr eine Stelle in den astronomischen Nachrichten nicht zu versagen. Da die Ceres von den neuern Planeten der einzige ist, dessen Elemente seit langer Zeit nicht mehr genau bestimmt worden sind, so habe ich es versucht aus den neuern Oppositionen diese Elemente zu bestimmen, indem ich dabei auf die Jupiterstörungen unter derjenigen Form Rücksicht genommen habe, worin dieselbe schon seit längerer Zeit bei den drei andern kleinen Planeten geschieht. Folgendes sind die zum Grunde gelegten Oppositionen:

	Mittl. Zeit in Göttingen.	Helioe. Länge.	Geoe. Breite.
1818 Oct. 14.	18 59 42,9	21 18 34,6	—13 58 36,88
1820 Jan. 25.	3 43 40,1	124 38 30,82	+11 58 43,79
1821 May 22.	5 47 12,0	241 12 34,82	+ 5 41 48,47

	Mittl. Zeit in Göttingen.	Helioe. Länge.	Geoe. Breite.
1822 Aug. 22.	8 27 21	329° 5' 13" 34	—14° 53' 17" 86
1823 März 14.	11 5 13,1	174 4 50,16	+17 10 34,37
1825 Juny 29.	18 54 46,5	277 50 55,10	— 4 49 24,70
1827 Sept. 26.	9 11 49,3	2 58 15,35	—15 42 1,86

Die Oppositionsmomente sind von der Aberration befreit, die helioe. Längen sind vom mittlern Aequinoctium des jedesmaligen Tages gezählt, und es liegen durchgängig Bessel'sche Erdpositionen zum Grunde. Ich habe dabei alle guten Beobachtungen benutzt, die ich auffinden konnte. Die Opposition von 1823 konnte ich aus Mangel an Daten nicht berechnen; ebenso sind die bis jetzt mir bekannt gewordenen Beobachtungen der Ceres von 1829, welche ich der Güte des Herrn Hofrath Gauß und Professor Schward verdanke, von zu spätem Datum, als daß sich das Oppositionsmoment noch mit hinlänglicher Schärfe daraus hätte herleiten lassen.

*) Herr A. v. Heiligenstein ist ein Sohn des, den Lesern dieser Blätter schon lange bekannten, ausgezeichneten Astronomen gleichen Namens in Mannheim.

Für das Oppositionsmoment von 1818 gelten folgende Elemente:

1818 Oct. 13. $0^h 0^m 0^s$ mittl. Zeit im Göttinger Meridian.	
mittl. Länge der Ceres = $28^{\circ} 21' 52'' 291$ vom mittlern	
Länge des Perihels = $148^{\circ} 2' 14,084$ Acquin.	
Ω = $80^{\circ} 48' 32,192$ 1818,00.	
Excentricitätswinkel = $4^{\circ} 31' 5,183$	
Neigung = $10^{\circ} 38' 21,682$	
mittl. tägl. sider. Bew. = $771'' 2273825$.	

δi	$d\Omega$	$d\varphi$
φ 1818	0	0
1820	+ $0^{\circ} 323$	+ $0^{\circ} 0^m 460$
1821	+ $3,960$	+ $0^{\circ} 21,506$
1822	+ $1,930$	+ $1^{\circ} 21,199$
1825	+ $33,443$	+ $0^{\circ} 59,307$
1826	+ $34,991$	+ $2^{\circ} 10,089$
1827	+ $39,039$	+ $3^{\circ} 20,621$

Diese Werte müssen zu den obigen Grundelementen addirt werden, um die für die jedesmaligen folgenden Oppositionen geltenden zu erhalten, wobei zu bemerken ist, daß die ursprüngliche Epoche mit der mittl. tägl. Bewegung = $771'' 2273825$ auf die Oppositionsmomente gebracht, und zu ihr so wie zu P und Ω noch die Präcession vom mittlern Aequinoctium 1818,00 addirt werden muß. Die alsdann noch übrigbleibenden Fehler sind folgende:

Für die mittl. Für d. helioc.

	Länge.	Breite.
φ 1818	+ $1,91$	+ $5,17$
1820	+ $5,35$	+ $3,70$
1821	+ $3,61$	+ $1,02$
1822	+ $6,21$	+ $0,95$
1825	+ $5,84$	+ $1,57$
1826	+ $9,96$	+ $1,72$
1827	+ $1,55$	+ $4,68$

Zum Versuch habe ich von Anfang October 1827 his Mitte Januar 1829 auch die durch Saturn hervorgerufenen Störungen berücksichtigt, was den bei Vergleichung der 1829er Beobachtungen übrigbleibenden Fehler in Δl auf $8''$ und in der Decl. um ganz wenig verminderte, so daß ich es nicht der Mühe werth hielt auch für 1830 darauf Rücksicht zu nehmen. Für 1830 zur Zeit der Opposition gelten folgende Elemente: 1830 April 30. $12^h 0^m 0^s$ vom mittl. Meridian von Göttingen.

Mittl. Länge der Ceres = $219^{\circ} 8' 55,38$ vom mittlern	
Länge des Perihels = $146^{\circ} 26' 19,48$ Acquin.	
Länge des aufst. Knoten = $80^{\circ} 55' 16,16$ 1830 April 30.	
Excentricitätswinkel = $4^{\circ} 25' 48,74$	
Neigung = $10^{\circ} 37' 47,22$	
mittl. tägl. sider. Bew. = $770'' 99907$	
und zwar geben diese Elemente die Opposition des Planeten wie folgt:	
d° 1830, April 30. $8^h 21' 39''$ mittl. Zeit in Göttingen.	
wahre Länge vom mittl. Aequinoctium = $219^{\circ} 55' 24,72$	
geocentrische Breite = $+ 11^{\circ} 11' 28,56$	

Die hier folgende Ephemeride ist genau nach diesen Elementen gerechnet und die Aberration, Präcession und Nutation sind schon angebracht, so daß bei der Vergleichung mit den Beob. nur noch auf die Parallaxe Rücksicht zu nehmen ist.

Nennt man di , $d\Omega$, $d\varphi$, da , da den Gesamtbetrag der Aenderungen, welche resp. Neigung, Knoten, Excentricitätswinkel, Länge des Perihels, mittl. Länge und mittl. tägl. siderische Bewegung durch den Jupiter erleiden, so zeigt folgende kleine Tabelle diese Störungen für unsere Fall, wobei die Masse des Jupiters nach Nicolai = $\frac{1}{1053,924}$ gesetzt ist.

dP	da	$d\mu$
0	0	0
+ $0^{\circ} 19' 9,270$	+ $2^{\circ} 26' 641$	+ $0^{\circ} 50216$
+ $0^{\circ} 35' 17,680$	+ $8^{\circ} 0,584$	+ $0,31325$
+ $0^{\circ} 51' 47,960$	+ $7^{\circ} 50,031$	+ $0,20526$
+ $2^{\circ} 6' 27,500$	+ $10^{\circ} 26,419$	+ $0,34296$
+ $2^{\circ} 4' 52,266$	+ $16^{\circ} 35,998$	+ $0,23989$
+ $1^{\circ} 58' 7,874$	+ $20^{\circ} 42,836$	+ $0,62107$

Ephemeride für den Lauf der Ceres zur Zeit der Opposition 1830.

M.Z. 12 ^h	Ar. app.	Decl. app. sine par.	log. dist. $\zeta_0 \delta$
April 14	$224^{\circ} 24' 57,15$	+ $4^{\circ} 39' 7,54$	0,23566
15	$224^{\circ} 13' 27,65$	+ $36' 48,56$	0,23473
16	$224^{\circ} 1' 43,95$	+ $34' 32,24$	0,23386
17	$223^{\circ} 49' 46,78$	+ $32' 18,80$	0,23306
18	$223^{\circ} 37' 36,92$	+ $30' 8,43$	0,23233
19	$223^{\circ} 25' 15,10$	+ $28' 1,30$	0,23166
20	$223^{\circ} 12' 42,15$	+ $25' 57,77$	0,23105
21	$222^{\circ} 59' 58,83$	+ $23' 58,23$	0,23052
22	$222^{\circ} 47' 6,00$	+ $22' 2,75$	0,23003
23	$222^{\circ} 34' 4,48$	+ $20' 11,46$	0,22964
24	$222^{\circ} 20' 55,15$	+ $18' 24,66$	0,22931
25	$222^{\circ} 7' 38,86$	+ $16' 42,63$	0,22904
26	$221^{\circ} 54' 16,52$	+ $15' 5,57$	0,22885
27	$221^{\circ} 40' 48,97$	+ $13' 33,84$	0,22873
28	$221^{\circ} 27' 17,25$	+ $12' 7,35$	0,22867
29	$221^{\circ} 13' 42,35$	+ $10' 46,44$	0,22868
30	$221^{\circ} 0' 5,28$	+ $9' 31,82$	0,22876
May 1	$220^{\circ} 46' 27,08$	+ $8' 23,19$	0,22892
2	$220^{\circ} 32' 48,59$	+ $7' 20,72$	0,22914
3	$220^{\circ} 19' 10,71$	+ $6' 24,77$	0,22943
4	$220^{\circ} 5' 34,33$	+ $5' 35,42$	0,22979
5	$219^{\circ} 52' 6,32$	+ $4' 52,83$	0,23022
6	$219^{\circ} 38' 29,55$	+ $4' 17,11$	0,23072
7	$219^{\circ} 23' 2,88$	+ $3' 48,48$	0,23128
8	$219^{\circ} 11' 41,15$	+ $3' 27,04$	0,23194
9	$218^{\circ} 58' 25,21$	+ $3' 12,94$	0,23260
10	$218^{\circ} 45' 15,87$	+ $3' 6,28$	0,23337
11	$218^{\circ} 32' 13,98$	+ $3' 7,18$	0,23420
12	$218^{\circ} 19' 20,39$	+ $3' 15,73$	0,23508
13	$218^{\circ} 6' 35,67$	+ $3' 32,03$	0,23603
14	$217^{\circ} 54' 0,87$	+ $3' 56,15$	0,23705
15	$217^{\circ} 41' 36,67$	+ $4' 28,27$	0,23813
16	$217^{\circ} 29' 23,84$	+ $4^{\circ} 5' 8,16$	0,23927

Ich bemerke noch, daß die bedeutende Abweichung meiner Ephemeride von der im Jahrbuch gegebenen nicht veranlaßt hat meine Rechnung auf alle mögliche Weise zu kontrolliren, so daß ich ziemlich sicher bin nur unbedeutende Fehler gemacht zu haben.

A. v. Heiligenstein.

ASTRONOMISCHE NACHRICHTEN.

N^o. 166.

Disquisitiones circa theoriā perturbationum quae motum corporum coelestium afficiunt,

auctore

P. A. Hansen,

Observatorii Secbergensis Directore.

Problema illud,

motum singulorum corporum systematis cuiuscunque, quae secundum legem gravitatis Newtonianam se vicissim attrahunt, determinare,

generaliter sumtum per analysin hucusque solvi non potest. Constat geometras ad rigorosam huius problematis solutionem septem integralia dedisse, quorum tria finita quatuor vero reliqua primi ordinis sunt. Quum vero ad usus astronomicos non tam motus absoluti, quae omnes relativi respectu corporis cuiusdam primarii requirantur, integralia tria finita quae motum centri gravitatis communis in spatio determinant, non ad solutionem astronomicam propositam pertinent, omnia fignr ex quatuor reliquis deprimi deberent, quod tamen fieri non posse, quisque facile intelligit.

Verum re alio modo considerata, maiora subsidia analysis praehuisse videtur. Etenim $3(h+1)$ aequationes differentiales secundi ordinis, a quibus problema pendet, quoties numerus corporum est $h+1$, in $6h$ aequationes differentiales primi ordinis transformantur, quae omnes ad motus relativos respectu corporis primarii referuntur; quo factum est, ut solutio, quae ab initio huius integrationibus ininitur ad singulas reducta sit. Aequationes de quibus agimus hae sunt, quae ex theoria variationis constantium arithrarium proficiuntur; quae si generaliter et sine conditione aliqua adiecta integrari possent, iunctis integralibus, quae a corporum singulorum combinatione cum corpore primario prodeunt, problema accurate solverent.

Inter conditiones quae problema resolvable reddit haec statim nobis se offert, quod vires, quibus h corpora a se vicissim attrahuntur, respectu vis, quae corpus primarium agit, pro minutissimis habendae sint, ita ut corpora ab orbibus suis, quos, non nisi corpore primario viis habente, describerent, paululum tantum deflectere et motum prima-

rium perturbare contendant. Quem casum in duos dividere licet. Vires perturbantes semper sunt minutissimae, quoties massae corporum perturbantium respectu massae corporis primarii minutissimae sunt, modo ne illo tempore distantiae mutuo nimis decrescant. Quae vires praeterea minutissimae fiunt, dum massae corporum perturbantium corporis primarii massae fere aequantur, aut adeo magnitudine illam valde superant, siquidem rationes distantiarum corporum perturbantium a corpore primario ad distantiam corporis perturbati ab eodem, singulae ab unitate longe remotae sint. Ambo casus systemate nostro solari locum habent, alter quidem in planetis, alter, vi Solis perturbante, in satellitibus.

Ad problema huic suppositioni subiectum solvendum, perturbationes in ordines certos distribuuntur, atque ordinis primi appellari solent, quae per potestatem primam virium perturbantium, hoc est massarum, multiplicatae sunt, ordinis secundi, quae quadrata productaque duarum dimensionum involvunt, et sic porro. His principiis innisi geometrae duas praesertim methodos adhibuerunt, quibus perturbationes planetarum eruerent, quae partim ita supputare, ut longitudini verae in orbita, radio vectori et latitudini addi debeant, partim vero ut per eas elementa motus elliptici afficiantur. Expressiones ad hoc usque tempus datae omnes, quibus perturbationes ad coordinatas immediate applicantur, partem modo eam dant, quae primi ordinis est, in casibus ubi perturbationum secundi ordinis rationem haberi necesse est, variationes elementorum in usum vocatae sunt.

Inter multa et elegantiora, quae saeculo nostro astronomi protulerant, haec tantum enarrare sufficiat. Ill. *de Places* in opere: Mécanique céleste, inscripto expressiones finitas, perturbationes primi ordinis longitudinis verae, radii vectoris et latitudinis exhibentes dedit, quarum ultimae duae vires perturbantes ipsas involvunt, prima vero perturbationes

radii vectoris supputatas requirit. Ill. *Bessel* ad has longitudines verae perturbaciones primi ordinis invenientes expressionem finitam invenit, quae sicut ceterae a viribus perturbantibus immediate pendent, et praeter perturbaciones latitudinis nova formula expressit. Quae expressiones tamen omnes signum integrationis tum duplex tum simplex continent. Ill. *la Place* in ampliori perturbacionum evolutione formulae huius rare quidem usus est, cl. *Bessel* vero suas, una cum ea, quam *la Place* ad radium vectorum verum reperierunt dederat, in disquisitione: *Untersuchung des Theils der planetarischen Störungen etc.* inscripta atque commentationibus academicae regiae Berolinensis anni 1824 interta plene et elegantem ad perturbaciones constituendas, quae a reactione planetarum in Solem oriuntur, evoluit.

Ut ii, qui rem ante tractaverit, ill. *la Place* perturbaciones primi ordinis, respectu massarum in orbitas certos respectu excentricitatum inclinationumque distribuit, easque ab his quantitibus independentes cum iis quae potestatem primam continent, accurate determinat. Formulæ, quibus perturbaciones secundi ordinis respectu excentricitatum inclinationumque computat, ita sunt exhibitæ, ut perturbaciones ordinum praecedentium supputatas possent. Paucos tantum terminos tertii ordinis in usum vocat, eosque per methodos peculiares. Perturbaciones secundi ordinis respectu massarum erunt, theoriam variationis constantium arbitrariorum adhibet, sed quia propter magnum numerum terminorum multorum truncati atque neglecti sint, accidit, ut res egregio hinc geometrae minus prospere successisse videatur.

Theoriae lunae emendandae deditus *la Place* tali modo perturbaciones expressit, ut longitudine media atque parallaxis aequaliores horizontales, quae radii vectoris vice fungitur, in functione longitudinis verae obtineantur, quae perturbaciones, quae ad astronomi in usum vocari possunt, per methodum serierum invertendarum in formam vulgarem reductae sunt. Cl. *Damoiseau*, cuius tractatus ab Academia scientiarum regia Gallica coronatus, et in libri: *Mémoires présentés par divers savans etc.* inscripti volumine primo divulgatus est, theoriam lunae eodem modo stabilivit, sed artificis huius propriis efficit, ut in fine calculi termini omnes, tum a prima, tum a secunda potestate massarum perturbantium dependentes, secundum magnitudinem numericam et sine respectu ordinis analytici aut servari aut neglegi possent, quae res in perturbacionum computatione magni momenti est. Ordinis enim analytici consideratio aliquid vitiosum aut fallacis involvit, quum saepe perturbaciones ordinis alioris respectu excentricitatum inclinationumque perturbacionibus ordinis inferioris majores sint. De operis coronati ill. *Carlini* et *Plana* ad theoriam lunae speciatim forma analytica, quam

ad hanc usque diem in conspectum nobis non venerit, nil dicere licet.

Quae perturbacionibus cometarum supputandis maxime prosunt, ca. cl. *Bessel* debentur, qui in opusculo: *Untersuchungen über die scheinbare und wahre Bahn des im Jahre 1807 erschienenen großen Cometen*, inscripto methodum suam, quae in variatione constantium arbitrariorum versatur, publici juris fecit.

Ceterum theorematum plura a geometris saeculi nostri detecta sunt, quibus systematis solaris stabilitas confirmatur. Magna hic nomina commemoramus ill. *Poisson*, *la Grange*, *la Place* etc.

Denique novam elariss. viri ingenio alignam methodum variationum constantium saecularium supputandarum in dissertatione: *Determination attractionis etc.* intulit cl. *Gauss* pertractavit.

Hic ita absolutis, id tantum restat dicere. Theoria variationis constantium arbitrariorum, cuius inventor est ill. *Euler*, ab ill. *la Grange* ad summum fastigium est evecta, sed, quae hodierna ejus conditio est, ad determinandas planetarum perturbaciones apta non videtur.

2.

Quum astronomus valores veros corporum coelestium coordinatarum polarium requirit, negotium praecipuum est, perturbaciones tali modo erueri, ut illae levissima opera inde supputari possint. Jam haec ob causam methodos constantium arbitrariorum variantiarum postponenda esset illis, quibus perturbaciones coordinatarum immediate compulantur; sed hoc minimum, graviora ei obiciantur. Quum numerus coordinatarum sit tres, numerus vero elementorum sex, methodus hanc numerum quantitatum supputandarum hic majorem illa astronomo tradit. Etsi hac ex causa jam labor crescit, multo magis difficultas augeatur, quod perturbaciones coordinatarum a perturbacionibus singuli elementi multitudine et magnitudine superant. Perturbacionibus elementorum supputatis, augmenta coordinatarum ope theorematum *Tayloriani*, ad quantitates plures variables extensi, inveniri possent, nisi termini fere omnes e differentis quantitatem ordinis inferioris respectu excentricitatum conjungi deberent qui igitur, quoties excentricitates minores sunt, saepe pauci tollunt; id quod in ordine secundo respectu massarum magis locum obinet, quam in ordine primo. Cuius rei excusplum planeta Uranus, quatenus a Jove perturbatur, mihi praeiuvat. Quum perturbaciones longitudinis verae Uranique a quadrato vis perturbantis Jovis oriuntur, ita compa-
rate sint, ut fere vel fortasse omnino neglegi possint, per turbaciones elementorum ejusdem generis quoque negligende

videntur: qui vero hac conjunctura ductus, perturbationibus primi ordinis datis, longitudinem veram per formulas rigorosae supputare vellet, eas in casibus quibusdam una pluribusve minutis primis a veritate aberrare inveniret. Denique calculus perfectus perturbationum secundi ordinis respectu massarum et magis calculus ordinum altiorum industriam et patientiam flagitat laudem invidiam, quoniam terminus quisque permultis partibus constat, quarum majores, ubi ut minima quidem suspicio est, saepe latent.

3.

Si excipias, quae de theoria lunae supra diximus, nusquam, quantum equidem sciam, perturbationes aliis modis quam duobus hic recensitis consideratae sunt, sed non dubium est, quin alii modi illi calculo aptari possent. Quae via ad finem propositum tutissime perducit, ea certe praeferenda est. Methodus, quam hic exponam, perturbationes longitudinis omnes, per tempus expressas, ad longitudinem mediam applicari jubet, manentibus elementis invariabilibus, cum hac longitudine media perturbata supputabitur logarithmus radii vectoris, cui termini quidem alii adduntur; in perturbationibus latitudinis, si a paucis discesseris, eandem insistant rationem quam illi demonstraverunt.

Quod explicaturus, theoriam variationis constantium arbitrariarum, sensu tamen latiori, quam antea usurpata est, adhibebo. Optima vero, quae ex hac theoria, ad problema nostrum spectantia, prolata, et jam in libro: *Mémoires de*

$$\Delta u^2 = (x-x')^2 + (y-y')^2 + (z-z')^2 \\ \Delta u'^2 = (x-x'')^2 + (y-y'')^2 + (z-z'')^2 \text{ etc.} \\ 1 + m = \mu$$

$$\Omega = \frac{m'}{\mu} \left\{ \frac{1}{\Delta u} - \frac{xx' + yy' + zz'}{r'^3} \right\} + \frac{m''}{\mu} \left\{ \frac{1}{\Delta u'} - \frac{xx'' + yy'' + zz''}{r''^3} \right\} + \text{etc.}$$

t tempus, cujus unitas annus Julianus sit; et

$k' = (365\frac{1}{4} k)^2$, ubi k constantem notam a cel. Gaussi primo adhibitam (vid. Th. M. C. C. art. 1.) repraesentat. Denique

$$\frac{da}{dt} = k' \mu \frac{2}{na} \left(\frac{d\Omega}{d\epsilon} \right) \\ \frac{de}{dt} = -k' \mu \frac{2}{na} \left(\frac{d\Omega}{da} \right) - k' \mu \frac{1-e^2}{na^2 e} \left(\frac{d\Omega}{de} \right) \\ \frac{d\epsilon}{dt} = k' \mu \frac{1-e^2}{na^2 e} \left(\frac{d\Omega}{d\epsilon} \right) - k' \mu \frac{\sqrt{1-e^2}}{na^2 e} \left(\frac{d\Omega}{df} \right) \\ \frac{df}{dt} = k' \mu \frac{\sqrt{1-e^2}}{na^2 e} \left(\frac{d\Omega}{d\epsilon} \right) - k' \mu \frac{\cotg i}{na^2 \sqrt{1-e^2}} \left(\frac{d\Omega}{di} \right) \\ \frac{di}{dt} = k' \mu \frac{\cotg i}{na^2 \sqrt{1-e^2}} \left(\frac{d\Omega}{df} \right) - k' \mu \frac{\csc i}{na^2 \sqrt{1-e^2}} \left(\frac{d\Omega}{d\delta} \right) \\ \frac{d\delta}{dt} = k' \mu \frac{\csc i}{na^2 \sqrt{1-e^2}} \left(\frac{d\Omega}{di} \right)$$

la classe des sciences mathématiques et physiques de l'institut de France, année 1808, inscripto, auctore ill. la *Grange*, publici juris facta sunt, cum in finem, quem ego persequar, hoc loco offerre me oportet. Designent planetæ cuius motum consideramus

- xy coordinatas orthogonas, quæ initium in centro gravitatis corporis primarii habent, ceterum in spatio ad libitum directæ sunt;
- a semiaxis majorem, cuius unitas semiaxis terræ est;
- n motum medium sydereum unitate temporis absolutum;
- $a e$ excentricitatem;
- c anomaliam mediam, epochæ temporis selectæ respondentem;
- s longitudinem mediam, eadem epocha;
- ω longitudinem perihelii in orbita;
- f arcum inter locum perihelii atque locum nodi ascendens in plano fixo ipsarum xy , interceptum;
- i inclinationem orbitæ ad idem planum;
- δ longitudinem nodi ascendens;
- r radium vectorem;
- v longitudinem veram in orbita;
- m massam partibus massæ corporis primarii expressam.

Quoties quantitates hæc, sicut omnes quæ sequuntur, ad planetam alium referuntur, id tractibus uno pluribusve iis superne ad dextram affixis indicabitur. Sini porro

l quantitati cuivis præfixa, denotet logarithmum hyperbolicum huius quantitatis.

His positis, in libri citati pag. 62 motum planetæ m exhibentes aequationes reperiantur hæc

hinc, mutatis mutandis, formulae motuum planetarum m' , m'' etc., his plane analogae evadunt. Constant k' ab ill. *la Grange* unitati aequalis ponitur, id quod idem est, ac si in n aut a aut m unitatem aliam acceperis. Quantitates a et n ac invicem pendentes aequatione haec

$$a^2 n^2 = k' \mu \dots \dots \dots (1)$$

Introducamus in aequationibus praecedentibus loco elemen-

$$\begin{aligned} \frac{d\pi}{d\epsilon} &= k' \mu \frac{\sqrt{(1-\epsilon^2)}}{n a^3 e} \left(\frac{d\Omega}{d\epsilon} \right) + k' \mu \frac{\epsilon g \frac{1}{2} i}{n a^2 \sqrt{(1-\epsilon^2)}} \left(\frac{d\Omega}{di} \right) \\ \frac{d\delta}{d\epsilon} &= -k' \mu \frac{2}{n a} \left(\frac{d\Omega}{da} \right) + k' \mu \frac{\sqrt{(1-\epsilon^2)}}{n a^2} \frac{e}{1 + \sqrt{(1-\epsilon^2)}} \left(\frac{d\Omega}{d\epsilon} \right) + k' \mu \frac{\epsilon g \frac{1}{2} i}{n a^2 \sqrt{(1-\epsilon^2)}} \left(\frac{d\Omega}{di} \right) \end{aligned}$$

Quantitatem vero Ω , quae hucusque tanquam functio ipsarum a, e, f, e, i et θ spectatur, ita transformare debet,

$$(a) \dots d\Omega = \left(\frac{d\Omega}{da} \right) da + \left(\frac{d\Omega}{d\epsilon} \right) d\epsilon + \left(\frac{d\Omega}{d\epsilon} \right) d\epsilon + \left(\frac{d\Omega}{df} \right) df + \left(\frac{d\Omega}{di} \right) di + \left(\frac{d\Omega}{d\theta} \right) d\theta$$

hypothesi altera

$$d\Omega = \left(\frac{d\Omega}{da} \right) da + \left(\frac{d\Omega}{d\epsilon} \right) d\epsilon + \left(\frac{d\Omega}{d\epsilon} \right) d\epsilon + \left(\frac{d\Omega}{d\pi} \right) d\pi + \left(\frac{d\Omega}{di} \right) di + \left(\frac{d\Omega}{d\theta} \right) d\theta$$

vel substitutis valoribus datis ipsarum $d\epsilon$ et $d\pi$

$$b) \dots d\Omega = \left(\frac{d\Omega}{da} \right) da + \left(\frac{d\Omega}{d\epsilon} \right) d\epsilon + \left(\frac{d\Omega}{d\epsilon} \right) d\epsilon + \left(\frac{d\Omega}{d\pi} \right) d\pi + \left(\frac{d\Omega}{d\pi} \right) d\pi + \left(\frac{d\Omega}{d\pi} \right) d\pi + \left(\frac{d\Omega}{d\pi} \right) d\pi + \left(\frac{d\Omega}{d\pi} \right) d\pi + \left(\frac{d\Omega}{d\pi} \right) d\pi$$

Aequationes (a) et (b), quum identitice esse debeant, comparatione produunt sequentes, in quibus partes ad sinistram tanquam functiones ipsarum a, e, c, f, i et θ , partes vero

torum e et f , haec a et π . Quae cum illis junguntur aequationibus

$$\pi = f + \theta, \quad e = c + \pi = c + f + \theta$$

quae differentiatiae produunt

$$d\pi = df + d\theta, \quad d\epsilon = dc + df + d\theta$$

Quibus aequationibus, si valores differentialium ex aequationibus praecedentibus depropti substituuntur, obtinemus

ut tanquam functio ipsarum a, e, c, π, i et θ considerari possit. Hunc ad finem habemus, hypothesi priori

ad dextram tanquam functiones ipsarum a, e, c, π, i et θ habendae sunt.

$$\begin{aligned} \left(\frac{d\Omega}{da} \right) &= \left(\frac{d\Omega}{da} \right); \quad \left(\frac{d\Omega}{d\epsilon} \right) = \left(\frac{d\Omega}{d\epsilon} \right); \quad \left(\frac{d\Omega}{di} \right) = \left(\frac{d\Omega}{di} \right) \\ \left(\frac{d\Omega}{d\epsilon} \right) &= \left(\frac{d\Omega}{d\epsilon} \right); \quad \left(\frac{d\Omega}{df} \right) = \left(\frac{d\Omega}{d\pi} \right) + \left(\frac{d\Omega}{d\pi} \right); \quad \left(\frac{d\Omega}{d\theta} \right) = \left(\frac{d\Omega}{d\theta} \right) + \left(\frac{d\Omega}{d\pi} \right) + \left(\frac{d\Omega}{d\pi} \right) \end{aligned}$$

Si valores hi in aequationibus variationum elementum supra datis substituuntur, factor $k' \mu$ ope aequationis (1) eliminatur et $d\Omega$ pro da introducitur, ad-

$$\left. \begin{aligned} \frac{d\Omega}{da} &= 2na \left(\frac{d\Omega}{da} \right) \\ \frac{d\Omega}{d\epsilon} &= -2na^2 \left(\frac{d\Omega}{da} \right) + na \frac{\epsilon \sqrt{(1-\epsilon^2)}}{1 + \sqrt{(1-\epsilon^2)}} \left(\frac{d\Omega}{d\epsilon} \right) + na \frac{\epsilon g \frac{1}{2} i}{\sqrt{(1-\epsilon^2)}} \left(\frac{d\Omega}{di} \right) \\ \frac{d\Omega}{d\pi} &= -na \frac{\sqrt{(1-\epsilon^2)}}{e} \left(\frac{d\Omega}{d\pi} \right) - na \frac{\epsilon \sqrt{(1-\epsilon^2)}}{1 + \sqrt{(1-\epsilon^2)}} \left(\frac{d\Omega}{d\epsilon} \right) \\ \frac{d\Omega}{di} &= -na \frac{\sqrt{(1-\epsilon^2)}}{e} \left(\frac{d\Omega}{d\pi} \right) + na \frac{\epsilon g \frac{1}{2} i}{\sqrt{(1-\epsilon^2)}} \left(\frac{d\Omega}{di} \right) \\ \frac{d\Omega}{d\theta} &= -na \frac{\cos \epsilon i}{\sqrt{(1-\epsilon^2)}} \left(\frac{d\Omega}{d\theta} \right) - na \frac{\epsilon g \frac{1}{2} i}{\sqrt{(1-\epsilon^2)}} \left(\frac{d\Omega}{d\pi} \right) - na \frac{\epsilon g \frac{1}{2} i}{\sqrt{(1-\epsilon^2)}} \left(\frac{d\Omega}{di} \right) \\ \frac{d\Omega}{d\pi} &= -na \frac{\cos \epsilon i}{\sqrt{(1-\epsilon^2)}} \left(\frac{d\Omega}{d\theta} \right) \end{aligned} \right\} \dots \dots \dots (2)$$

ubi Ω quasi functio ipsarum a, e, c, π, i et θ est spectanda. Praeterea notandum est, in aequationibus his π verum lineae absidum gyrum non exprimere, hunc enim, si per Φ reprae-

sentetur, dari aequatione hac

$$\Phi = f + f \cos i d\theta$$

aut per principia mechanicae, aut per elementa calculi

differentialis levi negotio probatur. Ceterum aequationes (2) ita sunt comparatae, ut in orbita perturbata iuxta orbitae inperturbatae, punctum a quo longitudines numerantur a nodo ascendente retrorsum tantum distet, quantum id in plano fixo ab eodem nodo.

4.

Prisquam ulterius progrediamur, inquirendum est in methodum aequationes (2) integrandi. Ante omnia moneamus, quotientes differentiales, quae in aequationibus nostris ad dextram continentur, non nisi signa symbolica esse, quibus indicatur, cuinam tractationi quantitas Ω subijci debeat, quo ea prodeant, quibus aequationes nostrae proprie componuntur. Haec vero in tractatione ad rei indolem maxime pertinentes momentum id est, quod in ellipsi perturbata et in ellipsi inperturbata coordinatae corporum aequae ac differentia eorum prima respectu temporis eandem formam habent. Hinc sequitur, pro quotientibus differentialibus ipsius Ω , sicut pro quotientibus differentialibus coordinatarum, quae alias occurrerent, valores eos substitui debere, qui ad ellipsin invariatae pertineant, siquidem postea elementa omnia tanquam functiones temporis spectentur. Jam, quum unusquisque planeta systematis nostri sex aequationes his (2) proprias similes suppediat, inter 6*h* elementa atque tempus 6*h* aequationes differentiales primi ordinis habebimus, in quibus quantitates variables inter se mixtae apparebunt. Quarum aequationum integrationes perficientes, aut quantitates variables separare, aut factores quosdam invenire nos oportere, quibus conditioni integritatis satisfaceret; quod per analysin, ut nunc est, praestari nequit. Quum igitur integratio directa perfici nequeat, modus indirectus, principii modo tralitis ducibus, nobis sequendus est.

Sit, problema jam solum esse, mente concipiamus, certe elementum quodvis tanquam functio temporis atque illarum his integrationibus introductorum constantium arbitrariarum (quae verae constantes) exhibitum est, haec vero constantes non sunt nisi valores, quos elementa acciperent, si vires perturbantes evanescent. Hinc igitur factum est, ut elementa variabilia functiones temporis atque elementorum constantium, quae ellipsi invariabili tribuenda sunt, reddita sint. Quodsi valores veros hos elementorum in aequationibus differentialibus (2) substituerimus, manifesto effectus erit, ut identice sint, sin eodem in dextra modo parte posuerimus, differentialia $\frac{da}{dt}$, $\frac{ds}{dt}$, etc. per quantitates constantes atque tempus expressa obtinebimus, multiplicando itaque per dt et integrando, dum tempus solum variabile statuatur, valores veri elementorum reudabunt. Facile percipitur, ad hanc substitutionem efficiendam, hand neces-

sario valores veros singulorum elementorum postulari, sed quoties functiones elementorum quaedam, ad quas aequationes (2) reducendae sunt, substituitur, eandem finem nos consecuturos esse. Quales functiones inter multas alias longitudines verae et radii vectores praebent.

Quibus intellectis, aequationes nostrae ad genus transcendentiū sunt referendae, et non nisi approximationibus successivis solvi possunt. Problema quovis tali modo solvendum postulat, ut valores integritatem proximi veris ab initio in potestate sint. Huiusmodi valores elementorum in casu nostro, cui supposito minorum virium perturbatae subest, elementa pure elliptica jam praebent. His igitur substitutis, approximatio prima peracta erit, si aequationes nostrae dum tempus tanquam solum variabile statuatur, integrabuntur; valores elementorum hinc prodituri, et jam veris majori gradu appropinquantes, fundamentis approximationis secundae inservant. Quibuscum casello repetito, ad veritatem propius accedes, et generaliter, his continuatis, usque ad limites quoscumque ei appropinquabis.

5.

Loco aequationum (2), quae elementa la, a, e, π, i et θ immediate produnt, alias invenire licet, quae functiones quasvis horum elementorum praebent, et generaliter loca 6*h* elementorum 6*h* functiones eorum determinari possunt, quod per algorithmum vulgarem differentialium partialium efficit, theoria nota docet. Jam exemplum talis transformationis art. 3 praebet, ubi pro elementis e et f alia, puta π et ϖ , quae functiones illorum sunt, introducimus. Praecepta in art. praec. ad ipsas aequationes (2) integrandas tradita, de quasvis ex his derivata, manifesto quoque valent.

Ad hoc utque tempus has theoriae consequentias ad functiones determinatas elementorum tantum applicaverit geometrae, determinantes inter alias e.g. aequationes harum functionum $a \sin \pi$, $e \cos \pi$, $ig i \sin \theta$, $ig i \cos \theta$, $\sin i \sin \theta$, $\sin i \cos \theta$ etc. Jam vero solutionem problematis nostri simpliciter majore se commendare, si functiones elementorum quaedam indeterminatae determinetur, palam faciam.

6.

Sit λ functio elementorum a, s, e et π atque indeterminatae r . Quae quantitas r considerari debet, ut constans quaecunque in functione unius pluriusque variabilium occurrat, et formam hanc ab illa separans. Quum hoc loco indeterminata ponatur, postea in quovis sensu accipi potest. Sit porro p functio alia eorundem quantitatum. Jam habetur per algorithmum differentialium partialium

$$\frac{d\lambda}{dt} = a \left(\frac{d\lambda}{da} \right) \frac{da}{dt} + \left(\frac{d\lambda}{de} \right) \frac{de}{dt} + \left(\frac{d\lambda}{d\varpi} \right) \frac{d\varpi}{dt} + \dots \quad (3)$$

$$\frac{dlp}{dt} = a \left(\frac{dlp}{da} \right) \frac{da}{dt} + \left(\frac{dlp}{de} \right) \frac{de}{dt} + \left(\frac{dlp}{d\varpi} \right) \frac{d\varpi}{dt} + \dots \quad (4)$$

Hinc nascitur multiplicando per dt et integrando dum elementa omnia tanquam functiones ipsius t spectantur, uti art. 4 et 5 docent, valores veros ipsarum λ et lp , vel potius valores eos, qui, viribus perturbantibus praesentibus, locum habent; arbitrarie vero constantis utriusque aequationi addendae est valor is, quem resp. functio λ aut lp accipiet, si vires perturbantes abessent.

Si jam ponamus ipsam λ cum τ et cum elementis a, e, ϖ ita junctam, ut longitudo vera elliptica in orbita ν cum tempore t et cum iisdem elementis, manifesto functio ista, quoties pro τ valore quendam determinatum e. g. $\tau = a$ substituimus, pro λ valore cum longitudinis verae in orbita inperurbatae praebet, qui tempore a locum habet. Quoties igitur in integrali aequationis (3) $\tau = a$ statuimus, ejusdem longitudinis oblinetur valor, qui, vi perturbanti vim exercente, cuius temporis t momento respondet. Posito itaque quoque $t = a$, naneleimur valorem ejusdem longitudinis, qui tempore a locum oblineat, hoc est longitudinem veram perturbatam, quae cum temporis momento a congruit, unde, quum hoc pro valore quovis ipsius a locum habeat: integrali aequationis (3), si in eo τ in t mutatur, dari generaliter longitudinem veram perturbatam in orbita, temporis t respondentem, consequitur. Iisdem conclusionibus confirmatur, nos integrali aequationis (4), si post integrationem exactam τ in t mutatur, logarithmum hyperbolicum radii vectoris perturbati assensuros esse, dummodo accipiamus, ipsam p ab origine ex elementis a, e, ϖ et ϖ atque ex τ ita compo-

$$\left(\frac{d\lambda}{d\tau} \right) \frac{d\tau}{dt} = a \left(\frac{d\lambda}{da} \right) \frac{da}{dt} + \left(\frac{d\lambda}{de} \right) \frac{de}{dt} + \left(\frac{d\lambda}{d\varpi} \right) \frac{d\varpi}{dt} + \dots$$

Sed e praecedentibus sequitur, in parte sinistra huius aequationis τ in τ tantum contineri, habetur itaque

$$\left(\frac{d\lambda}{d\tau} \right) = \left(\frac{d\lambda}{d\tau} \right) \left(\frac{d\tau}{d\tau} \right)$$

ex qua evadit

$$\left(\frac{d\lambda}{d\tau} \right) = \left(\frac{d\lambda}{d\tau} \right) \left(\frac{d\tau}{d\tau} \right)$$

quo valore ipsius $\left(\frac{d\lambda}{d\tau} \right)$ in aequatione praecedenti substituto, invenitur

$$\frac{d\lambda}{d\tau} = \left(\frac{d\lambda}{d\tau} \right) \left\{ a \left(\frac{d\lambda}{da} \right) \frac{da}{dt} + \left(\frac{d\lambda}{de} \right) \frac{de}{dt} + \left(\frac{d\lambda}{d\varpi} \right) \frac{d\varpi}{dt} + \dots \right\} \quad (5)$$

sition esse, ut radius vector inperurbatus ex iisdem elementis atque ex t . Sint igitur in sequentibus

$$n\tau + e - \varpi = \phi - e \sin \phi$$

$$t_0 \pm (\lambda - \varpi) = \sqrt{\left(\frac{1+e}{1-e} \right)} \cdot t_0 \pm \phi$$

$$p = \frac{a(1-e^2)}{1+e \cos(\lambda - \varpi)}$$

Constantes arbitrarie post integrationem aequationis (3) et (4) addendae erunt, mutatione memorata exacta, resp. longitudo vera pure elliptica in orbita et logarithmus hyperbolicus radii vectoris pure elliptici, id quod ex praecedentibus patet.

7.

Jam accipio, nos perturbaciones longitudinis ita instituere velle, ut ad tempus, quatenus id in valore inperurbato ipsius ν contineatur, omnes applicari debeant. Quae res in eo versatur, quod functio quaedam ipsarum τ et t inveniantur, quae pro τ in valore pure elliptico ipsius λ substituta, huius quantitalis valorem verum perturbatum praebet. Sit functio ista adhuc incognita ζ nominata. Spectando vero λ tanquam functionem ipsius ζ , repetitur differentiendo

$$\frac{d\lambda}{d\tau} = \left(\frac{d\lambda}{d\zeta} \right) \frac{d\zeta}{d\tau}$$

ubi elementa in $\left(\frac{d\lambda}{d\zeta} \right)$ occurrentia pro variabilibus habenda non sunt, nisi in ζ contineantur. Quum valor ipsius λ ex huius aequationis integrali evanurus, cum valore eo, quem aequationis (3) integrale proditum est, congruere debeat, necesse est, habeatur identice

$$\left(\frac{d\lambda}{d\tau} \right) \frac{d\tau}{dt} = a \left(\frac{d\lambda}{da} \right) \frac{da}{dt} + \left(\frac{d\lambda}{de} \right) \frac{de}{dt} + \left(\frac{d\lambda}{d\varpi} \right) \frac{d\varpi}{dt} + \dots$$

Sed e praecedentibus sequitur, in parte sinistra huius aequationis τ in τ tantum contineri, habetur itaque

$$\left(\frac{d\lambda}{d\tau} \right) = \left(\frac{d\lambda}{d\tau} \right) \left(\frac{d\tau}{d\tau} \right)$$

ex qua evadit

$$\left(\frac{d\lambda}{d\tau} \right) = \left(\frac{d\lambda}{d\tau} \right) \left(\frac{d\tau}{d\tau} \right)$$

quo valore ipsius $\left(\frac{d\lambda}{d\tau} \right)$ in aequatione praecedenti substituto, invenitur

$$\frac{d\lambda}{d\tau} = \left(\frac{d\lambda}{d\tau} \right) \left\{ a \left(\frac{d\lambda}{da} \right) \frac{da}{dt} + \left(\frac{d\lambda}{de} \right) \frac{de}{dt} + \left(\frac{d\lambda}{d\varpi} \right) \frac{d\varpi}{dt} + \dots \right\} \quad (5)$$

Quam valor ipsius ξ , si vires perturbantes evanescent, τ sit, constans arbitraria integrali aequationis (5) addenda quoque τ erit. Mutata post integrationem τ in t , obtinemus secundum praecedentia functionem, quae, pro t in valore pure elliptico ipsius ν substituta, valorem perturbatum ejusdem quantitatis praebet. Sit ista functio, vel quod idem est, integrale aequationis (5), mutata τ in t , per litteram z designata. Ceterum, ut perturbations longitudinis mediae loco perturbatorum temporis eruantur, nil faciendum est, quam ut integrale aequationis (5) per λ multiplicetur.

8.

Jam exhibeamus logarithmum radii vectoris perturbati tali modo, ut pars ea, quae integrali aequationis (4) post mutationem factam tanquam constans arbitraria adijcienda sit, ex formula motus pure elliptici adjumento ipsius z loco t , vel quod idem est, ope longitudinis verae perturbatae supputari debeat. Si itaque assumamus, constantem arbitrariam integrali aequationis (4) ope valoris veri ipsius λ computandam esse, eodem modo res se habet, ac si perturbations ex formula hae

$$\int \left(\frac{dlp}{d\tau} \right) \left(\frac{d^2}{dt^2} \right) dt$$

procedentes ad ipsum lp addidissimus. Si itaque illud facimus, ab aequatione (4) deducenda est quantitas haec

$$\left(\frac{dlp}{d\tau} \right) \left(\frac{d\lambda}{d\tau} \right) \left\{ a \left(\frac{d\lambda}{da} \right) \frac{dla}{d\tau} + \left(\frac{d\lambda}{da} \right) \frac{d\sigma}{d\tau} + \left(\frac{d\lambda}{d\sigma} \right) \frac{d\sigma}{d\tau} + \left(\frac{d\lambda}{d\omega} \right) \frac{d\omega}{d\tau} \right\} - \left(\frac{dl(p)}{d\tau} \right) \frac{d^2}{d\tau^2}$$

si hanc quantitatem revera ab aequatione (4) subtrahimus, nec non animadvertimus residuum praebere eam

$$\begin{aligned} \frac{dl(p)}{dt} &= \left\{ a \left(\frac{dlp}{da} \right) - a \left(\frac{d\lambda}{da} \right) \left(\frac{d\lambda}{d\tau} \right) \right\} \frac{dla}{dt} + \left\{ \left(\frac{dlp}{d\sigma} \right) - \left(\frac{d\lambda}{d\sigma} \right) \left(\frac{d\lambda}{d\tau} \right) \right\} \frac{d\sigma}{dt} \\ (6) \dots &+ \left\{ \left(\frac{dlp}{d\omega} \right) - \left(\frac{d\lambda}{d\omega} \right) \left(\frac{d\lambda}{d\tau} \right) \right\} \frac{d\omega}{dt} + \left\{ \left(\frac{dlp}{d\omega} \right) - \left(\frac{d\lambda}{d\omega} \right) \left(\frac{d\lambda}{d\tau} \right) \right\} \frac{d\omega}{dt} + \left(\frac{dl(p)}{d\tau} \right) \frac{d^2}{dt^2} \end{aligned}$$

Cujus igitur integrali valor ipsius lp pure ellipticus, sed ope ipsius ξ loco τ supputatus tanquam constans arbitraria addi debet. Hinc, ut autes logarithmus hyperbolicus radii vectoris perturbati, mutando τ in t elicitur. Jam logarithmus Briggsiorum praesto erit, si aequationem (6) per modulum logarithmorum Briggsiorum multiplicaveris.

$$\begin{aligned} a \left(\frac{d\nu}{da} \right) &= -\frac{1}{2} t \left(\frac{d\nu}{dt} \right) \\ \left(\frac{d\nu}{da} \right) &= \frac{1}{a} \left(\frac{d\nu}{dt} \right) \\ \left(\frac{d\nu}{d\omega} \right) &= 1 - \frac{1}{n} \left(\frac{d\nu}{dt} \right) \end{aligned}$$

$$\left(\frac{dlp}{d\tau} \right) \left(\frac{d^2}{d\tau^2} \right)$$

hinc vero factum est, ut valor verus perturbatus ipsius lp quantitates τ et t duplici modo, involvat, puto implicito, quatenus in ξ continentur, et prolece explicito.

Designata igitur parte ea ipsius lp , in qua τ et t explicite adiunt, per $l(p)$, habetur quatuor differentialis integra respectu ipsius τ , nam haec

$$\left(\frac{dlp}{d\tau} \right) = \left(\frac{dlp}{d\tau} \right) \left(\frac{d^2}{d\tau^2} \right) + \left(\frac{dl(p)}{d\tau} \right)$$

ex qua aequatione elicitur

$$\left(\frac{dlp}{d\tau} \right) = \left(\frac{dlp}{d\tau} \right) - \left(\frac{dl(p)}{d\tau} \right)$$

quantitas igitur ab aequatione (4) subtrahenda erit

$$\left(\frac{dlp}{d\tau} \right) \frac{d^2}{d\tau^2} - \left(\frac{dl(p)}{d\tau} \right) \frac{d^2}{d\tau^2}$$

vel si in membro priore pro $\frac{d^2}{d\tau^2}$ valorem summa ex (5) substituimus

ipsius lp partem, quae ipsas τ et t explicite comprehendit obtinetur

9.

Relationes sequentes inter differentiaia partialia ellipses consistere, e seriebus ν et lr per tempus exhibentibus primo oculorum citatu jam perspicitur.

$$\begin{aligned} a \left(\frac{dlr}{da} \right) &= 1 - \frac{1}{2} t \left(\frac{dlr}{dt} \right) \\ \left(\frac{dlr}{da} \right) &= \frac{1}{a} \left(\frac{dlr}{dt} \right) \\ \left(\frac{dlr}{d\omega} \right) &= -\frac{1}{n} \left(\frac{dlr}{dt} \right) \end{aligned} \left\{ \dots \dots \dots (A) \right.$$

Quae aequationes etiam valent, si pro t ponatur τ , quo ν in λ et r in ρ abit. Habemus igitur quoque

$$\begin{aligned} a \left(\frac{d\lambda}{da} \right) &= -\frac{1}{2} \tau \left(\frac{d\lambda}{d\tau} \right) & a \left(\frac{d\rho}{da} \right) &= 1 - \frac{1}{2} \tau \left(\frac{d\rho}{d\tau} \right) \\ \left(\frac{d\lambda}{d\tau} \right) &= \frac{1}{n} \left(\frac{d\lambda}{d\tau} \right) & \left(\frac{d\rho}{d\tau} \right) &= \frac{1}{n} \left(\frac{d\rho}{d\tau} \right) \\ \left(\frac{d\lambda}{d\varpi} \right) &= 1 - \frac{1}{n} \left(\frac{d\lambda}{d\tau} \right) & \left(\frac{d\rho}{d\varpi} \right) &= -\frac{1}{n} \left(\frac{d\rho}{d\tau} \right) \end{aligned}$$

His aequationibus in (5) substitutis, evadit

$$\frac{d\zeta}{d\tau} = \left(\frac{d\zeta}{d\tau} \right) \left\{ -\frac{1}{2} \tau \frac{d\lambda}{d\tau} + \frac{1}{n} \frac{d\sigma}{d\tau} + \left(\frac{d\lambda}{d\tau} \right) \cdot \frac{d\sigma}{d\tau} + \left(\frac{d\lambda}{d\tau} \right) \cdot \frac{d\varpi}{d\tau} - \frac{1}{n} \frac{d\varpi}{d\tau} \right\} \dots \dots \dots (7)$$

hisdem verò in (6) substitutis, prodit

$$\frac{d(\rho/\tau)}{d\tau} = \frac{d\lambda}{d\tau} + \frac{\left(\frac{d\rho}{d\tau} \right) \left(\frac{d\lambda}{d\tau} \right) - \left(\frac{d\rho}{d\tau} \right) \left(\frac{d\lambda}{d\tau} \right)}{\left(\frac{d\lambda}{d\tau} \right)} \cdot \frac{d\sigma}{d\tau} - \left(\frac{d\rho}{d\tau} \right) \cdot \frac{d\varpi}{d\tau} + \left(\frac{d(\rho/\tau)}{d\tau} \right) \frac{d\zeta}{d\tau} \dots \dots \dots (8)$$

Quas aequationes, quum functiones ipsarum t et τ sint, respectu t aut τ differentiare licet, dummodo quantitates omnes, quae cum illis mutantur, variabiles ponamus. Quodsi respectu t differentiare placeret, clementa omnia, quoniam functiones temporis sunt, variabilia poni deberent,

sin respectu τ differentiamus, modo λ et ρ ita tractari opus est, quoniam solae quantitates illam continent. Differentietur aequatio (7) per $\left(\frac{d\zeta}{d\tau} \right)$ divisa respectu τ . Quod differentiale facile reperitur esse

$$\frac{d \cdot \left(\frac{d\zeta}{d\tau} \right)}{d\tau} = -\frac{1}{2} \frac{d\lambda}{d\tau} + \frac{\left(\frac{d\lambda}{d\tau} \right) \left(\frac{d\lambda}{d\tau} \right) - \left(\frac{d\lambda}{d\tau} \right) \left(\frac{d\lambda}{d\tau} \right)}{\left(\frac{d\lambda}{d\tau} \right)^2} \cdot \frac{d\sigma}{d\tau} - \left(\frac{d\lambda}{d\tau} \right) \cdot \frac{d\varpi}{d\tau} \dots \dots \dots (9)$$

Ratio eor hoc differentiale elegimus, ex sequentibus facile intelligitur.

longitudinum verarum, radiorum vectorum, inclinationum reciprocarum et longitudinum nodorum his respondentium. Hinc sequitur esse

Quantitas Ω , ut postea clarius apparebit, functio est

$$\begin{aligned} \left(\frac{d\Omega}{da} \right) &= \left(\frac{d\Omega}{d\nu} \right) \left(\frac{d\nu}{da} \right) + r \left(\frac{d\Omega}{dr} \right) \left(\frac{dr}{da} \right) \\ \left(\frac{d\Omega}{d\tau} \right) &= \left(\frac{d\Omega}{d\nu} \right) \left(\frac{d\nu}{d\tau} \right) + r \left(\frac{d\Omega}{dr} \right) \left(\frac{dr}{d\tau} \right) \\ \left(\frac{d\Omega}{d\varpi} \right) &= \left(\frac{d\Omega}{d\nu} \right) \left(\frac{d\nu}{d\varpi} \right) + r \left(\frac{d\Omega}{dr} \right) \left(\frac{dr}{d\varpi} \right) \end{aligned}$$

Quarum aequationum cum (A) junctarum ope, prima, tertia quartaque aequationum (2) transcunt in has

$$\left. \begin{aligned} \frac{d\lambda}{d\tau} &= 2a \left(\frac{d\nu}{d\tau} \right) \left(\frac{d\Omega}{d\nu} \right) + 2a \left(\frac{dr}{d\tau} \right) r \left(\frac{d\Omega}{dr} \right) \\ \frac{d\sigma}{d\tau} &= a \frac{1-e^2}{e} \left\{ \left(\frac{d\nu}{d\tau} \right) - \frac{n}{\sqrt{(1-e^2)}} \right\} \left(\frac{d\Omega}{d\nu} \right) + a \frac{1-e^2}{e} \left(\frac{dr}{d\tau} \right) r \left(\frac{d\Omega}{dr} \right) \\ \frac{d\varpi}{d\tau} &= an \frac{\sqrt{(1-e^2)}}{e} \left(\frac{d\nu}{d\tau} \right) \left(\frac{d\Omega}{d\nu} \right) + an \frac{\sqrt{(1-e^2)}}{e} \left(\frac{dr}{d\tau} \right) r \left(\frac{d\Omega}{dr} \right) + an \frac{e\zeta \frac{1}{2}}{\sqrt{(1-e^2)}} \left(\frac{d\Omega}{d\tau} \right) \end{aligned} \right\} \dots \dots \dots (10)$$

(Die Fortsetzung folgt.)

ASTRONOMISCHE NACHRICHTEN.

N^o 167.

Disquisitiones circa theoriā perturbationum quae motum corporum coelestium afficiunt.

auctore

P. A. Hansen,

Observatorii Seebergensis Directore.

(Fortsetzung.)

His aequationibus in (9) atque (n) substitutis, membroque
in ultima per $eg\frac{1}{2}$ multiplicato, quod, ut postea | elucebit semper cifrae aequare nobis licet, rejecto, obli-
nemus

$$(11) - \frac{\left(\frac{d^2\zeta}{d\tau^2}\right)}{\frac{d\zeta}{d\tau}} = a \left\{ \frac{1-e^2}{e} \cdot \frac{\left(\frac{d^2\lambda}{ded\tau}\right)\left(\frac{d\lambda}{d\tau}\right) - \left(\frac{d^2\lambda}{d\tau^2}\right)\left(\frac{d\lambda}{de}\right)}{\left(\frac{d\lambda}{d\tau}\right)^2} \left\{ \left(\frac{d\nu}{d\tau}\right) - \frac{n}{\sqrt{1-e^2}} \right\} - n \frac{\sqrt{1-e^2}}{e} \cdot \left(\frac{d^2\lambda}{d\tau^2}\right) \left(\frac{d\nu}{d\tau}\right) - 3 \left(\frac{d\nu}{d\tau}\right) \right\} \left(\frac{d\Omega}{d\tau}\right) \\ + a \left\{ \frac{1-e^2}{e} \cdot \frac{\left(\frac{d^2\lambda}{ded\tau}\right)\left(\frac{d\lambda}{d\tau}\right) - \left(\frac{d^2\lambda}{d\tau^2}\right)\left(\frac{d\lambda}{de}\right)}{\left(\frac{d\lambda}{d\tau}\right)^2} \left(\frac{d\lambda}{d\tau}\right) - n \frac{\sqrt{1-e^2}}{e} \cdot \left(\frac{d^2\lambda}{d\tau^2}\right) \left(\frac{d\lambda}{d\tau}\right) - 3 \left(\frac{d\lambda}{d\tau}\right) \right\} r \left(\frac{d\Omega}{d\tau}\right)$$

$$(12) \dots \frac{d\lambda(\varphi)}{d\tau} - \left(\frac{d\lambda}{d\tau}\right) \cdot \frac{d\zeta}{d\tau} \\ = a \left\{ \frac{1-e^2}{e} \cdot \frac{\left(\frac{d\lambda p}{d\tau}\right)\left(\frac{d\lambda}{d\tau}\right) - \left(\frac{d\lambda p}{d\tau}\right)\left(\frac{d\lambda}{de}\right)}{\left(\frac{d\lambda}{d\tau}\right)^2} \left\{ \left(\frac{d\nu}{d\tau}\right) - \frac{n}{\sqrt{1-e^2}} \right\} - n \frac{\sqrt{1-e^2}}{e} \cdot \left(\frac{d\lambda p}{d\tau}\right) \left(\frac{d\nu}{d\tau}\right) + 2 \left(\frac{d\nu}{d\tau}\right) \right\} \left(\frac{d\Omega}{d\tau}\right) \\ + a \left\{ \frac{1-e^2}{e} \cdot \frac{\left(\frac{d\lambda p}{d\tau}\right)\left(\frac{d\lambda}{d\tau}\right) - \left(\frac{d\lambda p}{d\tau}\right)\left(\frac{d\lambda}{de}\right)}{\left(\frac{d\lambda}{d\tau}\right)^2} \left(\frac{d\lambda}{d\tau}\right) - n \frac{\sqrt{1-e^2}}{e} \cdot \left(\frac{d\lambda p}{d\tau}\right) \left(\frac{d\lambda}{d\tau}\right) + 2 \left(\frac{d\lambda}{d\tau}\right) \right\} r \left(\frac{d\Omega}{d\tau}\right)$$

Secundum principia in art. 4 tradita, in harum aequationum dextris partibus pro quotientibus differentialibus valores it substitui debent, qui in motu imperturbato existunt; integrando autem omnia variabilia spectanda sunt.

Constans arbitraria integrali aequationis (11) respectu τ addenda functio est ipsius τ , quae ita determinatur, ut, mutata τ in t , integrale evanescat. Cujus ratio ex theoria variationis constantium arbitrariorum facilis intellectu est. Nam quum differentialia prima coordinatarum sive perturbationum sive imperturbationum eadem forma gaudeant, certe

71 B4.

differentialia illa ita sumta, ut non nisi elementa variata sint, evanescere debent, si non, forma in alter utroque statu eadem non esset. Mutando vero in quantitate $\frac{d\zeta}{d\tau}$ ipsam τ in t , eam differentialis coordinatae ν pariem, quae a variatione elementorum tantum provenit, adepti sumus, quae itaque cifrae aequari debet. Si vero sub hac conditione est

$$\frac{d\zeta}{d\tau} = 0, \text{ etiam mutando } \tau \text{ in } t, \text{ esse debet } \left(\frac{d\zeta}{d\tau}\right) = 0,$$

quod est integrale nostrum.

10.

Incipiamus valores factorum ipsarum $\left(\frac{d\nu}{d\sigma}\right)$ et $r\left(\frac{d\lambda}{d\sigma}\right)$

in (11) et (12) evolvere. E formulis motus pure elliptici notis sequitur haberi

$$\left(\frac{d\nu}{d\sigma}\right) = n \frac{a^2}{r^2} \sqrt{1-e^2}$$

$$\left(\frac{d\nu}{d\sigma}\right) = \left\{ \frac{1}{1-e^2} + \frac{a}{r} \right\} \sin(\nu-\varpi)$$

$$\left(\frac{dr}{d\sigma}\right) = n \frac{a}{r} \cdot \frac{e \sin(\nu-\varpi)}{\sqrt{1-e^2}}$$

$$\left(\frac{dr}{d\sigma}\right) = -\frac{a}{r} \cos(\nu-\varpi)$$

quibus ad institutum nostrum addi debent hae

$$\left(\frac{d\lambda}{d\sigma}\right) = n \frac{a^2}{r^2} \sqrt{1-e^2}$$

$$\left(\frac{d\lambda}{d\sigma}\right) = \left\{ \frac{1}{1-e^2} + \frac{a}{r} \right\} \sin(\lambda-\varpi)$$

$$\left(\frac{d\lambda}{d\sigma}\right) = n \frac{a}{r} \cdot \frac{e \sin(\lambda-\varpi)}{\sqrt{1-e^2}}$$

$$\left(\frac{d\lambda}{d\sigma}\right) = -\frac{a}{r} \cos(\lambda-\varpi)$$

$$\frac{1-e^2}{e} \frac{\left(\frac{d^2\lambda}{d\sigma^2}\right) \left(\frac{d\lambda}{d\sigma}\right) - \left(\frac{d^2\lambda}{d\sigma^2}\right) \left(\frac{d\lambda}{d\sigma}\right)}{\left(\frac{d\lambda}{d\sigma}\right)^2} = 1 + 2 \frac{p}{a} \frac{\cos(\lambda-\varpi)}{e(1-e^2)} + 2 \frac{p}{a} \cdot \frac{1}{1-e^2}$$

$$n \frac{\sqrt{1-e^2}}{e} \frac{\left(\frac{d^2\lambda}{d\sigma^2}\right)}{\left(\frac{d\lambda}{d\sigma}\right)^2} = 2 \sqrt{1-e^2} \frac{p}{a} \sin(\lambda-\varpi)$$

$$\frac{1-e^2}{e} \frac{\left(\frac{d\lambda}{d\sigma}\right) \left(\frac{d^2\lambda}{d\sigma^2}\right) - \left(\frac{d\lambda}{d\sigma}\right) \left(\frac{d^2\lambda}{d\sigma^2}\right)}{\left(\frac{d\lambda}{d\sigma}\right)^2} = -1 - \frac{p}{a} \frac{\cos(\lambda-\varpi)}{e(1-e^2)} - \frac{p}{a} \cdot \frac{1}{1-e^2}$$

$$n \frac{\sqrt{1-e^2}}{e} \frac{\left(\frac{d\lambda}{d\sigma}\right)}{\left(\frac{d\lambda}{d\sigma}\right)^2} = -\frac{n}{\sqrt{1-e^2}} \frac{p}{a} \sin(\lambda-\varpi)$$

$$\left(\frac{d\nu}{d\sigma}\right) - \frac{n}{\sqrt{1-e^2}} = \frac{n}{\sqrt{1-e^2}} \left\{ \frac{a^2(1-e^2)}{r^2} - 1 \right\}$$

quibus multiplicatis additque, sicut aequationes (11) et (12) docent, invenitur

$$r = \frac{a(1-e^2)}{1+e \cos(\nu-\varpi)}$$

$$p = \frac{a(1-e^2)}{1+e \cos(\lambda-\varpi)}$$

quarum ultimae duae facili opera praebent

$$\frac{a^2}{r^2} = \frac{1}{(1-e^2)^2} + \frac{e \cos(\nu-\varpi)}{(1-e^2)^2} + \frac{a}{r} \cdot \frac{e \cos(\nu-\varpi)}{1-e^2} \dots (a)$$

$$1 = \frac{p}{a} \cdot \frac{1}{1-e^2} + \frac{p}{a} \cdot \frac{e \cos(\lambda-\varpi)}{1-e^2} \dots (b)$$

Ope harum expressionum quotientes differentiales secundi ordinis quibus utemur, sub forma sequenti perfacile redigi possunt.

$$\left(\frac{d^2\lambda}{d\sigma^2}\right) = -2n^2 \frac{a^2}{r^2} e \sin(\lambda-\varpi)$$

$$\begin{aligned} \left(\frac{d^2\lambda}{d\sigma^2}\right) &= 2 \frac{n}{\sqrt{1-e^2}} \frac{a^2}{r^2} \cos(\lambda-\varpi) \\ &+ \frac{n}{\sqrt{1-e^2}} \frac{a^2}{r^2} e \cos^2(\lambda-\varpi) \\ &- \frac{n}{\sqrt{1-e^2}} \frac{a^2}{r^2} e \sin^2(\lambda-\varpi) \end{aligned}$$

$$\left(\frac{d\lambda}{d\sigma}\right)^2 = n^2 \frac{a^2}{r^2} (1-e^2)$$

hinc quantitates in (11) et (12) occurrentes

$$\begin{aligned} \text{factor ipsius } \left(\frac{d\Omega}{d\nu} \right) \text{ in (11)} &= \frac{a}{\sqrt{1-e^2}} \times \\ &- 2 \frac{a^3}{r^3} (1-e^2) + 2 \frac{e a \cos(\lambda - \varpi)}{r^2} \\ &+ 2 \frac{e a}{r^3} - 2 \frac{e \cos(\lambda - \varpi)}{a(1-e^2)} \\ &- 1 - 2 \frac{e}{a} \cdot \frac{1}{1-e^2} + 2 \frac{e \sin(\lambda - \varpi) \sin(\nu - \varpi)}{1-e^2} \\ &+ 2 \frac{e \sin(\lambda - \varpi) \sin(\nu - \varpi)}{1-e^2} \end{aligned}$$

11.

Connexus inter aequationes praecedentes memorari dignus, a posteriore facile probatur per aequationem jam adhibitam hanc

$$\left(\frac{d\lambda}{d\tau}\right) = n \frac{a^2}{r^3} \sqrt{(1-e^2)}$$

quae in motu perturbato aequo jure atque in motu imperurbato locum habet, dummodo elucuta omnia variabilia ponantur. Sumto logarithmum utriusque membri, aequatio abit in hanc

$$2lp = l.n.a^2 \sqrt{(1-e^2)} - l. \left(\frac{d\lambda}{d\tau}\right)$$

$$2 \frac{dl(p)}{dt} + 2 \left(\frac{dlp}{d\zeta}\right) \frac{d\zeta}{dt} = \frac{d.l.a^2.n \sqrt{(1-e^2)}}{dt} - \left(\frac{d^2\lambda}{d\zeta^2}\right) \frac{d\zeta}{dt} - \left(\frac{d^2\zeta}{d\tau^2}\right)$$

differentiando vero eandem respectu τ , prodit

$$2 \frac{dl(p)}{d\tau} + 2 \left(\frac{dlp}{d\zeta}\right) \frac{d\zeta}{d\tau} = - \left(\frac{d^2\lambda}{d\zeta^2}\right) \left(\frac{d\zeta}{d\tau}\right) - \left(\frac{d^2\zeta}{d\tau^2}\right)$$

si posteriorem harum aequationum, postquam per $\left(\frac{d\lambda}{d\tau}\right)$ multiplicata est, a priori subtrahimus, evadit

$$2 \frac{dl(p)}{dt} - 2 \left(\frac{dlp}{d\zeta}\right) \left(\frac{d\zeta}{dt}\right) = \frac{d.l.a^2.n \sqrt{(1-e^2)}}{dt} - \left(\frac{d^2\lambda}{d\tau d\zeta}\right) \left(\frac{d\zeta}{d\tau}\right) - \left(\frac{d^2\zeta}{d\tau^2}\right) \left(\frac{d\zeta}{dt}\right)$$

vel

$$2 \frac{dl(p)}{dt} - 2 \left(\frac{dlp}{d\zeta}\right) \left(\frac{d\zeta}{dt}\right) = \frac{d.l.a^2.n \sqrt{(1-e^2)}}{dt} - \frac{d. \left(\frac{d\lambda}{d\tau}\right)}{d\tau} \dots \dots \dots (15)$$

Deinde habetur

$$l.a^2.n \sqrt{(1-e^2)} = 2la + ln + \frac{1}{2}l(1-e^2)$$

itaque

$$\frac{d.l.a^2.n \sqrt{(1-e^2)}}{dt} = 2 \frac{dla}{dt} + \frac{dln}{dt} - \frac{e}{1-e^2} \cdot \frac{de}{dt}$$

sed aequatio (1) suppeditat

$$2 \frac{dl(p)}{dt} - 2 \left(\frac{dlp}{d\zeta}\right) \left(\frac{d\zeta}{dt}\right) = \frac{an}{\sqrt{(1-e^2)}} \left(\frac{d\Omega}{d\tau}\right) - \frac{d. \left(\frac{d\lambda}{d\tau}\right)}{d\tau} \dots \dots \dots (16)$$

quae connexus inter (13) et (14) pulcherrime illustrat.

Dum aequationem hanc differentiamus, respiciendum nobis est ad formam, sub qua perturbationes in praecedentibus exhibuimus. Scilicet λ non est nisi functio ipsius ζ , quae quantitas revera est functio ipsarum τ et t , ipsa lp vero tum est functio ipsius ζ tum ipsarum τ et t . Erit igitur

$$\left(\frac{d\lambda}{d\tau}\right) = \left(\frac{d\lambda}{d\zeta}\right) \left(\frac{d\zeta}{d\tau}\right)$$

Cum hac aequatione quantitate $\left(\frac{d\lambda}{d\tau}\right)$ in aequatione praecedenti eliminata, nanciscimur

$$2lp = l.n.a^2 \sqrt{(1-e^2)} - l. \left(\frac{d\lambda}{d\zeta}\right) - l. \left(\frac{d\zeta}{d\tau}\right)$$

differentiando hanc respectu ipsius t , invenitur

$$\left(\frac{d^2\lambda}{d\zeta^2}\right) \frac{d\zeta}{dt} - \left(\frac{d^2\zeta}{d\tau^2}\right)$$

hinc atque per primam et secundam aequationum (10) aequatio praecedens mutatur in hanc

$$\frac{d.l.a^2.n \sqrt{(1-e^2)}}{dt} = \frac{an}{\sqrt{(1-e^2)}} \left(\frac{d\Omega}{d\tau}\right)$$

Aequatio igitur (15) fit

$$d. \left(\frac{d\lambda}{d\tau}\right) \frac{d\zeta}{d\tau}$$

12.

Quam nobis non propositum sit aequationes (13) et (14) hic evolvere atque integrare, non nisi momenta praecipua illarum computationum afferamus. Statim evidens est, integrationem iisdem principiis in art. 4 traditis imitti, quae docent, valores veros functionum elementorum occurrence esse substituendos, quo facto, tempus solum variabile esse, et illic perveniri per approximationes successivas, incipiendo per substitutionem valorum pure ellipticorum. His itaque adhibitis valoribus, membra ad dextram aequationum nostrarum in series infinitas secundum sinus et cosinus multiplicium anomaliarum mediarum progredientes evolvere negotium primum constituit. Methodum quantitatum $\left(\frac{d\Omega}{dv}\right)$

et $r\left(\frac{d\Omega}{dr}\right)$ evolvendarum, ut quamvis approximationem adhibendam, in fine hujus dissertationis breviter indicabimus, qua methodo factores etiam ipsarum $\left(\frac{d\Omega}{dv}\right)$ et $r\left(\frac{d\Omega}{dr}\right)$, imo aequationes totas statim evolvere liceat, sed subsidiis quibusdam aliis evolutiones factorum eorum melius expediuntur. Series hinc procedentes admodum convergunt, nisi excentricitates, ut in motibus cometarum, nimiae sint. Multiplicationes per series ipsarum $\left(\frac{d\Omega}{dv}\right)$ et $r\left(\frac{d\Omega}{dr}\right)$ postea perficiendae, ad summationes legem simplicissimam sequentes, facile reducantur.

Manifesto valor verus functionis cujusvis longitudinis verae et radii vectoris, quae elementa praeterea non continent, obtinetur substituendo ubique n a id est integrale per n multiplicatum aequationis (13) pro longitudine media, et integrale aequationis (14) hoc est $l(r)$ pro logarithmo radii vectoris. Jam quantitates nostrae $\left(\frac{d\Omega}{dv}\right)$ et $r\left(\frac{d\Omega}{dr}\right)$, si inclinationes reciprocas et longitudines nodorum excipias, functiones tales longitudinum verarum et radiorum vectorum planetarum tum perturbantium, tum perturbati sunt, valores eorum igitur, veris magis appropinquantes, uti in approximatione secunda adhibendi sunt, erui poterant, quando calculis numericis aequationum (13) et (14) in approximatione prima absolutus erit. Valores magis approximati inclinationum et longitudinum nodorum, qui valorem quantitatum $\left(\frac{d\Omega}{dv}\right)$ et $r\left(\frac{d\Omega}{dr}\right)$ in approximatione secunda adhibendarum integrum reddunt, ex formulis infra tradendis prodituri sunt. Simili modo in approximationibus sequentibus est agendum. In casibus ita ubi approximatio secunda minimas tantum perturbaciones primae ad-

dit, valores accurtiore ipsarum $\left(\frac{d\Omega}{dv}\right)$ et $r\left(\frac{d\Omega}{dr}\right)$ quantum a longitudinibus et radiis vectoribus pendent, ope theorematum *Taylorianis* expedite supputantur, quoties per valores pure ellipticos quantitates has $r^3\left(\frac{d^3\Omega}{dr^3}\right)$, $r\left(\frac{d^3\Omega}{dr^3dv}\right)$ et $r\left(\frac{d^3\Omega}{drdv^2}\right)$ erui se, quarum ultimae duae e prima facile derivantur. Quam $\left(\frac{d\Omega}{dv}\right)$ et $r\left(\frac{d\Omega}{dr}\right)$, evolutione facta, anomalias medias explicite continent, quotientes differentiales earum respectu longitudinum mediarum facile obtinentur, eaeque respectu logarithmorum radiorum vectorum et quantitatibus mole memoratis supputantur. Scilicet quum sit

$$\left(\frac{d\Omega}{dr}\right) = r\left(\frac{d\Omega}{dr}\right)$$

erit

$$\left(\frac{d^2\Omega}{dvdr}\right) = r\left(\frac{d^2\Omega}{dvdr}\right), \quad \left(\frac{d^2\Omega}{dr^2}\right) = r\left(\frac{d^2\Omega}{dr^2}\right)$$

$$\left(\frac{d^3\Omega}{dr^3}\right) = r^3\left(\frac{d^3\Omega}{dr^3}\right) + r\left(\frac{d^3\Omega}{dr^3}\right)$$

hinc, quum Ω sit functio homogenea radiorum, proprietates nota talium functionum quotientes differentiales ceteras praebit.

13.

Factores ipsarum $\left(\frac{d\Omega}{dv}\right)$ et $r\left(\frac{d\Omega}{dr}\right)$ quantitates has r , v , p , λ continent, quae magis magisque veritati appropinquantes iisdem aequationibus omnes dantur. Qui factores etiam functiones duas elementorum has $\frac{1}{a^2(1-e^2)}$ et $\frac{an}{\sqrt{(1-e^2)}}$ involvant, quae accuratius erui debent. Quod levi, vel potius sine ullo negotio perficitur, quia quantitatibus, a quibus pendent, praeterea usi sumus. Habetur enim

$$l\left(\frac{1}{a(1-e^2)}\right) = -la - l(1-e^2)$$

$$l\left(\frac{an}{\sqrt{(1-e^2)}}\right) = la + ln - \frac{1}{2}l(1-e^2)$$

hinc, et quum $3dla = -2dln$ (ex aeq. (1))

$$\frac{d, l\left(\frac{1}{a(1-e^2)}\right)}{dt} = -\frac{dla}{dt} + 2\frac{dln}{1-e^2} \frac{de}{dt}$$

$$\frac{d, l\left(\frac{an}{\sqrt{(1-e^2)}}\right)}{dt} = -\frac{dla}{dt} + \frac{e}{1-e^2} \frac{de}{dt}$$

si igitur ex (10) valores differentialem substituantur, emergit

$$\frac{d \cdot l \cdot \frac{1}{n(1-\varepsilon^2)}}{dt} = 2 \frac{d \cdot l \cdot \frac{an}{\sqrt{(1-\varepsilon^2)}}}{dt} = -2 \frac{an}{\sqrt{(1-\varepsilon^2)}} \left(\frac{d\Omega}{d\nu} \right)$$

Correctionis ab $\sqrt{\frac{an}{(1-\varepsilon^2)}}$ oritur facile ratio habetur. Quia enim Ω sit functio homogenea radiorum vectorum dimensionis -1 , omnia hic pertinentia, si in $\left(\frac{d\Omega}{d\nu} \right)$ et in $r \left(\frac{d\Omega}{dr} \right)$ quantitates perturbatae $\frac{r\sqrt{(1-\varepsilon^2)}}{an}$, $r\sqrt{(1-\varepsilon^2)}$, etc. loco r, r' etc. id est $lr - l \cdot \frac{an}{\sqrt{(1-\varepsilon^2)}}$, $lr' - l \cdot \frac{an}{\sqrt{(1-\varepsilon^2)}}$ etc. loco lr, lr' etc. substituantur, absoluta esse, unusquisque, me non momente videt.

Pars reliqua factorum horum ope theorematum *Tayloriani* commodè semper corrigitur, quoties in prima approximatione quantitates $\frac{p}{r} \cos(\nu - \lambda)$, $\frac{p}{r} \sin(\nu - \lambda)$ et $\frac{p}{a(1-\varepsilon^2)} [\cos(\nu - \lambda) - 1]$ separatim evolvantur sunt. Habetur enim

$$d \cdot \frac{p}{r} \cos(\nu - \lambda) = \frac{p}{r} \cos(\nu - \lambda)$$

$$d \cdot \frac{p}{r} \cos(\nu - \lambda) = - \frac{p}{r} \cos(\nu - \lambda)$$

$$d^2 \cdot \frac{p}{r} \cos(\nu - \lambda) = \frac{p}{r} \cos(\nu - \lambda)$$

$$d^2 \cdot \frac{p}{r} \cos(\nu - \lambda) = - \frac{p}{r} \cos(\nu - \lambda)$$

$$d^2 \cdot \frac{p}{r} \cos(\nu - \lambda) = \frac{p}{r} \cos(\nu - \lambda)$$

etc. etc.

quae itaque omnia functionem ipsam aequant, vel cum eodem vel cum opposito signo et idem valet de quantitatibus reliquis. Quotientes differentiales respectu longitudinum mediarum hic quoties facile reperiuntur, quia in approxima-

$$\begin{aligned} & - \frac{A}{[in + i'n' + \dots]^2} \cos(ig + i'g' + \text{etc.}) \\ & + \frac{(\tau - t) A}{in + i'n' + \dots} \sin(ig + i'g' + \text{etc.}) \end{aligned} \quad \begin{aligned} & - \frac{B}{[in + i'n' + \dots]^2} \sin(ig + i'g' + \text{etc.}) \\ & - \frac{(\tau - t) B}{in + i'n' + \dots} \cos(ig + i'g' + \text{etc.}) \end{aligned}$$

quorum ultimi duo, mutato τ in t , in valore ipsius z evanescunt. Tali modo in aequatione (13) oriuntur termini, perturbaciones maximas prodituri, quoties motus planetarum

tionem primam quantitates illae in series secundum sinus et cosinus multiplicium anomaliarum mediarum ipsis τ et t respondentium jam evolvantur sunt.

Quum $\left(\frac{d\Omega}{d\nu} \right)$ et $r \left(\frac{d\Omega}{dr} \right)$ quantitates τ non contineant, integratio respectu hujus quantitates, in quavis approximatione ante multiplicationem peractas, perficere licet, cujus integralis expressio analytica facile eruitur.

Quum constans arbitraria aequationi (13) post integrationem respectu ipsius t addenda sit τ , habetur

$$\left(\frac{d\zeta}{d\tau} \right) = 1 + \text{termini per masses perturbantes multiplicatis,}$$

quare in approximatione prima ipse factor unitati aequalis ponitur. In approximatione vero secunda valor ejus elicitur, si valor ipsius ζ , quem approximatio prima prodiderat respectu τ differentiiatur; et pari modo in approximationibus

ulterioribus. Terminus $\left(\frac{d\ell(q)}{d\tau} \right) \left(\frac{d\zeta}{d\tau} \right)$ aequationis (14),

qui, ut patet, secundi ordinis est, in prima approximatione quoque negligitur, in ceteris vero ex valoribus ipsarum ζ et $\ell(q)$, quatenus jam evolutae sunt, exstruitur.

14.

Factores, ipsarum $\left(\frac{d\Omega}{d\nu} \right)$ et $r \left(\frac{d\Omega}{dr} \right)$, praeter alia terminos continent, ubi τ deest, integrati igitur respectu ipsius τ involvunt terminos per ipsam τ multiplicatos, hinc evenit, ut in functione ipsius t , quae secundum art. 9 vice constantis arbitrariae huic integrationi addenda fungitur, termini adsum, qui illis prorsus similes, eo tantum diversi sunt, quod $-t$ pro τ inest. Aequatio (13) igitur respectu τ integrata partim constans terminis hujus formae

$(\tau - t) A \cos(ig + i'g' + \text{etc.}) + (\tau - t) B \sin(ig + i'g' + \text{etc.})$
Ubi i, i' etc. numeri integri, g, g' etc. anomaliae mediae et A atque B coefficientes constantes sunt. Quibus per $d\tau$ multiplicatis et respectu τ per partes integratis, in valore ipsius ζ termini exstant hi

$$\begin{aligned} & - \frac{B}{[in + i'n' + \dots]^2} \sin(ig + i'g' + \text{etc.}) \\ & - \frac{(\tau - t) B}{in + i'n' + \dots} \cos(ig + i'g' + \text{etc.}) \end{aligned}$$

sive sunt commensurabiles. Approximatio secunda illis addit terminos per $\tau - t$ multiplicatos, quos simili modo ut illos integrare licet, et sic porro.

15.

Integrale aequationis (13) respectu τ praeterea terminos gignit, ut hos

$$C \cos i\gamma + D \sin i\gamma$$

ubi $\gamma = n\tau + s - \varpi$ sive quasi anomaliam mediam ipsi τ respondentem denotat. Quibus per $d\tau$ multiplicatis atque integratis, habemus in ipsa ζ hos

$$t C \cos i\gamma + t D \sin i\gamma$$

quibus approximatio secunda addit hos

$$t^2 E \cos i\gamma + t^2 F \sin i\gamma$$

et sic porro. Qui termini, mutata τ in t , variationum elementorum saecularium vice funguntur.

16.

Perturbationes ipsius lp et logarithmi radii vectoris in approximatione quidem prima, ut ex (13) et (14) apparet, calculum peculiarem non exigunt. Valor enim ipsius ζ secundum (13) supputatis, et ante mutationem saepe memoratam peractam, respectu ipsius τ differentialis, statim praebet perturbationes ipsius lp si, adiecto $-d\tau \int \frac{an}{\sqrt{1-e^2}} \left(\frac{d\Omega}{d\tau} \right) d\tau$, per $-2 d\tau$ dividitur, hinc mutata τ in t , ipsa $l(p)$ evadit. In approximationibus ulterioribus idem locum habet, modo effectus factoris $\left(\frac{d\zeta}{d\tau} \right)$

neq non terminus $\left(\frac{dl(p)}{d\tau} \right) \left(\frac{d\zeta}{d\tau} \right)$ separari supputentur.

Haec de formularum (13) et (14) tractatione indicasse sufficit, quum jam satis conspiciatur, quomodo computatio perturbationum peragi possit. Altamen aequationum (13) et (14) indolem diligenter perscrutatus, modum peculiarem assecutus sum, per quem praecipuum calculus perturbationum secundi ordinis commodissime et tutissime perficitur. Quum vero huius methodi expositio ab instituto nostro aliena sit, eam ad aliud tempus nobis reservamus.

17.

Priusquam perturbationes latitudinis exhibemus, aequationem conditionalem, qua, valoribus numericis perturbationum erutis, calculus conficiari potest, memorare ex re erit.

$$\begin{aligned} & \alpha \sin (ig + i'g' + \dots) + \beta \sin (\gamma + (i-1)g + i'g' + \dots) + \delta \sin (2\gamma + (i-2)g + i'g' + \dots) + \text{etc.} \\ & \quad + \alpha \sin (-\gamma + (i+1)g + i'g' + \dots) + \delta \sin (-2\gamma + (i+2)g + i'g' + \dots) + \text{etc.} \\ & \quad + \gamma (\pi\tau - n) \cos (ig + i'g' + \dots) \\ & + \alpha' \cos (ig + i'g' + \dots) + \beta' \cos (\gamma + (i-1)g + i'g' + \dots) + \delta' \cos (2\gamma + (i-2)g + i'g' + \dots) + \text{etc.} \\ & \quad + \alpha' \cos (-\gamma + (i+1)g + i'g' + \dots) + \delta' \cos (-2\gamma + (i+2)g + i'g' + \dots) + \text{etc.} \\ & + \eta' (\pi\tau - n) \sin (ig + i'g' + \dots) \end{aligned}$$

Quum differentialia prima coordinatarum, respectu temporis, sive perturbatarum sive imperturbatarum eadem forma gaudeant, elementa in hac differentiatione ad libitum aut variabilia aut invariabilia poni possunt. Si directo modo coordinatam perturbatam ν respectu t differentiauerimus, manifeste elementa variabilia posuimus, quoniam functiones ipsius t sunt, sin autem ζ respectu τ differentiauerimus, et postea t pro τ scriperimus, coordinata ν ita differentiata est, ac si elementa invariabilia essent, quoniam τ in elementorum valoribus perturbatis non adest. Modus aliter proebet

$$\frac{d\nu}{dt} = \left(\frac{d\nu}{d\tau} \right) \frac{d\tau}{dt}$$

modum vero aliter

$$\frac{d\nu}{d\tau} = \left(\frac{d\lambda}{d\zeta} \right) \frac{d\zeta}{d\tau}$$

si in hac aequatione τ in t mutatur. Quae aequationes, quum secundum principium modo allatum congruere debeant, producit

$$\left(\frac{d\lambda}{d\zeta} \right) \frac{d\zeta}{d\tau} = \left(\frac{d\nu}{d\tau} \right) \frac{d\tau}{dt}$$

Sed evidens est, esse

$$\left(\frac{d\lambda}{d\zeta} \right) = \left(\frac{d\nu}{d\tau} \right)$$

post mutationem saepe memoratam, emergit igitur aequatio conditionalis haec

$$\frac{d\zeta}{d\tau} = \frac{ds}{dt}$$

si in parte ad sinistram, post differentiationem τ in t mutamus. Non aliter res se habet in logarithmi radii vectoris differentiali respectu t , quod, quum lr sit functio ipsorum z et t , invenitur

$$\frac{dl(r)}{d\tau} + \left(\frac{dl(r)}{d\zeta} \right) \frac{d\zeta}{d\tau} = \frac{dl(r)}{ds} + \left(\frac{dl(r)}{dt} \right) \frac{ds}{dt}$$

sed erit quoque post mutationem saepe memoratam

$$\left(\frac{dl(r)}{d\zeta} \right) = \left(\frac{dl(r)}{ds} \right)$$

hinc, et ope aequationis praecedentis habetur

$$\frac{dl(r)}{d\tau} = \frac{dl(r)}{ds}$$

ei in parte ad sinistram, sicut in illa, τ et t mutamus.

Forma generalis membrum cuiuscumque in ζ est haec

quomobrem membra illi correspondens in $z =$

$$\left\{ \begin{array}{l} \alpha' + \beta' + \delta + \text{etc.} \\ + \alpha + \beta + \theta + \text{etc.} \end{array} \right\} \sin (ig + i'g' + \text{etc.}) + \left\{ \begin{array}{l} \alpha' + \beta' + \delta' + \text{etc.} \\ + \alpha' + \beta' + \theta' + \text{etc.} \end{array} \right\} \cos (ig + i'g' + \text{etc.})$$

Inter has quantitates α, β , etc. α', β' etc. habebimus secundum praecedentia aequationes conditionales has

$$\frac{n}{in + i'n' + \dots} \left\{ \begin{array}{l} \beta + 2\delta + \text{etc.} + \eta \\ - \alpha - 2\theta - \text{etc.} \end{array} \right\} = \frac{\alpha + \beta + \delta + \text{etc.}}{+ \alpha + \beta + \theta + \text{etc.}}$$

$$\frac{n}{in + i'n' + \dots} \left\{ \begin{array}{l} \beta' + 2\delta' + \text{etc.} - \eta' \\ - \alpha' - 2\theta' - \text{etc.} \end{array} \right\} = \frac{\alpha' + \beta' + \delta' + \text{etc.}}{+ \alpha' + \beta' + \theta' + \text{etc.}}$$

Ejusdem fere formae aequationes conditionales logarithmi radii vectoris sunt, in his quidem quantitas η non apparet. Ceterum has aequationes de approximatione quacunque secunda valere, animadvertet quicumque aliquam huic rei navare velit attentionem.

Denique magnam aequationum conditionalium numerum, quo haec vel illa computationis numerice pars confirmari potest, ex methodo nostra elicere licet, sed hoc loco eas aequationes silentio praeterimus.

18.

Deligamus ultimas duas aequationum (2), in quibus pro i et θ quantitates alias scilicet

$$\left. \begin{array}{l} p = \sin i \sin \theta \\ q = \sin i \cos \theta \end{array} \right\} \dots \dots \dots (17)$$

introducimus, et similes in motu ceterorum planetarum. Haud opus est munere, i et θ hic, ut in hujus dissertationis initio, inclinationem longitudinemque nodi ascendens respectu plani fixi arbitrari ipsarum x designare.

Aequationes (17) differentiales producit

$$dp = \cos i \sin \theta di + \sin i \cos \theta d\theta$$

$$dq = \cos i \cos \theta di - \sin i \sin \theta d\theta$$

atque hinc eliminando obtineamus

$$\left. \begin{array}{l} di = \frac{\sin \theta}{\cos i} dp + \frac{\cos \theta}{\cos i} dq \\ d\theta = \frac{\cos \theta}{\sin i} dp - \frac{\sin \theta}{\sin i} dq \end{array} \right\} \dots \dots (18)$$

Si Ω , et tanquam functio ipsarum i atque θ , et tanquam functio ipsarum p atque q spectatur, e praecedentibus facile evadunt haec

$$\left(\frac{d\Omega}{dp} \right) = \left(\frac{d\Omega}{di} \right) \frac{\sin \theta}{\cos i} + \left(\frac{d\Omega}{d\theta} \right) \frac{\cos \theta}{\sin i}$$

$$\left(\frac{d\Omega}{dq} \right) = \left(\frac{d\Omega}{di} \right) \frac{\cos \theta}{\cos i} - \left(\frac{d\Omega}{d\theta} \right) \frac{\sin \theta}{\sin i}$$

Quibus aequationibus adjuvantibus, ultimae duae aequationum (2) transmutantur in

$$\frac{dp}{ds} = \frac{na \cos i}{\sqrt{(1-e^2)}} \left\{ \left(\frac{d\Omega}{dq} \right) - \frac{p}{1+\cos i} \left[\left(\frac{d\Omega}{d\omega} \right) + \left(\frac{d\Omega}{ds} \right) \right] \right\}$$

$$\frac{dq}{ds} = -\frac{na \cos i}{\sqrt{(1-e^2)}} \left\{ \left(\frac{d\Omega}{dp} \right) + \frac{1}{1+\cos i} \left[\left(\frac{d\Omega}{d\omega} \right) + \left(\frac{d\Omega}{ds} \right) \right] \right\}$$

Quas aequationes simpliciores reddere possumus, positionem plani ipsarum xy in spatio, quae arbitraria est, ita electuri, ut temporis epocha cum plano orbitae planetae perturbati congruat. Quo facto, erit $i = 0$ et simul $p = 0$, $q = 0$, terminisque in valore ipsius $\frac{d\Omega}{ds}$ per $ig \frac{1}{2} i$ multiplicatus, quem jam in art. 9 omittimus, evanescit.

Aequationes supra datae jam transcunt in has

$$\left. \begin{array}{l} \frac{dp}{ds} = \frac{an}{\sqrt{(1-e^2)}} \left(\frac{d\Omega}{dq} \right) \\ \frac{dq}{ds} = -\frac{an}{\sqrt{(1-e^2)}} \left(\frac{d\Omega}{dp} \right) \end{array} \right\} \dots \dots (19)$$

Quantquam primo aspectu haec aequationes generaliter non adhiberi posse videntur, quoniam suppositio modo facta non nisi ad unicum systematis nostri planetam applicanda sit, tamen reapse fieri potest. Quum vero quantitas Ω a positione plani ad quod coordinatae referuntur, independens sit, ea igitur proprietate gaudet, quod p, q, p', q' etc. evanescentes reddi, et inclinationibus reciprocis longitudinibusque nodorum respectivis suppleri possunt, positionem plani fundamentalis, dum ad motum conjuncte alius planetae determinandum transgredimur, ad libitum variare licet. Quae igitur aequationes (19) ad planetas omnes systematis nostri aequo jure adhibendae sunt.

Ut earum applicatio facilius reddatur, necesse est, quotientes differentiales ipsius Ω respectu inclinationum longitudinumque nodorum reciprocos introducimus. Designabimus per I inclinationem reciprocam orbitarum planetarum m et m' , per l inclinationem planetarum m et m' , etc., per Θ longitudinem nodi ascendens orbitarum m et m' in orbita planetae m numeratam, per θ , longitudinem nodi orbitarum m et m' in orbita planetae m quoque numeratam etc.

(Die Fortsetzung folgt.)

B E I L A G E

ZU

No. 167. DER ASTRONOMISCHEN NACHRICHTEN.

Schreiben des Herrn *Hussey* an den Herausgeber.

Chislehurst 1829. Aug. 6.

Sir,

Having perused with much interest, which I am certain will be shared by every friend to science, the letter to M. *Breguet* which accompanied the June number of your *Astronomische Nachrichten*. I am induced to send you as a specimen of the perfection to which chronometers have been brought in this country, the rate of a chronometer manu-

factured by my respectable friends M. M. *Casse* and *Strachan* of London, the use of which in sweeping for the verification of the map of that part of the heavens, between $13^h 56^m$ and $15^h 4^m$, the execution of which had been intrusted to me by the Royal Academy of Sciences of Berlin, I found preferable to that of an astronomical clock.

	1828.			1829.						
	October.	November.	December.	January.	February.	March.	April.	May.	June.	July.
1	— 3 ⁰⁰	— 2 ⁸⁰	— 2 ⁴⁰	— 3 ¹⁰	— 2 ⁵⁰	— 2 ¹⁰	— 1 ⁸⁰	— 2 ⁹⁰	— 2 ⁴⁰	— 2 ⁴⁰
2	— 3 ⁰⁰	— 2 ⁸⁰	— 2 ³⁰	— 2 ³⁰	— 2 ³⁰	— 2 ¹⁰	— 2 ³⁰	— 2 ⁴⁰	— 2 ⁴⁰	— 2 ⁴⁰
3	— 2 ⁵⁰	— 3 ³⁰	— 2 ⁹⁰	— 2 ⁹⁰	— 2 ⁹⁰	— 2 ¹⁰	— 2 ³⁰	— 2 ³⁰	— 2 ⁴⁰	— 2 ⁴⁰
4	— 3 ⁰⁰	— 2 ⁸⁰	— 2 ⁵⁰	— 2 ⁵⁰	— 2 ⁴⁰	— 2 ¹⁰	— 2 ³⁰	— 2 ³⁰	— 2 ⁹⁰	— 2 ⁹⁰
5	— 3 ⁰⁰	— 2 ⁸⁰	— 2 ⁵⁰	— 2 ⁵⁰	— 2 ⁵⁰	— 2 ¹⁰	— 1 ⁸⁰	— 2 ³⁰	— 2 ⁹⁰	— 2 ⁹⁰
6	— 2 ⁸⁰	— 2 ⁸⁰	— 2 ⁴⁰	— 2 ⁴⁰	— 2 ¹⁰	— 2 ¹⁰	— 2 ³⁰	— 2 ³⁰	— 2 ⁹⁰	— 2 ⁹⁰
7	— 2 ⁸⁰	— 3 ⁰⁰	— 2 ⁴⁰	— 2 ⁵⁰	— 2 ⁵⁰	— 1 ⁹⁰	— 2 ³⁰	— 2 ⁵⁰	— 2 ⁸⁰	— 2 ⁸⁰
8	— 2 ³⁰	— 3 ⁰⁰	— 2 ⁴⁰	— 2 ⁴⁰	— 2 ⁵⁰	— 1 ⁹⁰	— 2 ³⁰	— 2 ⁵⁰	— 2 ³⁰	— 2 ³⁰
9	— 2 ⁸⁰	— 3 ³⁰	— 2 ⁴⁰	— 2 ⁴⁰	— 2 ⁴⁰	— 1 ⁹⁰	— 2 ³⁰	— 2 ⁸⁰	— 2 ³⁰	— 2 ³⁰
10	— 3 ⁰⁰	— 2 ⁸⁰	— 2 ⁷⁰	— 2 ⁵⁰	— 2 ⁴⁰	— 1 ⁹⁰	— 2 ³⁰	— 2 ⁸⁰	— 2 ⁸⁰	— 2 ⁸⁰
11	— 3 ⁰⁰	— 2 ⁸⁰	— 2 ⁴⁰	— 2 ⁵⁰	— 2 ⁴⁰	— 1 ⁹⁰	— 2 ³⁰	— 2 ³⁰	— 2 ³⁰	— 2 ³⁰
12	— 2 ⁸⁰	— 2 ⁸⁰	— 2 ⁴⁰	— 2 ¹⁰	— 2 ⁴⁰	— 1 ⁹⁰	— 2 ⁰⁰	— 2 ⁸⁰	— 2 ³⁰	— 2 ³⁰
13	— 2 ⁸⁰	— 3 ⁰⁰	— 2 ⁷⁰	— 2 ¹⁰	— 2 ⁵⁰	— 1 ⁹⁰	— 2 ⁰⁰	— 3 ³⁰	— 2 ³⁰	— 2 ³⁰
14	— 2 ⁸⁰	— 3 ⁰⁰	— 2 ⁷⁰	— 2 ⁵⁰	— 2 ⁵⁰	— 2 ¹⁰	— 2 ⁰⁰	— 3 ³⁰	— 2 ³⁰	— 2 ⁸⁰
15	— 2 ⁸⁰	— 3 ⁰⁰	— 2 ⁷⁰	— 2 ⁴⁰	— 2 ⁵⁰	— 2 ¹⁰	— 2 ⁰⁰	— 3 ³⁰	— 2 ³⁰	— 2 ⁸⁰
16	— 2 ⁸⁰	— 2 ⁸⁰	— 2 ⁷⁰	— 2 ⁴⁰	— 2 ⁵⁰	— 1 ⁹⁰	— 2 ²⁰	— 3 ³⁰	— 2 ⁸⁰	— 2 ⁸⁰
17	— 2 ⁸⁰	— 2 ⁸⁰	— 3 ⁰⁰	— 2 ⁴⁰	— 2 ⁵⁰	— 2 ¹⁰	— 2 ⁴⁰	— 2 ⁸⁰	— 2 ⁸⁰	— 2 ⁸⁰
18	— 2 ⁸⁰	— 2 ⁸⁰	— 3 ⁰⁰	— 2 ¹⁰	— 2 ⁴⁰	— 2 ¹⁰	— 2 ⁴⁰	— 2 ³⁰	— 2 ⁸⁰	— 2 ⁸⁰
19	— 3 ³⁰	— 3 ⁰⁰	— 3 ²⁰	— 2 ¹⁰	— 2 ⁴⁰	— 2 ¹⁰	— 2 ²⁰	— 2 ³⁰	— 2 ⁵⁰	— 2 ⁵⁰
20	— 2 ⁷⁰	— 3 ⁰⁰	— 2 ⁷⁰	— 2 ¹⁰	— 2 ⁵⁰	— 2 ¹⁰	— 2 ²⁰	— 2 ³⁰	— 2 ⁵⁰	— 2 ⁵⁰
21	— 2 ⁷⁰	— 3 ⁰⁰	— 2 ²⁰	— 2 ⁴⁰	— 2 ⁵⁰	— 1 ⁹⁰	— 2 ²⁰	— 2 ⁹⁰	— 2 ³⁰	— 2 ³⁰
22	— 2 ⁷⁰	— 2 ⁸⁰	— 2 ²⁰	— 2 ¹⁰	— 2 ¹⁰	— 2 ¹⁰	— 2 ²⁰	— 2 ⁹⁰	— 2 ⁸⁰	— 2 ⁸⁰
23	— 2 ⁷⁰	— 3 ⁰⁰	— 3 ¹⁰	— 2 ¹⁰	— 2 ¹⁰	— 2 ¹⁰	— 2 ²⁰	— 2 ⁹⁰	— 2 ³⁰	— 2 ³⁰
24	— 2 ⁷⁰	— 3 ⁰⁰	— 3 ¹⁰	— 1 ⁹⁰	— 2 ⁴⁰	— 2 ⁴⁰	— 2 ⁹⁰	— 2 ⁹⁰	— 2 ⁸⁰	— 2 ⁸⁰
25	— 2 ⁷⁰	— 2 ⁹⁰	— 3 ⁴⁰	— 1 ⁹⁰	— 2 ⁴⁰	— 2 ⁴⁰	— 2 ⁹⁰	— 2 ⁴⁰	— 2 ⁸⁰	— 2 ⁸⁰
26	— 2 ⁹⁰	— 2 ⁹⁰	— 3 ⁴⁰	— 2 ¹⁰	— 1 ⁷⁰	— 2 ⁴⁰	— 2 ⁹⁰	— 2 ⁹⁰	— 2 ³⁰	— 2 ³⁰
27	— 2 ⁹⁰	— 2 ⁹⁰	— 2 ⁶⁰	— 2 ¹⁰	— 1 ⁷⁰	— 2 ⁴⁰	— 2 ⁴⁰	— 2 ⁴⁰	— 2 ⁵⁰	— 2 ⁵⁰
28	— 3 ⁰⁰	— 2 ⁷⁰	— 2 ⁵⁰	— 2 ⁵⁰	— 1 ⁹⁰	— 2 ⁵⁰	— 1 ⁹⁰	— 2 ⁹⁰	— 2 ⁹⁰	— 2 ⁹⁰
29	— 2 ⁵⁰	— 2 ⁷⁰	— 2 ⁹⁰	— 2 ⁴⁰	— 2 ⁴⁰	— 2 ⁵⁰	— 2 ⁴⁰	— 2 ⁹⁰		
30	— 3 ⁰⁰	— 3 ²⁰	— 2 ⁷⁰	— 2 ⁴⁰	— 2 ⁴⁰	— 2 ⁴⁰	— 2 ⁴⁰	— 2 ⁴⁰		
31	— 3 ⁰⁰	— 2 ⁷⁰	— 2 ⁹⁰		— 2 ⁴⁰		— 2 ⁴⁰			

Considering the extreme delicacy of the work required in these small machines, I think you will regard the above as a singular proof of mechanical skill. The instrument in question is not however to be considered as unique, many

other chronometers obligingly lent to me by these gentlemen for different purposes having displayed equal if not superior accuracy.

T. H. *Hussey*.

*Annexed are the prices of the chronometers constructed by
M. M. Cade and Strachan 32 Cornhill.*

Eight day box chronometer	80 Guineas
Two day	70 —
One day	60 —
Silver portable	50 —

Anmerkung des Herausgebers.

Der Gang dieses sehr guten Chronometers scheint (wie auch schon Herrn *Hussey's* Brief andeutet) nicht aus täglichen Vergleichen mit einer Pendeluhr, sondern aus Vergleichen mit dem Himmel durch Beobb. abgeleitet zu seyn. Daher finden sich mehrere Tage nach der Reihe, in

denen der Gang kein Zehntel einer Secunde ändert (z. B. von May 6 bis 11). Dies soll wahrscheinlich nicht anzeigen, daß der Gang von Tag zu Tag sich nicht geändert habe, sondern nur die Entfernung der zwei Beobachtungen bezeichnen, aus denen der Gang hergeleitet ist.

Ich behalte es mir vor bald zur Vergleichung den Gang eines *Kesselchen's* Chronometers zu geben.

Herr *Hussey* wird mich verbinden, wenn er mir gelegentlich mittheilen will, ob dies Chronometer ein Box- oder Taschenchronometer ist, und ob die Beobachtungen, aus denen der Gang hergeleitet ward, mit einem Sextanten oder einem Passageninstrumente gemacht sind?

S,

Längenbestimmungen durch die Sonnenfinsterniß 1826. Nov. 29

In den Astr. Nachrichten Nr. 132. S. 247 habe ich bereits einige Beobachtungen dieser Sonnenfinsterniß berechnet; ich füge hier noch mehrere, die Herr *George Innes* in den Astr. Nachr. Nr. 161. S. 343 mitgetheilt und berechnet hat, hinzu, da sie zum Theil Orte betreffen, deren Länge bisher noch durch wenige astronomische Beobachtungen bestimmt war. Da Herr *Innes* die Anzeige der von mir gebrauchten Rechnungselemente vermißt, so wiederhole ich hier, was sonst auch aus den Astr. Nachrichten, und den Berliner astron. Jahrbüchern bekannt ist, daß ich bei allen meinen Längenberechnungen, der Gleichförmigkeit wegen, die Abplattung der Erde = $\frac{1}{298}$ annahm. Den Ort des Monds entlehnte ich, mittelst einer genauen Interpolation, aus der Connaissance des tems; (vergl. A. N. Nr. 61. S. 219) den Ort der Sonne aus den Astron. Hilfstafeln des Herrn *Elstner's* Ritter *Schumacher* für 1826; bei dem Monde liegen daher *Burkhardt's*, bei der Sonne *Carlin's* Tafeln zum Grunde. Für Irradiation und Inflexion habe ich $5''$ von der Summe der Halbmesser der Sonne und des Monds abgezogen. (S. Berliner Astr. Jahrb. 1825. S. 102). In der Zeitgleichung weiche ich von Herrn *Innes* einigmaßen ab; er nimmt solche für die Zeit der Conjunction = $11^h 31^m 76^s$ an; ich finde dagegen $11^h 32^m 24^s$. Einen Irrthum, den ich bei meiner früheren Berechnung der Conjunction aus dem Ende der Finsterniß zu Abo A. N. Nr. 132 begangen, habe ich hier verbessert.

	Mittel. Zeit.	Conjunction.
	$h^{\circ} m^{\circ} s^{\circ}$	$h^{\circ} m^{\circ} s^{\circ}$
Armagh.	E. 23 24 10,76	23 25 0,25 + 0,958 x — 1,940 x
Dublin.	E. 23 25 29,96	23 0 24,66 + 0,978 x — 1,950 x
Aberdeen.	E. 23 49 45,00	23 17 21,99 + 0,884 x — 1,905 x
Bushyheath.	A. 21 46 4,00	23 24 15,85 — 0,824 x + 1,878 x
	E. 23 58 19,00	23 24 21,37 + 0,984 x — 1,953 x

Greenwich.	E. 0 0 14,59	23 25 44,28 + 0,987 x — 1,955 x
Epping.	E. 0 0 53,87	23 26 11,05 + 0,979 x — 1,951 x
Malland.	A. 22 34 48,47	0 2 20,13 — 0,877 x + 1,902 x
Padua.	A. 22 49 20,86	0 13 0,78 — 0,843 x + 1,886 x
	E. 1 7 0,26	0 13 3,49 + 1,330 x — 2,050 x
Neapel.	A. 23 4 41,99	0 22 30,77 — 0,978 x + 1,948 x
	E. 1 20 56,11	0 22 46,35 + 1,379 x — 2,179 x
Königsberg.	E. 148 10,50	0 46 49,08 + 0,954 x — 1,937 x
Abo.	A. 23 42 48,17	0 54 43,49 — 0,471 x + 1,752 x
	E. 1 53 28,54	0 54 47,88 + 0,874 x — 1,900 x

Hiernach gäbe das Ende der Finsterniß den Zeitunterschied zwischen Abo und Königsberg + $7^h 58^m 28^s$ — $0,080 x$ — $0,037 x$; übereinstimmend fand Herr *Innes* + $7^h 58^m 88^s$. Dieser Unterschied sollte aber nach Herrn Professor *Argelander* seyn + $7^h 9^m 6^s$ (Astr. Nachr. Nr. 124. S. 53). Herr *Innes* vermuthet einen Druckfehler; allein da in der XII Abtheilung von *Bessels* Astron. Beobachtungen in Königsberg die Uhrzeit der Beobachtung = $18^h 20^m 19^s,3$ = $18^h 19^m 35^s,7$ Sternzeit angegeben ist, und diese Reduction der Uhrzeit mit an demselben Tage beobachteten Hauptsternen genau übereinstimmt, so erscheint jene Muthmaßung als nicht gegründet. Eher möchte vielleicht durch ein Versehen eine Minute zu wenig an der Uhr abgesehen, oder unmittelbar aufgeschrieben worden seyn; denn daß zu der Königsberger Angabe 1 Minute Sternzeit addirt werden muß, bleibt immer sehr wahrscheinlich, da mittelst dieser Aenderung der Zeitunterschied mit Abo + $7^h 8^m 45^s$ — $0,084 x$ — $0,037 x$ ganz nahe wie er seyn sollte, sich ergibt. Um die Längen der Beobachtungsorte etwas genauer zu bestimmen, entwickelte ich aus den drei vollständigen Beobachtungen zu Abo, Padua und Bushy Heath durch

die Methode der kleinsten Quadrate den Werth der Verbesserung der Mondbreite $x = +2'55$ und der Summe der Halbmesser $a = +2'26$. Zur Ableitung der relativen Längen würde ich Greenwich gewählt haben, wenn nicht das Ende daselbst, nach Herrn *Jones*, von 6 verschiedenen Beobachtern auf fast 7" verschieden angegeben wäre; ich nahm oben das wohl nicht sehr sichere Mittel aus diesen 6 verschiedenen Beobachtungen. In Mailand ist bloß der Anfang beobachtet; die Beobachtung in Neapel scheint etwas zweifelhaft, da Anfang und Ende zu wenig zusammenstimmen; in Bushey Heath war der Luftzustand den Beobachtungen nicht günstig (Astr. Nachr. Nr. 118. S. 383). Zum Vergleichspunkt wählte ich daher Abo, wo das Ende „sehr genau“ beobachtet wurde; das die meisten übrigen Orte von Abo bedeutend entfernt sind, hat keinen beträchtlichen Einfluß auf die Länge derselben, da die Coefficienten von x und a an allen Orten nahe dieselben sind. Die Länge von Abo setzt Herr *Argelander* (Astr. Nachr. Nr. 124) = $79'49''2$; aus neueren Sternbedeckungen fand ich solche = $79'46''6$, man wird also wohl auf wenige Sekunden sicher, mit *Walbeck* $79'48''0$ voraussetzen dürfen. Die Conjunctionen, welche ich hier, durch die gefundenen Werthe von x und a verbessert, zusammenstelle, sind alle, Mailand ausgenommen, bloß aus dem beobachteten Ende der Finsternis abgeleitet. Für das Ende zu Königsberg habe ich, zufolge der oben gewagten Hypothese, eine Minute Sternzeit addirt.

		Verbesserte Conjunction.		Länge von Paris.
		α	δ	
Abo		0 54 45,82		(+ 79 48,0)
Armagh		22 59 4,31		= 35 53,51
Dublin		23 0 22,80		= 34 35,02
Aberdeen		23 17 19,94		= 17 37,88
Bushey Heath		23 24 19,47		= 10 38,35
Greenwich		23 25 42,38		= 9 15,44
Epping		23 26 9,14		= 8 49,68
Mailand		0 2 22,19		+ 27 24,37
Padua		0 13 1,83		+ 38 4,01
Neapel		0 22 44,84		+ 47 47,02
Königsberg		0 47 37,48		+ 72 39,66

Die hier vorgelegten Resultate weichen aus Ursachen, die ich nicht genau erörtern kann, von dem, was die Herren *Jones* und *Santini* gefunden (A. N. Nr. 161 und Nr. 140), bald mehr bald weniger ab; Herr *Jones* hat übrigens Bushey Heath als Vergleichspunkt zum Grand gelegt. Für Aberdeen fand ich genau dieselbe Länge, wie oben, aus einer Jupitersbedeckung (A. N. Nr. 185). Die Länge von Dublin wird sonst zu — $34'36''$ angenommen. Von Armagh (in Irland) und Epping (in der Grafschaft Essex) sind mir keine früheren Längenbestimmungen bekannt.

Stuttgart. 18 Aug. 1829.

W u r n.

Ueber die Länge von Cracau.

Aus meinem zweiten Längenverzeichnisse (Mon. Corresp. XXVII. B. S. 180) stelle ich hier folgende frühere Bestimmungen der Länge von Cracau voran, um sie mit den später berechneten Beobachtungen in Verbindung zu setzen.

	Länge von Cracau.		
	α	δ	η
1) Bedeckung ρ Schütze. 1798. 31 Mai. + 1 10 23,0			
2) Bedeckung r Stier. 1798. 27 Oct. 1 10 31,7			
3) Bedeck. 2r Wassermann. 1798. 13 Dec. 1 10 29,3			
4) Bedeckung der Venus. 1799. 23 Nov. 1 10 27,0			
5) Bedeckung η Jungfrau. 1800. 5 Mai. 1 10 27,2			

Diese fünf Beobachtungen, so wie die nächstfolgende Nr. 6, sind von Herrn Professor *Sniadecki*, die übrigen von den Herren *Kodesch*, *Littrow*, *Leski*, *Karkewsky*, und seit dem J. 1827 von Herrn Professor *Max Weiss* angestellt. Die Bedeckungen von 1806. 1 Jan., 1807. 23 Jul. und 1823. 8 Oct.

habe ich zwar auch berechnet, übergehe aber das Resultat als ganz unbrauchbar.

6) Bedeckung χ Löwe. 1801. 21 Mai. Eintritt am dunkeln Mondrande.

		Mittl. Zeit.	Conjunction.	
			α	δ
Wien.	E.	10 50 54,50	10 49 13,64	— 0,901 x
	A.	11 53 0,85	10 49 19,21	+ 0,129 x
Prag.	E.	10 38 24,50	10 41 25,46	— 0,916 x
Cracau.	E.	11 2 48,50	11 3 34,96	— 0,707 x
Wilna.	E.	11 16 41,50	11 24 49,57	— 0,446 x

Da der Stern in Wien, nach der Bemerkung des Beobachters, auch um 5 bis 6 Sekunden früher ausgetreten seyn könnte, so wird x nahe = 0. Indes gibt die Vergleichung mit Wien die Länge von Cracau $1^h 10' 31''72 + 0,194 x$, mit Prag $.. 29''90 + 0,209 x$, im Mittel $70' 30''81$.

30*

7. Bedeckung der Alcyon. 1821. 23 October.
Eintritt am erleuchteten Mondrande.

Amsterdam.	E. 12 32 35,0	h 0' 35,36 + 1,060 x
	A. 13 45 48,0	13 0 42,10 — 0,339 x
Seeberg.	A. 14 18 21,4	13 23 59,81 — 0,041 x
Cracau.	E. 13 49 19,6	14 0 39,64 + 0,262 x

Zur Bestimmung des Mondortes habe ich mich einer Seeberger Mondbeobachtung von denselben Tage bedient (Berliner Astr. Jahrbuch 1805. S. 258); es kann daher $x = 0$ gesetzt werden, obgleich der Ein- und Austritt zu Amsterdam + 4',8 dafür geben würden. Die Länge von dem Beobachtungsort in Amsterdam, + 3'7 in Zeit östlich von Felix Meritis nach Astr. Nachr. Nr. 74 = 10°13',9 und von Seeberg = 33°34',8 vorausgesetzt, wäre also die Länge von Cracau, durch Amsterdam bestimmt, = 70°18',18, durch Seeberg = 14°6',63, im Mittel 70°16',40. Indes ist der Eintritt in Cracau, am erleuchteten Mondrande, und bei dünnem Himmel nicht sehr zuverlässig.

8. Sonnenfinsternis. 1806. 16 Jun.

Aus dem zu Cracau beobachteten Anfang 6^h 14'6",4 m. Z. fand ich, durch Vergleichung mit Greenwich, Seeberg und Mailand, die Länge von Cracau 70°33',9. (Mon. Corresp. XXVII B. S. 404.)

9. Bedeckung ζ Zwillinge. 1806. 8 September.
Eintritt am erleuchteten Mondrande.

Außer den in den Astr. Nachr. Nr. 89. S. 346 berechneten Beobachtungen in Paris, Wien, Prag und Lilienthal habe ich noch folgende hinzuzufügen.

Marseille.	E. 13 18 8,10	15 3 28,69 — 0,158 x
	A. 14 12 41,60	15 3 34,00 + 0,258 x
Regensburg.	E. 14 48 53,00	15 30 32,15 — 0,036 x
Kremsmünster.	E. 13 58 17,50	15 38 24,82 — 0,041 x
	A. 14 56 35,70	15 38 40,05 + 0,087 x
Berlin.	A. 14 58 43,20	15 35 44,94 — 0,289 x
Brün.	E. 14 10 12,00	15 48 36,99 — 0,018 x
	A. 15 9 5,50	15 48 35,08 + 0,048 x
Reichenbach.	A. 15 11 19,40	15 48 50,55 — 0,077 x
Cracau.	E. 14 25 11,00	16 1 54,13 — 0,036 x
	A. 15 25 49,00	16 2 23,26 + 0,044 x
Nitau.	A. 15 50 14,00	16 17 9,87 — 0,446 x

Der Austritt zu Cracau am dunkeln Mondrande scheint um eine halbe Minute zu spät beobachtet; da auch die Eintritte an andern Orten gut beobachtet sind, so leitete ich aus dem Eintritte zu Cracau dessen Länge ab, durch Vergleichung mit den Eintritt in Paris — 70°25',76 — 0,363 x,

in Wien = 21°58 + 0°050 x, in Prag = 24°31 + 0,137 x. in Marseille = 27°05 + 0,122 x, im Mittel: 70°24',77. Der Werth von x konnte nicht mit Sicherheit bestimmt werden. Sonst finden sich auch Berechnungen dieser Bedeckung von Herrn von Lindenaus in der Mon. Corresp. XIX Bd. und Herrn Prof. Olmanns (Berlin. Astr. Jahrb. 1810.)

10. Bedeckung i Jungfrau. 1808. 4 Jun.
Eintritt am dunkeln Mondrande.

Die Beobachtungen für Wien, Lilienthal und Göttingen habe ich in den Astr. Nachr. Nr. 89. S. 346 berechnet; hier folgen noch einige weitere Beobachtungen.

Berlin.	E. 9 22 46,5	h 4' 33,29 + 0,896 x
Schlittenitz.	E. 9 27 41,2	10 7 35,04 + 0,985 x
Schöndinden.	E. 9 29 30,6	10 8 59,05 + 1,018 x
Cracau.	E. 10 0 22,5	10 30 48,38 + 1,145 x

Die Länge ergibt sich durch Wien 70°30',04 + 0,225 x, durch Göttingen (mit der Länge der alten Sternwarte) = 30°94 + 0,249 x, durch Berlin (mit der Länge 44°11',5) = 26°59 + 0,071 x, durch Lilienthal (mit der Länge 26°18',4) = 30°69 + 0,193 x, Mittel: 70°29',81. Andere Berechnungen dieser Bedeckung stehen in der Mon. Corresp. XXII B. S. 128 und 521, und in Triemer's Sammlung astronomischer Beobachtungen, 4te Sammlung, S. 91.

11. Bedeckung s Stier. 1815. 17 November.
Eintritt am erleuchteten Mondrande.

In den Astr. Nachr. Nr. 103. S. 99, habe ich diese Bedeckung für 9 verschiedene Orte berechnet. Mit $x = +4',08$ findet sich daselbst die Länge von Cracau, durch Mailand = 70°21',11, durch St. Gallen (Länge 28°9',2) = 70°24',95, durch Königsberg (Länge 72°39',0) = 70°19',00; im Mittel = 70°21',69.

12. Bedeckung β Scorpii. 1816. 19 Februar.
Eintritt am erleuchteten Mondrande.

Mailand.	E. 15 27 14,00	h 50' 5,33 — 1,775 x
	A. 16 31 23,00	16 49 46,64 + 0,510 x
Turin.	E. 15 20 40,23	16 44 1,07 — 2,009 x
	A. 16 22 8,14	16 43 44,61 + 0,625 x
Cracau.	E. 17 34 9,05	17 32 52,03 — 0,184 x

Der Werth von x findet sich durch Mailand + 8',18, durch Turin + 6',25. Mit $x = +7',2$ erhält man die Länge durch Vergleichung mit Mailand 70°24',98, mit Turin (dessen Länge = 21°23',2 gesetzt) = 70°26',06, im Mittel 70°25',32. Im Astr. Jahrb. 1819. S. 178 ist die wahre Zeit zu Cracau irrig auf mittlere reducirt; s. auch Astr. Jahrb. 1824. S. 105.

- 13) Bedeckung s Zwillinge. 1816. 6 December.
Eintritt am erleuchteten Mondrande.

Diese Bedeckung, für mehrere Orte von mir berechnet, findet sich in den Astr. Nachr. Nr. 82. S. 173. Mit Verbesserung der Conjunctionen durch den Werth von $x = -2''\cdot 07$, wie er aus der Königsberger Beobachtung folgt, ergibt sich, wenn bloß die Austritte am dunkeln Mondrande verglichen werden, die Länge durch Königsberg $70' 32''\cdot 51$ durch Wien $\cdot 27''\cdot 73$, durch Prag $\cdot 27''\cdot 87$, durch Ofen (Gerhardberg) $\cdot 27''\cdot 30$, durch Berlin $\cdot 32''\cdot 78$, im Mittel: $70' 29''\cdot 78$.

- 14) Bedeckung des Antares. 1819. 13 April.
Eintritt am erleuchteten Mondrande.

Wien.	A.	12	3	51,74	$\frac{h}{b}$	12	37	15,18	$-0,487\ x$
Prag.	A.	11	55	57,21		12	29	30,11	$-0,519\ x$
Cracau.	A.	12	21	59,09		12	51	41,59	$-0,767\ x$
Königsberg.	A.	12	26	38,44		12	53	51,47	$-1,089\ x$
Tarnow.	A.	12	26	47,30		12	53	46,75	$-0,812\ x$

Daraus die Länge von Cracau, durch Wien $70' 36''\cdot 81 - 0,840\ x$, durch Prag $\cdot 31''\cdot 88 - 0,248\ x$, durch Königsberg $\cdot 29''\cdot 12 + 0,322\ x$, im Mittel: $70' 32''\cdot 60$.

- 15) Bedeckung 62 Fische. 1821. 5 Februar.
Eintritt am dunkeln Mondrande.

Im Berliner Astr. Jahrb. 1828. S. 92. und in den Astr. Nachr. Nr. 72 und 109 ist diese Bedeckung von mir berechnet. Mit $x = +4''\cdot 4$ findet sich die Länge, durch Paris $70' 41''\cdot 40$, durch Speier $\cdot 39''\cdot 40$, durch Königsberg $\cdot 41''\cdot 07$, durch Viers. $\cdot 36''\cdot 75$, durch Wien $\cdot 35''\cdot 09$, im Mittel: $70' 38''\cdot 70$.

- 16) Bedeckung s Zwillinge. 1821. 6 Mai.
Eintritt am dunkeln Mondrande.

Meine Berechnungen dieser Bedeckung stehen in den Astr. Nachr. Nr. 112. S. 261. Daraus die Länge, durch Wien $70' 25''\cdot 26 + 0,153\ x$, durch Kremsmünster $\cdot 26''\cdot 55 + 0,240\ x$, durch Nicolaew. $\cdot 23''\cdot 44 - 0,253\ x$, im Mittel: $70' 25''\cdot 08$.

- 17) Bedeckung s Scorpion. 1823. 20 Juni.
Eintritt am dunkeln Mondrande.

Die Berechnungen s. Astr. Nachr. Nr. 80. S. 133. Aus denselben ergibt sich die Länge durch Wien $70' 19''\cdot 41 + 0,138\ x$, durch Altona $\cdot 18''\cdot 24 - 0,069\ x$, im Mittel: $70' 18''\cdot 82$.

- 18) Bedeckung des Uranus. 1824. 6 August.
Eintritt am dunkeln Mondrande.

Aus den Berechnungen in den Astr. Nachr. Nr. 109. S. 219 folgt die Länge durch Prag (kön. Sternw.) $70' 31''\cdot 54 - 0,233\ x$, durch Prag (Hallaeska) $\cdot 31''\cdot 54 - 0,233\ x$, durch Güttingen $\cdot 27''\cdot 39 - 0,501\ x$, durch Kremsmünster $\cdot 30''\cdot 63 - 0,125\ x$, im Mittel: $70' 30''\cdot 27$.

- 19) Bedeckung s Löwe. 1824. 12 März.
Eintritt am dunkeln Mondrande.

Berechnet habe ich diese Bedeckung Astr. Nachr. Nr. 83. S. 188. Die Vergleichung mit Bushey Heath gibt die Länge $70' 26''\cdot 20 + 0,344\ x$.

- 20) Bedeckung g Jungfrau. 1827. 2 Juli.
Eintritt am dunkeln Mondrande.

Diese Bedeckung, so wie die zwei nächstfolgenden, sind von mir in den Astr. Nachr. Nr. 137. S. 360 berechnet. Die Länge erhält man durch Prag (kön. Sternw.) $70' 21''\cdot 93 + 0,025\ x$, durch Prag (Hallaeska) $\cdot 21''\cdot 26 + 0,025\ x$, im Mittel: $70' 21''\cdot 60$.

- 21) Bedeckung eines Sterns im Schlangenträger.
P. XVI. 273. 1827. 26 Septbr. Eintritt am dunkeln Mondrande.

Länge durch Kremsmünster $70' 29''\cdot 41 - 0,006\ x$.

- 22) Bedeckung zweier Sterne im Schützen.
1827. 28 Septbr. Eintritt am dunkeln Mondrande.

Der erste Stern gilt mit dem Werthe von $x = -2''\cdot 36$ die Länge durch Prag $70' 33''\cdot 96$, der zweite Stern durch Prag $\cdot 21''\cdot 03$, durch Altona $\cdot 24''\cdot 97$, durch Kremsmünster $\cdot 28''\cdot 89$, daher Mittel aus dem zweiten Stern $70' 24''\cdot 96$.

- 23) Bedeckung 76 Krebs. 1828. 16 Juni.
Eintritt am dunkeln Mondrande.

Kremsmünster.	E.	9	20	29,20	$\frac{h}{b}$	9	2	4,53	$-0,245\ x$
Prag (Hallaeska).	E.	9	17	57,91		9	3	10,32	$-0,140\ x$
Cracau.	E.	9	39	28,66		9	25	21,31	$-0,061\ x$

Daraus die Länge durch Prag, wo Herr Professor Hallaeschka unter dem Meridian der kön. Sternwarte beobachtete, $\equiv 70' 31''\cdot 39 + 0,079\ x$, durch Kremsmünster $\cdot 27''\cdot 58$, im Mittel: $70' 29''\cdot 48$.

Die einzelnen Beobachtungen geben nun folgende Reihe von Längenbestimmungen:

1)	70' 23,0	9)	70' 24,77	17)	70' 18,82 +
2)	31,7	10)	29,81	18)	30,27
3)	29,3	11)	21,69	19)	26,20
4)	27,0	12)	25,52	20)	21,60
5)	27,20	13)	29,78	21)	29,41
6)	30,81	14)	32,60	22 a)	33,96
7)	16,40 +	15)	38,70 +	22 b)	24,96
8)	33,90	16)	25,08	23)	23,48

Das absolute Mittel aus allen 24 Sternen (die einzelne Sonnenfusternis hier auch im Werth einer Sternbedeckung gerechnet) wäre $\equiv 1^h 10' 27''\cdot 56$, oder, wenn die drei offenbar zu weit abweichenden Beobachtungen in Nr. 7, 15, 17 ausgeschlossen werden, so ist das Mittel aus den 21 übrigen $1^h 10' 28''\cdot 01$. Man wird daher die Länge von Cracau nahe

$\pm 1.10' 28'' 0$ setzen dürfen. Der wahrscheinliche Fehler dieses arithmetischen Mittels ist $\pm 0''.563$ der wahrscheinliche Fehler für eine einzelne Beobachtung $\pm 2''.583$ und Unsicherheit dieser Fehlerbestimmung $\pm 0''.269$. Aus den fünf ersten Beobachtungen von Herrn *Sniadecki*

(Nr. 1—5) würde man die Länge $1^h 10' 27''.6$ aus den fünf letztern von Herrn *Weisse* (Nr. 20—23) $1^h 10' 27''.88$, also nahe, wie durch das Mittel aus den sämtlichen Beobachtungen, erhalten haben.

Stuttgart. 19 Aug. 1829.

Wurm.

1829 Mond und Sterne nach Beilage astron. Nachr. Nr. 147 auf der Prager Sternwarte beobachtet am 4füßigen *Schriderschen*, nicht achromatischen, Mittagsrohr.

Tage.	Sterne.	Fäden.	Lichter Mondrand.	Unterschied.
		<i>h' ''</i>	<i>h' ''</i>	<i>''</i>
12 März.	Kapella.	5 3 22½ II.	5 39 27½ II.	35 55
		4 31 M.	39 58½ M.	
	Rigel.	5 5 48½	40 30 III	33 41
		6 17½ M.		
		6 46½		
15 März.	a' Cancri.	8 46 5,6	8 16 26,1	29 39
		46 34,6 M.	16 55,6 M.	
		47 3,6	17 25,1	
	a' Cancri.	8 48 38,6		32 12½
		49 8,1 M		
		49 37,6		
16 März.	a' Cancri.	8 48 37,8	9 5 35,8	16 58,8
		49 6,8 M.	6 5,5 M.	
		49 35,8	6 35,5	
	o Leonis.	9 31 31,8		25 55,2
		32 0,8 M.		
		32 29,8		
19 März.	q Leonis.	11 7 59,3	11 27 22,3	19 23
		8 28,3 M.	27 51,3 M.	
		8 57,3	28 20,3	
	β Virg.	11 41 17,3		13 55
		41 46,3 M.		
		42 15,3		

Tage.	Sterne.	Fäden.	Lichter Mondrand.	Unterschied.
		<i>h' ''</i>	<i>h' ''</i>	<i>''</i>
20 März.	γ Virg.	12 10 39	12 14 15	3 36,2
		11 8 M.	14 44 M.	
		11 37	15 13½	
	γ' Virg.	12 32 31		18 15,8
		33 0 M.		
		33 29		
12 April.	k Cancri.	8 58 0	8 48 7	9 52
		58 29 M.	48 37 M.	
		58 58½	49 7	
	ξ Leonis.	9 22 15		34 7½
		22 44½ M.		
		23 14		
14 April.	d Leonis.	10 51 15	10 23 54	27 20
		51 44 M.	24 24 M.	
		52 13	25 54	
13 May.	e Leonis.	11 27 42½	11 39 18	11 36
		28 11½ M.	39 47½ M.	
		28 40½	40 17	
	213 Virg.	11 51 48		12 29½
		52 17 M.		
		52 46		
	γ Virg.	12 10 41		31 22½
		11 10 M.		
		11 39		

Mond und Sterne beobachtet mit dem 6füß. Mittagsrohr aus dem Wiener polytechnischen Institute mit einem *Fraunhofer'schen* Objectiv, das 4 Wiener Zoll und 5 Linien Oeffnung und 75 Zoll Brennweite hat.

Das Instrument ist bis jetzt nur provisorisch in einer Fensteröffnung aufgestellt.

Tage.	Sterne.	Fäden.	Lichter Mondrand.	Unterschied.
		<i>h' ''</i>	<i>h' ''</i>	<i>''</i>
18 April.	88 Virg.	13 39 7½.	13 33 50 H.	5 16½
		39 21 M.	34 4½ M.	
		39 35 III.	34 18½ III.	
	R Virg.	14 3 33		29 43
		3 47½ M.		
		4 1½		
19 April.	λ Virg.	14 9 39,2	14 26 22	16 43
		9 53,2 M.	26 36½ M.	
		10 7,5	27 50½	
	μ Librae	14 39 44½		13 22½
		39 58½ M.		
		40 13		
14 May.	111 Virg.	12 22 10½	12 26 36	3 56
		22 54½ M.	26 50½ M.	
		23 8½	27 5	

Tage.	Sterne.	Fäden.	Lichter Mondrand.	Unterschied.
		<i>h' ''</i>	<i>h' ''</i>	<i>''</i>
14 May.	143 Virg.	12 29 44½		3 8
		29 58½ M.		
		30 12½		
16 May.	ν Scorp.	16 1 52	15 53 17	8 35
		2 7 M.	53 32½ M.	
		2 22	53 46½	
	φ Oph.	16 21 10		27 52½
		21 24½ M.		
		21 39		
19 May.	α Scorp.	16 18 44	16 50 15½	31 31,2
		18 59½ M.	50 30½	
		19 14½	50 45½	
	η Oph.	17 0 23½		10 7,2
		0 37½ M.		
		0 52½		

	Sterne u. Mond.	Fäden.	Aufst. Unterschied.	
Juni 13.	Mond 1	14 34 25 $\frac{1}{2}$ II. 34 40 M. 34 54 $\frac{1}{2}$ III.	Die Sternuhr ging in 24 Stunden (1 $\frac{1}{2}$ " später.	
	μ Librae	14 40 14 40 28 M. 40 42 57 37 M.	5 48	
	ν Librae	14 57 22 $\frac{1}{2}$ 57 51 $\frac{1}{2}$ 57 37 M.	22 57	
Juni 14.	Mond 1	15 27 47 $\frac{1}{2}$ 38 21 M. 28 17 $\frac{1}{2}$		
	ν Librae	14 57 21 57 35 $\frac{1}{2}$ M. 57 50 56 0 M.	30 27 Die Uhr in 24 St. 2" später.	
	β Scorp.	15 55 45 56 15	27 57 $\frac{1}{2}$	
Juni 15.	β Scorp.	15 55 43 55 58 M. 56 13	28 18	
	α Scorp.	16 18 8 $\frac{1}{2}$ 18 24 M. 18 39 $\frac{1}{2}$	5 52 2" später.	
	ϕ Oph.	16 21 34 $\frac{1}{2}$ 21 49 $\frac{1}{2}$ M. 22 4	2 26 $\frac{1}{2}$	
	Mond 1.	16 24 1 24 16 M. 24 30 $\frac{1}{2}$		
	α Scorp.	17 31 54 $\frac{1}{2}$ 32 9 $\frac{1}{2}$ M. 32 23 $\frac{1}{2}$ 32 47 $\frac{1}{2}$	7 53,3 36 46,3	
	γ Oph.	17 0 47 $\frac{1}{2}$ 1 16 $\frac{1}{2}$		
Juni 16.	γ Oph.	17 0 48 $\frac{1}{2}$ 1 0 M. 1 14 $\frac{1}{2}$	22 7	
	Mond 1.	17 22 51 $\frac{1}{2}$ 23 7 M. 23 22		
	D Oph.	17 33 21 $\frac{1}{2}$ 33 36 $\frac{1}{2}$ M. 33 51 $\frac{1}{2}$	10 29 $\frac{1}{2}$	
	μ Sagitt.	18 3 42 $\frac{1}{2}$ 3 57 $\frac{1}{2}$ M. 4 12 $\frac{1}{2}$	40 50,8 Die Uhr 2 $\frac{1}{2}$ " später.	
Juli 14.	ξ Serp.	17 27 43 27 57 $\frac{1}{2}$ M. 28 12	27 3 $\frac{1}{2}$	
	Mond 1.	17 54 46 55 1 M. 55 16		

	Sterne u. Mond.	Fäden.	Aufst. Unterschied.	
Juli 14.	323 Sag.	17 52 20 " 52 35 M. 52 49 $\frac{1}{2}$	2 26	
	μ Sagitt.	18 3 27 3 41 $\frac{1}{2}$ M. 3 56 $\frac{1}{2}$	8 40,7	
	92 Sagitt.	18 21 19 $\frac{1}{2}$ 21 34 $\frac{1}{2}$ M. 21 49	26 33 $\frac{1}{2}$	
Juli 15.	r Sagitt.	18 39 24 39 39 M. 39 54	17 13	Die Uhr mit Sternzeit.
	Mond 1.	18 56 37 56 52 M. 57 7		
	d Sagitt.	19 7 30 $\frac{1}{2}$ 7 45 $\frac{1}{2}$ M. 8 0	10 53 $\frac{1}{2}$	
	e ^s Sagitt.	19 32 37 32 51 $\frac{1}{2}$ M. 33 6	35 59 $\frac{1}{2}$	
Aug. 9.	Mond	16 28 11 28 26 M. 28 40 $\frac{1}{2}$		Die Uhr mit Sternzeit.
	γ Oph.	17 0 23 0 37 $\frac{1}{2}$ M. 0 52	32 11 $\frac{1}{2}$	
Aug. 10.	γ Oph.	17 0 22 $\frac{1}{2}$ 0 37 $\frac{1}{2}$ M. 0 51 $\frac{1}{2}$	25 15 $\frac{1}{2}$	
	Mond	17 25 37 $\frac{1}{2}$ 25 52 $\frac{1}{2}$ M. 26 7 $\frac{1}{2}$		
	ξ Serp.	17 27 35 $\frac{1}{2}$ 27 50 M. 28 4 $\frac{1}{2}$	1 57 $\frac{1}{2}$	
Aug. 10.	D Oph.	17 32 58 $\frac{1}{2}$ 33 13 $\frac{1}{2}$ M. 33 28 $\frac{1}{2}$	7 20,8	
	zwischen Wolken.			
Aug. 12.	π Sagitt.	18 59 23 59 38 M. 59 53	28 9 $\frac{1}{2}$	
	180 Sag.	19 26 55 $\frac{1}{2}$ 27 10 $\frac{1}{2}$ M. 27 25	0 37	Uhr mit Sternzeit.
	Mond	19 27 33 27 47 $\frac{1}{2}$ M. 28 2		Darauf Wolken.

1829 Sternbedeckungen vom Monde auf der Prager Sternwarte beobachtet.

Eintritte am dunkeln Mondrande.

Mittl. Zeit.

6 May.	^h 8 ^m 58 ^s 41,2	plötzlich.	Stern 7 ^a GröÙe.
	9 36 30,4	plötzlich.	Stern 6 ^a GröÙe.
8 May.	9 25 15	plötzlich.	Stern 7 ^a GröÙe.
	9 29 10	auf 1 oder 2" verlässlich.	6 ^a - 7 ^a Gr.
Julii 11.	P. H. XV. 41.	Eintritt nach w. Zeit 11 ^h 30 ^m 30 ^s 2	plöt.
		Der Eintritt genau, die Zeitbestimmung kann um 1"	
		zweifelhaft seyn.	

Austritt des α Tauri den 26 Juli nach Mitternacht, nach wahrer Zeit um 1^h 10^m 8^s 6.

Nur selten finden bei einer Sternbedeckung so günstige Umstände statt, wie bei diesem herrlichen Austritte. Der Himmel war vollkommen heiter, die Luft warm, still und rein so, daß beim Aufgang des Mondes schon am Horizonte sein dunkler Rand gut sichtbar war, aber immer heller und schärfer begränzt erschien, wie seine Höhe zunahm. Aldebaran fuhr wie ein Blitz aus dem nördlichen dunkeln Mondrand hervor, mit Schlag der Sekunde an der Uhr von *Bosc*, die nach mittlerer Sonnenzeit geht. Der beobachtete Zeitaugenblick ist plötzlich und genau; die wahre Zeit bestimmte ich aus vielen korrespondirenden Sonnenhöhen, die ich am 24 und 26 Juli mit meinem Sextanten von *Dollond* beobachtet und berechnet habe; ich halte sie auf $\frac{1}{4}$ einer Zeitssekunde für genau. Da man sich auf die Unwandelbarkeit des Gebäudes und der Instrumente nicht verlassen kann, so muß die wahre Zeit jedesmal entweder aus Sonnenhöhen, oder am Mittagsrohr aus hohen und niedrigen, zu gleicher Zeit beobachteten Sternen nach *Delambre's* Methode bestimmt werden.

Den 13 Aug. Eintritt des 2γ Capr. in den dunkeln Mondrand nach wahrer Zeit um 9^h 32^m 40^s 43 plötzlich. Die Zeitbestimmung auf $\frac{1}{4}$ " richtig.

Mond und α Taur. den 21 August im Universalinstrument, das im Meridian aufgestellt war.

Mond	^h 3 ^m 29 ^s 27	Uhr mit Sternzeit
	29 48	mittl.
	30 9	
α Taur.	4 27 36	Mond von α Taur. 58 ^h 9"
	27 57	mittl.
	28 17 $\frac{1}{2}$	

Den 22. des Morgens war der Himmel ganz überzogen; α Taur. konnte weder im Meridian, noch sein Eintritt in den lichten Mondrand beobachtet werden.

Austritt des α Taur. aus dem dunkeln Mondrand mit dem Fernrohr des Universalinstrumentes um 8^h 16^m 17^s 6 w. Z. Durch eine inwendig geschwürzte Aufsatzröhre in der Länge von $\frac{1}{2}$ Fufs sah ich α Taur. den 21 und 22 Aug. sehr gut und deutlich.

Der dunkle Mondrand war beym Austritte wegen des starken Sonnenlichts nicht zu sehen. Zur angegebenen Zeit erblickte ich den Stern zwar plötzlich, ohne doch zu wissen, ob es der wahre Austritt war.

Den 23 August Morgens Bedeckung des 111 Taur. nach Astr. Nachr. Nr. 149. S. 93.

Eintritt in lichten Rand wahrer Zeit:	^h 3 ^m 6 ^s 10,93
Austritt aus dem dunkeln Rand:	4 16 9,86

Der Eintritt durch einen 10füßigen Dollond, mit dem man wegen des geschwächten Mondlichtes durch innere Blendungen den Austritt der Sterne gut und deutlich sieht, scheint auf 1-2 Sekunden, die Zeit auf $\frac{1}{4}$ " richtig zu seyn. Den Austritt sahen 3 Beobachter plötzlich.

Prag den 26 August 1829.

Prof. David.

I n h a l t

Schreiben des Herrn *Hurry* an den Herausgeber. pag. 449.

Längenbestimmungen durch die Sonnenfinsternis 1826. Nov. 29. pag. 451.

Ueber die Länge von Cracau. pag. 453.

1829 Mond und Sterne nach Beilage Astron. Nachr. Nr. 147 auf der Prager Sternwarte beobachtet. pag. 459.

Sternbedeckungen vom Monde auf der prager Sternwarte beobachtet. pag. 463.

Altona im September 1829.

ASTRONOMISCHE NACHRICHTEN.

N^o. 168.

Disquisitiones circa theoriā perturbationum quae motum corporum coelestium afficiunt,

auctore

P. A. Hansen,

Observatorii Seeburgensis Directore.

(Fortsetzung.)

19.

Consideremus planetas duos m et m' , et nunc quidem statumus planum ipsarum xy ad libitum in spatio directum esse. Tunc in triangulo sphaerico a plano fundamēntali ipsarum xy una cum orbitis planetarum m et m' formato, latera duo erunt $\theta' - \theta$ et $\Theta - \theta$, angulique iis resp. oppositi I et $180^\circ - I'$, tertius vero angulus i . Jamjam trigonometria sphaerica inter quantitates illas relationes praebet has

$$Pq - Qp = p'q - q'p$$

$$Pp + Qq = (p'p + q'q)\sqrt{(1-p^2-q^2)} - (p^2+q^2)\sqrt{(1-p'^2-q'^2)}$$

ex his vicissim P et Q eliminatis, obtinemus

$$\left. \begin{aligned} (p^2+q^2)P &= q(p'q-q'p) + p(p'p+q'q)\sqrt{(1-p^2-q^2)} - p(p^2+q^2)\sqrt{(1-p'^2-q'^2)} \\ (p^2+q^2)Q &= -p(p'q-q'p) + q(p'p+q'q)\sqrt{(1-p^2-q^2)} - q(p^2+q^2)\sqrt{(1-p'^2-q'^2)} \end{aligned} \right\} \dots (21)$$

Sed identicae sunt

$$\sqrt{(1-p^2-q^2)} = 1 - \frac{p^2+q^2}{1+\sqrt{(1-p^2-q^2)}}$$

$$\sqrt{(1-p'^2-q'^2)} = 1 - \frac{p'^2+q'^2}{1+\sqrt{(1-p'^2-q'^2)}}$$

quibuscum quantitatibus sub signo radices eliminatis, erit

$$\left. \begin{aligned} P &= p' - p - p \frac{p'p+q'q}{1+\sqrt{(1-p^2-q^2)}} + p \frac{p'^2+q'^2}{1+\sqrt{(1-p'^2-q'^2)}} \\ Q &= q' - q - q \frac{p'p+q'q}{1+\sqrt{(1-p^2-q^2)}} + q \frac{p'^2+q'^2}{1+\sqrt{(1-p'^2-q'^2)}} \end{aligned} \right\} \dots (22)$$

Utrumque systema pro P et Q , sc. (21) et (22), in series infinitas facili computandi ratione evolvitur.

20.

Ad quotientes differentiales parciales ipsarum P et Q in casu ubi $p = q = 0$ inveniendas, differentientur aequationes (22) respectu p et q , hinc, positis $p = 0$ et $q = 0$ unde $p' = I'$ et $q' = Q$, evadunt

$$\left. \begin{aligned} \sin I \sin(\Theta - \theta) &= \sin I' \sin(\theta' - \theta) \\ \sin I \cos(\Theta - \theta) &= \sin I' \cos i \cos(\theta' - \theta) - \cos I' \sin i \end{aligned} \right\} (20)$$

Accipiamus esse

$$p' = \sin I \sin \Theta$$

$$Q = \sin I \cos \Theta$$

et similes in ceteris planetis. Aequationes (20) per $\sin i$ multiplicatae, introductis p , q , p' , q' , I' , Q , mutantur in has

$$\left. \begin{aligned} \left(\frac{dP}{dp} \right) &= -1 + \frac{p^2+q^2}{1+\sqrt{(1-p^2-q^2)}} = -\cos I \\ \left(\frac{dP}{dq} \right) &= 0 \\ \left(\frac{dQ}{dp} \right) &= 0 \\ \left(\frac{dQ}{dq} \right) &= -\cos I \end{aligned} \right\} (23)$$

Manifestum est, nos formulas his prorsus analogas inventuros esse, si quemcunque alium planetam simili modo cum m jungimus.

Per calculi differentialis principia obtinemus

$$\left(\frac{d\Omega}{dp}\right) = \left(\frac{d\Omega}{dI}\right)\left(\frac{dI}{dp}\right) + \left(\frac{d\Omega}{d\Theta}\right)\left(\frac{d\Theta}{dp}\right) + \left(\frac{d\Omega}{d\ell}\right)\left(\frac{d\ell}{dp}\right) + \left(\frac{d\Omega}{d\vartheta}\right)\left(\frac{d\vartheta}{dp}\right) + \text{etc.}$$

cui generaliter quivis planeta perturbans duos terminos illis prorsus similes addet. Dummodo illud id mente teneamus, non opus est, plures quam priores duos transcribi. Ergo

$$\left.\begin{aligned}\left(\frac{d\Omega}{dp}\right) &= \left(\frac{d\Omega}{dI}\right)\left(\frac{dI}{dp}\right) + \left(\frac{d\Omega}{d\Theta}\right)\left(\frac{d\Theta}{dp}\right) \\ \left(\frac{d\Omega}{dq}\right) &= \left(\frac{d\Omega}{dI}\right)\left(\frac{dI}{dq}\right) + \left(\frac{d\Omega}{d\Theta}\right)\left(\frac{d\Theta}{dq}\right)\end{aligned}\right\} \dots \dots \dots (24)$$

sed considerando I et Θ tanquam functiones ipsarum P et Q habetur

$$\left.\begin{aligned}\left(\frac{dI}{dp}\right) &= \left(\frac{dI}{dP}\right)\left(\frac{dP}{dp}\right) + \left(\frac{dI}{dQ}\right)\left(\frac{dQ}{dp}\right) \\ \left(\frac{d\Theta}{dp}\right) &= \left(\frac{d\Theta}{dP}\right)\left(\frac{dP}{dp}\right) + \left(\frac{d\Theta}{dQ}\right)\left(\frac{dQ}{dp}\right) \\ \left(\frac{dI}{dq}\right) &= \left(\frac{dI}{dP}\right)\left(\frac{dP}{dq}\right) + \left(\frac{dI}{dQ}\right)\left(\frac{dQ}{dq}\right) \\ \left(\frac{d\Theta}{dq}\right) &= \left(\frac{d\Theta}{dP}\right)\left(\frac{dP}{dq}\right) + \left(\frac{d\Theta}{dQ}\right)\left(\frac{dQ}{dq}\right)\end{aligned}\right\}$$

Acquisitiones (18), mutatis literis, partem quotientium differentialium in aequationibus praecedentibus occurrentium pro-

dunt, pars reliqua ex (23) immediate petitur. Quibus omnibus substitutis invenimus

$$\left.\begin{aligned}\left(\frac{dI}{dp}\right) &= -\sin \Theta \\ \left(\frac{d\Theta}{dp}\right) &= -\cotg I \cos \Theta \\ \left(\frac{dI}{dq}\right) &= -\cos \Theta \\ \left(\frac{d\Theta}{dq}\right) &= \cotg I \sin \Theta\end{aligned}\right\}$$

atque hinc ex (24)

$$\left.\begin{aligned}\left(\frac{d\Omega}{dp}\right) &= -\left(\frac{d\Omega}{dI}\right) \sin \Theta - \left(\frac{d\Omega}{d\Theta}\right) \cotg I \cos \Theta = -\cos I \left(\frac{d\Omega}{dP}\right) \\ \left(\frac{d\Omega}{dq}\right) &= -\left(\frac{d\Omega}{dI}\right) \cos \Theta + \left(\frac{d\Omega}{d\Theta}\right) \cotg I \sin \Theta = -\cos I \left(\frac{d\Omega}{dQ}\right)\end{aligned}\right\}$$

quibuscum (19) productum

$$\left.\begin{aligned}\frac{dp}{dt} &= -\frac{an}{\sqrt{1-e^2}} \left\{ \left(\frac{d\Omega}{dI}\right) \cos \Theta - \left(\frac{d\Omega}{d\Theta}\right) \cotg I \sin \Theta \right\} \\ \frac{dq}{dt} &= \frac{an}{\sqrt{1-e^2}} \left\{ \left(\frac{d\Omega}{dI}\right) \sin \Theta + \left(\frac{d\Omega}{d\Theta}\right) \cotg I \cos \Theta \right\}\end{aligned}\right\} \dots \dots \dots (25)$$

vel

$$\left.\begin{aligned}\frac{dp}{dt} &= -\frac{an}{\sqrt{1-e^2}} \cos I \left(\frac{d\Omega}{dQ}\right) \\ \frac{dq}{dt} &= \frac{an}{\sqrt{1-e^2}} \cos I \left(\frac{d\Omega}{dP}\right)\end{aligned}\right\} \dots \dots \dots (26)$$

prout res fert, utaris his (26) vel illis (25).

Quantitas $\frac{an}{\sqrt{1-e^2}}$, ut patet, hic eodem modo ut in aequationibus (13) et (14) occurrit, igitur omnia fere quae de quantitatibus $\left(\frac{d\Omega}{dP}\right)$ et $r \left(\frac{d\Omega}{dr}\right)$ jam supra diximus, ad quantitates hic occurrentes quoque applicare licet. Constantes arbitrarie integralibus aequationum (25) vel (26) addendae, necessariae cifrae accedunt, quia p et q sine perturbationum ratione valorem illum accipiunt.

21.

Aequationes (22) vel earum evolutiones in series subsidia praebent, quibus perturbationes ex (25) vel (26) oriuntur ad quodvis planum fixum aut mobile transferrentur. Quum astronomi motus planetarum omnium ad planum eclipticae mobile referre soliti sint, nos integralia aequationum (25) vel (26) ad idem planum referemus. Quem in finem ad planum eclipticae fixum id, quod electae temporis epochae respondet, ea transferre coepimus. Sint $[p]$ et $[q]$ quantitates illis analogae sed ad eclipticum hanc fixum

relatae, atque observationibus datae inclinationis orbitae planetae ad item planum, quam (1), et longitudi nodi ascendentis, quam (8) designabimus; ex his supponimus, ope aequationum (17) supputatas esse quantitates (p) et (q), manentibus signis p et q pro integralibus aequationum (25) vel (26). His positis, mutando P in $[p]$, Q in $[q]$, p' in p , q' in q , p in $-(p)$ et q in $-(q)$ aequationes (22) vel earum evolutiones in series quantitates quaesitas $[p]$ et $[q]$ praebent. Ut hinc ad eclipticam mobilem transcamus, quantitates illis analogas, motui vero terrae tribuendas per p_0 et q_0 et quantitates easdem planetae sed ad eclipticam mobilem relatas per \bar{p} et \bar{q} denotabimus. Quae pari modo, ut antea $[p]$ et $[q]$, mutando scilicet in aequationibus (22) vel in earum evolutionibus P in \bar{p} , Q in \bar{q} , p' in $[p]$, q' in $[q]$, p in p_0 et q in q_0 , suppediuntur.

22.

Jam latitudo planetae supra planum eclipticae mobile facile eruitur. Designante enim s sinum latitudinis supra planum quoddam, cujus angulus cum orbita planetae i , et in quo nodus ascendens longitudinis δ est, trigonometria sphaerica statim praebet

$$s = \sin i \sin (\nu - \delta) \dots (27)$$

vel

$$s = q \sin \nu - \bar{p} \cos \nu$$

habebimus igitur, si \bar{s} ad eclipticam mobilem referatur

$$\bar{s} = \bar{q} \sin \nu - \bar{p} \cos \nu$$

Sit $\bar{i} = (i) + \delta\bar{i}$, $\bar{p} = (p) + \delta\bar{p}$, $\bar{q} = (q) + \delta\bar{q}$, quibus introductis, aequationem praecedentem, propter indeterminatas (s) et $\delta\bar{s}$ in partes duas distribuere licet. Si igitur ponamus

$$(s) = \sin (i) \sin (\nu - \delta) \dots (28)$$

habebitur cum rigore geometrico

$$\delta\bar{s} = \delta\bar{q} \sin \nu - \delta\bar{p} \cos \nu \dots (29)$$

aequationes igitur (28) et (29) latitudinem veram praebent. Ad corpora systematis solaris nostri haec applicaturus, in aequationum (22) evolutionibus, paucis admodum casibus exceptis, non nisi terminis primi ordinis respectu ipsarum p et q etc. egibit, atque in (27) pro ν , quae proprie est longitudo vera perturbata, terminum primum in evolutione ejus, hoc est, longitudinem medium in perturbata substitutione poterit.

$$(31) \dots \sin (\bar{\nu} - \nu) = \frac{2\bar{p}\bar{q}}{[1 + \sqrt{(1 - \bar{p} - \bar{q})^2}]} \cos (\bar{\nu} + \nu) - \frac{\bar{q} - \bar{p}}{[1 + \sqrt{(1 - \bar{p} - \bar{q})^2}]} \sin (\bar{\nu} + \nu)$$

quae verum sinus reductionis ad eclipticam mobilem valorum prodit, et, quoties inclinatio parva est, in seriem

Ad supputationem accuratorem quotientium differentialium ipsius Ω , ut jam dictum est, valores perturbati ipsarum I et Θ requiruntur, qui facile ex valoribus ipsarum P et Q computantur. Hi vero simili modo, ut antea \bar{p} et \bar{q} , datis p , q , p' , q' , etc. una cum valoribus in perturbatis ipsarum P et Q , mutatisque apte characteribus aequationum (22) eruntur. Calculum vero hunc, quum e praecedentibus facile instruat, hoc loco silentio praetermitti posse, rati sumus.

23.

Quum aequationes (13) et (14) longitudinem veram in orbita et logarithmum verum radii vectoris praebent, restat ut doceatur, quomodo quantitates haec ad planum eclipticae mobile reducantur. De logarithmi radii vectoris reductione nil monendum est, nam omnium simplicissimum est logarithmum cosinus latitudinis verae addere. Reductio longitudinis ad eclipticam ope formularum trigonometricarum absolvi nequit, nisi longitudo nodi vera perturbata cognoscatur, quum vero hac praeterea non ui sumus, et quum inclinationes orbitalium planetaum minutissimae sint, reductio haec per series illo modo facilius perficitur.

Positis \bar{i} et $\bar{\delta}$ inclinatione atque longitudine nodi ascendentis, simulac $\bar{\nu}$ longitudine planetae ad planum eclipticae mobile omnibus relatis, trigonometria sphaerica prodit aequationem hanc

$$tg (\bar{\nu} - \bar{\delta}) = tg (\nu - \bar{\delta}) \cos i$$

quae facile transformatur in haec

$$\sin (\bar{\nu} - \nu) = - \sin (\bar{\nu} + \nu - 2\bar{\delta}) tg^2 \frac{1}{2} \bar{i} \dots (30)$$

Iam si pro \bar{i} et $\bar{\delta}$ illas \bar{p} et \bar{q} introducti placeat, habetur

$$tg^2 \frac{1}{2} \bar{i} = \frac{\frac{-\bar{p} + \bar{q}}{1 + \sqrt{(1 - \bar{p} - \bar{q})^2}}}{\frac{2\bar{p}\bar{q}}{\bar{p} + \bar{q}}}$$

$$\sin 2\bar{\delta} = \frac{\frac{-\bar{p} + \bar{q}}{\bar{p} + \bar{q}}}{\frac{2\bar{p}\bar{q}}{\bar{p} + \bar{q}}}$$

$$\cos 2\bar{\delta} = \frac{\frac{-\bar{p} + \bar{q}}{\bar{p} + \bar{q}}}{\frac{2\bar{p}\bar{q}}{\bar{p} + \bar{q}}}$$

quibus valoribus substitutis, aequatio (30) abit in hanc

$$\sin (\bar{\nu} - \nu) = - \sin (\bar{\nu} + \nu - 2\bar{\delta}) tg^2 \frac{1}{2} \bar{i} \dots (32)$$

facile resolvitur. Si instar art. praec. ponimus

differentia haec [aeq. (31) — aeq. (32)] reductionis ad ellipticam perturbationes praebet, quae in systematis nostri solaris planetis in nihilum fere recedunt.

24.

Reliquum est, ut quantitatem Ω sub forma simplicissima exhibeamus. Secundum art. 3. habemus, si non nisi planetas duos consideramus

$$\Omega = \frac{m'}{\mu} \frac{1}{\Delta_1} - \frac{m'}{\mu} \frac{x x' + y y' + z z'}{r^3 \Delta_1}$$

ubi

$$\Delta_1^2 = (x - x')^2 + (y - y')^2 + (z - z')^2$$

$$\begin{aligned} \Delta_1^2 &= \left\{ (r \cos u - r' \cos u')^2 + (r \sin u - r' \sin u')^2 \right\} \cos^2 \frac{1}{2} I \\ &\quad + \left\{ (r \cos u - r' \cos u')^2 + (r \sin u + r' \sin u')^2 \right\} \sin^2 \frac{1}{2} I \end{aligned}$$

hinc, quadratis evolutis

$$\Delta_1^2 = \left\{ r^2 + r'^2 - 2 r r' \cos(u - u') \right\} \cos^2 \frac{1}{2} I + \left\{ r^2 + r'^2 - 2 r r' \cos(u + u') \right\} \sin^2 \frac{1}{2} I$$

sive

$$\Delta_1^2 = r^2 + r'^2 - 2 r r' \cos^2 \frac{1}{2} I \cos(u - u') - 2 r r' \sin^2 \frac{1}{2} I \cos(u + u')$$

Si jam Ω in partes duas distribuimus, ita ut

$$\Omega_1 = \frac{m'}{\mu} \frac{1}{\Delta_1}, \quad \Omega_2 = - \frac{m'}{\mu} \frac{x x' + y y' + z z'}{r^3 \Delta_1}$$

habemus differentiando

$$\begin{aligned} \left(\frac{d\Omega_1}{d\nu} \right) &= - \frac{m'}{\mu} \frac{r r' \cos^2 \frac{1}{2} I \sin(u - u') + r r' \sin^2 \frac{1}{2} I \sin(u + u')}{\Delta_1^3} \\ r \left(\frac{d\Omega_1}{dr} \right) &= - \frac{m'}{\mu} \frac{r^2 - r r' \cos^2 \frac{1}{2} I \cos(u - u') - r r' \sin^2 \frac{1}{2} I \cos(u + u')}{\Delta_1^3} \\ \left(\frac{d\Omega_2}{dI} \right) &= - \frac{m'}{\mu} \frac{r r' \cos^2 \frac{1}{2} I \cos(u - u') \operatorname{tg} \frac{1}{2} I - r r' \sin^2 \frac{1}{2} I \cos(u + u') \operatorname{cosec} \frac{1}{2} I}{\Delta_1^3} \\ \left(\frac{d\Omega_2}{d\Theta} \right) &= 2 \frac{m'}{\mu} \frac{r r' \sin^2 \frac{1}{2} I \sin(u + u')}{\Delta_1^3} \end{aligned}$$

Ex valores coordinatarum supra datos, si hic quoque terminum primum per $\cos^2 \frac{1}{2} I + \sin^2 \frac{1}{2} I$ multiplicamus, statim invenitur

$$\Omega_1 = - \frac{m'}{\mu} \frac{r}{r^3} \left\{ \cos^2 \frac{1}{2} I \cos(u - u') + \sin^2 \frac{1}{2} I \cos(u + u') \right\}$$

quae differentia praebet

$$\begin{aligned} \left(\frac{d\Omega_2}{d\nu} \right) &= \frac{m'}{\mu} \frac{r}{r^3} \left\{ \cos^2 \frac{1}{2} I \sin(u - u') + \sin^2 \frac{1}{2} I \sin(u + u') \right\} \\ r \left(\frac{d\Omega_2}{dr} \right) &= \Omega_2 \\ \left(\frac{d\Omega_2}{dI} \right) &= \frac{m'}{\mu} \frac{r}{r^3} \left\{ \cos^2 \frac{1}{2} I \cos(u - u') \operatorname{tg} \frac{1}{2} I - \sin^2 \frac{1}{2} I \cos(u + u') \operatorname{cosec} \frac{1}{2} I \right\} \\ \left(\frac{d\Omega_2}{d\Theta} \right) &= - 2 \frac{m'}{\mu} \frac{r}{r^3} \sin^2 \frac{1}{2} I \sin(u + u') \end{aligned}$$

Sit planum arbitrarium ipsarum xy ita electum, ut, lineam nodorum transiens, cum utraque orbita angulum eundem faciat. Hinc facile colligitur esse

$$\begin{aligned} x &= r \cos u & x' &= r' \cos u' \\ y &= r \sin u \cos \frac{1}{2} I & y' &= r' \sin u' \cos \frac{1}{2} I \\ z &= r \sin u \sin \frac{1}{2} I & z' &= - r' \sin u' \sin \frac{1}{2} I \end{aligned}$$

ubi

$$u = \nu - \Theta \quad \text{et} \quad u' = \nu' - \Theta$$

His coordinatarum valoribus in Δ_1^2 substitutis, invenitur, post terminum primum per $\cos^2 \frac{1}{2} I + \sin^2 \frac{1}{2} I$ multiplicatum,

Quum evolutio ipsius Ω , evolutione ipsius Ω_n aliquanto operosior sit, e re erit quantitates has seorsum evolvere, quoties perturbaciones amborum planetarum m et m' requiruntur, quoniam ipsa Ω , in motibus eorum eadem est. Quae evolutio brevissime absolvitur, si partes, quibus $\left(\frac{d\Omega}{d\sigma}\right)$ et $r\left(\frac{d\Omega}{d\sigma}\right)$ constant, singulae evolvuntur, quia quotientes differentiales respectu σ' et σ'' ex iisdem compositae sunt, vel etiam si loco $r\left(\frac{d\Omega}{d\sigma}\right)$ ipsa Ω evolvatur, quo facto, habetur $r'\left(\frac{d\Omega}{d\sigma}\right)$ per aequationem notam hanc

$$-\Omega = r\left(\frac{d\Omega}{d\sigma}\right) + r'\left(\frac{d\Omega}{d\sigma'}\right)$$

In eodem casu loco ipsius Ω_n haec

$$rr'\left\{\cos^2\frac{1}{2}I \cos(u-u') + \sin^2\frac{1}{2}I \cos(u+u')\right\}$$

et quotientes ejus differentiales commodissime evolvuntur, id quod infra clarius elucebit.

25.

Corollarii loco jam ea addam, quae ad evolutionem ipsius Ω maxime conferre videntur. Paucis ut rem amplectar, ita se habet. Sit y functio quaedam periodica arcuum g, g' etc., quae infinita fieri non potest, tunc levi negotio demonstratur esse

$$\begin{aligned} \Delta_{g, g'}^{i, i'} &= \frac{1}{(2\pi)^n} \int_0^{2\pi} y \cos\{ig + i'g' + \text{etc.}\} dg \cdot dg' \dots \\ \Delta_{g, g'}^{i, i'} &= \frac{1}{(2\pi)^n} \int_0^{2\pi} y \sin\{ig + i'g' + \text{etc.}\} dg \cdot dg' \dots \end{aligned} \quad (33)$$

denotante n numerum variabilium g, g' etc., et 2π peripheriam circuli, cujus radius unitus est, extensionisque integralibus respectu cujusvis variabiles a valore 0 usque ad valorem 2π : quoties y in seriem infinitam evoluta est hujus formae

$$y = \Delta_{g, g'}^{i, i'} \cos\{ig + i'g' + \text{etc.}\} + \Delta_{g, g'}^{i, i'} \sin\{ig + i'g' + \text{etc.}\}$$

ubi integri i, i' etc. $a = -\infty$ usque ad $+\infty$, inclusa cifra, seorsum extenduntur *).

Qua methodo ubique uti licet, si enim omnia fallerent, integralia illa per quadraturas mechanicas, ut dicuntur, investigari possunt, imo in casibus quibusdam, ubi integralia seriebus infinitis exprimere licet, integrationes per quadra-

turas mechanicas praefieri debent, scilicet quoties series itae nimis complicatae evadunt. Quantitas Ω et quotientes ejus differentiales, quum functiones periodicae sint, uti y , per methodum modo relatam evolvi possunt. Quum nihil referat, quantum sit numerus variabilium quam consideramus, quoniam methodus integrandi, si de unica variabili actus, ad quemvis numerum variabilium inter se independentium extendi potest: integralia supra exposita, ubi una variabilis adest, evolventur. Omissis itaque g' etc. factoque $i = 0$, habemus integrale

$$A = \frac{1}{2\pi} \int y dg$$

quod a $g = 0$ usque ad $g = 2\pi$ est integrandum.

Methodus integralium per quadraturas mechanicas inveniendorum in eo consistit, ut per valores determinatos ipsius y tanquam ordinatas abscissae g respondentes linea curva ex genere parabolicarum ducatur, hujusque lineae inter abscissas datas inclusa eruat area, quae est integrale. Ponamus igitur intervallum a 0 usque ad 2π in n partes inter se aequales divitem, et enique harum n partium respondentem valorem ipsius y computatum esse, tunc

si valori $g = 0$ respondeat $y = Y_0$

$$\dots\dots g = \frac{2\pi}{n} \dots\dots y = Y_1$$

$$\dots\dots g = 2\frac{2\pi}{n} \dots\dots y = Y_2$$

etc. etc.

crit. quia $dg = \frac{2\pi}{n}$,

$$S\left\{\frac{2\pi}{n} Y_0, \frac{2\pi}{n} Y_1, \frac{2\pi}{n} Y_2, \frac{2\pi}{n} Y_{n-1}\right\} = \int y dg$$

ubi S denotat signum integrationis, ad quantitatum, quibus praedixum est, tractationem referendum.

Praecepta huiusmodi integralia inveniendi nota docent, integrale $\int y dg$ a $g = 0$ usque ad $g = \frac{2\pi}{n}$ extensum, esse

$$\frac{2\pi}{n} \left(Y_0 + \alpha \Delta Y_0 + \beta \Delta^2 Y_0 + \gamma \Delta^3 Y_0 + \text{etc.} \right)$$

ubi $\Delta Y_0, \Delta Y_1$ etc. differentias primam secundam etc. finitas seriei Y_0, Y_1, Y_2 etc. α, β, γ etc. vero coefficientes numericas denotant.

Idem itaque integrale a $g = \frac{2\pi}{n}$ usque ad $g = 2\frac{2\pi}{n}$ extensum erit ==

$$\frac{2\pi}{n} \left\{ Y_1 + \alpha \Delta Y_1 + \beta \Delta^2 Y_1 + \gamma \Delta^3 Y_1 + \text{etc.} \right\}$$

*) Hinc theorematum, quo methodus ill. Gauss variationum elementorum determinandarum innuitur, demonstratio facile peti potest.

quibus continuatis, addendo invenitur integrale nostrum integrum, hoc est a $g = 0$ usque ad $g = 2\pi$ extensum =

$$\begin{aligned} & \frac{2\pi}{n} \left\{ Y_0 + Y_1 + Y_2 + \dots + Y_{n-1} \right\} \\ & + \alpha \frac{2\pi}{n} \left\{ \Delta Y_0 + \Delta Y_1 + \Delta Y_2 + \dots + \Delta Y_{n-1} \right\} \\ & + \beta \frac{2\pi}{n} \left\{ \Delta^2 Y_0 + \Delta^2 Y_1 + \Delta^2 Y_2 + \dots + \Delta^2 Y_{n-1} \right\} \\ & + \gamma \frac{2\pi}{n} \left\{ \Delta^3 Y_0 + \Delta^3 Y_1 + \Delta^3 Y_2 + \dots + \Delta^3 Y_{n-1} \right\} \\ & + \text{etc.} \end{aligned}$$

Quum vero y sit functio periodica, vel potius quum $Y_0 = Y_n$, $Y'_0 = Y'_n$, etc. summae per α , vel per β ,

$$\begin{aligned} Y_0 &= A_0 + 2A_1 + \dots + 2A_{\frac{n-1}{2}} + 2A_1 + 2A_2 + \dots + 2A_{\frac{n-1}{2}} + 2A_1 + 2A_2 + \dots + \dots \\ Y_1 &= A_1 + 2A_2 \cos \frac{2\pi}{n} + \dots + 2A_n \cos(n-1) \frac{2\pi}{n} + 2A_2 + 2A_3 \cos \frac{2\pi}{n} + \dots + 2A_{\frac{n-1}{2}} \cos(n-1) \frac{2\pi}{n} + 2A_2 + 2A_3 \cos \frac{2\pi}{n} + \dots \\ &+ 2A_1 \sin \frac{2\pi}{n} + \dots + 2A_{\frac{n-1}{2}} \sin(n-1) \frac{2\pi}{n} + 2A_1 \sin \frac{2\pi}{n} + \dots + 2A_{\frac{n-1}{2}} \sin(n-1) \frac{2\pi}{n} + 2A_1 \sin \frac{2\pi}{n} + \dots \\ Y_{n-1} &= A_1 + 2A_2 \cos(n-1) \frac{2\pi}{n} + \dots + 2A_n \cos(n-1) \frac{2\pi}{n} + 2A_2 + 2A_3 \cos(n-1) \frac{2\pi}{n} + \dots + 2A_{\frac{n-1}{2}} \cos(n-1) \frac{2\pi}{n} + 2A_2 + 2A_3 \cos(n-1) \frac{2\pi}{n} + \dots \\ &+ 2A_1 \sin(n-1) \frac{2\pi}{n} + \dots + 2A_{\frac{n-1}{2}} \sin(n-1) \frac{2\pi}{n} + 2A_1 \sin(n-1) \frac{2\pi}{n} + \dots + 2A_{\frac{n-1}{2}} \sin(n-1) \frac{2\pi}{n} + \dots \end{aligned}$$

Sed notum est, aequationes has

$$\begin{aligned} \cos 0 + \cos m \frac{2\pi}{n} + \cos 2m \frac{2\pi}{n} + \dots + \cos(n-1)m \frac{2\pi}{n} &= 0 \\ \sin 0 + \sin m \frac{2\pi}{n} + \sin 2m \frac{2\pi}{n} + \dots + \sin(n-1)m \frac{2\pi}{n} &= 0 \end{aligned}$$

ocum habere toties, quoties m sit numerus integer, quibus adjuvantibus, summa aequationum praecedentium facile reperitur esse

$$\begin{aligned} Y_0 + Y_1 + Y_2 + \dots + Y_{n-1} &= nA_0 + 2nA_1 + 2nA_2 + \dots + \text{etc.} \\ &= \frac{n}{2\pi} \int y dg + \frac{2n}{2\pi} \int y \cos n g dg + \frac{2n}{2\pi} \int y \cos 2ng dg + \text{etc.} \quad (34) \end{aligned}$$

Quae aequatio levi negotio ad valores generales ipsarum A'_0 et A'_1 extenditur, nam quum $y \cos ig$ et $y \sin ig$

vel per y multiplicatae ex expressione praecedenti evanescent. Habetur itaque

$$Y_0 + Y_1 + Y_2 + \dots + Y_{n-1} = \frac{n}{2\pi} \int y dg = nA_0$$

Quae aequatio non nisi proxima vero est, sed ad veritatem tanto propius accedit, quanto n est maior.

Lacet tamen valorem verum partis ad sinistram huius aequationis assignare, et tum errorem, qui committitur, quoties aequatio tanquam vera accipitur, aestimare.

Quum sit

$$y = A'_0 \cos ig + A'_1 \sin ig$$

crit

$$Y_n = A'_0 \cos ix \frac{2\pi}{n} + A'_1 \sin ix \frac{2\pi}{n}$$

hinc

$$\begin{aligned}
 & Y_0 + Y_1 \cos i \frac{2\pi}{n} + Y_2 \cos 2i \frac{2\pi}{n} + \dots + Y_{n-1} \sin(n-1)i \frac{2\pi}{n} \\
 &= \frac{n}{2\pi} \int y \cos i g . dg + \frac{n}{2\pi} \int y \cos(n-i)g . dg + \frac{n}{2\pi} \int y \cos(n+i)g . dg + \text{etc.} \\
 &= n A_i' + n A_e^{n-i} + n A_e^{n+i} + \text{etc.} \\
 &\text{atque} \\
 & Y_1 \sin i \frac{2\pi}{n} + Y_2 \sin 2i \frac{2\pi}{n} + \dots + Y_{n-1} \sin(n-1)i \frac{2\pi}{n} \\
 &= \frac{n}{2\pi} \int y \sin i g . dg - \frac{n}{2\pi} \int y \sin(n-i)g . dg + \frac{n}{2\pi} \int y \sin(n+i)g . dg + \text{etc.} \\
 &= n A_i' - n A_e^{n-i} + n A_e^{n+i} + \text{etc.}
 \end{aligned} \quad \dots (35)$$

Ut expressiones (34) et (35) tuto applicari possint, necesse est, unus terminorum ad dextram ceteros magnitudine valde superet, id quod toties, quoties y est functio continua, siquidem numerus n apte electus sit, locum habere, demonstrari potest. In casibus ubi y natura sua semper est quantitas positiva, praesertim terminus primus expressionum (34) et (35) omnium est maximus.

Quae expressiones, quomodoque, manente n numero quocunque, simplicitate maximam gaudent, tamen, si valores ipsius n ad determinatos quosdam restringuntur, alias suppeditant, quibus calculus aliquantulum brevius absolvitur; sed de his alias.

Haec methodus nova dici nequit. Statim enim formulas (34) et (35) ex huius libri numero 136 adscribere potuissimus, ubi jam, auctore ill. *Bessel* continentur. Sed auctor hic ill. in deductione sua principis usus est, quae ab his, quae ego secutus sum, omnino sunt diversa, proposuerat enim functionem quamcunque periodicam ope valorum ejus specialium ita evolvere, ut errorum, qui restant, quadrata minima sint, quae quidem ratio ad easdem perduxit formulas, quas hoc loco ope integrationum per quadraturas mechanicas erui. Praeterea, quum calculum hunc inciperem, nullam habebam suspicionem notabilis illius, quem postea reperi, eventus. Quae quomodo ita sint, haud inutile fore duxi, si pagellam huic computationi hic destinarem *).

*) Quum haec scripsissem, ill. *Schumacher* in memoriam mihi revocavit, ill. *Bessel* in observationum Regiomontanarum sectione prima eandem methodum jam protulisse, nec non in commentationibus academicae Regiae Berolinensis annorum 1820—1821 cum ad variables duas explicasset, quod, ut par est, hoc loco suppressere nolui. Si vero huius methodi originem indagamus, nomen ill. *Euler* nobis offertur, qui primus in theoria sui Jovis atque Saturni ad terminum evolutionis ipsius $\frac{1}{\Delta}$ constantem invo-

26.

In dissertatione sua: *Untersuchung des Theils der planetarischen Störungen etc.* intercepta cl. *Bessel* methodum novam et elegantissimam quantitas Ω , in seriem evolventes prodit, quae applicationi generali patet. Quum vero ratio finita inter transcendentes illae f_k^h nominatae, (Gld. p. 314, quoties excentricitates minores sunt, sine ambiguitate non adhiberi possit, auctor in fractiones continuas eam convertit. Pro fractionibus huius methodum in art. praec. retinam, si placeret, substituere licet, quae in hoc praesertim casu, quum integrationes hinae in approximatione prae ad singulas reduci possint, calculi expedito absolvuntur; quae integralia praeterea, quoties excentricitates minores sunt, per series infinitas secundum potestates excentricitatis progredientes commodè expriuntur. Inter coefficients evolutionis quantitas Ω , ad motum ipsius m , atque coefficients evolutionis quantitas Ω' , ad motum ipsius m' pertinentis insignis existit ratio, quam in dissertatione pluries laudata frustra quaesivi, licet ex formula illa datis facile derivari possit. Quam relationem, quae ab auctoris illustrissimi instituto aliena videtur, ad motum vero accommodata est, hoc loco exponere studeamus.

Ut ex art. 24 appareat, ipsa Ω , duobus terminis constat, quorum priorem deligamus. Qui in motu ipsius m est

$$= \frac{r}{r'} \cos(u-u')$$

atigandum eam adhibuit, ut aliunde mihi constat. Quum enim tractatus hic mihi nunc ad manus non sit, nescio, quid accurate de hac re eo continetur, attamen in ejusdem Institutionibus calculi integralis solvitur idem problema; vide huius libri vol. I. sect. I. cap. VI problema 34. Deinde cl. *Clairaut* hanc *Euleri* methodum terminis constantibus inveniendi, ad terminos quosvis rependiens extendit, ut in commentationum academiarum scientiarum Regiae Gallicae anni 1794 pag. 945 seqq. legitur.

in motu vero ipsius m'

$$- \frac{r'}{r^2} \cos(u-u')$$

per aequationes itaque (33) habemus

$$A_e^{i,i'} = -\frac{1}{4\pi^2} \iint \frac{r}{r'^2} \cos(u-u') \cos(ig+i'g'). dg. dg'$$

$$A_e^{i,i'} = -\frac{1}{4\pi^2} \iint \frac{r}{r'^2} \cos(u-u') \sin(ig+i'g'). dg. dg'$$

si series ex $-\frac{r}{r'^2} \cos(u-u')$ oritura denotatur per

$$A_e^{i,i'} \cos(ig+i'g') + A_e^{i,i'} \sin(ig+i'g')$$

denotantibus g, g' anomalias medias, literis vero ceteris idem ac in art. praec.

Integralia praecedentia, si sinus atque cosinus resolvuntur terminis constant talibus

$$L \int \frac{r}{r'^2} \cos \left\{ \frac{r}{r'^2} \cos \right\} i g. dg \times \int \frac{1}{r'^2} \cos \left\{ \frac{r}{r'^2} \cos \right\} i' g'. dg' \dots \dots \dots (36)$$

Eodem modo, vel simplicius, si omnia ad m pertinentia in quantitates analogas ad m' referendas et reciproce convertuntur, quantitas Ω_m et quotientes ejus differen-

$$L \int \frac{r}{r'^2} \cos \left\{ \frac{r}{r'^2} \cos \right\} i' g'. dg' \times \int \frac{1}{r'^2} \cos \left\{ \frac{r}{r'^2} \cos \right\} i g. dg \dots \dots \dots (37)$$

ubi bene notandum est, constantem L in utroque formula sc. (36) et (37) eandem esse, quoniam formulae originales eo

$$K \iint \frac{r}{r'^2} \cos \left\{ \frac{r}{r'^2} \cos \right\} u \cos \left\{ \frac{r}{r'^2} \cos \right\} i g \cos \left\{ \frac{r}{r'^2} \cos \right\} i' g'. dg. dg'$$

ubi K est coefficienti constans. Terminus vero talis, qualis praecedens, si per w et w' designantur anomaliae resae resp. planetarum m et m' , in terminos resolvitur tales

$$L \iint \frac{r}{r'^2} \cos \left\{ \frac{r}{r'^2} \cos \right\} w \cos \left\{ \frac{r}{r'^2} \cos \right\} i g \cos \left\{ \frac{r}{r'^2} \cos \right\} i' g'. dg. dg'$$

ubi L quoque est constans, et ubi cosinus atque sinus non modo resp. cum cosinu atque sinu sed etiam resp. cum sinu atque cosinu juncti apparebunt. Quae quum ad terminum priorem ipsius Ω_m spectent, facile perspicitur, terminum alterum ipsius Ω_m , sicut quotientes differentiales ejus omnes quibus utimur, ex terminis ejusdem formae compositas esse. Quum vero g et g' sint quantitates ab invicem independentes, integrale praecedens accipiet formam hanc

tiales quibus in motu planetae m' utimur, ex terminis compositae inveniuntur ut hic

tantum a se invicem discrepant, quod $\frac{r}{r'^2}$ in $\frac{r^2}{r'^2}$ transit.

(Der Beschluss folgt.)

I n h a l t.

(zu Nr. 166, 167 168 und Beilage zu Nr. 167.)

Disquisitiones circa theoriæ perturbationum quæ motum corporum coelestium afficiunt, auctore *P. A. Hansen*, Observatorii Sebergensis Directore. pag. 417.

Schreiben des Herrn *Hansen* an den Herausgeber. pag. 449.

Längenbestimmungen durch die Sonnenfinsternisse 1826. Nov. 29. pag. 451.

Ueber die Länge von Cracau. pag. 453.

1829 Mond und Sterne nach Beilage Astron. Nachr. Nr. 147 auf der Prager Sternwarte beobachtet. pag. 459.

Sternbedeckungen vom Monde auf der prager Sternwarte beobachtet. pag. 463.

Altona im October 1829. (Hiebei eine Beilage.)

Disquisitiones circa theoriā perturbationum quae motum corporum coelestium afficiunt,

auctore

P. A. Hansen,

Observatori Seebergensi Directore.

(Beschluss.)

Hinc colligitur, ipsam Ω , et quotientes ejus differentiales quibus utimur, ex terminis compositos esse, quorum quivis productis constat binorum integralium horum

$$\begin{aligned} \int r \cos w \cos i g \, dg & \quad \int r \cos w \sin i g \, dg \\ \int r \sin w \sin i g \, dg & \quad \int r \sin w \cos i g \, dg \\ \int \frac{1}{r^2} \cos w' \cos i' g' \, dg' & \quad \int \frac{1}{r^2} \cos w' \sin i' g' \, dg' \\ \int \frac{1}{r^2} \sin w' \sin i' g' \, dg' & \quad \int \frac{1}{r^2} \sin w' \cos i' g' \, dg' \end{aligned}$$

quae omnia a valore ipsius g aut $g' = 0$ usque ad valorem $= 2\pi$ extendi debent. Quantitas itaque Ω , et quotientes ejus differentiales quae in motu planetae m' occurrunt, terminis compositae sunt, qui productis constanti binorum integralium horum

$$\begin{aligned} \int r' \cos w' \cos i' g' \, dg' & \quad \int r' \cos w' \sin i' g' \, dg' \\ \int r' \sin w' \sin i' g' \, dg' & \quad \int r' \sin w' \cos i' g' \, dg' \\ \int \frac{1}{r'^2} \cos w' \cos i' g' \, dg' & \quad \int \frac{1}{r'^2} \cos w' \sin i' g' \, dg' \\ \int \frac{1}{r'^2} \sin w' \sin i' g' \, dg' & \quad \int \frac{1}{r'^2} \sin w' \cos i' g' \, dg' \end{aligned}$$

quorum limites iidem sunt ut praecedentium. Quum vero evolutio quantitatis $r^2 \cos w$ aut $r^2 \cos w'$ in seriem sinus

$$0 = \int \left\{ i \cos z \cos i g \, d.ig - \frac{\cos z - e}{(1 - e \cos z)^2} \cos i g \, dz - i e \cos i g \, d.ig \right\}$$

Multiplicato e per quantitatem $\cos^2 z + \sin^2 z$, quo valor expressionis non mutatur, quantitas $\frac{\cos z - e}{(1 - e \cos z)^2}$ abit in hanc

$$\frac{\cos z - e \sin^2 z - e \cos^2 z}{(1 - e \cos z)^2} = -\frac{e \sin^2 z}{(1 - e \cos z)^2} + \frac{\cos z}{1 - e \cos z} = \frac{d. \frac{1 - e \cos z}{dz}}{dz}$$

77 Ed.

multiplicum anomaliae mediae, et evolutio quantitatis $r^2 \sin w$ aut $r^2 \sin w'$ in seriem cosinus multiplicum anomaliae mediae non continet, facile concluditur, integralia columnae posterioris omnia cifram aequare debere. His positis jam demonstrabimus esse identicas aequationes has

$$\left. \begin{aligned} \frac{i^2}{a^3} \int r \cos w \cos i g \, dg &= \int \frac{1}{r^2} \cos w \cos i g \, dg \\ \frac{i^2}{a^3} \int r \sin w \sin i g \, dg &= \int \frac{1}{r^2} \sin w \sin i g \, dg \\ \frac{i^2}{a^3} \int r' \cos w' \cos i' g' \, dg' &= \int \frac{1}{r'^2} \cos w' \cos i' g' \, dg' \\ \frac{i^2}{a^3} \int r' \sin w' \sin i' g' \, dg' &= \int \frac{1}{r'^2} \sin w' \sin i' g' \, dg' \end{aligned} \right\} \quad (38)$$

infra limites 0 et 2π . Quorum aequationum priores transiunt in has

$$\left. \begin{aligned} 0 &= \int \left\{ i^2 \frac{r}{a} \cos w \cos i g \, dg - \frac{a^2}{r^2} \cos w \cos i g \, dg \right\} \\ 0 &= \int \left\{ i^2 \frac{r}{a} \sin w \sin i g \, dg - \frac{a^2}{r^2} \sin w \sin i g \, dg \right\} \end{aligned} \right\} \quad (39)$$

sed, designante z anomaliam eccentricam, habetur

$$\begin{aligned} r \cos w &= a \cos z - a e \\ r \sin w &= a \sqrt{1 - e^2} \cdot \sin z \\ r &= a - a e \cos z \\ g &= z - e \sin z \\ dg &= (1 - e \cos z) \, dz \end{aligned}$$

quibus substitutis, ex prioribus aequationum (39) sequitur, esse confirmandam aequationem hanc

aequatio igitur praecedens erit

$$0 = \int \left\{ i \cos z d. \sin i g - \cos i g d. \frac{\sin z}{1 - e \cos z} - i e d. \sin i g \right\}$$

Hinc per partes integrata, quum $dg = (1 - e \cos z) dz$, statim prodit indefinita

$$i \cos z \sin i g - \cos i g \frac{\sin z}{1 - e \cos z} - i e \sin i g$$

quae expressio, si ad limites designatos restringitur, certe evanescit.

$$0 = \int \left\{ i^3 \sin z \sin i g dg - i \cos z \cos i g dg - \frac{i}{e} \cos i g dg + \frac{i}{e} \frac{\cos i g}{1 - e \cos z} dg - \frac{\sin z \sin i g}{(1 - e \cos z)^2} dz \right\}$$

quae per se integrabilis esse reperitur. Nam

$$i^3 \sin z \sin i g dg - i \cos z \cos i g dz = - i d. \sin z \cos i g$$

$$\frac{i}{e} \frac{\cos i g}{1 - e \cos z} dg - \frac{\sin z \sin i g}{(1 - e \cos z)^2} dz = \frac{1}{e} d. \frac{\sin i g}{1 - e \cos z},$$

igitur aequatio praecedens erit

$$0 = \int d. \left\{ \frac{1}{e} \frac{\sin i g}{1 - e \cos z} - \frac{1}{e} \sin i g - i \sin z \cos i g \right\}$$

quae intra limites designatos integrata, laud minus quam illa prior evanescit. Mutatis mutandis, posteriores duae ipsarum (38) quoque demonstratae sunt. Ex aequationibus vero (38) sequitur, si terminus quicumque illorum, qui in expressione (36) continentur, per

$$\frac{i^2}{a^2} M$$

repraesentatur, esse terminum correspondentem in (37) =

$$\frac{i^3}{a^3} M$$

Hinc colligitur, si ipsius Ω_z vel quotientium ejus differentialium quibus in motu planetae m utimur, evolutiones resp. repraesentantur per

$$\frac{m'}{\mu} C_z \cos (ig + i'g') + \frac{m'}{\mu} C_z' \sin (ig + i'g')$$

et ipsius Ω_z' vel quotientium ejus differentialium quibus in motu planetae m' utimur, evolutiones resp. per

$$\frac{m'}{\mu'} D_z \cos (ig + i'g') + \frac{m'}{\mu'} D_z' \sin (ig + i'g')$$

haberi

$$D_z = \frac{a^3}{a^3} \frac{i^3}{i^3} C_z$$

$$D_z' = \frac{a^3}{a^3} \frac{i^3}{i^3} C_z'$$

Introducitur z , aequatio altera (39) praebet confirmandam aequationem hanc

$$0 = \int \left\{ i^3 \sin z \sin i g dg - \frac{\sin z \sin i g}{(1 - e \cos z)^2} dz \right\}$$

Cui aequationi addatur quantitas haec

$$\int \left\{ \frac{i}{e} \frac{\cos i g}{1 - e \cos z} dg - \frac{i}{e} \cos i g dg - i \cos z \cos i g dz \right\}$$

quam citrae aequari potest, si in termino ultimo pro dz valorem suum per dg expressum substitueris, hac quantitate addita, erit aequatio confirmanda

$$\cos i g dg + \frac{i}{e} \frac{\cos i g}{1 - e \cos z} dg - \frac{\sin z \sin i g}{(1 - e \cos z)^2} dz \left\{ \right.$$

Quae aequationes tamen ad terminos in quibus $i' = 0$ applicari non possunt, quoniam infinitae fiunt, sed, pro quantitatibus Ω_z et Ω_z' illa de qua in fine art. 24 locuti sumus, scilicet

$$r^{1/2} \left\{ \cos^2 \frac{1}{2} f \cos (u - u') + \sin^2 \frac{1}{2} f \cos (u + u') \right\}$$

atque quotientibus ejus differentialibus evolutis, et resp. per

$$B_z \cos (ig + i'g') + B_z' \sin (ig + i'g')$$

repraesentatis, emergunt

$$C_z = \frac{i^2}{a^3} H_z$$

$$C_z' = \frac{i^2}{a^3} B_z'$$

$$D_z = \frac{i^2}{a^3} B_z'$$

$$D_z' = \frac{i^2}{a^3} B_z'$$

quas temper tuto adhibere licet.

Quod artificium tamen de approximatione prima praesertim valet, quum in approximatione secunda atque in posterioribus evolutionem quantitatis Ω_z per integrationes singulas exsequi non liceat.

Denique, quamquam nomine planetae ubique uti sumus, formulas tamen nostras (13) (14) (29) etc. apte evolutas ad satellites etiam, imo ad cometas in ellipsis Solem ambientes transferri licere, per se quidem intelligitur, sed tamen dicere verbis monendum esse, nobis visum est.

Hansen.

Längenbestimmungen aus Mondsternen.

Von Herrn C. A. F. Peters.

Dorpat — Bogenhausen.

1820 März 22	1 ^h 0' 26,3	Gew. 0,00265
1821 Febr. 10	11 24,0	347
11	25,2	396
12	20,5	387
14	22,9	357
März 17	22,4	237
April 14	20,9	231
May 15	23,9	262
1822 März 4	15,5	249
5	25,9	256
1823 May 20	18,4	169
1824 April 8	29,1	261
9	55,0	186
Mittel	1 ^h 0' 23",4	0,03418 I

April 9 ist vom Mittel ausgeschlossen.

Dorpat — Dublin.

1824 März 10	2 12 15,9	
April 14	16,8 II	
May 10	15,9	
Jun. 7	12,2	
Sept. 6	20,4	
Oct. 4	23,1	
1825 Febr. 27	19,1	
März 31	15,9	
Oct. 21	20,3	
Mittel	2 ^h 12' 17",8	Beob. 8. I
	16,8	1. II

Abo — Königsberg.

1826 März 21	0 7 9,3	Gew. 0,00366
22	10,8	378
May 30	7,8	157 II
Jun. 18	4,8	378
28	10,2	213 II
Jul. 26	10,5	234 II
27	9,9	184 II
Aug. 16	10,8	345
17	11,4	257 II
Mittel	0 ^h 7' 9",0	0,01433 I
	10,1	0,01045 II

Von Herrn Professor Argelander Astron. Nachr. Nr. 124 berechnet.

Abo — Berlin.

1826 Jun. 18	35 36,3	Gew. 0,00452
19	27,0	464
—	38,4	464 II
Aug. 15	31,7	374
16	27,9	340
18	36,2	289 II
Mittel	35' 31",4	0,01630 I
	37,6	0,00753 II

Abo — Altona.

1826 März 22	49 13",7	Gew. 0,00463
May 27	21,9	228 II
Jun. 20	13,7	556 II
21	19,7	406 II
Mittel	49' 13",7	0,00463 I
	17,3	0,01190 II

Abo — Paris.

1826 März 18	1 19 46,7	Gew. 0,00310
May 20	53,3	444
21	44,1	562 II
22	53,3	432 II
Jun. 19	42,1	443
—	46,7	443 II
20	53,5	457 II
Aug. 15	53,9	341
16	52,3	344
17	55,9	256 II
Nov. 9	46,9	218
1827 Jan. 5	39,3	177
Mittel	1 ^h 19' 48",5	0,02277 I
	49,9	0,02150 II

von Herrn Professor Argelander Astron. Nachr. Nr. 124 berechnet.

Abo — Greenwich.

1826 May 20	1 29 1,6	Gew. 0,00336
21	8,9	510
22	5,6	406 II
Jun. 18	2,9	452
19	8,6	485
—	12,9	485 II
20	2,5	304 II
Aug. 15	11,4	341
17	4,5	198 II
18	— 3,4	193 II
Nov. 9	1,9	259
14	11,2	203 II
Mittel	1 ^h 29' 5",6	0,01873 I
	7,1	0,02070 II

Abo — Dublin.

1826 Jul. 25	1 54 25,9 II	
26	28,4 II	
Mittel	1 54 27,1 II	

Königsberg — Berlin.

1826 Febr. 15	28 28,8	Gew. 0,00255
17	24,9	164
April 17	15,4	236
20	25,9	284
21	27,9	344
Jun. 18	28,7	357
Aug. 16	17,5	266

32*

1826	Sept. 14	28 15,8	Gew. 0,00151
	Oct. 15	29,9	212
	—	31,7	194 II
	Mittel	28 24,8	0,02269 I
		31,7	0,00194 II

Königsberg — Bogenhausen.

1823	Sept. 19	35 25,7	Gew. 0,00114
	Nov. 13	32,4	198
1824	May 9	29,0	229
	Mittel	35 29,6	0,00541 I

Königsberg — Altona.

bis 1826	—	42 16,4	Gew. 0,05413 I
	—	11,8	1011 II
1826	Febr. 16	24,7	321
	März 22	11,9	343
	April 20	7,7	360
	21	11,9	404
	Jun. 17	13,8	442
	Oct. 14	15,9	242
	15	19,1	241
	Mittel	42 15,8	0,07766 I
		11,8	1011 II

Königsberg — Paris.

bis 1826	—	1 12 38,8	Gew. 0,07646 I
	—	43,4	1690 II
1826	Febr. 15	41,6	254
	16	50,7	245
	März 19	39,2	187
	April 20	36,6	312
	21	39,0	347
	Aug. 16	42,0	268
	17	45,5	241
	—	44,9	241 II
	Sept. 14	32,6	226
	Oct. 15	42,7	208
	Mittel	1 12 39,3	0,09934 I
		43,6	1931 II

Königsberg — Greenwich.

bis 1826	—	1 21 58,5	Beobh. 5. I
1826	April 17	45,0	Gew. 0,00177
	20	42,9	283
	Jun. 17	56,0	329
	18	56,6	357
	Aug. 17	60,1	216
	—	54,8	216 II
	Oct. 15	68,8	189
	—	60,5	189 II
	Mittel	1 21 56,7	Beobh. 11. Rd. I
		57,6	2. Rd. II.

Königsberg — Dublin.

1824	April 14	1 47 24,8 II
	Mai 18	16,5
	Aug. 8	28,0
	Sept. 8	23,2 II

1824	Octbr. 1	1 47 30,3
	4	30,2
	Nov. 5	21,4
	Dec. 2	26,1
1825	Febr. 27	27,5
	März 31	28,3
	Jul. 27	29,5
	29	32,1
	Aug. 22	21,9
	23	33,8
	Oct. 21	29,0
	25	31,9
	Dec. 21	23,3
1826	Jul. 19	15,3 II
	26	18,0 II
	Mittel	1 47 27,3
		20,3
		Beobh. 15. I
		4. II

Königsberg — Port Bowen.

1824	Dec. 6	7 17 52,6	Gew. 0,00302
	29	46,4	134
1825	Jan. 27	20,0	265
	Mittel	7 17 28,9	0,00399 I
		52,6	302 II

Wien — Bogenhausen.

1822	März 4	19 6,1	Gew. 0,00311
	5	5,2	244
	Mittel	19 5,7	0,00555 I

Prag — Bogenhausen.

1823	May 20	11 12,7
	21	29,9
	Aug. 20	28,3
	Mittel	11 23,6
		Beobh. 3. I

Prag — Dublin.

1824	April 10	1 23 11,0 I
------	----------	-------------

Berlin — Altona.

1826	Jan. 20	13 47,8	Gew. 0,00303
	April 20	41,4	330
	21	43,9	404
	Sept. 13	51,1	229
	17	44,1	246 II
	Oct. 15	49,3	241
	Mittel	13 46,1	0,01507 I
		44,1	0,00246 II

Berlin — Paris.

1826	Febr. 15	44 12,6	Gew. 0,00258
	April 18	19,4	276
	30	10,3	289
	21	10,9	347
	Jun. 19	12,0	296
	—	6,8	296 II

1826 Aug. 15	44' 21,4	Gew. 0,00265
16	24,5	265
Sept. 13	13,2	234
14	13,1	151
Oct. 15	12,9	208
Mittel	44' 14",4	0,00289 I
	6,8	0,00296 II

Berlin — Greenwich.

1826 Jan. 17	53' 38,1	Gew. 0,00154
April 17	23,2	177
18	25,7	276
19	26,2	293
20	14,5	262
Jun. 18	27,5	402
19	39,4	348
—	34,5	348 II
Aug. 15	39,1	265
18	28,7	150 II
Sept. 13	25,4	198
17	21,2	140 II
Oct. 15	40,0	189
—	29,9	174 II
16	38,6	221 II
Mittel	53' 29",7	0,002564 I
	32,0	1033 II

Copenhagen — Bogenhausen

1821 März 17	3' 51,5	Gew. 0,00197
April 12	42,6	215
14	34,7	188
19	50,1	299
1822 März 4	48,9	244
Mittel	3' 46",1	0,01143 I

Leipzig — Bogenhausen.

1823 May 20	3' 3,8	Gew. 0,00164
Oct. 14	6,8	150
Mittel	3' 5",2	0,00314 I

Bogenhausen — Seeberg.

1822 März 4	3' 32,1	Gew. 0,00313
5	32,3	330
Mittel	3' 32",2	0,00643 I

Bogenhausen — Altona.

1823 Dec. 16	6' 39,8	Gew. 0,00377
1824 April 8	42,0	299
May 9	45,2	229
Mittel	6' 41",9	0,00905 I

Bogenhausen — Göttingen.

1822 März 4	6' 43,8	Gew. 0,00382 I
-------------	---------	----------------

Bogenhausen — Paris.

1821 Febr. 8	37' 6,0	Gew. 0,00283
9	9,0	214
11	7,0	310

1821 März 16	37' 5,6	Gew. 0,00187
17	— 5,4	197
April 12	4,9	216
May 15	15,4	174
Nov. 7	3,9	232
Dec. 6	3,5	412
1822 März 4	4,2	318
1823 Aug. 20	10,0	203
Sept. 13	3,0	260
19	2,2	133
Oct. 14	10,6	200
Nov. 11	— 2,2	191
13	1,5	199
1824 Mai 9	— 0,7	229
Mittel	37' 4,9	0,03958 I

Bogenhausen — Greenwich.

1823 Nov. 13	46' 19,7	
1824 May 10	25,6	
Mittel	46' 22",6	Beobh. 2. I

Bogenhausen — Dublin.

1824 May 10	1' 11' 48,1 I
-------------	---------------

Seeberg — Dublin.

1825 Oct. 21	1' 8' 19,3 I
--------------	--------------

Altona — Paris.

bis 1826	30' 22,7	Gew. 0,06347 I
	23,5	1173 II
1826 Febr. 16	27,5	283
April 20	28,2	370
21	27,2	409
Mai 18	34,3	373
Jun. 20	39,9	411 II
Sept. 13	28,6	284
16	30,8	245 II
Oct. 8	23,6	286
15	24,1	235
Mittel	30' 24",0	0,08789 I
	28,2	0,01831 II

Altona — Greenwich.

bis 1826	39' 45,6	Beobh. 6. I
	46,7	— 2. II
1826 April 20	39' 32,9	Gew. 0,00327
May 18	44,7	249
Jun. 17	41,6	370
20	51,5	275 II
Sept. 13	35,8	226
15	48,9	
16	44,5	218 II
17	38,4	164 II
Oct. 10	40,3	190
15	50,2	211
Mittel	39' 43",7	Beobh. 13. I
	45,6	— 5. II

Altona — Bushey Heath.				
1825	Febr.	1	41 21,7	
	May	28	2,1	
		29	6,9	
	Jul.	27	— 1,8	
		30	— 1,9 II	
	Aug.	23	4,1	
		24	— 13,8	
		25	— 2,4	
		30	— 4,5 II	
	Mittel	41' 1",1	Beobb. 7. I	
		40 56,8	— 2. II	
Altona — Dublin.				
		1 5	3,5	Beobb. 2
1824	April	13	8,9 II	
		14	10,9 II	
	Jun	7	2,7	
		8	10,8	
	Dec.	2	5,3	
1825	Jan.	28	9,7	
	Febr.	1	17,9	
		27	8,4	
	März	2	5,7	
		31	9,6	
	Jul.	25	7,7	
		27	13,2	
		28	10,5	
	Aug.	23	14,2	
		29	10,5 II	
	Nov.	17	10,9	
	Mittel	1b 5' 8",9	Beobb. 15. I	
		10,1	— 3. II	
Altona — Port Down.				
1824	Dec.	5	6 35 18,5	Gew. 0,00291
		29	22,0	184
1825	Jan.	1	— 10,3	224 157 Tauri
		—	11,1	277 33 Tauri
		4	34,7	242 II
	Febr.	1	22,3	455
		31	29,2	341
	Mittel	6b 35' 21",1	0,01548 I	
		34,7	0,00242 II	
St. Gallen — Dublin.				
1824	Nov.	28	1 2 54,9	
	Dec.	3	38,6	22 3 Arieti
		—	70,1	34 μ —
		28	48,4	
1825	April	1	54,8	
	Mittel	1b 2' 52",4	Beobb. 3. I	
Dechr. 3 ist ausgeschlossen.				
Paris — Greenwich.				
bis 1826		9	19,9	Beobb. 10. I
			24,7	Gew. 0,00309
1826	Jan.	17	28,4	155
	April	18	6,4	275
		20	2,5	284

1826 May			
18	9	8,5	Gew. 0,00213
		20	10,4 262
		21	27,5 401 II
		22	15,6 267 II
Jun.	19	26,5	345
	—	26,8	345 II
		20	6,1 236 II
Jul.	17	16,8	321
Aug.	15	17,8	264
	17	14,4	162
	—	7,7	162 II
Sept.	12	13,0	267
	13	6,7	216
	16	12,8	187 II
Oct.	15	29,6	189
Nov.	8	10,8	214
	9	14,1	137
	15	20,1	163 II
Mittel	9' 16",9	Beobb. 24. Rd. I	
	19,5	Gew. 0,02070 Rd. II	
Paris — Bushey Heath.			
1825	Jan.	29	10 35,5
	April	1	35,5
		29	33,1
	May	28	35,2
		29	53,8
		31	37,3
Jul.	27	33,6	
		28	46,7
		29	37,5
		31	22,9 II
Aug.	22	33,9	
		23	38,8
		24	24,4
		25	22,5
		30	33,9 II
Sept.	27	54,8 II	
		28	24,9 II
Nov.	25	50,2 II	
Mittel	10' 36",1	Beobb. 13. I	
	37,3	— 5. II	
Paris — Dublin.			
1824	April	12	34 47,6
		13	56,7 II
	Jun.	7	39,2
		8	53,0
	Sept.	8	46,1 II
	Oct.	4	39,3
1825	Jan.	2	50,9
		28	46,3
	März	31	48,6
	April	1	47,9
		29	42,4
	Jul.	27	43,3
		28	50,5
		29	45,5
Aug.	22	44,8	
		23	50,4

1825	Sept.	25	34' 59,8	
		28	34,6 II	
	Mittel		34' 47",3	Beobh. 15. I
			45,8	— 3. II

Paris — Port Bowen.

1824	Dec.	5	6 4' 58,8	Gew. 0,00302
1825	Jan.	2	5' 7,5	236
	März	31	5' 7,4	265
	April	1	5' 11,2	271
	Mittel		6h 5' 6",0	0,01074

Greenwich — Dublin.

1824	Mey	10	25' 22,6 I	
	Greenwich			Port Bowen.

1824	Dec.	5	6 55' 32,2	
		29	49,9	

1825	Jan.	2	5 55' 30,7	
	Febr.	1	46,5	
	Mittel		5h 55' 37",6	Beobh. 4

Bushey-Heath — Port Bowen.

1825	Febr.	1	5 54' 47,4	
	März	4	55 34,5 II	
	April	1	54 32,3	
	Mittel		5h 54' 39",8	I Beobh. 2
			55 34,5	II — 1

Dublin — Port Bowen.

1825	Jan.	2	5 30' 13,9	
	Febr.	1	16,7	
	März	4	28,0 II	
	April	1	22,5	
	Mittel		5h 30' 17",7 I	Beobh. 3
			28,0 II	— 1

C. A. F. Peters.

Schreiben des Herrn Professors *Argelauder*, Directors der Äboer Sternwarte, an den Herausgeber.

Äbo 1829, August 25.

Hier haben wir seit einem Monate gar schlechtes Wetter gehabt. Die Bedeckung des Aldebaran am 25^{ten} Juli war fast die letzte Beobachtung, die mir gelungen ist; ich sende Ihnen dieselbe nebst meinen übrigen Sternbedeckungen ein andermal, und bemerke heute nur, daß sowohl Ein- als Austritt augenblicklich geschah und keine Erscheinungen statt fanden, die auf eine Mondatmosphäre hätten schließen lassen. Ich habe dieses schlechte Wetter benutzt, um eine schon vor einiger Zeit angefangene Untersuchung über den Cometen von 1718 zu beendigen. *Pagré* beschuldigt *Kirch* mit Unrecht, nur auf eine bestimmte Stunde reducirte Beobachtungen gegeben zu haben; in den *Miscellaneis Berolesinibus* stehen die Beobachtungen sogar im Original, und nach sorgfältiger Reduction zeigen sie sich als wenigstens für jene Zeit sehr genau. Die verglichenen Sterne ließen sich alle sehr genau bestimmen, nachdem ich einige noch selbst beobachtet habe, andere der Güte des Herrn Professors *Bessel*s verdanke, der sie mir aus seinen noch ungedruckten Zonen mittheilte. Indess sah ich mich doch gezwungen, bei einigen Beobachtungen eine einigermaßen willkürliche Correction zu erlauben. *Kirch* bediente sich nemlich des von seinem Vater erfundenen Schraubenmicrometers. Nun war es nicht gut voraussetzen, daß er in den letzten Tagen der Erscheinung des Cometen, den er als sehr schwach beschreibt, ganz nahe an der Schraube hätte sehen sollen; ich erlaube mir daher an diesem Tage seit Jan. 28, so wie auch an den Morgenbeobachtungen Jan. 22 und 23, wo der Comet bei starkem Mondschein nur 20" und 13" hoch

stand, an alle beobachtete Distanzen eine gleich große subtractive Correction anzubringen. Hierzu glaube ich mich um so mehr berechtigt, da die Beobachtungen Febr. 2 und 3, bei denen die verglichenen Sterne, den Cometen nach allen Seiten umstanden, diese Correction von selbst ergaben, und auch die beiden vorhergehenden Morgenbeobachtungen nur unter Ausnahme einer solchen Correction miteinander vergleichbar waren. So behandelt ergaben die Beobh. die folgenden Positionen:

Jan. 18.	9 22' 24" M.Z. Berlin	207 ° 3' 56",7	+ 78 ° 34' 40,0
— 21.	8 38 12 —	17 1 32,4	+ 62 5 52,4
— 22.	15 15 49 —	17 44 30,1	+ 54 36 31,6
— 23.	9 54 44 —	17 58 34,4	+ 51 23 10,1
— 18	7 7 —	18 3 46,5	+ 50 12 16,7
— 26.	10 25 42 —	18 32 46,2	+ 43 39 2,8
— 27.	10 25 49 —	18 37 43,3	+ 42 5 21,3
— 28.	8 42 5 —	18 47 4,7	+ 40 53 4,4
— 30.	8 58 55 —	18 51 14,7	+ 38 49 45,6
— 31.	9 45 34 —	19 0 57,6	+ 37 59 4,7
Febr. 1.	8 42 12 —	19 0 55,5	+ 37 20 24,4
— 2.	10 10 55 —	19 12 13,3	+ 36 39 40,2
— 5.	8 37 35 —	19 18 10,7	+ 35 12 10,0

Diese Beobachtungen sind nicht nur mit gehöriger Rücksicht auf Parallaxe und Refraction berechnet, sondern auch schon wegen Aberration und Nutation corrigirt und reducirt auf das mittlere Aequinoctium 1718 Jan. 0. Die bei Berechnung der Beobachtungen gebrauchte stündliche Bewegung, die

Besonders Jan. 18 bedeutenden Einfluß auf die Position hat, wurde aus einer vorläufigen Bahn berechnet, die fast genau mit der von *Dowres* überein kommt, und die Beob. hinlänglich genau darstellt. Die neue Bahn aber, mit der ich mich an die besondern Beobachtungen so genau als möglich anzuschließen suchte, hat die folgenden Elemente;

Durchgang durchs Perihel 1718 Jan. 14,94295 M.Z. Berlin.
Abstand des Perihels vom \odot $6^{\circ}15'34''4$
Aufsteigender Knoten $127^{\circ}55'29,0$
Neigung $148^{\circ}51'53,7$
Logarithmus der Periheldistanz $0,010908$

Diese Elemente haben für die einzelnen Beobachtungen die im nachstehenden Tableau enthaltenen Fehler, dem ich die Anzahl der verglichenen Sterne und die Anzahl der einzelnen Distanzmessungen beifüge:

Jan. 18.	—	0	4,1	—	0	4,8	2 Sterne	9 Distanzen
— 21.	—	0	12,6	+ 0	1,7		2	6
— 22.	+ 1	31,3	+ 2	56,9			2	7
— 23.	+ 2	42,1	+ 1	58,1			3	5
— 24.	—	+ 2	47,0	+ 0	29,9		3	3
— 26.	—	0	39,0	+ 2	0,0		2	2
— 27	+ 2	17,2	+ 0	9,8			5	5
— 28.	—	1	46,2	—	1	9,7	2	2
— 30.	+ 3	49,3	—	2	3,8		2	2
— 31.	—	1	27,7	—	1	28,5	2	2
Febr. 1.	+ 2	27,7	—	3	3,4		2	2
— 2.	—	4	42,5	—	1	22,6	4	5
— 3.	+ 0	8,3	+ 1	11,7			4	5

Hier sind die positiven Fehler in der Mitte der Erscheinung in AR. noch vorherrschend, es war aber nicht möglich diese zu vermindern, ohne sich zu weit von der Beobachtung Febr. 2 zu entfernen. Wollte man die Elemente in derselben Ordnung wie früher anschauen zu

Jan. 15,01442

$6^{\circ}20'58''8$

127 55 3,2

148 50 40,3

0,010936

so würden diese geringen Aenderungen hinreichen, die Fehler in AR. am 23^{ten} und 27^{ten} verschwinden zu machen, auch die Beobachtungen Jan. 18 und Febr. 5 würde man genau genug darstellen, nemlich respective bis auf $\pm 60''6$ und $\pm 38''5$; — 139 $''6$ und — 10 $''8$ aber am 21^{ten} Jan. werden dann die Fehler — 2 $''52''4$ und — 0 $''7''8$ und am 2^{ten} Febr. — 7 $''0''0$ und — 1 $''31''1$. Daher halte ich die erste Bahn für zuverlässiger; der geringe Unterschied zwischen beiden zeigt aber schon, daß die Bahn zu den hiesher bestimmten gehört. Sollte der Comet zukünftig wieder erscheinen, so wird sich seine Bahn noch genauer bestimmen lassen, wenn man Bedingungenleichen für die einzelnen Distanzen entwickelte; ich hielt es aber nicht der Mühe werth dies jetzt schon zu thun.

Fr. Argelander.

Druckfehler.

p. 418 l. 11 a.s. loco: casus systematice lege: casus in systemate
— 117 — multiplicatae multiplicatae.
— 419 — 10 ab ima efficit
— 422 — 9 a.s. seminae
— 10 ab ima logarithmum logarithmum
— 423 in aeq. (t) 2^{da} mem. 2^{da} term. loco: d' lege: d'o
— in 3^{da} aeq. (t) loco: $\frac{V(1-e^2)}{e}$ lege: $\frac{V(1-e^2)}{e}$

p. 428 l. 8 a.s. loco: aequationis lege: aequationibus
— 429 — 7 ab ima aucta logarithmum
— — 6 ab ima inter „perturbati“ et „mutandi“ delectatur commatis signum.
— 430 — 3 a.s. loco: inter „modi“ et „invalidi“ delectatur commatis signum

Anzeige.

Da mit dieser Beilage zu Nr. 168 der 7^{te} Band dieser Astronomischen Nachrichten geschlossen wird, so ersuche ich alle Herren Subscribenten, falls Sie diese Nachrichten fortsetzen wünschen, ihre Bestellungen baldmöglichst zu machen, indem ohne ausdrückliche Bestellung und Vorauszahlung keine Nummer eines neuen Bandes versandt wird.

Man pränumeriert mit 8 mk Courant, oder einem holländischen Ducaten, wenn man die Nachrichten hier in Altona nimmt. Erhält man sie von einem Postamt, oder einer Buchhandlung, so wird man nach der Entfernung und andern Umständen einen verhältnismäßig höheren Preis zahlen müssen.

Da sehr wenig Exemplare mehr gedruckt werden, als bestellt sind, so kann kein Band, der schon geschlossen ist, unter 12 mk Courant, oder $\frac{1}{2}$ holländischen Ducaten verkauft werden. Die einzige Ausnahme ist, wenn ein neuer Subscribent alles was schon erschienen ist, zu haben wünscht, in welchem Falle er es auch, so weit die wenigen noch vorhandenen Exemplare reichen, für 8 mk den Band erhält.

Titel, Register, Inhaltsverzeichnis und Umschlag werden nachgeliefert.

Schumacher.
(Altona, Palmstraße 441.)

Altona im October 1829. (Hiebei Gutz's Portrait.)

R e g i s t e r.

A.

Abel, über die elliptischen Funktionen 33.
 Abdeeen, Länge 343, 434.
 Aberration der Fixsterne, Tafeln derselben 73. — tägliche, wie dieselbe bei Zeit und Breitenbestimmungen zu berücksichtigen 60.
 Ablenkung des Lothes 400.
 Äbo, Länge 343. Länge aus Mondsternen 485, 453.
 Abplattung der Erde 332, 341, 451.
 Abwägungen, Tafeln zur Reduktion derselben 373.
 Achromatische Objective 313.
 Aguilon 206.
 Aldebaran, dessen 5 Bedeckungen vom Monde im Jahr 1829 für 9 Sternwarten berechnet 111.
 Altona, Breite 332; Längenunterschied mit Cracau 363. Länge aus Mondsternen 486.
 Amplituden 397.
 Amsterdam, Länge 455.
 Anger, Ephemeride für die im Jahr 1829 vorkommenden Bedeckungen der Fixsterne vom Monde 43, 89.
 Anhatomirim, Länge 334.
 Aneigen, litterarische 197, 200, 365, 383.
 Apenrade, Barometerbeobachtungen 69.
 Apostoli, Beobachtungen von Sternbedeckungen 59.
 Arbuthurhill, Breite 332.
 Argelander, Beobh. des *Bachsches* Cometen 187. Ephemeride der Mondsterne des 2ten Randes für 1829. 209. Reduktion der Beobachtungen des Cometen von 1719 von Kirch 493. Elemente dieses Cometen nebst Vergleichung mit Beobachtungen 495.
 Armagh, Länge 343, 454.
 Arnold, Gang eines Chronometers von ihm 328.
 Astronomische Nachrichten, Preis einzelner Nummern, Beilage zu S. 48. Preis des ersten Bandes derselben, ebenda selbst. Berichtigungen 57, 62, 101, 102, 135, 192, 263, 295, 306, 345, 367, 384.
 Aufgabe, pothenische, Auflösung 235.
 Ausdehnung des Messing durch Wärme 375.
 Auszüge aus Journaux 64, 114, 342.
 Atimutthalbeobachtungen 395.

B.

Barcellona, Breite 331.
 Barometerbeobachtungen, in Apenrade 69, Danzig 331, 337, Königsberg 337, Krakau 199, Seberg 65. Mittlerer Barometerstand im Niveau der Orto 340.
 Basis, s. Grundlinie.
 Bedeckungen einiger Fixsterne durch Cometen 189. — vom Monde s. Sternbedeckungen.
 Benares, Breite 285, Länge 284, 325. Längenunterschied mit Cawnpore 116. Beobachtung einer Sonnen- und einer Mondfinsternis 115.
 Beobachtungen, s. Comet, Mond, Sonne etc.

77 Ed.

Berichtigungen, Astron. Nachrichten 57, 62, 101, 102, 135, 192, 263, 295, 306, 348, 367, 384; *Bessels* Sonnenafeln 102; dessen Zonen 108; *Burkhardt* tab. de la Lune 263. Hist. cel. 108, 145, 146, 263; *Hultstafels* 62, 101; *Mathiasen's* Tafeln 62, 104; *Taylor's* Tafeln 103; *Theoria m. c. c.* 104, 263; *Pega's* Thesaurus 62.
 Berlin, Länge 151, 216, 346, 456; Länge aus Mondsternen 485.
 Bernoulli 334.
 Bessel, über die Vorausberechnung der Sternbedeckungen 1. Beiträge zur Theorie der Finsternisse und den Berechnungsmethoden derselben 121, 137. Berichtigung dessen Zonen 108. Bemerkungen über die Königsberger Zonenbeobh. 369. Beobh. von Mondsternen 83. Tafel zur Reduktion der Abwägungen 373. Druckfehler in dessen Sonnenafeln 102. Berichtigung 101. Formeln und Tafeln dessen Refraktion 401.
 Bibliothek des Herrn Thüne veräußert 333.
 Bibliothèque universelle, über eine Behauptung derselben hinsichtlich der Verfertigung des Stolligen Objectivglases des Fernrohrs der Dorpater Sternwarte 377.
 Bittner, Beobh. der Vesta 13, von Sternbedeckungen 13.
 Blenheim, Breite 332.
 Bogenhausen, Länge aus Mondsternen 485.
 Bohnenberger 121, 364.
 Bombay, Länge 116.
 Bontemps 377.
 Brechung und Zerstreuung des Lichts in gegebenen Glasarten, deren Bestimmung 263.
 Breguet, Gang einer Pendeluhr von ihm, Beilage zu S. 328.
 Breite, von Altona 332, Arbuthurhill 332, Barcellona 331, Benares 285, Blenheim 332, Buenos Ayres 349, 350, 352, Carcasonne 331, Chesfield Lodge, Beilage zu S. 48, Clifton 332, Colthespi 331, Dodagoodah 331, Dorpat 399, Dürkichen 332, Dundee 215, Dunstoe 332, Evans 332, Formetters 331, Göttingen 16, 332, Greenwich 332, Hamburg 379, Havana 28, 198, Irkutsk 355; Karsaul 32, Mallon 332, Marasangel 262, Mitau 339, 414. Montevideo 27, Montjoy 331, Nemobad 331, Nicolaiew 261, Nürnberg 213, Okecastell 112, Pathana 332, Paris (Pantheon) 332, Poudree 331, Perpignan 331, Prag 189, 192, Punnac 331, Putschoplium 331, Taganrog 262, Tarqui 331, Trivandeporum 331, Fort William 31, Leuchthurm von Yenikale 262.
 Brennweite der dioptrischen Gläser, deren Berechnung 277.
 Brinkleische Refraktion 403.
 Buenos Ayres, Breite 349, 350, 352; Länge 25, 349.
 Burkhardt, Tab. de la Lune, Berichtigung 263.
 Burhey Heath, Länge 342, 343, 454. Länge aus Mondsternen 491.

C.

Cabe, tgl. Gang eines Chronometers von Cabe u. Strachan 449. Preis deren Chronometer 451.

- Caeziatore, über dessen im südlichen Telescop entdeckten Nebelfleck 64.
 Cadix, Länge 349.
 Calcutta, Länge 31.
 Carcassonne, Breite 331.
 Carlini 119, 122, dessen Refraktion 405.
 Catalog der Instrumente, welche in *Pistor* und *Schieß* Werkstatt verfertigt werden 93; der Instrumente von *Robinson* 211; von *Utzschneider* 307.
 Catalogus stellarum cum Luna in A.R. comparandum s. Moudsterne.
 Cawnpore, Längenunterschied mit Benares 116. Beobachtung einer Sonnen- und einer Mondfinsternis 115.
 Ceres, Beob. derselben in Göttingen 16, 329. Elemente und Ephemeride für die Opposition 1830. 413.
 Chappe, Lage dessen Beobachtungsort in Tobolsk 355.
 Chesfield Lodge, geographische Lage, Beil. zu S. 48.
 Chronometer von *Kewels*, Gang 117, 329; von *Arnold* 329; von *Cole* und *Strachan* 449. Preise der Chronometer von *Cole* und *Strachan* 451.
 Clausens, über dessen Berechnungsmethode der Finsternisse 122. Berichtigungen 101, 103.
 Clifton, Breite 332.
 Clüver, Elemente des 2ten Cometen von 1827. 62.
 Coburg, Länge 150, 345.
 Comet von 1718. Red. der *Kirchischen* Beob. desselben 493. Elemente dieses Cometen und Vergl. der Elemente mit Beobachtungen 493.
 — Notizen über den am 6ten Febr. 1806 entdeckten Cometen 113.
 — von 1827, der 1ste, Beob. in Nîmes 56. Ueber die Beob. desselben von *Pons* 56.
 — von 1827 der 2te, Beob. in Florenz 291, Mannheim 148. Elemente 62, Constanten 63, Vergl. der Rechnung mit Beob. 63.
 — der *Enckesche*, Nachrichten über dessen Wiedererscheinung im Jahr 1828. 49. Beob. in Åbo 187; Altona 50; Berlin 85, 115, 182; Bremen 50, 61, 105; Dorpat 153, 169; Göttingen 49; Krakau 219; Kremmünster 249; Mannheim 143; Marseille 49, 51; Nîmes 55, 207; Padua 319; Prag 263; Seeberg 281. Elemente von *Encke* 183. Vergl. der Beob. mit Elementen von *Damoiseau* 188, *Euele* 116, 147, 182. Ueber dessen physische Beschaffenheit 180, 203.
 — Methode derselben zu beobachten 201. Ueber den Punkt der Figur derselben dessen Ort zu bestimmen ist 176.
 Compes t. Magnetnadel.
 La Conception, Länge 25.
 Coordinates, Tafeln für die der sechs ältern Planeten, von *Mar Weiss*, angetrigt 365.
 Cotesqui, Breite 332.
 Cracau, Barometerbeobachtungen 199. Notizen über die dortige Sternwarte 199, Längenunterschied mit Altona 365. Beob. von Sternbedeckungen 199, von Mondsternen 263. Länge 454.
 Cornia, Bestimmung der Länge von Bombay 116.

D.

- Dahl, Beob. von Sternbedeckungen 57.
 Danzig, Thermometer- und Barometerstand daselbst 331, 337.
 Formel für die Temperatur 332, für den Barometerstand 336. Höhe des Rathhauses über der Otsen 339. Höhenunterschied zwischen Danzig und Königsberg 346.
 David, über die Prager Sternwarte 15. Beob. der *Enckischen* Cometen 263. Beob. von Sternbedeckungen 63, 463; der Opposition des Mars 1828. 64. Beob. von Mondsternen 439.
 Davy, über die Natur des Schlags des Torpedos 119.
 Deklination s. Sterne, Sonne etc.
 Diamantlinsen von *Pritchard* 103.
 Dodagoontah, Breite 331.
 Doppelsterne der südlichen Halbkugel, über deren Verzeichniß von *Dunlop* 113.
 Dorpat, Breite 399, Länge 283. Höhe der dortigen Sternwarte über der Ostsee 396. Länge aus Mondsternen 469.
 Dreieck, fehlerseitiges 235, 237. Vorzug der kleinen Dreiecke vor größeren bei Vermessungen 391. Tafeln um aus zwei Seiten nebst dem eingeschlossenen Winkel einen ebenen Dreiecks die übrigen Winkel zu finden, Beilage zu S. 384.
 Druckfehler s. Berichtigungen.
 Dublin, Länge 343, 494. Länge aus Mondsternen 485.
 Dünkirchen, Breite 332.
 Due, Beob. von Sternbedeckungen 355.
 Due, geographische Lage 215.
 Dunlop, über dessen Verzeichniß von Doppelsternen 113, von Nebelflecken 64.
 Durnesse, Breite 332.
 Durchmesser der Sonne 15.

E.

- Excentricität, über deren Ausgleichung bei eingetheilten Kreisen 241 s. Thendmit.
 Elastische Linse 183, 333.
 Elemente s. Comet, Ceres etc.
 Ellipticität der Erde 332, 341, 451.
 Encke erhält von Sr. Majestät dem Könige von Dänemark das Ritterkreuz des Dannebrogordens 329; erhält eine goldene Medaille von der Royal Society in London 119. Beob. des *Enckischen* Cometen 85, 115, 182. Elemente dieses Cometen 183. Ueber dessen Berechnungsart der Sternbedeckungen 11.
 Ephemeride s. Mondsterne, Sternbedeckungen etc.
 Epping, Länge 343, 454.
 Erde, Bestimmung ihrer Form und Größe 329, 400, 451.
 Ermann 357.
 Euler 353.
 Evans, Breite 332.
 Evers, Beob. einer Sonnen- und einer Mondfinsternis 115.
 F.
 Fadenmetze, vom Gebrauch derselben 287.
 Fäden, über das Gleichgewicht elastischer 185, 333.

Faraday, verfertigt Glas mit boraxsaurem Blei 120.
 Fernröhre, deren Vergrößerung zu bestimmen 204. — von
Fraunhofer und Utzschneider 307, 377, 383.
 Filarmikrometer u. Mikrometer.
 Finsternisse, über die Berechnung derselben I, 121. 137.
 Fixsterne, Tafeln der Aberration derselben 73, deren täg-
 liche Aberration 60.
 Flintglas, über die Erfindung des Münchener 377.
 Formel für die Temperatur in Danzig 332, für den Baro-
 meterstand daselbst 336. Vergleichung dieser Formeln mit
 denen für andre Oerter 334, 337.
 Formentera, Breite 331.
 Fraunhofer, Fernrohr desselben für die Berliner Stern-
 warte 120. Ueber dessen Entdeckung des Glases zu Fern-
 röhren 377. Ueber die *Fraunhofer's*, die nach dessen Tode
 im optischen Institut in München verfertigt werden 383.
 Verzeichniß der optischen Instrumente von *Utzschneider*
 und *Fraunhofer* 307.
 Funktionen, über die elliptischen 33.
 G.
 St. Gallen, Länge 456. Länge aus Mandsternen 491.
 Gambart, Beob. des *Endeschen* Cometen 49, 54.
 Gang, täglicher, einer Pendelnhr von *Breguet*, Beilage zu
 Nr. 329; eines Chronometers von *Kessels* 117, eines Chro-
 nometers von *Cube und Strachan* 449.
 Gauss 389, 394. Beob. der Sonne 15; der *Ceres* 16, 329.
 Wie sich mittelst dessen Tafeln der *Bessel'schen* Refrak-
 tion, durch Anbringung gehöriger Korrektionen, auch die
 von andern Astronomen angegebenen Refraktionen be-
 rechnen lassen 401.
 Geestner 121.
 Glas von *Faraday* mit boraxsaurem Blei gemacht 120. Ueber
 die Bestimmung des Brechung und Zerstreuung des Lichts
 in einzelnen Gläsern 265. Ueber die Berechnung der
 Brennweite des verschiedenen dioptrischen Gläser 277.
 Ueber die Erfindung des Münchener Flintglases 377.
 Gleichgewicht, über das elastische Fäden 333.
 Gradabzuehung 329.
 Göttingen, Breite 16, 332, Beob. von Sternbedeckungen 51.
 Jupitertrabantenerfisterungen 52.
 Gould, Taschenuhren 103.
 Gradmessung, Resultate der in den Outseeprovinzen Ruß-
 lands 385; deren Fortsetzung nach Norden 396.
 Greenwich, Breite 332, Länge 350, 454. Länge aus Mond-
 stern 486.
 Greig, Beob. von Sternbedeckungen 59.
 Grösse der Erde 329, 400.
 Grundlinie der Gradmessung in den Ostree-Provinzen Ruß-
 lands 387.
 Guinand, Nachricht über dessen Aufenthalt im optischen
 Institut zu München 377.

H.

Hausse, Berichtigungen 101.
 Halbmesser der Sonne 13.

Hallasehka, Beob. von Sternbedeckungen 189, 351; Jupi-
 tertrabantenerfisterungen 192, 351; einer Mondfinst-
 ernis 192. Berichtigungen 192.
 Hamburg, Notizen über die dortige Sternwarte 379; geogra-
 phische Lage 379. Beob. von Sternbedeckungen und
 Mondsternen 384.
 Hansen, Beob. des *Endeschen* Cometen 281. Barometer-
 beob. 65. Berichtigungen 102, 103. Disquisitiones circa
 theoriæ perturbatiōnis quæ motum corpus celestium
 afficiunt 417, 433, 465, 481.
 Hansen, Auszug aus einem Schreiben 377. Einige von
 verschiedenen Beobachtern im nördlichen Europa ange-
 stellte magnetische Beobachtungen über Neigung und In-
 tensität 17. Beob. von Sternbedeckungen 355, 357. Länge
 von Irkutsk 355. Lage des Magnetpols in Sibirien 358.
 Harding, Beob. des *Endeschen* Cometen 49, von Stern-
 bedeckungen 51, Jupitertrabantenerfisterung 52. Ueber
 dessen Karte für XV^{te} u. XVI^{te} für die Königl. Akademie zu
 Berlin 52. Ueber Lichtwechsel der Sterne 52.
 Hartmann, über die Korrekturen der mit dem doppelte re-
 pectierenden Theodoliten gemessenen Winkel wegen der Eccen-
 tricität des Zien oder angenanneten Versicherungser-
 fichters 227. Ueber die Korrekturen der gemessenen Hori-
 zontalwinkel wegen eccentricirter Aufstellung des Instru-
 ments 233. Ueber die Benutzung des fehlerzeitgeuden
 Dreiecks zur Bestimmung der Korrekturen des angeführten
 4ten Punkts 235. Ueber die Benutzung von zwei gleichen
 entgegengesetzt liegenden fehlerzeitgeuden Dreiecken zur
 Bestimmung der unbekannten Beobachtungstelle 237.
 Ueber die Bestimmung der Coordinaten von zwei unbe-
 kannten Punkten, wenn man von jedem dieser Punkte
 dieselben beiden bekannten Punkte und auch die unbe-
 kannten Punkte nicht 239. Ueber die Ausgleichung des
 Einflusses der Eccentricität bei eingetheilten Kreisen,
 durch das Ablesen an verschiedenen Nonien 241. Ueber
 die Ausgleichung des Fehlers in den gemessenen Hori-
 zontalwinkeln, welche nur durch das Ablesen an dem nicht
 genau horizontal liegenden eingetheilten Kreis entsteht 247.
 Ueber die genaue Bestimmung der Brechung und Zer-
 streuung des Lichts in gegebenen Gläsern 265. Ueber
 die Berechnung der Brennweite der verschiedenen dioptri-
 schen Gläser 277.
 Havanna, Breite 28, 198; Länge 28, 191.
 Heiligenstein, Elemente und Ephemeride der *Ceres* 413.
 Berichtigungen 101.
 Heliometer, über einen Stüßgen aus dem optischen In-
 stitut zu München 120.
 Henderson, Berechnung der Bedeckungen des Aldebaran vom
 Monde im Jahr 1829 für 9 Sternwarten 111.
 Herschel, Messung der Abstände des Saturnrings an beiden
 Seiten von der Saturnkugel 113.
 Hertha, Auszug 349.
 Himmelskarten, über die Projektion derselben 203.
 Hist. cel., Berichtigungen 108, 145, 146, 203.

Höhe des Danziger Rathhauses über der Ostsee 339; der Dorpater Sternwarte über der Ostsee 390. Höhenunterschied zwischen Dantzig und Königsberg 340.

Höhenwinkel, *Struve's* Verfahren bei Messung solcher Winkel 363, 394. Unsicherheit der Repetition 364. Vorrichtung bei Sextanten zur Erleichterung der Höhenmessungen 262.

Horizontalwinkel, *Struve's* Verfahren beim Messen derselben 389, s. Theodolit.

Hilfstafern, Berichtigung 62, 101.

— zur Voraberechnung der Sternbedeckungen 13.

Honey, Gang eines Chronometers von *Cale* u. *Strachan* 449.

Hyparchus 206.

I.

Innes, Längenbestimmungen aus Sternbedeckungen 343.

Instrumente aus der Werkstatt von *Pistor* und *Schiedt* deren Preise 93; von *Utschneider* und *Fraunhofer* 307; von *Robinson* 231.

Intensität der Magnetsadel 17, 358.

Journale, Auszüge 64, 114, 115, 349.

Irdische Refraktion 301, 394.

Irksut, Breite 335. Beob. von Sternbedeckungen 355, 357.

Irritation und Infection bei Sonnenfinsternissen 431.

Jupiterstrabantenverfinsterungen, Beob. in Göttingen 52, Prag 192, 351. Dadurch bestimmte Längen 27.

K.

Karten, Himmels-, über die Projection derselben 203. von XV^{ten} und XVI^{ten} von *Harding*, in Auftrag der Akademie der Wissenschaften in Berlin 52.

Kepler 123.

Kessels, über dessen Chronometer 117, 328.

Kirch, Reduktion dessen Beob. des Cometen von 1718. 477.

Klaedfeld, meteorologische Beob. 331.

Knoor, Beob. von Sternbedeckungen 37, 261. Ueber gültige Aberration 60. Vorrichtung bei Sextanten zur Erleichterung der Höhenmessungen 262. Bestimmung der Breite von *Nicolajew* 261. Berichtigungen 57, 62, 263.

Koburg, Länge 150, 345.

Königsberg, meteorologische Beob. 337. Höhenunterschied zwischen Königsberg u. Dantzig 340. Länge 343, 454, 456. Beob. von Mondsternen 85. Länge aus Mondsternen 485.

Kraean, Barometerbeob. 199. Notizen über die dortige Sternwarte 199. Längenunterschied mit Altona 365. Beob. von Sternbedeckungen 199, von Mondsternen 365. Länge 454.

Kreis, Multiplikations-, s. Theodolit.

Kremsmünster, Beob. von Sternbedeckungen 239.

Kurnaul, Breite 32, Länge 32.

L.

La Conception, Länge 25.

Länge von Aberdeen 343, 454; Åbo 343, 453; Amsterdam 455; Aohatomini 351; Armagh 343, 454; Benares 284, 325; Berlin 151, 246, 346, 456; Bombay 116; Buenos Ayres 25, 349; Bushey Heath 342, 343, 454; Cadix 349; Calcutta 31; Cheshfield Lodge, Beil. zu S. 48; Coburg 150, 345; La Conception 25; Craean 453; Dorpat 283; Dublin

343, 454; Dundee 215; Epping 343, 454; St. Gallen 456; Greenwich 343, 350, 454; Hamburg 379; Havanna 28, 191; Königsberg 343, 454, 456; Kurnaul 32; Leon 350; Lillenthal 283, 456; London 359; Mailand 454; Marienopol 262; Milan 343; Montevideo 27, 351; Moskau 281; Napeel 343, 454; Nicolajew 25, 303; Nürnberg 213; Ober-Castell 112, 147, 284; Padua 343, 454; Paramatta 32; Petersburg 283; Prag 189, 192, 325; Reichenbach 283; Reval 283; Rio Janeiro 26; Seeburg 453; Taganrog 262; Turin 456; Verona 150; Yenikale (Leuchthurm) 262; Zehnen 151.

Längenunterschied zwischen Altona u. Craean 365; Cawnpore und Benares 116; zwischen Altona, Altona, Berlin, Bogenhausen, Bushey Heath, Copenhagen, Craean, Dorpat, Dublin, St. Gallen, Göttingen, Greenwich, Königsberg, Leipzig, Paris, Port Bowen, Prag, Seeburg, Wien 485.

Längenbestimmungen aus Jupiterstrabantenverfinsterungen 27; aus Mercur Durchgang durch die Sonne 27, 31; Mondfinsternissen 285; Mondsternen 116, 485; Sonnenfinsternissen 286, 451; Sternbedeckungen 25, 110, 147, 191, 213, 281, 295, 303, 325, 343, 345, 349, 365, 433.

Lagrange, über dessen Berechnungsmethode der Finsternisse 1, 122. Ueber die Formeln für das Gleichgewicht elastischer Fäden in dessen analytische Mechanik 183, 333.

Libelle s. Niveau.

La Lande 119, 121.

Laplacesche Refraktion 406.

Leon, Länge 350.

Licht, über die Bestimmung der Brechung und Zerstreuung des Lichts in gegebenen Glasarten 263.

Lichtwechsel einiger Sterne 52.

Lichtzonen am Himmel beobachtete, Beilage zu S. 48.

Lillenthal, Länge 283, 456.

Linie, elastische 153, 333.

Linsen, von *Pritchard*, 103.

Litterarische Anzeigen 197, 200, 365, 366, 384.

London, Länge 350.

Lothlinie, Abweichung derselben 400.

Luft, deren sprichliche Schwere 374.

M.

Maclear, Berechnung der Bedeckungen der Aldebaran vom Monde im Jahr 1829 für 9 Sternwarten 111.

Magnetsadel, Beob. dero Neigung und Intensität, 17, 358.

Magnetpol, Lage desselben 338.

Mailand, Länge 454.

Mailern, Breite 332.

Manganari, Beob. von Sternbedeckungen 262.

Marianopol, geographische Lage 262. Beob. von Sternbedeckungen 262.

Mars, Beob. zur Zeit seines Gegenstands 1828. 64.

Masse, über die, der Venus 184.

Matthiessen's Tafeln, Druckfehler in denselben 62, 104.

Mayer, Tob. 213.

Mechanik, analyt., von *Lagrange*, über die darin enthalt. Formeln für das Gleichgewicht elastischer Fäden 183, 333.

Merididifferenz s. Länge.

Merens, Längenbestimmungen aus dessen Durchgang durch die Sonne 27, 31.

Messing, dessen spezifische Schwere 375, Ausdehnung durch Wärme 375.

Metalthermometer von *Wienert*, Beschreibung 217.

Meteor, Beob. eines solchen, Beilage zu S. 48.

Meteorologische Beobachtungen in Apenrade 69; Danzig 331, 337; Königsberg 337; Krakau 199; Seberg 65.

Mikrometer, vom Gebrauch derselben 287. Methode den Einfluß der Strahlenbrechung auf Mikrometermessungen zu eliminiren 201, 289.

Mikroscop von *Pritchard* und *Gould* 103; *Hollsten* 119.

Milan, Länge 343.

Mitau, Breite 359, 414.

Molt, meteorologische Beobh., Beilage zu S. 48.

Mond, Beobh. in Altona 359.

Mondatmosphäre 477.

Mondfinsternisse. Beobh. in Benares und Cawnpore 115, Prag 192; dadurch bestimmte Längen 285.

Mondsterne, Beobh. 1827 in Königsberg 85; 1827, 1828, 1829 in Hamburg 281; 1829 in Cracau 365; 1829 in Prag 459. Ephemeride für 1829, Beilage zu S. 48; für den 2ten Band 1829. 209; dadurch bestimmte Längen 116, 485.

Montevideo, Breite 27; Länge 27, 351.

Moutjouy, Breite 331.

Moskau, Länge 284.

Multiplikationskreis s. Theodolit.

N.

Namthabad, Breite 331.

Neapel, Länge 343, 434.

Nebelfleck, über den von *Cacciatori* im südlichen Telescop entdeckt 64.

Nehus, Beobh. des *Endischen* Cometen 50.

Neigung der Magnetnadel 17.

Nicolai, Beobh. des *Endischen* Cometen 143; des 2ten Cometen von 1827-148. Berichtigungen 145, 146.

Nicolajew, Beobh. 261; Länge 295, 303. Beobh. einer Sonnenfinsternis 261; von Sternbedeckungen 57, 261.

Niveau, Veränderung ihrer Empfindlichkeit 363.

Nürnberg, Breite 243, Länge 213.

Nutation, Tafeln dafür 73.

O.

Ober-Gastell, geograph. Lage 112, 147, 284. Notizen über die dortige Sternwarte 107. Beobh. von Sternbedeck. 110.

Objective, achromatische 313.

Observatorium s. Sternwarte.

Oberr, Beobh. des *Endischen* Cometen 50, 61, 105. Ueber den von *Cacciatori* im süd. Telescop entdeckten Nebelfleck 64. Ueber *Bessels* Zonen 105. Berichtigung 107.

Opposition der Ceres beob. 1827. 16. Elemente und Ephemeride für 1830, 413; Beobh. des Mars 1828, 64; der Vesta 1827, 15, 1829, 341.

Ostsee, mittlerer Barometerstand im Niveau derselben 340. Höhe des Danziger Rathhauses über derselben 339.

P.

Padua, Länge 343, 454.

Pahtawara, Breite 332.

Paramatta, Länge 332.

Paris (Panthéon), Breite 332. Länge aus Mondsternen 486.

Paucker, Zeitdilatanten des Polarstern zur Bestimmung der Polhöhe der Mitaver Sternwarte 359, 414. Ueber Refraktionsstufen 401.

Paudree, Breite 331.

Pendeluhr von *Breguet*, Cap, Beilage zu S. 328. Preise der Pendeluhrn aus dem optischen Institut zu München 312.

Perpignan, Breite 331.

Perturbationen der Himmelskörper, Theorie derselben 417, 433, 465 481.

Peters, Beobh. von Sternbedeckungen und Mondsternen 381. Längenbestimmung aus Mondsternen 485.

Petersburg, Länge 283.

Petersen, Bestimmung mehrerer im Jahr 1828 vom Monde bedeckten und anderer Sterne am Meridiankreise 81, 297.

Philosophical Magazin, Auszug 113, 115.

Philosophical Transactions, Auszug 64.

Pistor und Schieck, Preis deren Instrumente 93.

Plana 119.

Planeten, Berechnung des Vorübergangs der unteren vor der Sonne 121, 137. Coordinates für die 6 Altera angestigt 200, 365. Theorie ihrer Perturbationen 417, 433, 465, 481.

Polissen, über das Gleichgewicht elastischer und unelastischer Fäden 333.

Pol, Magnet, dessen Lage 348.

Polarstern, über dessen Declination 363. Einfluß der täglichen Aberration auf die Beobachtungen derselben 60.

Polhöhe s. Breite.

Pons, Beobh. des 2ten Cometen von 1827. 291. Ueber dessen Beobh. des ersten Cometen von 1827. 55. Notizen über den am 6ten Febr. 1808 entdeckten Cometen 113.

Port Bowen, Länge aus Mondsternen 488.

Ptothetische Aufgabe, Auflösung 235.

Prag, Länge 325. Instrumente auf der dortigen Sternwarte 15.

Geographische Lage von *Hallstatts* Beobachtungsortern 189, 192. Beobh. von Sternbedeckungen 15, 63, 189, 351.

von Jupitersterneverfinsterungen 192, 351; einer Mondfinsternis 192. Länge aus Mondsternen 488.

Preis, der von *La Lande* gegündete, wer ihn 1828 erhalten 119.

Preise einzelner Nummern der Astron. Nachrichten, so wie des ersten Bandes derselben, Beilage zu S. 48. 493. — der Instrumente von *Pistor* und *Schieck* 93, von *Robinson* 231, der optischen Instrumente von *Urschneider* und *Faunhofer* 307; der Chronometer von *Cabe* und *Strachan* 451.

Prinsep, Beobachtung einer Sonnen- und einer Mondfinsternis 115.

Pritchard's Saphirensen, Preise 163.

Projectine der Himmelskarten 203.

Ptolemaeus 206.

Punnae, Breite 331.

Putchapolliam, Breite 331.

- Quecksilber, gelbtes 356. dessen spezifische Schwere 374.
- R.
- Reactionsdifferenzen des Mondes etc. s. Mondstern.
- Refraktion 357. Methode deren Einfluß auf Mikrometermessungen zu eliminiren 201, 299. Formeln und Tafeln derselben 401. — indische 391, 394. Seitenrefraktion 392.
- Reichenbach, Länge 283.
- Repetition, Unsicherheit derselben beim Messen vertikaler Winkel 364.
- Repsold 358, 379, 396.
- Reval, Länge 283.
- Ring des Saturn 113.
- Rio Janeiro, Länge 26.
- Robinson, Preise dessen Instrumente 231.
- Roguli, Beobachtung einer Sonnenfinsternis 261.
- Rußland, Resultate der Gradmessung in den Ostseeprovinzen Rußlands 385; deren Fortsetzung nach Norden 386.
- S.
- Santini, über achromatische Objective 313. Beobh. des Enckischen Cometen 319. Beobh. der Vesta 341.
- Saphirgläser von Pritchard, Preise 103.
- Saturn, Messungen der Abstände des Saturnrings an beiden Seiten von der Saturnkugel und Bemerkungen über dessen Ringe 113.
- Scherer, Notizen über dessen Beobachtungsort 107. Bestimmung der Polhöhe von Ober-Castell 109. Beobh. von Sternbedeckungen 110.
- Schmidt, Bestimmung der Größe der Erde aus den vorzüglichsten Messungen der Breitengrade 329.
- Schubert, dessen Observationsort in Tobolsk 355.
- Schulten, Remarque sur une passage de la mécanique analytique de M. Lagrange 185. Bemerkungen über diesen Aufsatz von Poisson 353.
- Schumacher, Nachrichten über die Wiedererscheinung des Enckischen Cometen im Jahr 1828, 49. Ueber den Ring des Saturn 113. Ueber die Metallthermometer von Wilmshurst 220. Letzte à M. Bréguet, Beilage zu S. 328. Ueber Unsicherheit der Repetition beim Messen vertikaler Winkel 364. Ueber die Fernrohre, die im optischen Institut in München nach Fraunhofer's Tode gefertigt werden 283. Ueber Completirung der Defekte der A. N. und Preis derselben, Beilage zu S. 48. Ueber Weiss's Tafeln der Coordinaten der 6 ältern Planeten 365. Auszüge aus Journalen 113, 115. Vermischte Nachrichten 66, 81, 89, 103, 113, 115, 117, 119, 232, 293, 357, 358, 365, 479. Über Hasey's Bestimmung des täglichen Ganges eines Chronometers von Caba und Strachan 451.
- Schwarzenbrunner, Ueber dessen Beobh. des Enckischen Cometen 231. Beobh. des Enckischen Cometen 249. Beobh. von Sternbedeckungen 259.
- Schwere, spezifische der Luft 374, des Merkurs 375, des Quecksilbers 374, des Wassers 376.
- Selberg, Barometerbeobh. 63. Länge 453.

- Seitenrefraction 392.
- Sextanten, über die Construction derselben 267. Einrichtung derselben zur Eichrichtung der Höhenmessungen 262.
- Sibirien, über die Temperatur daselbst 327, 356. Ueber die Aufnahme, die Professor Hunsten mit seinen Gefährten dort gefunden 357.
- Signale bei der Gradmessung in Rußland 389.
- Sonne, Beobh. derselben 15.
- Sonnenfinsternis, Beobh. in Rendes und Cawnpore 115; Nicolajew 261. Berechnungsmethoden derselben 121, 137; dadurch bestimmte Längen 286, 451. Irridation und Inflection des Lichts bei derselben 451.
- Sonnenhalbmesser 15.
- Sonnentafeln von Bezel, Druckfehler in denselben 102.
- South, Messungen der Abstände des Saturnrings an beiden Seiten von der Saturnkugel 113.
- Spannung elastischer Fäden 185.
- Spiegel, über den sogenannten kleinen Spiegel bei Sextanten 267. Spiegelreise, über die Construction derselben 267.
- Steckowsky, Längenbestimmung aus Sternbedeckungen 365.
- Sterne, Lichtwechsel einiger 52. Bestimmung mehrerer im Jahr 1828 vom Monde bedeckter und anderer 51, 143, 297. Bedeckung einiger Sterne durch Cometen 180. Ueber die Declination des Polarsterns 363.
- Sternbedeckungen, über deren Vorausberechnung 1. Ueber die Berechnung der Beobh. 121, 137. Hilfstafel zur Vorausberechnung derselben 13.
- Beobh. in Göttingen 51; Hamburg 381; Irkutsk 335, 357; Krakau 199; Krenauwinter 299; Marianopol 262; Nicolajew 57, 261; Ober-Castell 110; Prag 13, 63, 159, 351, 463; Taganrog 262; auf dem Leuchthurm von Yrakale 262.
- Beobh. 1822 Jan. 31. 57; Febr. 27. 57; März 1. 57, 58; März 2. 58; Oct. 5. 58; Nov. 3. 58.
- 1823 März 24. 58; März 25. 58; Aug. 18. Jan. 14, 19, 20, Jul. 4. 27, Aug. 3. 17 sämtlich 59, ferner Aug. 27, 110.
- 1823 Febr. 1. 59; Jul. 10. 110; Sept. 17. 110; 19. 110; 23. 110; Oct. 5. 110.
- 1826 Mai 14, 15, 29, Jul. 17; Aug. 13; Sept. 12, 13, 23, Nov. 4. sämtlich 110.
- 1827 Mai 8. 110; Sept. 7. 189; Sept. 26. 59, 190; Sept. 27. 190; 28. 191; 30. 191; Oct. 4. 59; 9. 59, 10. 59; 24. 59; 29. 59; Nov. 24. 59; 28. 191; Dec. 24. 191.
- 1828 Jan. 23. 261; 31. 259; Febr. 18. 191; 22. 199; März 4. 351; 20. 199; 23. 191; 26. 299; April 13. 261; 14. 261; 16. 45; 18. 199; 19. 191; 20. 115, 191, 269; 21. 15; 27. 261; Mai 21. 199; 22. 261; 24. 200; 25. 261; 31. 261; Jun. 16. 191, 200, 259, 262; 19. 261; 20. 200, 259; Jul. 22. 200, 262; 23. 261; Aug. 20. 261, 262; 21. 63, 192, 259, 261, 262; 22. 261; 23. 261; 28. 261; Sept. 14. 202; 17. 51; 21. 63; 22. 261; Oct. 15. 63; 16. 110; 22. 63, 110, 259.
- 1829 Febr. 8. 355; 11. 351; März 15. 381; 17. 351, 381; 23. 381; 27. 381; April 7. 355; 8. 381; 9. 355; 10. 357; 11. 351; 13. 381; Mai 6. 351, 463; 8. 351, 463; Jul. 11. 463; Aug. 13. 463; 23. 463.

Ephemeride für 1829. 43, 89. Fünf Bedeckungen des Aldebaran vom Monde im Jahr 1829 für 9 Sternwarten berechnet 111. Ueber das Beobachten derselben 112. — berechnet 25, 110, 147, 191, 213, 281, 295, 303, 325, 343, 345, 349, 365, 453.

Sternwarte in Hamburg 379, Krakau 199, Ober-Castell 107, Prag 15, des Abbé *Chappe* und *Schuberts* in Tobolsk 355.

Störungen der Planeten, Theorie derselben 417, 433, 465, 481.

Starthan, täglicher Gang eines Chronometers von *Cube* und *Strochan* 449.

Strahlenbrechung s. Refraktion.

Streiche, Formeln für die Temperatur in Danzig 333; für das Barometer daselbst 335. Berichtigungen 384.

Struve, Beob. des Enckischen Cometen 85, 153, 169. Resultate der Gradmessung in den Ostseeprovinzen Rußlands 383. Dessen Methode bei Winkelmessungen 353, 389, 394. Berichtigung 367.

T.

Tafel zur Reduktion der Abwägungen 373. — um mit Log x den Log. $\frac{x+1}{x-1}$ zu finden, in 384.

Taganrog, geographische Lage 262. Beobachtung einer Sternbedeckung 262.

Tarqui, Breite 322.

Taschenmikroskope von *Gould* 103.

Taylor's Tafeln, Druckfehler 103.

Temperatur, Ausdehnung des Mercur's durch dieselbe 375. — in Sibirien 327, 356; Danzig 331.

Theodoliten, über die Correctionen der mit den doppelt vertheilten Theodoliten gemessenen Winkel, wegen der Eccentricität des Zies oder sogenannten Versicherungsfernrohrs 227. Ueber die Correction der gemessenen Horizontalwinkel wegen eccentricischer Aufstellung des Instrumentes 233. Ueber die Ausgleichung des Einflusses der Eccentricität bei eingetheilten Kreisen durch das Ableiten aus verschiedenen Nuten 241. Ueber die Ausgleichung des Fehlers in den gemessenen Horizontalwinkeln, welcher nur durch das Ableiten an dem nicht genau horizontal liegenden eingetheilten Kreise entsteht 247. Unsicherheit der Repetition bei Höhenmessungen mit Theodoliten 364. Methode, Horizontal- und Vertikalwinkel mit denselben zu messen 363, 389, 394.

Theoria m. c. c., Druckfehler 104, 263.

Thermometer, Metall-, von *Hünnerl* 217. — Beob. in Apenrade 69; Danzig 331, 337; Königsberg 337; Krakau 199; Seeberg 63; Sibirien 356.

Thileadean 377.

Thune, Verkauf dessen Bibliothek 383.

Tobolsk, Lage des Observatoriums des Abbé *Chappe* und *Schuberts* daselbst 355.

Torpedo, über die Natur des Schlags derselben 119.

Transcendenten, über die elliptischen 33.

Trigonometrie, Tafeln um aus den 2 Seiten nebst eingeschlossenen Winkel eines ebenen Dreiecks die übrigen Winkel zu finden, in 5, 384.

Trivandeoporum, Breite 331.

Turin, Länge 456.

U.

Uhr s. Chronometer, Pendeluhr.

Utskræider und Frannhofer, Preise deren Instrumente 307. Widerlegung einiger Behauptungen; französischer Journalisten hinsichtlich des Münchener Flintglases 377. Ueber die Güte der Münchener Fernrohre nach *Frannhofer's* Tode 383.

V.

Valt, Beob. des Enckischen Cometen 55, 207, des ersten Cometen 1827. 56. Dessen Methode Cometen zu beobachten 201; de l'emploi des micromètres et des réticules dans les observations obliques 297. Methode die Vergrößerung der Fernrohre zu bestimmen 204. Formeln und Tafeln zur Berechnung der Aberration und Nutation 73. Bemerkungen über *Pons* Beob. des Zien Cometen von 1827. 293. Ueber Projektion der Himmelskarten 203.

Vega's Thesaurus, Berichtigung 62.

Venus, über deren Masse 184.

Vergrößerung der Fernrohre zu bestimmen 204.

Vermessung s. Gradmessung, Theodolit.

Verona, Länge 150.

Verzeichniß s. Catalog.

Vesta, Beob. ihrer Opposition 1927. 15; 1829. 341.

Vorübergänge der untern Planeten vor der Sonne, Berechnungsmethode derselben 121, 137.

W.

Walbeck 400, über dessen Dissertation de forma et magnitudine telluris 329, 400.

Wasser, dessen spezifische Schwere 376.

Wasserwage s. Niveau.

Weidenbach, Tafeln um aus Log x den Log $\frac{x+1}{x-1}$ zu finden, in 5, 384.

Weisse, Barometerbeob. 199. Beob. der Enckischen Cometen 219; von Sternbedeckungen 199; Mondsternen 365. Anzeige dessen Tafeln der Coordinaten der 6 ütern Planeten 209, 365; dessen Tafeln der Mittagcorr. 305; dessen Tafeln zur Red. des Barometerstandes 197. Notizen über die Sternwarte in Krakau 199.

Widerstand, über den, im Weltraum 147.

Wiederholungskreis s. Theodolit.

Wien, Länge aus Mondsternen 483.

William, Fort-, Breite 31.

Winkelmessungen, Unterschied der Genauigkeit der Messungen bei größeren und kleineren Dreiecken 392. s. Theodolit.

Winckel, Beschreibung eines von ihm erfundenen und verfertigten Metallthermometers 217.

Wollaston, Mikroskope 119.

Wurm Längenbestimmungen aus Jupiterstrabantenverf. 27; aus Mercur's Durchgang durch die Sonne 27, 31; aus Mondsternen 283; aus Sonnenfinsternissen 286, 451; aus Stern-

bedeckungen 25, 110, 147, 191, 213, 281, 295, 303, 325, 345, 349, 433. Berichtigungen 295, 306, 348. Auszug aus einem Journal 349.

Y.

Yeuikale (Leuchthurm) geographische Lage 262. Beobh. von Sternbedeckungen 262.

Z.

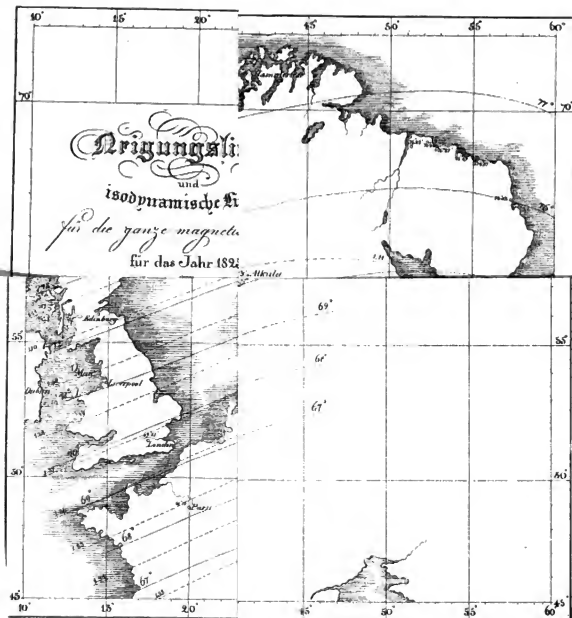
Zehmen, Länge 151.

Zeitbestimmungen durch Sternhöhen in Ost und West und durch Azimuthalunterschiede zwischen terrestrischen Abschen und Fundamentalsternen 395.

Zenithdistanten des Polarsterns zur Bestimmung der Polhöhe der Mitauer Sternwarte 339. Ueber das Verfahren beim Messen derselben 363, 364. — Irdische, Einfluß der Tageszeit auf dieselben 394.

Zonenbeobachtungen, Bemerkungen über die Königsberger 369.





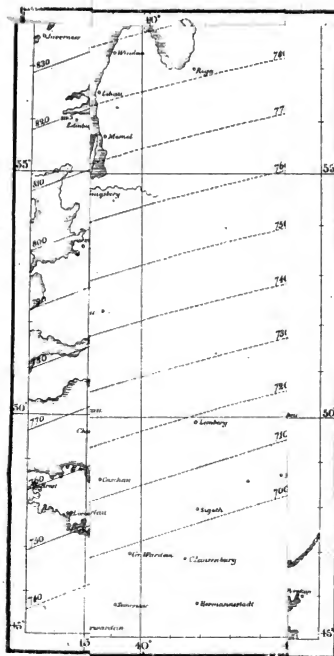


Fig. I. Nov 7.

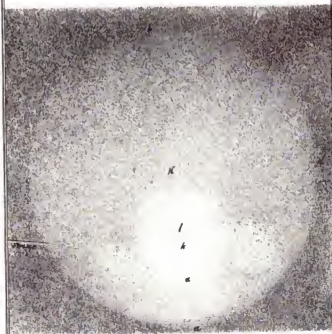


Fig. II.



Fig. III. Nov 30

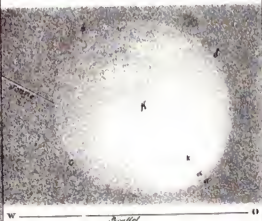


Fig. IV. Dec. 7.

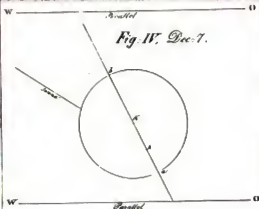
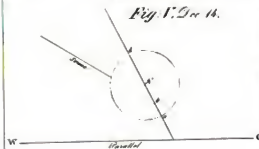
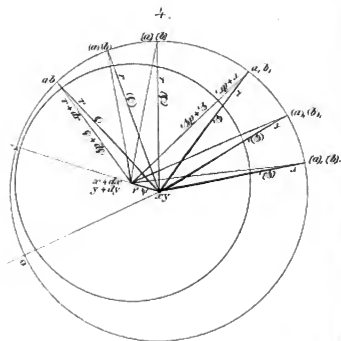
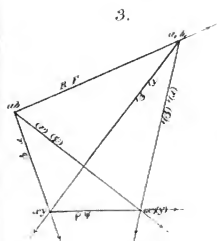
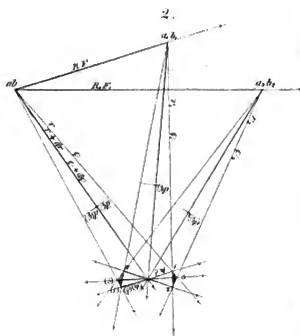
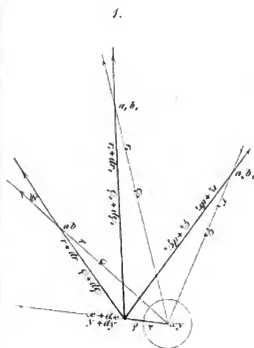
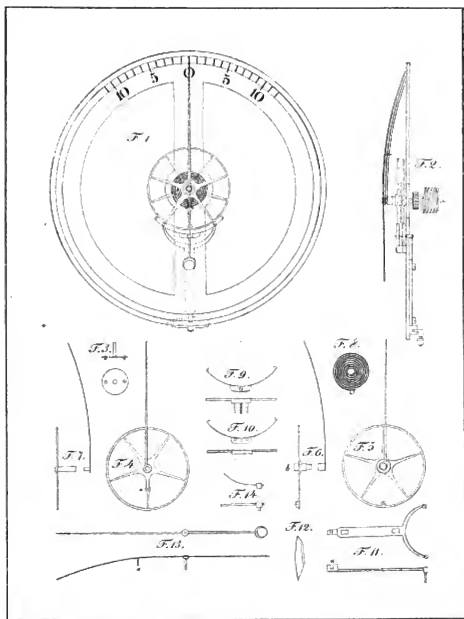


Fig. V. Dec 14.








Zu den Astronomischen Nachrichten N^o 137.

This book is a preservation photocopy.
It is made in compliance with copyright law
and produced on acid-free archival
60# book weight paper
which meets the requirements of
ANSI/NISO Z39.48-1992 (permanence of paper)

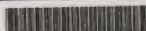
Preservation photocopying and binding
by
Acme Bookbinding
Charlestown, Massachusetts

1999

JOHN G. WOLBACH LIBRARY
HARVARD COLLEGE OBSERVATORY
60 GARDEN STREET
CAMBRIDGE, MASS. 02138

JOHN G. WOLBACH LIBRARY
HARVARD COLLEGE OBSERVATORY
80 GARDEN STREET
CAMBRIDGE, MASS. 02138



3 2044 059 969 055



3 2044 059 969 055